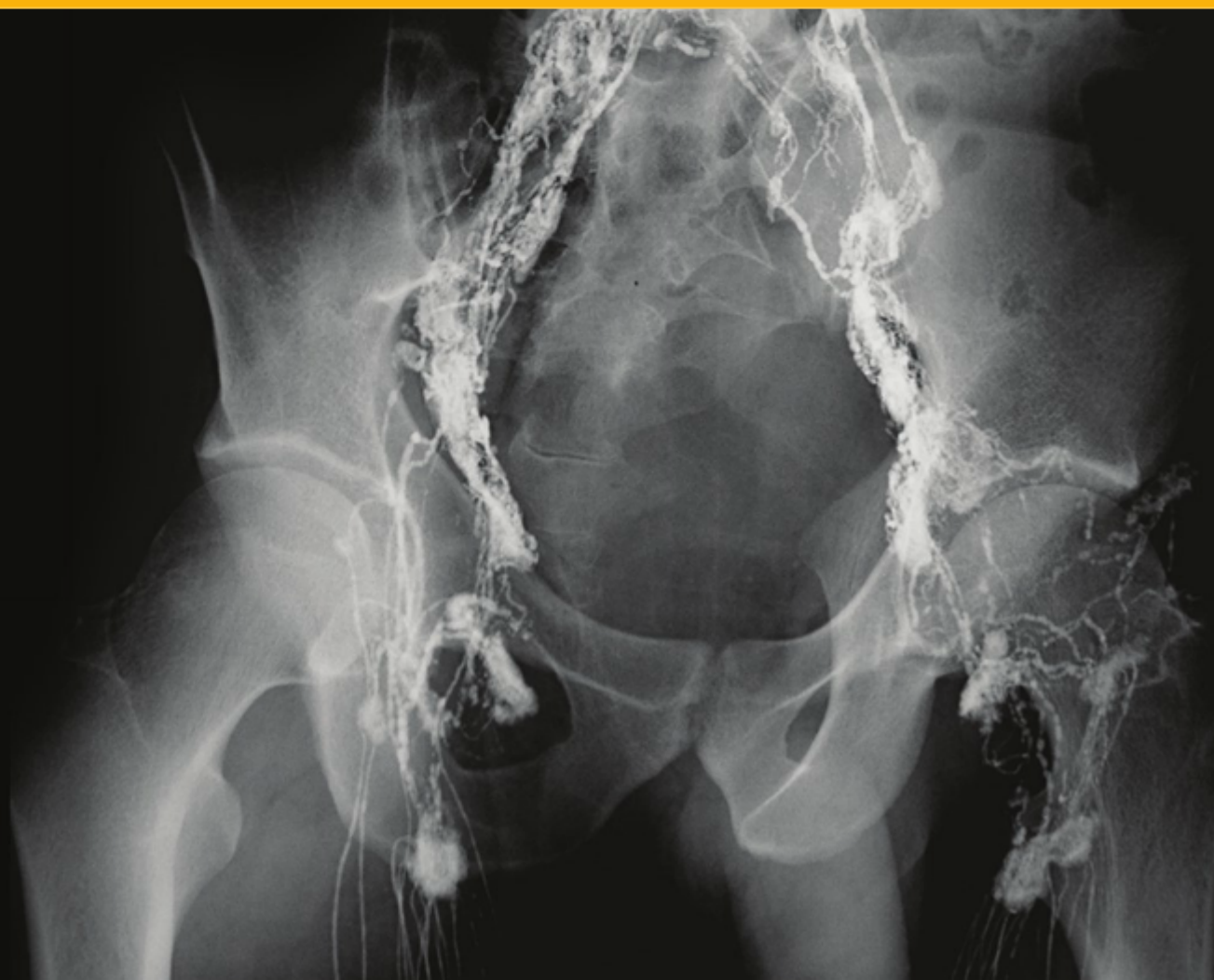


ATLAS DE ANATOMIA HUMANA EM IMAGEM

JAMIE WEIR • PETER H ABRAHAMAS • JONATHAN D SPRATT • LONIE R SALKOWSKI

De acordo com a
**Terminologia
Anatômica
Internacional**
• SBA •

MOSBY

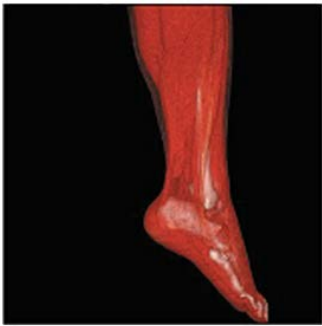


AVISO LEGAL

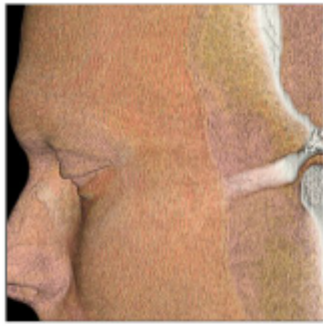
Caso esta Obra na versão impressa possua quaisquer materiais complementares, tais como: CDs e/ou DVDs ou recursos on-line, estes serão disponibilizados na versão adquirida a partir da Biblioteca Digital através do ícone "Recursos Extras" dentro da própria Biblioteca Digital.

ATLAS DE
**ANATOMIA
HUMANA
EM IMAGEM**

QUARTA
EDIÇÃO

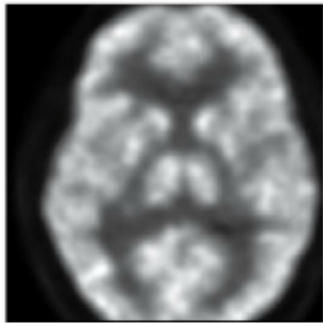


(página deixada intencionalmente em branco)



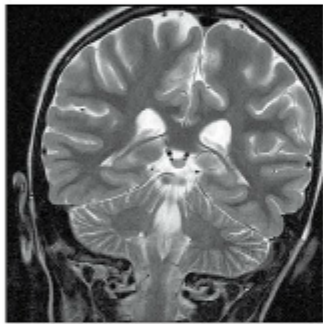
ATLAS DE ANATOMIA HUMANA EM IMAGEM

QUARTA
EDIÇÃO



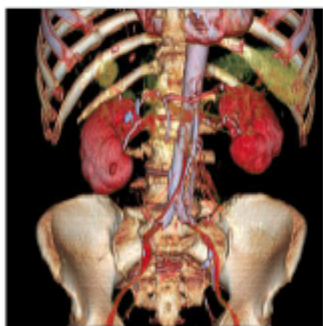
Jamie Weir MBBS, DMRD, FRCP(Ed), FRANZCR(Hon), FRCR

Emeritus Professor of Radiology
University of Aberdeen
Aberdeen, UK



Peter H Abrahams MBBS, FRCS(Ed), FRCR, DO(Hon)

Professor of Clinical Anatomy, Warwick Medical School, UK
Professor of Clinical Anatomy, St George's University, Grenada, West Indies
Extraordinary Professor, Department of Anatomy, University of Pretoria, South Africa
Fellow, Girton College, Cambridge, UK
Examiner, MRCS, Royal College of Surgeons, UK
Family Practitioner, Brent, London, UK



Jonathan D Spratt MBBChir, MA(Cantab), FRCS(Eng), FRCS(Glasg), FRCR

Chief Radiologist, County Durham and Darlington NHS Foundation Trust
Examiner in Anatomy, Royal College of Radiologists, UK
Examiner, MRCS, Royal College of Surgeons, UK
Fellow in Anatomical Radiology, Northumbria University, UK
Visiting Professor of Anatomy, St George's School of Medicine, Grenada and St Vincent

Lonie R Salkowski MD

Associate Professor of Radiology and Anatomy
University of Wisconsin School of Medicine and Public Health
Madison, Wisconsin, USA
Clinical Professor, College of Health Sciences
University of Wisconsin-Milwaukee
Milwaukee, Wisconsin, USA



MOSBY



© 2011 por Mosby

Do original: Imaging Atlas of Human Anatomy – 4th edition

Tradução autorizada do idioma inglês da edição publicada por Mosby - um selo editorial Elsevier Inc.

ISBN: 978-0-7234-3457-3

Edição Internacional ISBN: 978-0-8089-2388-6

© 2011 Elsevier Editora Ltda.

Todos os direitos reservados e protegidos pela Lei 9.610 de 19/02/1998.

Nenhuma parte deste livro, sem autorização prévia por escrito da editora, poderá ser reproduzida ou transmitida sejam quais forem os meios empregados: eletrônicos, mecânicos, fotográficos, gravação ou quaisquer outros.

ISBN 978-85-352-6213-1

Capa

Interface/Sérgio Liuzzi

Editoração Eletrônica

Thomson Digital

Elsevier Editora Ltda.

Conhecimento sem Fronteiras

Rua Sete de Setembro, nº 111 - 16º andar

20050-006 - Centro - Rio de Janeiro - RJ

Rua Quintana, nº 753 - 8º andar

04569-011 - Brooklin - São Paulo - SP

Serviço de Atendimento ao Cliente

0800 026 53 40

sac@elsevier.com.br

Conheça nosso catálogo completo: cadastre-se em www.elsevier.com.br para ter acesso a conteúdos e serviços exclusivos e receber informações sobre nossos lançamentos e promoções.

NOTA

O conhecimento médico está em permanente mudança. Os cuidados normais de segurança devem ser seguidos, mas, como as novas pesquisas e a experiência clínica ampliam nosso conhecimento, alterações no tratamento e terapia à base de fármacos podem ser necessárias ou apropriadas. Os leitores são aconselhados a checar informações mais atuais dos produtos, fornecidas pelos fabricantes de cada fármaco a ser administrado, para verificar a dose recomendada, o método e a duração da administração e as contraindicações. É responsabilidade do médico, com base na experiência e contando com o conhecimento do paciente, determinar as dosagens e o melhor tratamento para cada um individualmente. Nem o editor nem o autor assumem qualquer responsabilidade por eventual dano ou perda a pessoas ou a propriedade originada por esta publicação.

O Editor

CIP-BRASIL. CATALOGAÇÃO-NA-FONTE
SINDICATO NACIONAL DOS EDITORES DE LIVROS, RJ

A891 Atlas de anatomia humana em imagem [recurso eletrônico] / Jamie Weir... [et al.] ;
[tradução Douglas Arthur Omena Futuro... et al.]. - Rio de Janeiro : Elsevier, 2012.
recurso digital : il.

Tradução de: Imaging atlas of human anatomy, 4th ed.

Formato: Flash

Requisitos do sistema: Adobe Flash Player

Modo de acesso: World Wide Web

ISBN 978-85-352-6213-1 (recurso eletrônico)

1. Anatomia humana - Atlas. 2. Diagnóstico por imagem - Atlas. 3. Livros eletrônicos. I. Weir, Jamie. I. Título.

12-3370.

CDD: 611.00222

CDU: 611(084)

Revisão Científica e Tradução

Revisão da Terminologia Anatômica

Cristiane Regina Ruiz

Professora de Anatomia Humana e Anatomia em Imagens do Centro Universitário São Camilo, SP
Doutora em Ciências (Morfologia) pela Universidade Federal de São Paulo (Unifesp/EPM)
Mestre em Ciências (Morfologia) pela Unifesp/EPM

Revisão Científica da Radiologia

Roberto Mogami

Professor Adjunto de Radiologia da Universidade do Estado do Rio de Janeiro (UERJ)
Membro Titular do Colégio Brasileiro de Radiologia
Médico do Setor de Ultrassonografia da Clínica Radiológica
Luiz Felipe Mattoso

Tradução

Douglas Arthur Omena Futuro (Caps. 2 a 4, 7)

Médico Ortopedista – Rio de Janeiro

Ediane Chimello (Índice)

Tradutora, SP

Fernando Diniz Mundim (Caps. 1, 5, 6 e 8)

Professor Adjunto do Instituto de Psiquiatria da Universidade Federal do Rio de Janeiro (UFRJ)

(página deixada intencionalmente em branco)

Agradecimentos

Muito obrigado a todos os autores que contribuíram anteriormente para as edições desse atlas e à Dra. Alison Murray, que gentilmente permitiu o uso das imagens usadas nos tutoriais de patologia na Internet. Novos materiais e títulos foram acrescentados pelo Dr. Richard Wellings, University

Hospital, Coventry e Warwickshire, e pelo Dr. Andrew Hine, N.W. London Hospitals, e somos muito gratos pela sua ajuda. As duas imagens da introdução, a angiorressonância magnética (ARM) corporal e a tractografia por RM, foram gentilmente fornecidas por Toshiba Medical Systems.

Dedicatória

A nossos alunos – no passado, presente e futuro

(página deixada intencionalmente em branco)

Prefácio à quarta edição

Dá-se cada vez mais importância à interpretação da anatomia radiológica em um mundo que testemunhou, na última década, mudanças consideráveis nos programas de treinamento de estudantes de medicina, associadas à redução na dissecação de cadáveres.

Nós atualizamos e revisamos este atlas pela adição de novas imagens e técnicas que refletem essas tendências. A equipe de "Autores" também foi modificada. Desejamos registrar nossos sinceros agradecimentos aos Drs. Hourihan, Belli, Moore e Owen por suas contribuições anteriores e apresentar nossos dois novos coautores, Dr. Jonathan Spratt de Durham, Reino Unido, Dr. Lonie Salkowski de Madison, WI, EUA. Ambos são anatomistas radiológicos de grande renome, e a maior parte do material novo provém dos seus trabalhos.

O formato dessa quarta edição permanece o mesmo, mas a estrutura dos capítulos sobre o abdome e a pelve foi revista para refletir a prática radiológica e anatômica atual; os novos capítulos consistem em imagens do abdome e pelve em cortes transversais e em outros planos.

Foi também incluída uma nova seção sobre medicina nuclear, pelo Dr. Salkowski.

Para complementar este atlas radiológico, acrescentamos, pela primeira vez, um conteúdo online, que consiste em uma série de 10 tutoriais relacionados aos oito capítulos anatômicos e baseados em nove "conceitos" elaborados para ajudar na sua compreensão da relação entre a anatomia normal e anormal, esta última objeto de estudo da disciplina da patologia. Esse material foi produzido com a

Prefácio à primeira edição

Os métodos radiológicos usados para a representação da anatomia humana normal desenvolveram-se muito nas últimas décadas. A capacidade de demonstração dos tecidos moles pelo uso das modernas tecnologias de ressonância magnética, tomografia computadorizada e ultrassonografia facilitou muito nossa compreensão da ligação entre a anatomia conforme mostrada nas salas de dissecação e aquela necessária para a prática clínica. Esse atlas foi produzido de acordo com as novas tecnologias e alterações fundamentais que estão ocorrendo no ensino da anatomia. Ele permite ao estudante de medicina se relacionar com a anatomia básica e, ao mesmo tempo, se constitui em um guia de estudo abrangente para a interpretação clínica da radiologia, aplicável a todos os níveis de graduação e pós-graduação.

Vários autores notáveis, especialistas em seu campo de atuação radiológica, contribuíram para esse livro, que se beneficiou da integração editorial para assegurar o equilíbrio e a coerência. O atlas visa complementar e suplementar o *McMinn Atlas Clínico de Anatomia Humana*, 6ª edição.

A repetição de imagens ocorreu unicamente quando foi necessário demonstrar aspectos de interesse ou dificuldade na anatomia. Da

ajuda da Dra. Jennifer Allison, que começou esse projeto quando ainda era estudante de medicina. Os nove conceitos são:

1. "coisas rechaçadas"
2. "coisas tracionadas"
3. "coisas adicionadas"
4. "coisas que estão faltando"
5. "coisas maiores que o normal"
6. "coisas menores que o normal"
7. "coisas que apresentam uma estrutura anormal, local ou difusa"
8. "coisas que apresentam uma forma anormal, local ou difusa"
9. "coisas que você não pode ver apesar de saber que elas estão presentes patologicamente; isto é, você não está usando o exame radiológico correto, ou não existirão anormalidades porque a doença é microscópica e não produz alterações anatômicas (ou fisiológicas) identificáveis."

Outras explicações, com numerosos exemplos para a demonstração desses "conceitos", estão no material online. Acreditamos que a confiança continuamente depositada pelos médicos na radiologia dos processos patológicos será facilitada por essa abordagem nova e sensacional. Igualmente, o acréscimo da patologia ao texto de anatomia radiológica extensamente revisto melhorará a compreensão radiológica, o que beneficia tanto a você, leitor, como a seus pacientes. Como este livro e o material online foram criados para você, estudante, nós recebemos de bom grado correções ou sugestões e ideias para edições futuras.

Jamie Weir, Peter H. Abrahams, Jonathan Spratt e Lonie Salkowski
Janeiro de 2010

mesma forma, exemplos de diferentes modalidades radiológicas da mesma região anatômica foram incluídos unicamente quando necessários para melhor compreensão da região mostrada. Radiografias que mostram marcos importantes no desenvolvimento de centros de ossificação nos membros, com exemplos de algumas anomalias congênitas comuns, também são apresentadas. Em algumas seções, notadamente de RM e TC, as legendas podem se estender por mais de uma página, de modo que uma estrutura específica pode ser acompanhada de maneira contínua por vários níveis e planos.

A anatomia humana não se modifica, mas nossos métodos de demonstrá-la se alteraram de maneira significativa. A radiologia moderna permite que determinadas estruturas e suas relações sejam vistas pela primeira vez, e isso nos ajuda na interpretação. O conhecimento e a compreensão da anatomia radiológica são fundamentais para todos aqueles envolvidos no cuidado dos pacientes: de enfermeiros e paramédicos a estudantes de medicina e clínicos.

Jamie Weir e Peter H. Abrahams
Fevereiro de 1992

(página deixada intencionalmente em branco)

Introdução

Guia para as tabelas de ossificação

As tabelas de ossificação, como a mostrada a seguir, aparecem em todo o livro.

A chave para essas tabelas é a seguinte:

(c) = cartilagem

(m) = membrana

mvi = meses de vida intrauterina

svi = semanas de vida intrauterina

ms = meses

a = anos

E a regra a ser lembrada é: meninas antes dos meninos.

Ressonância magnética

A produção de imagens em ressonância magnética (RM) ocorre pela magnetização do paciente no interior do tubo de um potente magneto e transmissão de pulsos curtos de energia de radiofrequência (RF) a 46 Hz para ressonar prótons móveis (núcleos de hidrogênio) no tecido adiposo, nas proteínas e na água. Os prótons produzem ecos de RF quando sua energia ressonante é liberada e sua densidade e localização são correlacionadas por meio de complexos algoritmos matemáticos a uma matriz de imagens.

Os prótons do núcleo de hidrogênio em rotação agem como um diminuto magneto em barra, alinhando-se com o campo magnético ou contra ele e produzindo um pequeno vetor magnético final. A energia de RF é usada para gerar um segundo campo magnético, perpendicular ao campo magnético estático, que afasta os prótons do campo. Depois que o pulso é desligado, os prótons voltam a sua posição original de equilíbrio ("relaxamento"), emitindo a energia de RF que eles haviam adquirido na antena em torno do paciente. Esta energia é digitalizada, amplificada e, finalmente, codificada espacialmente pelo processador do arranjo.

Os sistemas de RM são graduados de acordo com a potência do campo magnético por eles produzido. Sistemas capazes de produzir um campo magnético com potência de 1,5-3 T (Tesla) são considerados de alto campo. Eles utilizam eletromagneto supercondutor imerso em hélio líquido. Aparelhos abertos para pacientes claustrofóbicos e exame de membros usam magnetos entre 0,2 e 0,75 T. A título de comparação, o campo magnético da Terra varia de 30 a 60 uT. A RM não acarreta nenhum risco biológico conhecido; no entanto, pacientes que têm qualquer forma de marca-passos ou dispositivo eletroindutor implantado não devem ser examinados. Outros itens proibidos incluem grampos ferromagnéticos para aneurismas intracranianos, alguns tipos de valvas (válvulas) cardíacas e corpos estranhos metálicos intraoculares. Muitos grampos vasculares extracranianos e próteses ortopédicas atualmente permitem que os pacientes sejam examinados pela RM, mas podem causar artefatos locais. Itens metálicos soltos devem ser retirados da sala de exame — sabe-se que travesseiros contendo molas metálicas quase sufocaram alguns pacientes!

Embora não esteja no âmbito da edição atual deste livro, novos métodos para a análise da anatomia encefálica normal e patológica estão agora na linha de frente das pesquisas, quais sejam

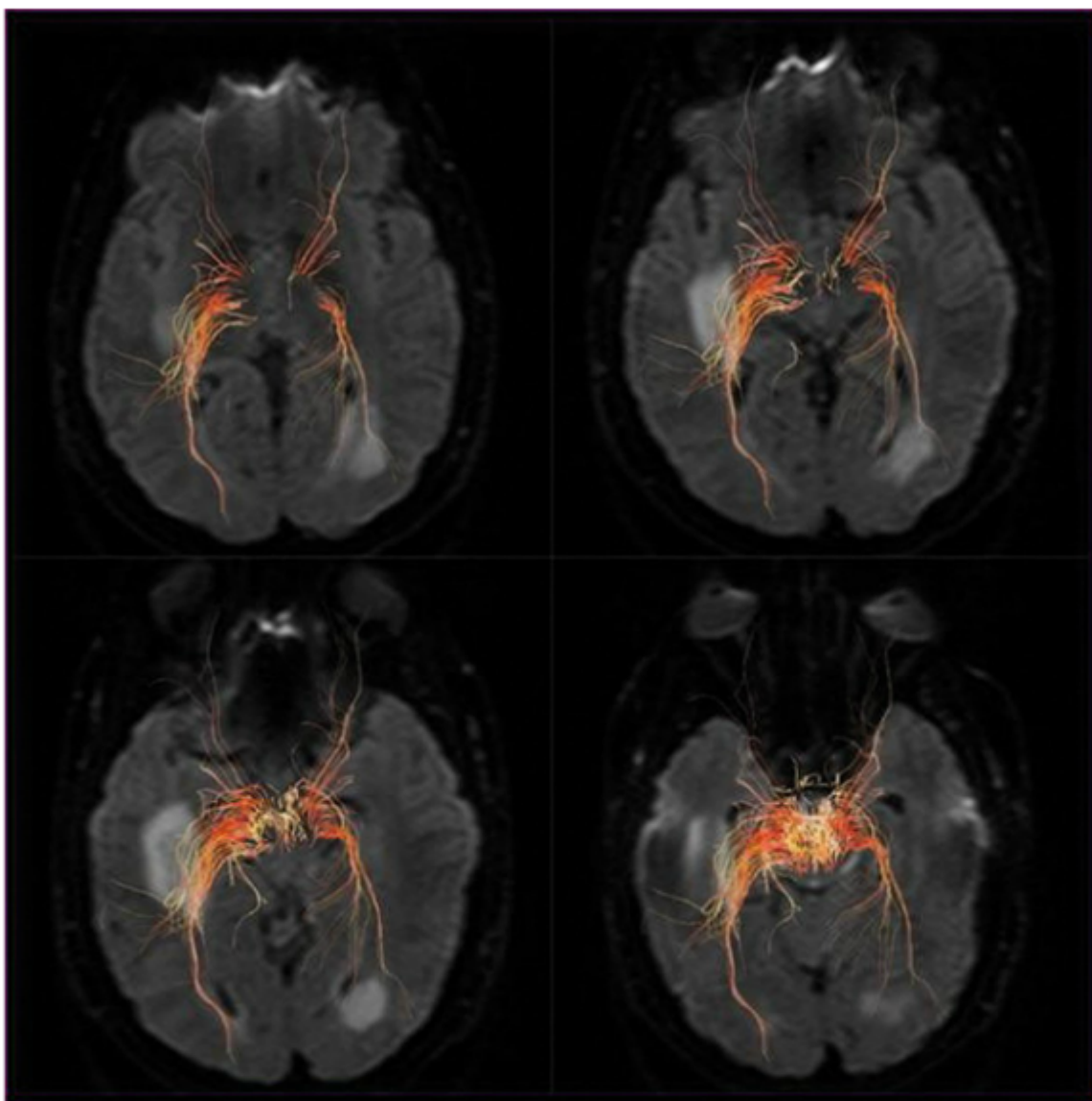
CLAVÍCULA (m)	Aparece	Funde-se
Extremidade acromial	5 siu	20+ a
Extremidade esternal	15 a	20+ a
ESCÁPULA (c)		
Corpo	8 siu	15 a
Processo coracoide	< 1 a	20 a
Base do processo coracoide	Puberdade	15-20 a
Acrômio	Puberdade	15-20 a

espectroscopia por ressonância magnética, ressonância magnética funcional e ressonância magnética molecular, esta última tomando um novo rumo desde a descrição do genoma humano.

A espectroscopia por ressonância magnética (ERM) avalia a função do encéfalo. A ERM baseia-se nas propriedades ressonantes ligeiramente



ARM corporal.



Tractografia por RM.

diferentes dos prótons nos diversos ambientes químicos. Para um dado volume encefálico, a distribuição da ressonância desses prótons pode ser mostrada como um espectro. Picos discerníveis podem ser vistos para alguns neurotransmissores: o *N*-acetilaspártato varia na esclerose múltipla, nos acidentes vasculares encefálicos e na esquizofrenia, ao passo que os níveis de colina e de lactato têm sido usados na avaliação de alguns tumores do encéfalo.

A RM funcional (RMf) baseia-se no fato de a hemoglobina ser diamagnética quando oxigenada, porém paramagnética quando desoxigenada. O uso de altos campos magnéticos permite que esses diferentes sinais sejam ponderados aos pequenos vasos, portanto mais próximos dos neurônios. Na ressonância molecular (RMm), marcadores biológicos interagem quimicamente com as regiões a seu redor e alteram a imagem de acordo com alterações moleculares presentes na área de interesse, o que possibilita a detecção precoce e o tratamento imediato de doenças, o desenvolvimento farmacêutico e testagens quantitativas.

Os magnetos de alto campo proporcionam, naturalmente, melhoras significativas na resolução espacial e no contraste. A aquisição de

imagens da microvasculatura do encéfalo humano com aparelhos de 8 T permite comparações histológicas, o que tem implicações significativas para o tratamento de lesões por reperfusão e para a fisiologia de tumores sólidos e da angiogênese. Há todos os motivos para se acreditar que esforços continuados para expandir o alcance das aplicações de magnetos de alto campo irão abrir novas perspectivas para o que parece ser uma gama infindável de aplicações clínicas potenciais.

Ultrassonografia

Em contraste com as outras imagens neste livro, a ultrassonografia (US) não depende do uso de ondas eletromagnéticas. São as propriedades das ondas sonoras de alta frequência (ondas longitudinais) e suas interações com os tecidos biológicos que vêm a formar essas "ecografias".

Uma onda sonora de frequência apropriada (faixa diagnóstica de 3,5-20 MHz) é produzida por princípios piezelétricos; ou seja, alguns cristais podem mudar sua forma e produzir um potencial de voltagem, e vice-versa. Enquanto o feixe passa pelos tecidos, dois efeitos importantes determinam a produção da imagem: atenuação e reflexão. A atenuação é causada pela perda de energia devido à

absorção, reflexão, refração, para fora do alcance do receptor, com a consequente redução na intensidade do sinal. As ondas sonoras refletidas dentro do alcance do receptor produzem a imagem, cuja textura depende de diminutas diferenças na impedância acústica entre tecidos diferentes. No modo duplex, pode-se medir o fluxo sanguíneo e a velocidade do sangue (usando-se o princípio Doppler).

Técnicas como a harmônica e o uso de meios de contraste para ultrassonografia (microbolhas estabilizadas) possibilitaram a determinação não invasiva da perfusão miocárdica. Esses meios de contraste melhoram claramente a detecção de metástases no fígado e no baço. A ultrassonografia é a técnica de imagens médicas mais comum para a produção de elastografias, em que imagens de rigidez ou sobrecarga dos tecidos moles são usadas para a detecção ou a classificação de tumores. O câncer é 5 a 28 vezes mais rígido que as partes moles normais. Ao se aplicar uma compressão ou vibração mecânica, o tumor apresenta uma deformação menor que a do tecido circundante. A elastografia pode ser usada para se medir a rigidez do fígado ou para a detecção de tumores da mama ou da tireoide. Foi demonstrada uma correlação entre a elasticidade do fígado e o escore de cirrose.

Somente um grupo de imagens ultrassonográficas chave foi incluído no livro, para ilustrar um aspecto ou área específicos, pois a natureza dinâmica da ultrassonografia impede uma cobertura adicional. A interpretação da anatomia a partir de imagens ultrassonográficas estáticas é mais difícil que a partir de outras modalidades, porque a técnica depende muito do operador e fornece informações sobre a estrutura e a forma dos tecidos diferentes daquelas de outras modalidades de exame.

Medicina nuclear

Historicamente, a medicina nuclear teve início em 1946, quando o iodo radioativo foi administrado como um "coquetel atômico" para tratar o câncer da glândula tireoide. Desde essa época, a medicina nuclear tem progredido e foi reconhecida como especialidade médica pela American Medical Association em 1971.

A radiologia diagnóstica cria uma imagem pela passagem da radiação através do corpo a partir de uma fonte externa. Diferentemente da radiologia diagnóstica, a medicina nuclear cria uma imagem a partir da medição da radiação emitida por marcadores internamente. A imagem é produzida, portanto, pela radiação emitida pelo paciente. As doses de radiação, de modo geral, são comparáveis e variam dependendo do exame.

A medicina nuclear também difere de outras modalidades radiológicas ao demonstrar a função de uma área específica do corpo. Em algumas ocasiões, esta informação fisiológica pode ser combinada à imagem mais anatômica da TC ou RM, o que melhora a capacidade diagnóstica.

Em lugar do meio de contraste para a aquisição das imagens, a medicina nuclear usa compostos radiofarmacêuticos que são marcados com um radionuclídeo. Esses compostos radiofarmacêuticos são administrados aos pacientes por injeção intravenosa, ingestão ou inalação. O método de administração depende do tipo de exame e do órgão ou processo orgânico a ser analisado. Por definição, todos esses compostos radiofarmacêuticos emitem radiação. Essa radiação emitida é detectada e sua imagem é obtida por equipamentos especializados como câmeras gama, tomografia por emissão de pósitrons (PET) e tomografia computadorizada por emissão de fóton único (SPECT). Em

alguns exames, a radiação pode ser medida pelo uso de sondas, ou pode-se colher amostras dos pacientes e medi-las em contadores.

A premissa da medicina nuclear envolve a biologia funcional, razão pela qual pode-se não apenas documentar um processo mórbido, mas também tratar doenças. Os compostos radiofarmacêuticos que são usados na aquisição de imagens emitem um raio gama (γ), e aqueles usados para tratamento emitem uma partícula beta (β). Os raios γ têm energia mais alta para atravessar o corpo e ser detectados por uma câmera de detecção, enquanto as partículas β percorrem apenas distâncias pequenas e emitem sua dose de radiação no órgão-alvo. Por exemplo, pode-se usar tecnécio-99m ou iodo-123 para a detecção de doenças da glândula tireoide, mas algumas doenças da glândula tireoide ou cânceres da glândula tireoide podem ser tratados unicamente, ou em parte, pelo iodo-131. A diferença na substância empregada depende do tipo e dos níveis de energia da partícula de radiação que o radioisótopo emite.

Os radionuclídeos, ou a partícula radioativa, usados na medicina nuclear estão ligados quimicamente a um complexo designado como marcador, de modo que, quando administrados, eles possam agir de maneira característica no corpo. A maneira pela qual o corpo lida com esse marcador pode diferir em doenças ou processos patológicos, demonstrando assim imagens diferentes do normal em estados mórbidos. O marcador usado na aquisição de imagens ósseas, por exemplo, é o metileno-difosfonato (MDP). O MDP está ligado ao tecnécio-99m para a aquisição de imagens ósseas. O MDP se liga à hidroxiapatita nos ossos. Se houver uma alteração fisiológica no osso por uma fratura, um acometimento ósseo metastático ou uma alteração artrítica, haverá um aumento na atividade óssea e, portanto, um acúmulo maior do marcador nessa região em comparação ao osso normal. Isso ocasionará um "ponto quente" focal do composto radiofarmacêutico em uma cintilografia óssea.

O tecnécio-99m é o principal radioisótopo utilizado na medicina nuclear. O acesso é fácil, pois ele pode ser eluído a partir de um gerador de molibdênio/tecnécio armazenado em um serviço de medicina nuclear e tem meia-vida curta (6 horas), o que torna mais fácil a aquisição de imagens médicas e o descarte. Suas propriedades farmacológicas permitem que ele se ligue com facilidade a diversos marcadores e emita raios γ que têm uma energia adequada para a aquisição de imagens médicas.

Além do tecnécio-99m, os radionuclídeos intravenosos mais comumente usados na medicina nuclear são leucócitos marcados com iodo-123 e iodo-131, tálio-201, gálio-67, 18-fluorodesoxiglicose (FDG) e índio-111. Os radionuclídeos gasosos/em aerossol mais comuns são xenônio-133, criptônio-81m, tecnécio-99m (Technegas) e tecnécio-99m DTPA.

Apenas uma ou muitas imagens podem ser obtidas pela medicina nuclear. Os conjuntos de imagens podem ser representados em sequência temporal (p. ex., cine), como avaliações dinâmicas ou sequências sincronizadas com eletrocardiogramas, ou por sequências espaciais em que a câmera gama se move relativamente ao paciente, como na aquisição de imagens por SPECT. O exame em sequências espaciais permite que a documentação seja apresentada como uma pilha de imagens em fatias, de modo muito semelhante à TC ou RM. As imagens em sequência espacial também podem ser fundidas a outras de TC ou RM concomitantes, o que produz imagens fisiológicas e anatômicas combinadas. As imagens em sequências temporais e espaciais proporcionam uma perspectiva singular e fornecem informações sobre processos fisiológicos no corpo.

PET (tomografia por emissão de pósitrons) é um tipo especializado de exame de medicina nuclear que mede as funções corporais importantes, como fluxo sanguíneo, uso de oxigênio e metabolismo do açúcar (glicose) para avaliar quão bem os órgãos e os tecidos estão funcionando. No PET, isótopos marcadores radioativos de vida curta são incorporados quimicamente a moléculas biologicamente ativas. A molécula mais comumente usada é a fluorodesoxiglicose (FDG), que é um açúcar. Depois de injetadas no corpo, essas moléculas ativas se concentram nos tecidos de interesse. Depois de um período de espera, que é de cerca de uma hora para a FDG, a aquisição de imagens pode prosseguir e ela ocorre enquanto a emissão de pósitrons pelo isótopo declina. Ao ser emitido, o pósitron percorre apenas alguns milímetros e se aniquila juntamente com um elétron. Secundariamente, há produção de um par de fótons γ que se move em direções opostas. Os detectores do exame PET processam unicamente esses pares de fótons, que são detectados simultaneamente (detecção coincidente). Esses dados são processados e criam uma imagem da atividade do tecido em relação a esse isótopo específico. Essas imagens podem ser fundidas então a imagens de TC ou RM.

Uma limitação do PET é a curta meia-vida dos isótopos. Por esta razão, o acesso próximo de um ciclotron para a geração dos isótopos tem um papel importante na viabilidade dos exames com PET. Os isótopos tipicamente usados na aquisição de imagens médicas e suas meias-vidas são: carbono-11 (~20 min), nitrogênio-13 (~10 min), oxigênio-13 (~2 min) e flúor-18 (~110 min).

Angiografia/radiologia intervencionista

A angiografia teve início em 1927 com Egas Moniz, clínico e neurologista, pela introdução da angiografia cerebral radiográfica contrastada. Em 1949 ele recebeu o Prêmio Nobel por seu trabalho. O campo da angiografia, porém, passou por uma revolução em 1953 com o advento da técnica de Seldinger, em que nenhuma agulha pontiaguda permanecia na luz vascular durante o exame.

Embora começasse pelos exames radiográficos e fluoroscopias de vasos sanguíneos e órgãos do corpo por meio da injeção intravenosa de meios de contraste radiopacos, o campo da angiografia evoluiu muito mais. Muitos dos procedimentos realizados pela angiografia podem ser diagnósticos, e o surgimento de técnicas novas permitiu o advento de procedimentos minimamente invasivos realizados com orientação por imagens; com isso ocorreu a mudança de nome da disciplina para radiologia intervencionista (ou radiologia vascular e intervencionista).

As angiografias são tipicamente realizadas obtendo-se acesso aos vasos sanguíneos; de acordo com a área de interesse a ser examinada, o acesso será feito pela artéria femoral, veia femoral ou veia jugular. As angiografias podem ser obtidas do cérebro como angiografias cerebrais; do coração, como angiografias coronárias; dos pulmões, como angiografias pulmonares, e assim por diante. O exame da circulação arterial e venosa dos membros superiores e inferiores pode demonstrar uma doença vascular periférica. Uma vez efetuado o acesso vascular, cateteres são direcionados para um local específico a ser examinado, por meio de fios-guia. Meios de contraste são injetados por esses cateteres para a visualização radiológica dos vasos ou do órgão.

Além do diagnóstico, tratamentos e/ou intervenções podem ser frequentemente realizados por exames semelhantes à base de cateteres. Esses procedimentos podem envolver angioplastias, em que um balão é colocado em uma área de estenose em um vaso. A área de estenose

pode ser alargada pela insuflação controlada do balão. Em muitos casos, para impedir que essas áreas se estreitem novamente, podem ser colocados stents na luz do vaso ou até mesmo na traqueia ou esôfago.

A radiologia em procedimentos diagnósticos ou intervencionistas pode ser representada por imagens estáticas ou em movimento (cine). A técnica frequentemente usada é designada como angiografia por subtração digital (ASD). Nesse tipo de exame são obtidas imagens a 2-30 instantâneos por segundo, para permitir o estudo do fluxo sanguíneo através dos vasos. Essa imagem em "máscara" é então subtraída eletronicamente de todas as imagens, deixando-se apenas os vasos preenchidos por meio de contraste. Essa técnica exige que o paciente permaneça imóvel para que se obtenha um resultado adequado.

Podem ser realizadas angiografias do coração para se avaliar o tamanho e a contratilidade das câmaras e a anatomia dos vasos coronários. O tórax também pode ser estudado para se avaliar as artérias e as veias pulmonares quanto a malformações vasculares, coágulos sanguíneos e possíveis causas de hemoptise. Imagens do pescoço são frequentemente obtidas para a identificação dos vasos que suprem o encéfalo desde sua origem no arco da aorta até os vasos do encéfalo para a investigação de uma doença aterosclerótica, malformações vasculares e suprimento sanguíneo de tumores. O estudo da artéria renal pode elucidar a causa de uma hipertensão específica, assim como a investigação dos vasos mesentéricos pode descobrir a origem de sangramentos gastrointestinais ou de angina mesentérica.

Além de angiografias e venografias, a radiologia intervencionista realiza também procedimentos como a embolização por "coils" de aneurismas e malformações vasculares, angioplastia com balão e colocação de stents, quimioembolização diretamente dentro de tumores, inserções de cateteres para drenagem, embolizações (p. ex., embolização da artéria uterina para o tratamento de fibroides uterinos), trombólise para a dissolução de coágulos sanguíneos, biópsia de tecidos (percutânea ou transvascular), ablação por radiofrequência e criablação de tumores, inserção de acesso vascular especializado, colocação de filtros na veia cava inferior, vertebroplastia, colocação de nefrostomias, colocação de sondas de gastrostomia para alimentação, acesso para diálise, realização de DITP (derivação intra-hepática transjugular portossistêmica) intervenções biliares e, mais recentemente, ablação intravenosa a laser de veias varicosas.

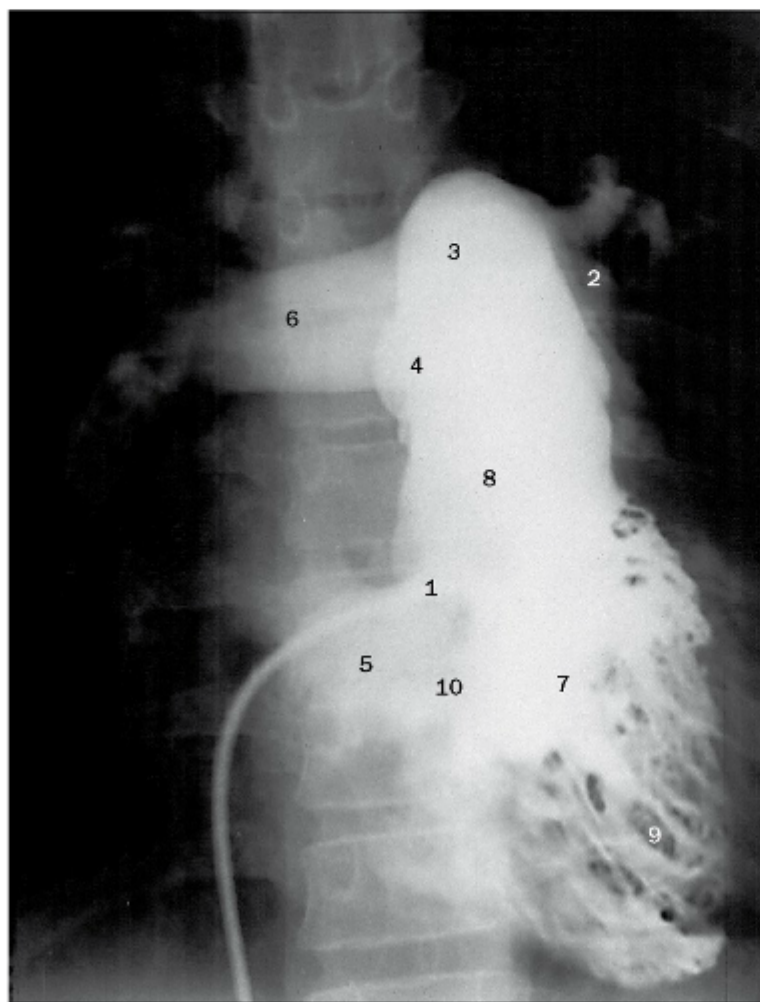
Tomografia computadorizada

A limitação de todas as técnicas radiográficas simples é a representação bidimensional de estruturas tridimensionais: o coeficiente de atenuação linear de todos os tecidos no trajeto do feixe de raios X forma a imagem.

A tomografia computadorizada (TC) obtém uma série de diferentes projeções radiográficas angulares que são processadas por um computador para se obter um corte de espessura especificada. A imagem tomográfica compreende uma matriz regular de elementos figurados (pixels). Todos os tecidos contidos no pixel atenuam as projeções radiográficas e acarretam um valor de atenuação médio para o pixel. Esse valor é comparado ao valor de atenuação da água e é mostrado em uma escala (a escala Hounsfield). A água tem atenuação de 0 unidades Hounsfield (UH); o ar tipicamente tem -1.000 UH; o tecido adiposo tem aproximadamente -100 UH; os tecidos moles estão na faixa de +20 a +7 UH; e os ossos têm geralmente mais de +400 UH.

Os modernos aparelhos de TC helicoidal *multislice* podem obter imagens em tempos inferiores a um segundo. O estudo de todo o corpo, da parte superior da cabeça até os membros inferiores, pode ser realizado com uma única suspensão da respiração por alguns segundos. A rapidez na aquisição das imagens possibilita o estudo dinâmico de artérias e veias em momentos diferentes após a injeção de meios de contraste intravenosos. A aquisição contínua de dados por um aparelho de TC helicoidal permite a reconstrução da imagem em qualquer plano, comumente os planos sagital e coronal, conforme será mostrado em muitos dos capítulos subsequentes. Esse estudo ortogonal melhora a compreensão dos aspectos tridimensionais da anatomia radiológica e faz parte da rotina da avaliação de doenças.

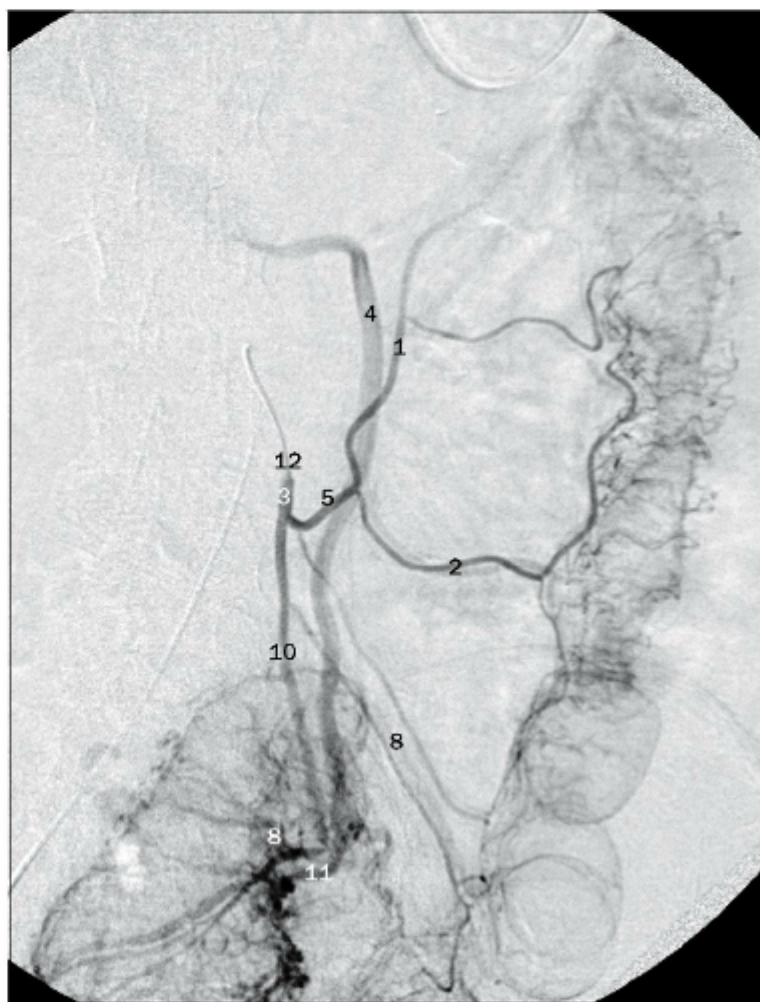
As imagens digitais são armazenadas em um arquivo e passam a fazer parte de um registro eletrônico de armazenamento que está se tornando comum em todo o mundo, o PACS (Picture Archiving and Communication System). O PACS permite o acesso das imagens por uma rede eletrônica, de modo que aquelas imagens (e respectivos laudos) possam ser visualizadas à distância, por exemplo nas enfermarias ou em um outro hospital. O Electronic Patient Record (EPR), em que são armazenadas todas as informações dos pacientes, desenvolveu-se rapidamente e vem obtendo aceitação, o que permitiu melhoras acentuadas no manejo dos dados.



Angiografia ventricular direita (p.112).

Não é necessário um preparo específico para os exames de TC do encéfalo, da coluna vertebral ou do sistema musculoesquelético. Os estudos do tórax, do abdome e da pelve geralmente requerem a administração intravenosa de um meio de contraste iodado, que opacifica as artérias e veias e define claramente suas relações. A opacificação do intestino para mostrar o colo em estudos de TC do abdome e da pelve pode ser realizada pela ingestão oral de um meio de contraste hidrossolúvel 24 horas antes do exame, combinada à ingestão oral adicional cerca de 0-60 minutos antes do exame, para o delineamento do estômago e do intestino delgado. Ocasionalmente pode ser necessária a administração direta de um meio contraste retal para a demonstração da região distal do intestino grosso.

Geralmente todos os estudos são realizados com o paciente em decúbito dorsal, e as imagens são obtidas no plano transversal ou axial. Os modernos aparelhos de TC permitem até 25° de angulação da mesa, o que é particularmente útil para a aquisição de imagens espinais. Ocasionalmente, imagens coronais são obtidas de forma direta na investigação de anormalidades cranianas e maxilofaciais; nesses casos, o paciente fica em decúbito ventral, com o pescoço estendido e a mesa apropriadamente angulada, mas essa técnica foi em grande parte sobrepujada pelos estudos ortogonais descritos anteriormente.



Arteriografia mesentérica inferior (p.186).

(página deixada intencionalmente em branco)

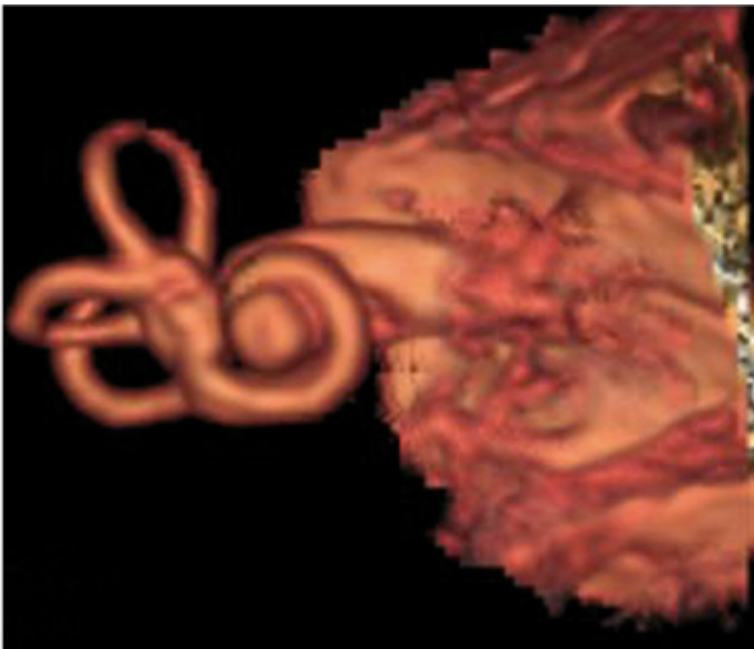
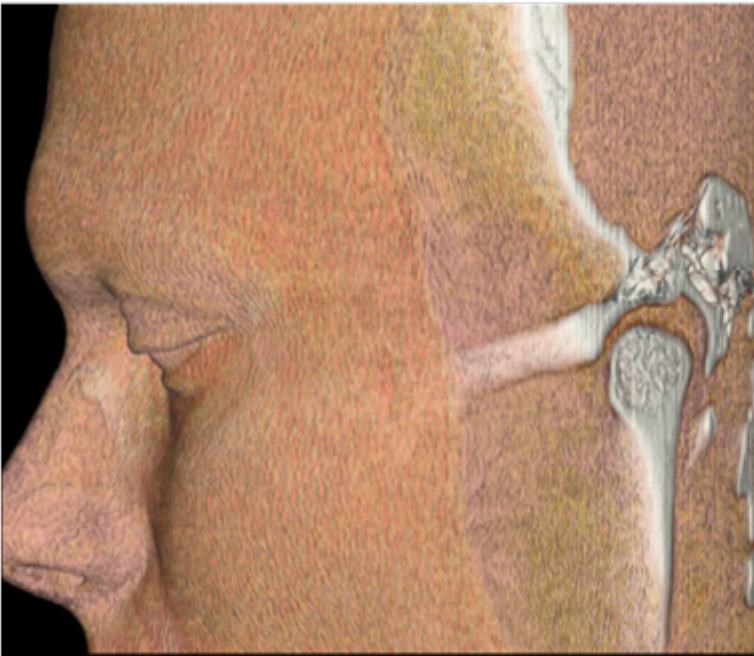
Sumário

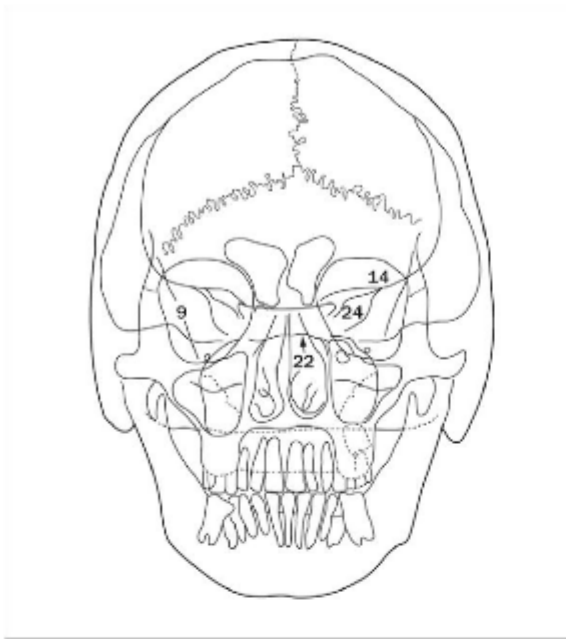
Revisão Científica e Tradução	v
Agradecimentos e Dedicatória	vii
Prefácio à quarta edição	ix
Prefácio à primeira edição	ix
Introdução	xi
1. Cabeça, pescoço e encéfalo	1
2. Coluna vertebral e medula espinal	55
3. Membro superior	67
4. Tórax	89
5. Abdome e pelve — Corte transversal	123
6. Abdome e pelve — Outros planos	171
7. Membro inferior	207
8. Medicina nuclear	235
Índice remissivo	

(página deixada intencionalmente em branco)

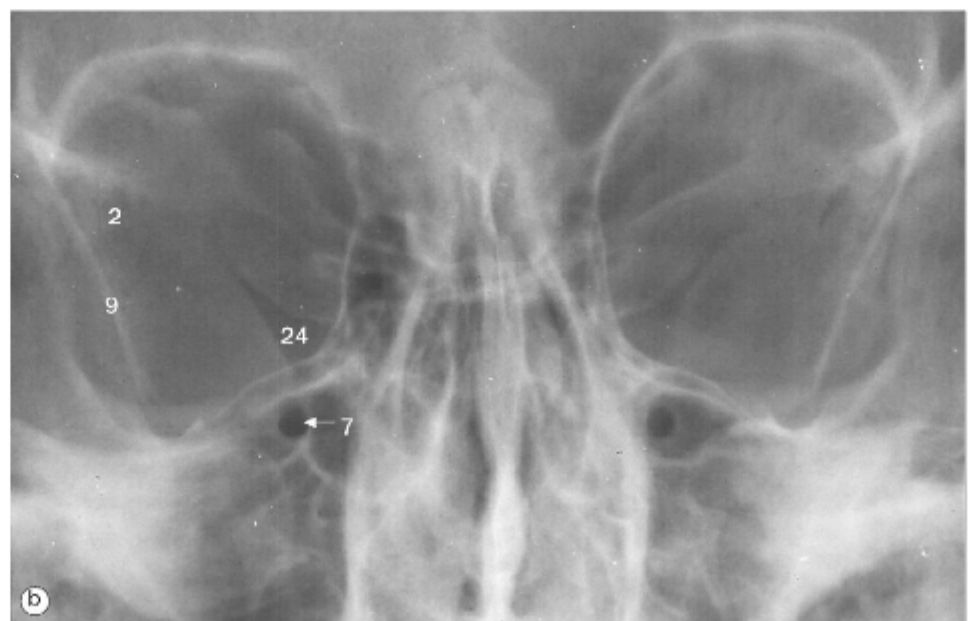
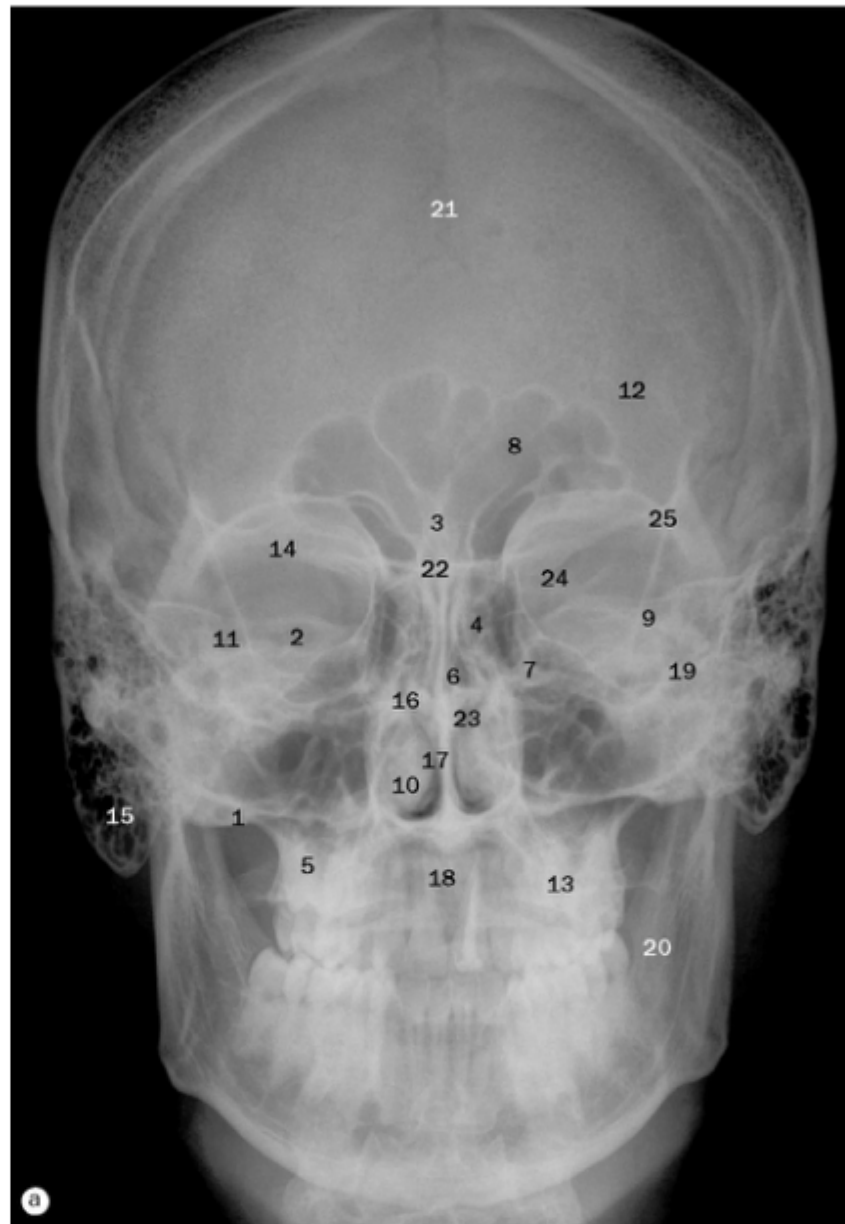
1

Cabeça, pescoço e encéfalo

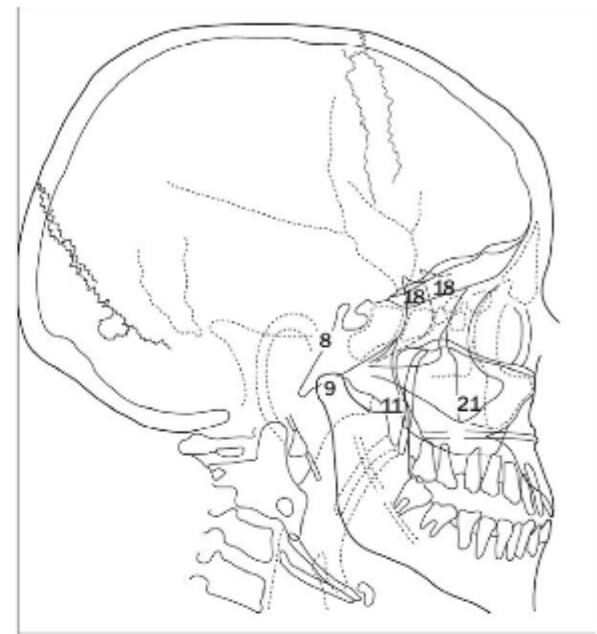
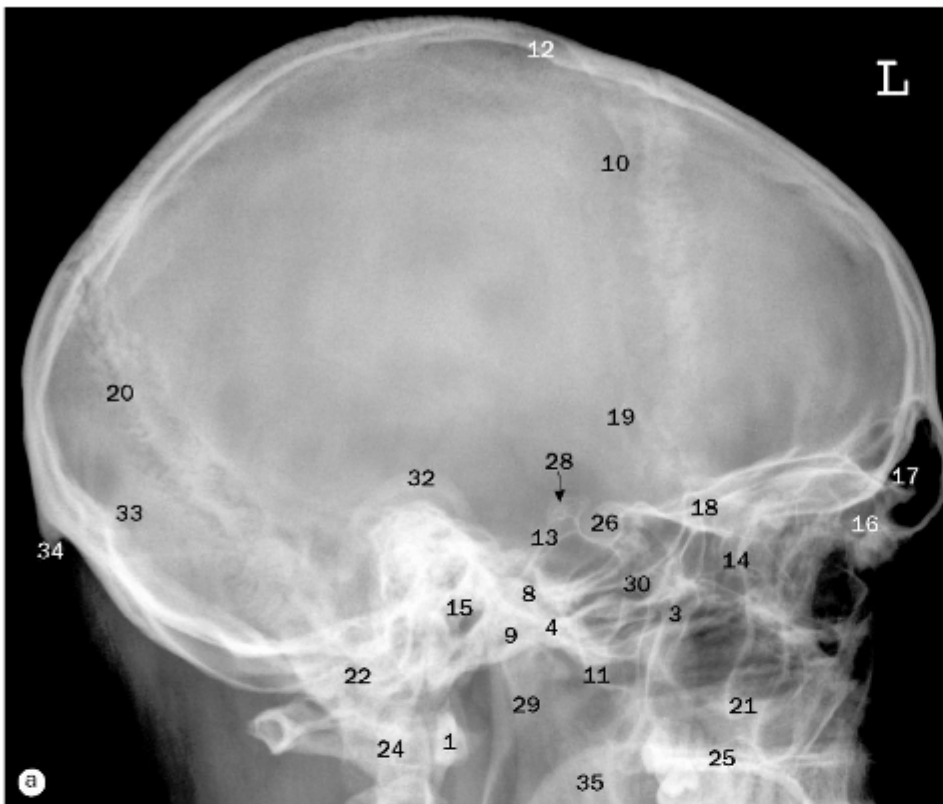




(a) Crânio, projeção occipitofrontal.
 (b) Crânio, demonstrando os forames redondos, projeção occipitofrontal.



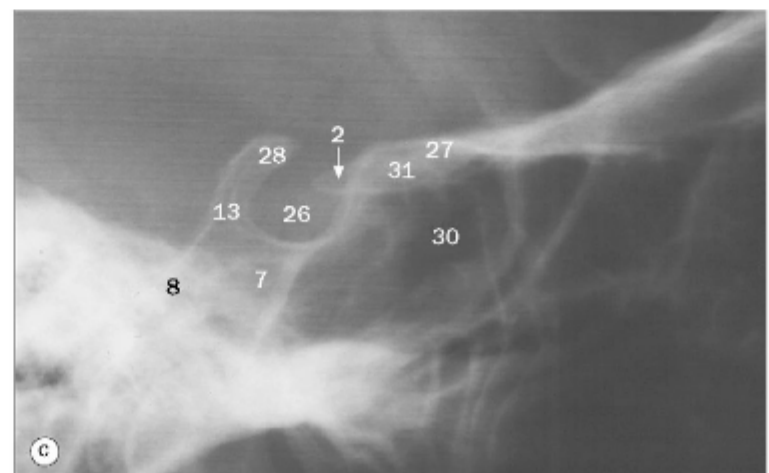
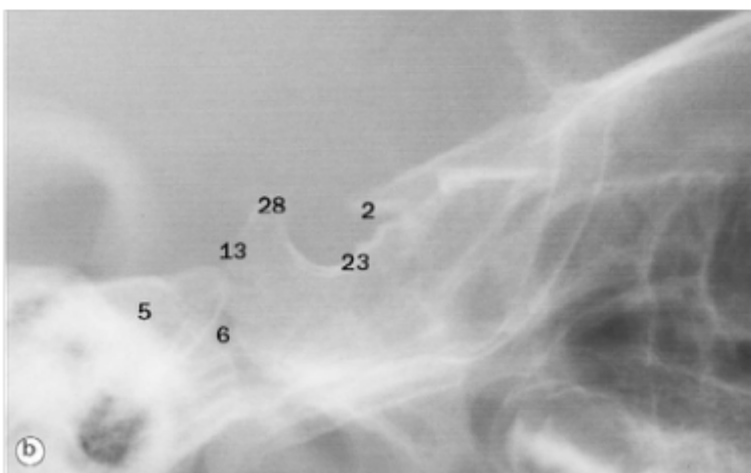
- 1 Parte basilar do osso occipital
- 2 Corpo do esfenóide
- 3 Crista etmoidal
- 4 Células etmoidais
- 5 Assoalho do seio maxilar (antro)
- 6 Assoalho da fossa hipofisial
- 7 Forame redondo
- 8 Seio frontal
- 9 Asa maior do esfenóide
- 10 Concha nasal inferior
- 11 Meato acústico interno
- 12 Sutura lambdóideia
- 13 Massa lateral do atlas (primeira vértebra cervical)
- 14 Asa menor do esfenóide
- 15 Processo mastoide
- 16 Concha nasal média
- 17 Septo nasal
- 18 Dente do eixo (segunda vértebra cervical)
- 19 Parte petrosa do osso temporal
- 20 Ramo da mandíbula
- 21 Sutura sagital
- 22 Plano esfenoidal
- 23 Seio esfenoidal
- 24 Fissura orbital superior
- 25 Face temporal da asa maior do esfenóide

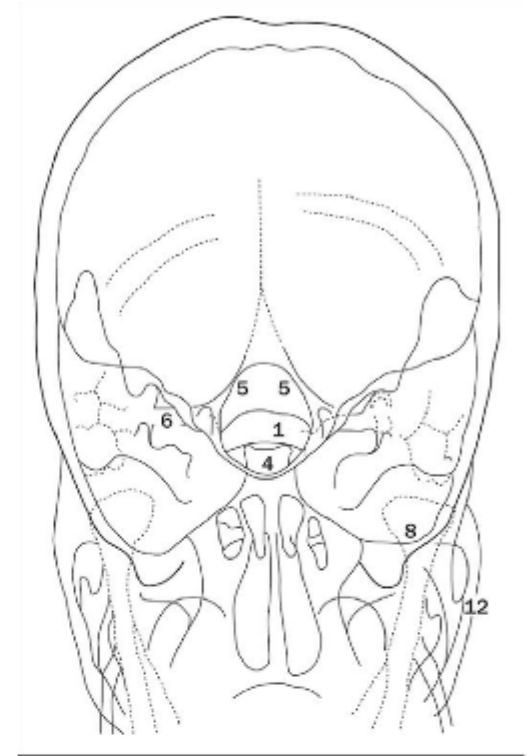
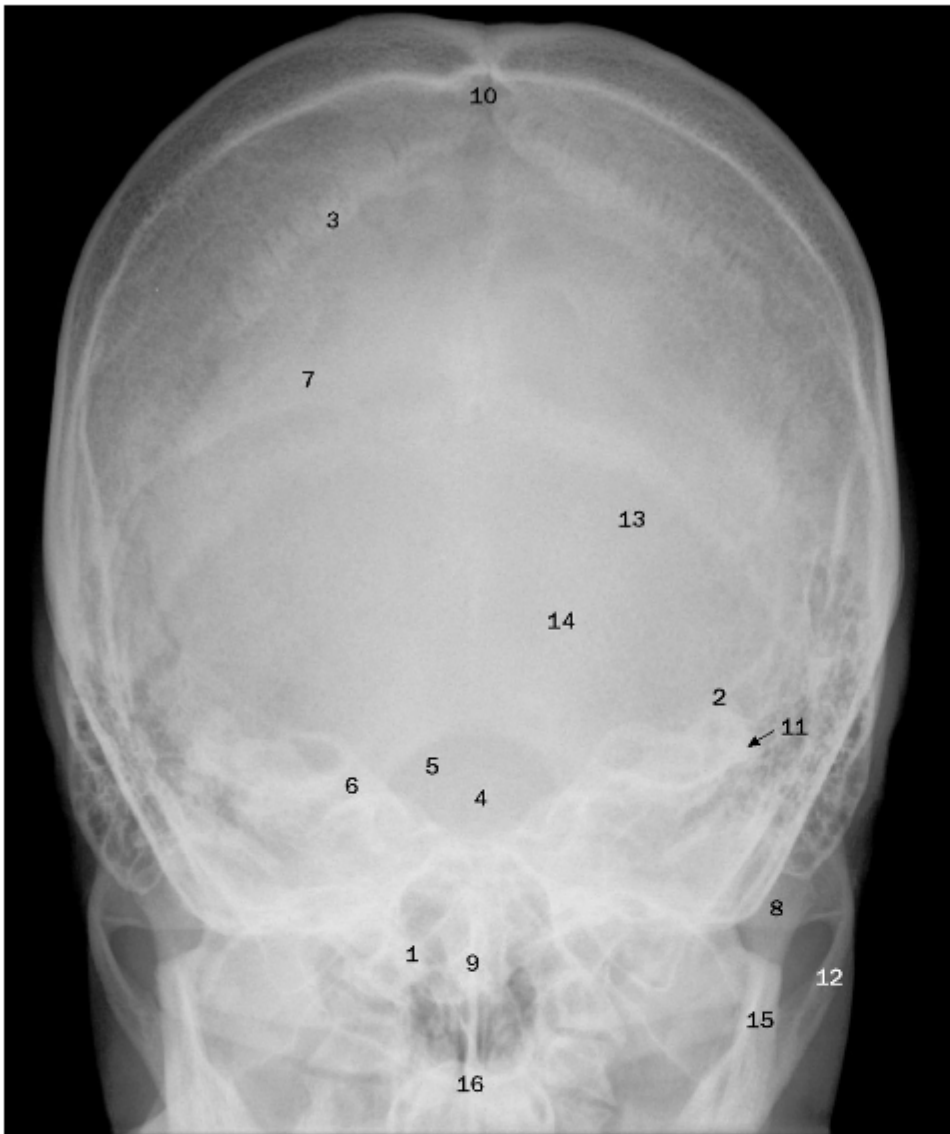


(a) Crânio, projeção lateral.

Fossa hipofisial (sela turca), (b) de uma criança de 7 anos, (c) de uma mulher de 23 anos, projeções laterais.

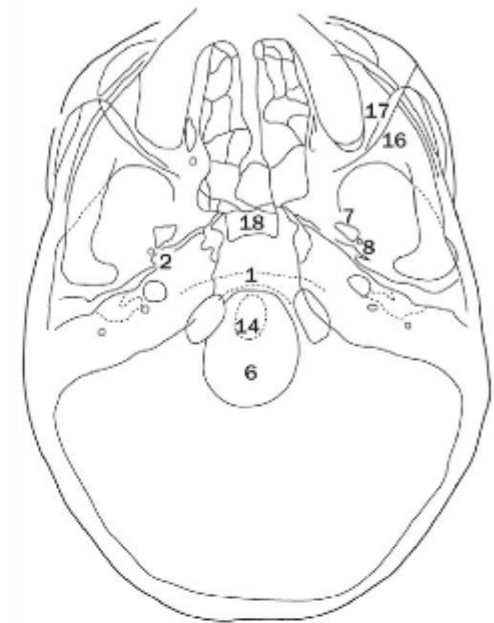
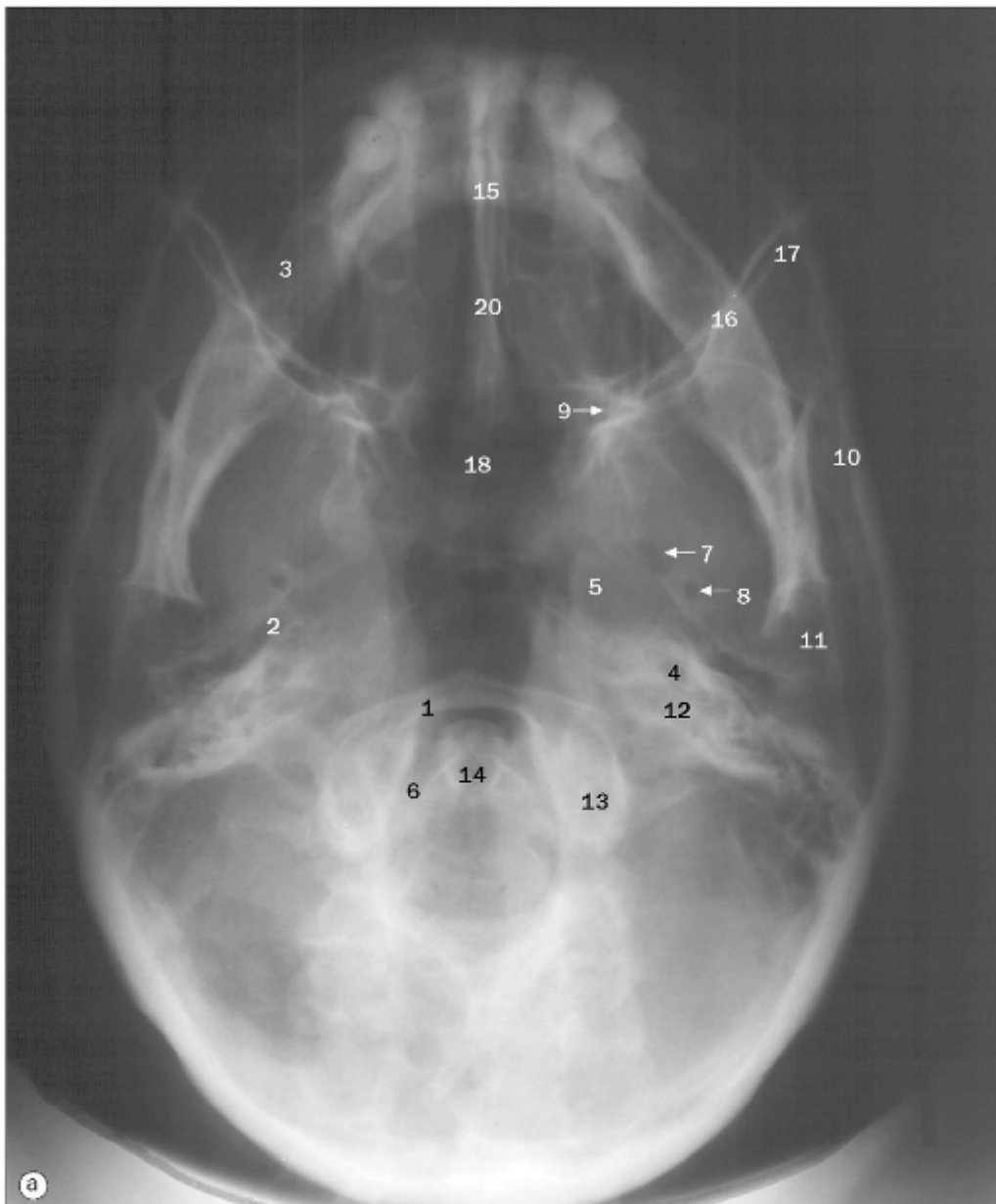
- | | | |
|--|--|--|
| 1 Arco anterior do atlas (primeira vértebra cervical) | 12 Díploe | 24 Dente do eixo (segunda vértebra cervical) |
| 2 Processo clinoide anterior | 13 Dorso da sela | 25 Processo palatino da maxila |
| 3 Arco zigomático | 14 Células etmoidais | 26 Fossa hipofisial (sela turca) |
| 4 Tubérculo articular para a articulação temporomandibular | 15 Meato acústico externo | 27 Plano esfenoidal |
| 5 Parte basilar do osso occipital | 16 Processo frontal do zigomático | 28 Processo clinoide posterior |
| 6 Sincondrose esfenoccipital | 17 Seio frontal | 29 Ramo da mandíbula |
| 7 Sulco carótico | 18 Asa maior do esfenóide | 30 Seio esfenoidal |
| 8 Clivo | 19 Sulcos para os vasos meníngeos médios | 31 Tubérculo da sela |
| 9 Processo condilar da mandíbula | 20 Sutura lambdóideia | 32 Hélice da orelha externa |
| 10 Sutura coronal | 21 Processo zigomático da maxila | 33 Ínio |
| 11 Processo coronoide da mandíbula | 22 Células aéreas mastóideas | 34 Protuberância occipital externa |
| | 23 Processo clinoide médio | 35 Palato mole |



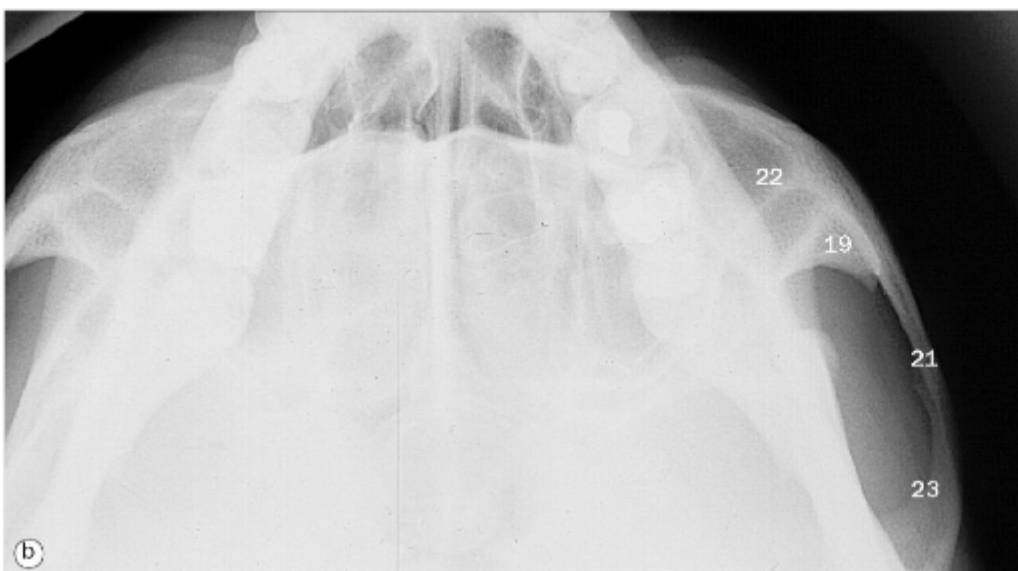


Crânio, projeção occipitofrontal a 30° (Towne).

- 1 Arco do atlas (primeira vértebra cervical)
- 2 Eminência arqueada do osso temporal
- 3 Sutura coronal
- 4 Dorso da sela
- 5 Forame magno
- 6 Meato acústico interno
- 7 Sutura lambdóideia
- 8 Processo condilar da mandíbula
- 9 Dente do eixo (segunda vértebra cervical)
- 10 Sutura sagital
- 11 Canal semicircular superior
- 12 Arco zigomático
- 13 Sulco do seio transversos
- 14 Escama occipital
- 15 Mandíbula
- 16 Septo nasal

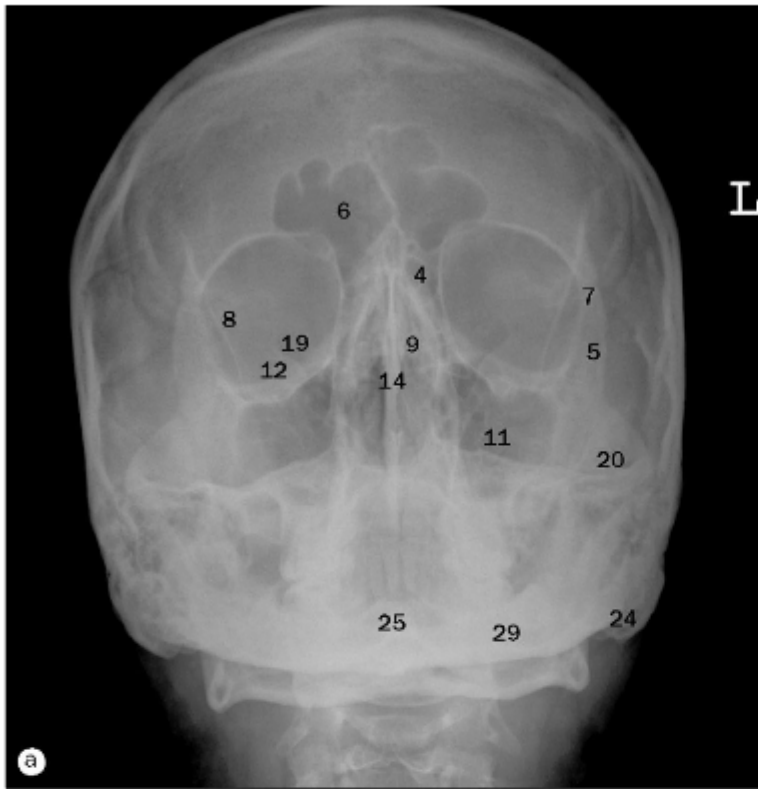


(a) Crânio, projeção submentovertical.
 (b) Crânio, com angulação adicional para os arcos zigomáticos, projeção submentovertical.

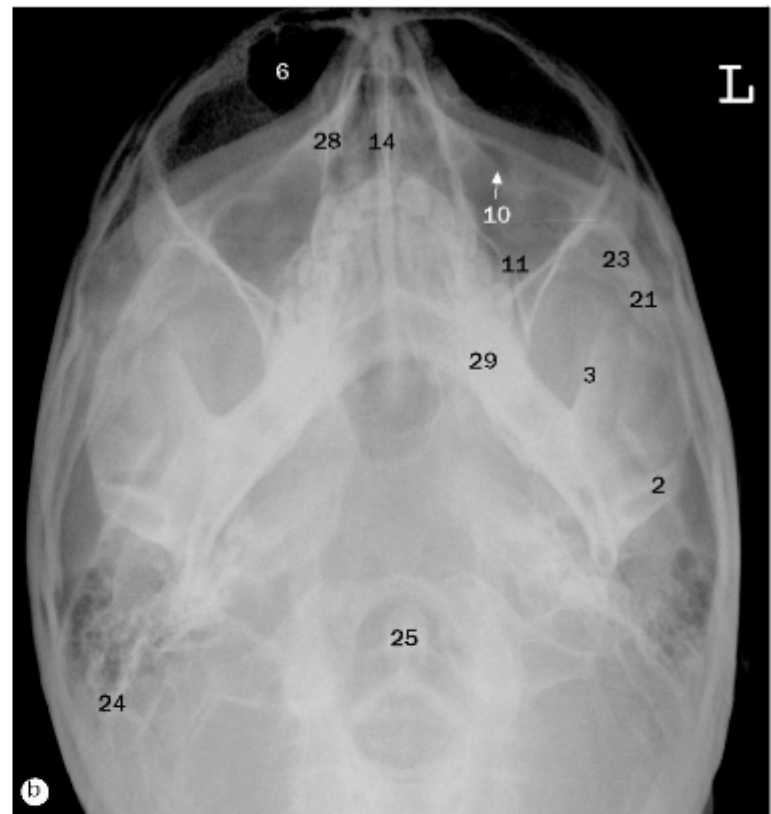


- 1 Arco anterior do atlas (primeira vértebra cervical)
- 2 Tuba auditiva
- 3 Corpo da mandíbula
- 4 Canal carótico
- 5 Forame lacerado
- 6 Forame magno
- 7 Forame oval
- 8 Forame espinhoso
- 9 Forame palatino maior
- 10 Asa maior do esfenóide
- 11 Cabeça da mandíbula
- 12 Forame jugular
- 13 Côndilo occipital
- 14 Dente do eixo (segunda vértebra cervical)
- 15 Lâmina perpendicular do etmoide
- 16 Margem posterior da órbita
- 17 Parede posterior do seio maxilar (antro)
- 18 Seio esfenoidal
- 19 Processo temporal do osso zigomático
- 20 Vômer
- 21 Arco zigomático
- 22 Osso zigomático
- 23 Processo zigomático do osso temporal

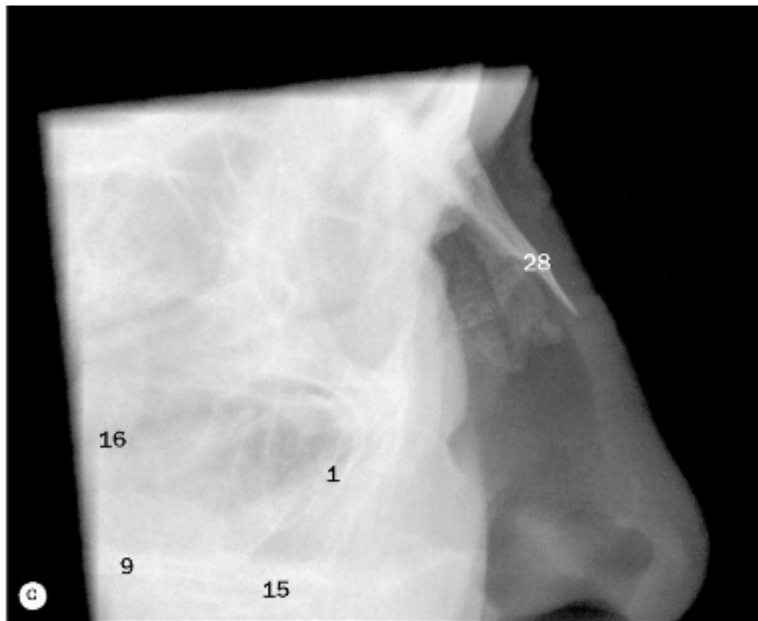
6 Ossos da face e seios paranasais



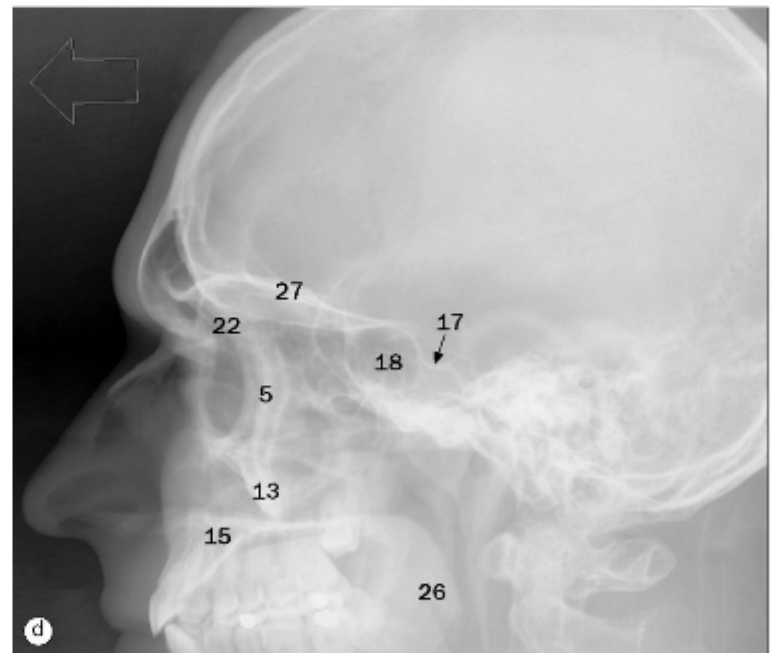
(a) Projeção occipitofrontal modificada.



(b) Projeção occipitomentual.

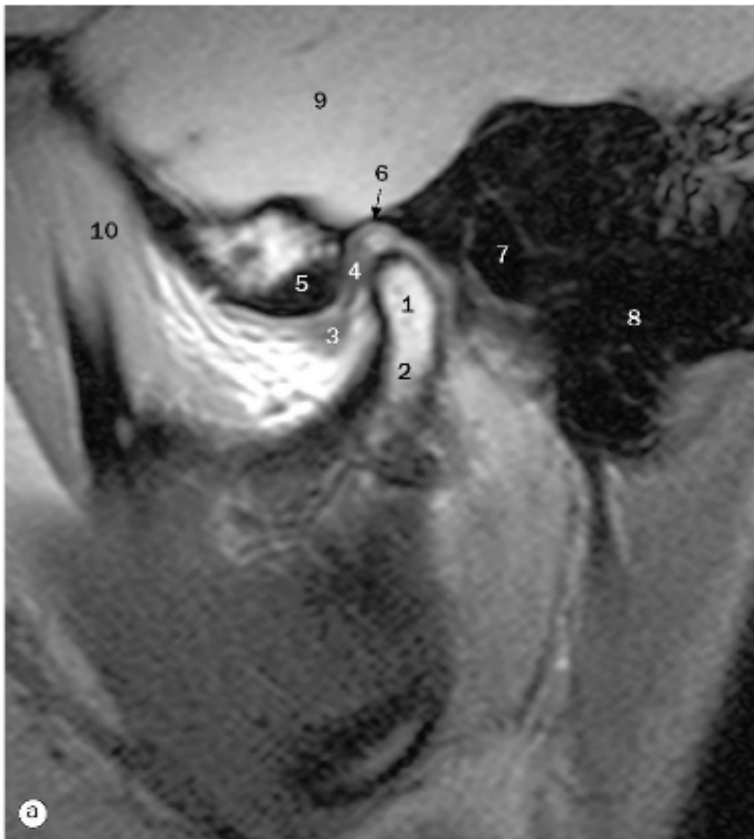


(c) Projeção lateral dos ossos nasais.

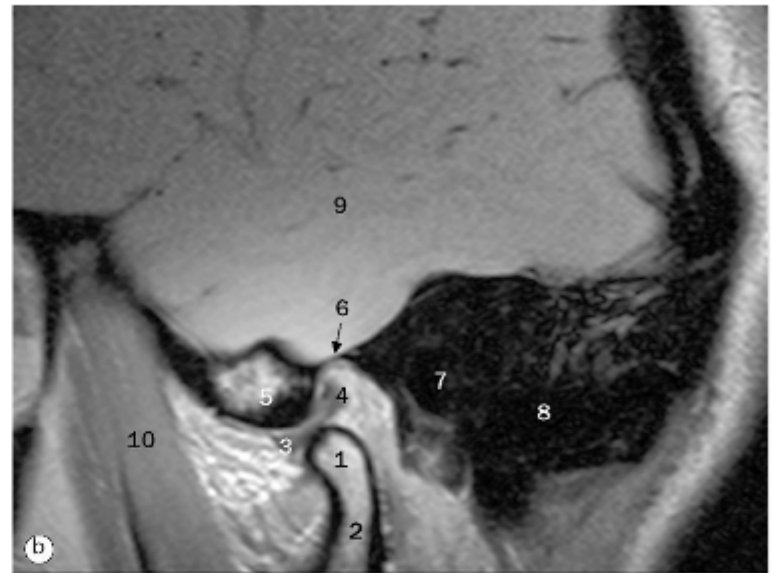


(d) Projeção lateral dos seios paranasais.

- | | | |
|---|---|--|
| 1 Parede anterior do seio maxilar (antro) | 11 Seio maxilar esquerdo (antro) | 21 Arco zigomático |
| 2 Processo condilar da mandíbula | 12 Asa menor do esfenóide | 22 Processo zigomático do osso frontal |
| 3 Processo coronoide da mandíbula | 13 Processo zigomático da maxila | 23 Processo zigomático do osso temporal |
| 4 Células etmoidais | 14 Septo nasal | 24 Processo mastoide |
| 5 Processo frontal do osso zigomático | 15 Processo palatino da maxila | 25 Dente do eixo |
| 6 Seio frontal | 16 Parede posterior do seio maxilar (antro) | 26 Palato mole |
| 7 Sutura frontozigomática | 17 Sela turca | 27 Assoalho da fossa posterior do crânio |
| 8 Asa maior do esfenóide | 18 Seio esfenoidal | 28 Ossos nasais |
| 9 Lâmina horizontal do osso palatino | 19 Fissura orbital superior | 29 Mandíbula |
| 10 Forame infraorbital | 20 Processo temporal do osso zigomático | |

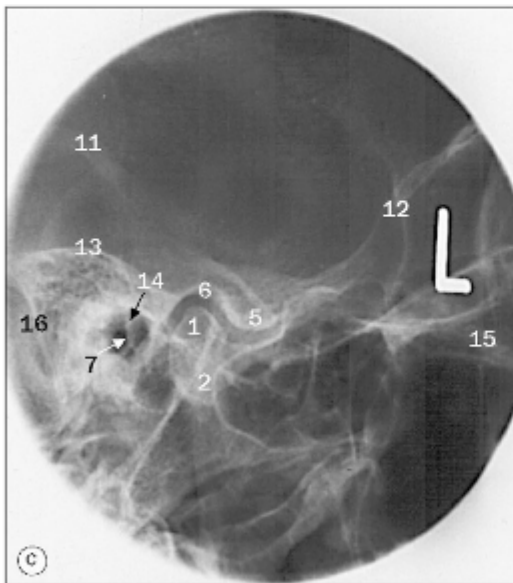


(a) RM da articulação temporomandibular: fechada.



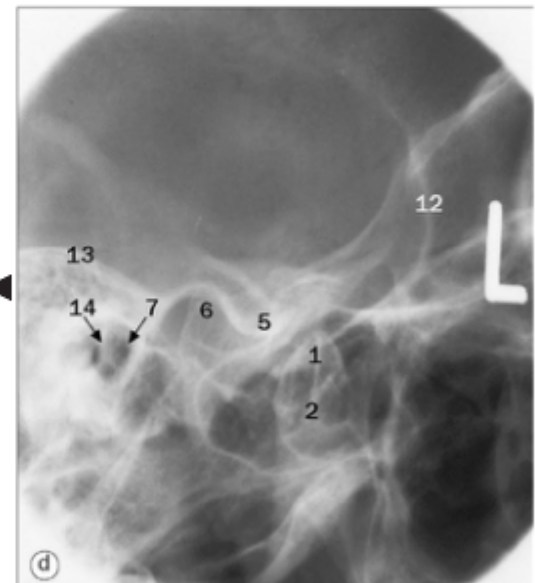
(b) RM da articulação temporomandibular: aberta.

RM da articulação temporomandibular com o indivíduo olhando para a esquerda.



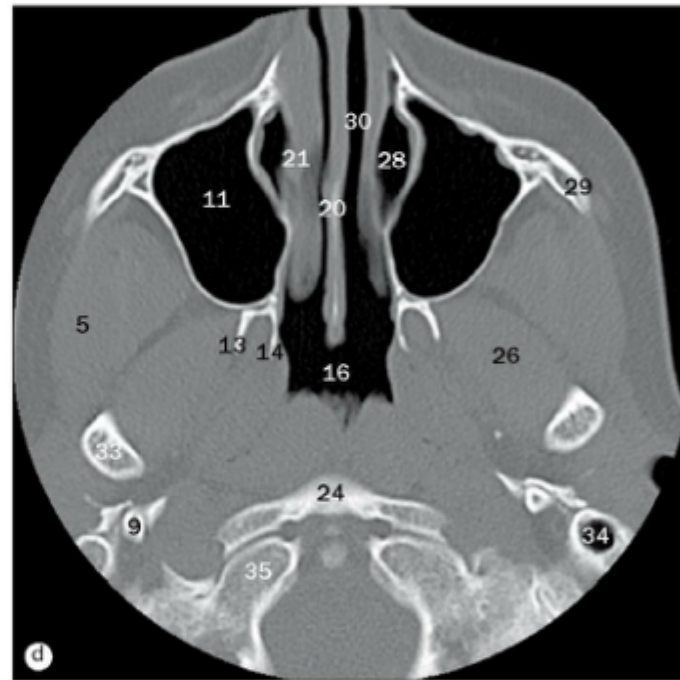
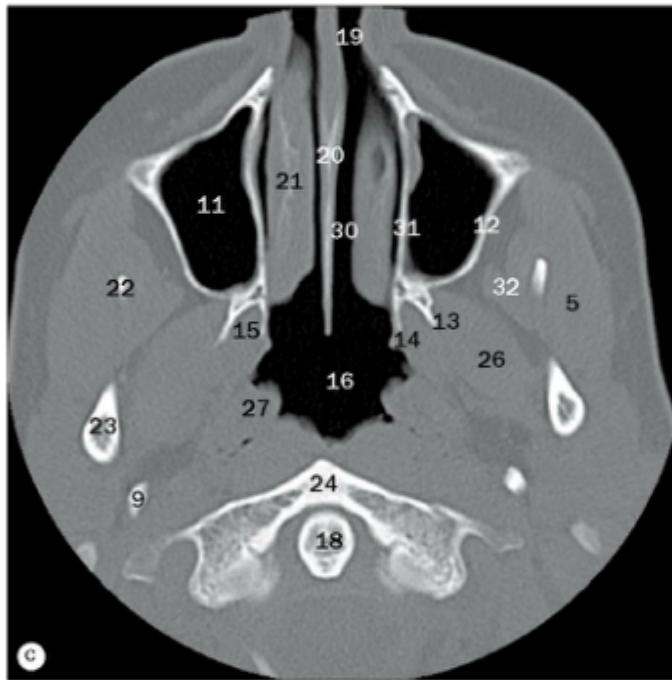
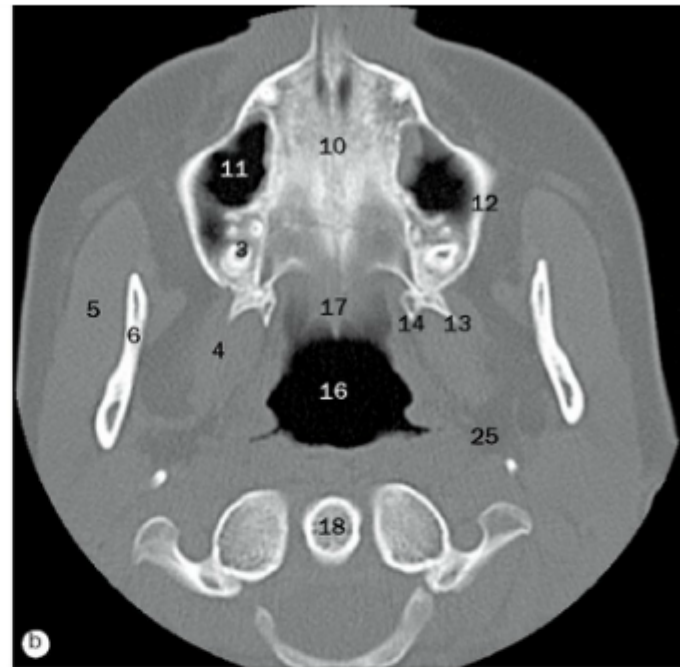
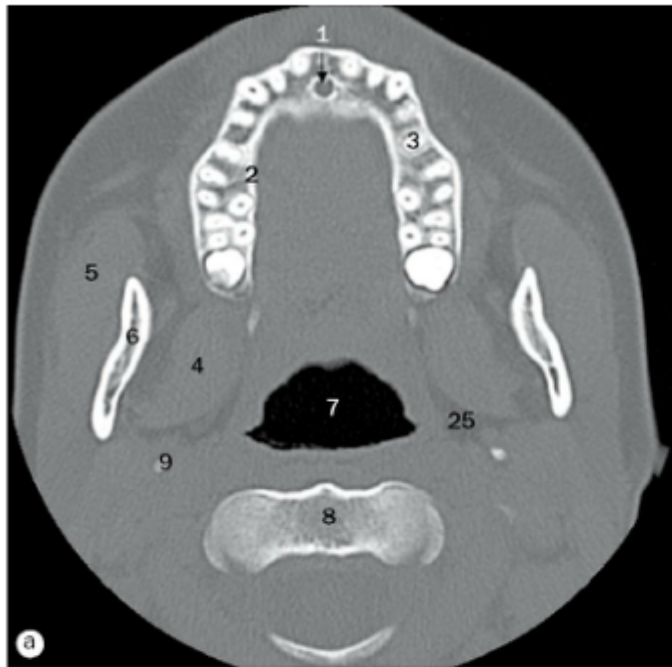
(c) Radiografia da articulação temporomandibular: fechada.

- 1 Processo condilar da mandíbula (cabeça da mandíbula)
- 2 Processo condilar da mandíbula (colo da mandíbula)
- 3 Faixa anterior do disco articular
- 4 Faixa posterior do disco articular
- 5 Tubérculo articular
- 6 Fossa mandibular
- 7 Meato acústico externo
- 8 Processo mastoide do osso temporal
- 9 Lobo temporal do cérebro
- 10 Músculo temporal
- 11 Hélice da orelha externa
- 12 Asa maior do esfenóide
- 13 Tegme timpânico
- 14 Martelo
- 15 Processo zigomático do osso temporal
- 16 Sulco do seio sigmóideo



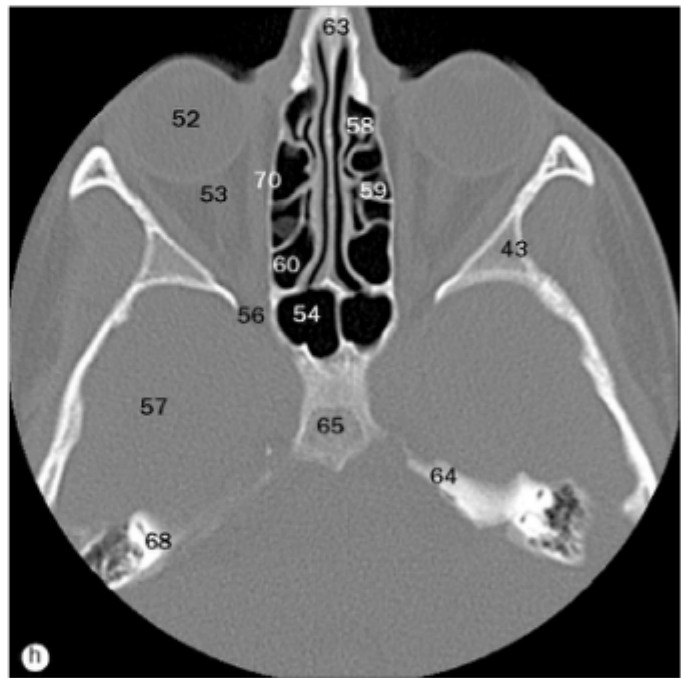
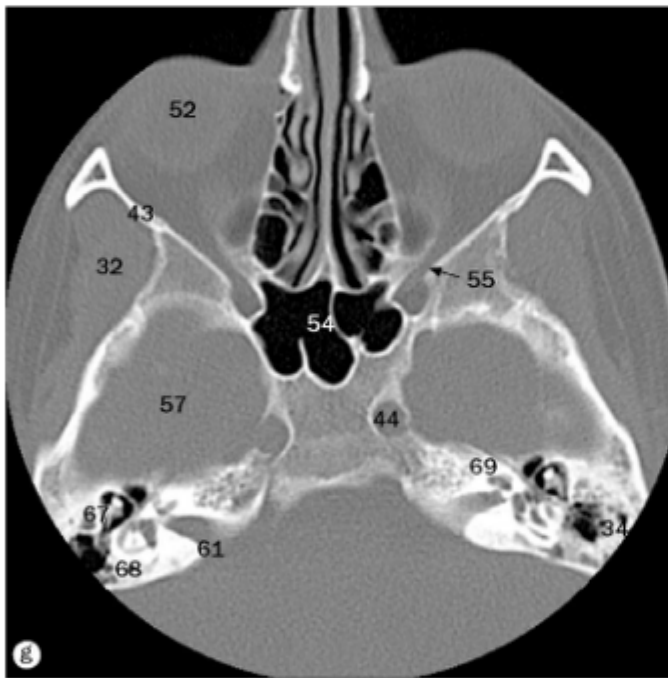
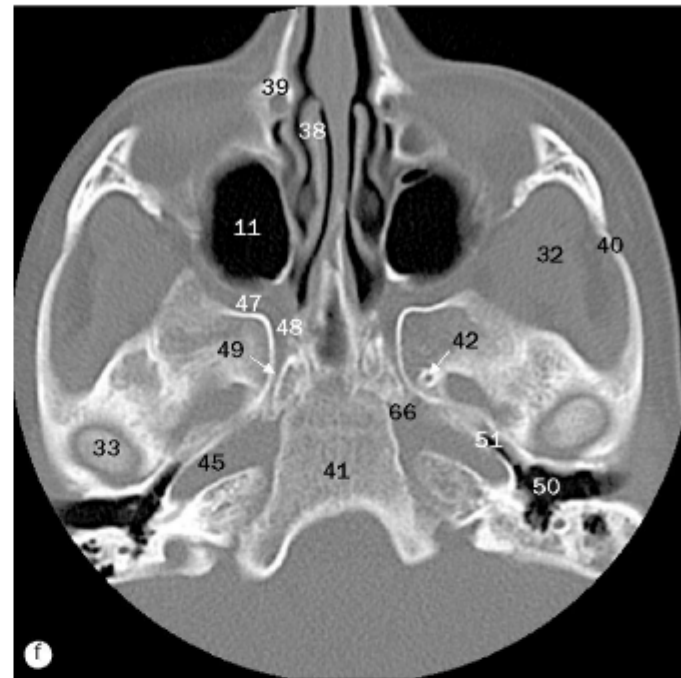
(d) Radiografia da articulação temporomandibular: aberta.

Radiografias da articulação temporomandibular com o indivíduo olhando para a direita.



Ossos da face e seios paranasais, imagens axiais de TC demonstradas nos seguintes níveis: (a) processo alveolar da maxila, (b) palato duro, (c) narinas, (d) seio maxilar, (e) concha nasal média, (f) arco zigomático, (g) seio esfenoidal, (h) células etmoidais.

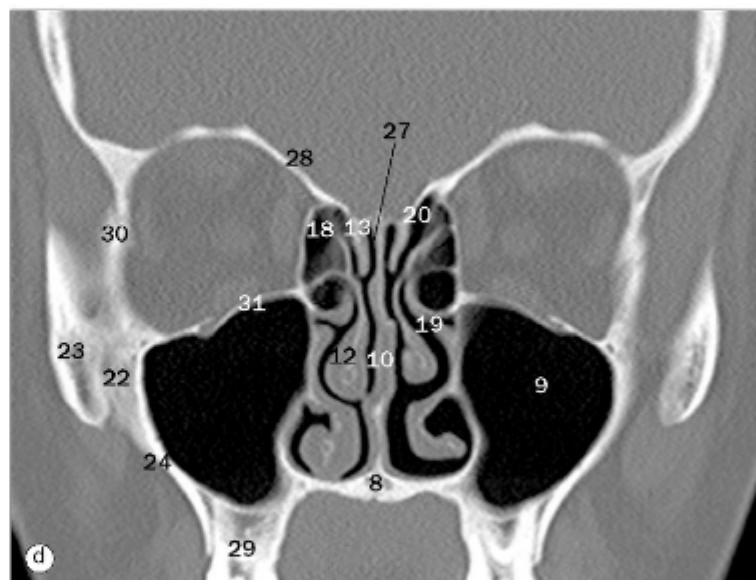
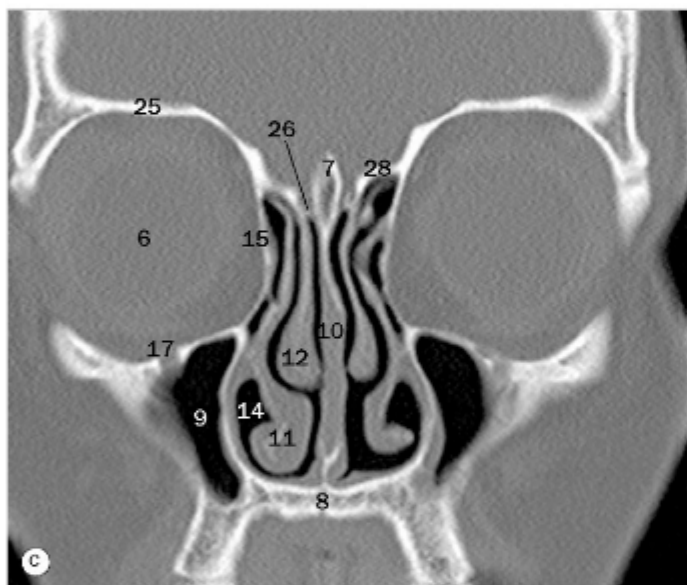
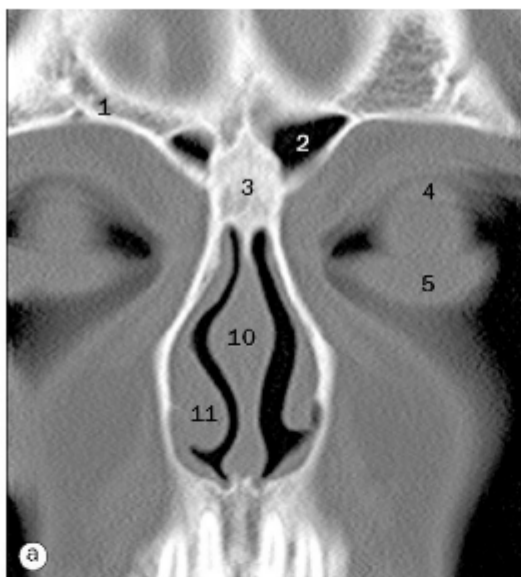
- | | | |
|---|--|--|
| 1 Canal incisivo | 14 Lâmina medial do processo pterigoide | 25 Espaço parafaríngeo |
| 2 Arco alveolar | 15 Fossa pterigóidea | 26 Músculo pterigóideo lateral |
| 3 Alvéolo dental | 16 Parte nasal da faringe | 27 Toro tubário |
| 4 Músculo pterigóideo medial | 17 Vômer | 28 Meato nasal inferior (no local da abertura do ducto lacrimonasal) |
| 5 Músculo masseter | 18 Dente do eixo | 29 Arco zigomático |
| 6 Ramo da mandíbula | 19 Narinas | 30 Cavidade nasal |
| 7 Parte oral da faringe | 20 Septo nasal | 31 Parede medial do seio maxilar (antro) |
| 8 Corpo da vértebra C2 | 21 Concha nasal inferior | 32 Músculo temporal |
| 9 Processo estiloide | 22 Processo coronoide da mandíbula | 33 Processo condilar da mandíbula (cabeça da mandíbula) |
| 10 Palato duro | 23 Processo condilar da mandíbula (colo da mandíbula) | 34 Células mastóideas |
| 11 Seio maxilar (antro) | 24 Arco anterior do atlas (primeira vértebra cervical) | |
| 12 Parede lateral do seio maxilar (antro) | | |
| 13 Lâmina lateral do processo pterigoide | | |



35 Côndilo occipital
 36 Concha nasal média
 37 Meato nasal médio
 38 Concha nasal superior
 39 Ducto lacrimonasal
 40 Arco zigomático
 41 Clivo
 42 Forame espinhoso
 43 Asa maior do esfenóide
 44 Porção cavernosa da artéria carótida interna (parte cavernosa)
 45 Porção petrosa horizontal do canal da artéria carótida interna

46 Porção petrosa vertical do canal da artéria carótida interna
 47 Fossa pterigopalatina
 48 Forame redondo
 49 Canal pterigóideo
 50 Cavidade da orelha média
 51 Tuba auditiva
 52 Bulbo do olho
 53 Nervo óptico
 54 Seio esfenoidal
 55 Fissura orbital inferior
 56 Fissura orbital superior
 57 Lobo temporal

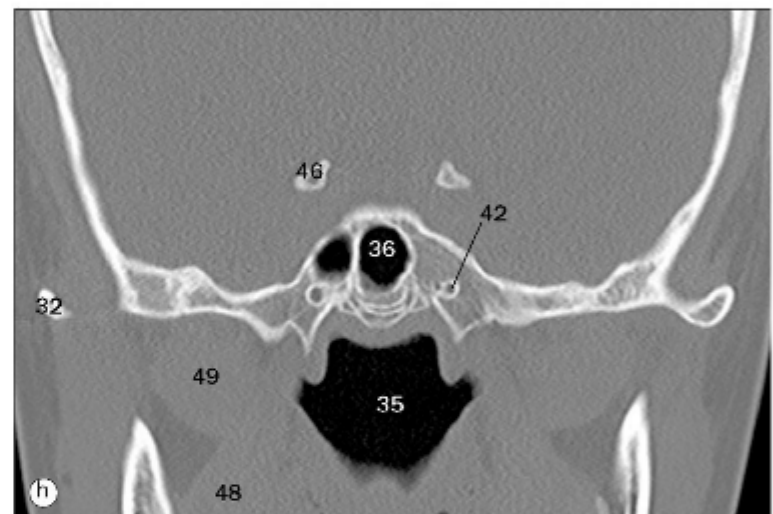
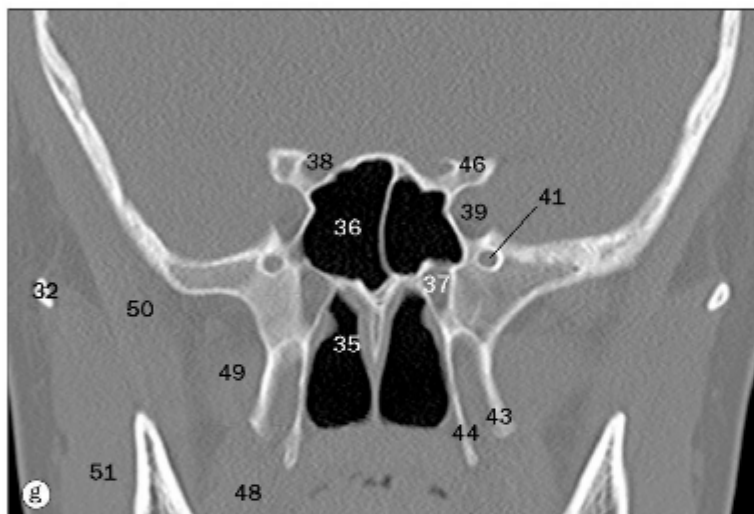
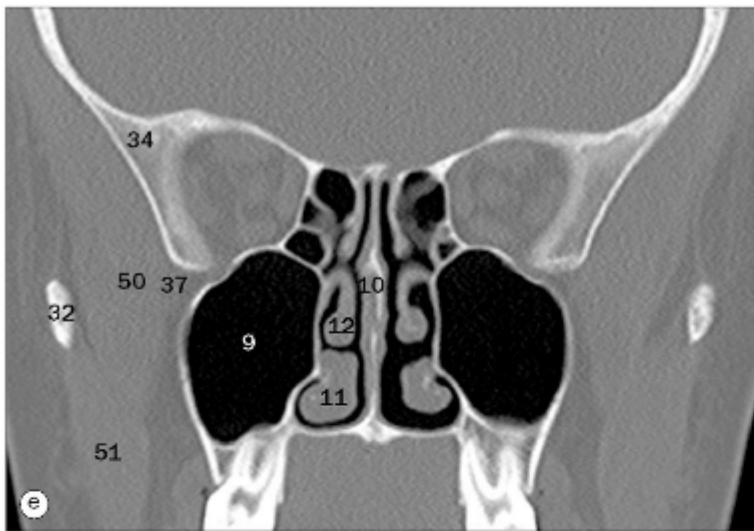
58 Células etmoidais anteriores
 59 Células etmoidais médias
 60 Células etmoidais posteriores
 61 Meato acústico interno
 62 Meato acústico externo
 63 Osso nasal
 64 Ápice da parte petrosa
 65 Assoalho da sela turca
 66 Forame lacerado
 67 Ossículos da orelha média (bigorna e martelo)
 68 Canais semicirculares da orelha interna
 69 Cóclea da orelha interna
 70 Lâmina orbital



Seios paranasais, imagens coronais de TC demonstradas nos seguintes níveis: (a) seios frontais, (b) ducto lacrimonasal, (c) lâmina cribriiforme, (d) células etmoidais anteriores, (e) células etmoidais médias, (f) fossa pterigopalatina, (g) seio esfenoidal, (h) parte nasal da faringe.

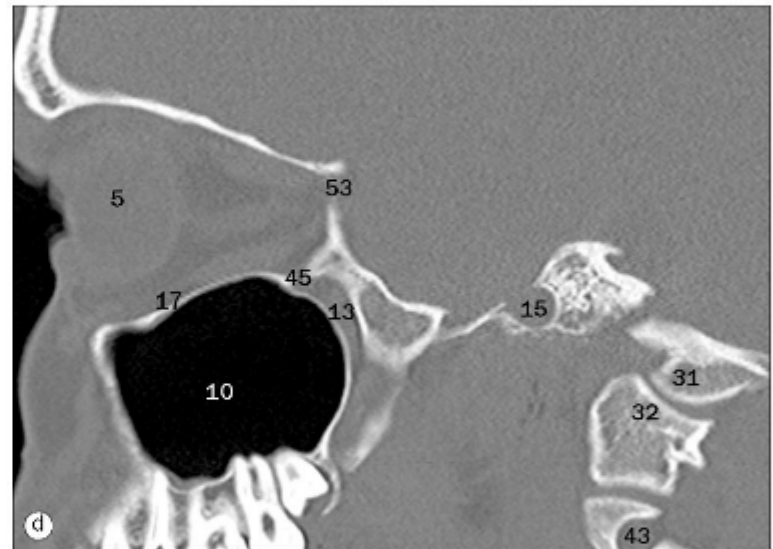
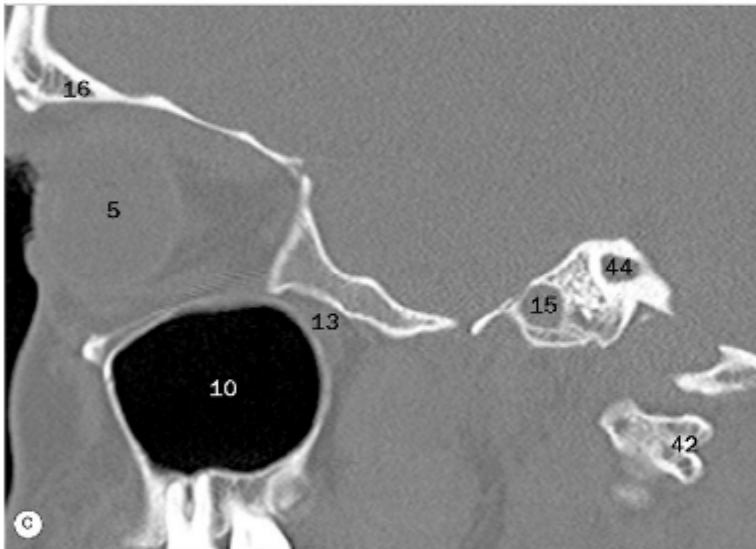
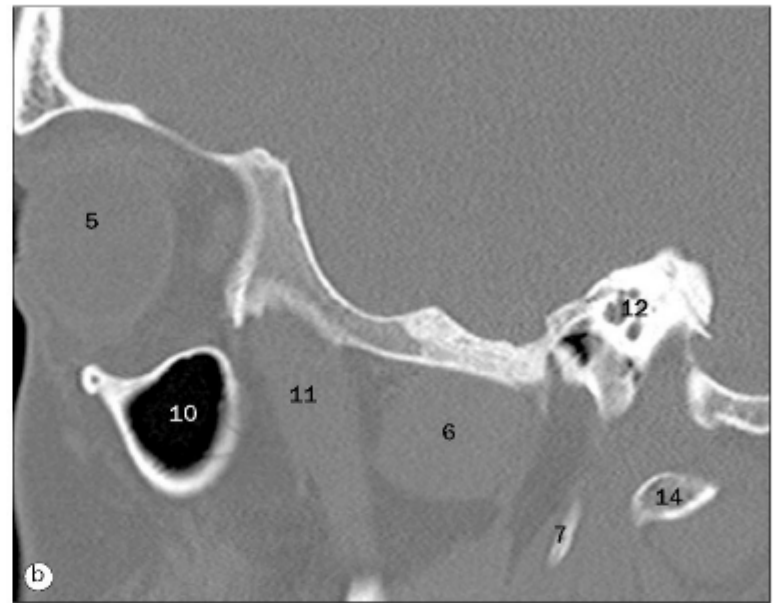
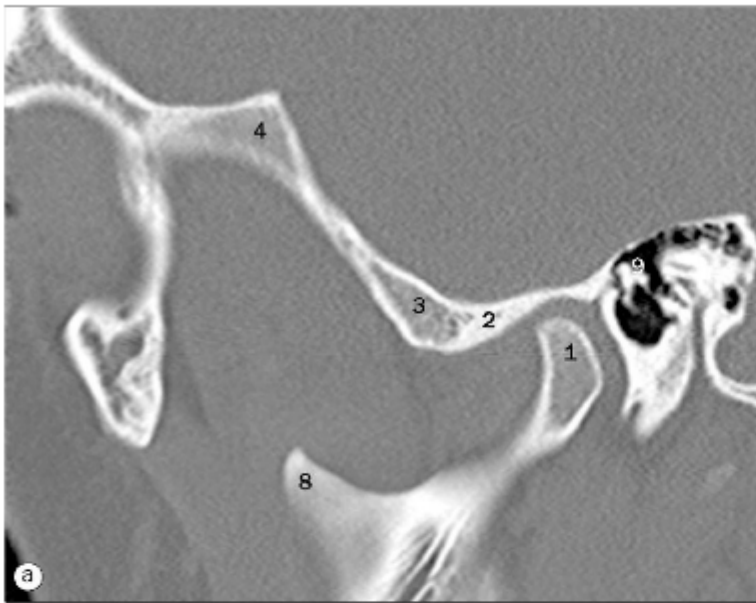
1 Osso frontal
2 Seio frontal
3 Osso nasal
4 Pálpebra superior
5 Pálpebra inferior
6 Bulbo do olho
7 Crista etmoidal
8 Palato duro
9 Seio maxilar
10 Septo nasal

11 Concha nasal inferior
12 Concha nasal média
13 Concha nasal superior
14 Meato nasal inferior
15 Lâmina orbital
16 Ar no saco lacrimal
17 Fissura orbital inferior
18 Células etmoidais anteriores
19 Meato nasal médio
20 Meato nasal superior



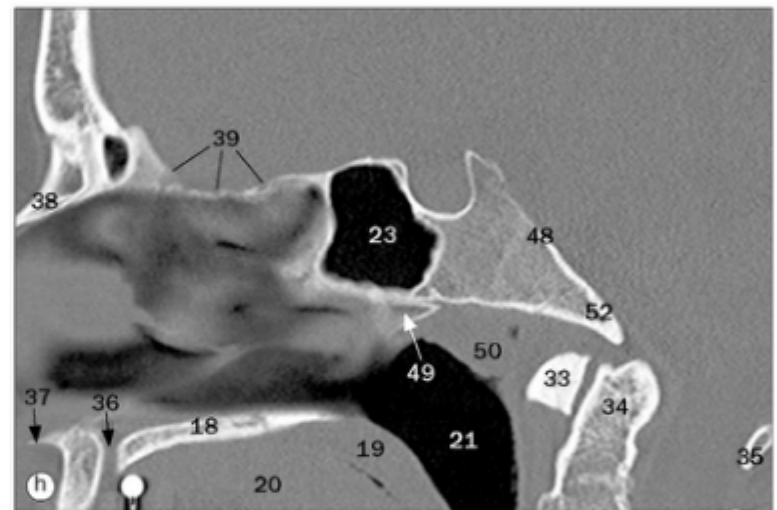
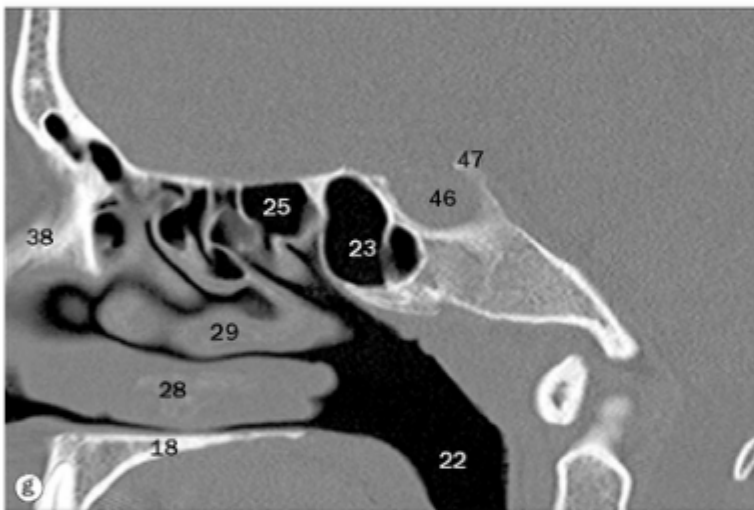
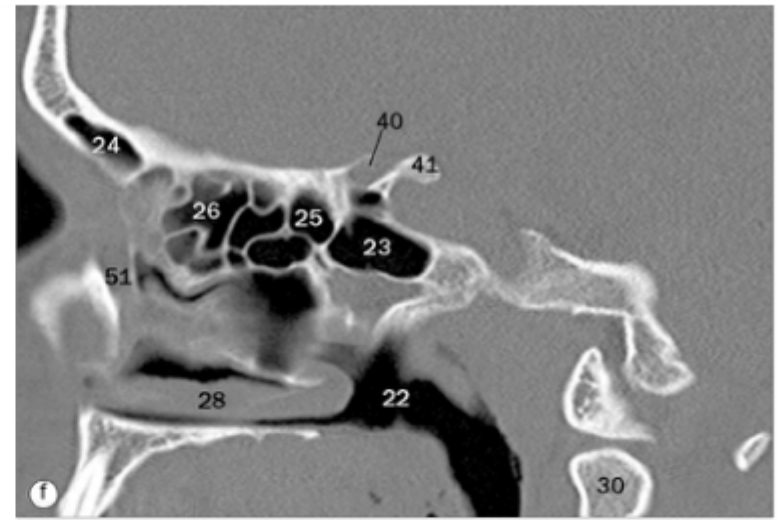
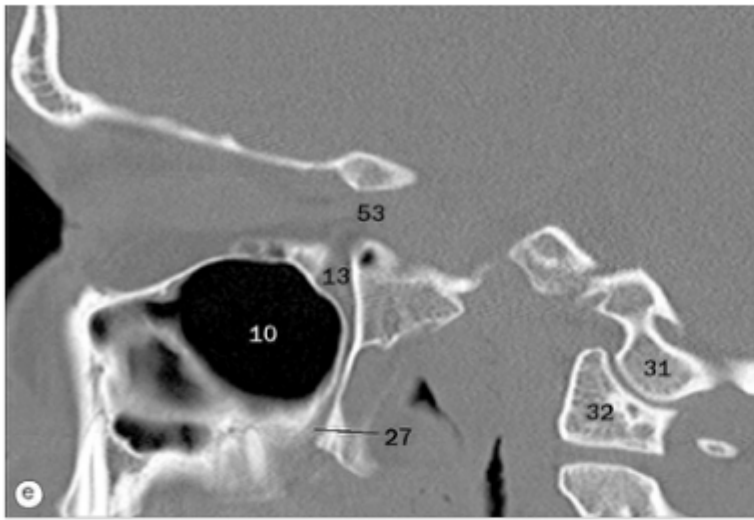
Seios paranasais, imagens coronais de TC demonstradas nos seguintes níveis: (a) seios frontais, (b) ducto lacrimonasal, (c) lâmina cribriforme, (d) células etmoidais anteriores, (e) células etmoidais médias, (f) fossa pterigopalatina, (g) seio esfenoidal, (h) parte nasal da faringe.

- | | | |
|--|------------------------------------|--|
| 21 Ducto lacrimonasal | 31 Assoalho da órbita, osso maxila | 42 Canal pterigóideo |
| 22 Maxila | 32 Arco zigomático | 43 Lâmina lateral do processo pterigoide |
| 23 Zigomático | 33 Ramo da mandíbula | 44 Lâmina medial do processo pterigoide |
| 24 Parede lateral do seio maxilar | 34 Asa maior do esferoide | 45 Forame esfenopalatino |
| 25 Teto da órbita, osso frontal | 35 Parte nasal da faringe | 46 Processo clinóide anterior |
| 26 Lâmina cribriforme, osso etmoide | 36 Seio esfenoidal | 47 Asa menor do esferoide |
| 27 Lâmina perpendicular, osso etmoide | 37 Fossa pterigopalatina | 48 Músculo pterigóideo medial |
| 28 Incisura etmoidal, osso frontal | 38 Canal óptico | 49 Músculo pterigóideo lateral |
| 29 Margem alveolar superior | 39 Fissura orbital superior | 50 Músculo temporal |
| 30 Parede lateral da órbita, osso zigomático | 40 Fissura orbital inferior | 51 Músculo masseter |
| | 41 Forame redondo | 52 Forame palatino maior |



(a)-(h) Seios paranasais, imagens sagitais de TC, de lateral para a linha mediana.

- | | |
|-----------------------------------|---|
| 1 Processo condilar da mandíbula | 15 Porção petrosa horizontal do canal da artéria carótida interna |
| 2 Tubérculo articular | 16 Osso frontal, teto da órbita |
| 3 Arco zigomático | 17 Osso maxila, assoalho da órbita |
| 4 Zigomático | 18 Palato duro |
| 5 Bulbo do olho | 19 Palato mole |
| 6 Músculo pterigóideo lateral | 20 Língua |
| 7 Processo estiloide | 21 Parte oral da faringe |
| 8 Processo coronoide da mandíbula | 22 Parte nasal da faringe |
| 9 Orelha média | 23 Seio esfenoidal |
| 10 Seio maxilar | 24 Seio frontal |
| 11 Músculo masseter | 25 Células etmoidais posteriores |
| 12 Orelha interna | 26 Células etmoidais anteriores |
| 13 Fossa pterigopalatina | 27 Forame palatino maior |
| 14 Processo transversal de C1 | 28 Concha nasal inferior |



(a)-(h) Seios paranasais, imagens sagitais de TC, de lateral para a linha mediana.

29 Concha nasal média

30 Base de C2

31 Côndilo occipital

32 Massa lateral de C1

33 Arco anterior de C1

34 Dente do eixo

35 Arco posterior de C1

36 Forame incisivo (contém o nervo nasopalatino –
ramo sensitivo V2)

37 Espinha nasal anterior

38 Osso nasal

39 Lâmina cribriforme

40 Canal óptico

41 Processo clinóide anterior

42 Tubérculos do processo transverso de C1

43 Forame transverso de C2

44 Meato acústico interno

45 Fissura orbital inferior

46 Fossa hipofisial

47 Dorso da sela turca

48 Clivo

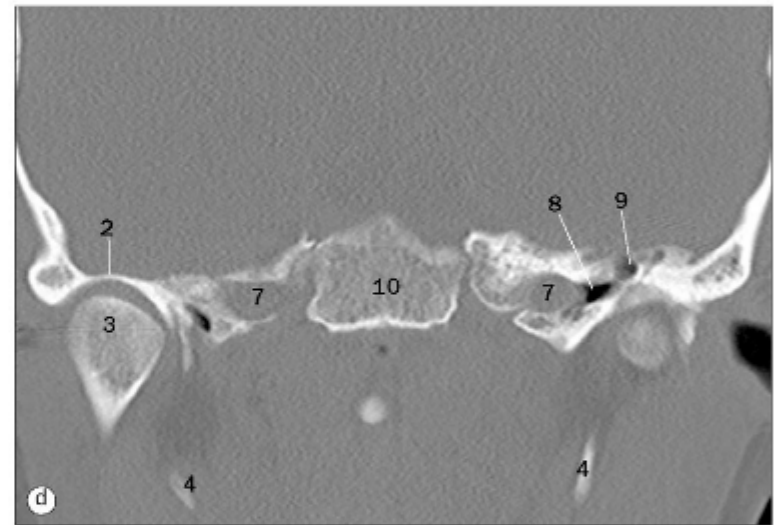
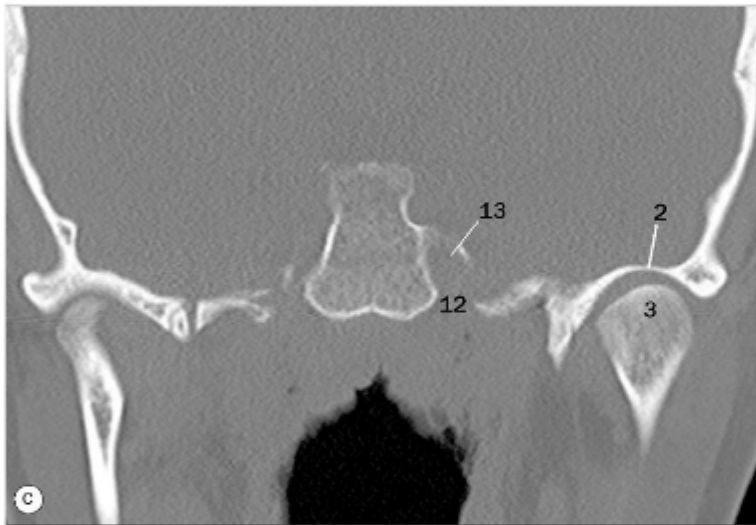
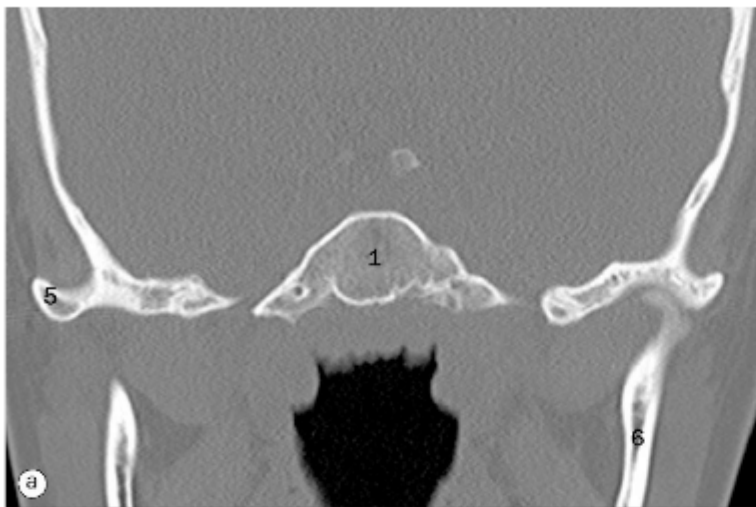
49 Vômer

50 Tonsila faríngea

51 Ducto lacrimonasal

52 Básio

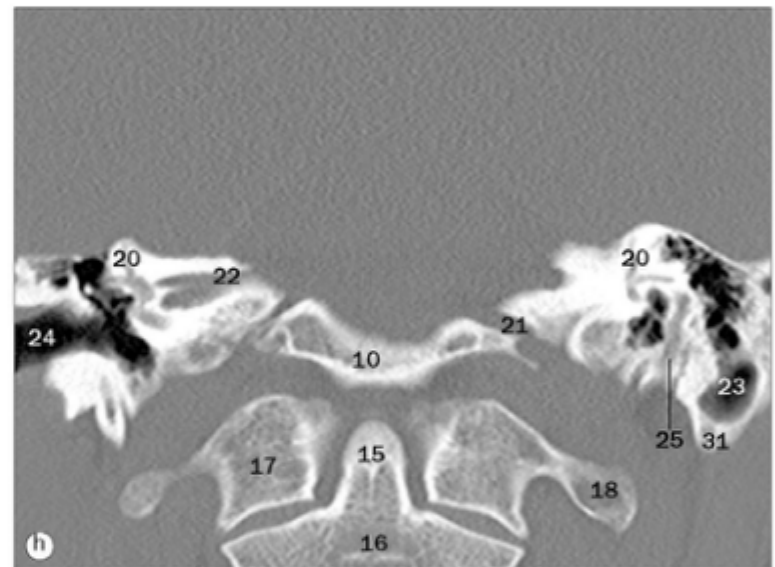
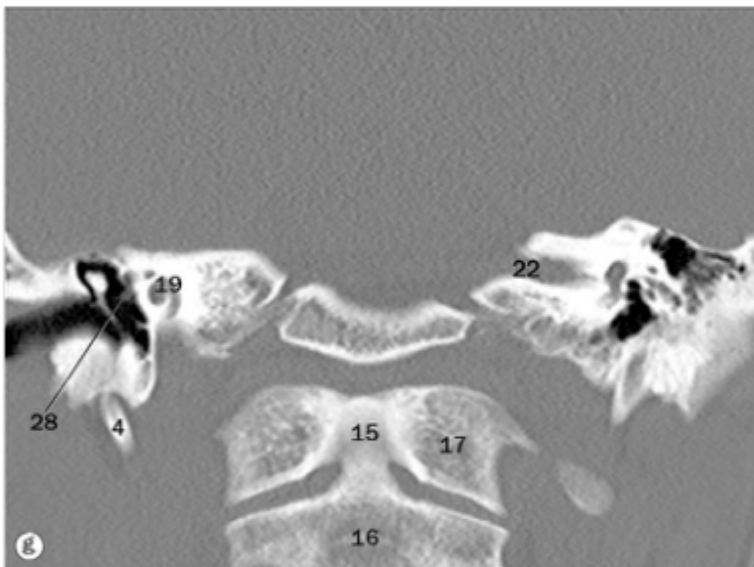
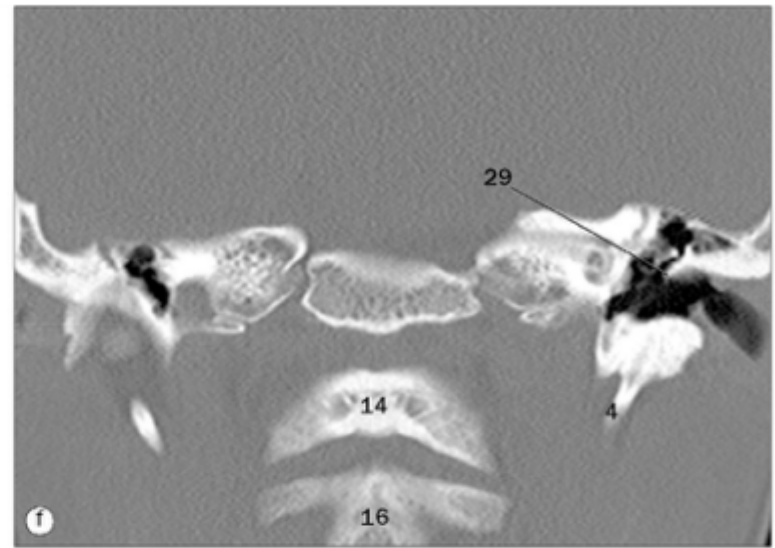
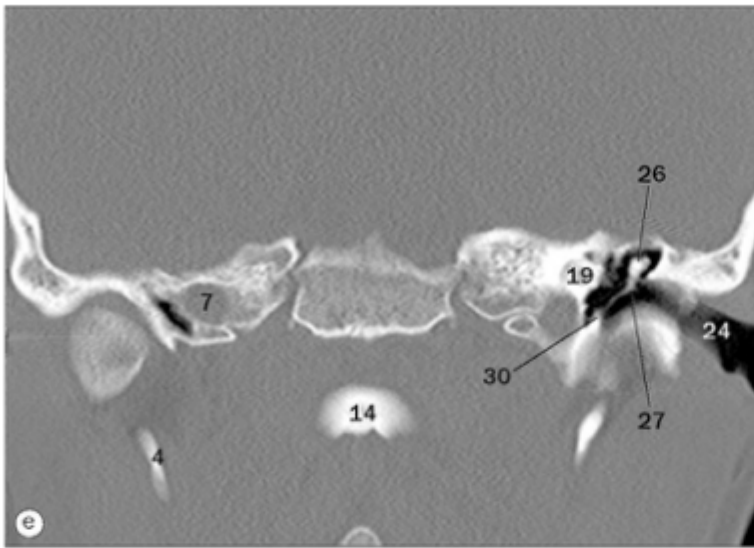
53 Fissura orbital superior



(a)-(h) Imagens coronais de TC, da região anterior para posterior.

- 1 Corpo do esfenóide
- 2 Fossa mandibular da articulação temporomandibular
- 3 Cabeça da mandíbula
- 4 Processo estiloide
- 5 Arco zigomático
- 6 Ramo da mandíbula
- 7 Porção petrosa horizontal do canal da artéria carótida interna
- 8 Hipotímpano

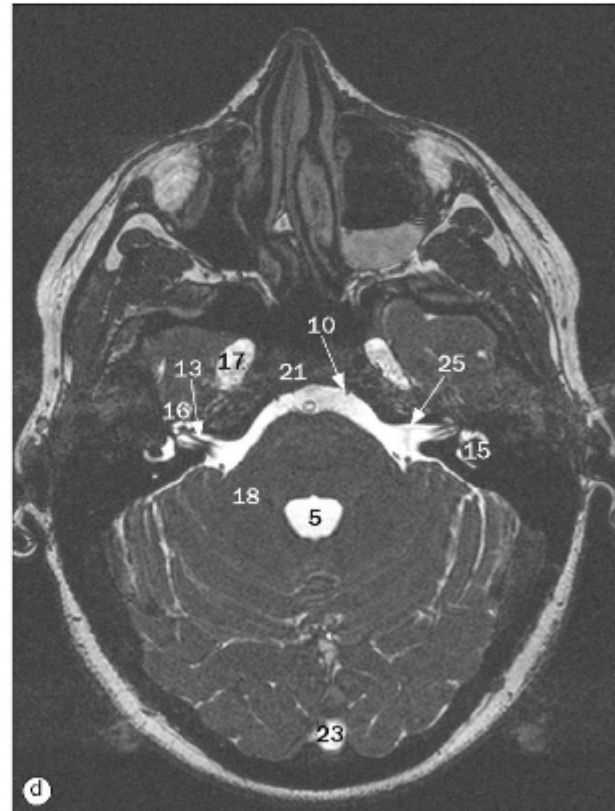
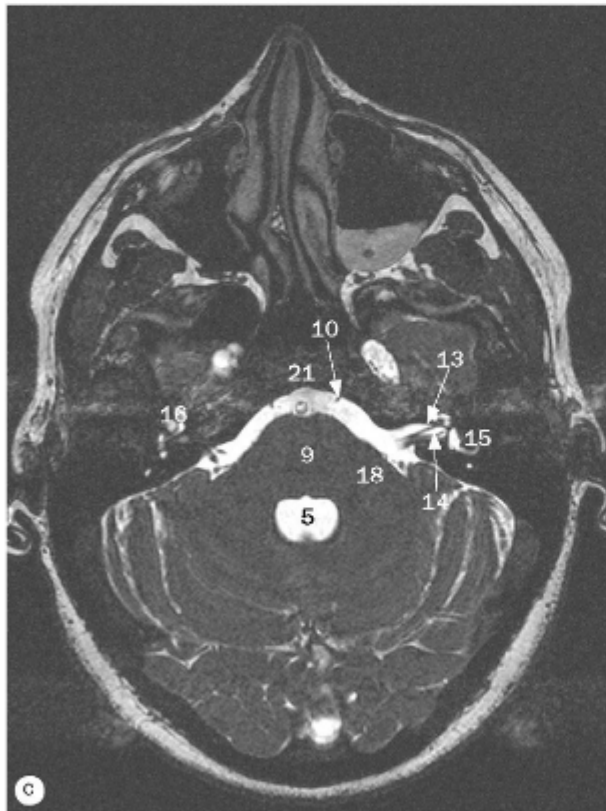
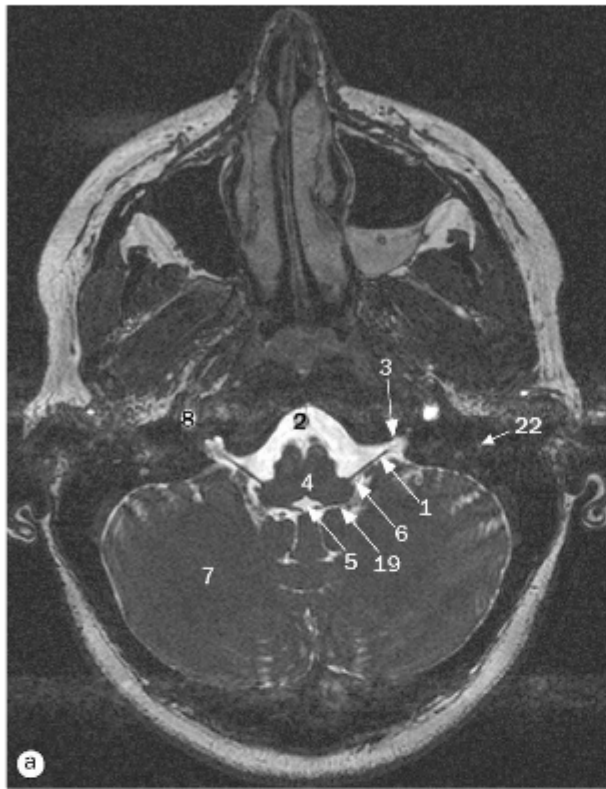
- 9 Epitímpano
- 10 Parte basilar do occipital
- 11 Dorso da sela turca
- 12 Forame lacerado
- 13 Localização da parte vertical da artéria carótida interna
- 14 Arco anterior de C1
- 15 Dente do eixo
- 16 Corpo de C2



(a)-(h) Imagens coronais de TC, da região anterior para posterior.

17 Massa lateral de C1
 18 Processo transverso de C1
 19 Cóclea
 20 Canal semicircular
 21 Forame jugular
 22 Meato acústico interno
 23 Células mastóideas
 24 Meato acústico externo

25 Forame estilomastóideo (localização do segmento mastoide do NC VII)
 26 Bigorna
 27 Martelo
 28 Tendão do músculo tensor do tímpano
 29 Esporão do ático
 30 Anel timpânico
 31 Extremidade do processo mastoide



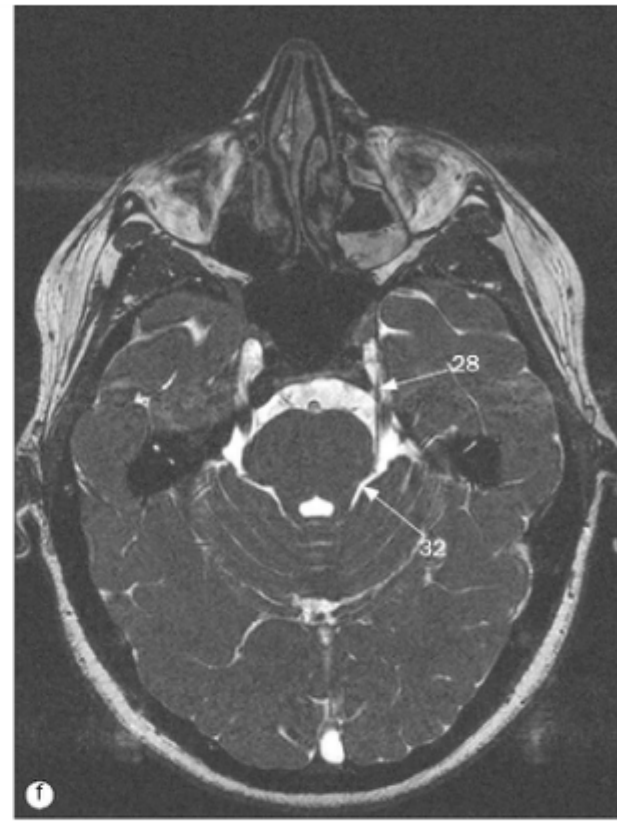
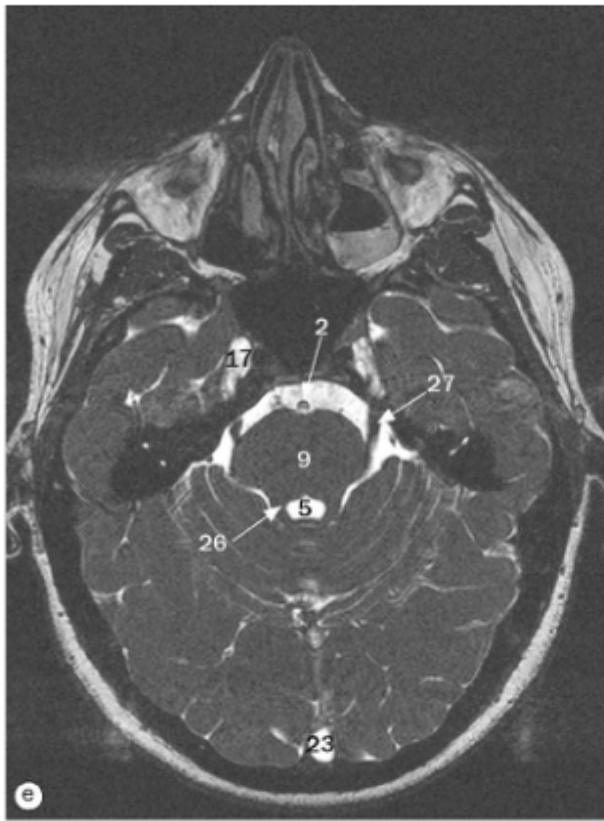
(a)-(h) Imagens axiais de RM, da região inferior para superior.

1 Nervo glossofaríngeo (NC IX)
2 Arteria basilar
3 Forame jugular
4 Bulbo

5 Quarto ventrículo
6 Nervo vago (NC X)
7 Hemisfério cerebelar
8 Arteria carótida interna

9 Ponte
10 Nervo abducente (NC VI)
11 Nervo facial (NC VII)
12 Nervo vestibulococlear (NC VIII)

As legendas das páginas 16-19 são comuns para todas as quatro páginas.



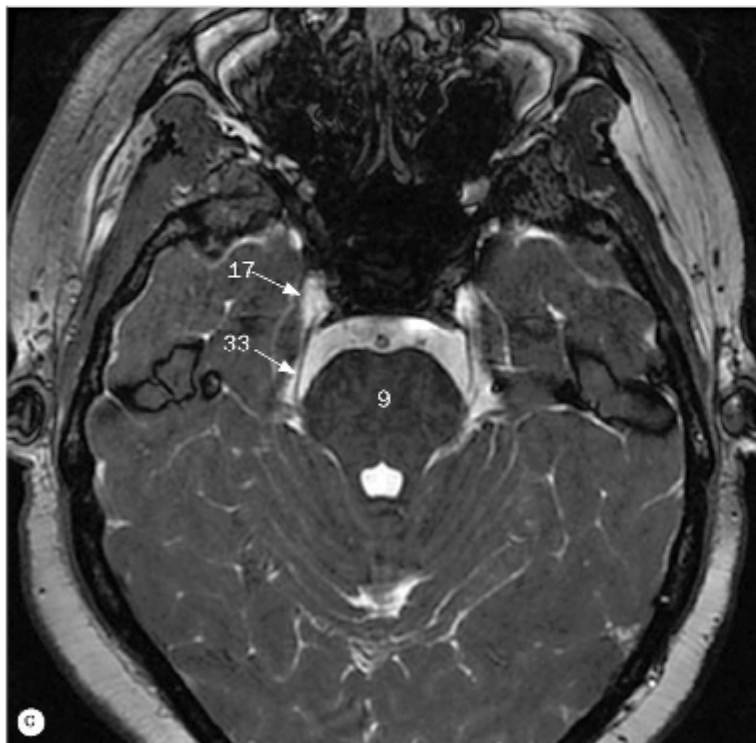
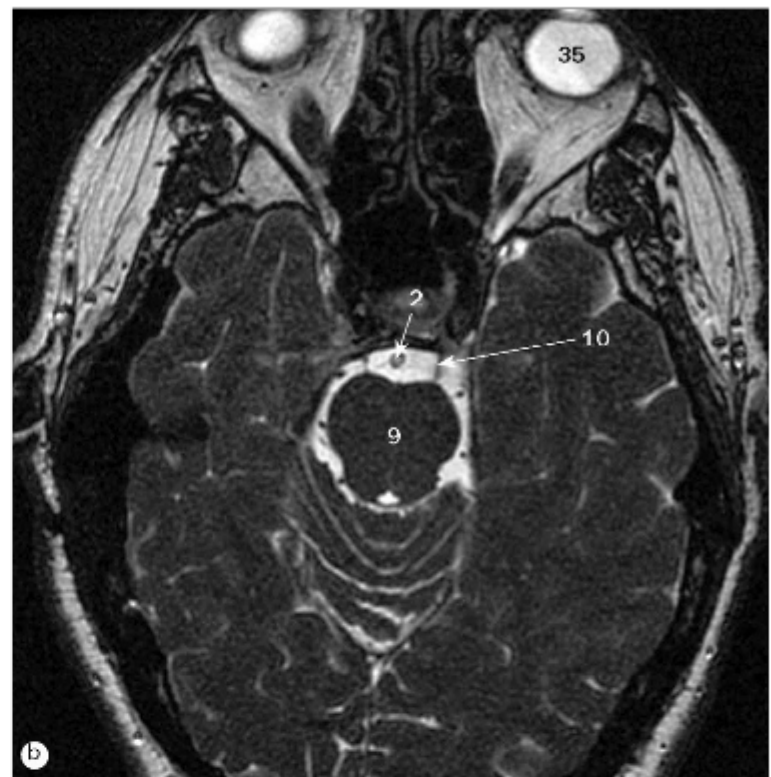
(a)-(h) Imagens coronais de TC, da região inferior para superior.

13 Nervo coclear
14 Nervo vestibular
15 Canais semicirculares
16 Cóclea

17 Cavidade trigeminal
18 Pedúnculo cerebelar médio
19 Abertura lateral do quarto ventrículo
20 Artéria cerebelar inferior anterior

21 Clivo
22 Nervo facial no forame estilomastóideo
23 Seio sagital superior
24 Verme

As legendas das páginas 16-19 são comuns para todas as quatro páginas.



Nervos cranianos, imagens de RM de (a) nervos olfatório e óptico, (b) nervo oculomotor, (c) nervo troclear, (d) nervo trigêmeo, (e) e (f) nervos abducente, facial e vestibulococlear, (g) nervo glossofaríngeo, (h) nervo hipoglosso.

25 Meato acústico interno

26 Pedúnculo cerebelar superior

27 Segmento pré-ganglionar do NC V (trigêmeo)

28 NC V entra na cavidade trigeminal

29 Nervo oculomotor (NC III)

30 NC III na sistema oculomotora

31 Hipófise

32 Cistema ambiens

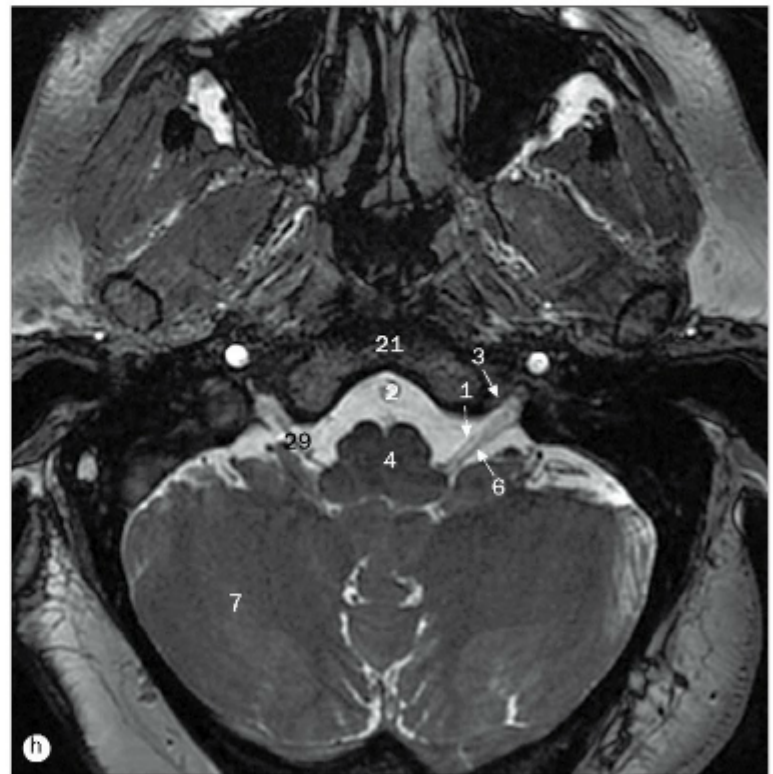
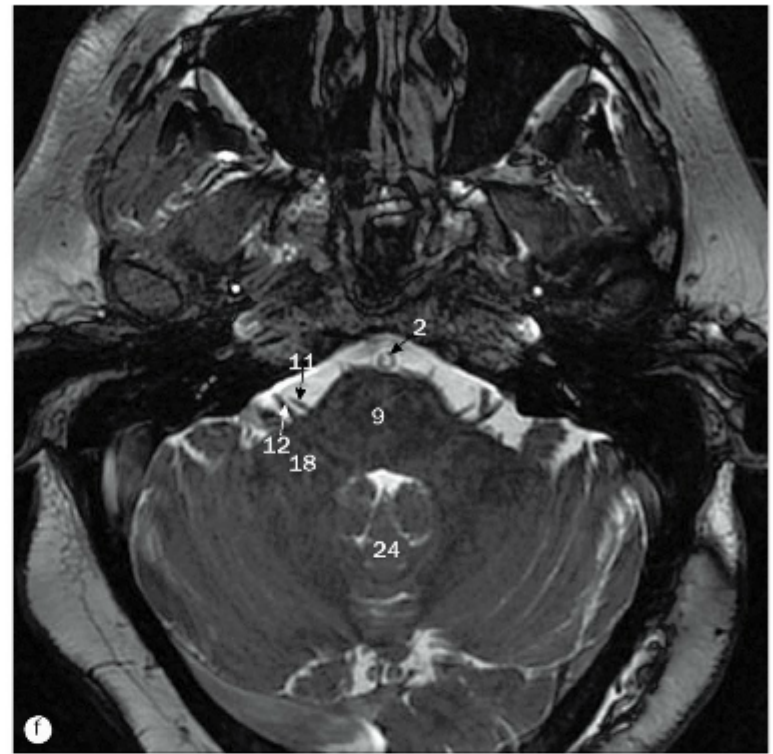
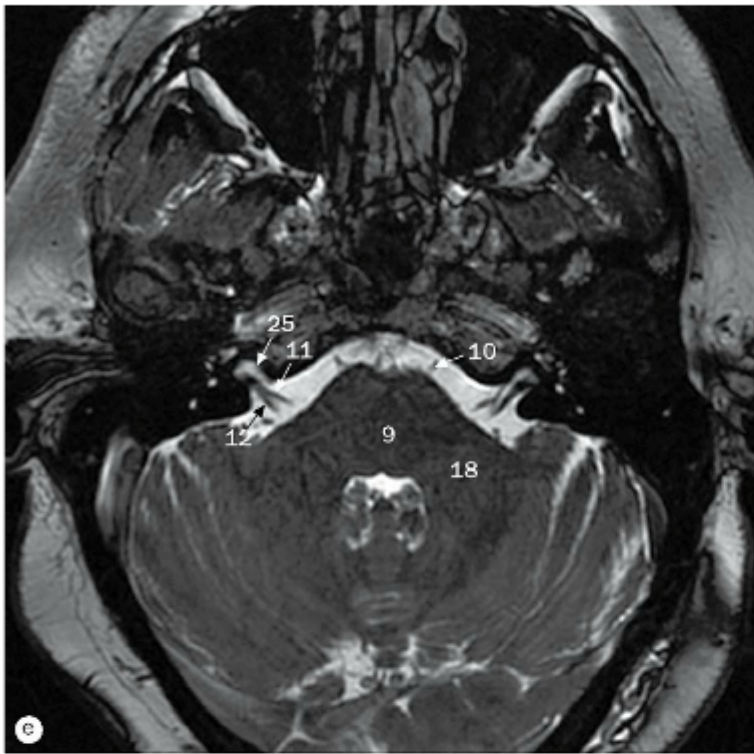
33 Nervo troclear (NC IV)

34 Cistema interpeduncular

35 Bulbo do olho

36 Mesencéfalo

As legendas das páginas 16-19 são comuns para todas as quatro páginas.

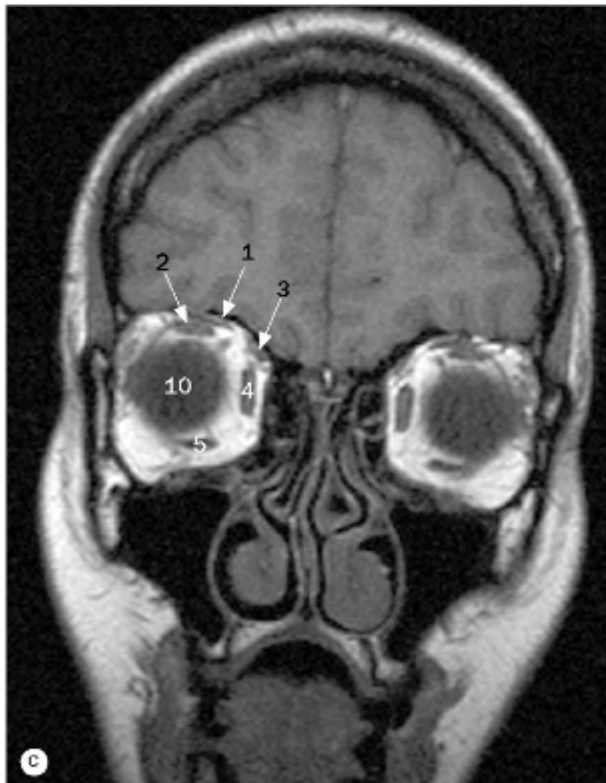
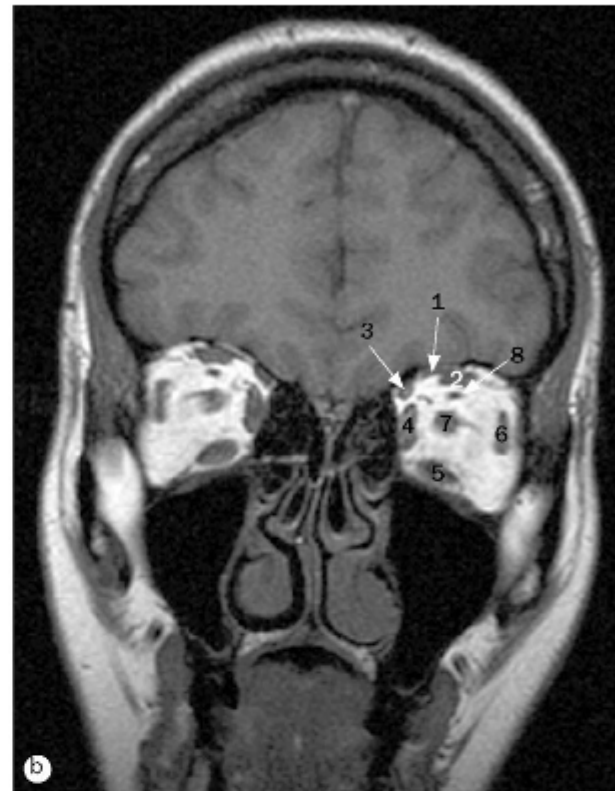
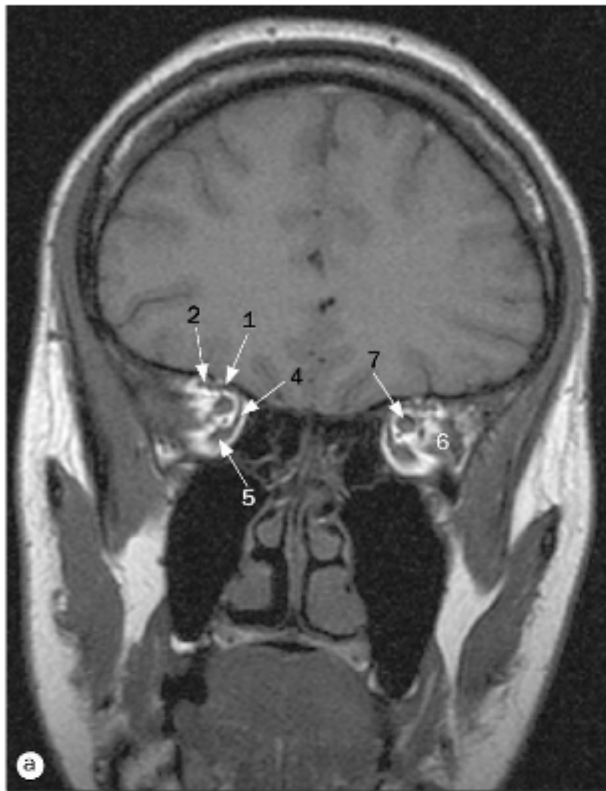


Nervos cranianos, imagens de RM de (a) nervos olfatório e óptico, (b) nervo oculomotor, (c) nervo troclear, (d) nervo trigêmeo, (e) e (f) nervos abducente, facial e vestibulococlear, (g) nervo glossofaríngeo, (h) nervo hipoglosso.

37 Corpo mamilar
38 Infundíbulo
39 Quiasma óptico
40 Nervo óptico, parte intracraniana
41 Nervo óptico, parte intraocular
42 Nervo óptico, parte do canal

43 Núcleo rubro do mesencéfalo
44 Substância negra
45 Pedúnculo cerebral
46 Trato e bulbo olfatório (NC I)
47 Artéria cerebral posterior

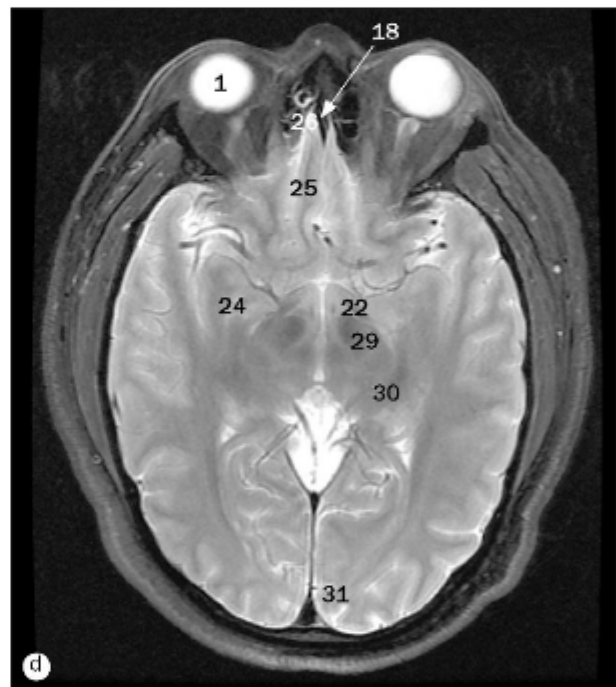
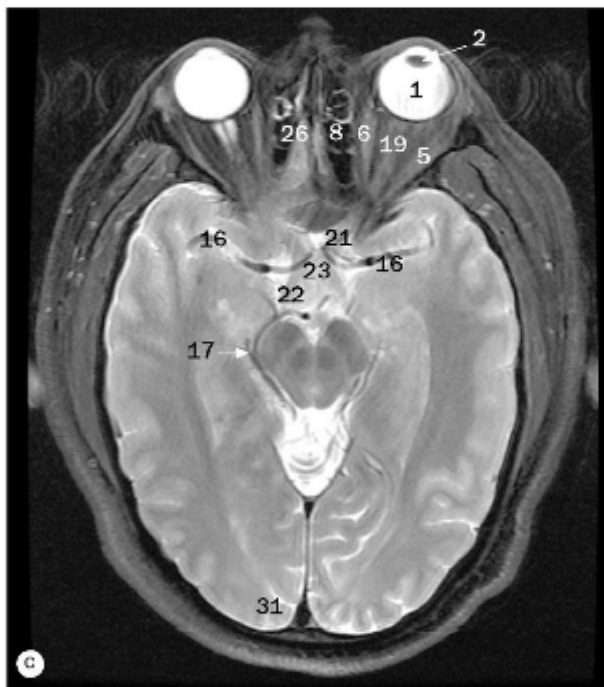
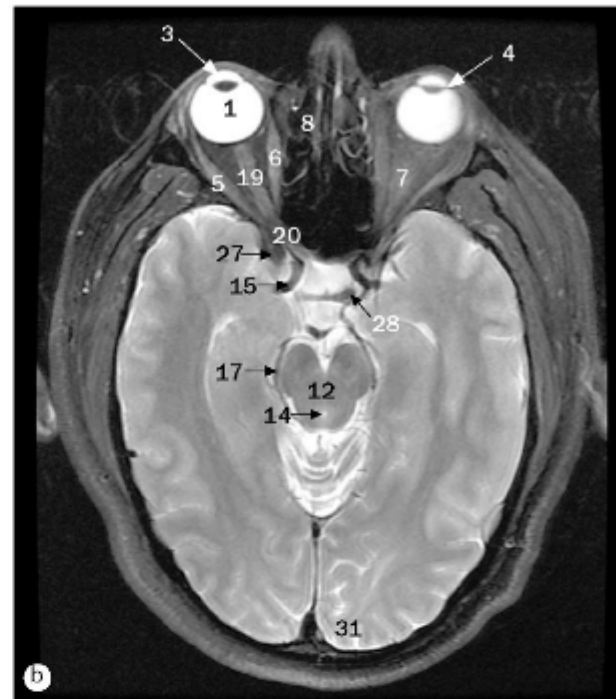
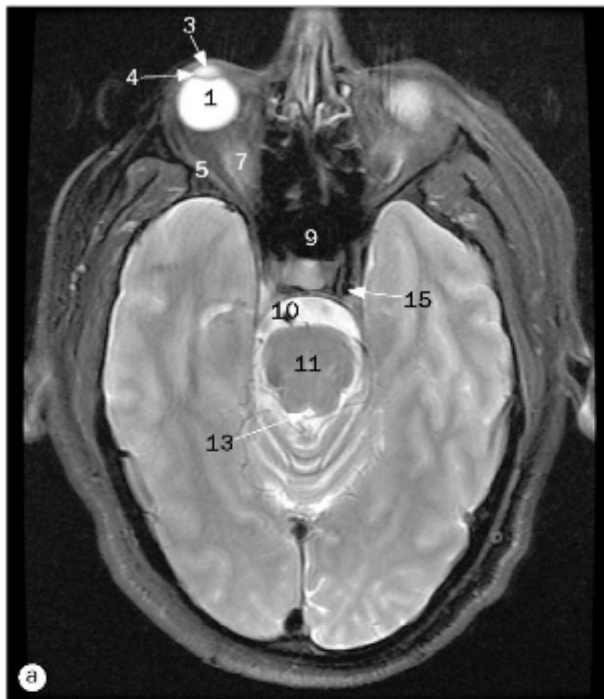
As legendas das páginas 16-19 são comuns para todas as quatro páginas.



(a)-(d) Imagens coronais de RM, da região posterior para anterior.

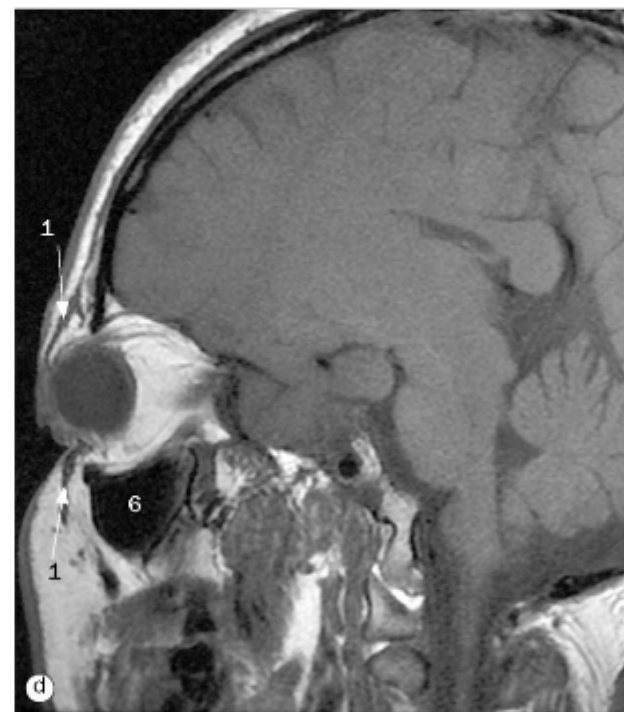
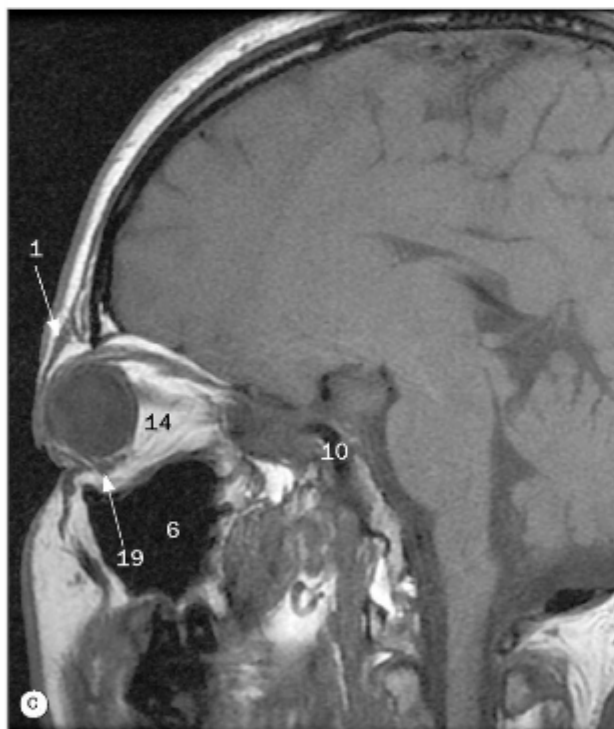
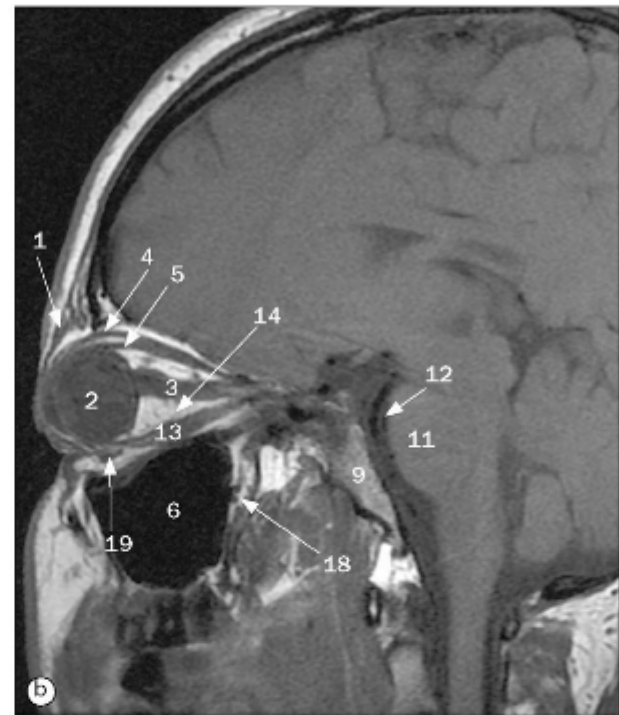
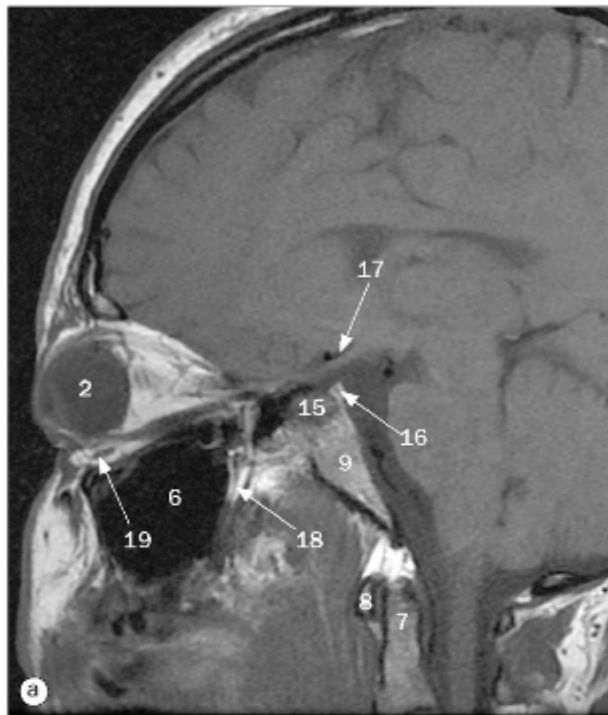
1 Músculo levantador da pálpebra superior
 2 Músculo reto superior
 3 Músculo oblíquo superior
 4 Músculo reto medial
 5 Músculo reto inferior

6 Músculo reto lateral
 7 Complexo nervo óptico/bainha do nervo óptico
 8 Veia oftálmica superior
 9 Glândula lacrimal
 10 Bulbo do olho



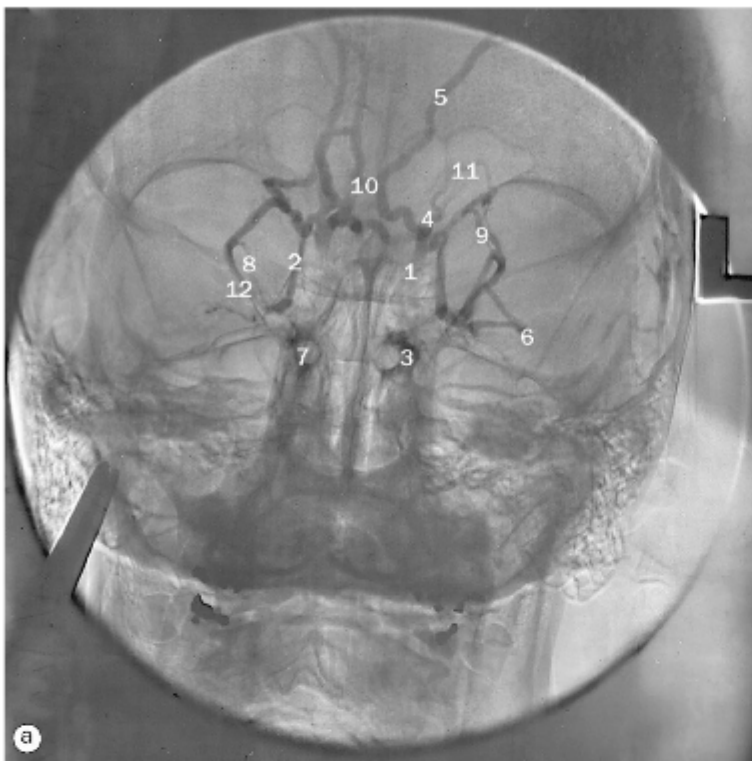
(a)-(d) Órbita, imagens de RM axiais, da região inferior para superior.

- | | | |
|------------------------------------|--|--|
| 1 Câmara postrema do bulbo do olho | 12 Mesencéfalo | 23 Quiasma óptico |
| 2 Lente | 13 Recesso superior do quarto ventrículo | 24 Comissura anterior |
| 3 Câmara anterior do bulbo do olho | 14 Aqueduto do mesencéfalo | 25 Giro reto |
| 4 Corpo ciliar | 15 Artéria carótida interna | 26 Nervo olfatório (NC I) |
| 5 Músculo reto lateral | 16 Artéria cerebral média | 27 Processo clinóide anterior |
| 6 Músculo reto medial | 17 Artéria cerebral posterior | 28 Dorso da sela turca |
| 7 Músculo reto superior | 18 Crista etmoidal | 29 Pedúnculo cerebral |
| 8 Células etmoidais | 19 Nervo óptico (parte intraocular) | 30 Corpos geniculados medial e lateral |
| 9 Seio esfenoidal | 20 Nervo óptico (parte do canal) | 31 Córtex visual (calcarino) |
| 10 Artéria basilar | 21 Nervo óptico (parte intracraniana) | |
| 11 Ponte | 22 Trato óptico | |

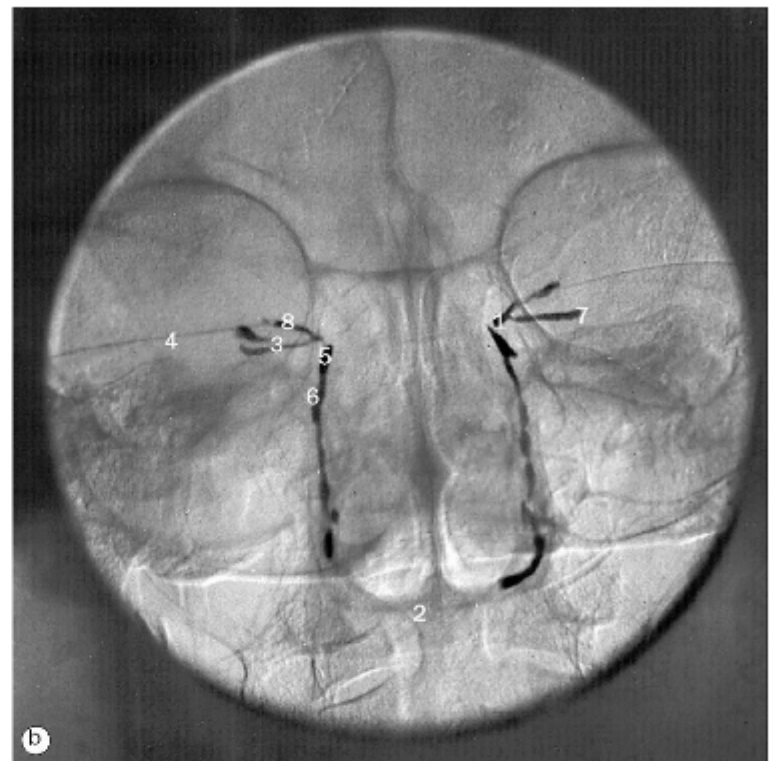


(a)-(d) Órbita, imagens sagitais de RM, da região medial para lateral.

- | | |
|---|--------------------------------------|
| 1 Músculo orbicular do olho | 11 Ponte |
| 2 Bulbo do olho | 12 Artéria basilar |
| 3 Nervo óptico, parte intraorbital | 13 Músculo reto inferior |
| 4 Músculo levantador da pálpebra superior | 14 Corpo adiposo da órbita |
| 5 Músculo reto superior | 15 Sela turca/hipófise |
| 6 Seio maxilar | 16 Dorso da sela turca |
| 7 Dente do eixo | 17 Nervo óptico, parte intracraniana |
| 8 Arco anterior do atlas | 18 Fossa pterigopalatina |
| 9 Clivo | 19 Músculo oblíquo inferior |
| 10 Artéria carótida interna | |



(a) Venografia orbital.



(b) Macrodacriocistografia.

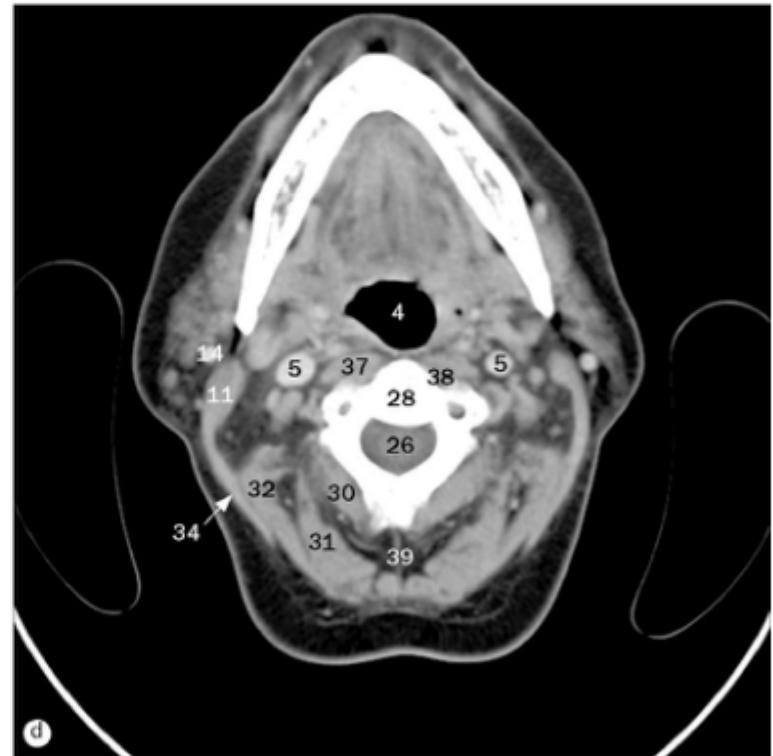
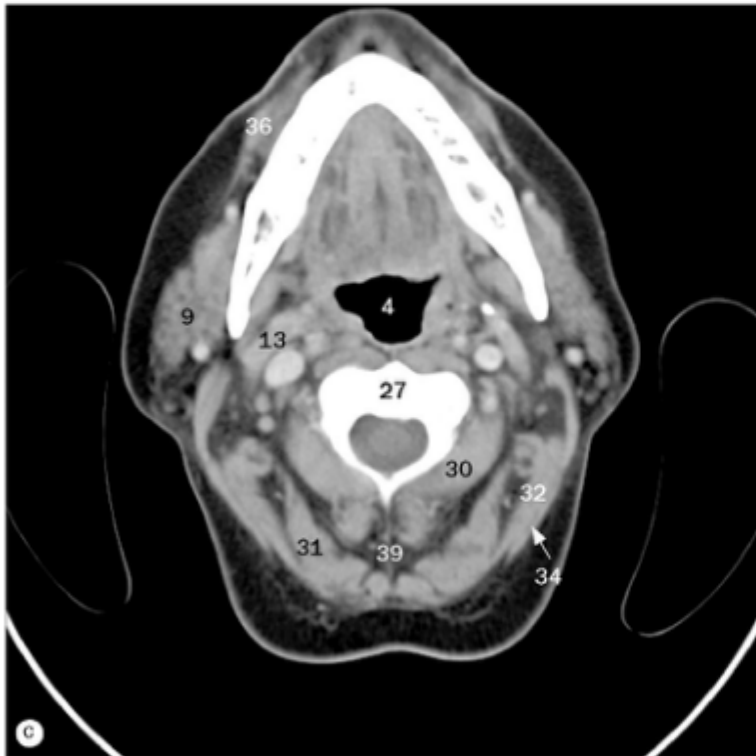
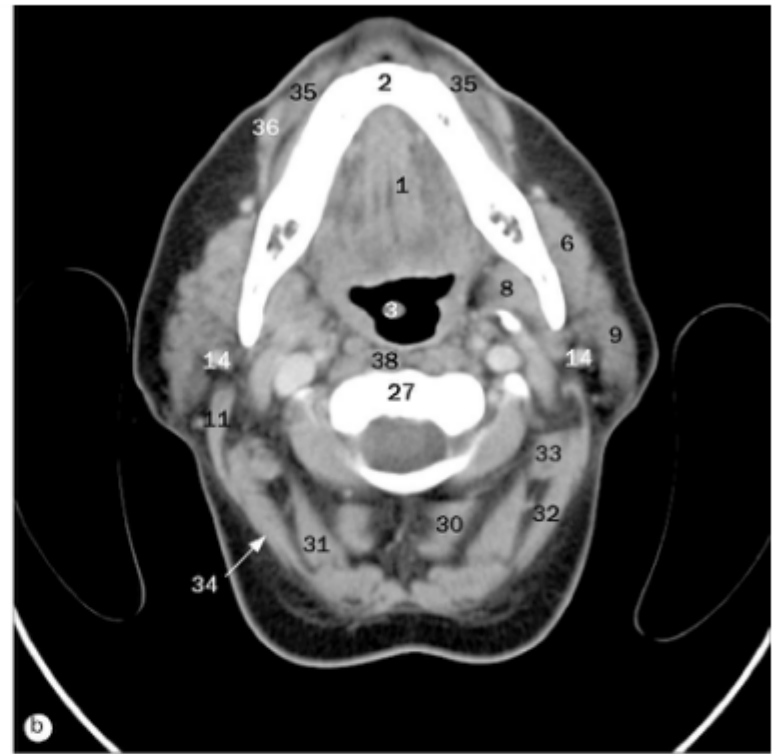
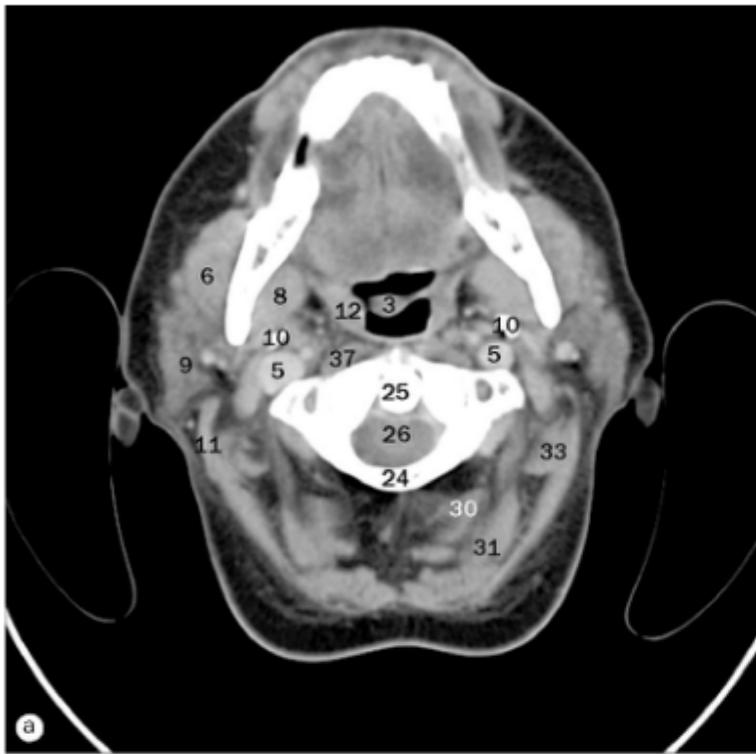
- 1 Veias angulares
- 2 Veia colateral anterior
- 3 Seio cavernoso
- 4 Primeira parte da veia oftálmica superior
- 5 Veias frontais
- 6 Veia oftálmica inferior
- 7 Artéria carótida interna
- 8 Veia colateral medial
- 9 Segunda parte da veia oftálmica superior
- 10 Veia comunicante superficial
- 11 Veia supraorbital
- 12 Terceira parte da veia oftálmica superior

- 1 Canalículo comum
- 2 Palato duro
- 3 Canalículo inferior
- 4 Cateteres lacrimais
- 5 Saco lacrimal
- 6 Ducto lacrimonasal
- 7 Local do ponto lacrimal
- 8 Canalículo superior

- 1 Câmara anterior
- 2 Humor aquoso
- 3 Córnea
- 4 Células etmoidais
- 5 Pálpebra
- 6 Músculo reto lateral
- 7 Lente
- 8 Músculo reto medial
- 9 Artéria oftálmica
- 10 Nervo óptico
- 11 Retina e corioide
- 12 Corpo adiposo da órbita
- 13 Esclera
- 14 Ligamento suspensor da lente
- 15 Músculo temporal
- 16 Humor vítreo



(c) Bulbo do olho, imagem axial de RM.

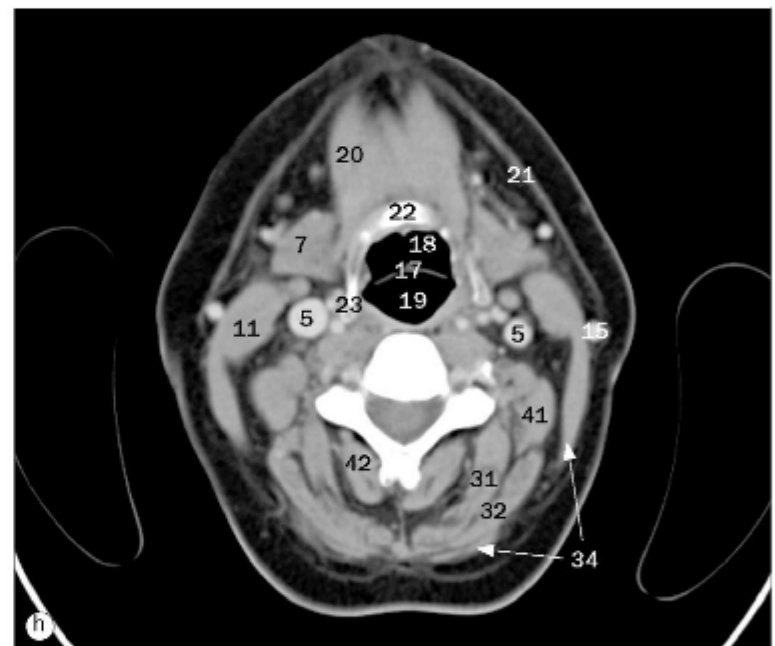
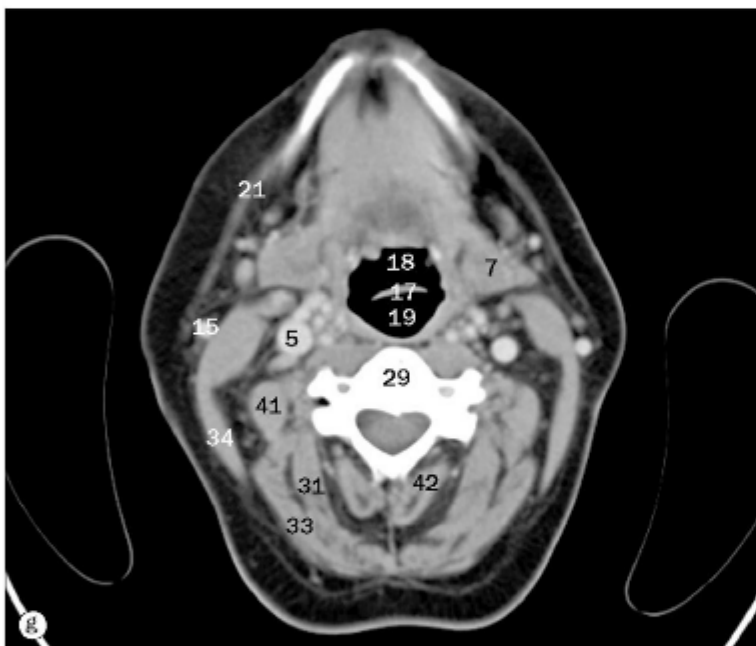
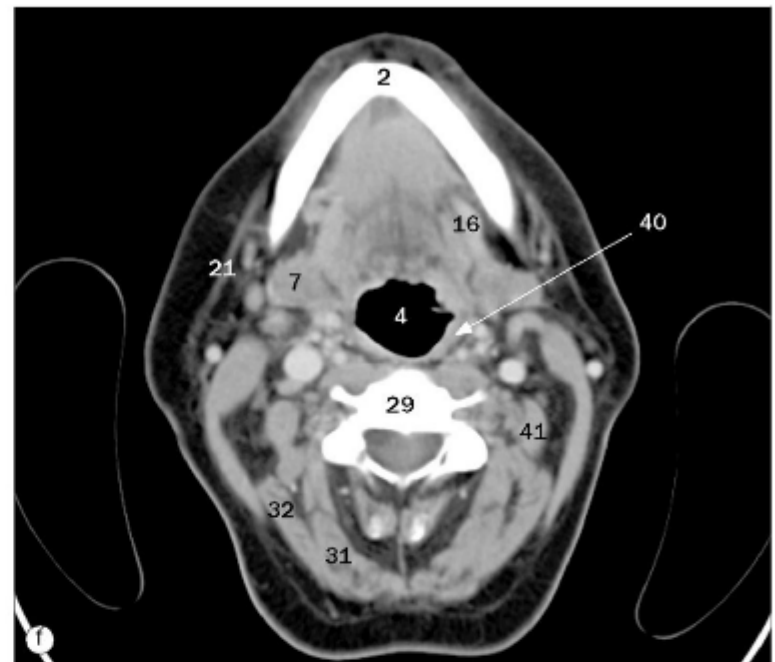
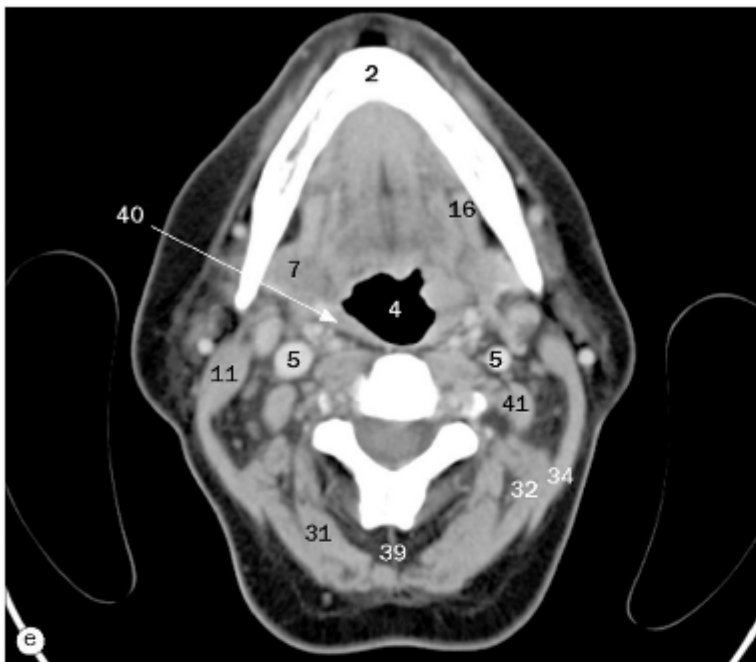


(a)-(h) Partes nasal e oral da faringe, imagens axiais de TC.

1 Músculo genioglosso
2 Corpo da mandíbula
3 Úvula palatina
4 Parte oral da faringe
5 Veia jugular interna
6 Músculo masseter
7 Glândula submandibular

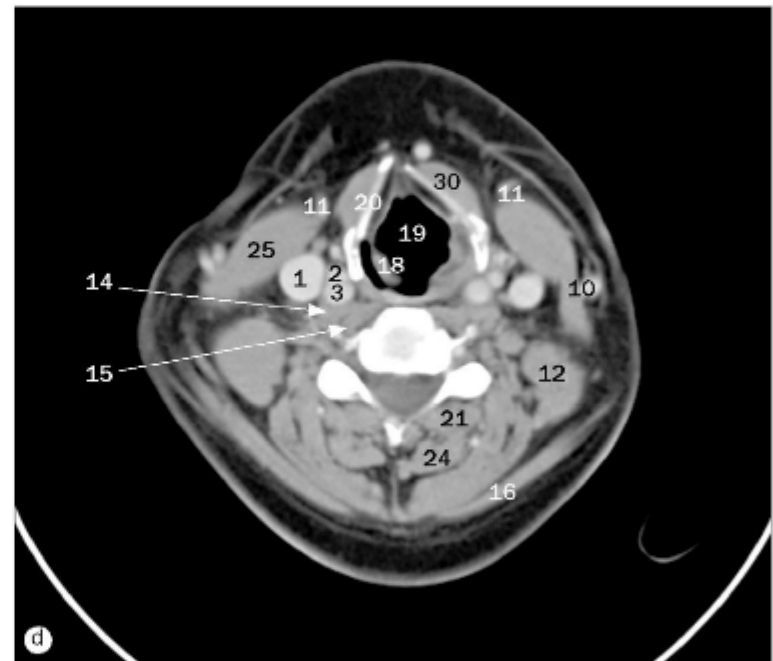
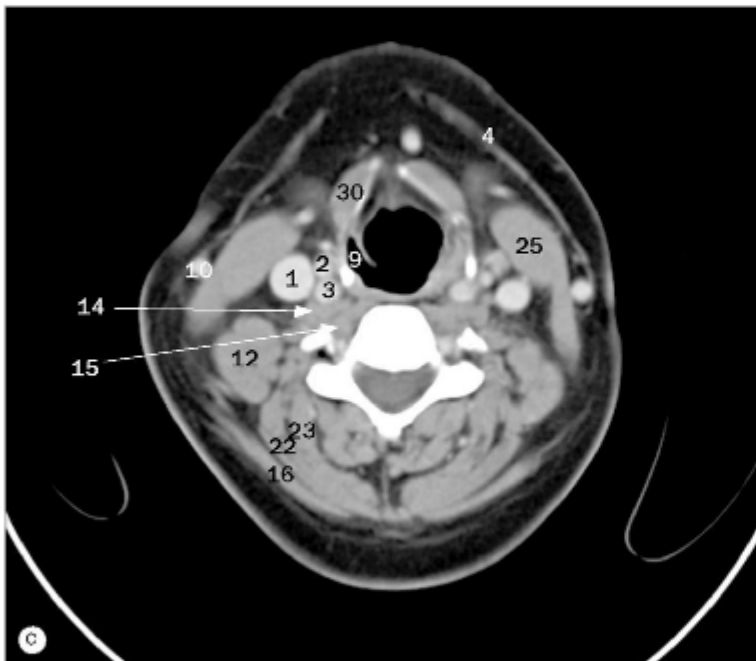
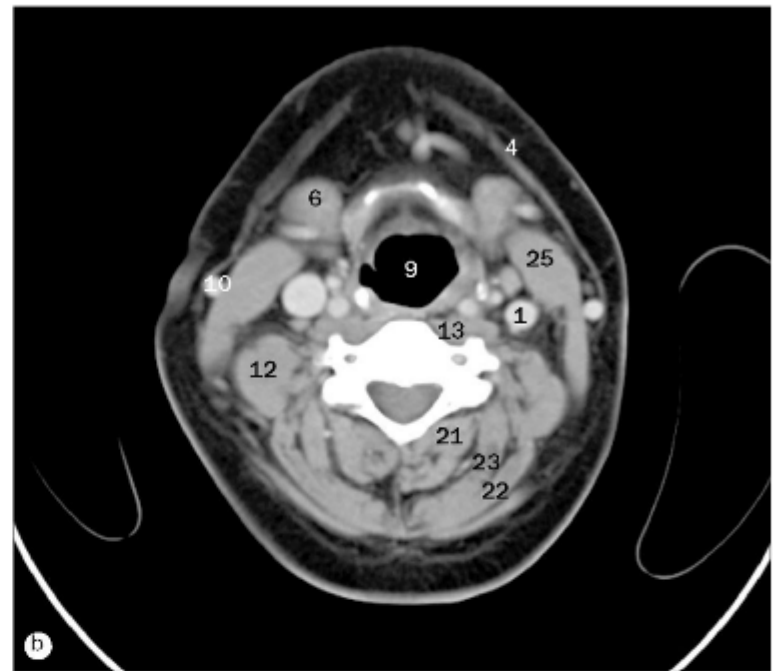
8 Músculo pterigóideo medial
9 Glândula parótida
10 Processo estiloide
11 Músculo esternocleidomastóideo
12 Tonsila palatina
13 Ventre posterior do músculo digástrico
14 Veia retromandibular

15 Veia jugular externa
16 Ventre anterior do músculo digástrico
17 Epiglote
18 Valécula epiglótica
19 Parte laríngea da faringe
20 Músculo milo-hióideo
21 Músculo platisma



(a)-(h) Partes nasal e oral da faringe, imagens axiais de TC.

- | | | |
|-------------------------------|---|--|
| 22 Osso hioide | 30 Músculo oblíquo inferior da cabeça | 38 Músculo longo do pescoço |
| 23 Corno maior do osso hioide | 31 Músculo semiespinal da cabeça | 39 Ligamento nugal |
| 24 Arco posterior de C1 | 32 Músculo esplênio da cabeça | 40 Músculo constritor superior da faringe |
| 25 Dente do eixo | 33 Músculo longuíssimo da cabeça | 41 Músculo levantador da escápula |
| 26 Medula espinal | 34 Músculo trapézio | 42 Músculo espinal da cabeça e músculo multifido |
| 27 Corpo de C2 | 35 Músculo orbicular da boca | |
| 28 Corpo de C3 | 36 Músculo levantador do ângulo da boca | |
| 29 Corpo de C4 | 37 Músculo longo da cabeça | |

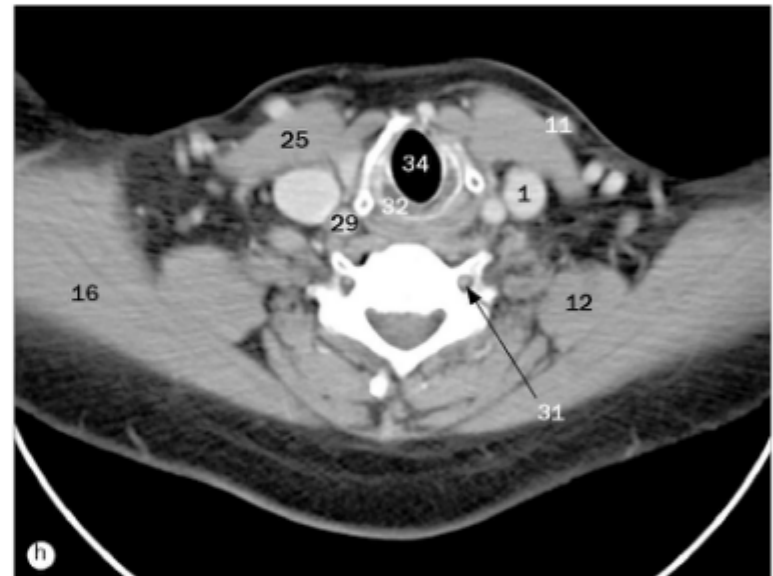
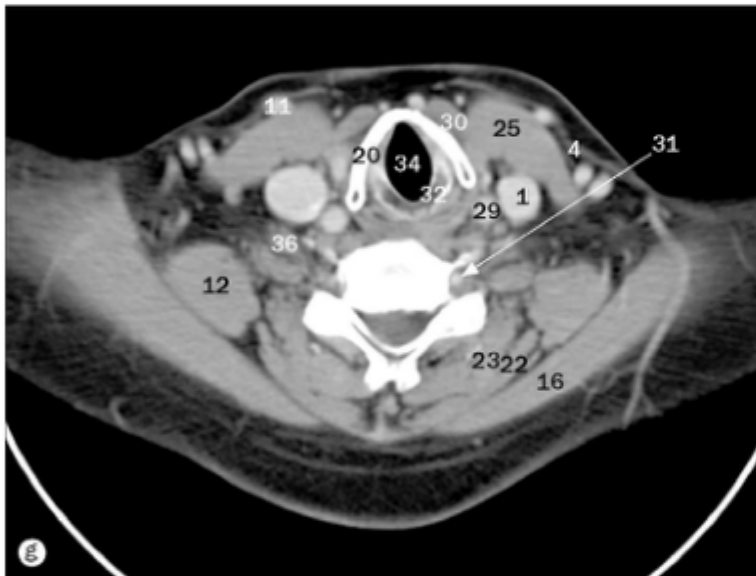
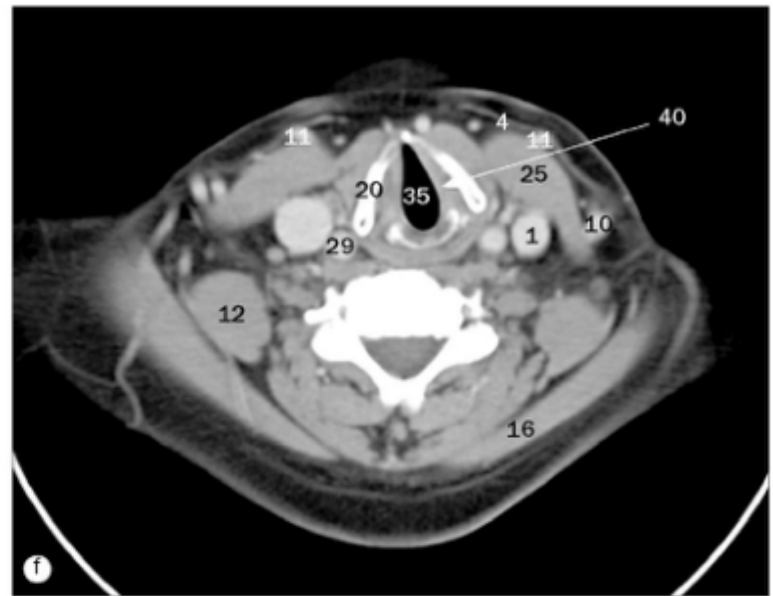
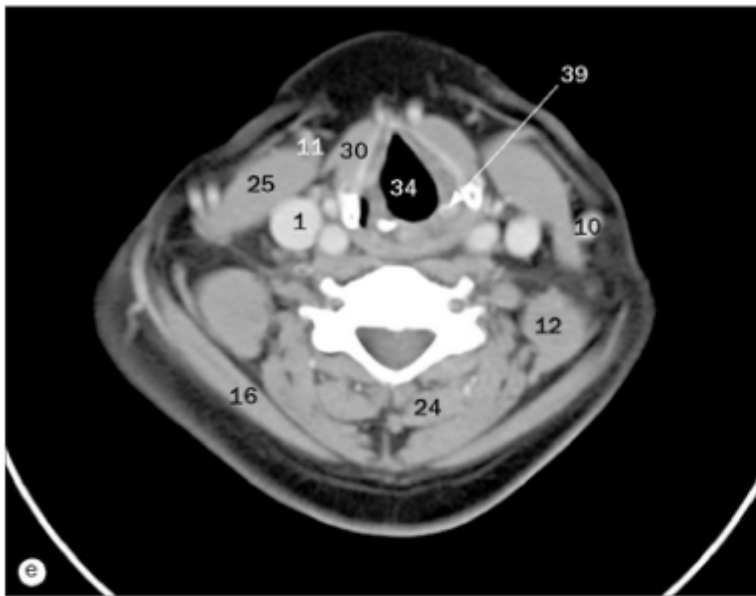


(a)-(l) Laringe e parte laríngea da faringe, imagens axiais de TC.

- 1 Veia jugular interna
- 2 Arteria carótida externa
- 3 Arteria carótida interna
- 4 Músculo platisma
- 5 Músculo gênio-hióideo
- 6 Glândula submandibular
- 7 Epiglote

- 8 Valécula epiglótica
- 9 Parte laríngea da faringe
- 10 Veia jugular externa
- 11 Veia jugular anterior
- 12 Músculo levantador da escápula
- 13 Músculos longo da cabeça e longo do pescoço
- 14 Músculo longo da cabeça

As legendas das páginas 26-28 são comuns para todas as três páginas.



(a)-(l) Laringe e parte laríngea da faringe, imagens axiais de TC.

15 Músculo longo do pescoço

16 Músculo trapézio

17 Clavícula

18 prega ariepiglótica

19 Vestíbulo da laringe

20 Lâmina da cartilagem da tireóide

21 Músculo espinal do pescoço

22 Músculo esplênio da cabeça

23 Músculo semiespinal da cabeça

24 Músculo semiespinal do pescoço

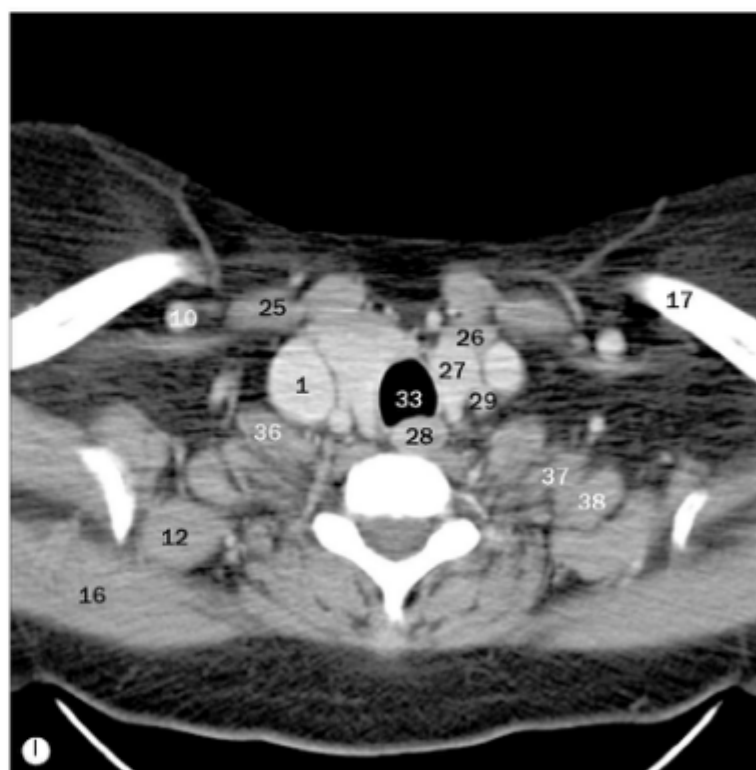
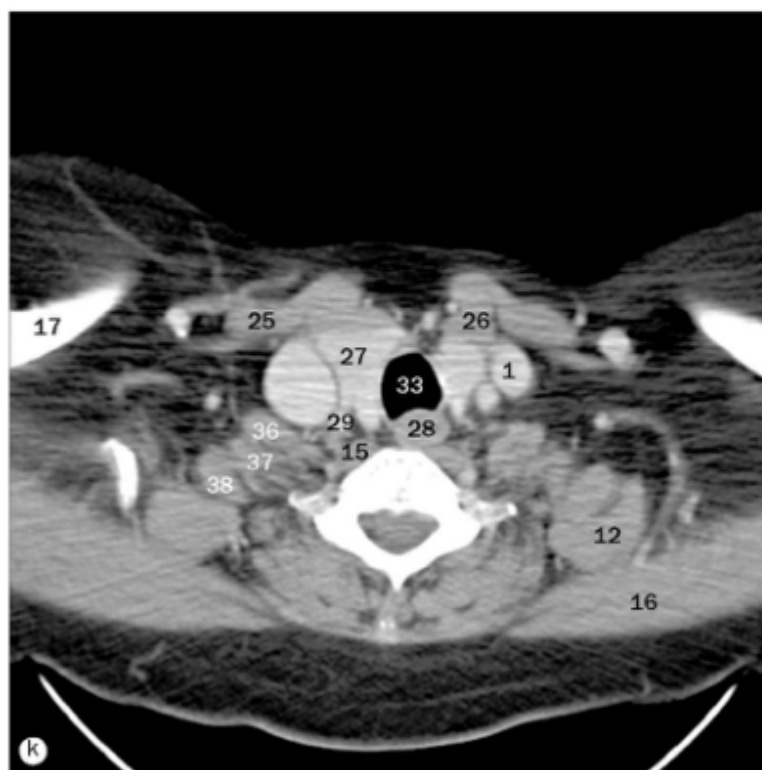
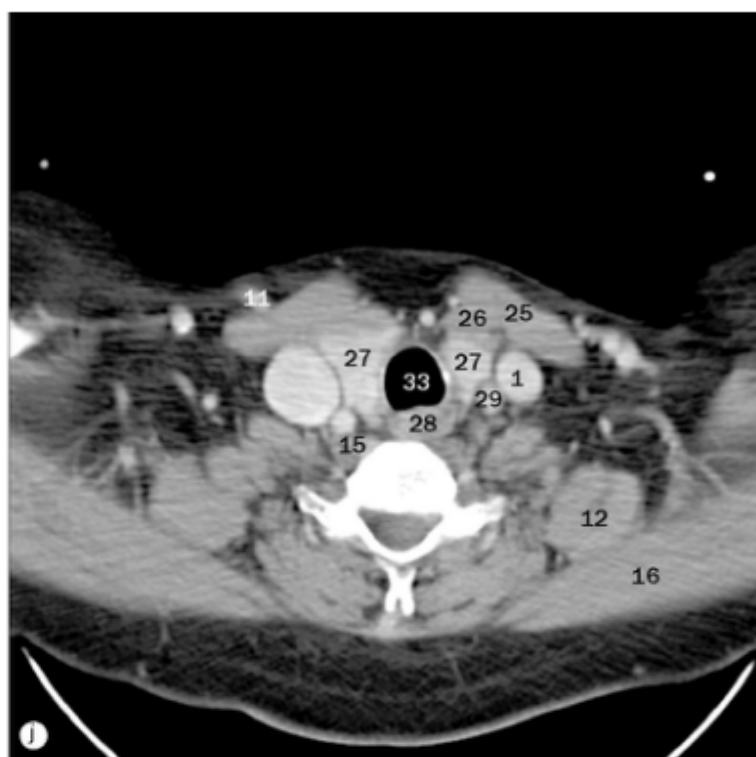
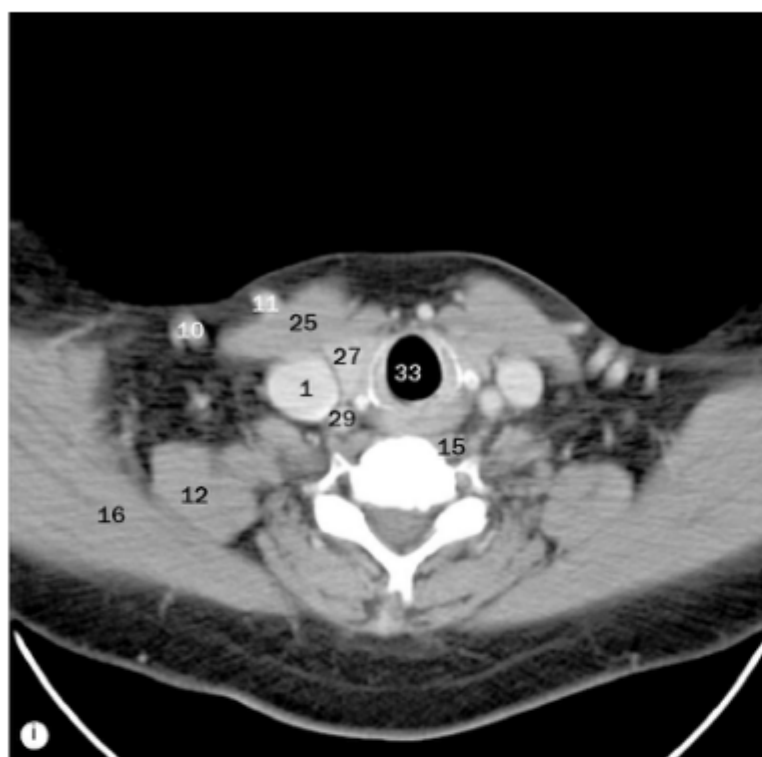
25 Músculo esternocleidomastóideo

26 Músculo esterno-hióideo

27 Glândula tireoide

28 Esôfago

As legendas das páginas 26-28 são comuns para todas as três páginas.



(a)-(l) Laringe e parte laríngea da faringe, imagens axiais de TC.

29 Arteria carótida comum
30 Músculo infra-hióideo
31 Arteria vertebral
32 Cartilagem cricóideia
33 Traqueia
34 Laringe

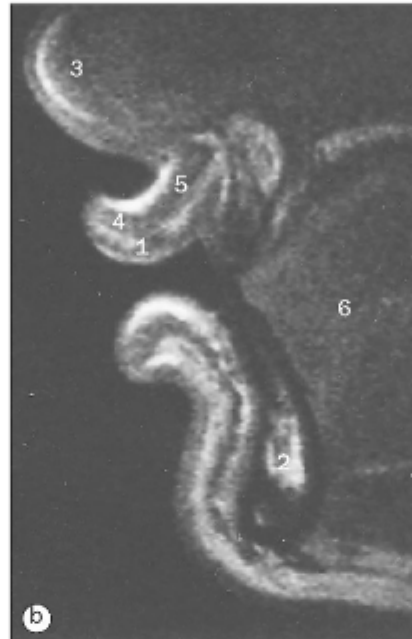
35 Glote
36 Músculo escaleno anterior
37 Músculo escaleno médio
38 Músculo escaleno posterior
39 Cartilagem aritenóideia
40 Músculo vocal

As legendas das páginas 26-28 são comuns para todas as três páginas.



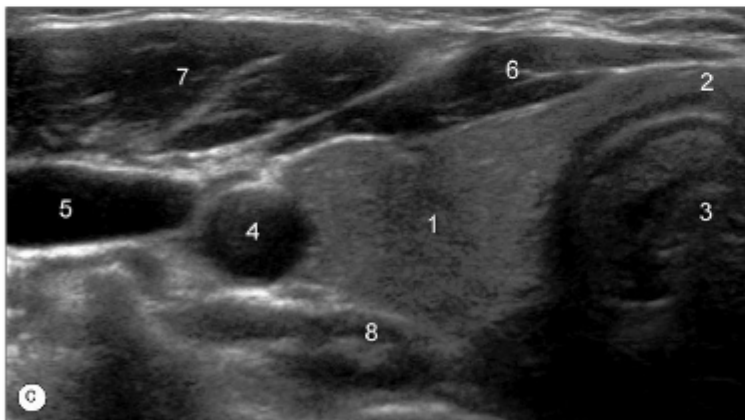
(a) Tecidos moles do pescoço, projeção lateral.

- 1 Parte nasal da faringe
- 2 Palato mole
- 3 Base da língua
- 4 Parte oral da faringe
- 5 Tecidos moles retrofaríngeos
- 6 Corpo do osso hioide
- 7 Corno maior do osso hioide
- 8 Epiglote
- 9 Valécula epiglótica
- 10 Cartilagem tireóidea
- 11 Cartilagem cricóidea
- 12 Ventrículo da laringe
- 13 Traqueia
- 14 Entrada do esôfago
- 15 Parte laríngea da faringe

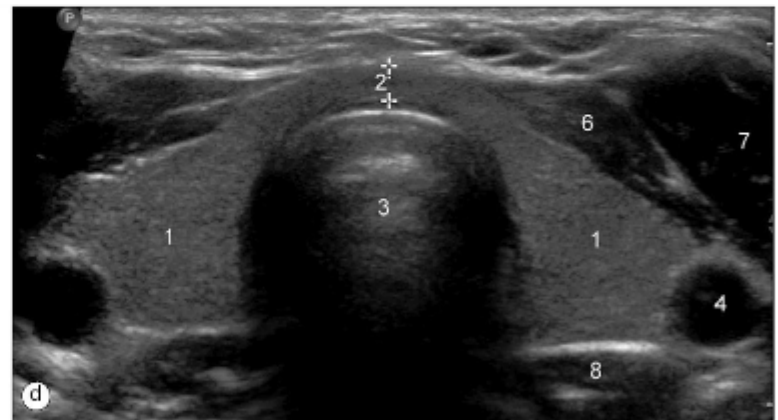


(b) Os lábios, imagem sagital de RM.

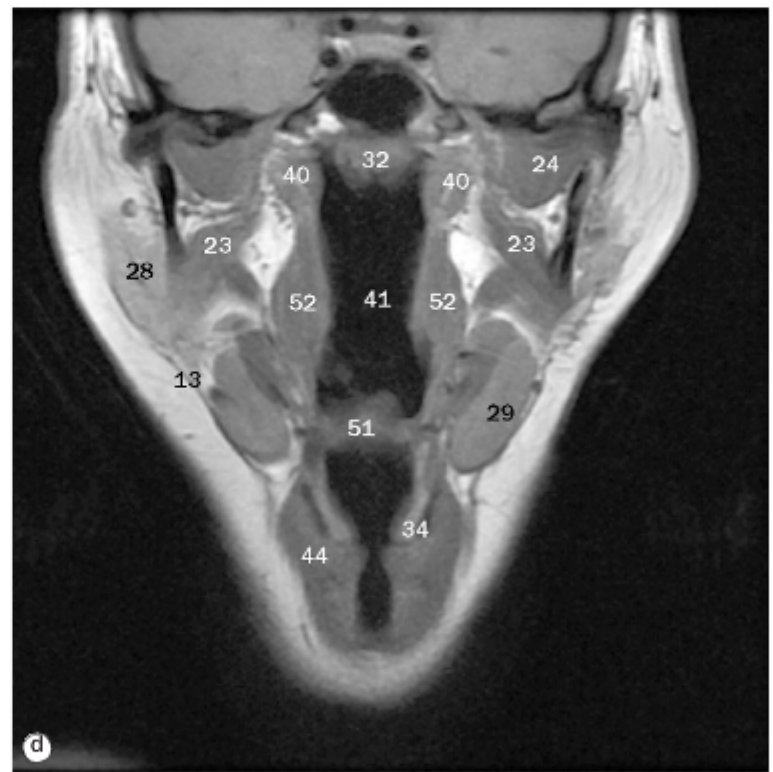
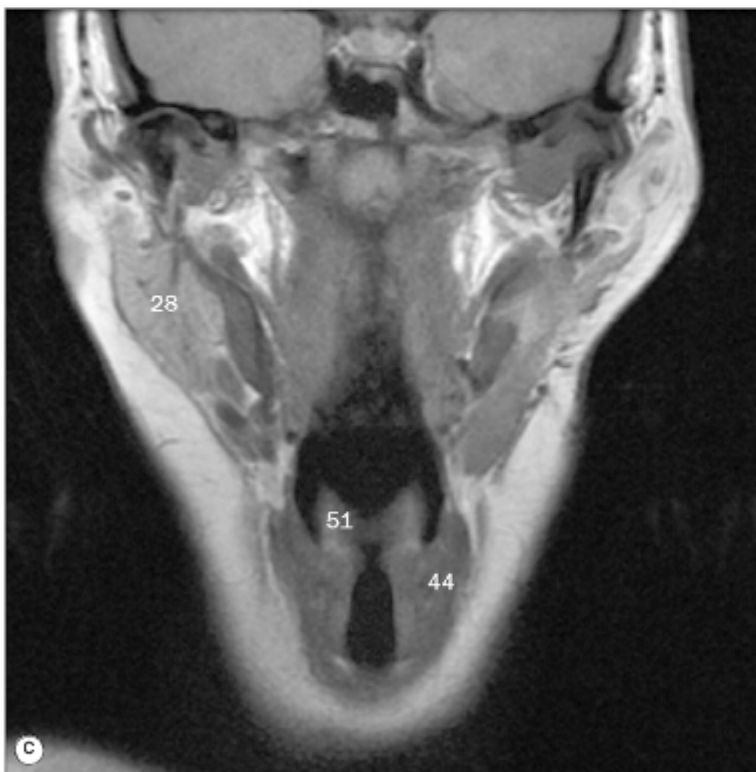
- 1 Inserção deltóidea do músculo levantador do lábio superior
- 2 Mandíbula
- 3 Nariz
- 4 Parte marginal do músculo orbicular da boca
- 5 Parte periférica do músculo orbicular da boca
- 6 Língua



(c) e (d) Ultrassonografia da glândula tireoide, projeção axial.



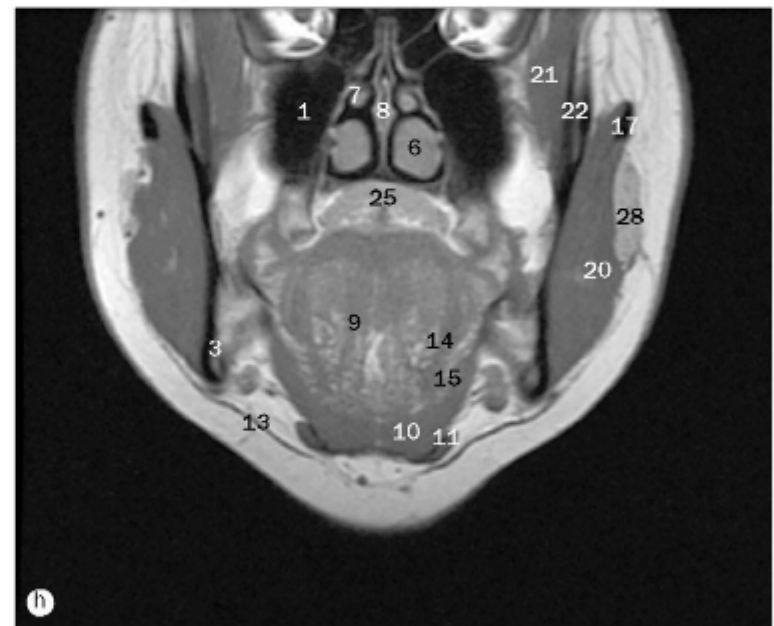
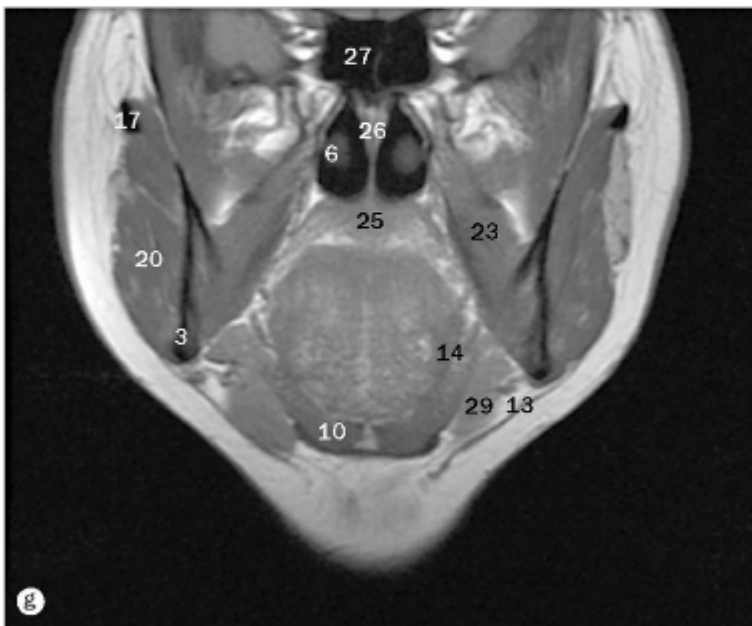
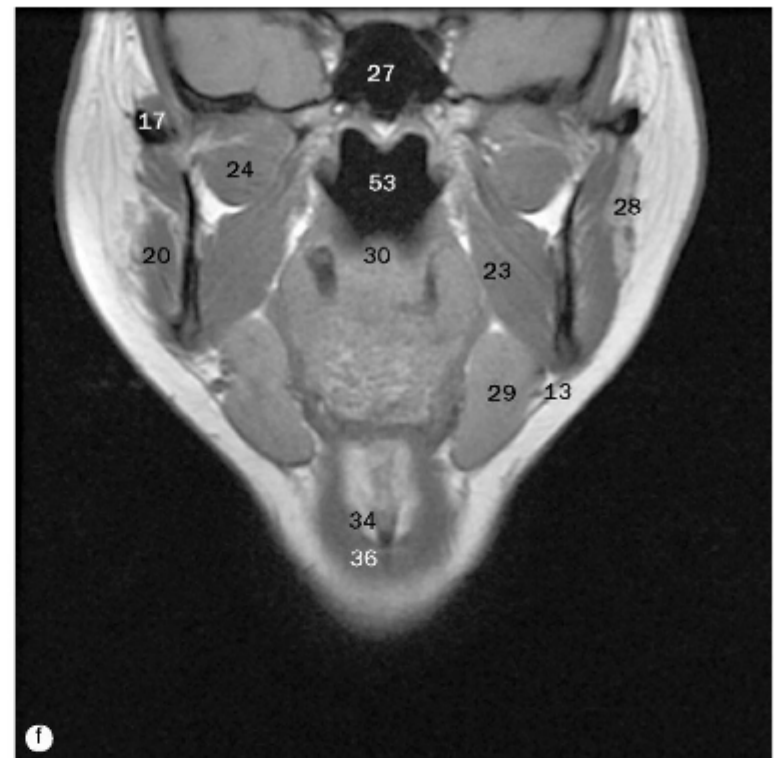
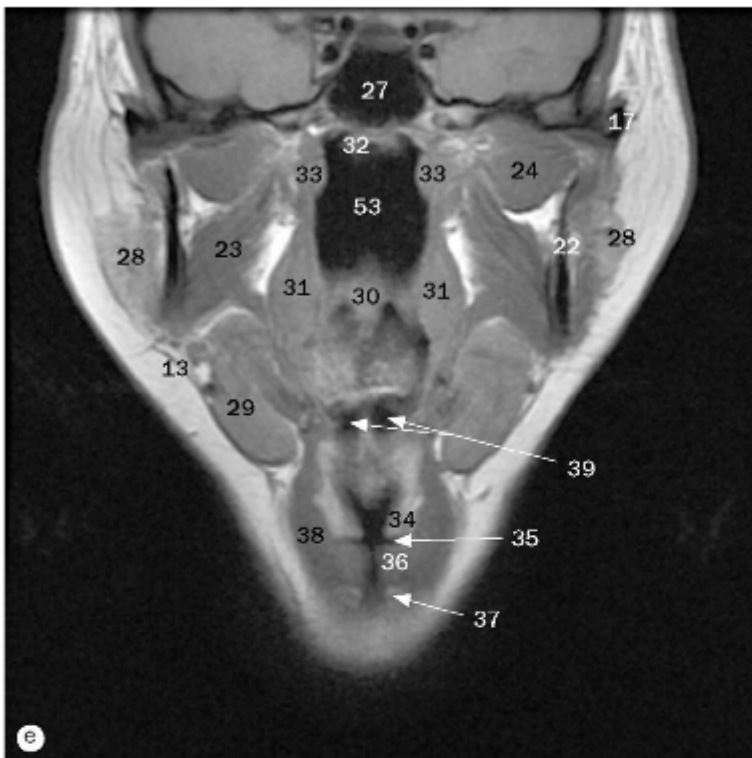
- 1 Lobo da glândula tireoide
- 2 Istmo da glândula tireoide
- 3 Traqueia
- 4 Artéria carótida comum
- 5 Veia jugular interna
- 6 Músculo infra-hióideo
- 7 Músculo esternocleidomastóideo
- 8 Músculo pré-vertebral



(a)-(l) Imagens coronais de RM da faringe, da região posterior para anterior.

- | | |
|-----------------------------|--|
| 1 Seio maxilar | 8 Septo nasal |
| 2 Palato duro | 9 Músculo genioglosso |
| 3 Mandíbula | 10 Músculo gênio-hióideo |
| 4 Margem alveolar da maxila | 11 Ventre anterior do músculo digástrico |
| 5 Cavidade oral | 12 Septo da língua |
| 6 Concha nasal inferior | 13 Músculo platisma |
| 7 Concha nasal média | 14 Músculo hioglosso |

As legendas das páginas 30-32 são comuns para todas as três páginas.

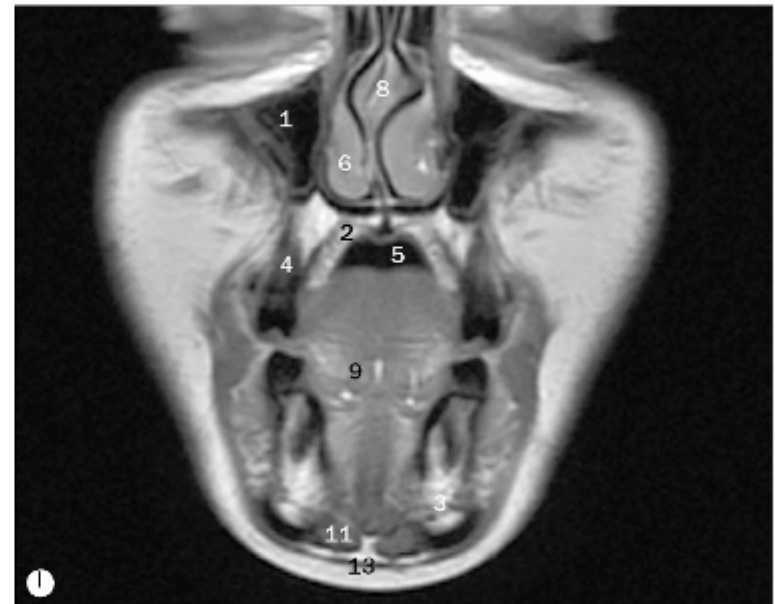
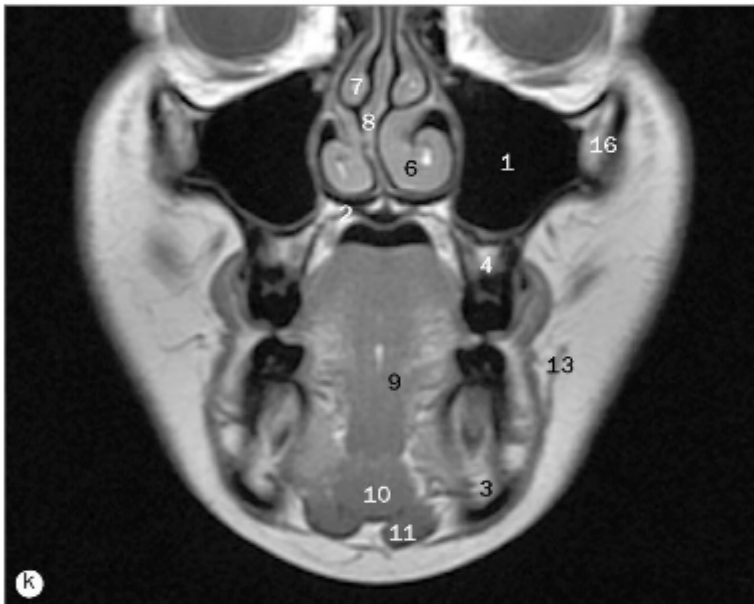
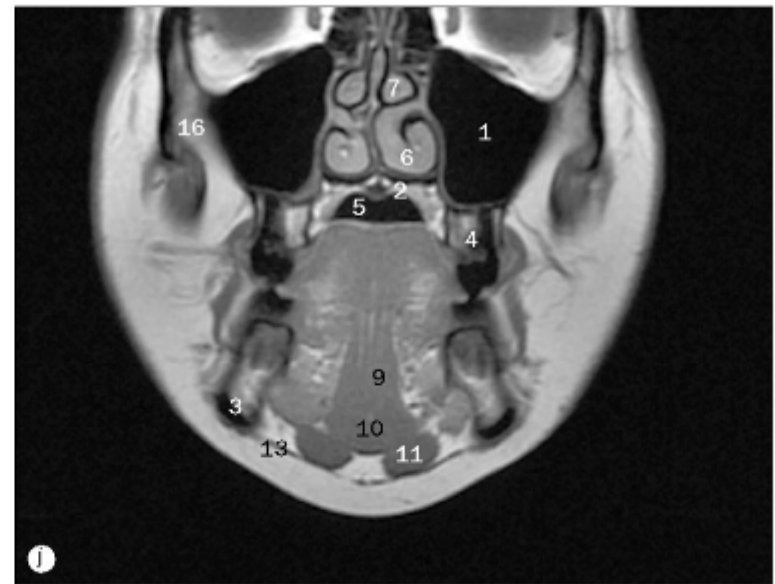
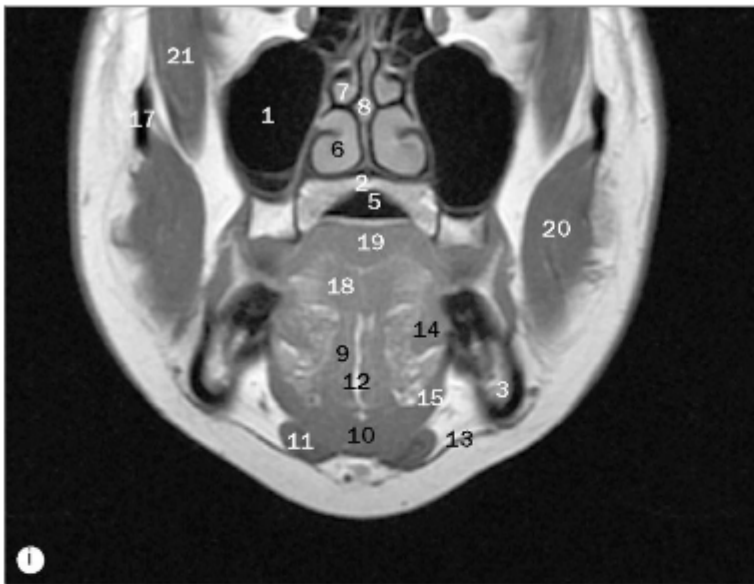


(a)-(l) Imagens coronais de RM da faringe, da região posterior para anterior.

15 Músculo milo-hióideo
 16 Osso zigomático
 17 Arco zigomático
 18 Músculo transverso da língua
 19 Músculo longitudinal da língua
 20 Músculo masseter
 21 Músculo temporal
 22 Ramo da mandíbula
 23 Músculo pterigóideo medial

24 Músculo pterigóideo lateral
 25 Palato mole
 26 Vômer
 27 Seio esfenoidal
 28 Glândula parótida
 29 Glândula submandibular
 30 Úvula palatina
 31 Músculo palatofaríngeo
 32 Tonsilas faríngeas

As legendas das páginas 30-32 são comuns para todas as três páginas.

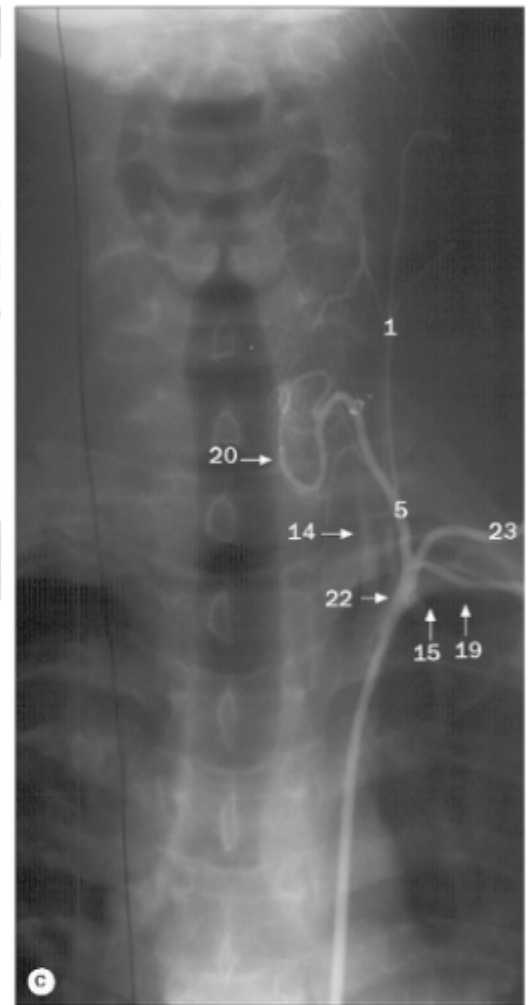
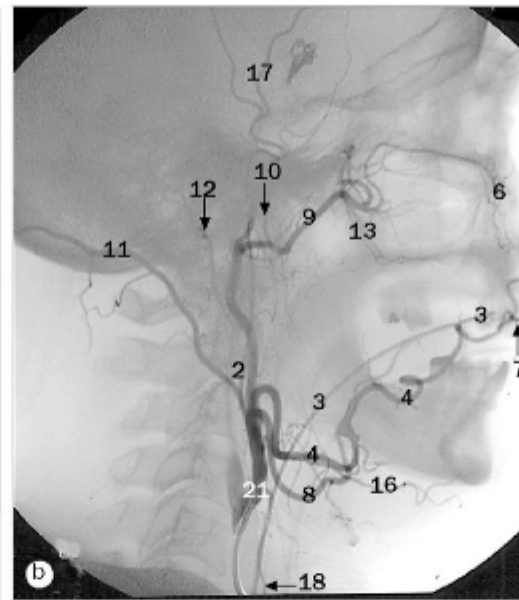
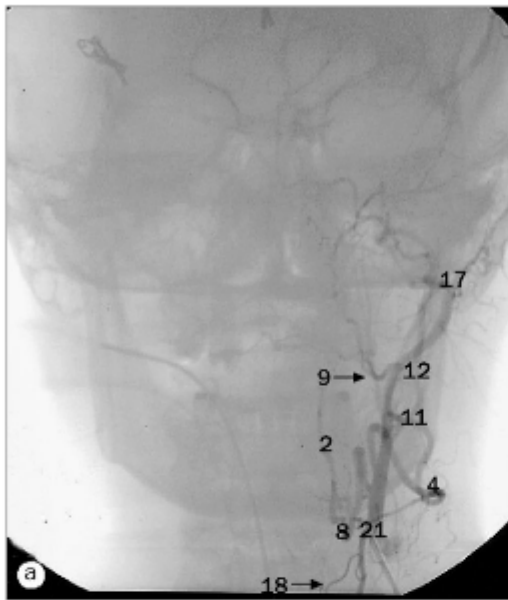


(a)-(l) Imagens coronais de RM da faringe, da região posterior para anterior.

33 Músculo levantador do véu palatino
 34 Prega vestibular
 35 Ventrículo da laringe
 36 Músculo vocal
 37 Cartilagem cricóidea
 38 Músculo tíreo-hióideo
 39 Valécula epiglótica
 40 Tuba auditiva
 41 Parte oral da faringe
 42 Processo condilar da mandíbula
 43 Articulação temporomandibular

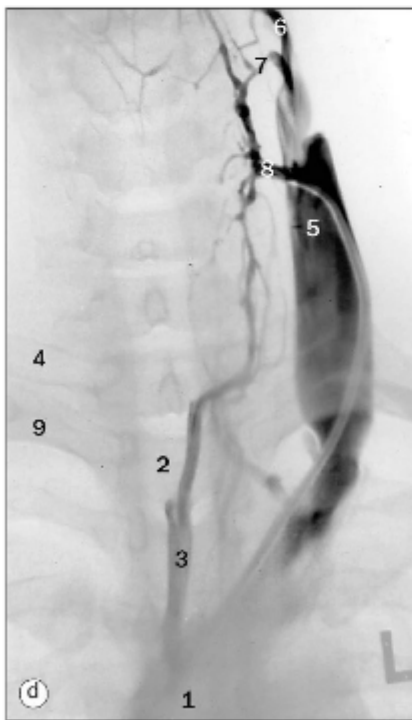
44 Glândula tireoide
 45 Músculo esternocleidomastóideo
 46 Traqueia
 47 Artéria carótida interna
 48 Meato acústico externo
 49 Veia retromandibular
 50 Arco anterior do atlas
 51 Epiglote
 52 Tonsilas palatinas
 53 Parte nasal da faringe

As legendas das páginas 30-32 são comuns para todas as três páginas.



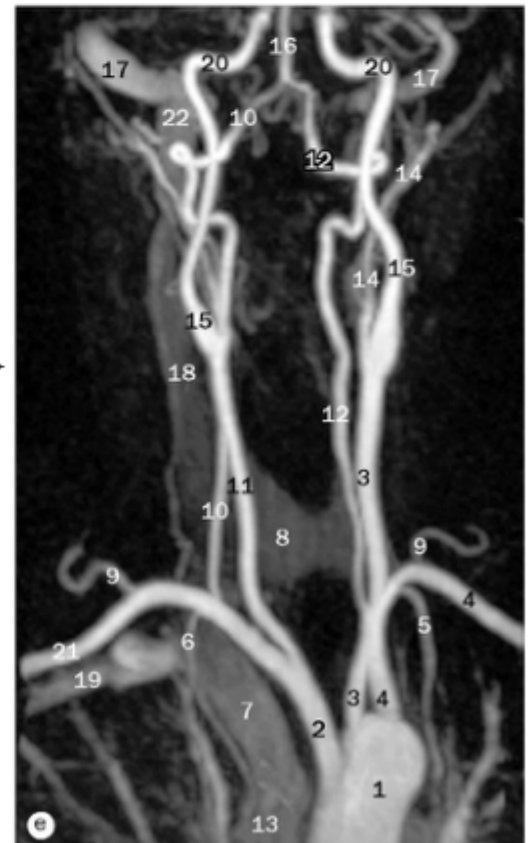
Arteriografias de subtração digital da artéria carótida externa, (a) projeção anteroposterior, (b) projeção lateral. (c) Arteriografia da glândula tireoide.

- | | | |
|---------------------------------|--|---|
| 1 Artéria cervical ascendente | 9 Artéria maxilar | 17 Artéria temporal superficial |
| 2 Artéria faríngea ascendente | 10 Artéria meníngea média | 18 Artéria tireoideia superior |
| 3 Tubo endotraqueal | 11 Artéria occipital | 19 Artéria supraescapular |
| 4 Artéria facial | 12 Artéria auricular posterior | 20 Ramos tireoideos da artéria tireoideia inferior |
| 5 Artéria tireoideia inferior | 13 Artéria alveolar posterossuperior | 21 Extremidade do cateter na artéria carótida externa |
| 6 Artéria infraorbital | 14 Refluxo de meio de contraste para o interior da artéria vertebral | 22 Extremidade do cateter no tronco tireocervical |
| 7 Ramo labial da artéria facial | 15 Artéria subclávia | 23 Artéria cervical transversa |
| 8 Artéria lingual | 16 Artéria submental | |

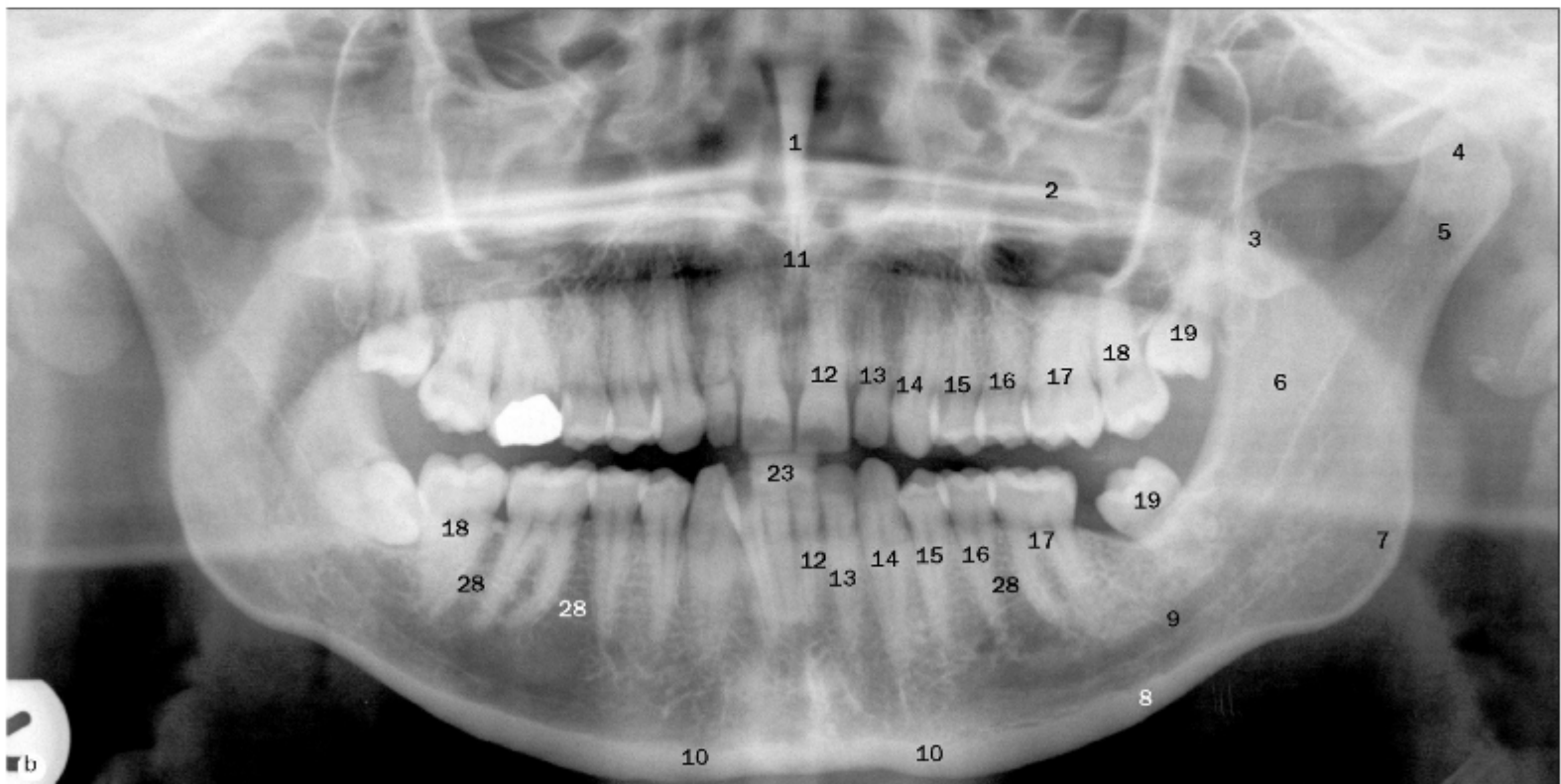
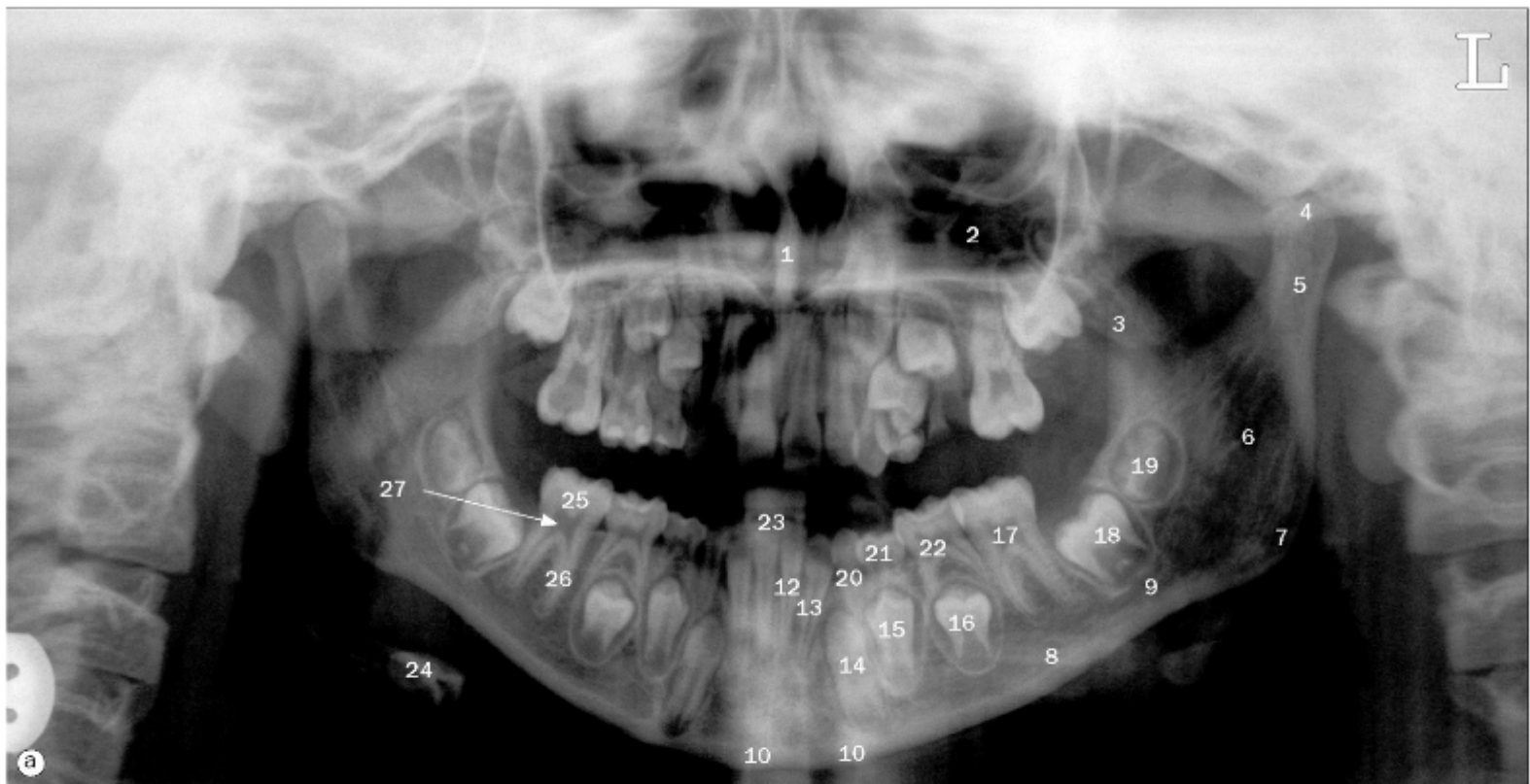


- | | |
|---------------------------------|---|
| 1 Veia braquiocefálica esquerda | 6 Veia lingual |
| 2 Traqueia | 7 Veia tireoideia superior |
| 3 Veia tireoideia inferior | 8 Extremidade do cateter na veia tireoideia média |
| 4 Processo transverso de C7 | 9 Primeira costela direita |
| 5 Veia jugular interna | |

- | | |
|-------------------------------------|--|
| 1 Arco da aorta | 12 Artéria vertebral esquerda |
| 2 Tronco braquiocefálico | 13 Veia cava superior |
| 3 Artéria carótida comum esquerda | 14 Artéria carótida externa |
| 4 Artéria subclávia esquerda | 15 Artéria carótida interna |
| 5 Artéria torácica interna esquerda | 16 Artéria basilar |
| 6 Artéria torácica interna direita | 17 Seio sigmóideo |
| 7 Veia braquiocefálica direita | 18 Veia jugular interna |
| 8 Lobo direito da glândula tireoide | 19 Veia subclávia direita |
| 9 Tronco costocervical | 20 Parte petrosa da artéria carótida interna |
| 10 Artéria vertebral direita | 21 Artéria subclávia direita |
| 11 Artéria carótida comum direita | 22 Bulbo da veia jugular |

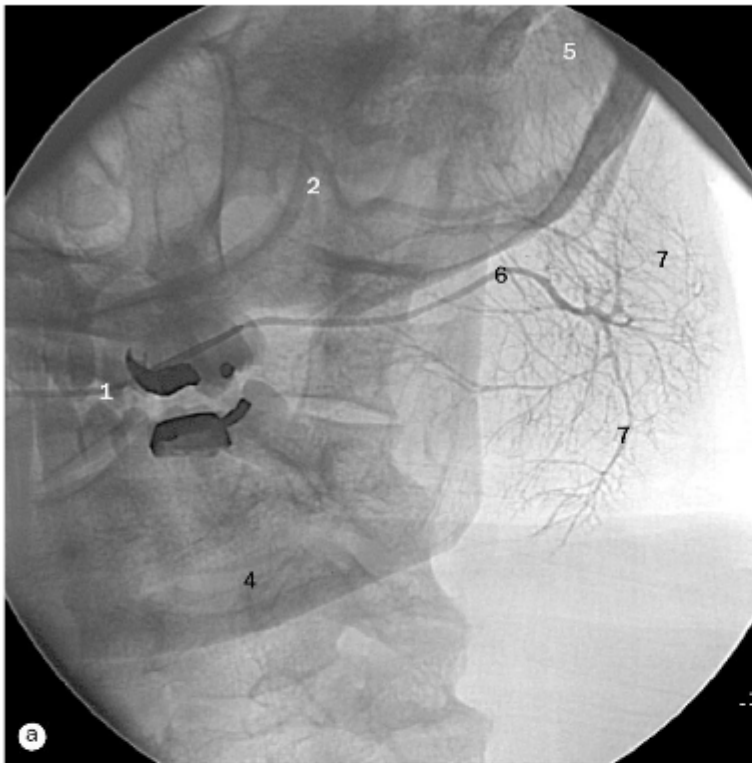


(d) Venografia do pescoço. (e) Angiorressonância dos vasos do pescoço.

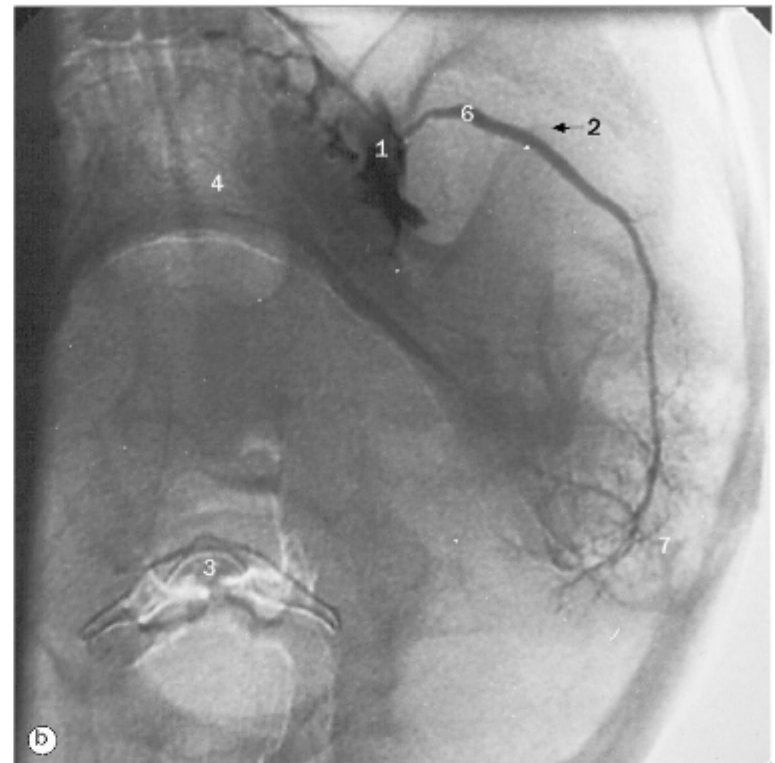


Tomografia panorâmica dental (ortopantomografia) de (a) uma criança de 6 anos, (b) um adulto.

- | | | | |
|--|---------------------------|-------------------------------|--------------------------------|
| 1 Septo nasal | 6 Ramo da mandíbula | 14 Dente canino | 22 Pré-molar posterior decíduo |
| 2 Seio maxilar | 7 Ângulo da mandíbula | 15 Pré-molar anterior | 23 Bloqueio da mordida |
| 3 Processo coronoide da mandíbula | 8 Corpo da mandíbula | 16 Pré-molar posterior | 24 Osso hioide |
| 4 Cabeça do processo condilar da mandíbula | 9 Canal da mandíbula | 17 Primeiro molar | 25 Coroa do dente |
| 5 Colo do processo condilar da mandíbula | 10 Tubérculo mentual | 18 Segundo molar | 26 Raiz do dente |
| | 11 Espinha nasal anterior | 19 Terceiro molar | 27 Cavidade pulpar |
| | 12 Incisivo medial | 20 Dente canino decíduo | 28 Alvéolo dental |
| | 13 Incisivo lateral | 21 Pré-molar anterior decíduo | |



(a) Sialografia da parótida.



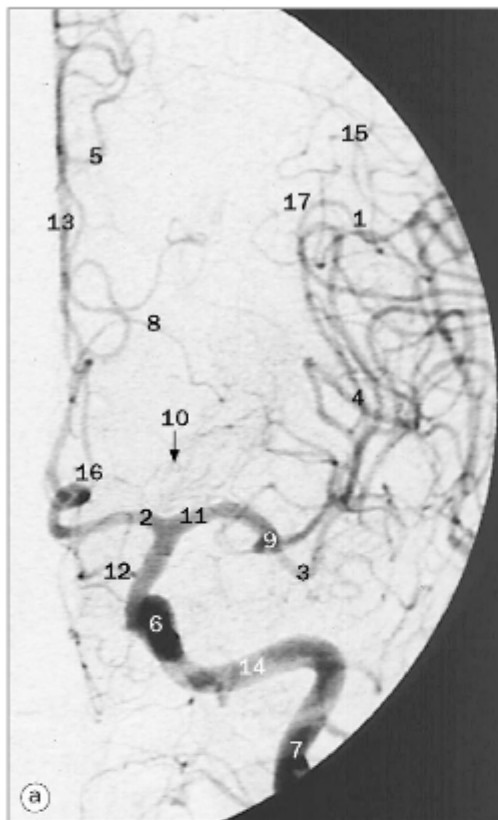
(b) Sialografia da parótida, projeção submentovertical.

- | | |
|-----------------------------------|------------------------|
| 1 Cateter | 5 Processo mastóideo |
| 2 Processo coronoide da mandíbula | 6 Ducto parotídeo |
| 3 Osso hioide | 7 Dúctulos secundários |
| 4 Mandíbula | |



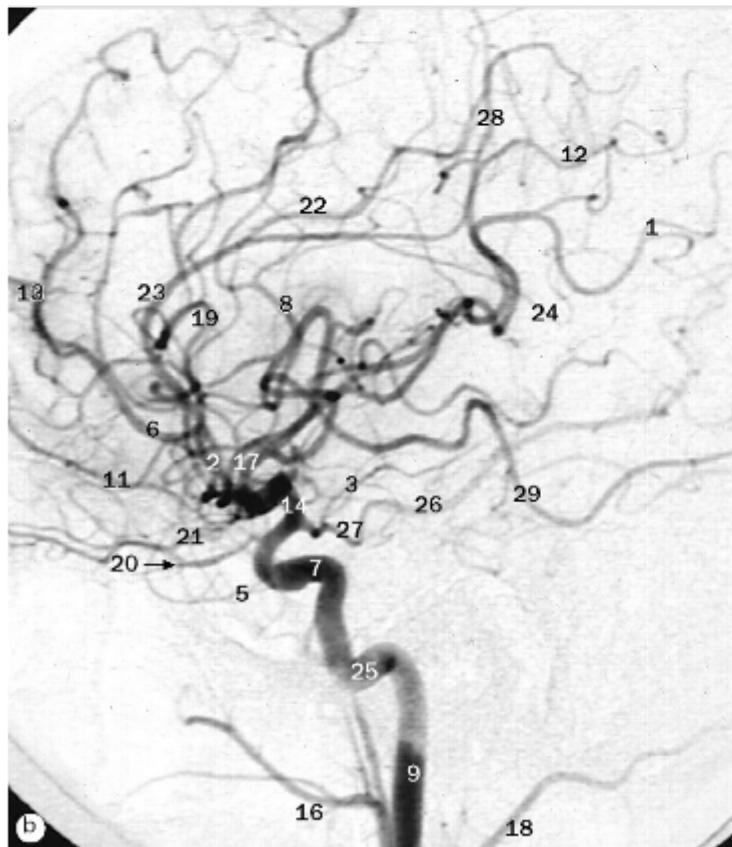
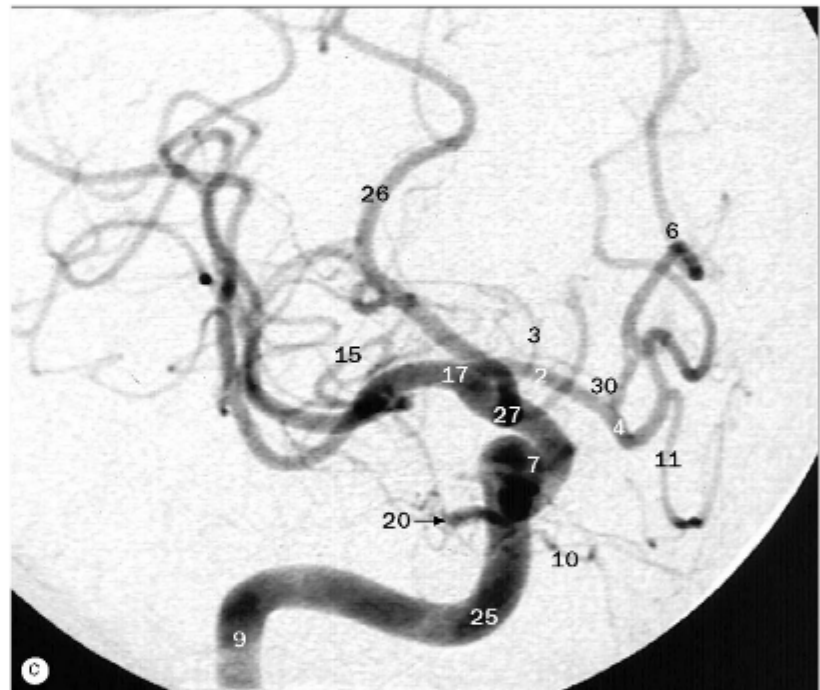
(c) Sialografia submandibular.

- | |
|-----------------------|
| 1 Cateter |
| 2 Ducto submandibular |
| 3 Mandíbula |
| 4 Ductos secundários |

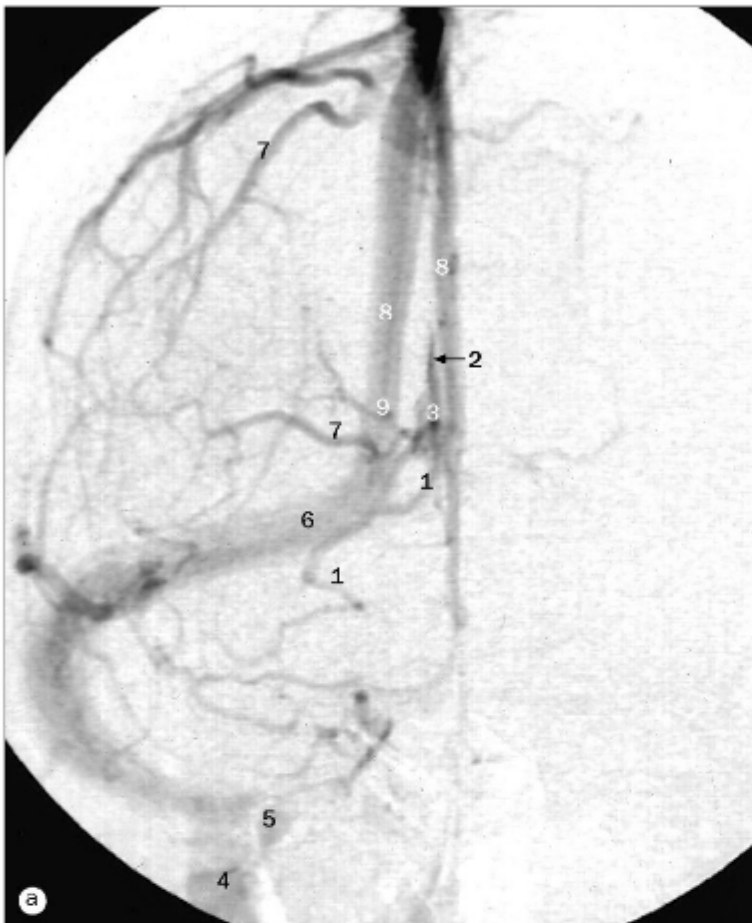


- 1 Ramos angulares da artéria cerebral média
- 2 Artéria cerebral anterior
- 3 Ramos temporais anteriores da artéria cerebral média
- 4 Ramos (na ínsula) da artéria cerebral média
- 5 Artéria calosomarginal
- 6 Parte cavernosa da artéria carótida interna
- 7 Parte cervical da artéria carótida interna
- 8 Artéria polar frontal
- 9 Joelho da artéria cerebral média
- 10 Artérias centrais anterolaterais
- 11 Artéria cerebral média
- 12 Ramo orbitofrontal da artéria pericalosa
- 13 Artéria pericalosa
- 14 Parte petrosa da artéria carótida interna
- 15 Ramos parietais posteriores da artéria cerebral média
- 16 Artéria estriada distal medial
- 17 Ramo anterior da artéria meníngea média (ponto de Sylvius)

Fase arterial de arteriografias carotídeas de subtração digital, (a) projeção anteroposterior, (b) projeção lateral, (c) projeção oblíqua.

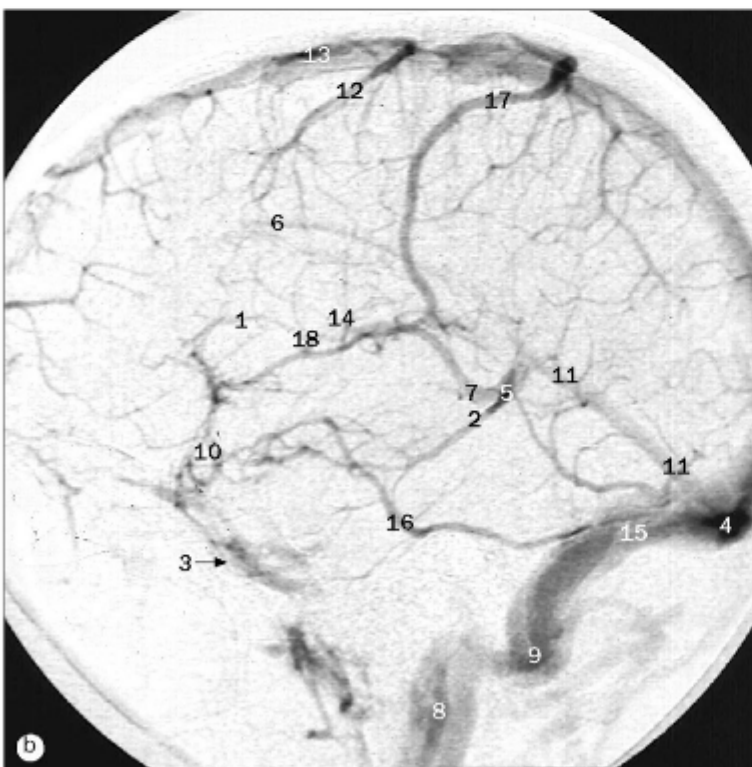


- | | |
|--|--|
| 1 Artéria angular | 15 Artéria central anterolateral |
| 2 Artéria cerebral anterior | 16 Artéria maxilar |
| 3 Artéria coriíidea anterior | 17 Artéria cerebral média |
| 4 Artéria comunicante anterior | 18 Artéria occipital |
| 5 Artéria temporal anterior | 19 Artéria opercular frontal |
| 6 Artéria calosomarginal | 20 Artéria oftálmica |
| 7 Parte cavernosa da artéria carótida interna | 21 Artéria orbitofrontal |
| 8 Artéria do sulco central | 22 Artéria paracentral |
| 9 Parte cervical da artéria carótida interna | 23 Artéria pericalosa |
| 10 Ramo etmoidal da artéria oftálmica | 24 Artéria pericalosa estendendo-se ao redor do corpo caloso |
| 11 Artéria polar frontal | 25 Parte petrosa da artéria carótida interna |
| 12 Artéria parietal inferior interna | 26 Artéria cerebral posterior |
| 13 Ramo frontal interno da artéria cerebral anterior | 27 Artéria comunicante posterior |
| 14 Parte cerebral da artéria carótida interna | 28 Artéria parietal posterior |
| | 29 Artéria temporal posterior |
| | 30 Artéria estriada distal medial |



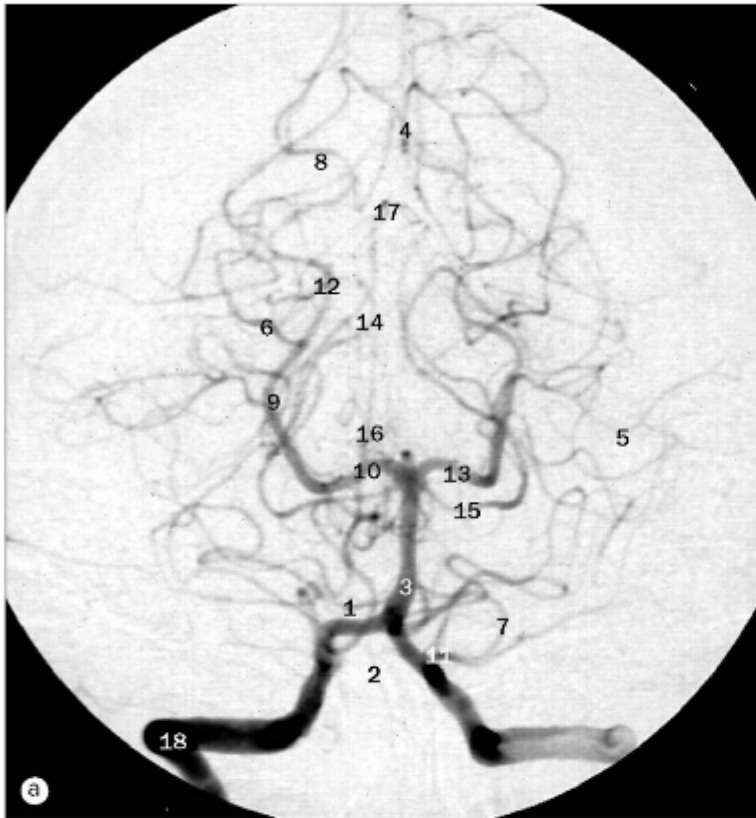
(a) Fase venosa de arteriografia de subtração digital da carótida, projeção anteroposterior.

- 1 Veia basilar
- 2 Seio sagital inferior
- 3 Veia cerebral interna
- 4 Veia jugular interna
- 5 Bulbo da veia jugular
- 6 Seio transverso direito
- 7 Veias cerebrais superficiais
- 8 Seio sagital superior
- 9 Veia talamoestriada



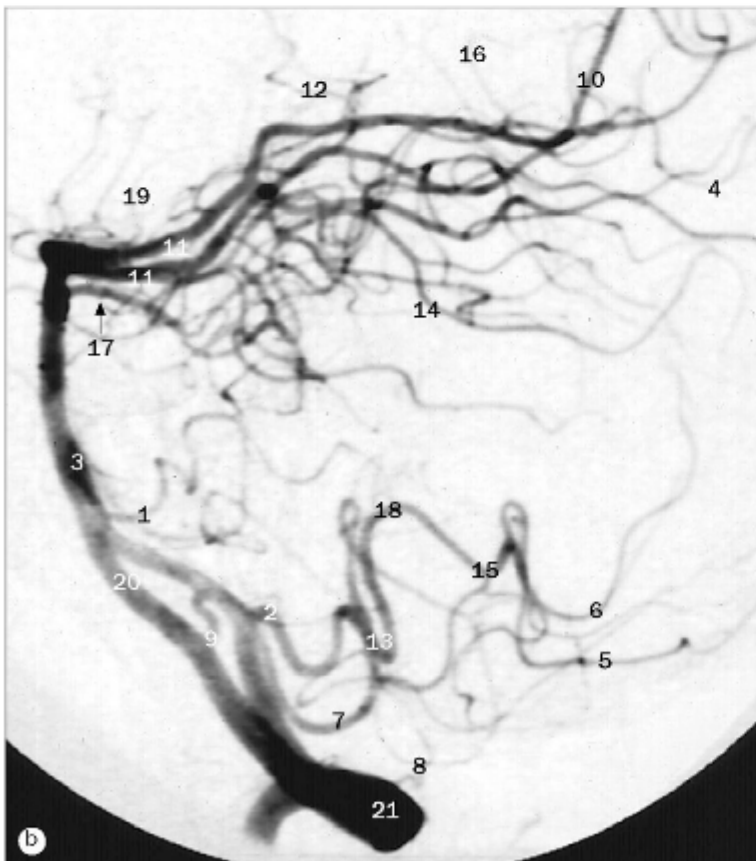
(b) Fase venosa de arteriografia de subtração digital da carótida, projeção lateral.

- 1 Veia anterior do núcleo caudado
- 2 Veia basilar
- 3 Seio cavernoso
- 4 Confluência dos seios
- 5 Veia cerebral magna
- 6 Seio sagital superior
- 7 Veia cerebral interna
- 8 Veia jugular interna
- 9 Seio sigmóideo
- 10 Seio esfenoparietal
- 11 Seio reto
- 12 Veias cerebrais superficiais
- 13 Seio sagital superior
- 14 Veia talamoestriada
- 15 Seio transverso
- 16 Veia cerebral superficial média
- 17 Veia anastomótica inferior
- 18 Ângulo venoso



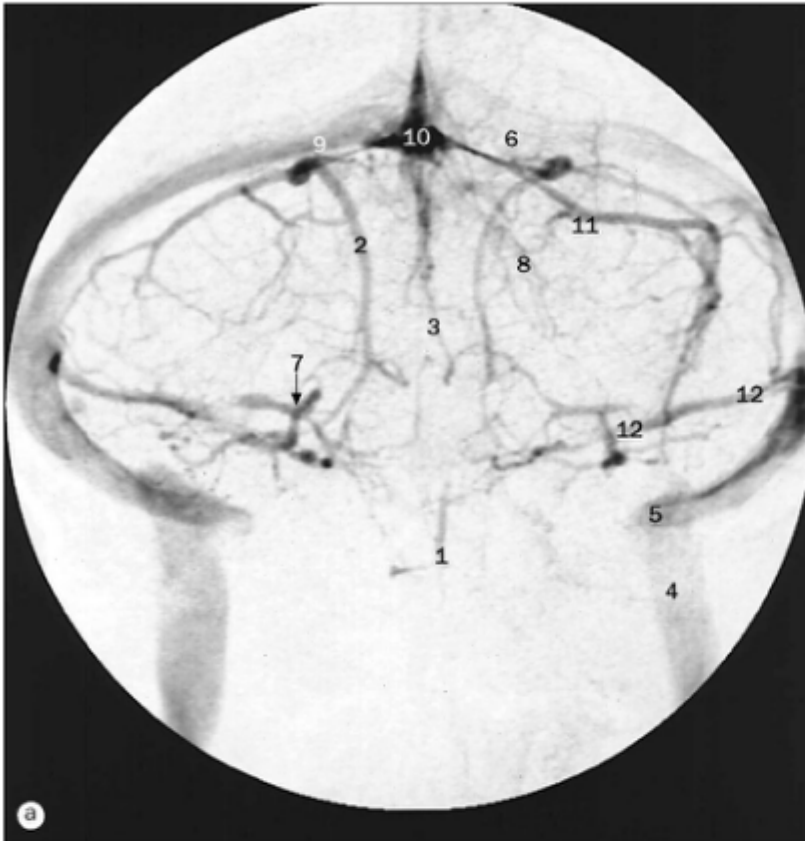
(a) Fase arterial de arteriografia de subtração digital vertebral, projeção anteroposterior.

- 1 Artéria cerebelar inferior anterior
- 2 Artéria espinal anterior
- 3 Artéria basilar
- 4 Artéria calcarina
- 5 Ramo hemisférico da artéria cerebelar superior
- 6 Artéria temporal inferior
- 7 Segmento medular da artéria cerebelar inferoposterior
- 8 Artéria parietoccipital
- 9 Artéria cerebral posterior na cisterna ambiens
- 10 Artéria cerebral posterior na cisterna interpeduncular
- 11 Artéria cerebelar inferior posterior
- 12 Parte colicular da artéria cerebral posterior (artéria colicular)
- 13 Local de junção com a artéria comunicante posterior
- 14 Artérias cerebelares superiores atrás do tronco encefálico
- 15 Artéria cerebelar superior
- 16 Ramos talamoperfurantes da artéria cerebelar superior
- 17 Artéria cerebelar superior (ramo para o verme)
- 18 Artéria vertebral emergindo do forame transversário do atlas (primeira vértebra cervical)



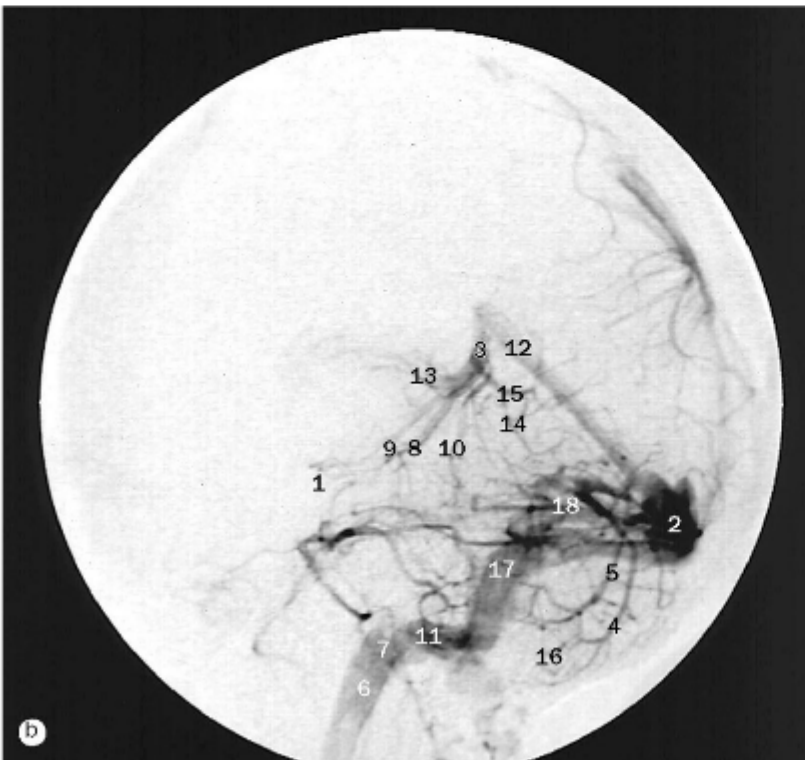
(b) Fase arterial de arteriografia de subtração digital vertebral, projeção lateral.

- 1 Artéria cerebelar inferior anterior
- 2 Segmento medular anterior da artéria cerebelar inferoposterior
- 3 Artéria basilar
- 4 Artéria calcarina
- 5 Ramos hemisféricos da artéria cerebelar inferoposterior
- 6 Artéria cerebelar inferior posterior (segmento para o verme)
- 7 Segmento medular lateral da artéria cerebelar inferior posterior
- 8 Ramo meníngeo da artéria vertebral
- 9 Origem da artéria cerebelar inferoposterior
- 10 Artéria parietoccipital
- 11 Artéria cerebral posterior
- 12 Ramos coriáceos posteriores da artéria cerebral posterior
- 13 Segmento medular posterior da artéria cerebelar inferoposterior
- 14 Artéria temporal posterior
- 15 Segmento retrotonsilar da artéria cerebelar inferior posterior
- 16 Ramos esplênicos da artéria cerebral posterior
- 17 Artéria cerebelar superior
- 18 Segmento supratonsilar da artéria cerebelar inferior posterior
- 19 Ramos perfurantes do tálamo da artéria cerebral posterior
- 20 Artéria vertebral
- 21 Artéria vertebral emergindo do forame transversário do atlas (primeira vértebra cervical)



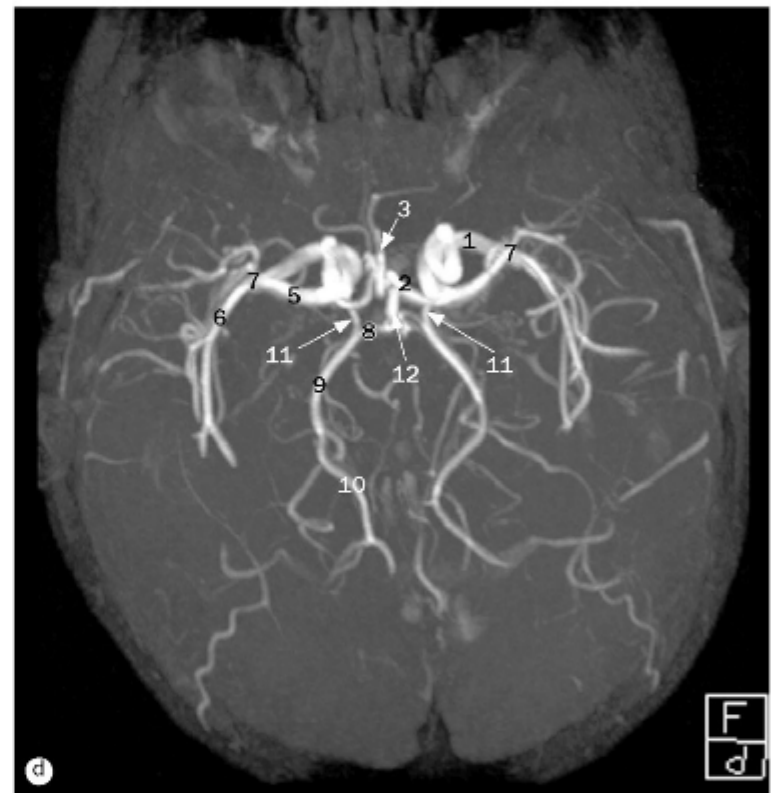
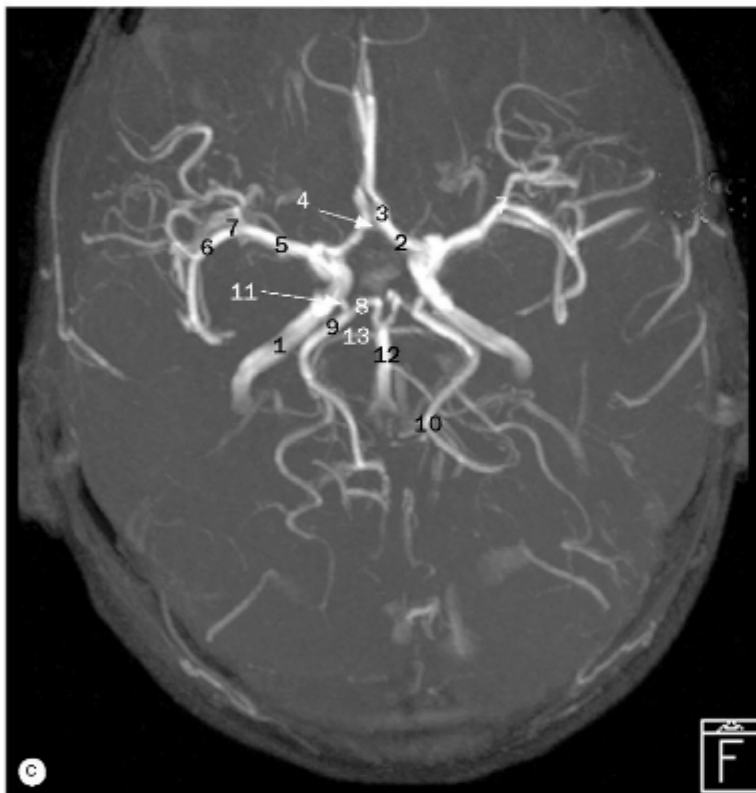
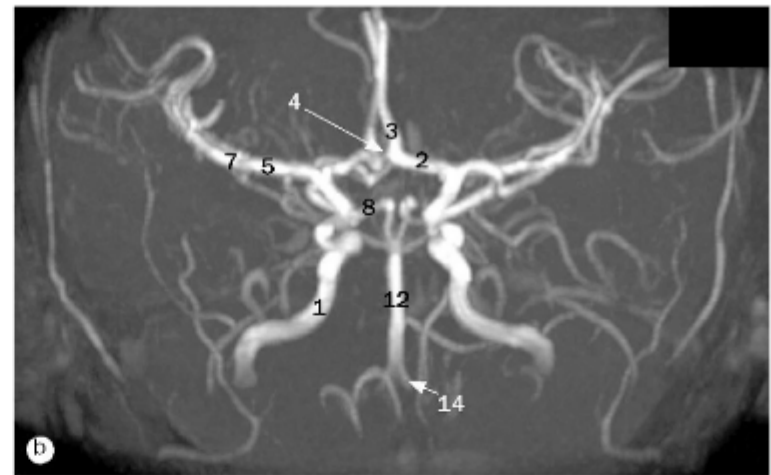
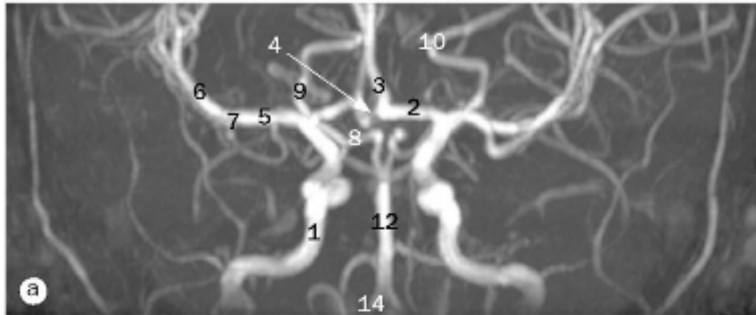
(a) Fase venosa de arteriografia de subtração digital vertebral, projeção anteroposterior.

- 1 Veia pontomesencefálica anterior
- 2 Veia hemisférica inferior
- 3 Veia inferior do verme
- 4 Veia jugular interna
- 5 Bulbo da veia jugular
- 6 Seio transverso esquerdo
- 7 Veia petrosa
- 8 Veia mesencefálica posterior
- 9 Seio transverso direito
- 10 Seio reto
- 11 Veia hemisférica superior
- 12 Seio petroso superior



(b) Fase venosa de arteriografia de subtração digital vertebral, projeção lateral.

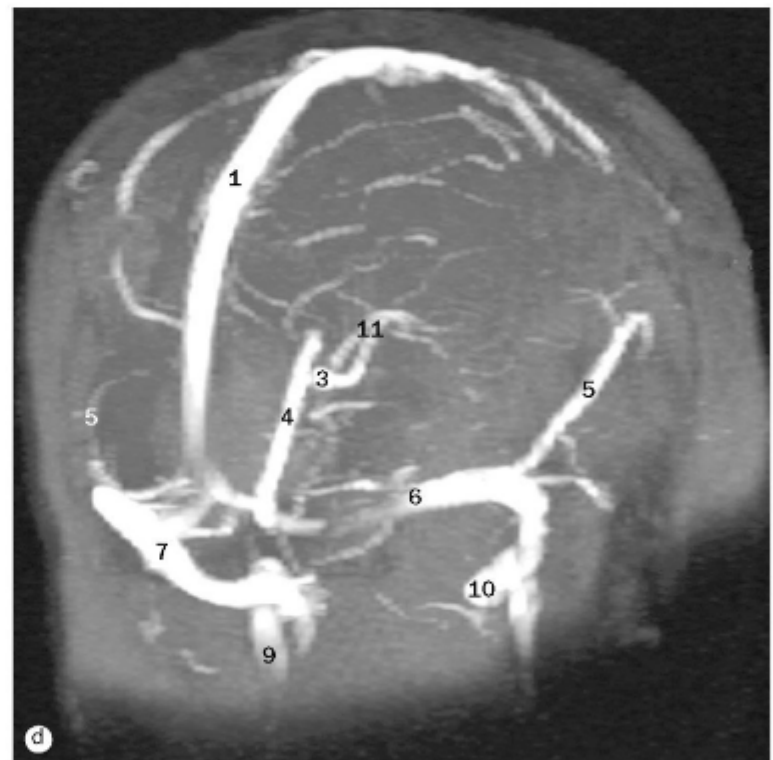
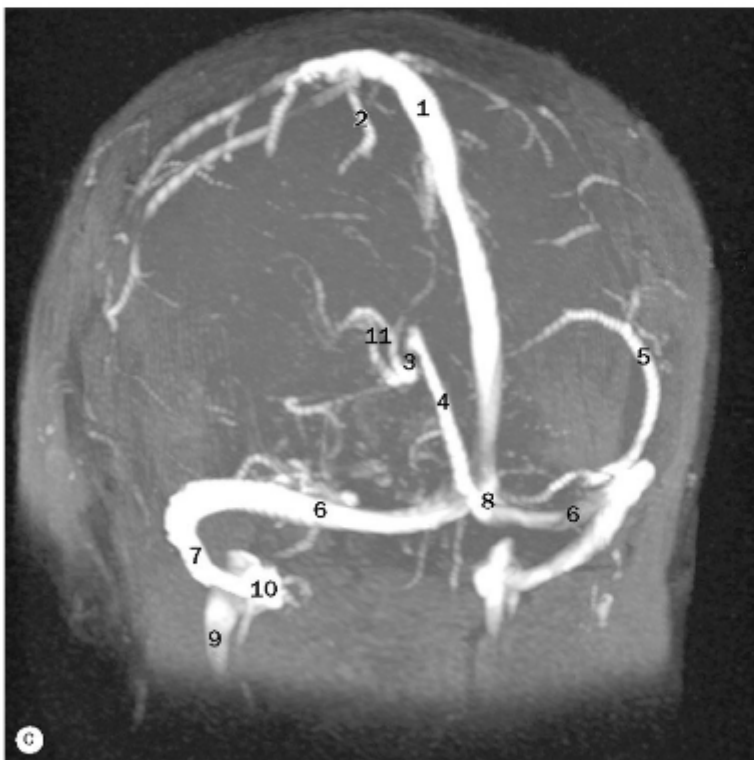
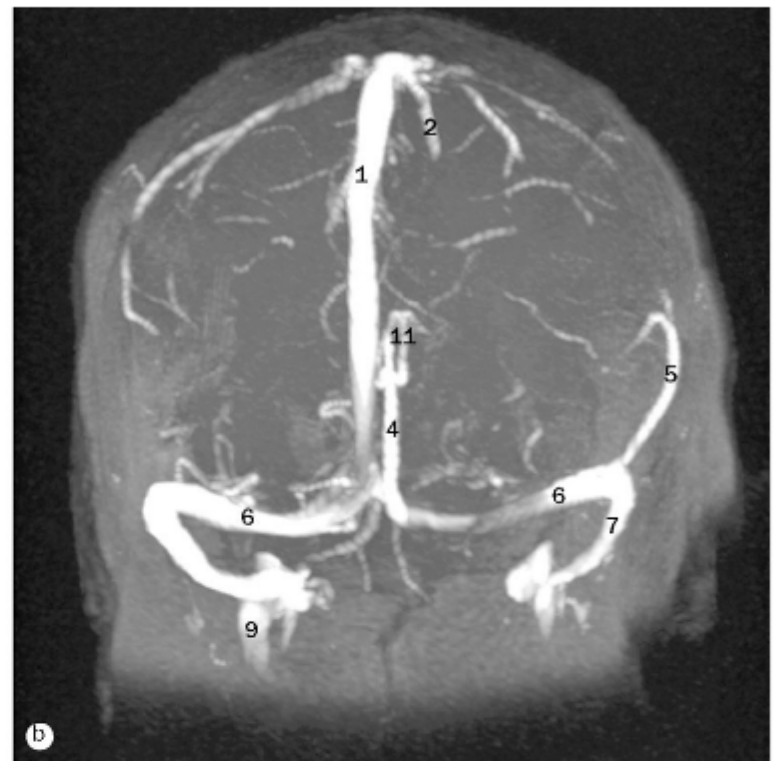
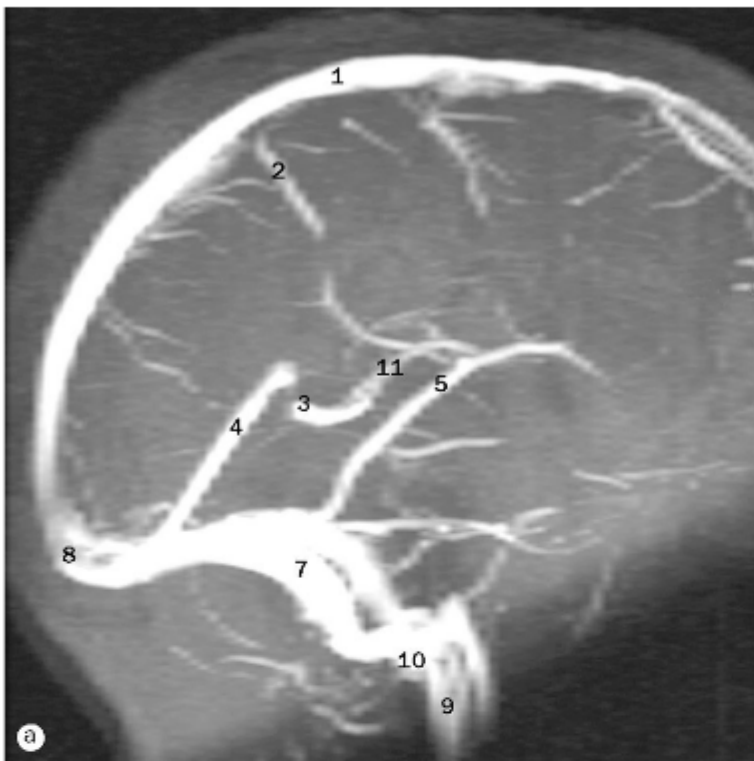
- 1 Veia pontomesencefálica anterior
- 2 Confluência dos seios
- 3 Veia cerebral magna
- 4 Veia hemisférica inferior
- 5 Veia inferior do verme
- 6 Veia jugular interna
- 7 Bulbo da veia jugular
- 8 Veia mesencefálica lateral
- 9 Veia mesencefálica posterior
- 10 Veia cerebelar pré-central
- 11 Seio sigmóideo
- 12 Seio reto
- 13 Veia coriôidea superior
- 14 Veia hemisférica superior
- 15 Veia superior do verme
- 16 Veia da tonsila
- 17 Seio transverso
- 18 Veia da grande fissura horizontal



Angiorressonâncias (ARM) do círculo arterial do cérebro, (a) e (b), coronal, (c) e (d) axial.

- 1 Artéria carótida interna
- 2 Parte pré-comunicante – segmento (A1) da artéria cerebral anterior
- 3 Parte pós-comunicante – segmento (A2) da artéria cerebral anterior
- 4 Artéria comunicante anterior
- 5 Parte esfenoidal – segmento (M1) da artéria cerebral média
- 6 Parte insular – segmento (M2) da artéria cerebral média
- 7 Joelho (bifurcação) da artéria cerebral média

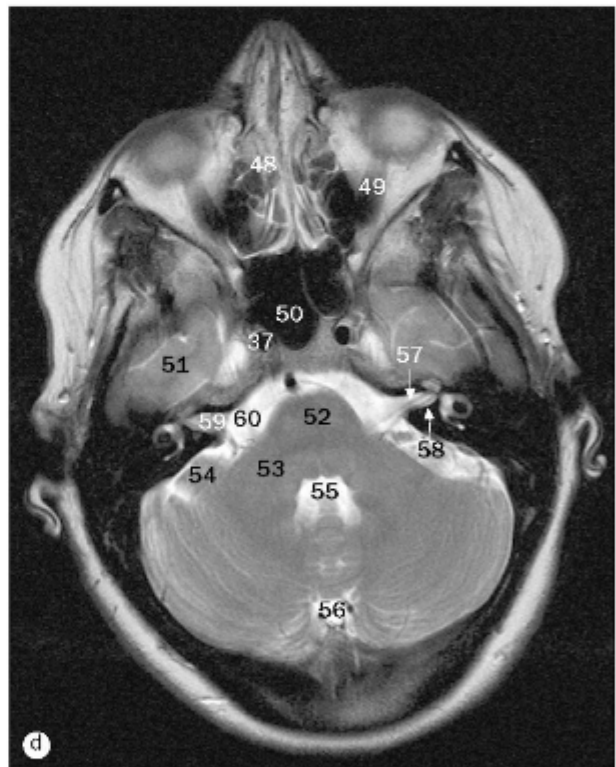
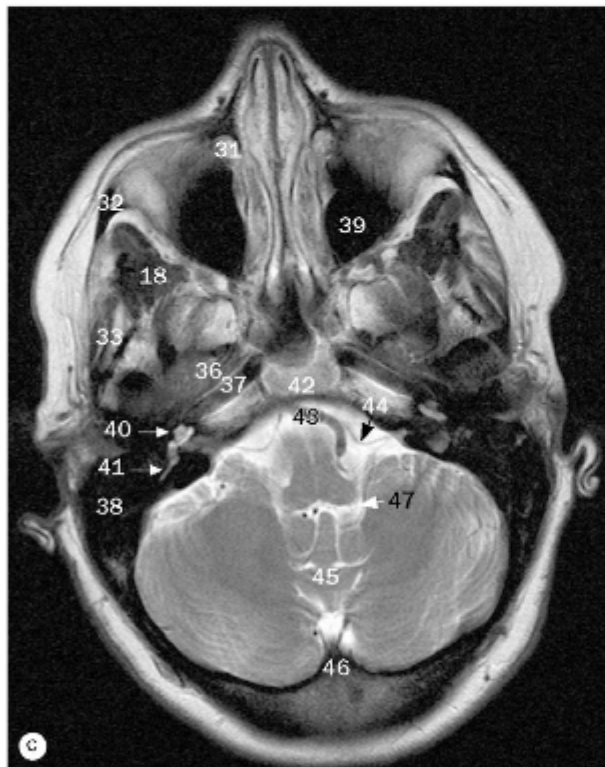
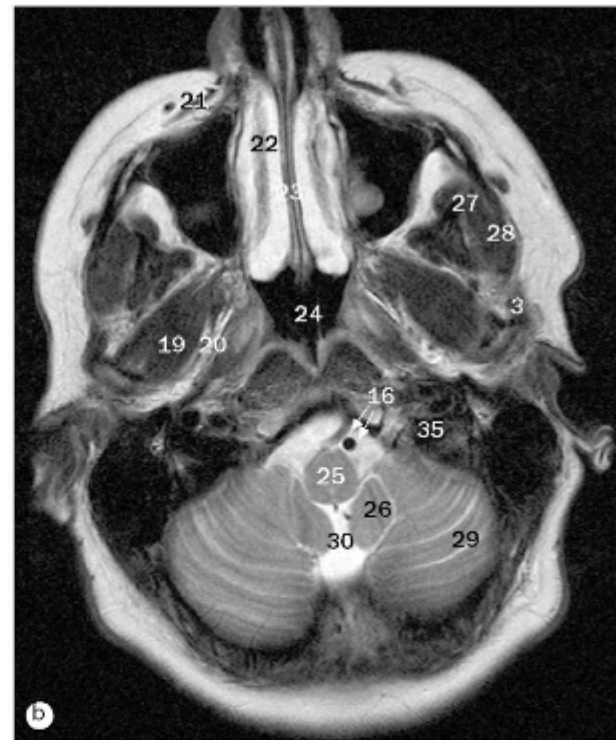
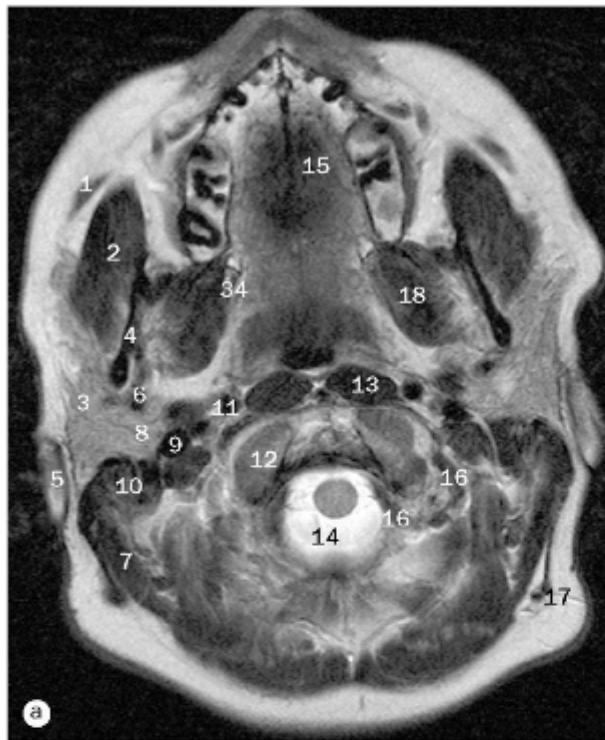
- 8 Parte pré-comunicante – segmento (P1) da artéria cerebral posterior
- 9 Parte pós-comunicante – segmento (P2) da artéria cerebral posterior
- 10 Artéria occipital lateral – segmento (P3) da artéria cerebral posterior
- 11 Artéria comunicante posterior
- 12 Artéria basilar
- 13 Artéria cerebelar superior
- 14 Artéria vertebral



Imagens de RM da circulação venosa, (a) vista lateral, (b) vista frontal, (c) vista oblíqua posterior esquerda, (d) vista oblíqua posterior direita.

- 1 Seio sagital superior
- 2 Veias cerebrais superficiais
- 3 Veia cerebral magna
- 4 Seio reto
- 5 Veia cerebral superficial média
- 6 Seio transverso

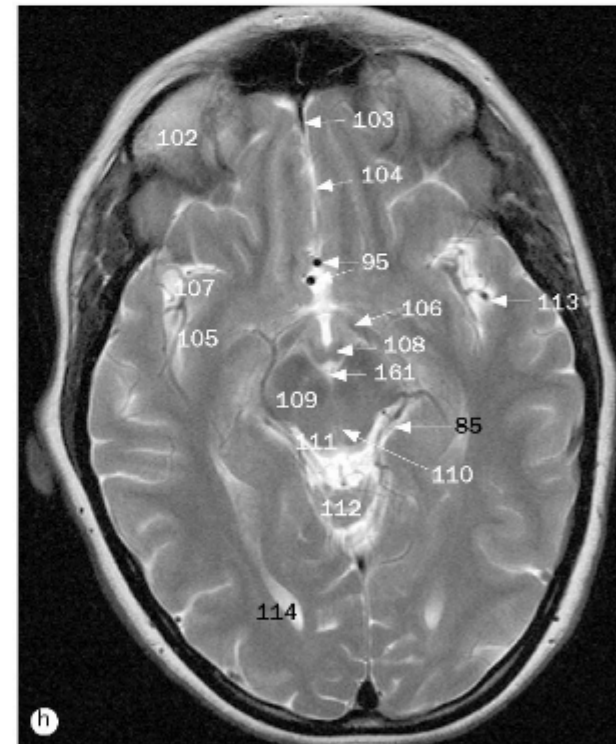
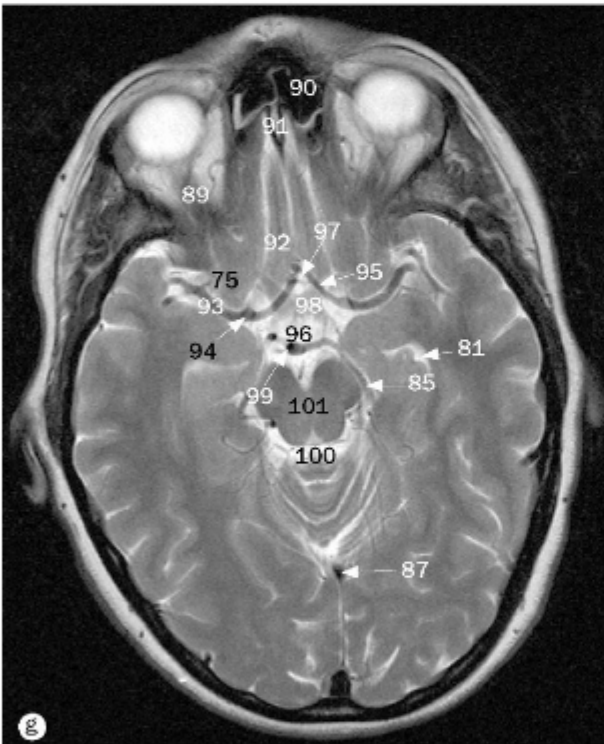
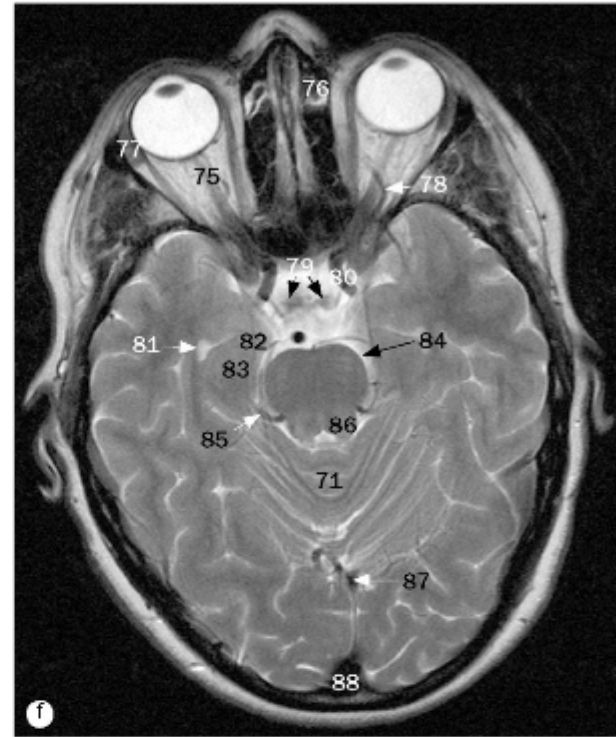
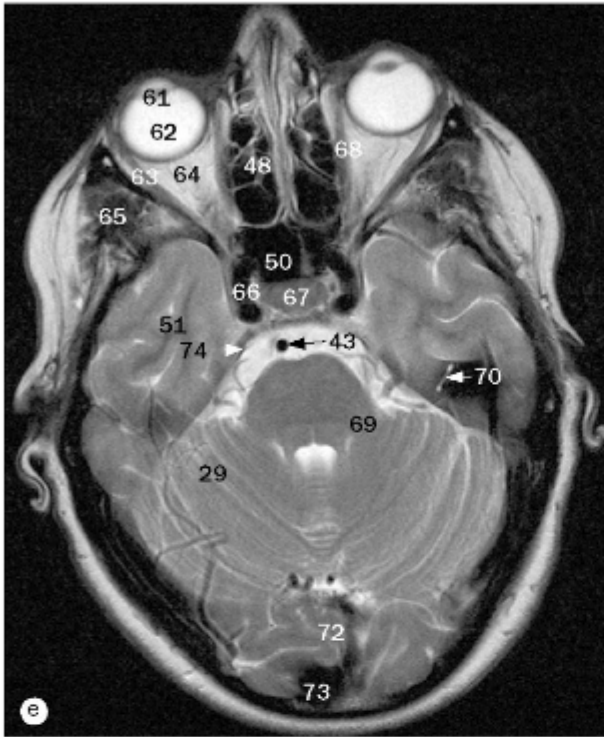
- 7 Seio sigmóideo
- 8 Confluência dos seios
- 9 Veia jugular interna
- 10 Bulbo da veia jugular
- 11 Veia cerebral interna



(a)-(n) Imagens axiais de RM do encéfalo, ponderadas em T2, da região inferior para superior.

- | | | | |
|--|-------------------------------|---|--|
| 1 Ducto parotídeo | 10 Processo mastoide | 19 Músculo pterigóideo lateral | 26 Tonsila do cerebello |
| 2 Músculo masseter | 11 Arteria carótida interna | 20 Lâmina lateral do processo pterigoide | 27 Processo coronoide da mandíbula |
| 3 Glândula parótida (lobo superficial) | 12 Côndilo occipital | 21 Músculo levantador do lábio superior e da asa do nariz | 28 Músculo temporal |
| 4 Ramo da mandíbula | 13 Músculo longo da cabeça | 22 Concha nasal inferior | 29 Folhas do cerebello |
| 5 Hélice da orelha | 14 Forame magno | 23 Septo nasal | 30 Abertura mediana do quarto ventrículo |
| 6 Veia retromandibular | 15 Palato duro | 24 Parte nasal da faringe | 31 Ducto lacrimonasal |
| 7 Músculo esternocleidomastóideo | 16 Arteria vertebral | 25 Bulbo | 32 Arco zigomático |
| 8 Glândula parótida (lobo profundo) | 17 Vasos occipitais | | |
| 9 Veia jugular interna | 18 Músculo pterigóideo medial | | |

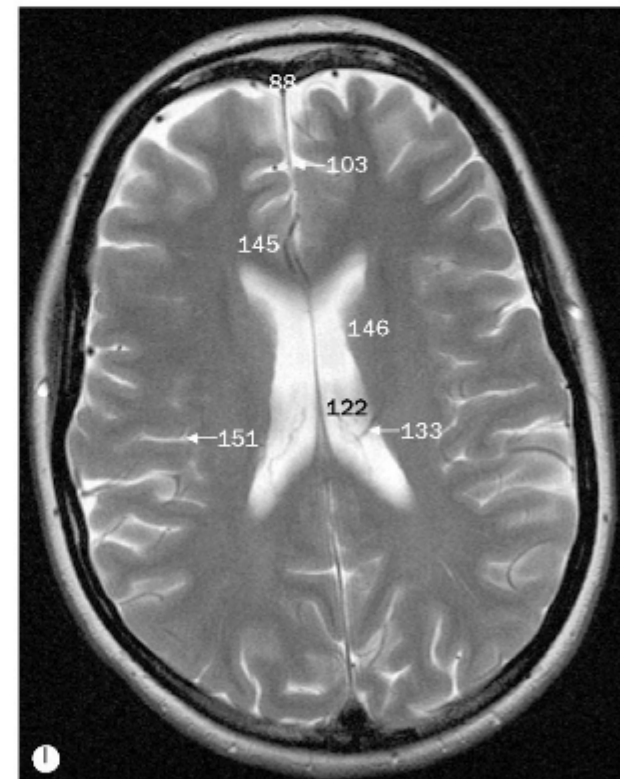
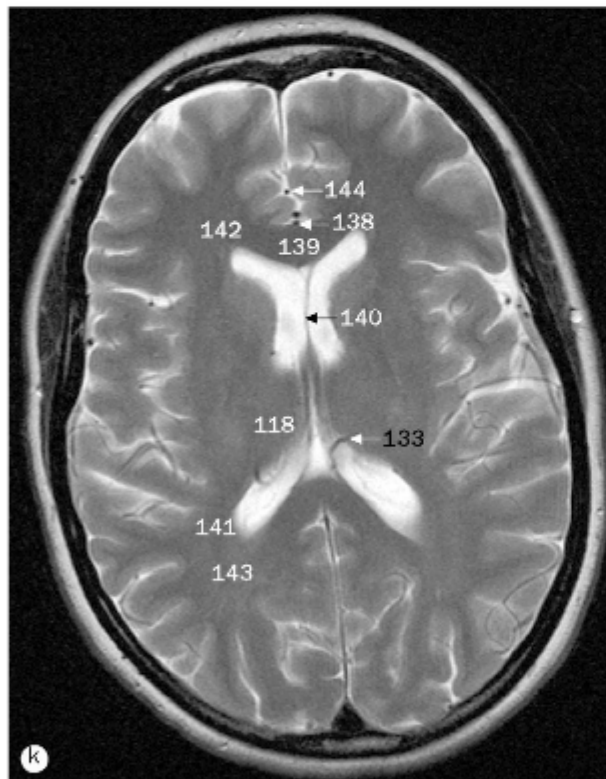
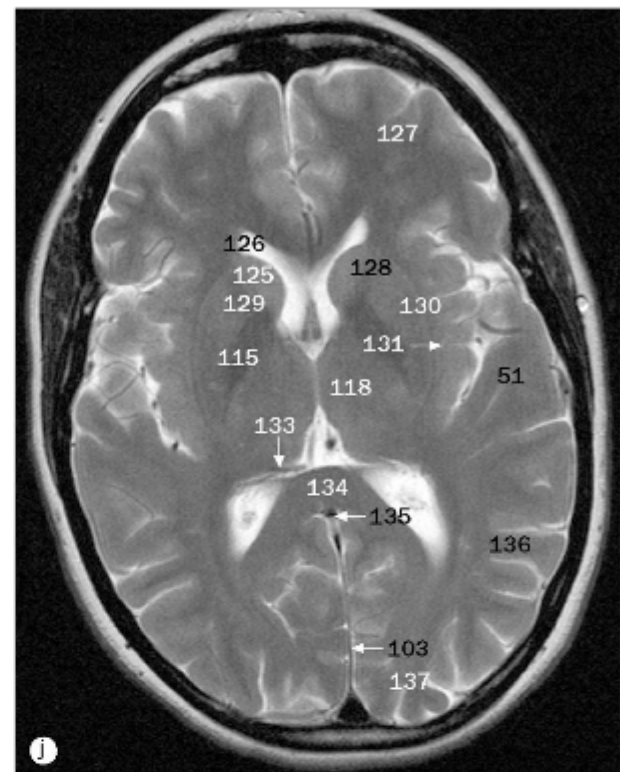
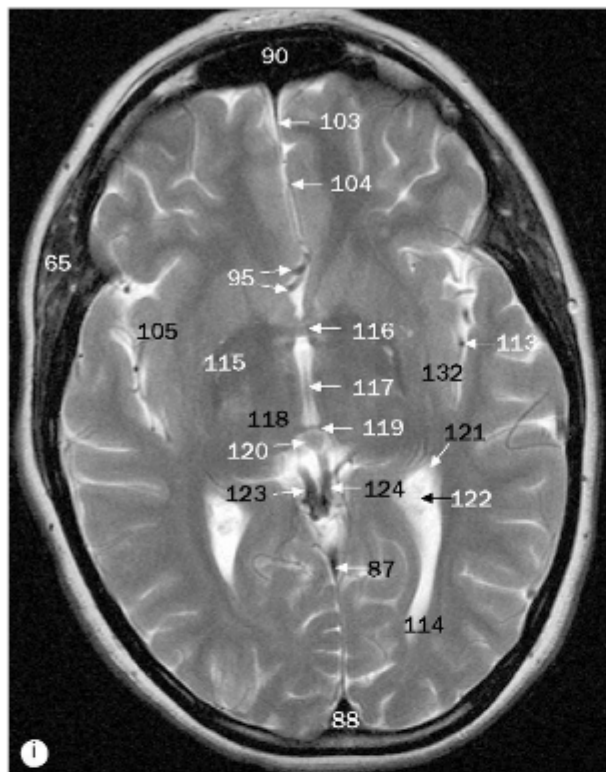
Os números 1-161 são comuns às páginas 42-45.



(a)-(n) Imagens axiais de RM do encéfalo, ponderadas em T2, da região inferior para superior.

33 Cabeça da mandíbula	40 Cóclea	47 Abertura lateral do quarto ventrículo	55 Quarto ventrículo
34 Lâmina medial do processo pterigoide	41 Canal semicircular posterior	48 Células etmoidais	56 Cisterna magna (cerebelobulbar posterior)
35 Forame jugular	42 Clivo	49 Músculo reto inferior	57 Nervo facial (sétimo nervo craniano)
36 Parte petrosa do osso temporal	43 Artéria basilar	50 Seio esfenoidal	58 Nervo vestibulococlear (oitavo nervo craniano)
37 Artéria carótida interna	44 Artéria do labirinto	51 Lobo temporal	59 Meato acústico interno
38 Células mastóideas	45 Verme do cerebello (região inferior)	52 Ponte	60 Ângulo pontocerebelar
39 Seio maxilar	46 Ínio (protuberância occipital interna)	53 Pedúnculo cerebelar médio	
		54 Lobo floculonodular do cerebello	

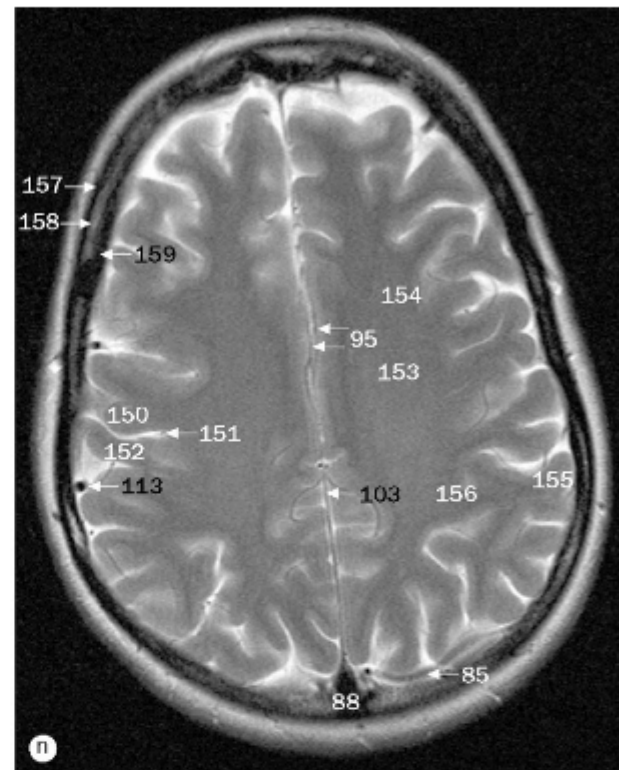
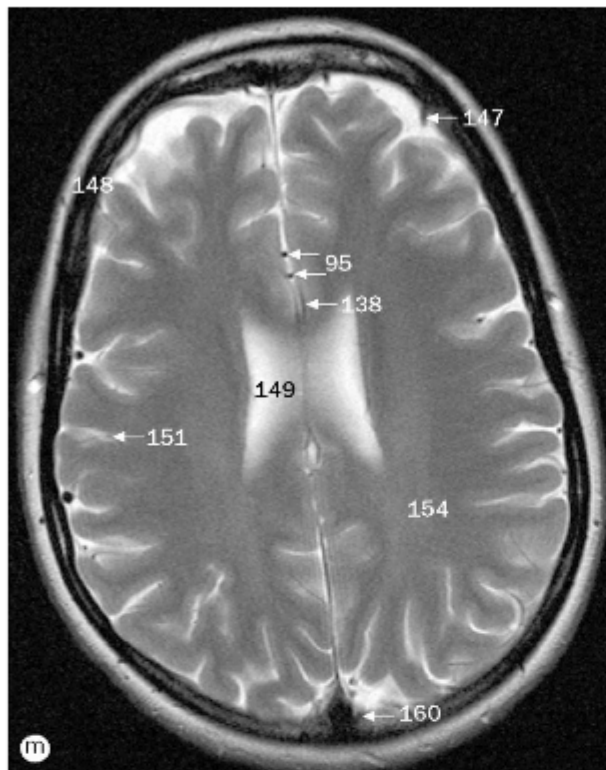
Os números 1-161 são comuns às páginas 42-45.



(a)-(n) Imagens axiais de RM do encéfalo, ponderadas em T2, da região inferior para superior.

61 Lente	68 Músculo reto medial	73 Confluência dos seios	79 Glândula hipófise
62 Humor vítreo	69 Pedúnculo cerebelar superior	74 Ligamento petroclinóideo	80 Artéria carótida interna (parte cerebral)
63 Músculo reto lateral	70 Canal semicircular superior	75 Nervo óptico (segundo nervo craniano)	81 Corno temporal do ventrículo lateral
64 Corpo adiposo da órbita	71 Verme do cerebello (região superior)	76 Infundíbulo do seio frontal	82 Unco do lobo temporal
65 Músculo temporal	72 Córtex calcarino do lobo occipital	77 Glândula lacrimal	
66 Artéria carótida interna (parte cavernosa)		78 Veia oftálmica superior	
67 Corpo do esfenóide			

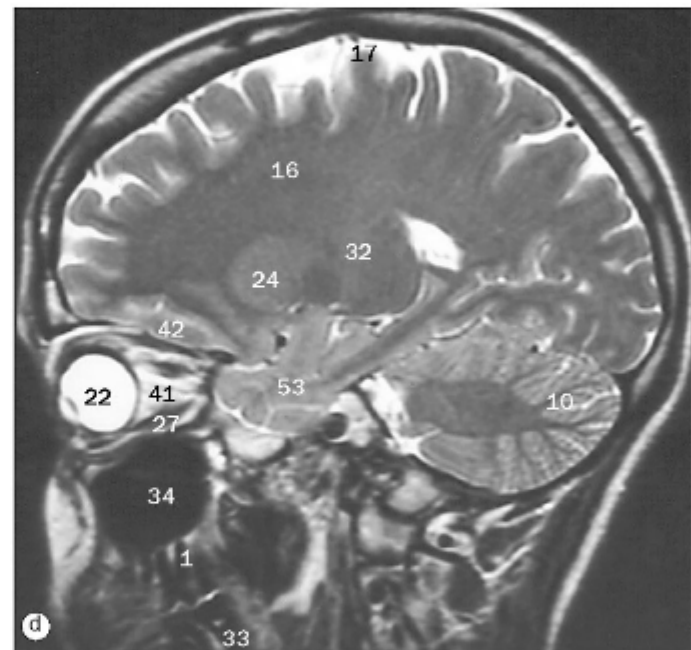
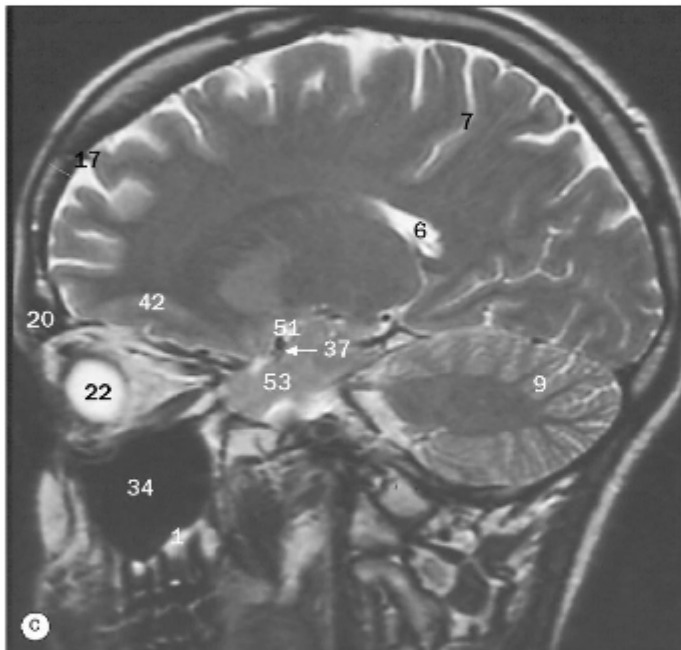
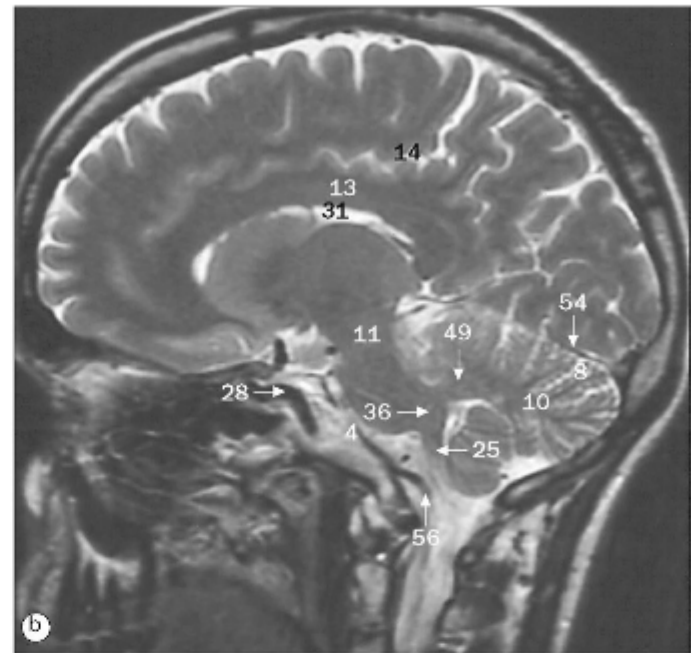
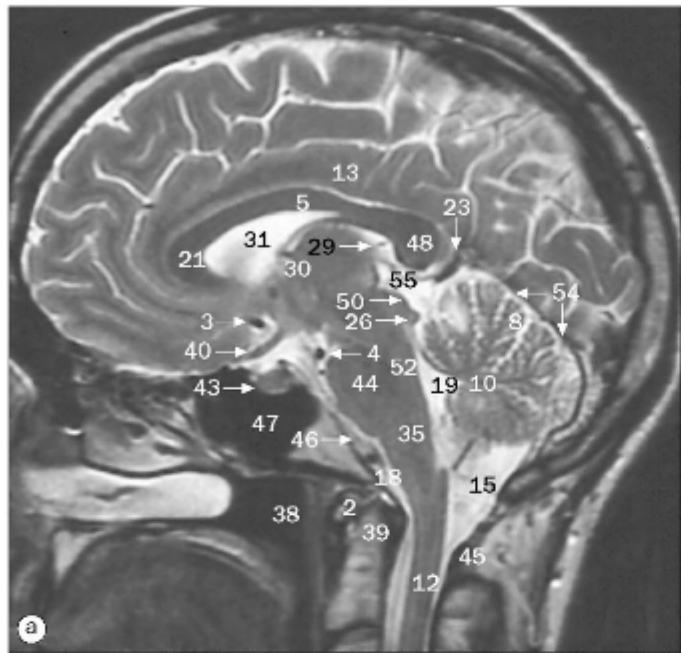
Os números 1-161 são comuns às páginas 42-45.



(a)-(n) Imagens axiais de RM do encéfalo, ponderadas em T2, da região inferior para superior.

83 Hipocampo	102 Lâmina orbital do osso frontal	120 Glândula pineal	141 Radiação óptica
84 Cisterna ambiens	103 Foixe do cérebro	121 Trígono colateral	142 Fórceps frontal
85 Artéria cerebral posterior	104 Fissura longitudinal do cérebro	122 Plexo corioide	143 Fórceps occipital
86 Colículo inferior	105 Giros da ínsula	123 Veia basilar	144 Artéria polar frontal
87 Seio reto	106 Trato óptico	124 Veia cerebral magna	145 Giro do cíngulo
88 Seio sagital superior	107 Sulco lateral	125 Cabeça do núcleo caudado	146 Corpo do núcleo caudado
89 Músculo reto superior	108 Corpo mamilar	126 Como frontal do ventrículo lateral	147 Veia cortical
90 Seio frontal	109 Pedúnculo cerebral	127 Lobo frontal	148 Calvária do crânio
91 Crista etmoidal	110 Aqueduto do mesencéfalo	128 Ramo anterior da cápsula interna	149 Corpo do ventrículo lateral
92 Nervo olfatório (primeiro nervo craniano)	111 Colículo superior	129 Globo pálido	150 Giro pré-central
93 Artéria cerebral média	112 Folhas do cerebelo	130 Putame	151 Sulco central
94 Bifurcação da artéria carótida interna	113 Artéria cerebral média (ramo de segunda ordem)	131 Cápsula externa	152 Giro pós-central
95 Artéria cerebral anterior	114 Corno occipital do ventrículo lateral	132 Claustro	153 Centro semioval
96 Cisterna supresselar	115 Ramo posterior da cápsula interna	133 Vasos corioides	154 Coroa radiada
97 Artéria comunicante anterior	116 Comissura anterior	134 Esplênio do corpo caloso	155 Substância cinzenta
98 Quiasma óptico	117 Terceiro ventrículo	135 Seio sagital inferior	156 Substância branca
99 Bifurcação da artéria basilar	118 Tálamo	136 Lobo parietal	157 Lâmina externa da calvária
100 Cisterna colicular	119 Comissura posterior	137 Lobo occipital	158 Díploe
101 Mesencéfalo		138 Artéria calosomarginal	159 Lâmina interna da calvária
		139 Joelho do corpo caloso	160 Granulação aracnóidea
		140 Septo pelúcido	161 Cisterna interpeduncular

Os números 1-161 são comuns às páginas 42-45.



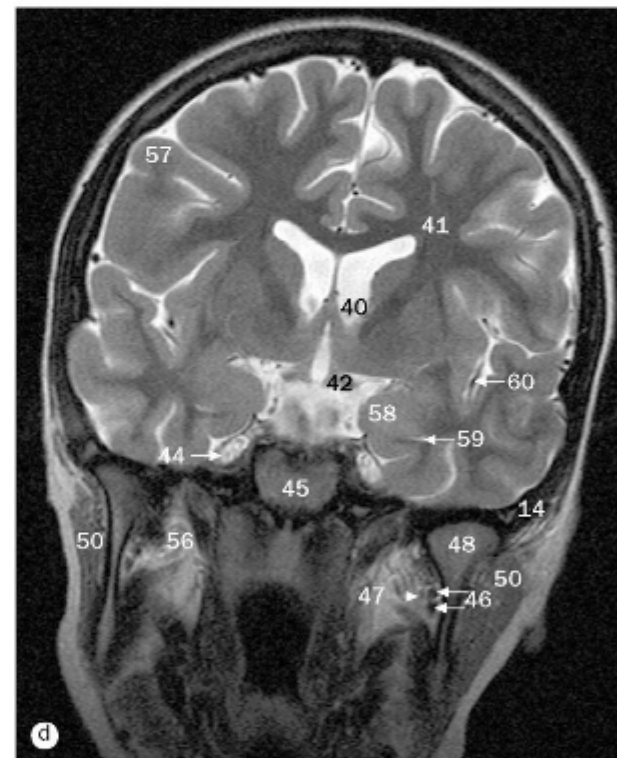
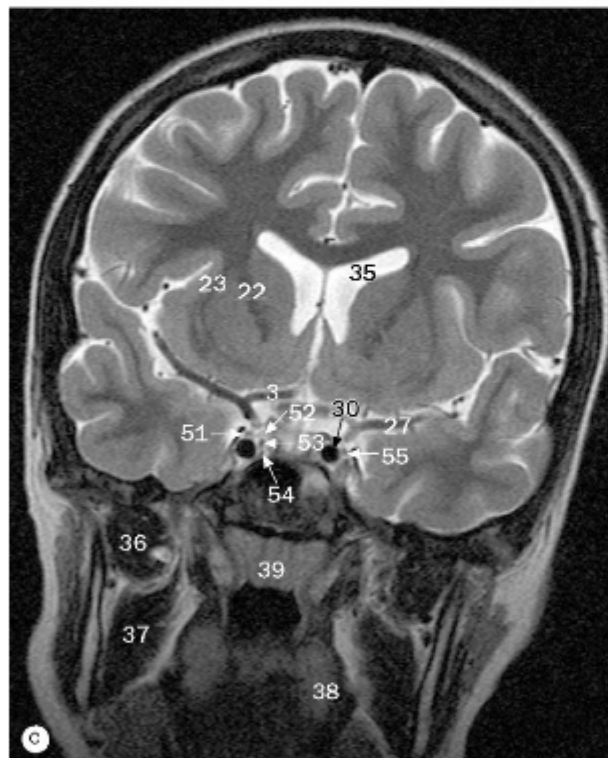
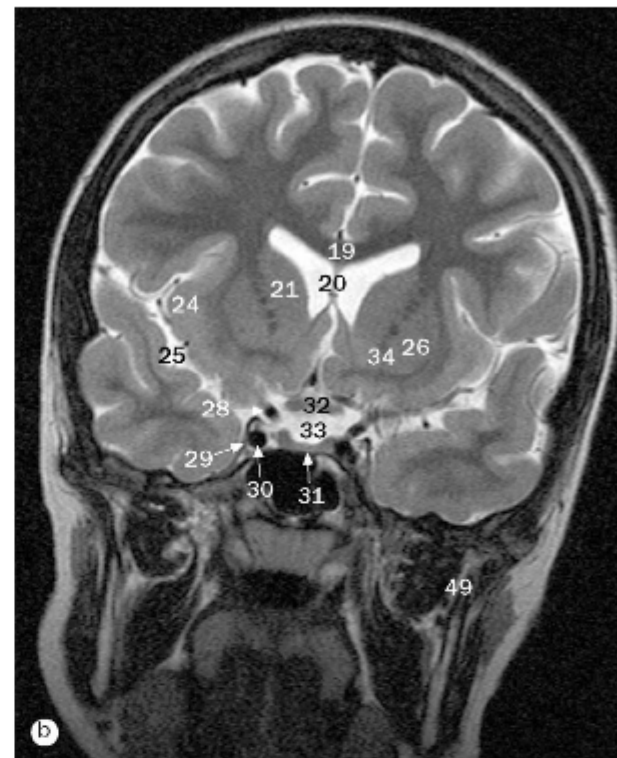
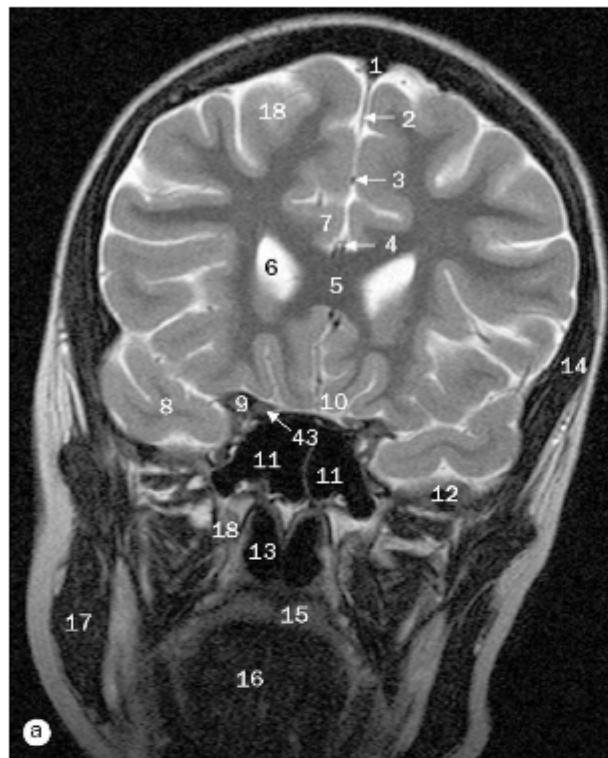
(a)-(d) Encéfalo, imagens sagitais de RM.

- | | | | |
|---|---|---|---------------------------------|
| 1 Crista alveolar | 15 Cisterna magna (cisterna cerebelobulbar posterior) | 29 Veia cerebral interna | 43 Glândula hipófise |
| 2 Arco anterior do atlas (primeira vértebra cervical) | 16 Coroa radiada | 30 Forame interventricular | 44 Ponte |
| 3 Arteria cerebral anterior | 17 Veia cortical | 31 Ventrículo lateral | 45 Arco posterior do atlas |
| 4 Arteria basilar | 18 Forame magno | 32 Núcleo lentiforme | 46 Cisterna pontina |
| 5 Tronco do corpo caloso | 19 Quarto ventrículo | 33 Mandíbula | 47 Seio esfenoidal |
| 6 Corpo do ventrículo lateral | 20 Seio frontal | 34 Seio maxilar (antro) | 48 Esplênio do corpo caloso |
| 7 Sulco central | 21 Joelho do corpo caloso | 35 Bulbo | 49 Pedúnculo cerebelar superior |
| 8 Sulcos do cerebelo | 22 Bulbo do olho | 36 Pedúnculo cerebelar médio | 50 Colículo superior |
| 9 Hemisfério cerebelar | 23 Veia cerebral magna | 37 Arteria cerebral média | 51 Sulco lateral |
| 10 Cerebelo | 24 Cabeça do núcleo caudado | 38 Parte nasal da faringe | 52 Tegmento da ponte |
| 11 Pedúnculo cerebral | 25 Pedúnculo cerebelar inferior | 39 Dente do eixo | 53 Lobo temporal |
| 12 Medula espinal – parte cervical | 26 Colículo inferior | 40 Quiasma óptico na cisterna quiasmática | 54 Tentório do cerebelo |
| 13 Giro do cíngulo | 27 Músculo reto inferior | 41 Nervo óptico | 55 Glândula pineal |
| 14 Sulco do cíngulo | 28 Arteria carótida interna (parte cavernosa) | 42 Parte orbital do lobo frontal | 56 Arteria vertebral |



Encéfalo, imagem de RM sagital na linha mediana

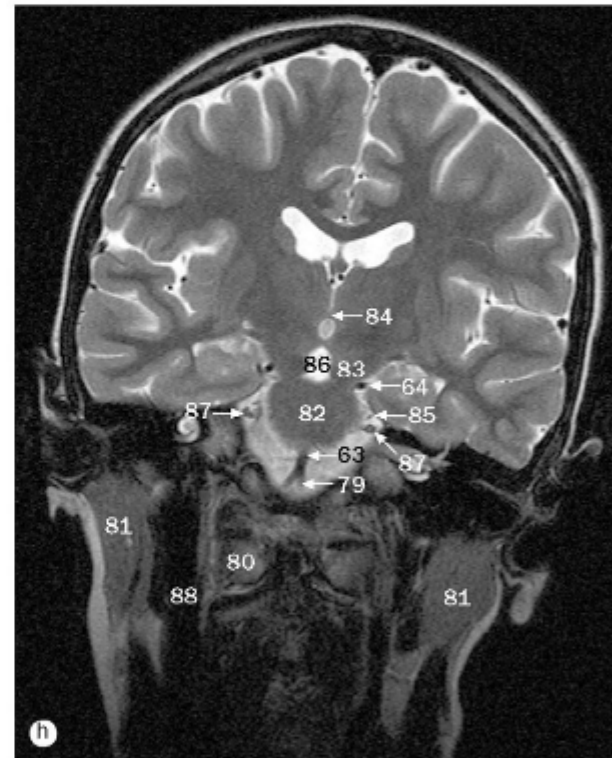
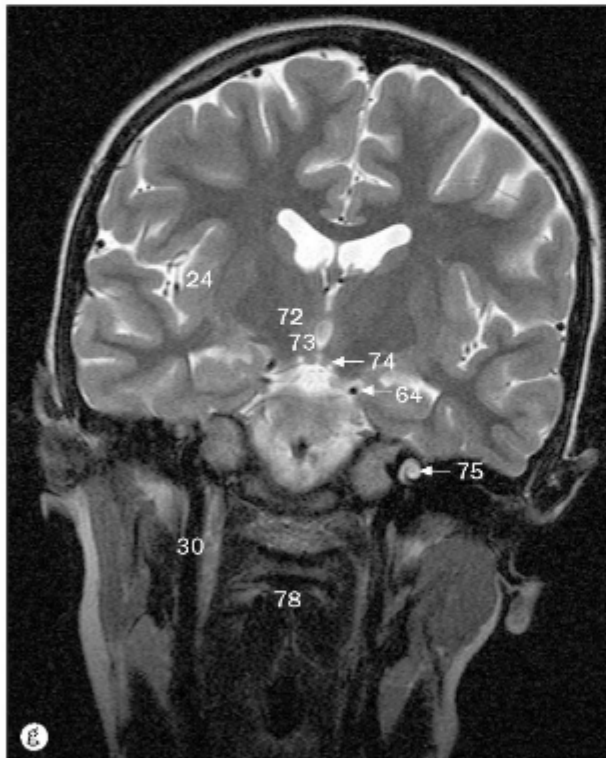
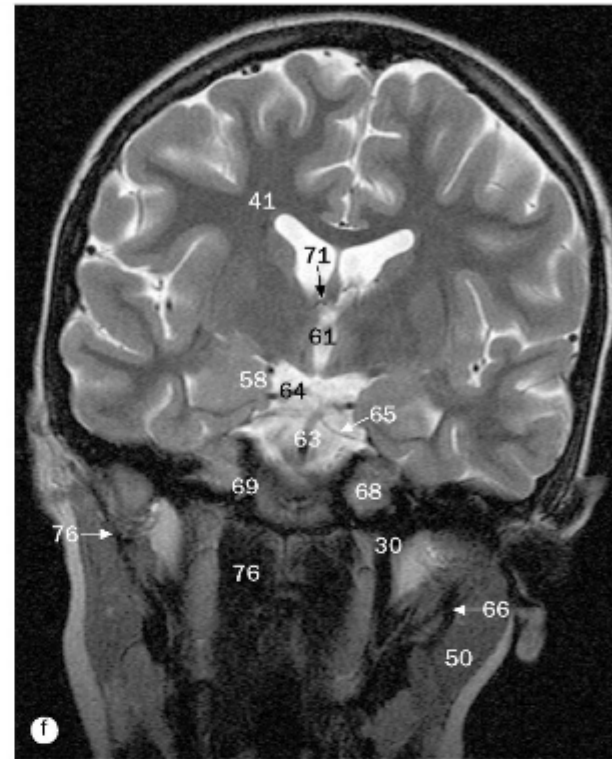
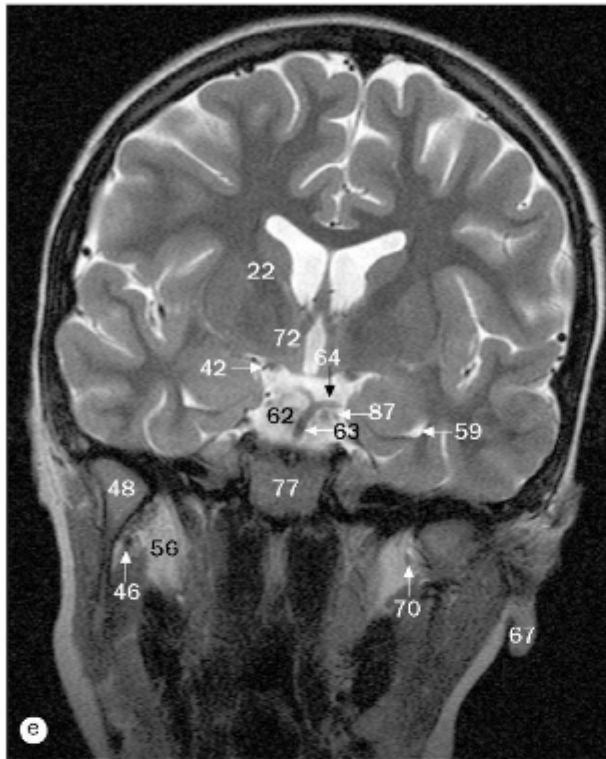
- | | | |
|---|--------------------------------------|---------------------------------|
| 1 Arco anterior do atlas (primeira vértebra cervical) | 15 Tecido adiposo na medula do clivo | 31 Sulco parietoccipital |
| 2 Artéria cerebral anterior | 16 Forame magno | 32 Glândula pineal |
| 3 Comissura anterior | 17 Fórnice | 33 Glândula hipófise |
| 4 Aqueduto do mesencéfalo | 18 Quarto ventrículo | 34 Ponte |
| 5 Artéria basilar | 19 Seio frontal | 35 Arco posterior do atlas |
| 6 Tronco do corpo caloso | 20 Joelho do corpo caloso | 36 Comissura posterior |
| 7 Folhas do cerebello | 21 Veia cerebral magna | 37 Cisterna pontina |
| 8 Tonsila do cerebello | 22 Veia cerebral interna | 38 Cisterna colicular |
| 9 Cerebello | 23 Forame interventricular | 39 Lâmina do teto (mesencéfalo) |
| 10 Pedúnculo cerebral | 24 Lâmina terminal | 40 Seio esfenoidal |
| 11 Medula espinal – parte cervical | 25 Ventrículo lateral | 41 Esplênio do corpo caloso |
| 12 Giro do cíngulo | 26 Corpo mamilar | 42 Véu medular superior |
| 13 Cisterna magna (cisterna cerebelobulbar posterior) | 27 Aderência intertalâmica | 43 Tegmento da ponte |
| 14 Díploe | 28 Bulbo | 44 Tentório do cerebello |
| | 29 Parte nasal da faringe | 45 Terceiro ventrículo |
| | 30 Dente do eixo | |



(a)-(p) Encéfalo, imagens coronais de RM, ponderadas em T2, da região anterior para posterior.

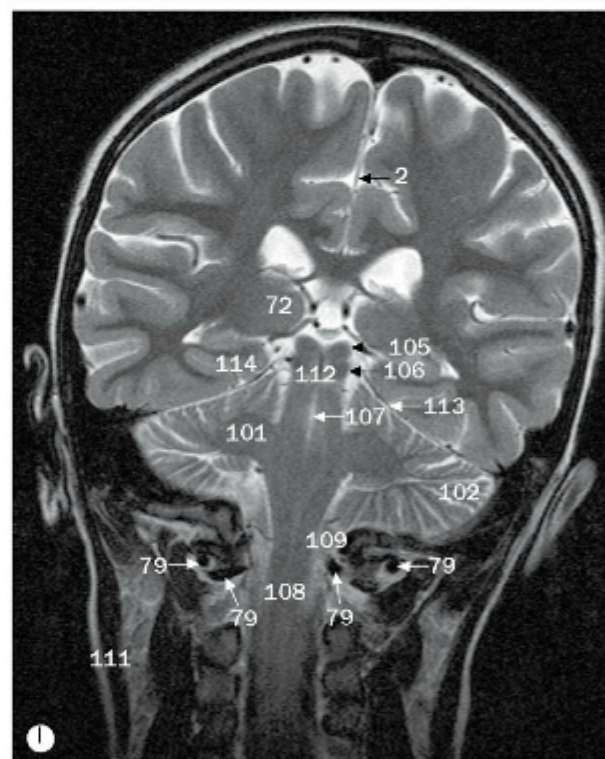
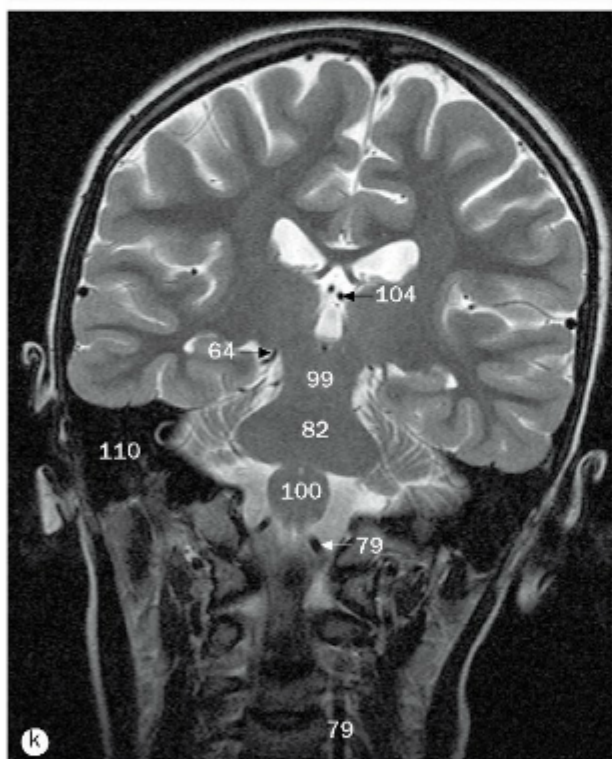
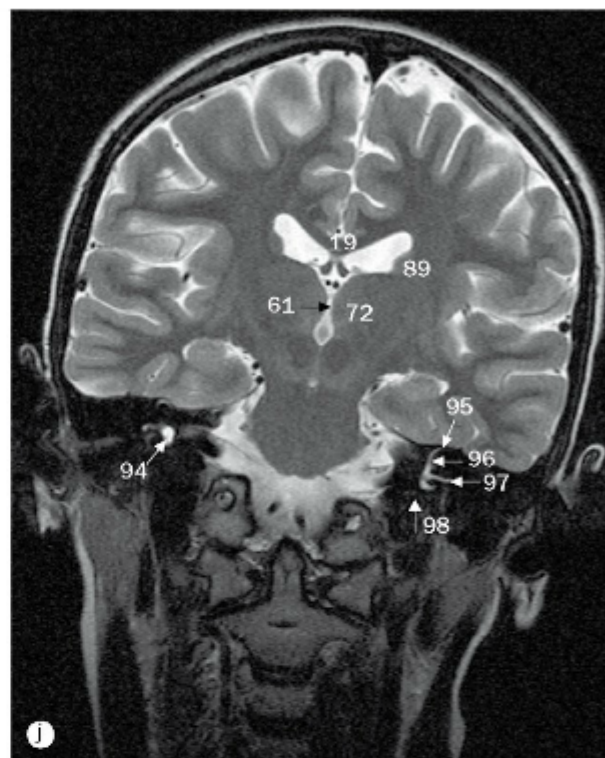
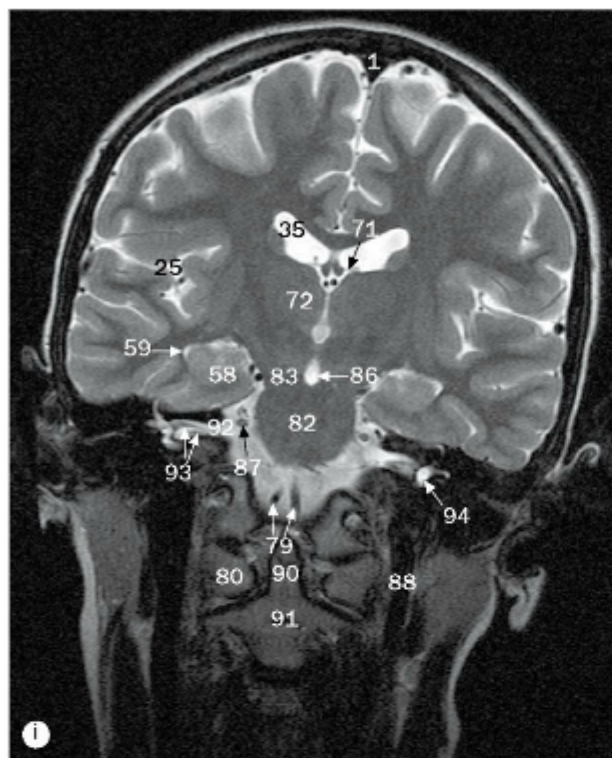
- | | | | |
|---------------------------------------|------------------------------|-------------------------------------|---|
| 1 Seio sagital superior | 9 Processo clinóide anterior | 18 Lobo frontal | 26 Putame |
| 2 Foíce do cérebro | 10 Córtex olfatório | 19 Tronco do corpo caloso | 27 Arteria cerebral média |
| 3 Arteria cerebral média | 11 Seio esfenoidal | 20 Septo pelúcido | 28 Parte cerebral da arteria carótida interna |
| 4 Arteria calosomarginal | 12 Asa maior do esfenóide | 21 Cabeça do núcleo caudado | 29 Parede lateral do seio cavernoso |
| 5 Joelho do corpo caloso | 13 Parte nasal da faringe | 22 Ramo anterior da cápsula interna | 30 Arteria carótida interna |
| 6 Corno frontal do ventrículo lateral | 14 Músculo temporal | 23 Cápsula externa | 31 Glândula hipófise |
| 7 Giro do cíngulo | 15 Palato duro | 24 Giros da ínsula | 32 Quiasma óptico |
| 8 Lobo temporal | 16 Parte oral da faringe | 25 Sulco lateral | |
| | 17 Músculo masseter | | |

Os números 1-130 são comuns às páginas 48-51.



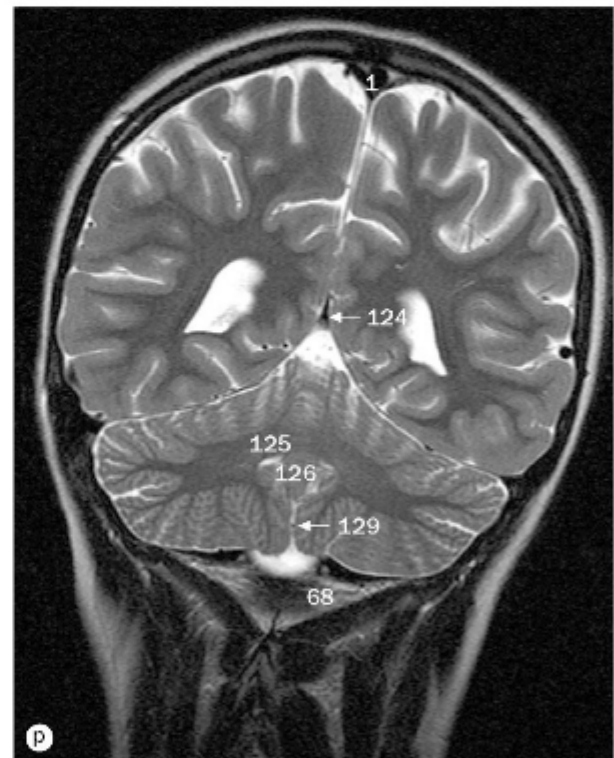
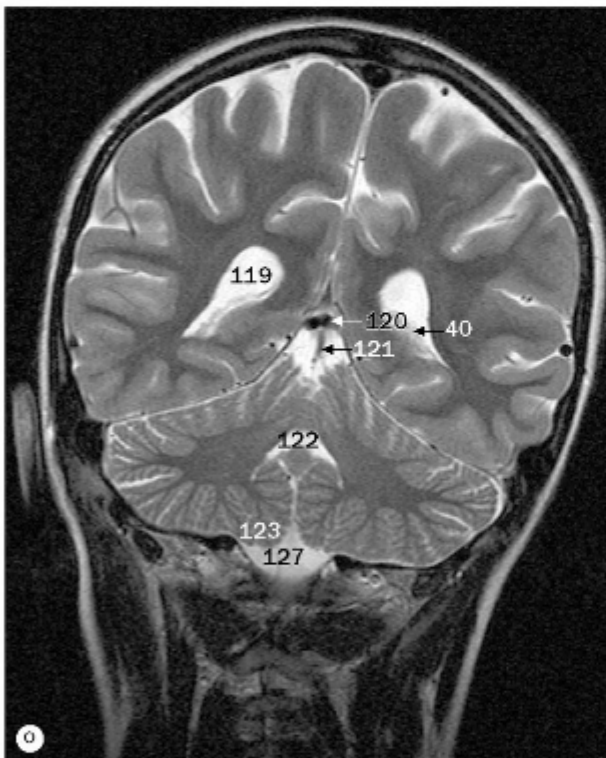
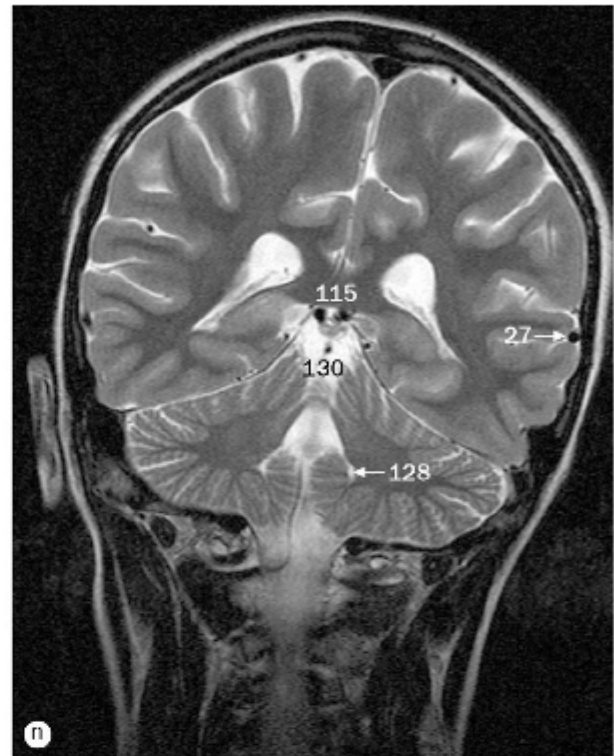
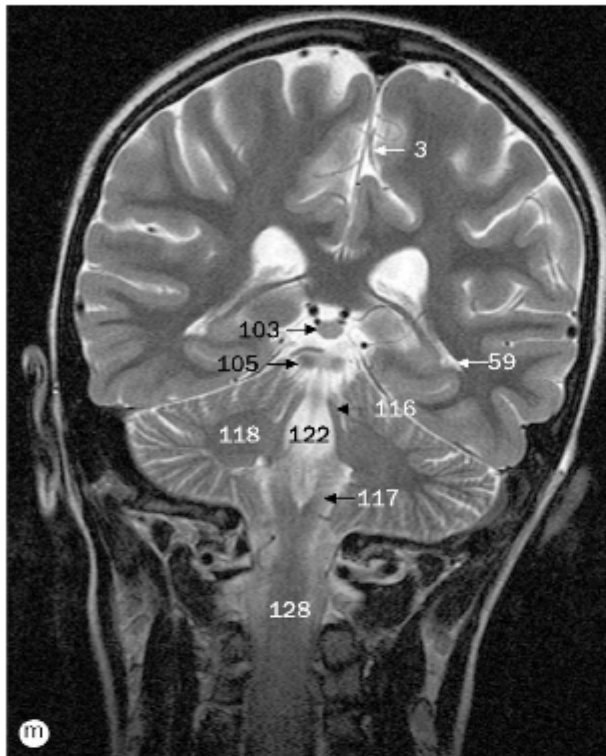
(a)-(p) Encéfalo, imagens coronais de RM, ponderadas em T2, da região anterior para posterior.

33 Sistema quiasmática	43 Nervo óptico (segundo nervo craniano)	50 Glândula parótida	55 Nervo abducente (sexto nervo craniano)
34 Globo pálido	44 Gânglio trigeminal na cavidade trigeminal	51 Nervo oculomotor (terceiro nervo craniano)	56 Fossa infratemporal
35 Corpo do ventrículo lateral	45 Corpo do esfenoide	52 Nervo troclear (quarto nervo craniano)	57 Lobo parietal
36 Músculo pterigóideo lateral	46 Vasos alveolares inferiores	53 Ramo oftálmico (quinto nervo craniano, primeira divisão)	58 Hipocampo
37 Músculo pterigóideo medial	47 Nervo alveolar inferior	54 Ramo maxilar (quinto nervo craniano, segunda divisão)	59 Corno temporal do ventrículo lateral
38 Língua	48 Cabeça da mandíbula		60 Artéria cerebral média (ramo de segunda ordem)
39 Palato mole	49 Processo coronoide da mandíbula		61 Terceiro ventrículo
40 Plexo corióideo			
41 Coroa radiada			
42 Trato óptico			



(a)-(p) Encéfalo, imagens coronais de RM, ponderadas em T2, da região anterior para posterior.

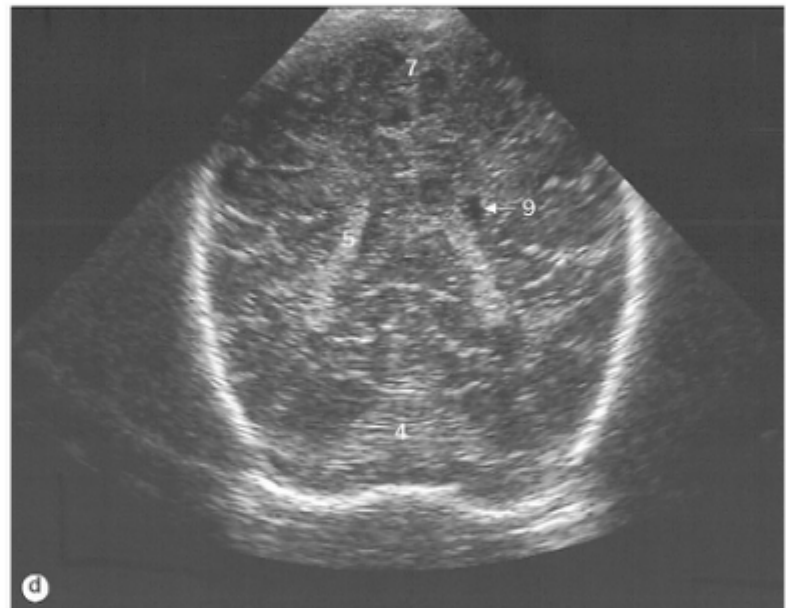
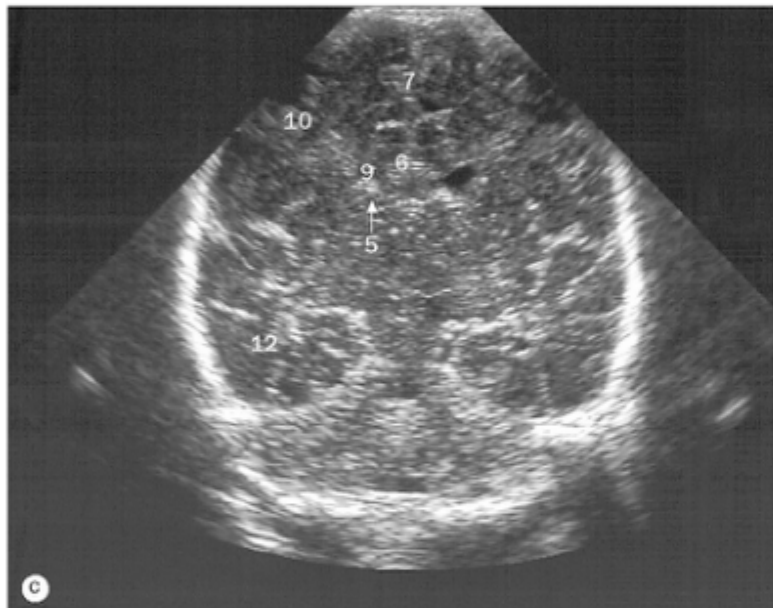
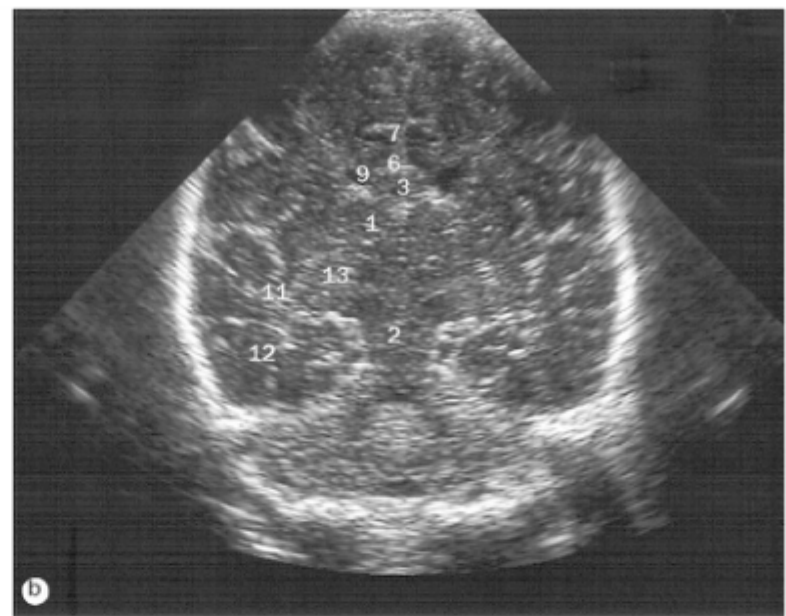
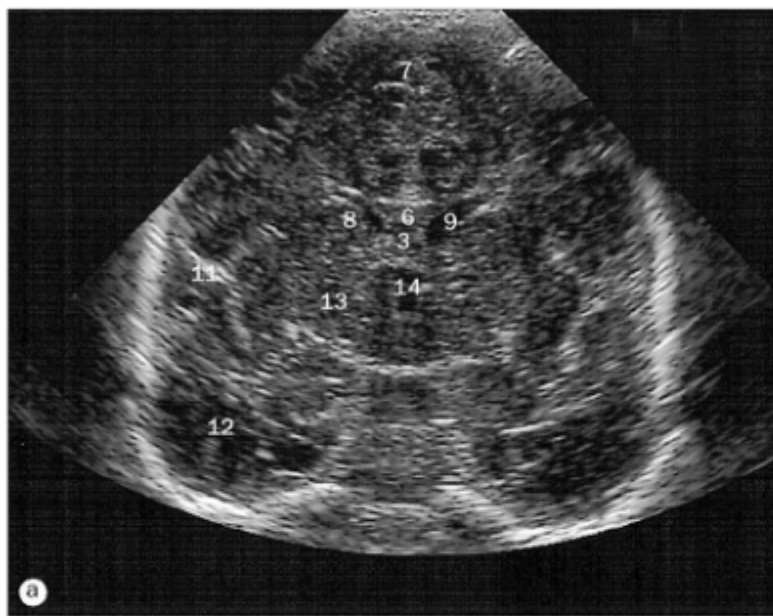
62 Cisterna pontina	73 Hipotálamo	83 Pedúnculo cerebral	90 Dente do eixo
63 Arteria basilar	74 Corpo mamilar	84 Aderência intertalâmica	91 Corpo do eixo
64 Arteria cerebral posterior	75 Cóclea	85 Nervo abducente (sexto nervo craniano) na cisterna ambiens	92 Meato acústico interno
65 Arteria cerebelar superior	76 Rafe da faringe	86 Cisterna interpeduncular	93 Nervos facial (sétimo nervo craniano) e vestibulococlear (oitavo nervo craniano)
66 Veia retromandibular	77 Base do esfenóide	87 Nervo trigêmeo (quinto nervo craniano)	94 Vestíbulo
67 Trago da orelha externa	78 Arco anterior de C1	88 Veia jugular interna	95 Eminência arqueada da parte petrosa do osso temporal
68 Base do occipital	79 Arteria vertebral	89 Corpo do núcleo caudado	96 Canal semicircular superior
69 Sincondrose esfenoccipital	80 Massa lateral de C1		
70 Nervo auriculotemporal	81 Músculo esternocleidomastóideo		
71 Forame interventricular	82 Ponte		



(a)-(p) Encéfalo, imagens coronais de RM, ponderadas em T2, da região anterior para posterior.

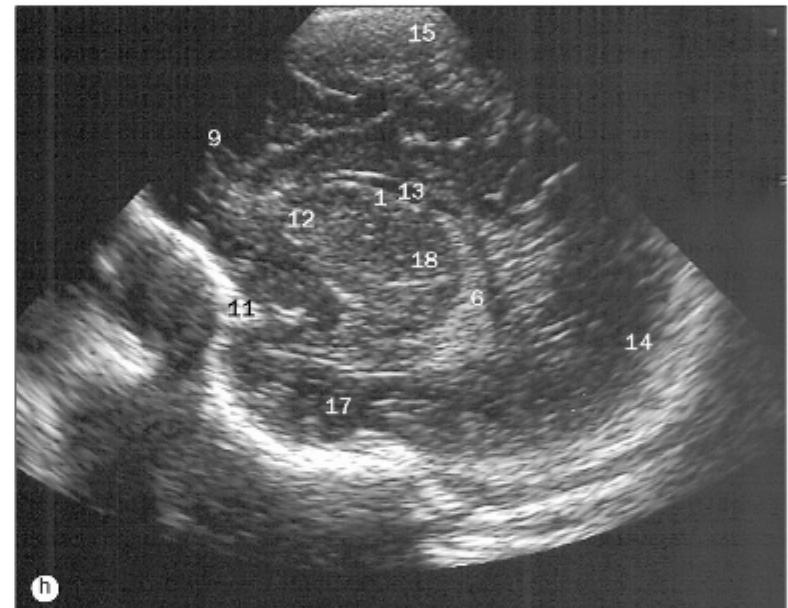
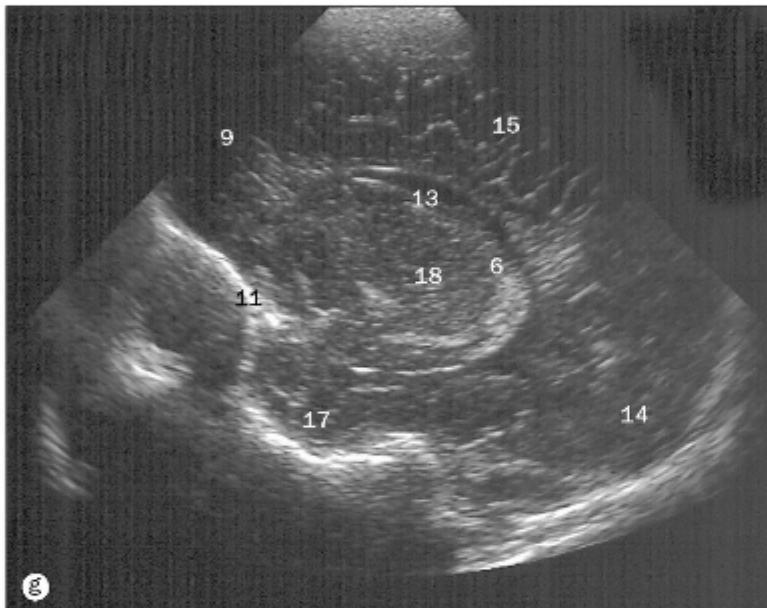
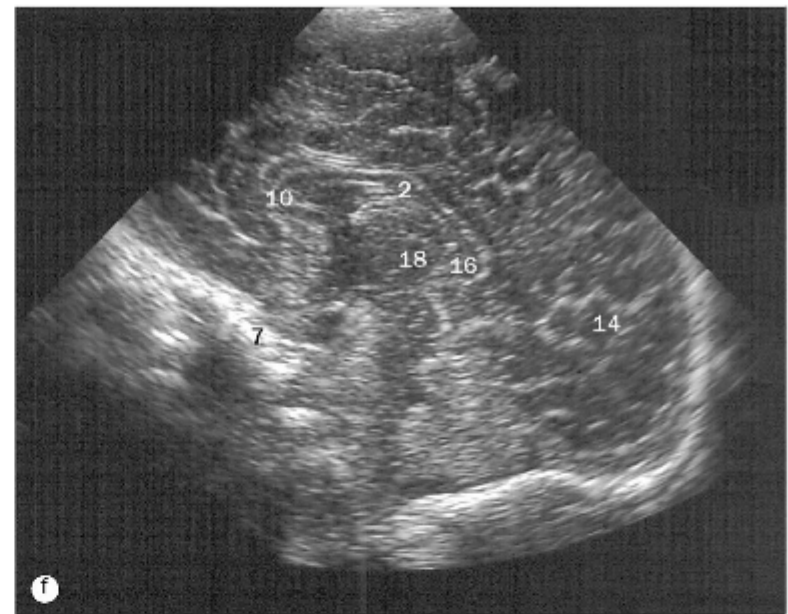
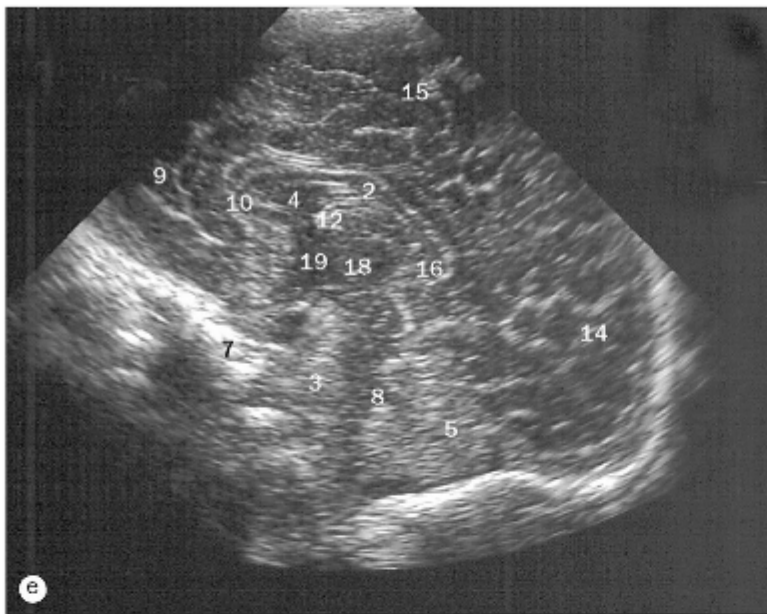
97 Canal semicircular lateral	106 Colículo inferior	116 Pedúnculo cerebelar superior	125 Núcleo denteado do cerebelo
98 Canal semicircular posterior	107 Aqueduto do mesencéfalo	117 Pedúnculo cerebelar inferior	126 Nódulo do cerebelo
99 Mesencéfalo	108 Medula espinal	118 Hemisfério cerebelar	127 Cisterna magna (cerebelobulbar posterior)
100 Bulbo	109 Forame magno	119 Trígono colateral	128 Abertura lateral do quarto ventrículo
101 Pedúnculo cerebelar médio	110 Células mastóideas	120 Veia cerebral magna	129 Abertura mediana do quarto ventrículo
102 Folhas do cerebelo	111 Músculo trapézio	121 Veia basilar	130 Cisterna colicular
103 Glândula pineal	112 Teto do mesencéfalo	122 Quarto ventrículo	
104 Veias cerebrais internas	113 Tentório do cerebelo	123 Tonsila do cerebelo	
105 Colículo superior	114 Unco do lobo temporal	124 Seio sagital inferior	
	115 Esplênio do corpo caloso		

Os números 1-130 são comuns às páginas 48-51.



(a)-(d) Encéfalo neonatal, imagens ultrassonográficas coronais.

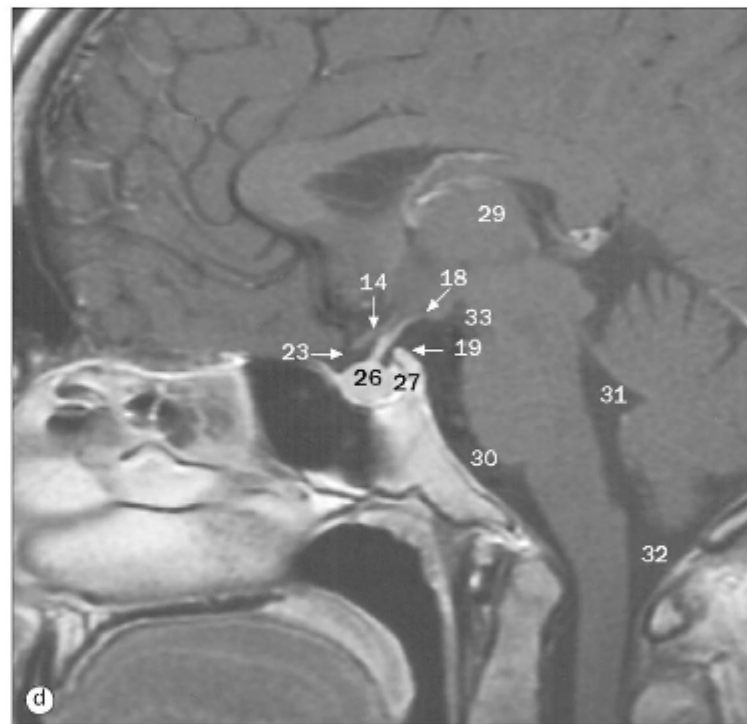
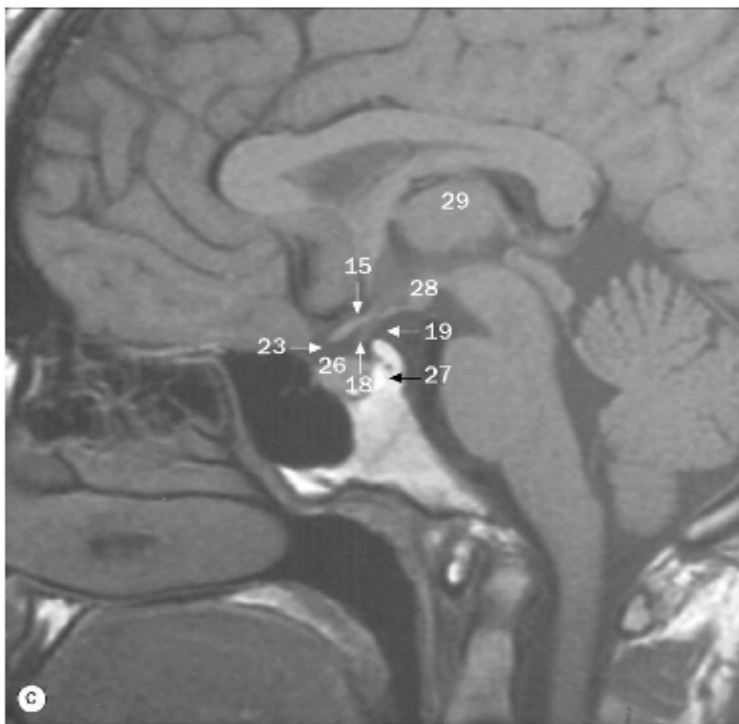
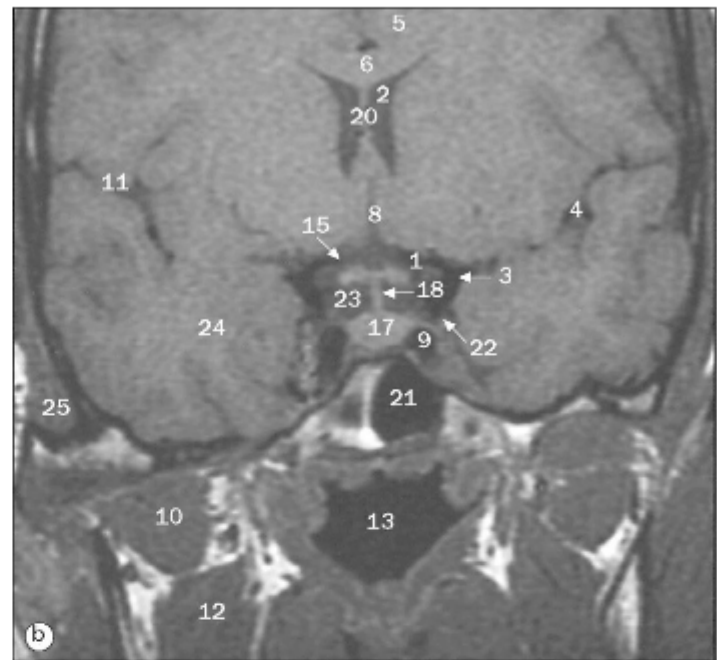
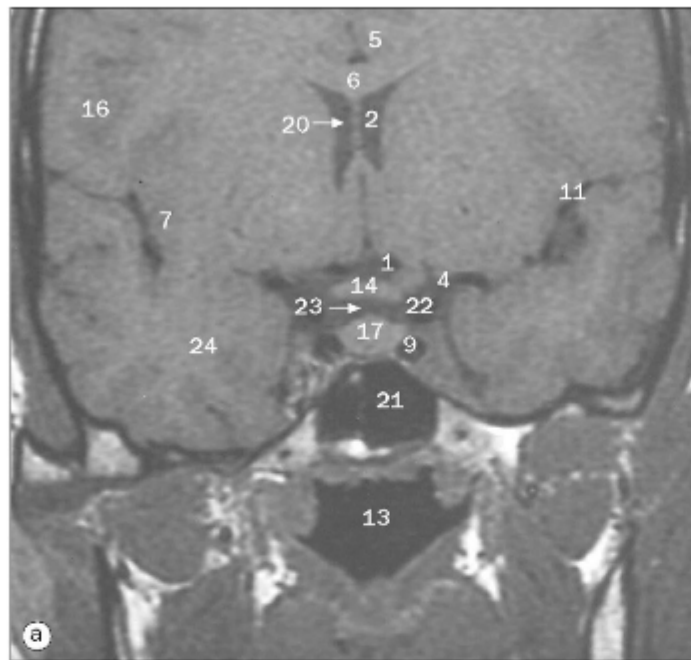
- 1 Corpo do núcleo caudado
- 2 Tronco encefálico
- 3 Cavidade do septo pelúcido
- 4 Cerebelo
- 5 Plexo coriôideo
- 6 Corpo caloso
- 7 Foixe do cérebro
- 8 Cabeça do núcleo caudado
- 9 Ventrículo lateral
- 10 Lobo parietal do cérebro
- 11 Sulco lateral
- 12 Lobo temporal
- 13 Tálamo
- 14 Terceiro ventrículo



(e)-(h) Encéfalo neonatal, imagens ultrassonográficas sagitais.

- 1 Corpo do núcleo caudado
- 2 Corpo do corpo caloso
- 3 Tronco encefálico
- 4 Cavidade do septo pelúcido
- 5 Cerebelo
- 6 Plexo coriôideo
- 7 Clivo
- 8 Quarto ventrículo
- 9 Lobo frontal
- 10 Joelho do corpo caloso

- 11 Asa maior do esfenoide
- 12 Cabeça do núcleo caudado
- 13 Ventrículo lateral
- 14 Lobo occipital
- 15 Lobo parietal do cérebro
- 16 Espânio do corpo caloso
- 17 Lobo temporal
- 18 Tálamo
- 19 Terceiro ventrículo

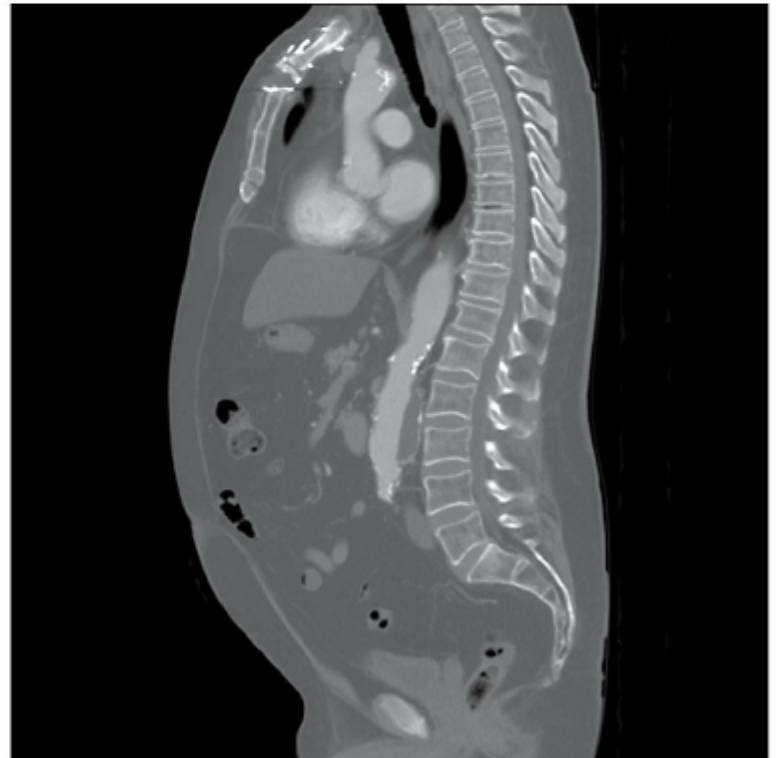
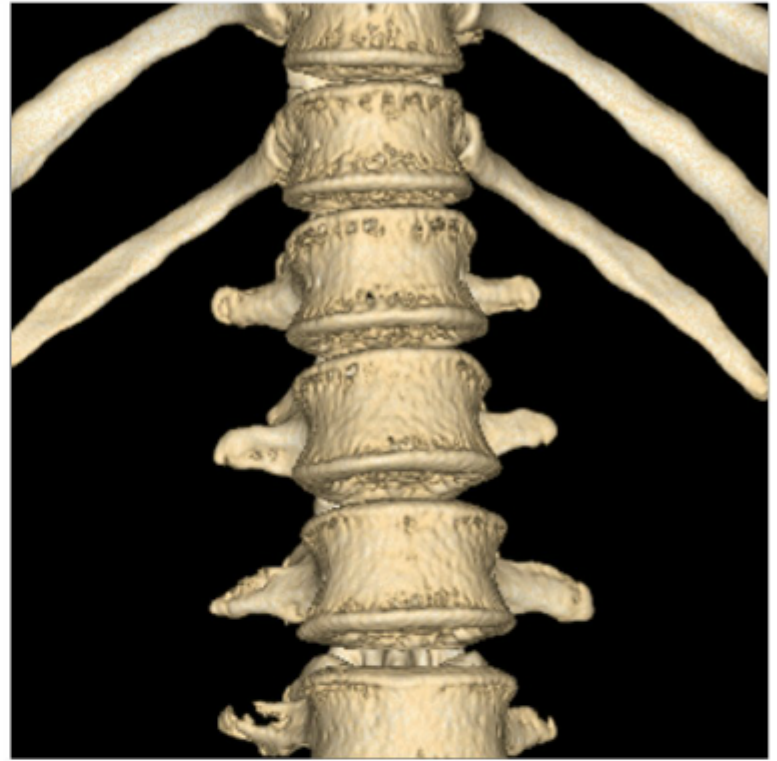


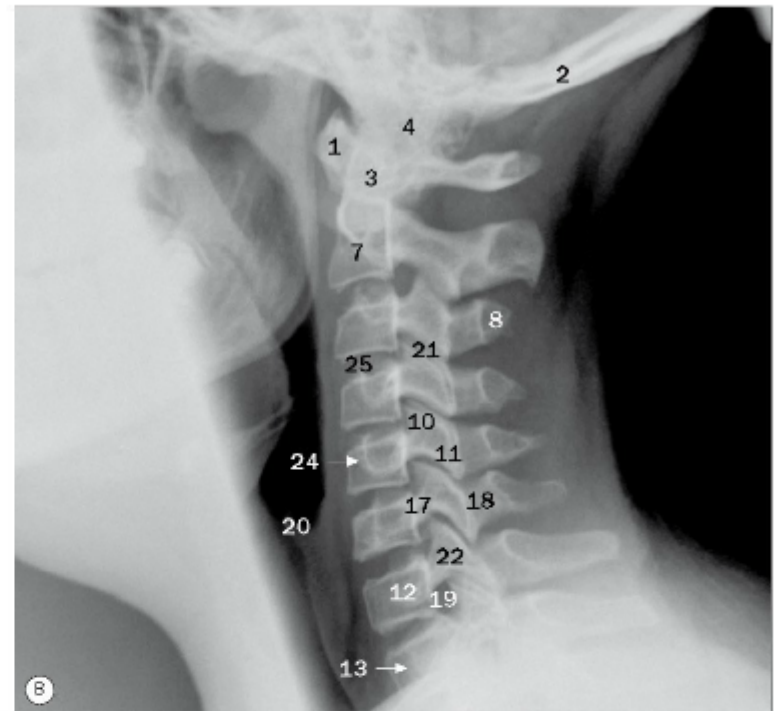
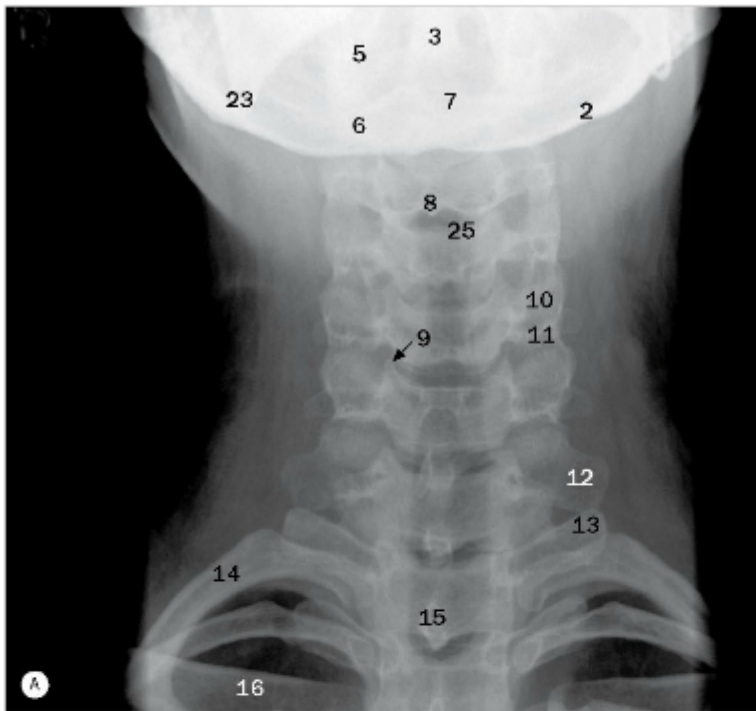
Imagens de RM da fossa hipofisial, ponderadas em T1, (a) e (b) coronal, (c) sagital, (d) sagital após gadolínio.

- | | | | |
|---|--|--------------------------------------|--|
| 1 Artéria cerebral anterior | 8 Fissura longitudinal do cérebro | 17 Glândula hipófise | 26 Glândula hipófise (adeno-hipófise) |
| 2 Corno anterior do ventrículo lateral | 9 Artéria carótida interna no seio cavernoso | 18 Infundíbulo hipofisial | 27 Glândula hipófise (neuro-hipófise) |
| 3 Bifurcação da artéria carótida interna | 10 Músculo pterigóideo lateral | 19 Processo clinóide posterior | 28 Corpo mamilar |
| 4 Ramo da artéria cerebral média no sulco lateral | 11 Sulco lateral | 20 Septo pelúcido | 29 Tálamo |
| 5 Giro do cíngulo | 12 Músculo pterigóideo medial | 21 Seio esfenoidal | 30 Cisterna pontina |
| 6 Corpo caloso | 13 Parte nasal da faringe | 22 Artéria carótida (parte cerebral) | 31 Quarto ventrículo |
| 7 Lobo insular | 14 Quiasma óptico | 23 Cisterna quiasmática | 32 Cisterna magna (cerebelobulbar posterior) |
| | 15 Trato óptico | 24 Lobo temporal do cérebro | 33 Cisterna interpeduncular |
| | 16 Lobo parietal do cérebro | 25 Músculo temporal | |

2

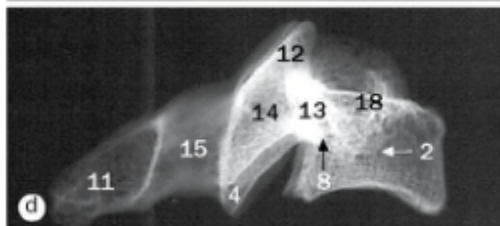
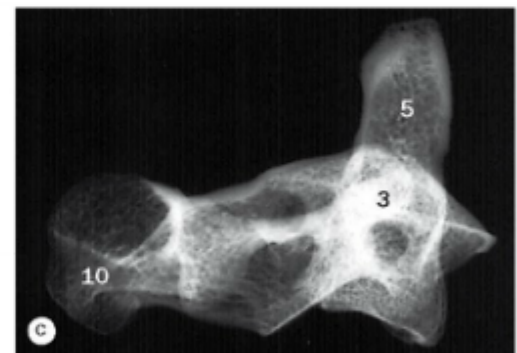
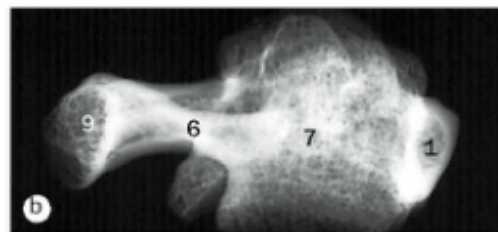
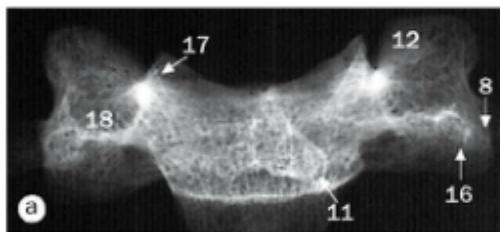
Coluna vertebral e medula espinal





(a) Região cervical da coluna, projeção anteroposterior, (b) região cervical da coluna, projeção lateral.

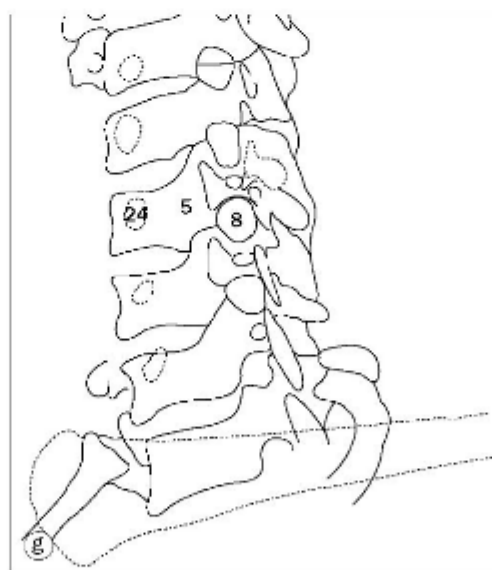
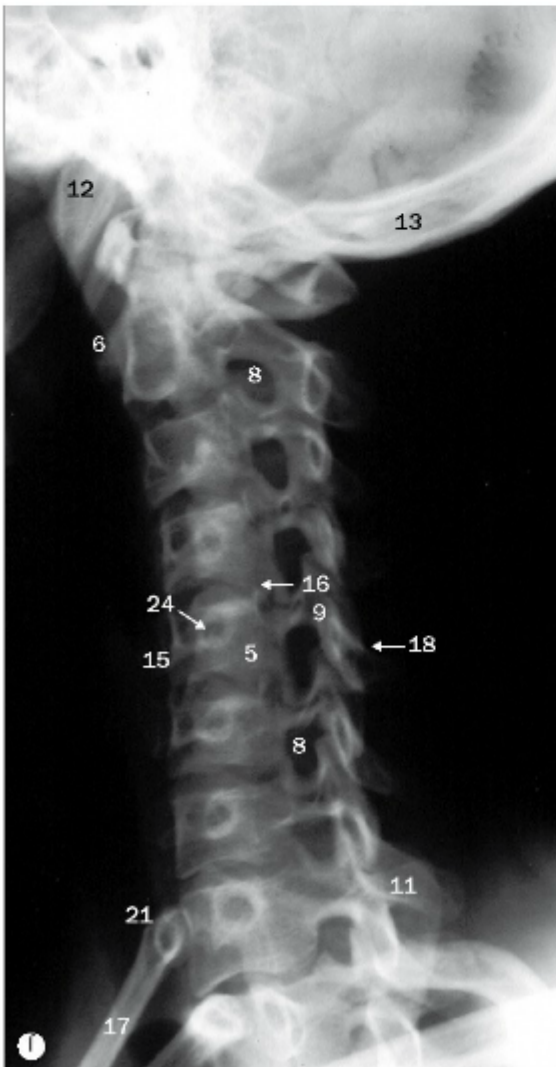
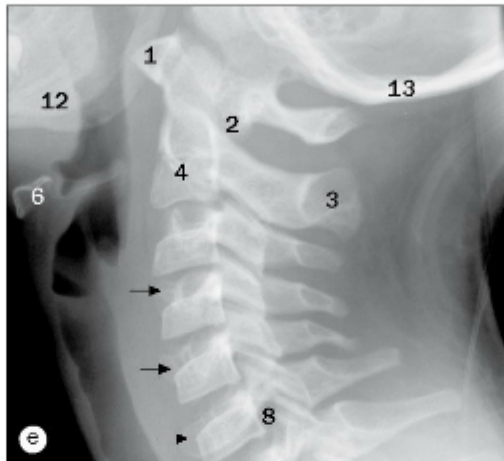
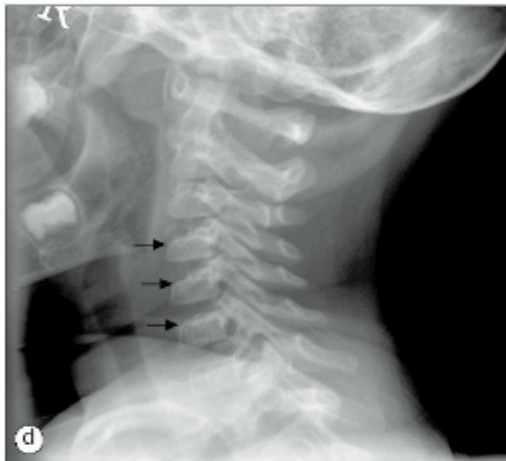
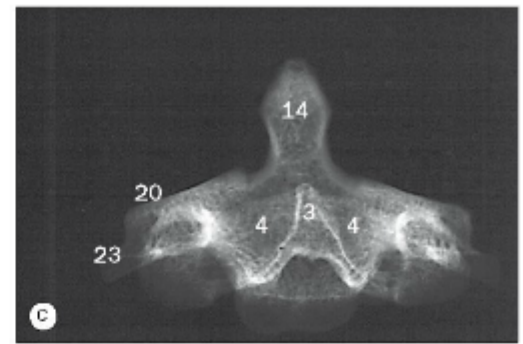
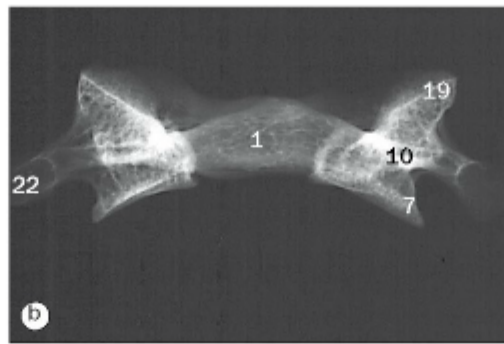
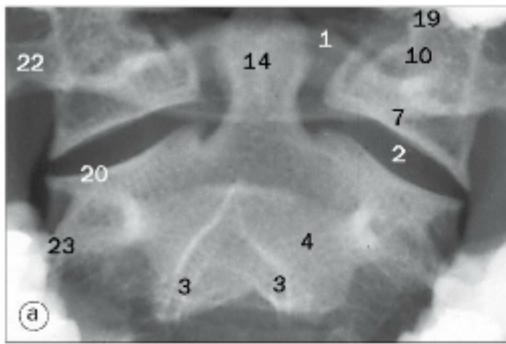
- | | | | |
|-------------------------------|--------------------------------------|--|---|
| 1 Arco anterior do atlas | 9 Articulação uncovertebral de C5/6 | 14 Primeira costela | 20 Epiglote |
| 2 Base do occipital | 10 Processo articular superior de C5 | 15 Processo espinhoso de T1 | 21 Processo articular de C3/4 – articulação dos processos articulares |
| 3 Dente do eixo | 11 Processo articular inferior de C5 | 16 Clavícula | 22 Parte interarticular de C7 |
| 4 Côndilo occipital | 12 Processo transverso de C7 | 17 Pedículo do arco vertebral de C6 | 23 Ângulo da mandíbula |
| 5 Massa lateral do atlas (C1) | 13 Processo transverso de T1 | 18 Lâmina do arco vertebral de C6 | 24 Processo transverso de C5 |
| 6 Massa lateral do eixo (C2) | | 19 Forame intervertebral de C7/T1 (para a raiz C8) | 25 Disco intervertebral em C3/4 |
| 7 Corpo do eixo (C2) | | | |
| 8 Processo espinhoso de C3 | | | |



Imagens radiológicas de vértebras cervicais dissecadas.

- (a) Incidência anteroposterior de C4.
 (b) Incidência lateral de C1.
 (c) Incidência lateral de C2.
 (d) Incidência lateral de C4.

- | | | |
|---|--|--|
| 1 Arco anterior do atlas (primeira vértebra cervical) | 7 Corpo do atlas (primeira vértebra cervical) | 12 Processo articular superior da quarta vértebra cervical |
| 2 Tubérculo anterior do processo transverso da quarta vértebra cervical | 8 Tubérculo posterior do processo transverso da quarta vértebra cervical | 13 Pedículo do arco vertebral de C4 |
| 3 Corpo do eixo (segunda vértebra cervical) | 9 Tubérculo posterior do atlas (primeira vértebra cervical) | 14 Parte interarticular de C4 |
| 4 Processo articular inferior da quarta vértebra cervical | 10 Processo espinhoso do eixo (segunda vértebra cervical) | 15 Lâmina do arco vertebral de C4 |
| 5 Dente do eixo (segunda vértebra cervical) | 11 Processo espinhoso da quarta vértebra cervical | 16 Lamela intertubercular do processo transverso de C4 |
| 6 Arco posterior do atlas (primeira vértebra cervical) | | 17 Unco do corpo de C4 |
| | | 18 Processo transverso de C4. |



- 1 Arco anterior do atlas (primeira vértebra cervical)
- 2 Articulação atlantoaxial
- 3 Processo espinhoso bifido do eixo (segunda vértebra cervical)
- 4 Corpo do eixo (segunda vértebra cervical)
- 5 Corpo da quinta vértebra cervical
- 6 Osso hioide
- 7 Processo articular inferior do atlas (primeira vértebra cervical)
- 8 Forame intervertebral
- 9 Lâmina do arco vertebral da quinta vértebra cervical
- 10 Massa lateral do atlas (primeira vértebra cervical)
- 11 Primeira costela esquerda
- 12 Mandíbula
- 13 Osso occipital
- 14 Dente do eixo (segunda vértebra cervical)
- 15 Tubérculo posterior do processo transverso da quinta vértebra cervical
- 16 Unco do corpo da quinta vértebra cervical
- 17 Primeira costela direita
- 18 Processo espinhoso da quinta vértebra cervical
- 19 Processo articular superior do atlas (primeira vértebra cervical)
- 20 Processo articular superior do eixo (segunda vértebra cervical)
- 21 Traqueia
- 22 Processo transverso do atlas (primeira vértebra cervical)
- 23 Processo transverso do eixo (segunda vértebra cervical)
- 24 Pedículo do arco vertebral de C5

(a) Atlas (primeira vértebra cervical) e eixo (segunda vértebra cervical), projeção anteroposterior, "boca aberta".

(b) Atlas (primeira vértebra cervical) ressecado, projeção anteroposterior.

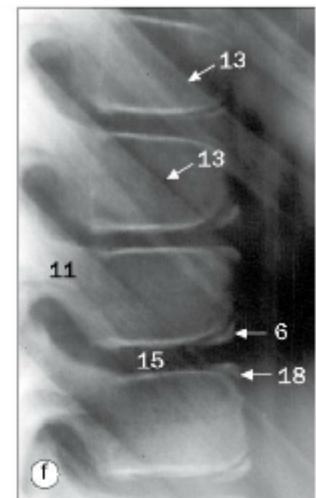
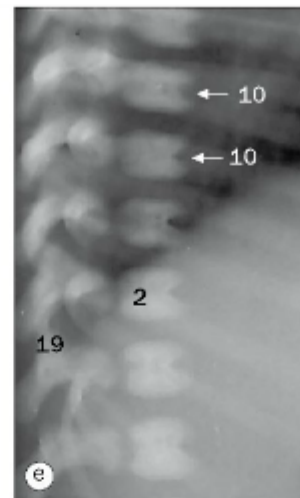
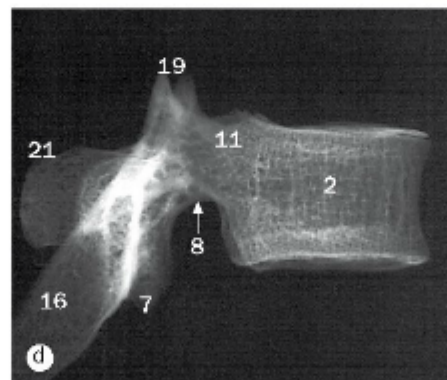
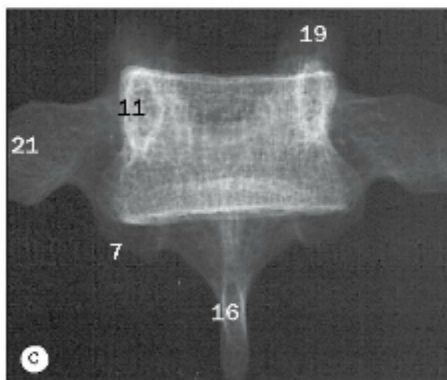
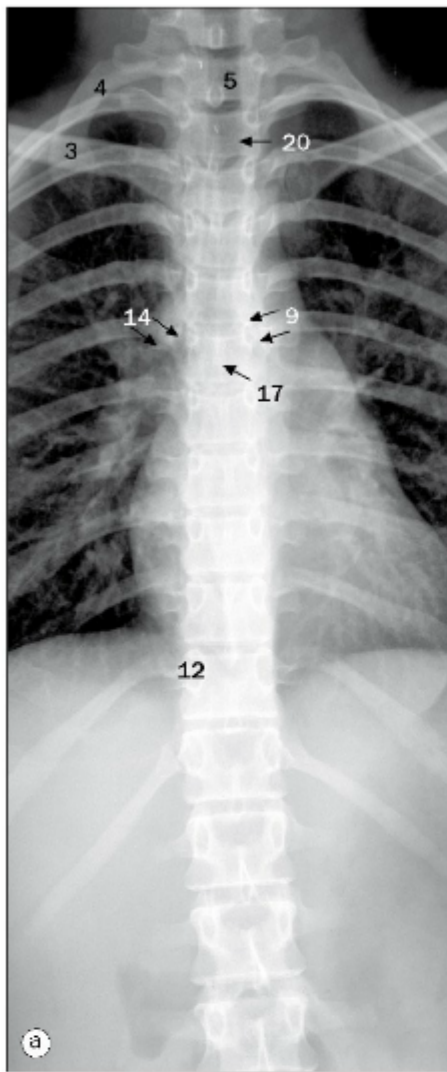
(c) Eixo (segunda vértebra cervical) ressecado, projeção anteroposterior.

(d) Radiografia da região cervical da coluna de um indivíduo de 3 anos de idade, projeção lateral. O espaço da articulação atlantoaxial pode normalmente medir até 5 mm (até 3 mm em adultos).

(e) Radiografia da região cervical da coluna de um indivíduo de 9 anos de idade, projeção lateral. Observe o encunhamento normal dos corpos vertebrais (setas) causado pelos processos não ossificados da placa terminal superior.

(f) Radiografia oblíqua da região cervical de uma coluna adulta.

(g) Desenho esquemático de (f).



- 1 Corpo da sexta vértebra torácica
- 2 Corpo vertebral
- 3 Clavícula
- 4 Primeira costela
- 5 Primeira vértebra torácica
- 6 Discos epifisiais anulares inferiores do corpo vertebral
- 7 Processo articular inferior
- 8 Incisura articular inferior
- 9 Brônquio principal esquerdo
- 10 Fenda neonatal
- 11 Pedículo do arco vertebral
- 12 Pedículo do arco vertebral da décima primeira vértebra torácica
- 13 Costelas
- 14 Brônquio principal direito
- 15 Local do disco intervertebral
- 16 Processo espinhoso
- 17 Processo espinhoso da sexta vértebra torácica
- 18 Discos epifisiais anulares superiores do corpo vertebral
- 19 Processo articular superior
- 20 Traqueia
- 21 Processo transverso

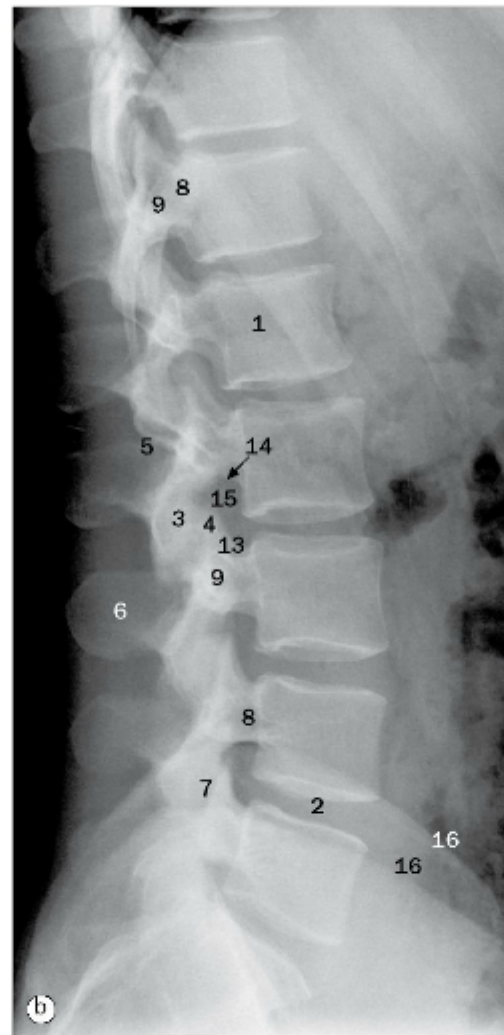
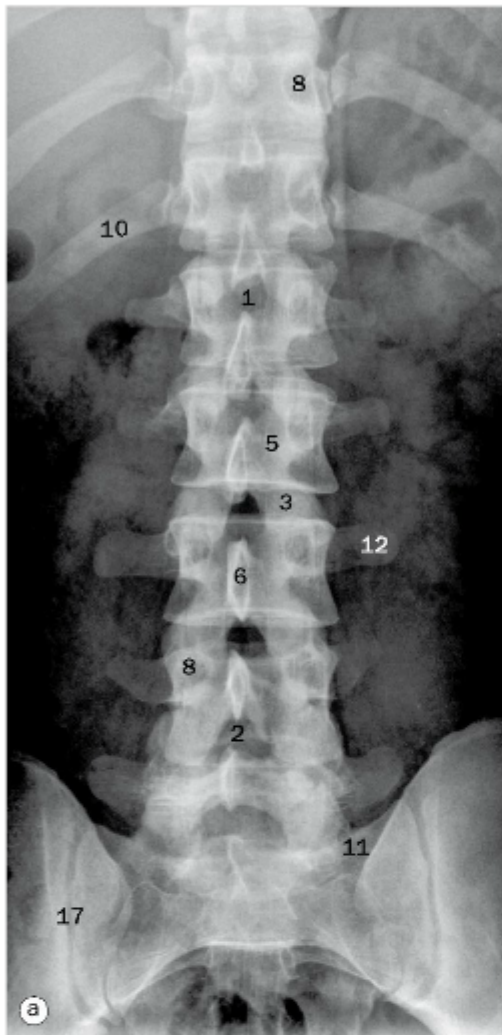
(a) Região torácica da coluna, projeção anteroposterior.

(b) Região torácica da coluna, projeção lateral.

(c) Vértebra torácica ressecada, projeção anteroposterior.

(d) Sexta vértebra torácica ressecada, projeção lateral.

Região torácica da coluna (e) de um neonato com 7 dias de vida, e (f), de uma criança de 12 anos de idade, projeções laterais.



(a) Região lombar da coluna, radiografia anteroposterior

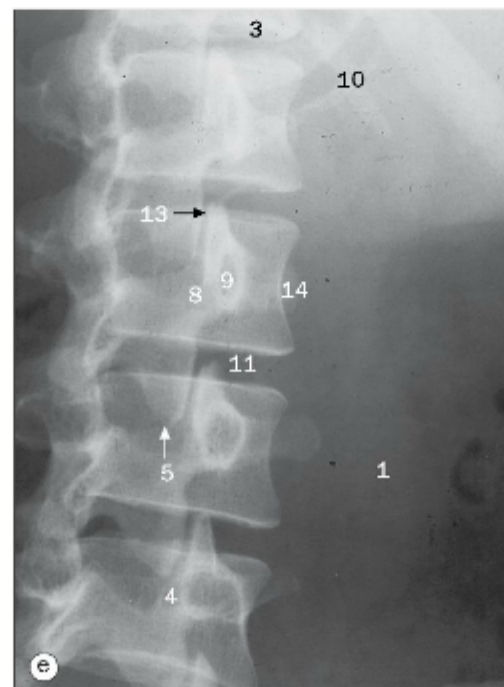
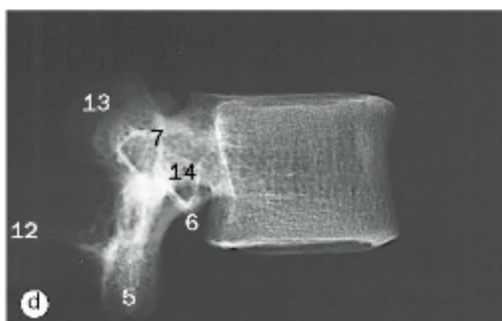
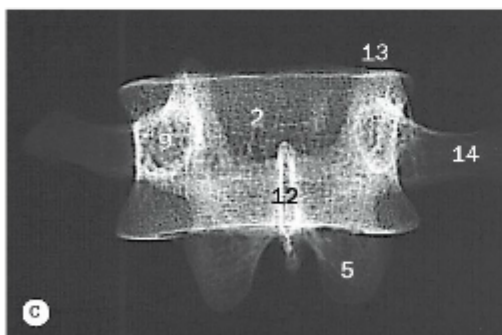
(b) Região lombar da coluna, projeção lateral.

(c) Segunda vértebra lombar ressecada, projeção anteroposterior.

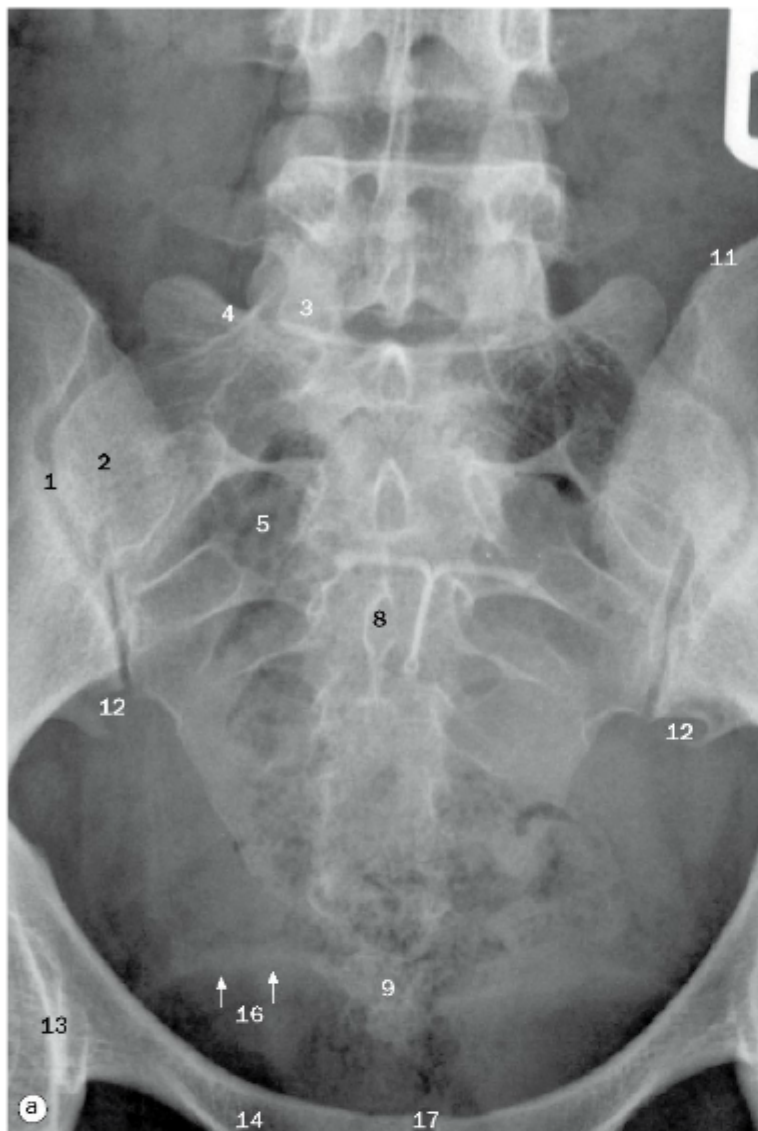
(d) Segunda vértebra lombar ressecada, projeção lateral

(e) Região lombar da coluna, projeção oblíqua.

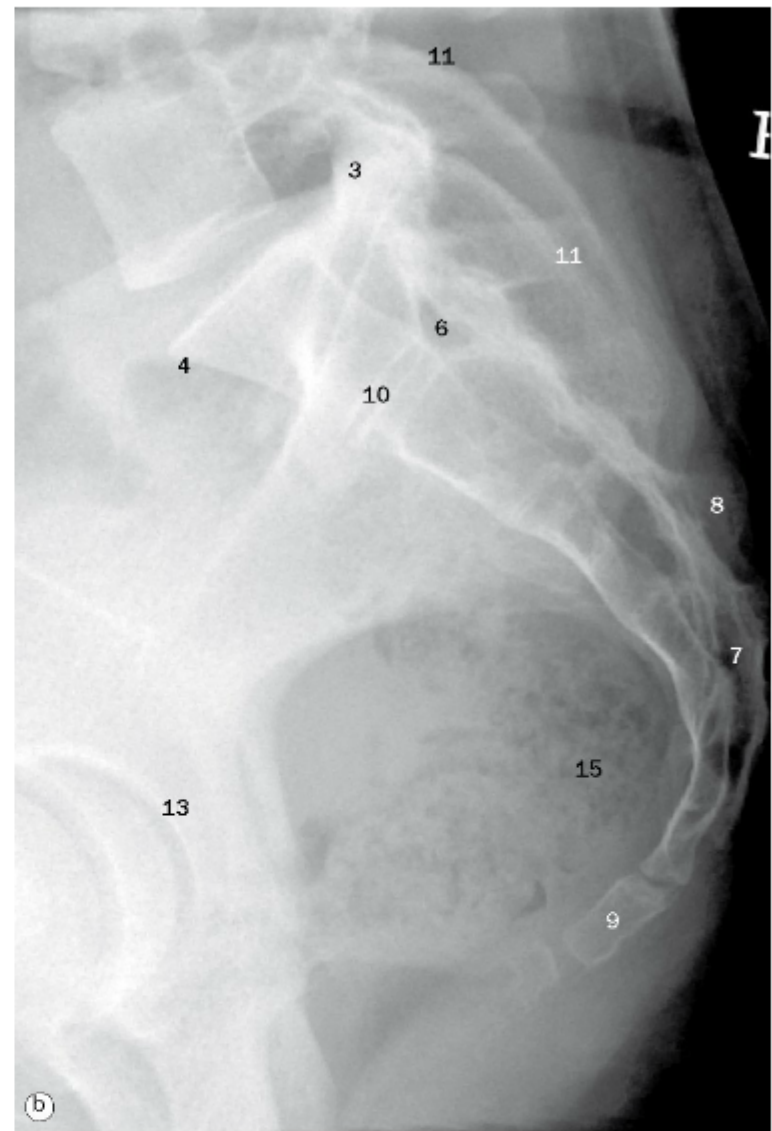
- 1 Corpo da primeira vértebra lombar
- 2 Disco intervertebral L4/5
- 3 Processo articular inferior de L2
- 4 Processo articular superior de L3
- 5 Lâmina do arco vertebral de L2
- 6 Processo espinhoso de L3
- 7 Articulação dos processos articulares de L4/5
- 8 Pedículo do arco vertebral
- 9 Parte interarticular
- 10 Décima segunda costela direita
- 11 Promontório sacral
- 12 Processo transverso de L3
- 13 Processo mamilar
- 14 Incisura vertebral inferior de L2
- 15 Forame intervertebral de L2/3 (para a raiz L2)
- 16 Crista ilíaca
- 17 Articulação sacroilíaca



- 1 Contomo do músculo psoas maior
- 2 Corpo da segunda vértebra lombar
- 3 Corpo da décima segunda vértebra torácica
- 4 Corpo da quarta vértebra lombar
- 5 Processo articular inferior da segunda vértebra lombar
- 6 Incisura vertebral inferior da segunda vértebra lombar
- 7 Processo mamilar da segunda vértebra lombar
- 8 Parte interarticular
- 9 Pedículo do arco vertebral da segunda vértebra lombar
- 10 Décima segunda costela
- 11 Espaço do disco intervertebral entre L2 e L3.
- 12 Processo espinhoso da segunda vértebra lombar
- 13 Processo articular superior da segunda vértebra lombar
- 14 Processo transverso da segunda vértebra lombar



(a) Sacro, projeção anteroposterior.



(b) Sacro e cóccix, projeção lateral.

- 1 Articulação sacroilíaca
- 2 Asa do sacro
- 3 Processo articular superior do sacro
- 4 Promontório sacral
- 5 Forame sacral (S1/2 para a raiz direita S1)
- 6 Parte superior do canal sacral
- 7 Parte inferior do canal sacral
- 8 Crista sacral mediana
- 9 Cóccix
- 10 Espaço discal rudimentar S1/2
- 11 Crista ilíaca
- 12 Sulco pré-auricular
- 13 Teto do acetábulo
- 14 Ramo superior do púbis
- 15 Reto
- 16 Músculo levantador do ânus (delineado pelo tecido adiposo na fossa isquioanal)
- 17 Sínfise púbica

O sulco pré-auricular é uma característica da pelve feminina e é ocasionado pela reabsorção óssea na inserção do ligamento sacroilíaco anterior. Ele é proeminente nas mulheres que já tiveram filhos.

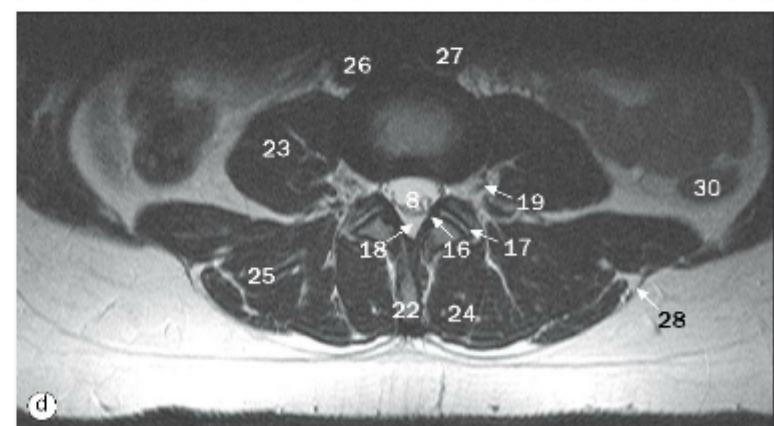
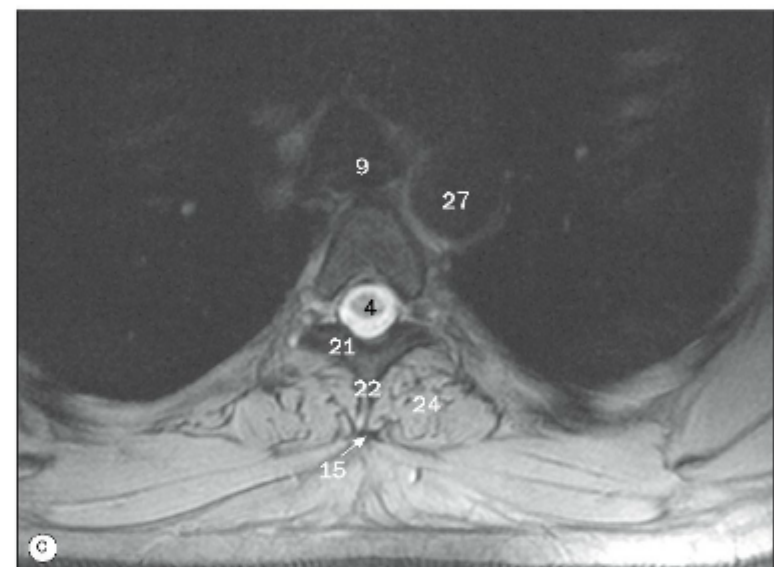
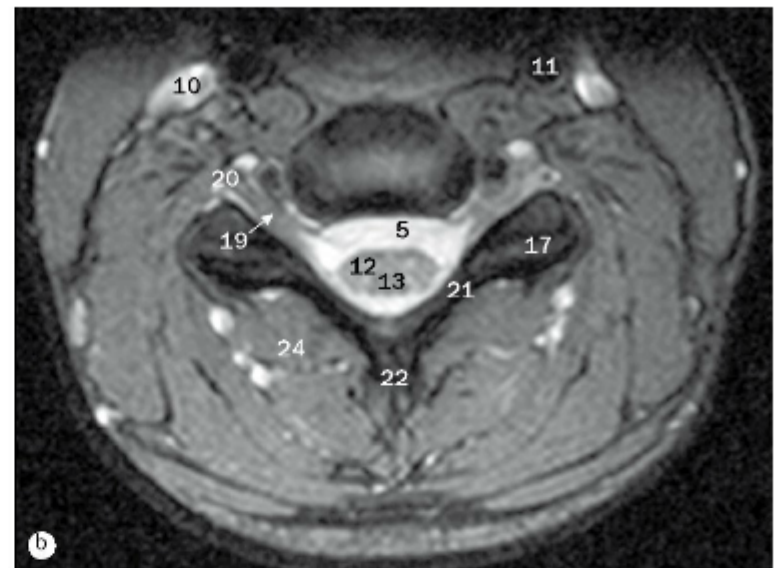


Imagens axiais de tomografia computadorizada da parte superior região cervical da coluna nos níveis de C1/2 (a, b), C2 (c) e C2/3 (d).

- 1 Processo mastoide (extremidade)
- 2 Ligamento transverso do atlas (inserção)
- 3 Arco anterior do atlas (C1)
- 4 Massa lateral do atlas
- 5 Arco posterior de C1
- 6 Sulco da artéria vertebral
- 7 Dente do eixo (C2)
- 8 Língua da mandíbula
- 9 Processo estiloide
- 10 Hâmulo pterigóideo
- 11 Forame da mandíbula

- 12 Forame transversário de C1
- 13 Processo transverso de C1
- 14 Processo articular inferior de C2
- 15 Lâmina do arco vertebral de C2
- 16 Pedículo do arco vertebral de C2
- 17 Processo espinhoso de C2
- 18 Corpo vertebral de C2
- 19 Forame intervertebral de C2/3
- 20 Medula espinal
- 21 Tubérculo anterior do processo transverso de C2

- 22 Tubérculo posterior do processo transverso de C2
- 23 Cartilagem tireóidea
- 24 Unco do corpo vertebral de C3
- 25 Articulação uncovertebral (de Luschka) em C2/3
- 26 Articulação dos processos articulares de C2/3
- 27 Epiglote
- 28 Valécua epiglótica
- 29 Ligamento amarelo



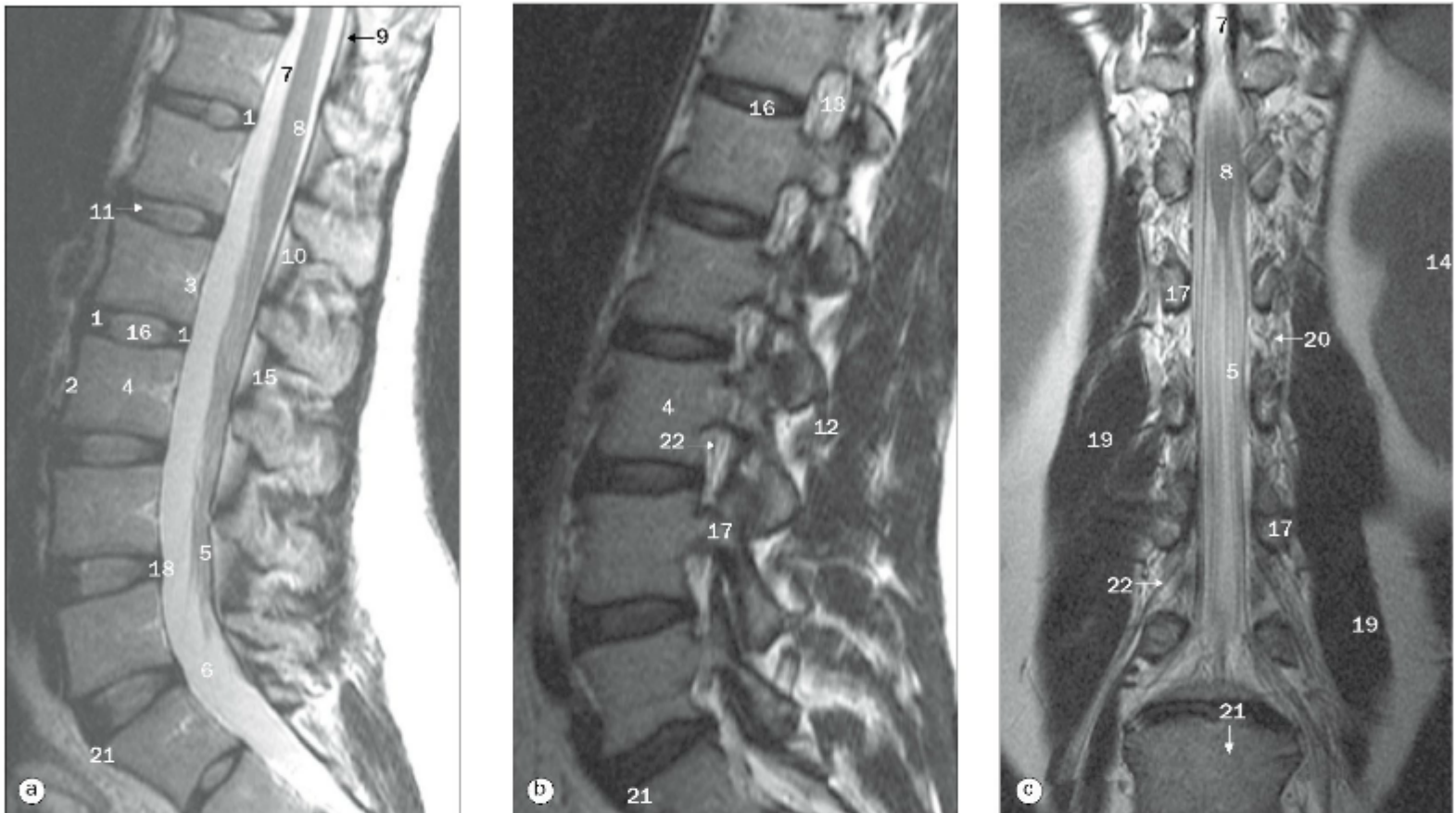
Imagens de ressonância magnética da coluna vertebral em T2, cortes sagital (a) e axial das regiões cervical (b), torácica (c) e lombar (d).

1 Forame magno
2 Corpo vertebral de C7
3 Núcleo pulposo do disco intervertebral de T5/6
4 Medula espinal
5 Líquido cerebrospinal no espaço subaracnóideo (artefato de lacuna de fluxo)
6 Veia basivertebral
7 Cone medular

8 Cauda equina
9 Traqueia
10 Veia jugular interna
11 Artéria carótida comum
12 Substância cinzenta da medula espinal
13 Substância branca da medula espinal
14 Processo espinhoso de T4
15 Ligamento supraespinal

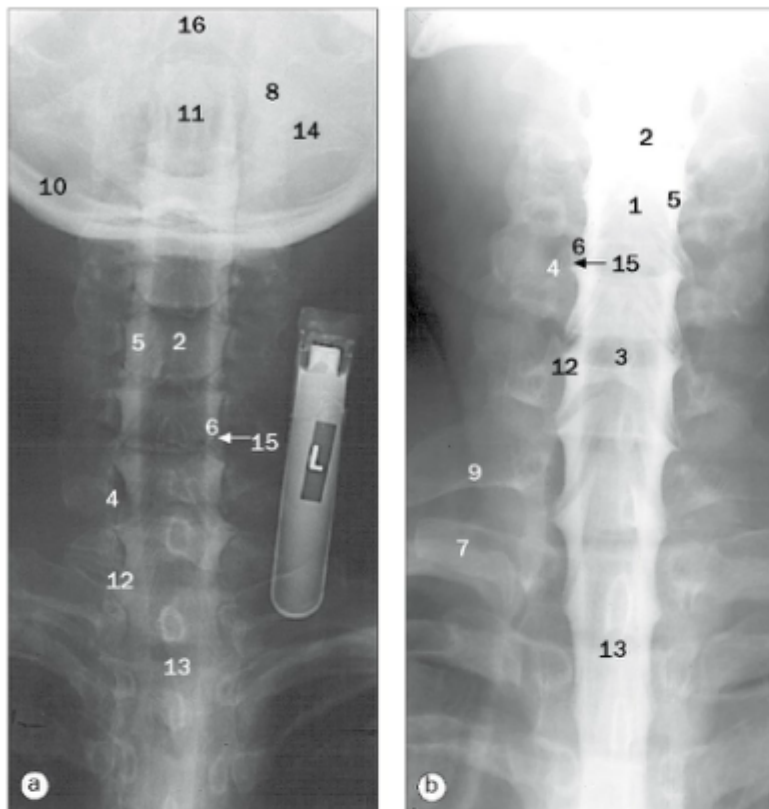
16 Ligamento amarelo
17 Articulação dos processos articulares
18 Tecido adiposo no espaço extradural
19 Gânglio sensitivo do nervo espinal
20 Raiz do nervo espinal
21 Lâmina do arco vertebral
22 Processo espinhoso

23 Músculo psoas maior
24 Músculo eretor da espinha
25 Músculo multifido
26 Veia cava inferior
27 Aorta
28 Fásia toracolombar
29 Ligamento nucal
30 Colo descendente



Região lombossacral da coluna, (a) imagem sagital, (b) imagem parassagital e (c) imagem coronal de ressonância magnética.

- | | | |
|-------------------------------------|--|--|
| 1 Anel fibroso | 10 Espaço extradural (preenchido por tecido adiposo) | 18 Ligamento longitudinal posterior e anel fibroso |
| 2 Ligamento longitudinal anterior | 11 Fenda internuclear | 19 Músculo psoas maior |
| 3 Veia basivertebral | 12 Ligamento interespinal | 20 Vasos radiculares |
| 4 Corpo da terceira vértebra lombar | 13 Forame intervertebral | 21 Promontório sacral |
| 5 Cauda equina | 14 Rim | 22 Raiz do nervo espinal no forame intervertebral |
| 6 Saco tecal | 15 Ligamento amarelo | |
| 7 Líquido cerebrospinal | 16 Núcleo pulposos | |
| 8 Cone medular | 17 Pedículo do arco vertebral | |
| 9 Saco dural | | |

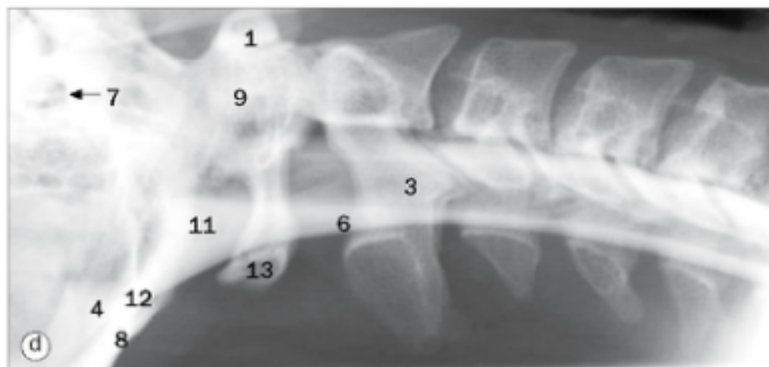


Mielografia cervical (a) com o pescoço em extensão, (b) com o pescoço levemente flexionado, projeções anteroposteriores. O meio de contraste não iônico hidrossolúvel em água é introduzido no espaço subaracnóideo da região lombar através de uma punção. O paciente é posicionado em decúbito ventral, com o pescoço hiperestendido, e preso em uma mesa inclinável. O meio de contraste é levado até a região cervical para demonstrar a região cervical da medula espinal e a saída das raízes nervosas cervicais. Existem oito raízes nervosas cervicais: as raízes do oitavo nervo cervical saem através dos forames intervertebrais entre a sétima vértebra cervical e a primeira vértebra torácica. A intumescência cervical normal da medula espinal (3) (para o plexo braquial) se estende da terceira vértebra cervical até a segunda vértebra torácica. Ela atinge seu máximo na quinta vértebra cervical e não deve ser confundida com uma lesão intramedular.

- 1 Artéria espinal anterior
- 2 Região cervical da medula espinal
- 3 Dilatação da região cervical da medula espinal
- 4 Nervo espinal cervical saindo através do forame intervertebral
- 5 Meio de contraste no espaço subaracnóideo da região cervical
- 6 Raiz posterior do nervo espinal
- 7 Primeira costela
- 8 Massa lateral do atlas (primeira vértebra cervical)
- 9 Processo transverso normalmente maior da sétima vértebra cervical
- 10 Occipital
- 11 Dente do eixo
- 12 Raiz do oitavo nervo cervical
- 13 Região torácica da medula espinal
- 14 Forame transversário
- 15 Raiz anterior do nervo espinal
- 16 Artéria vertebral

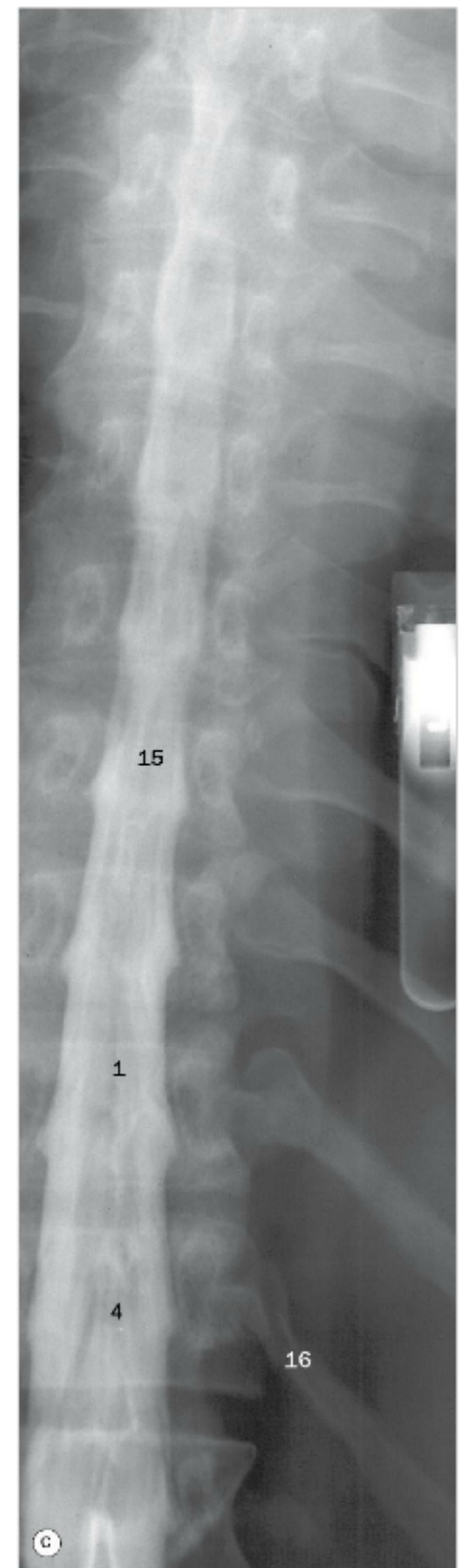
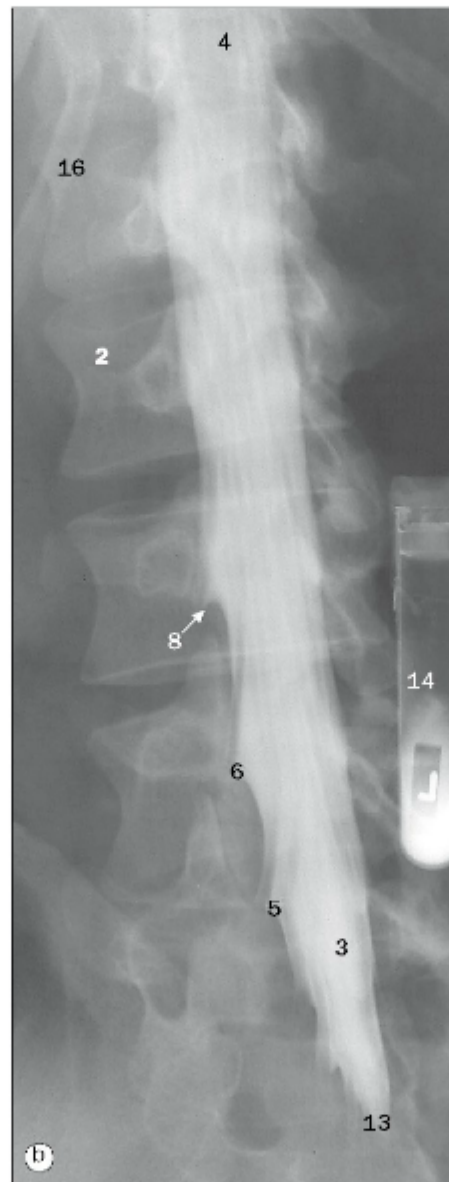
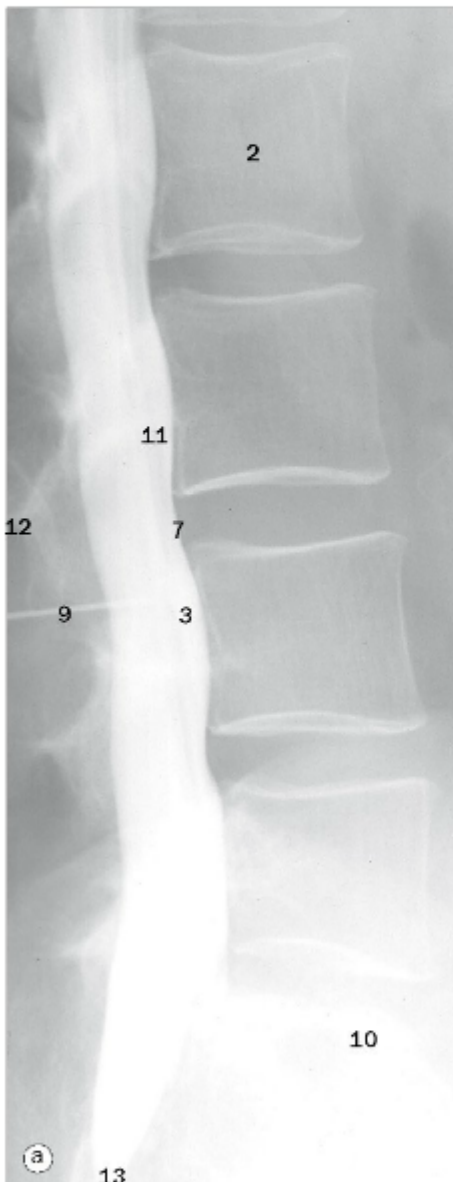


Mielografia cervical, (c) com o paciente em decúbito ventral, (d) com o paciente em decúbito dorsal, projeções laterais.



- 1 Arco anterior do atlas (primeira vértebra cervical)
- 2 Margem anterior do forame magno
- 3 Região cervical da medula espinal
- 4 Cisterna magna (cisterna cerebelobulbar posterior)
- 5 Clivo
- 6 Meio de contraste no espaço subaracnóideo da região cervical
- 7 Meato acústico externo
- 8 Occipital
- 9 Dente do eixo
- 10 Endentação posterior na dura-máter pelo ligamento amarelo
- 11 Artéria cerebelar inferoposterior
- 12 Margem posterior do forame magno
- 13 Tubérculo posterior do atlas (primeira vértebra cervical)

Radiculografia lombar, (a) projeção lateral, (b) projeção oblíqua, (c) projeção anteroposterior. Meio de contraste não iônico hidrossolúvel em água é introduzido no espaço subaracnóideo da região lombar através de uma punção. As raízes nervosas da cauda equina estão bem demonstradas e saem através dos forames intervertebrais. As raízes nervosas que se estendem do cone medular para o saco tecal terminal passam abaixo do pedículo do arco vertebral correspondente. O saco tecal termina no nível da primeira/segunda vértebras sacrais. O filamento terminal pode ser observado. A inclinação do paciente em decúbito ventral colocando a cabeça levemente para baixo permite que o meio de contraste flua cranialmente e delineie o cone medular e a região torácica inferior da medula espinal. A medula tem tamanho uniforme da segunda à décima vértebra, ponto em que a intumescência lombossacral se estende da décima vértebra torácica até o nível da primeira vértebra lombar. O cone medular geralmente termina na primeira/segunda vértebras lombares, mas pode ser visto um nível acima e abaixo como uma variação normal.



- 1 Fissura mediana anterior
- 2 Corpo da segunda vértebra lombar
- 3 Meio de contraste no espaço subaracnóideo
- 4 Cone medular
- 5 Quinto nervo espinal lombar
- 6 Quarto nervo espinal lombar
- 7 Endentações do disco intervertebral na margem anterior da dura-máter

- 8 Extensão lateral do espaço subaracnóideo ao redor das raízes nervosas espinais
- 9 Agulha da punção lombar no espaço entre a terceira e quarta vértebras lombares
- 10 Promontório sacral
- 11 Nervos espinais dentro do espaço subaracnóideo (cauda equina)

- 12 Processo espinhoso da terceira vértebra lombar
- 13 Dura-máter terminal na primeira/segunda vértebra sacral
- 14 Tubo de ensaio contendo meio de contraste indica a inclinação do paciente
- 15 Região torácica da medula espinal
- 16 Décima segunda costela

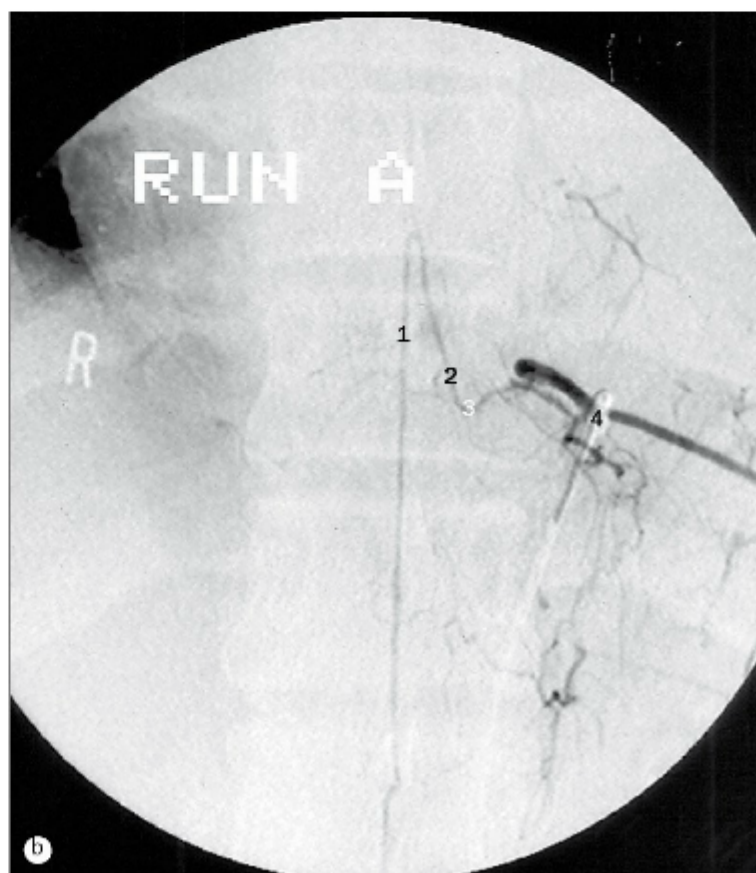
**(a) Venografia lombar por subtração.**

Após o advento das técnicas de TC e RM, a venografia lombar raramente é realizada. Entretanto, a anatomia das veias vertebrais é demonstrada de maneira ideal por esta técnica. A drenagem venosa da medula espinal está disposta longitudinalmente por meio de plexos. Existem anastomoses entre os plexos venosos vertebrais internos (6) e externos (1 e 4), que também se comunicam (4 e 2). Observe como as veias internas se inclinam lateralmente no nível do interespaço discal e medialmente no nível dos pedículos do arco vertebral, onde se unem através de uma veia conectora (2).

- 1 Veias lombares ascendentes
- 2 Veias basivertebrais
- 3 Cateter na veia ilíaca comum
- 4 Veias intervertebrais
- 5 Veias sacrais laterais
- 6 Plexo venoso vertebral longitudinal
- 7 Plexo venoso sacral
- 8 Ponta do cateter na veia intervertebral

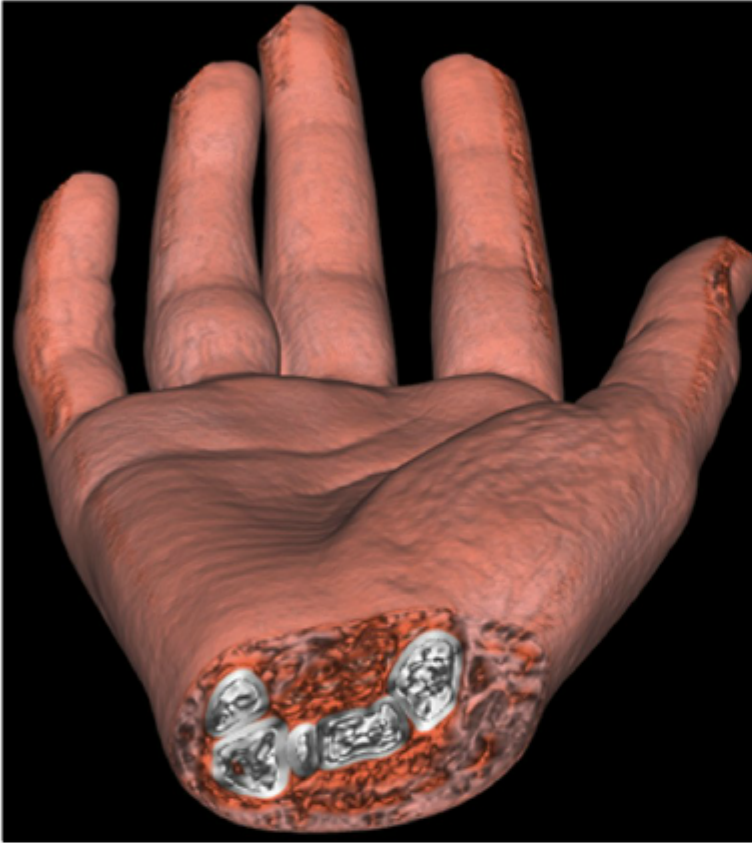
(b) Arteriografia espinal.

- 1 Artéria espinal anterior
- 2 Artéria radicular anterior (de Adamkiewicz)
- 3 Estenose transdural normal da artéria radicular anterior
- 4 Cateterização seletiva da décima primeira artéria intercostal esquerda.



3

Membro superior



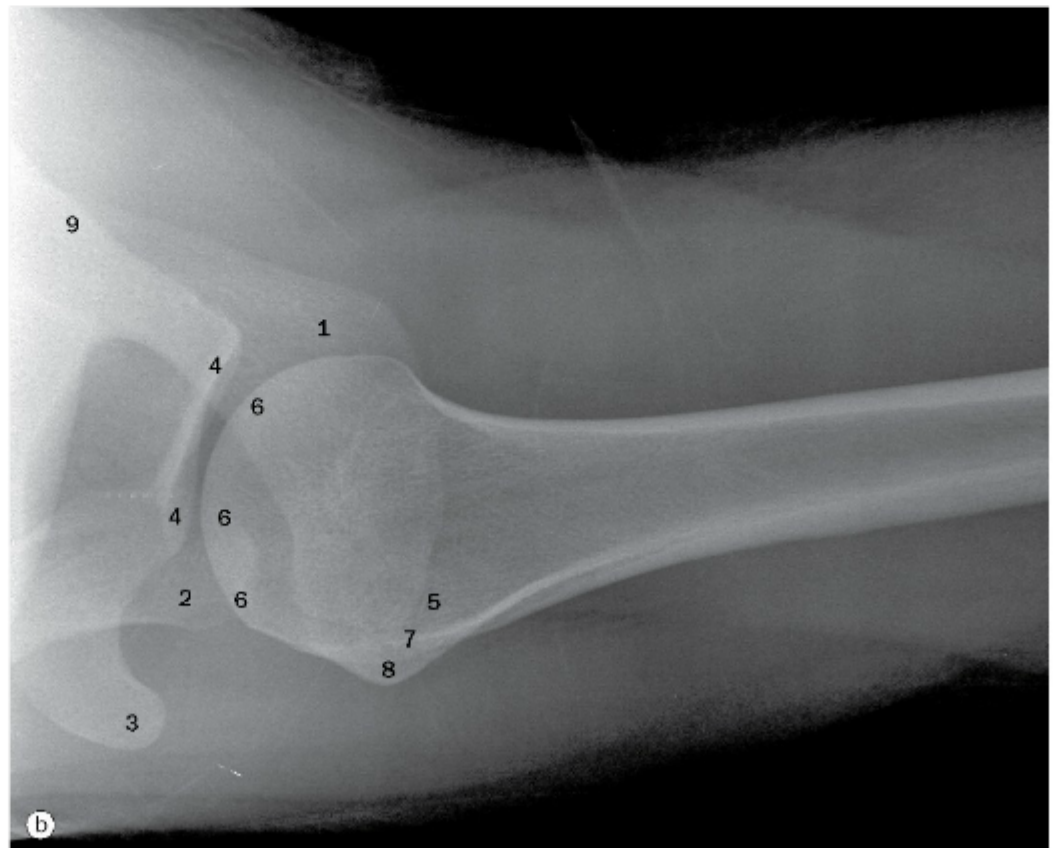
(a) Ombro, radiografia anteroposterior.

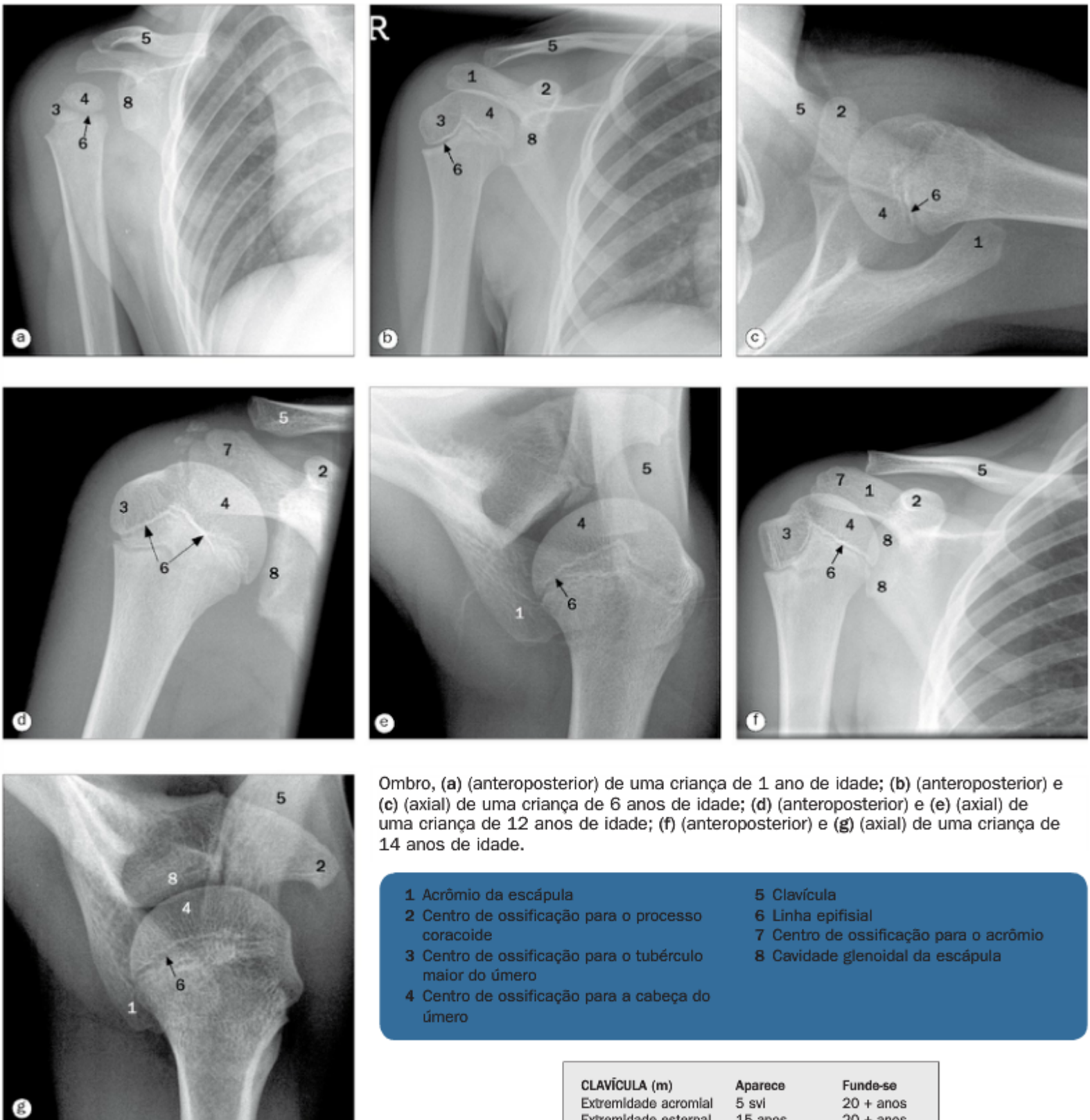
- 1 Acrômio da escápula
- 2 Colo anatômico do úmero
- 3 Clavícula
- 4 Processo coracoide da escápula
- 5 Cavidade glenoidal da escápula
- 6 Tubérculo maior do úmero
- 7 Cabeça do úmero
- 8 Tubérculo menor do úmero
- 9 Escápula
- 10 Colo cirúrgico do úmero



(b) Ombro, projeção axial (superoinferior).

- 1 Acrômio da escápula
- 2 Clavícula
- 3 Processo coracoide da escápula
- 4 Cavidade glenoidal da escápula
- 5 Tubérculo maior do úmero
- 6 Cabeça do úmero
- 7 Sulco intertubercular do úmero
- 8 Tubérculo menor do úmero
- 9 Espinha da escápula





Ombro, (a) (anteroposterior) de uma criança de 1 ano de idade; (b) (anteroposterior) e (c) (axial) de uma criança de 6 anos de idade; (d) (anteroposterior) e (e) (axial) de uma criança de 12 anos de idade; (f) (anteroposterior) e (g) (axial) de uma criança de 14 anos de idade.

- | | |
|---|--|
| 1 Acrômio da escápula | 5 Clavícula |
| 2 Centro de ossificação para o processo coracoide | 6 Linha epifisial |
| 3 Centro de ossificação para o tubérculo maior do úmero | 7 Centro de ossificação para o acrômio |
| 4 Centro de ossificação para a cabeça do úmero | 8 Cavidade glenoidal da escápula |

CLAVÍCULA (m)	Aparece	Funde-se
Extremidade acromial	5 svi	20 + anos
Extremidade esternal	15 anos	20 + anos

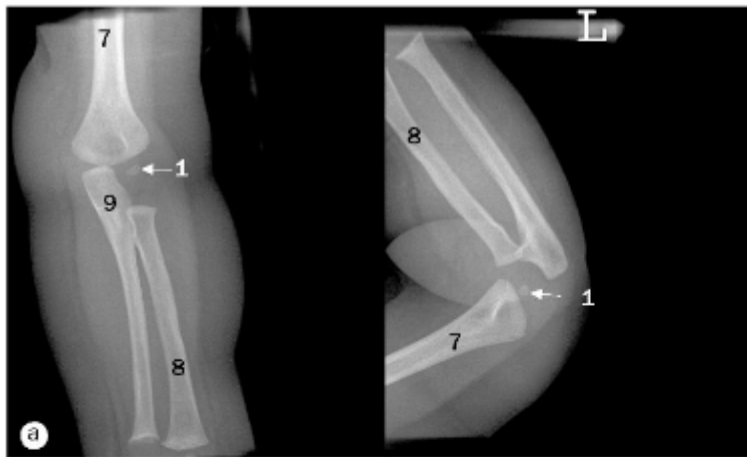
ESCÁPULA (c)	Aparece	Funde-se
Corpo	8 svi	15 anos
Processo coracoide	< 1 ano	20 anos
Base do processo coracoide	Puberdade	15-20 anos
Acrômio	Puberdade	15-20 anos



(a) Úmero, projeção lateral, (b), cotovelo, projeção anteroposterior, (c) cotovelo, projeção lateral.

- | | |
|-------------------------------|------------------------------|
| 1 Úmero | 8 Epicôndilo medial do úmero |
| 2 Rádio | 9 Colo do rádio |
| 3 Ulna | 10 Fossa do olécrano |
| 4 Capítulo do úmero | 11 Olécrano da ulna |
| 5 Processo coronoide da ulna | 12 Tróclea do úmero |
| 6 Cabeça do rádio | 13 Incisura troclear da ulna |
| 7 Epicôndilo lateral do úmero | 14 Tuberosidade do rádio |

ÚMERO (c)	Aparece	Funde-se
Diáfise	8 svi	15-20 anos
Cabeça	1-6 meses	15-20 anos
Tubérculo maior	6 meses-1 ano	15-20 anos
Tubérculo menor	3-5 anos	18-20 anos
Capítulo	4 meses-1 ano	13-16 anos
Tróclea	10 anos	13-16 anos
Epicôndilo medial	3-6 anos	13-16 anos
Epicôndilo lateral	9-12 anos	13-16 anos



Imagens do cotovelo, (a) criança com 7 meses de vida, (b) criança com 3 anos de idade, (c) criança com 6 anos de idade, (d) criança com 9 anos de idade.

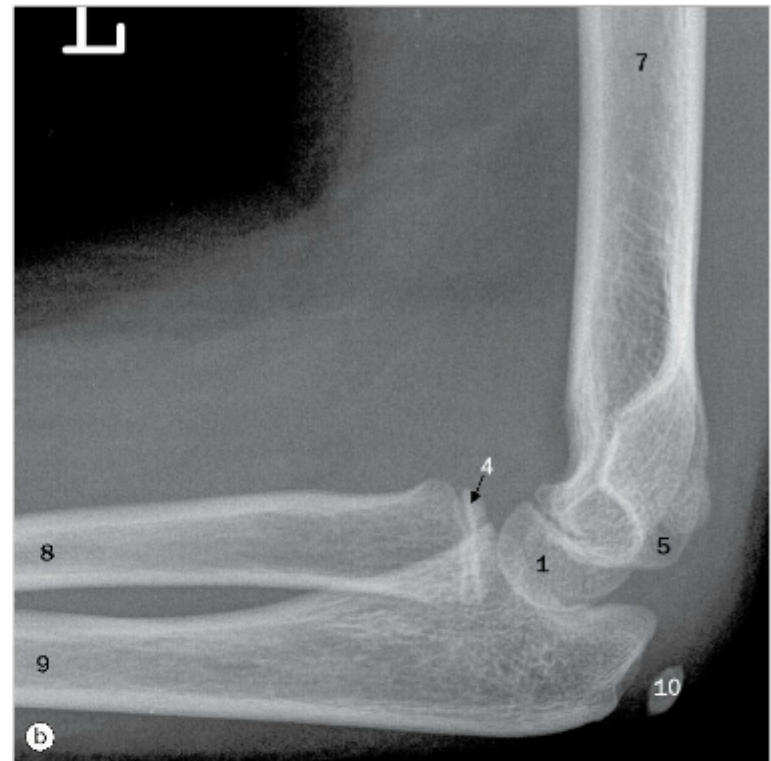
RÁDIO (c)

Diáfise	8 svl	
Epífise proximal	4-6 anos	13-16 anos
Epífise distal	1 ano	16-18 anos

ULNA (c)

Diáfise	8 svl	
Epífise proximal	8-10 anos	13-15 anos
Epífise distal	5-7 anos	16-18 anos

- 1 Centro de ossificação para o capítulo
- 2 Centro de ossificação para o epicôndilo lateral
- 3 Centro de ossificação para o epicôndilo medial
- 4 Centro de ossificação para a cabeça do rádio
- 5 Centro de ossificação para a tróclea
- 6 Linha epifisial
- 7 Úmero
- 8 Rádio
- 9 Ulna
- 10 Centro de ossificação para o olécrano

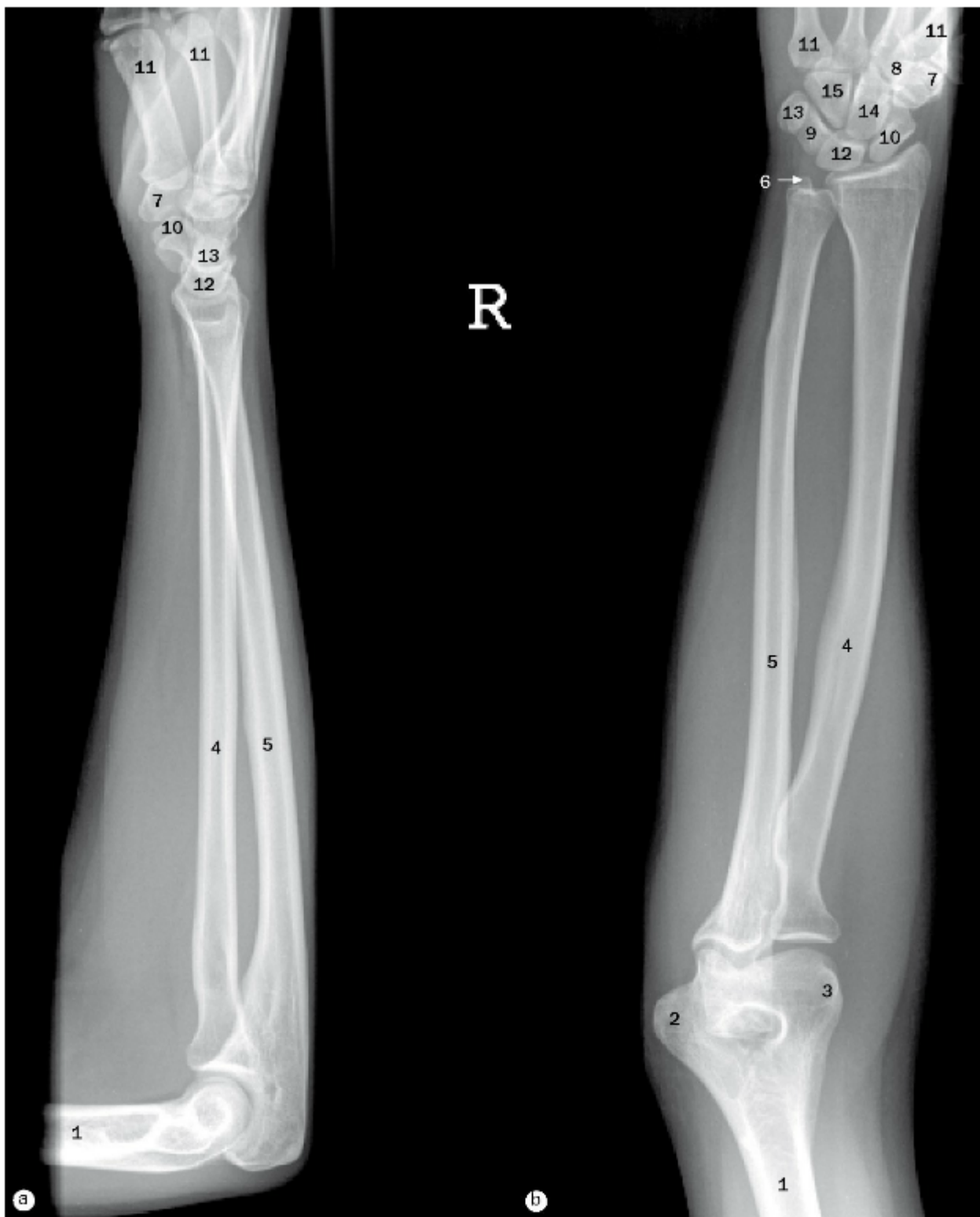


Imagens do cotovelo, (a) e (b) de uma criança de 11 anos de idade, (c) e (d) de uma criança de 14 anos de idade.

1 Centro de ossificação para o capitulo
2 Centro de ossificação para o epicôndilo lateral
3 Centro de ossificação para o epicôndilo medial

4 Centro de ossificação para a cabeça do rádio
5 Centro de ossificação para a tróclea
6 Linha epifisial
7 Úmero

8 Rádio
9 Ulna
10 Centro de ossificação para o olécrano

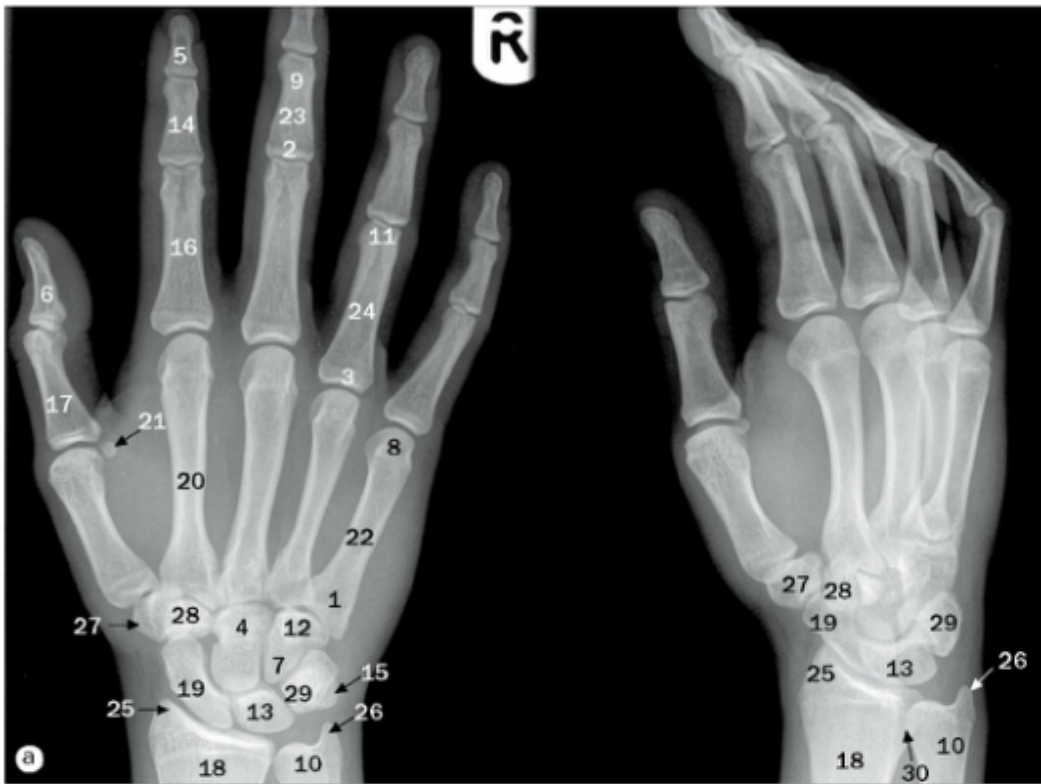


Imagens do antebraço, (a) lateral e (b) anteroposterior.

1 Úmero
 2 Epicôndilo medial do úmero
 3 Epicôndilo lateral do úmero
 4 Rádio

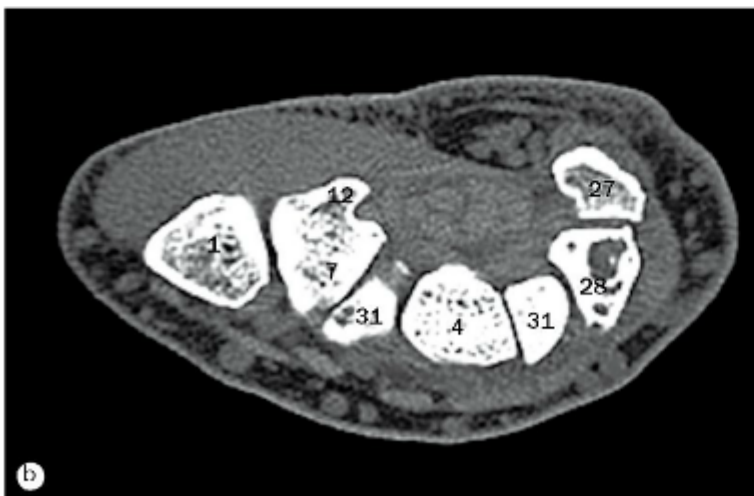
5 Ulna
 6 Processo estiloide da ulna
 7 Trapézio
 8 Trapezoide
 9 Piramidal
 10 Escafoide

11 Metacarpais
 12 Semilunar
 13 Pisiforme
 14 Capitato
 15 Hamato



(a) Ossos da mão, projeções dorsopalmar e oblíqua.

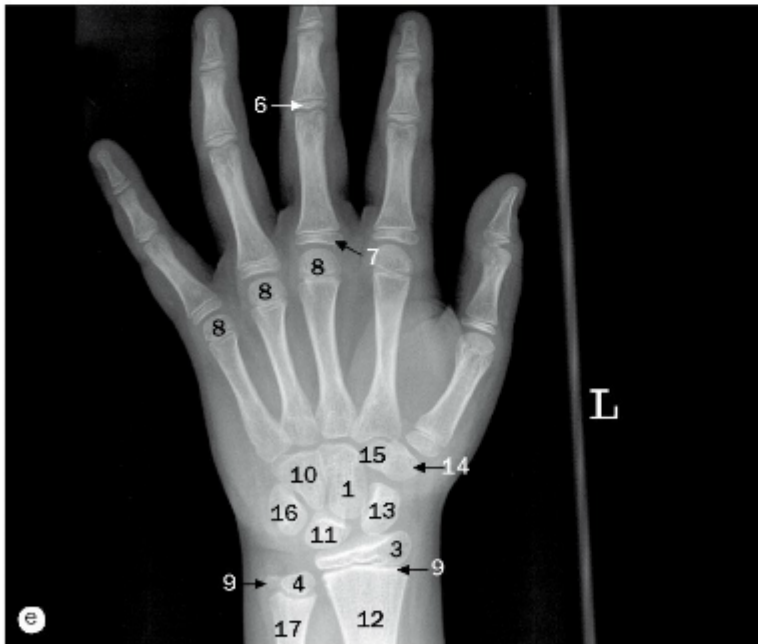
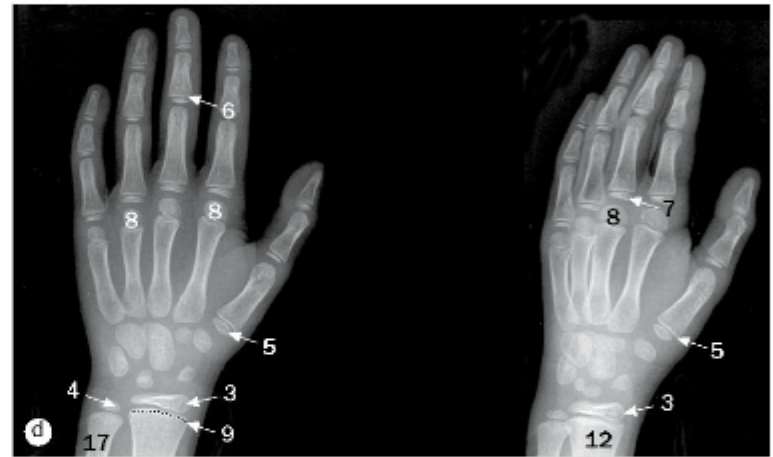
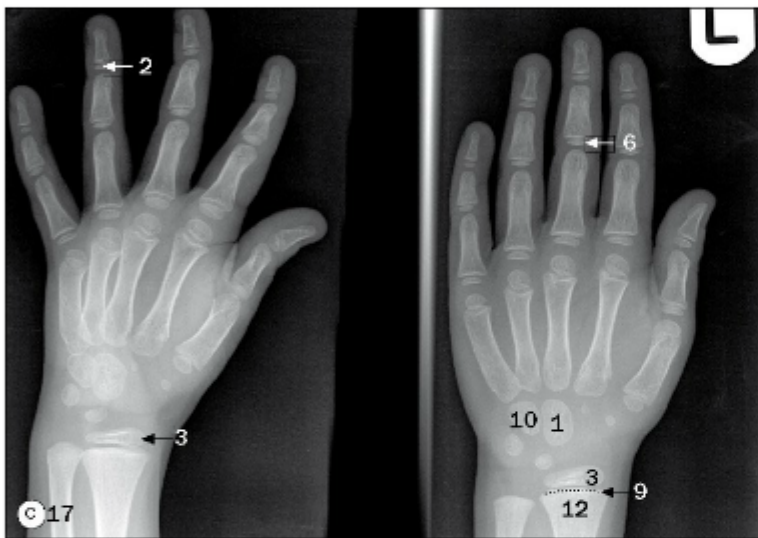
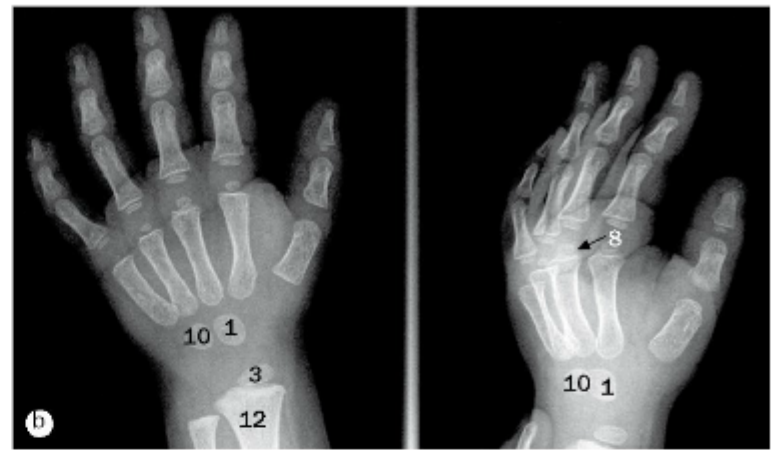
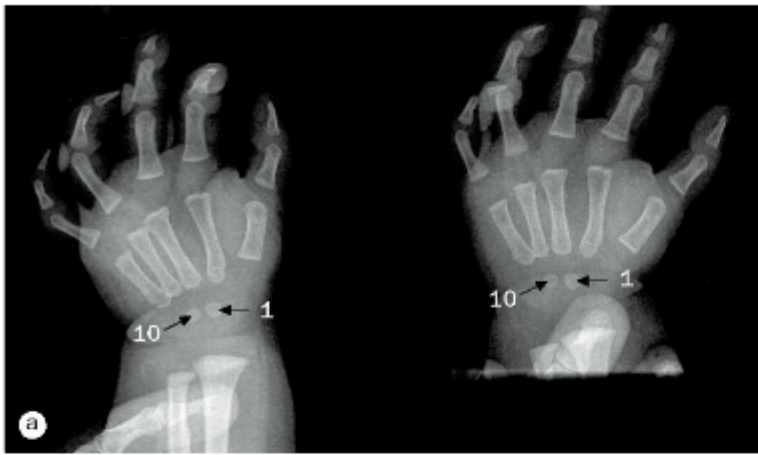
- | | | |
|--|---------------------------------------|---|
| 1 Base do quinto metacarpal | 12 Hâmulo do hamato | 23 Diáfise da falange média do dedo médio |
| 2 Base da falange média do dedo médio | 13 Semilunar | 24 Diáfise da falange proximal do dedo anular |
| 3 Base da falange proximal do dedo anular | 14 Falange média do dedo indicador | 25 Processo estiloide do rádio |
| 4 Capitato | 15 Pisiforme | 26 Processo estiloide da ulna |
| 5 Falange distal do dedo indicador | 16 Falange proximal do dedo indicador | 27 Trapézio |
| 6 Falange distal do polegar | 17 Falange proximal do polegar | 28 Trapezoide |
| 7 Hamato | 18 Rádio | 29 Piramidal |
| 8 Cabeça do quinto metacarpal | 19 Escafoide | 30 Incisura ulnar do rádio |
| 9 Cabeça da falange média do dedo médio | 20 Segundo metacarpal | 31 Base do metacarpal |
| 10 Cabeça da ulna | 21 Osso sesamoide | |
| 11 Cabeça da falange proximal do dedo anular | 22 Diáfise do quinto metacarpal | |



(b) Tomografia computadorizada axial através do túnel do carpo.



(c) Ossos do punho, projeção lateral.



CARPO (c)	Aparece	Funde-se
Capitato	1-3 meses	
Hamato	2-4 meses	
Piramidal	2-3 anos	
Semilunar	2-4 anos	
Escafoide	4-6 anos	
Trapézio	4-6 anos	
Trapezoide	4-6 anos	
Plisiforme (sesamolde)	8-12 anos	
METACARPAIS (c)		
Diáfise	9 svi	
Cabeça	1-2 anos	14-19 anos
FALANGES (c)		
Diáfise	8-12 svi	
Base	1-3 anos	14-18 anos

Ossos da mão (projeções dorsopalmares), (a) de uma criança com 10 meses de vida, (b) de uma criança com 2 anos de idade, (c) de uma criança com 6 anos de idade, (d) de uma criança com 9 anos de idade, para ilustrar os centros de ossificação, e (e) de uma criança com 11 anos de idade.

- 1 Capitato
- 2 Centro de ossificação para a falange distal do dedo anular
- 3 Centro de ossificação para a região distal do rádio
- 4 Centro de ossificação para a região distal da ulna

- 5 Centro de ossificação para o primeiro metacarpo
- 6 Centro de ossificação para a falange média do dedo médio
- 7 Centro de ossificação para a falange proximal do dedo médio

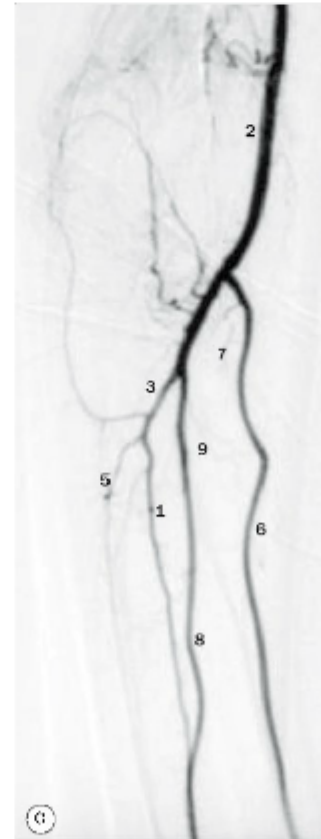
- 8 Centro de ossificação para o segundo metacarpo (se aplica do segundo ao quinto metacarpais)
- 9 Linha epifisial
- 10 Hamato
- 11 Semilunar

- 12 Rádio
- 13 Escafoide
- 14 Trapézio
- 15 Trapezoide
- 16 Piramidal
- 17 Ulna

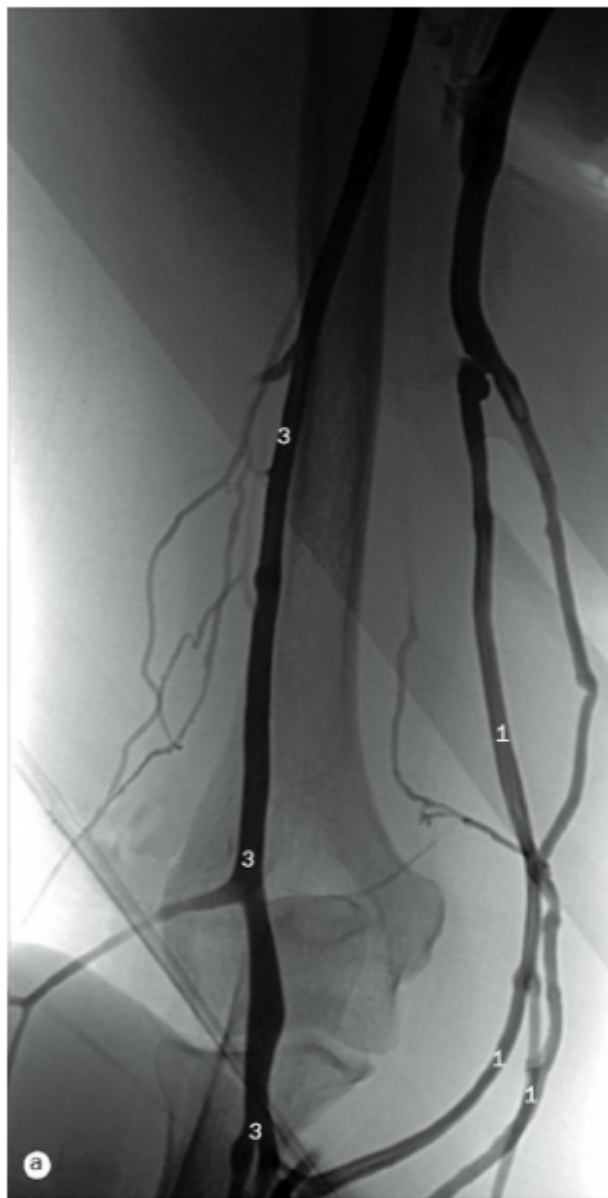


- | | |
|---|--|
| 1 Artéria circunflexa anterior do úmero | 7 Artéria circunflexa posterior do úmero |
| 2 Artéria axilar | 8 Artéria braquial profunda |
| 3 Artéria braquial | 9 Artéria subescapular |
| 4 Artéria circunflexa da escápula | 10 Artéria torácica superior |
| 5 Artéria torácica lateral | 11 Artéria toracoacromial |
| 6 Ramos musculares da artéria braquial | |

Arteriografias axilares, (a) por subtração, (b), por subtração digital, (c) e (d) arteriografias braquiais.



- | | |
|--------------------------------|-----------------------------|
| 1 Artéria interóssea anterior | 6 Artéria radial |
| 2 Artéria braquial | 7 Artéria recorrente radial |
| 3 Artéria interóssea comum | 8 Artéria ulnar |
| 4 Arco palmar profundo | 9 Artéria recorrente ulnar |
| 5 Artéria interóssea posterior | |



(a) e (b) Venografias dos membros superiores,
(c) cavografia superior.

- 1 Veia basilica
- 2 Veia intermédia do cotovelo
- 3 Veia cefálica
- 4 Rádio
- 5 Ulna
- 6 Veia axilar
- 7 Veia braquiocefálica
- 8 Átrio direito
- 9 Local de entrada da veia braquiocefálica esquerda
- 10 Veia subclávia
- 11 Veia cava superior



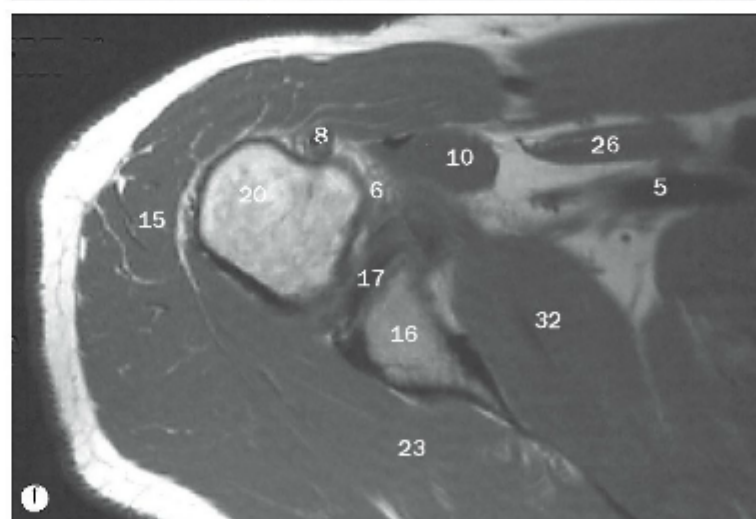
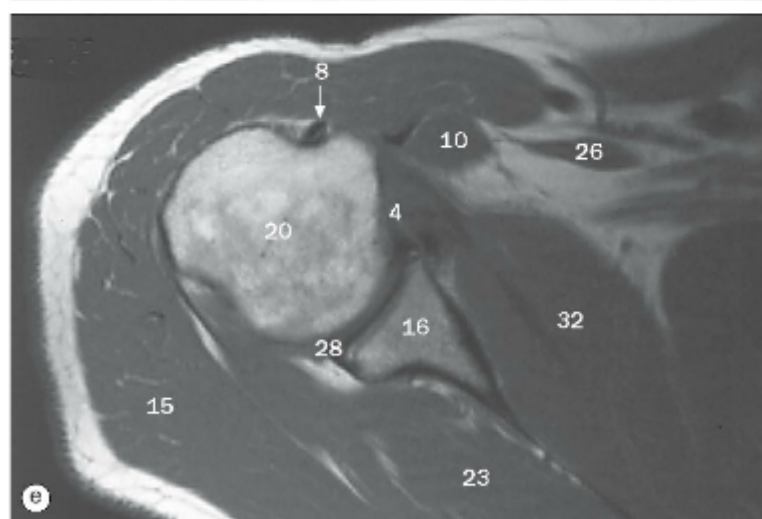
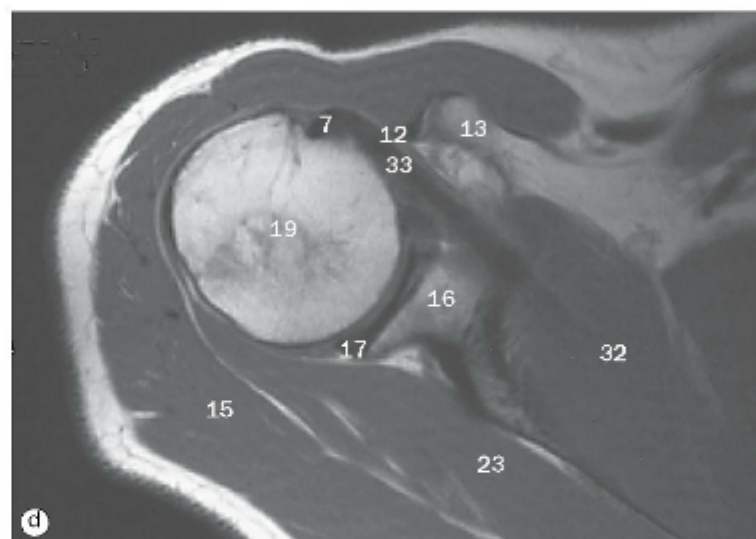
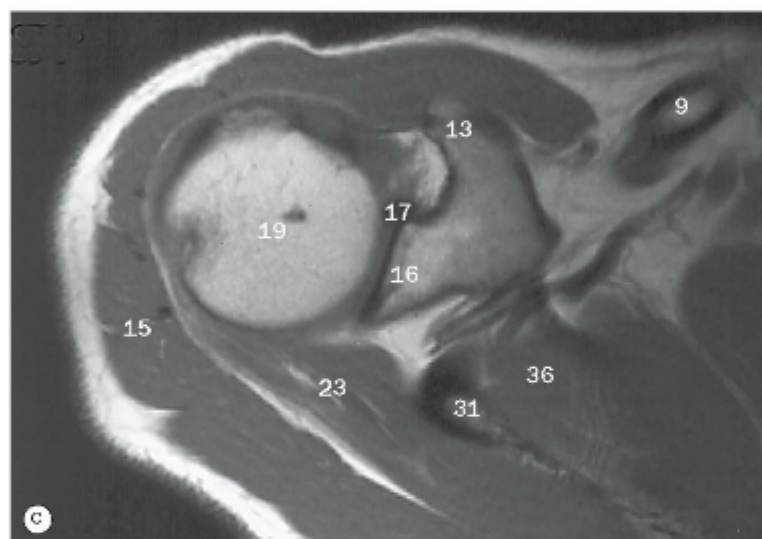
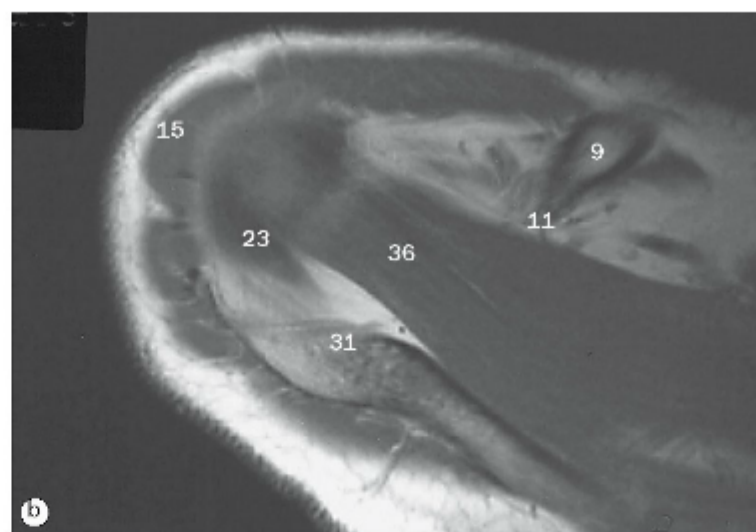
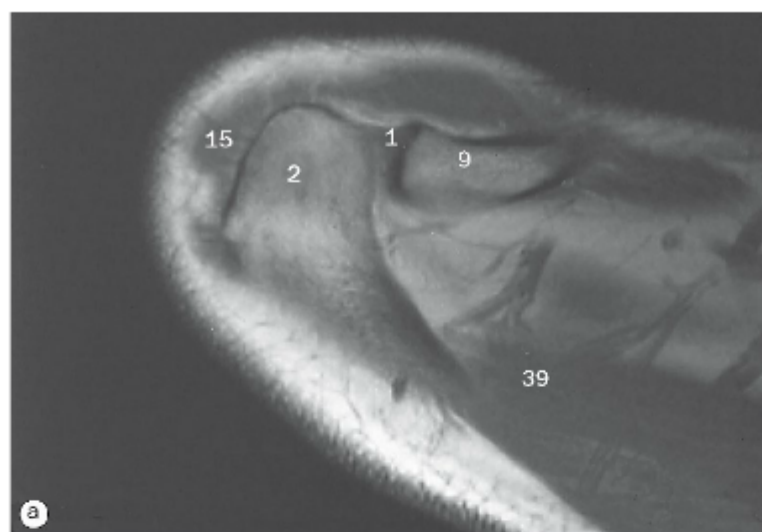
(a) Arteriografia da mão por subtração digital.
Neste paciente observa-se um arco palmar superficial incompleto.

- 1 Artéria da face radial do polegar
- 2 Artéria digital palmar comum
- 3 Arco palmar profundo
- 4 Ramo palmar profundo da artéria ulnar
- 5 Ramo carpal palmar da artéria ulnar
- 6 Artéria metacarpal palmar
- 7 Artéria principal do polegar
- 8 Artéria digital palmar própria
- 9 Artéria radial
- 10 Artéria ulnar
- 11 Anastomoses da polpa



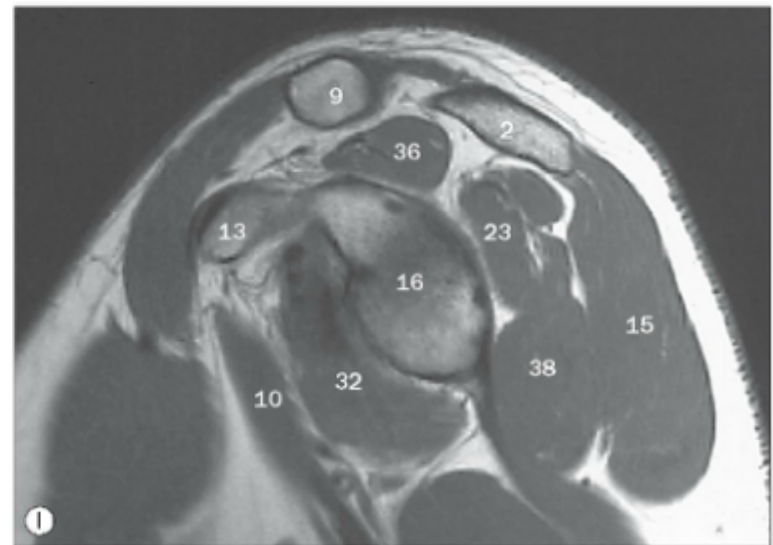
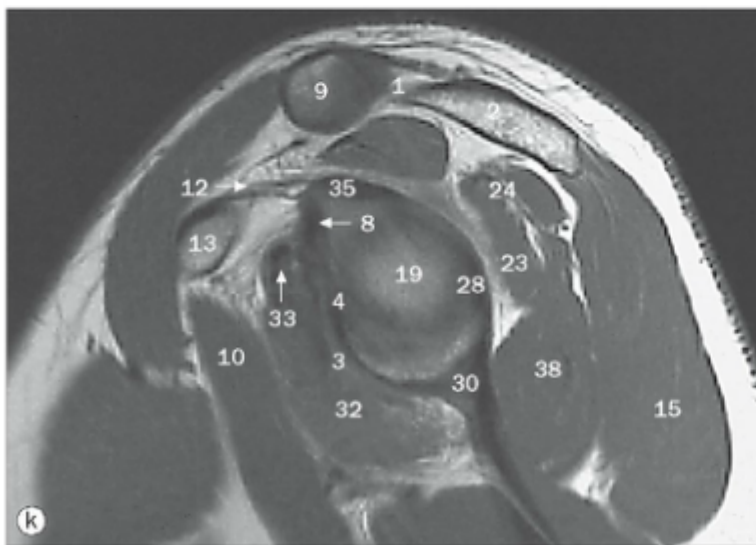
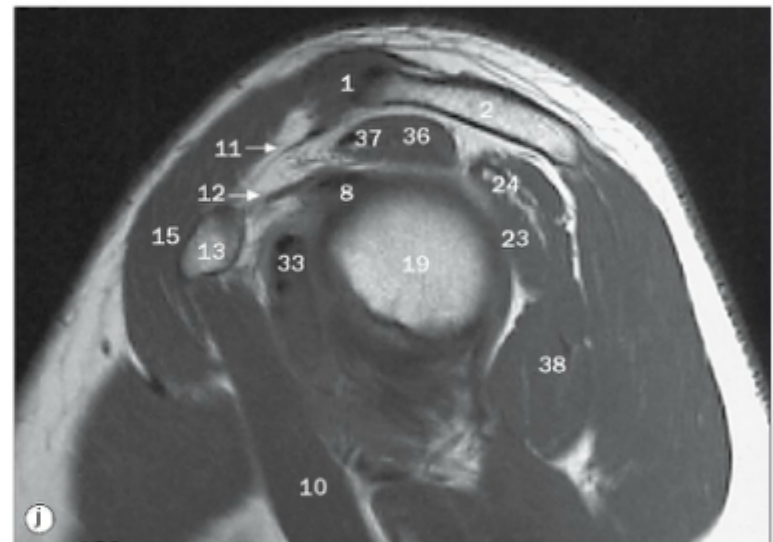
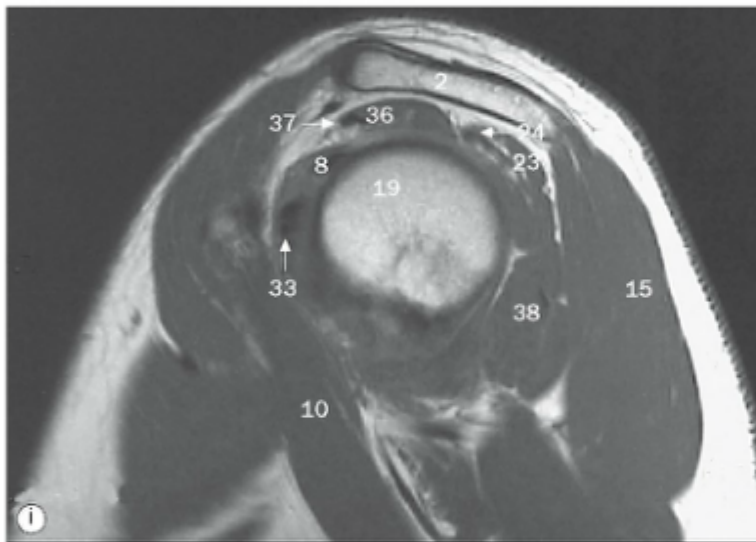
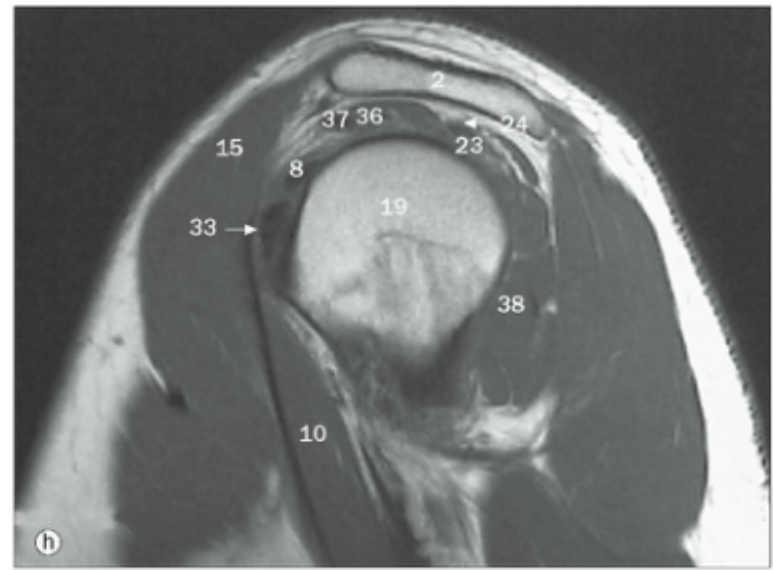
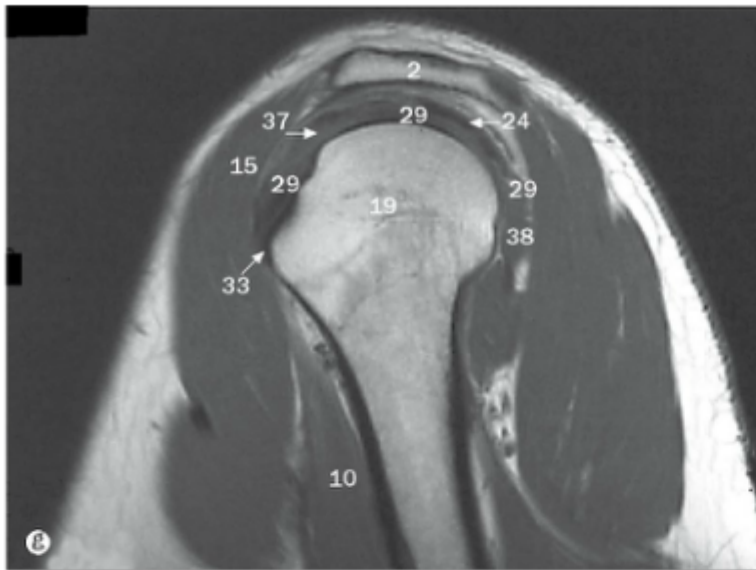
(b) Fase venosa da arteriografia da mão.

- 1 Veia basilíca
- 2 Veia cefálica
- 3 Veia digital palmar comum
- 4 Veia digital palmar
- 5 Veia principal do polegar
- 6 Veia radial do indicador
- 7 Arco venoso palmar superficial



Ombro, imagens axiais de artroressonância magnética.

- | | | |
|---|--|-------------------------------------|
| 1 Articulação acromioclavicular | 8 Tendão do músculo bíceps braquial (cabeça longa) | 16 Cavidade glenoidal |
| 2 Acrômio | 9 Clavícula | 17 Lábio glenoidal |
| 3 Cápsula da articulação do ombro (região anterior) | 10 Músculo coracobraquial | 18 Tubérculo maior |
| 4 Lábio glenoidal (parte anterior) | 11 Ligamento coracoclavicular | 19 Cabeça do úmero |
| 5 Artéria e veia axilares | 12 Ligamento coracoacromial | 20 Úmero |
| 6 Recesso axilar | 13 Processo coracoide | 21 Ligamento glenoumeral inferior |
| 7 Tendão do músculo bíceps braquial | 14 Tendão do músculo deltoide | 22 Lábio glenoidal (parte inferior) |
| | 15 Músculo deltoide | 23 Músculo infraespal |
| | | 24 Tendão do músculo infraespal |



Ombro, imagens sagitais de artroressonância.

25 Ligamento glenoumeral médio

26 Músculo peitoral menor

27 Cápsula da articulação do ombro (região posterior)

28 Lábio glenoidal (parte posterior)

29 Manguito rotador

30 Escápula

31 Espinha da escápula

32 Músculo subescapular

33 Tendão do músculo subescapular

34 Ligamento glenoumeral superior

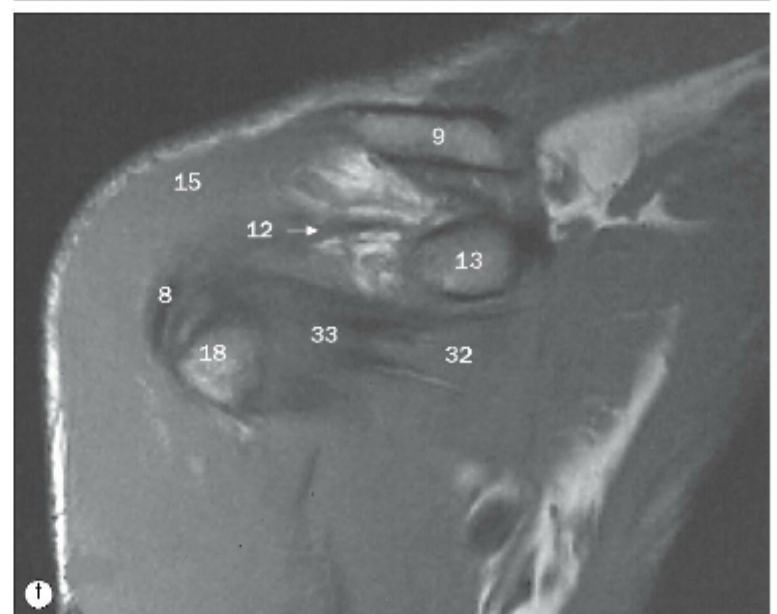
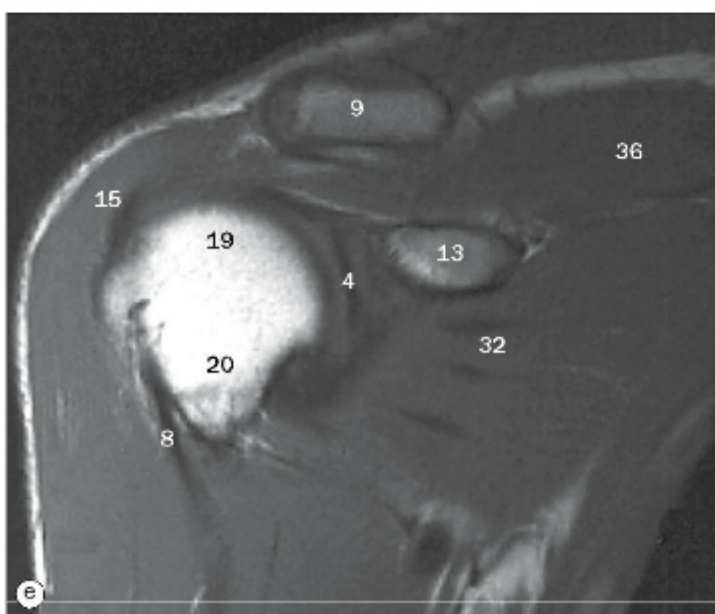
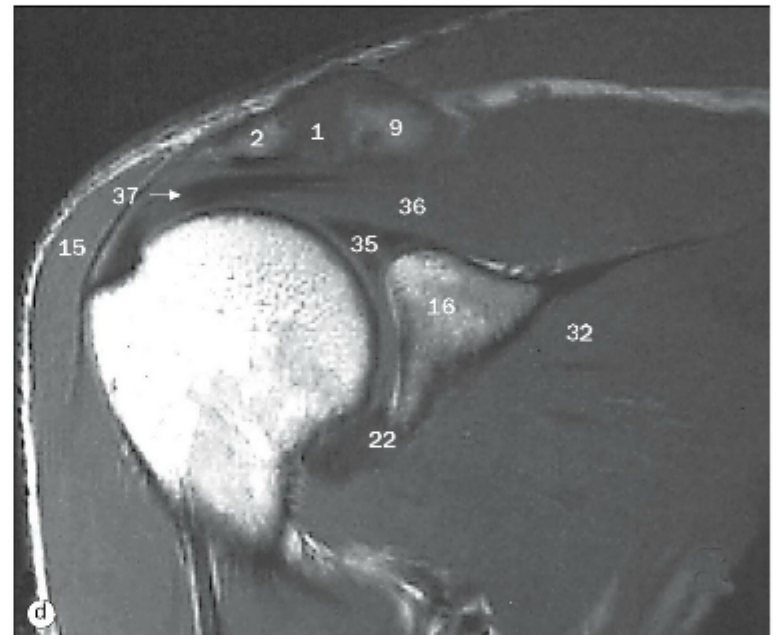
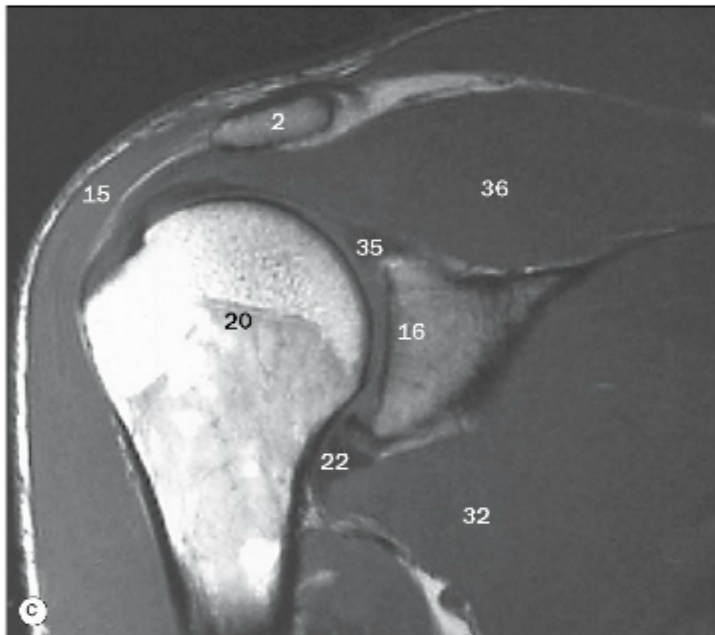
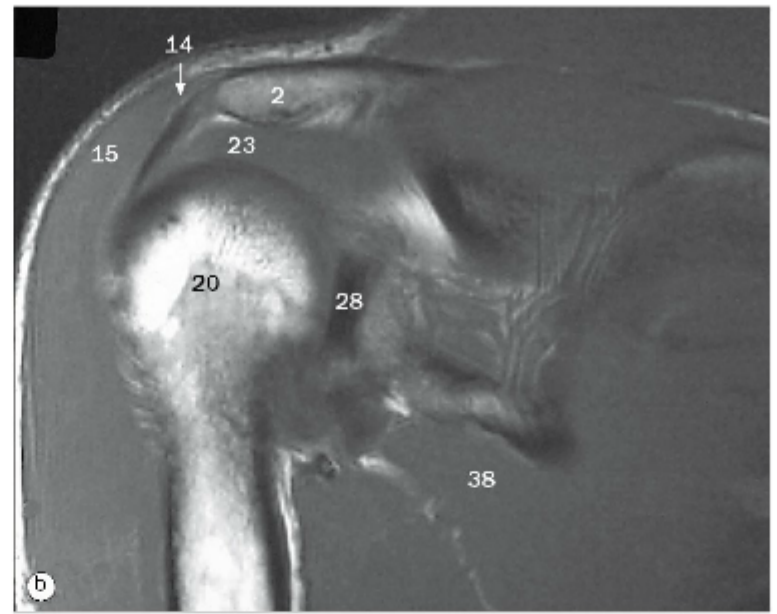
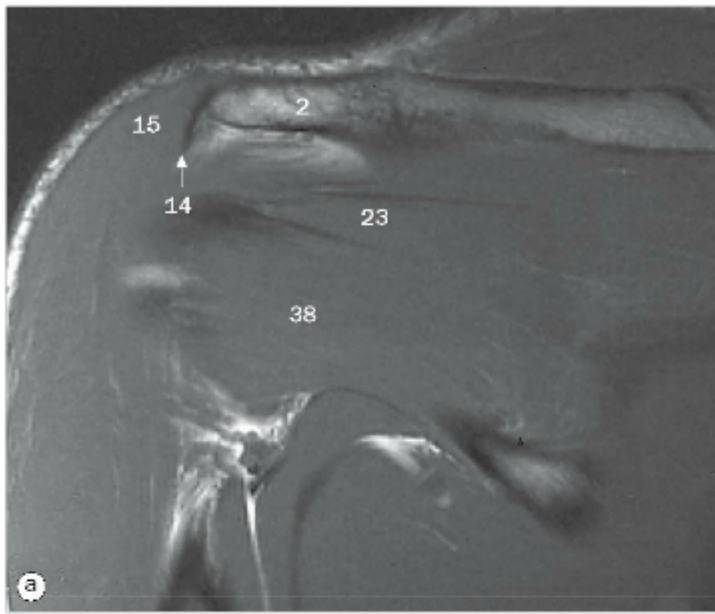
35 Lábio glenoidal (parte superior)

36 Músculo supraespal

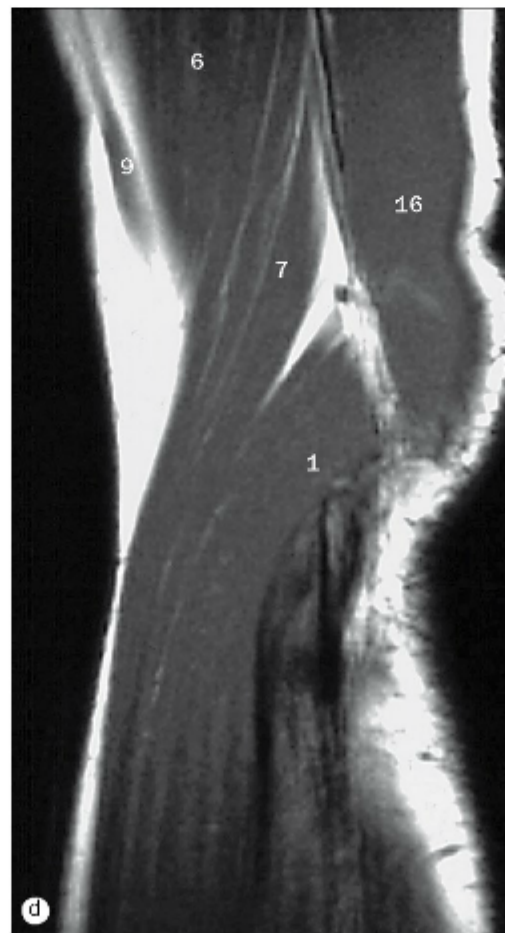
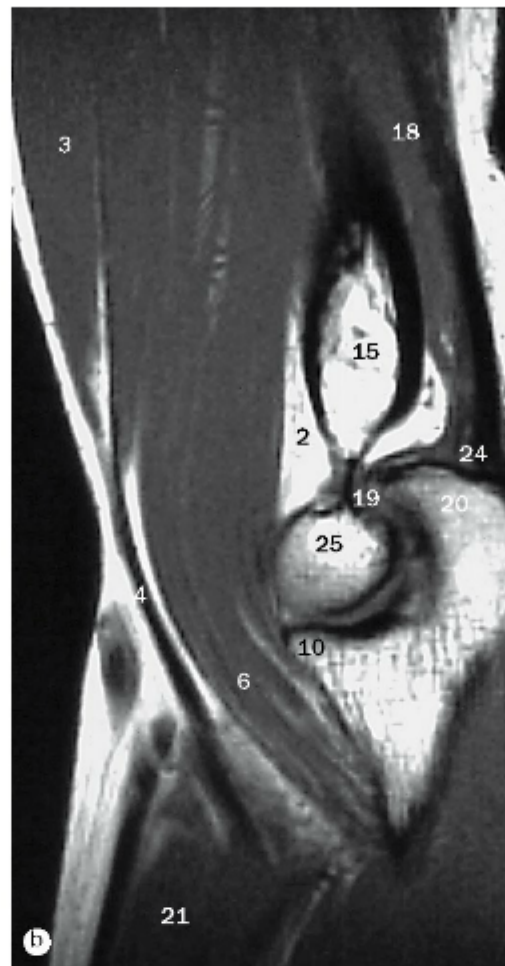
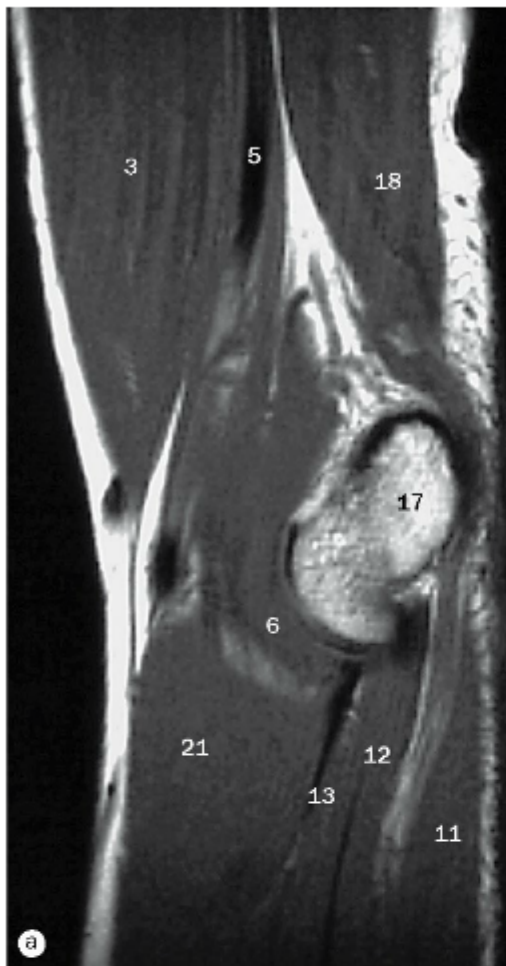
37 Tendão do músculo supraespal

38 Músculo redondo menor

39 Músculo trapézio

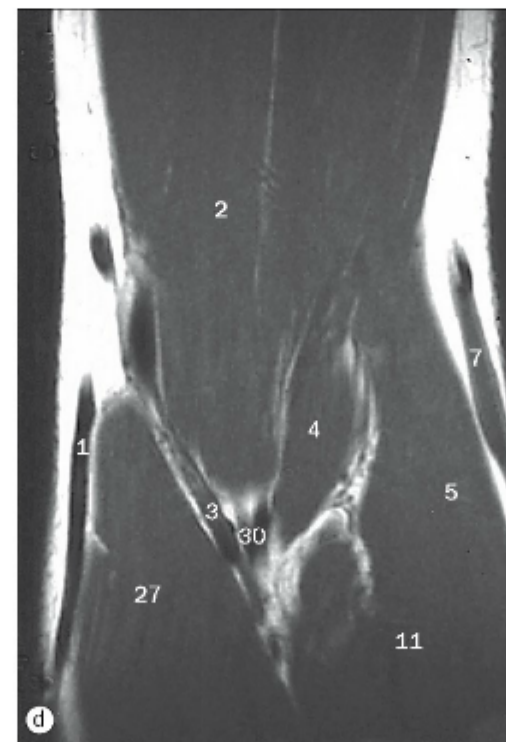
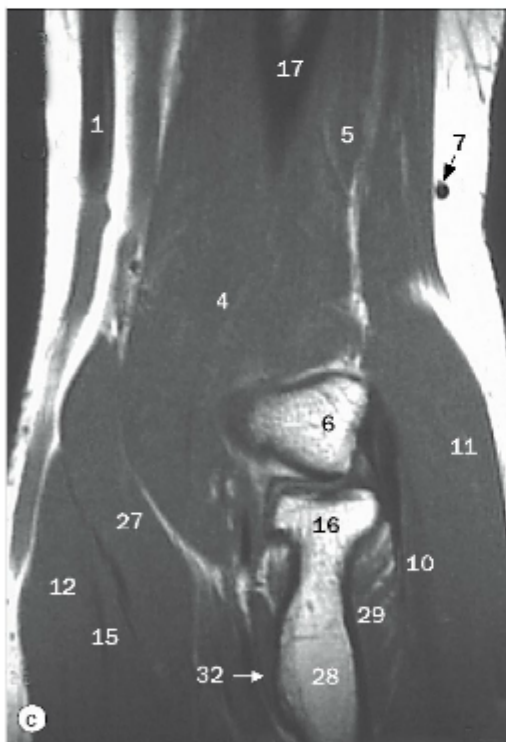
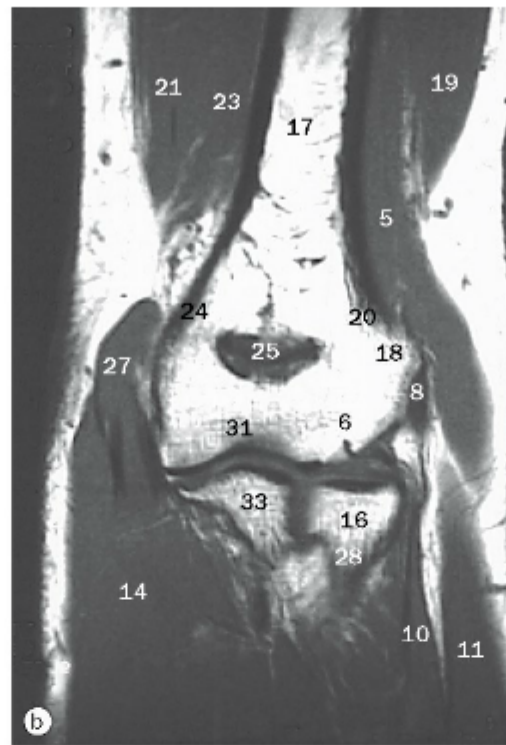
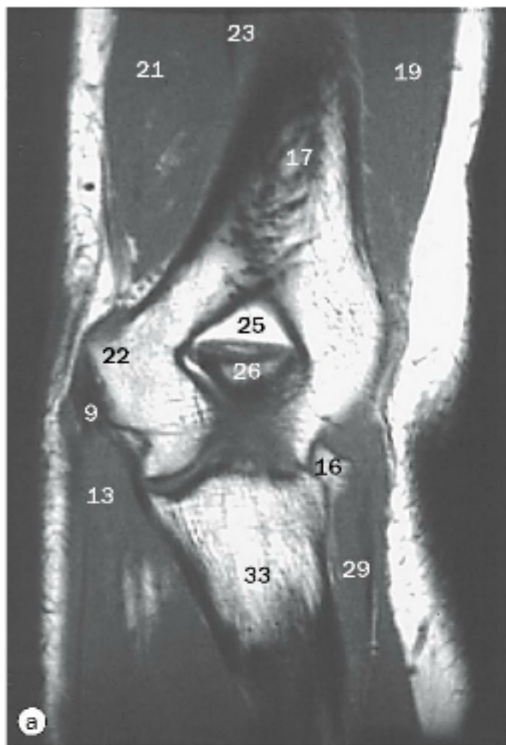


Ombro, imagens coronais oblíquas de artroressonância magnética. Ver nas páginas 79 e 80 as referências numéricas.



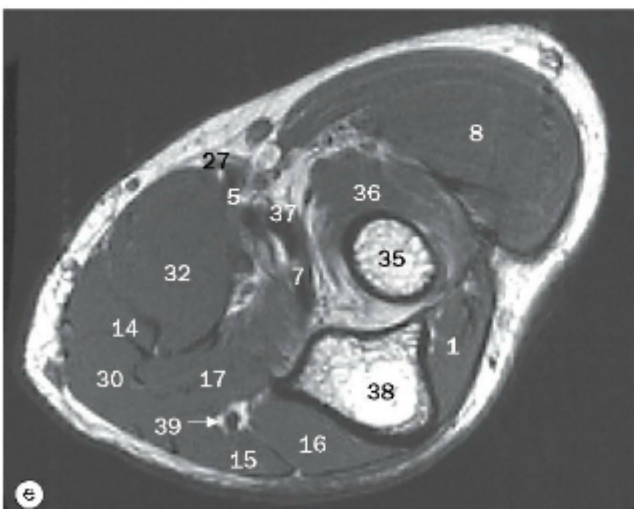
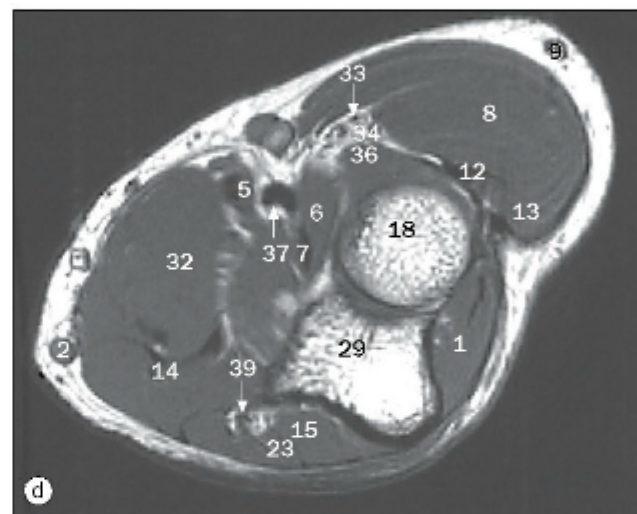
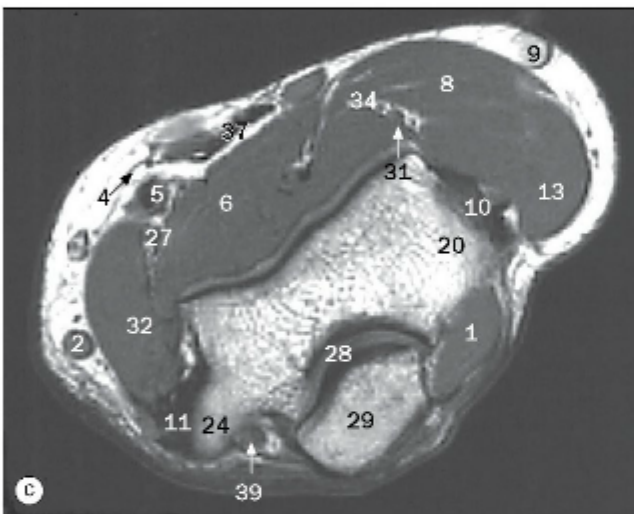
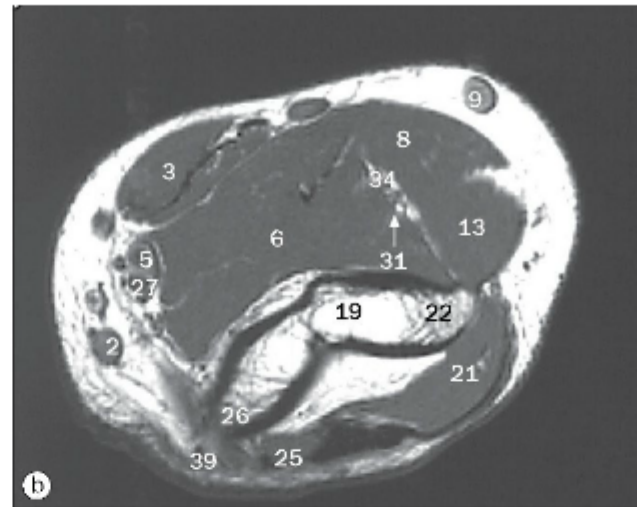
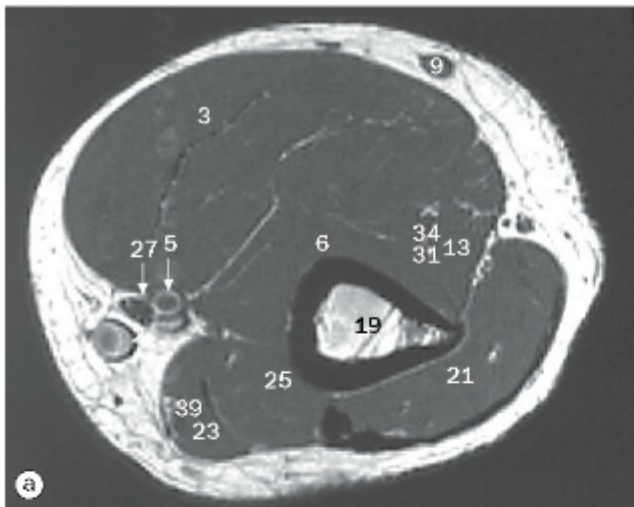
(a)–(d) Cotovelo, imagens sagitais de ressonância magnética.

- 1 Músculo extensor radial longo do carpo
- 2 Coxim adiposo anterior
- 3 Músculo bíceps braquial
- 4 Tendão do m. bíceps braquial
- 5 Artéria braquial
- 6 Músculo braquial
- 7 Músculo braquiorradial
- 8 Capítulo do úmero
- 9 Veia cefálica
- 10 Processo coronoide da ulna
- 11 Músculo flexor ulnar do carpo
- 12 Músculo flexor profundo dos dedos
- 13 Músculo flexor superficial dos dedos
- 14 Cabeça do rádio
- 15 Úmero
- 16 Cabeça lateral do músculo tríceps braquial
- 17 Epicôndilo medial
- 18 Cabeça medial do músculo tríceps braquial
- 19 Fossa do olécrano
- 20 Olécrano
- 21 Músculo pronador redondo
- 22 Rádio
- 23 Músculo supinador
- 24 Tendão do músculo tríceps braquial
- 25 Tróclea do úmero



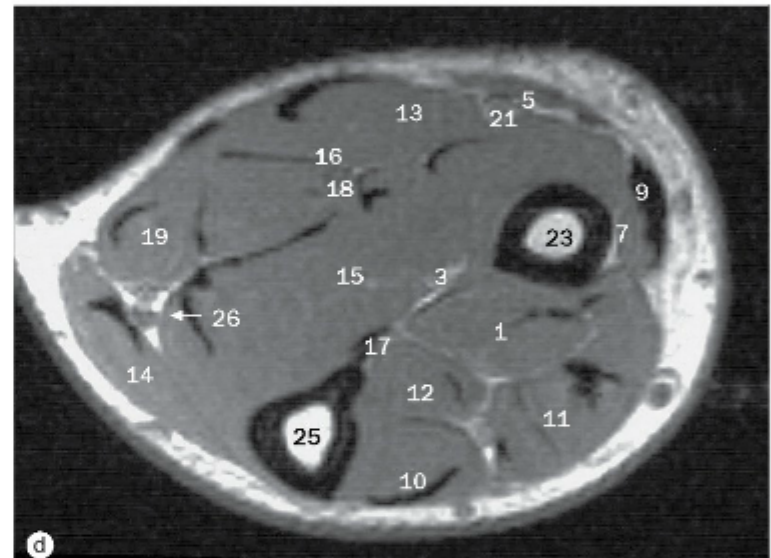
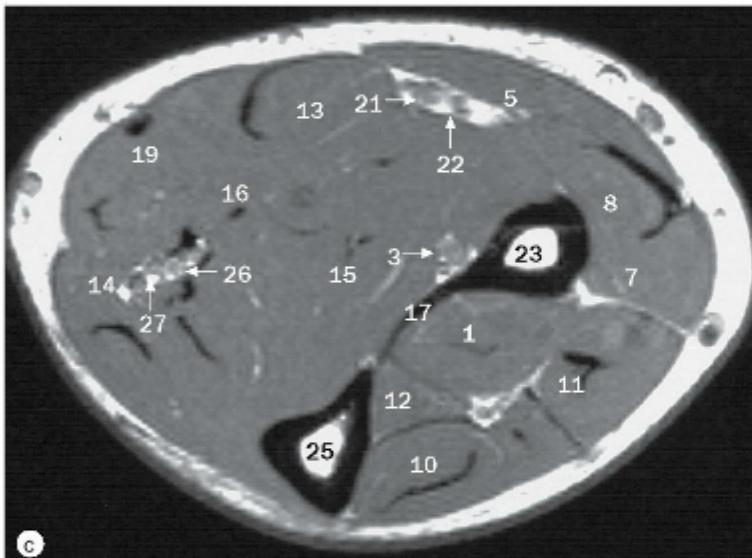
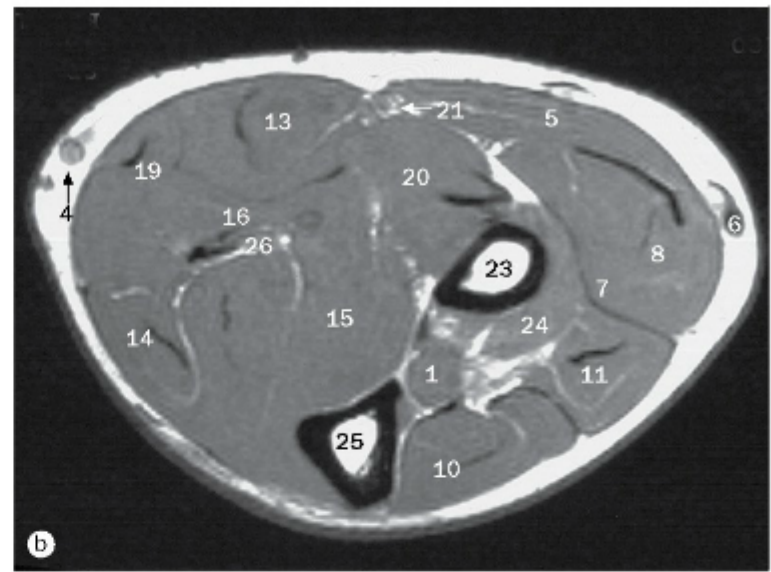
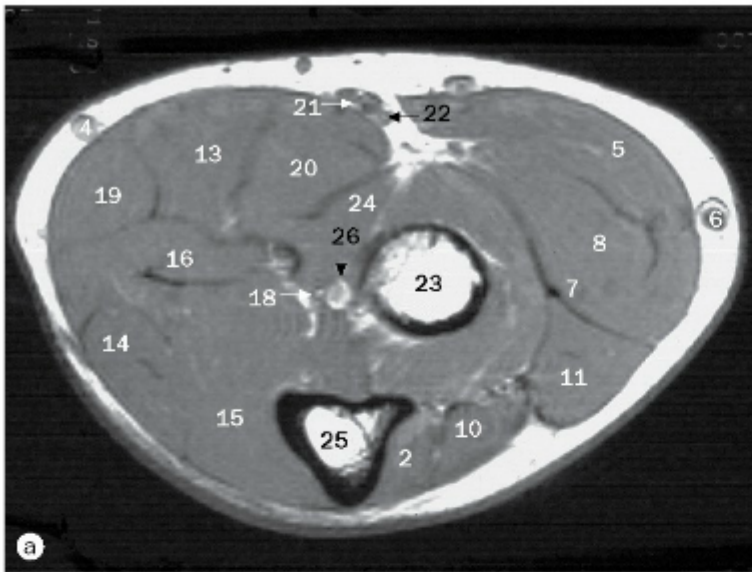
(a)–(d) Cotovelo, imagens coronais de ressonância magnética.

- 1 Veia basilíca
- 2 Músculo bíceps braquial
- 3 Artéria braquial
- 4 Músculo braquial
- 5 Músculo braquiorradial
- 6 Capítulo do úmero
- 7 Veia cefálica
- 8 Origem comum dos músculos extensores
- 9 Origem comum dos músculos flexores
- 10 Músculo extensor radial curto do carpo
- 11 Músculo extensor radial longo do carpo
- 12 Músculo flexor radial do carpo
- 13 Músculo flexor ulnar do carpo
- 14 Músculo flexor profundo dos dedos
- 15 Músculo flexor superficial dos dedos
- 16 Cabeça do rádio
- 17 Úmero
- 18 Epicôndilo lateral
- 19 Cabeça lateral do músculo tríceps braquial
- 20 Crista supraepicondilar lateral
- 21 Cabeça longa do músculo tríceps braquial
- 22 Epicôndilo medial
- 23 Cabeça medial do músculo tríceps braquial
- 24 Crista supraepicondilar medial
- 25 Fossa do olécrano
- 26 Olécrano
- 27 Músculo pronador redondo
- 28 Rádio
- 29 Músculo supinador
- 30 Tendão do músculo bíceps braquial
- 31 Tróclea do úmero
- 32 Tuberosidade do rádio
- 33 Ulna



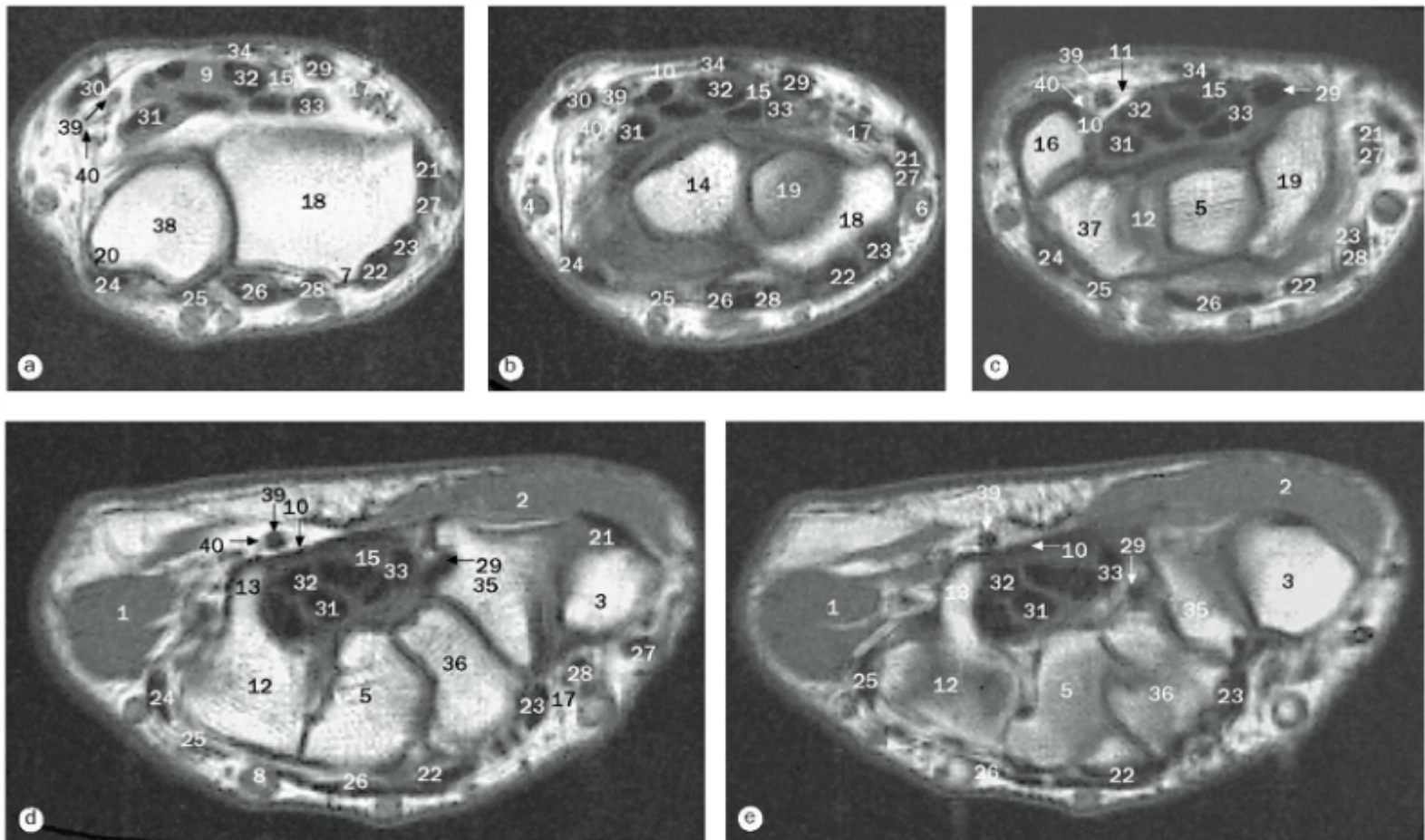
(a)–(e) Cotovelo, imagens axiais de ressonância magnética.

- | | |
|---|---|
| 1 Músculo ancônio | 19 Úmero |
| 2 Veia basilíca | 20 Epicôndilo lateral |
| 3 Músculo bíceps braquial | 21 Cabeça lateral do músculo tríceps braquial |
| 4 Aponeurose do músculo bíceps braquial | 22 Crista supraepicondilar lateral |
| 5 Artéria braquial | 23 Cabeça longa do músculo tríceps braquial |
| 6 Músculo braquial | 24 Epicôndilo medial |
| 7 Tendão do músculo braquial | 25 Cabeça medial do músculo tríceps braquial |
| 8 Músculo braquiorradial | 26 Crista supraepicondilar medial |
| 9 Veia cefálica | 27 Nervo mediano |
| 10 Origem comum dos músculos extensores | 28 Fossa do olécrano |
| 11 Origem comum dos músculos flexores | 29 Olécrano |
| 12 Músculo extensor radial curto do carpo | 30 Músculo palmar longo |
| 13 Músculo extensor radial longo do carpo | 31 Artéria braquial profunda |
| 14 Músculo flexor radial do carpo | 32 Músculo pronador redondo |
| 15 Músculo flexor ulnar do carpo | 33 Artéria radial |
| 16 Músculo flexor profundo dos dedos | 34 Nervo radial |
| 17 Músculo flexor superficial dos dedos | 35 Rádio |
| 18 Cabeça do rádio | 36 Músculo supinador |
| | 37 Tendão do músculo bíceps braquial |
| | 38 Ulna |
| | 39 Nervo ulnar |



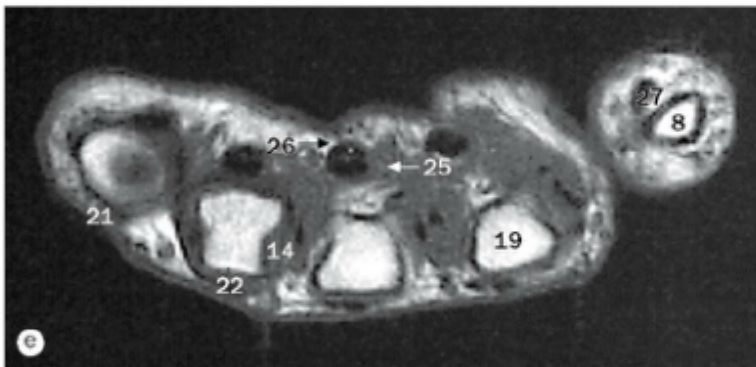
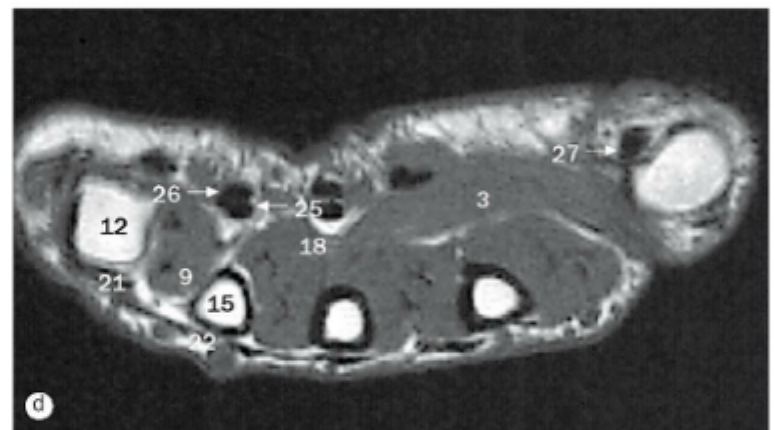
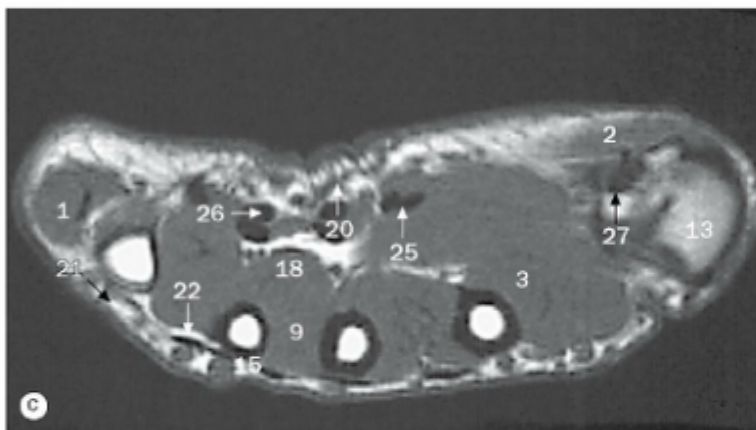
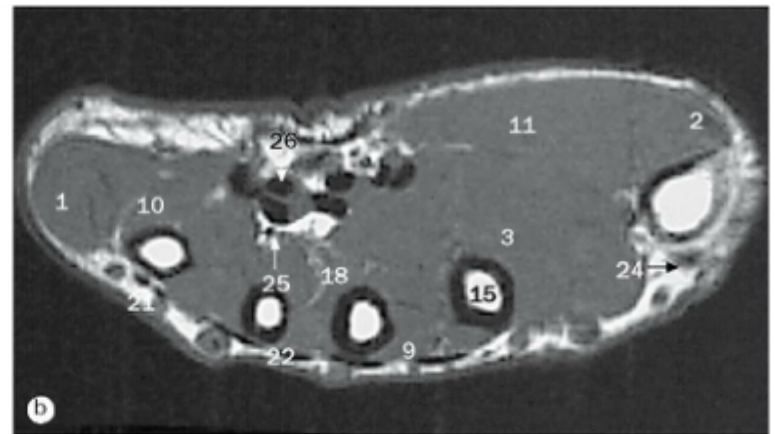
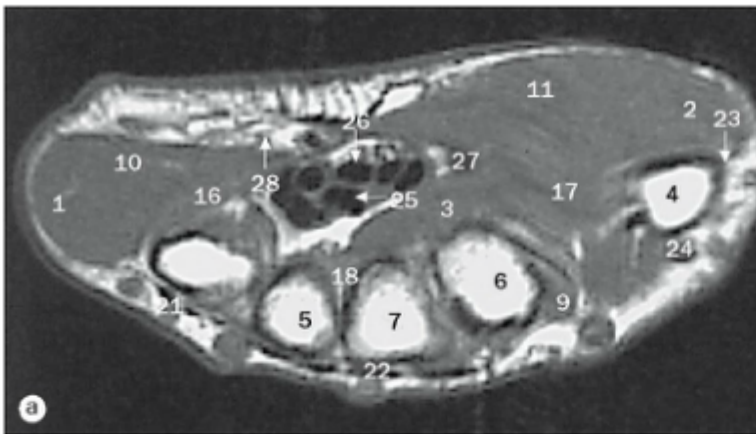
(a)–(d) Antebraço, imagens axiais de ressonância magnética.

- | | | |
|--|---|-----------------------------|
| 1 Músculo abductor longo do polegar | 10 Músculo extensor ulnar do carpo | 20 Músculo pronador redondo |
| 2 Músculo ancônio | 11 Músculo extensor dos dedos | 21 Artéria radial |
| 3 Artéria interóssea anterior | 12 Músculo extensor longo do polegar | 22 Nervo radial |
| 4 Veia basilíca | 13 Músculo flexor radial do carpo | 23 Rádio |
| 5 Músculo braquiorradial | 14 Músculo flexor ulnar do carpo | 24 Músculo supinador |
| 6 Veia cefálica | 15 Músculo flexor profundo dos dedos | 25 Ulna |
| 7 Músculo extensor radial curto do carpo | 16 Músculo flexor superficial dos dedos | 26 Artéria ulnar |
| 8 Músculo extensor radial longo do carpo | 17 Membrana interóssea | 27 Nervo ulnar |
| 9 Tendão do músculo extensor radial longo do carpo | 18 Nervo mediano | |
| | 19 Músculo palmar longo | |



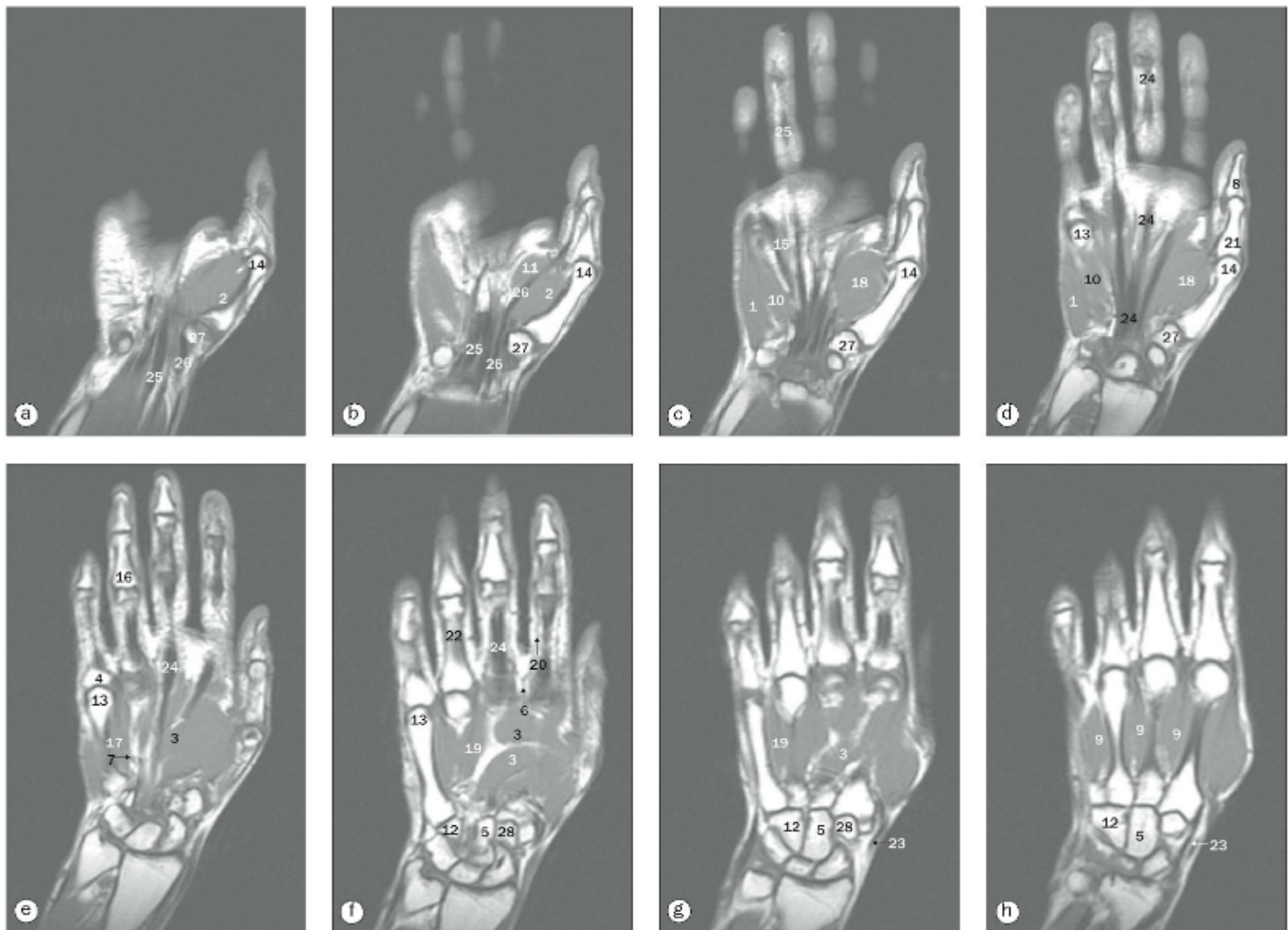
(a)–(e) Punho, imagens axiais de ressonância magnética.

- | | | |
|--|---|---|
| 1 Músculo abdutor do dedo mínimo | 18 Rádio | 28 Tendão do músculo extensor longo do polegar |
| 2 Músculo abdutor curto do polegar | 19 Escafoide | 29 Tendão do músculo flexor radial do carpo |
| 3 Base do primeiro metacarpal | 20 Processo estiloide da ulna | 30 Tendão do músculo flexor ulnar do carpo |
| 4 Veia basilíca | 21 Tendão do músculo abdutor longo do polegar | 31 Tendão do músculo flexor profundo dos dedos |
| 5 Capitato | 22 Tendão do músculo extensor radial curto do carpo | 32 Tendão do músculo flexor superficial dos dedos |
| 6 Veia cefálica | 23 Tendão do músculo extensor radial longo do carpo | 33 Tendão do músculo flexor longo do polegar |
| 7 Tubérculo dorsal do rádio | 24 Tendão do músculo extensor ulnar do carpo | 34 Tendão do músculo palmar longo |
| 8 Arco venoso dorsal | 25 Tendão do músculo extensor do dedo mínimo | 35 Trapézio |
| 9 Músculo flexor superficial dos dedos | 26 Tendão do músculo extensor dos dedos | 36 Trapezoide |
| 10 Retináculo dos músculos flexores | 27 Tendão do músculo extensor curto do polegar | 37 Piramidal |
| 11 Túnel ulnar | | 38 Ulna |
| 12 Hamato | | 39 Artéria ulnar |
| 13 Hâmulo do hamato | | 40 Nervo ulnar |
| 14 Semilunar | | |
| 15 Nervo mediano | | |
| 16 Pisiforme | | |
| 17 Artéria radial | | |



(a)–(e) Mão, imagens axiais de ressonância magnética.

- | | |
|--|---|
| 1 Músculo abductor do dedo mínimo | 16 Músculo oponente do dedo mínimo |
| 2 Músculo abductor curto do polegar | 17 Músculo oponente do polegar |
| 3 Músculo adutor do polegar | 18 Músculos interósseos palmares |
| 4 Base do primeiro metacarpal | 19 Falange proximal do dedo indicador |
| 5 Base do quarto metacarpal | 20 Arco palmar superficial |
| 6 Base do segundo metacarpal | 21 Tendão do músculo extensor do dedo mínimo |
| 7 Base do terceiro metacarpal | 22 Tendão do músculo extensor dos dedos |
| 8 Falange distal do polegar | 23 Tendão do músculo extensor curto do polegar |
| 9 Músculos interósseos dorsais | 24 Tendão do músculo extensor longo do polegar |
| 10 Músculo flexor curto do dedo mínimo | 25 Tendão do músculo flexor profundo dos dedos |
| 11 Músculo flexor curto do polegar | 26 Tendão do músculo flexor superficial dos dedos |
| 12 Cabeça do quinto metacarpal | 27 Tendão do músculo flexor longo do polegar |
| 13 Cabeça do primeiro metacarpal | 28 Artéria ulnar |
| 14 Músculo lumbrical | |
| 15 Corpo do osso metacarpal | |

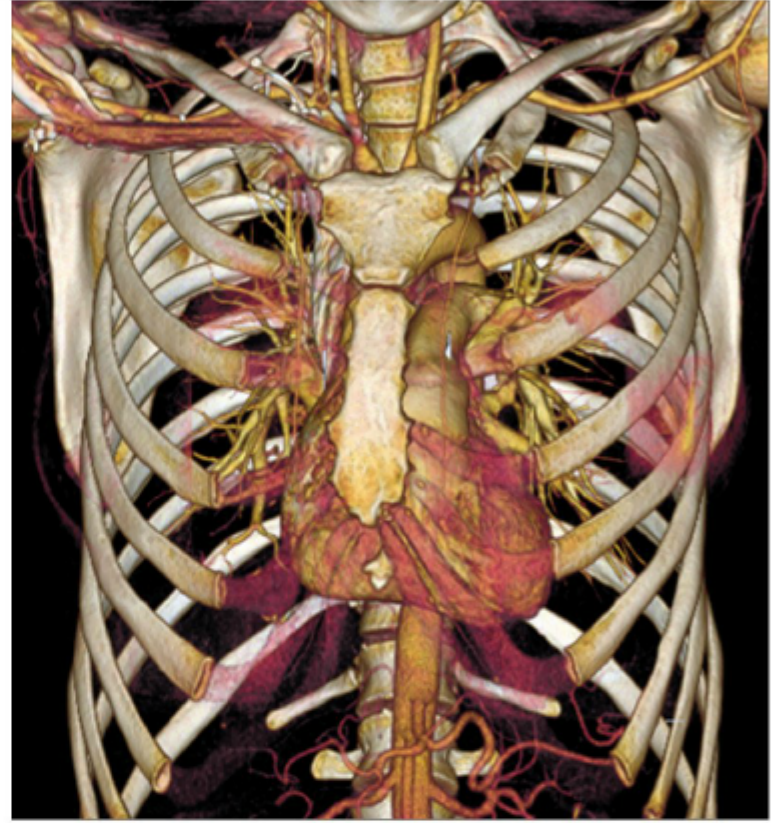


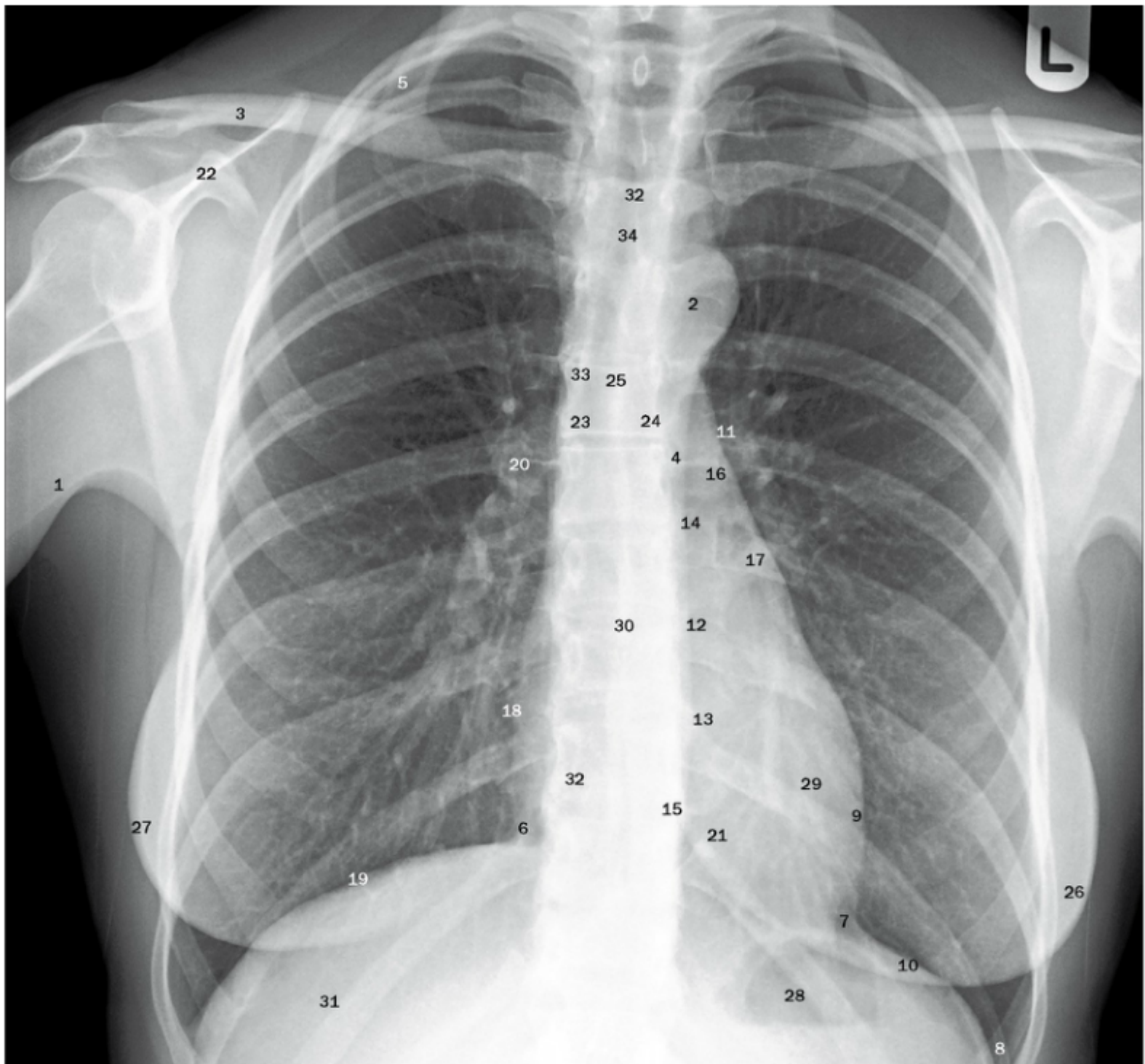
(a)–(h) Mão, imagens coronais de ressonância magnética.

- | | | | |
|---|------------------------------------|---|---|
| 1 Músculo abductor do dedo mínimo | 8 Falange distal do polegar | 17 Músculo oponente do dedo mínimo | 23 Tendão do músculo extensor longo do polegar |
| 2 Músculo abductor curto do polegar | 9 Músculos interósseos dorsais | 18 Músculo oponente do polegar | 24 Tendão do músculo flexor profundo dos dedos |
| 3 Músculo adutor do polegar | 10 Músculo flexor do dedo mínimo | 19 Músculos interósseos palmares | 25 Tendão do músculo flexor superficial dos dedos |
| 4 Base da falange proximal do quinto dedo | 11 Músculo flexor curto do polegar | 20 Artéria digital palmar própria | 26 Tendão do músculo flexor longo do polegar |
| 5 Capitato | 12 Hamato | 21 Falange proximal do polegar | 27 Trapézio |
| 6 Artéria digital palmar comum | 13 Cabeça do quinto metacarpal | 22 Corpo da falange proximal do quarto dedo | 28 Trapezoide |
| 7 Arco palmar profundo | 14 Cabeça do primeiro metacarpal | | |

4

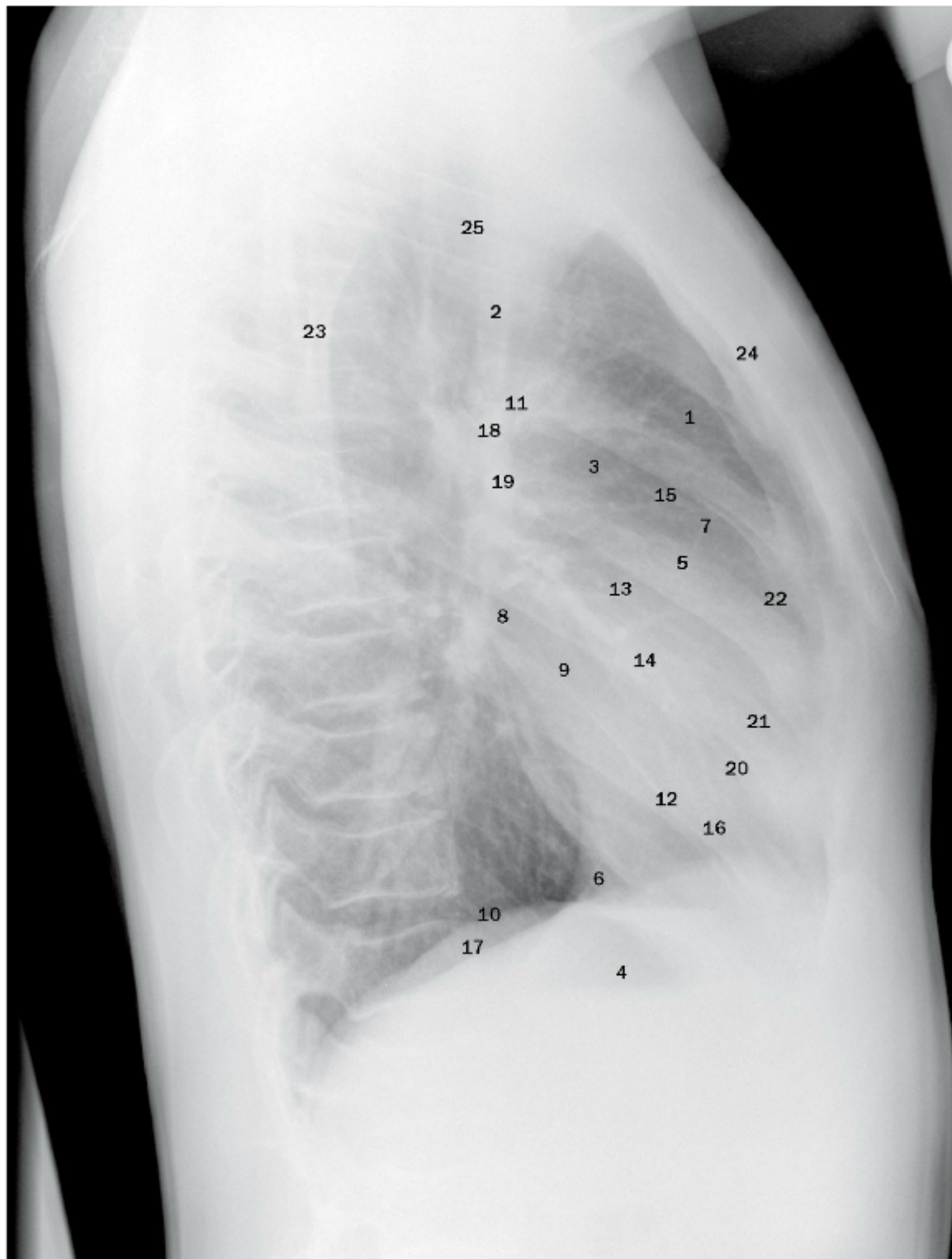
Tórax





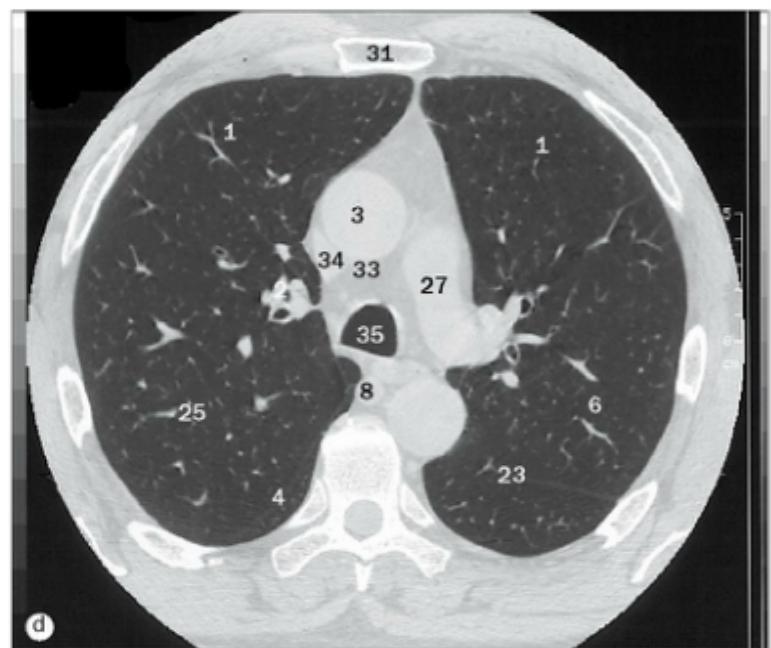
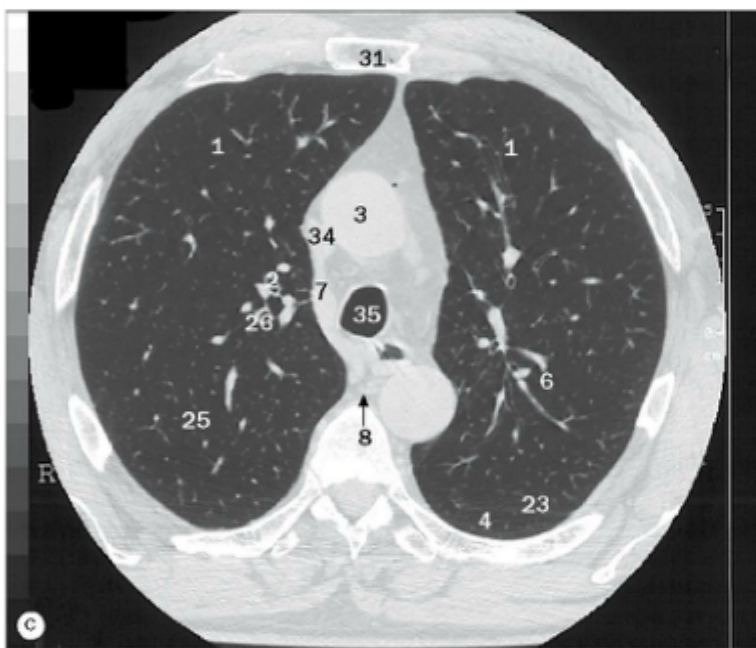
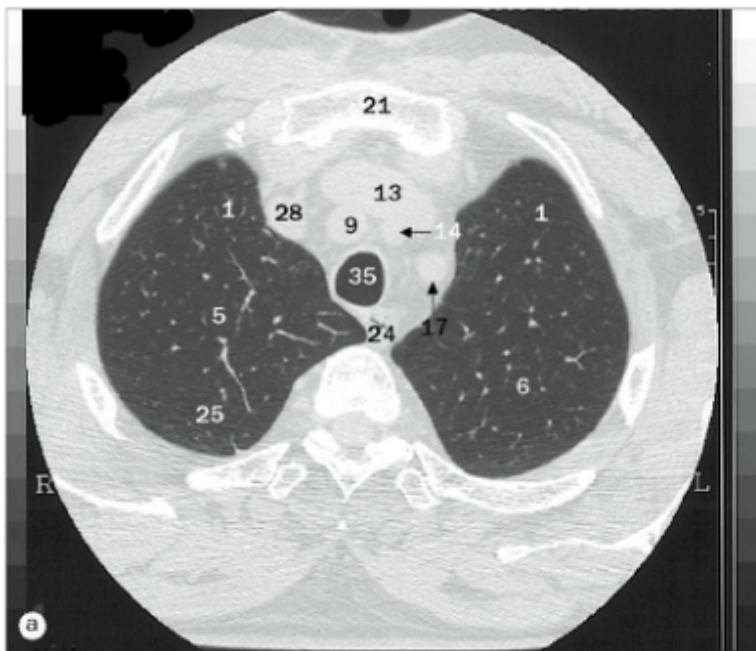
Radiografia de tórax, projeção posteroanterior.

- | | | | |
|---------------------------------------|---|---|-----------------------------------|
| 1 prega axilar anterior | 9 Contorno do ventrículo esquerdo | 16 Tronco pulmonar | 26 Contorno da mama esquerda |
| 2 Arco da aorta | 10 Cúpula esquerda do diafragma | 17 Região da ponta da aurícula esquerda | 27 Contorno da mama direita |
| 3 Clavícula | 11 Artéria pulmonar esquerda | 18 Margem do átrio direito | 28 Gás no fundo gástrico |
| 4 Parte descendente da aorta | 12 Posição da valva da aorta | 19 Cúpula direita do diafragma | 29 Posição do ventrículo esquerdo |
| 5 Primeira costela | 13 Posição da valva atrioventricular esquerda (mitral) | 20 Artéria pulmonar direita | 30 Posição do átrio esquerdo |
| 6 Veia cava inferior | 14 Posição da valva do tronco pulmonar | 21 Ventrículo direito | 31 Posição do fígado |
| 7 Recesso costomediastinal esquerdo | 15 Posição da valva atrioventricular direita (tricúspide) | 22 Espinha da escápula | 32 Manúbrío |
| 8 Recesso costodiafragmático esquerdo | | 23 Brônquio principal direito | 33 Veia cava superior |
| | | 24 Brônquio principal esquerdo | 34 Traqueia |
| | | 25 Carina da traqueia | |



Radiografia de tórax, projeção lateral.

- | | | | |
|--|--|---|--------------------------------------|
| 1 Mediastino anterior | 8 Margem do átrio esquerdo | 15 Posição da valva do tronco (pulmonar) | 20 Fissura oblíqua do pulmão direito |
| 2 Arco da aorta | 9 Átrio esquerdo | 16 Posição da valva atrioventricular direita (tricúspide) | 21 Ventrículo direito |
| 3 Parte ascendente da aorta | 10 Cúpula esquerda do diafragma | 17 Cúpula direita do diafragma | 22 Margem do ventrículo direito |
| 4 Gás no fundo gástrico | 11 Artéria pulmonar esquerda | 18 Brônquio principal direito | 23 Escápula |
| 5 Fissura horizontal | 12 Fissura oblíqua do pulmão esquerdo | 19 Artéria pulmonar direita | 24 Esterno |
| 6 Veia cava inferior | 13 Posição da valva da aorta | | 25 Traqueia |
| 7 Cone arterial do ventrículo direito (abaixo) com tronco pulmonar (acima) | 14 Posição da valva atrioventricular esquerda (mitral) | | |

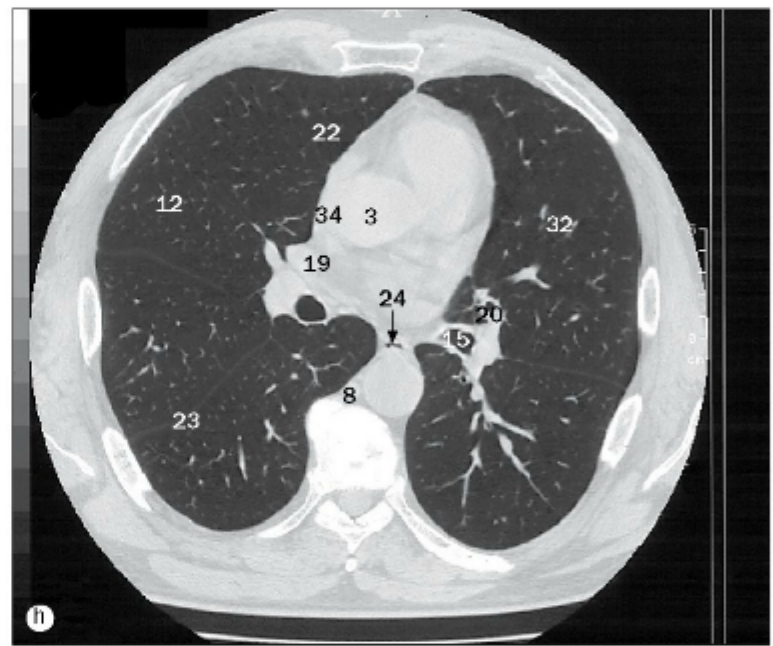
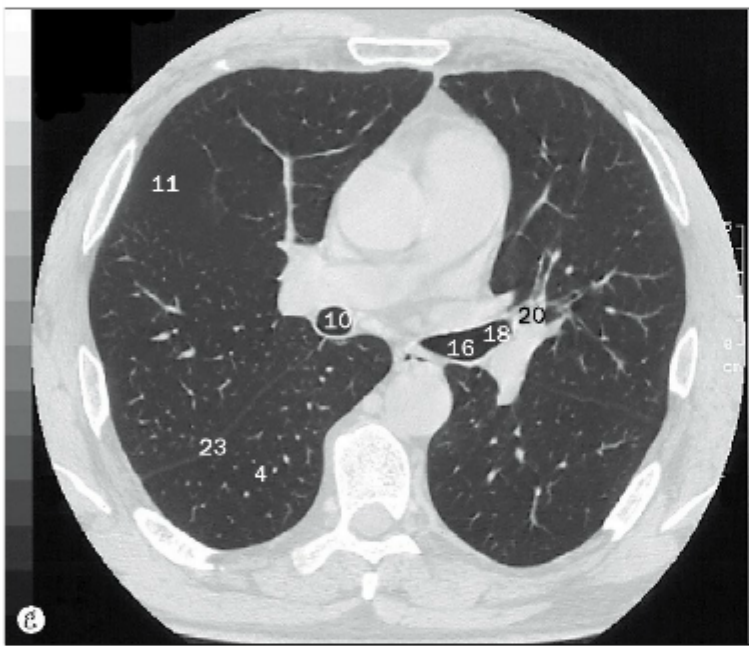
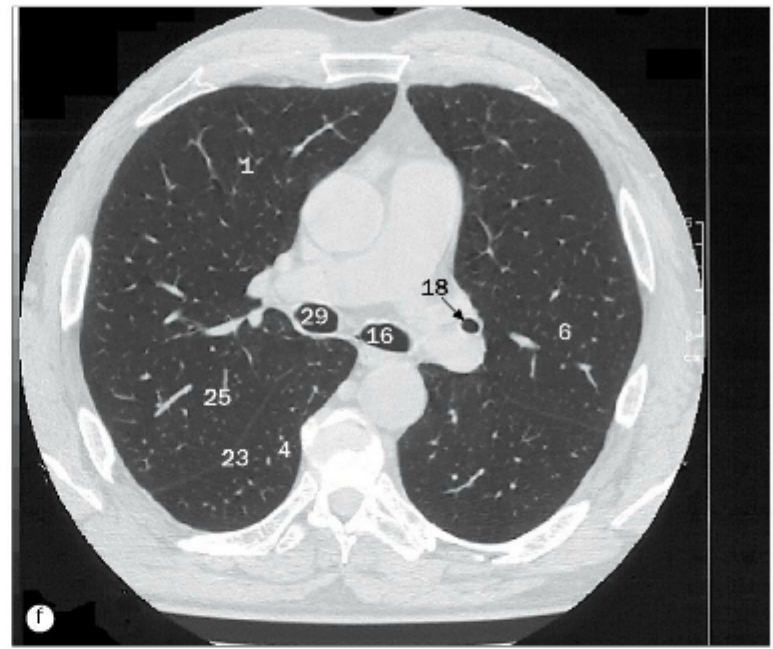
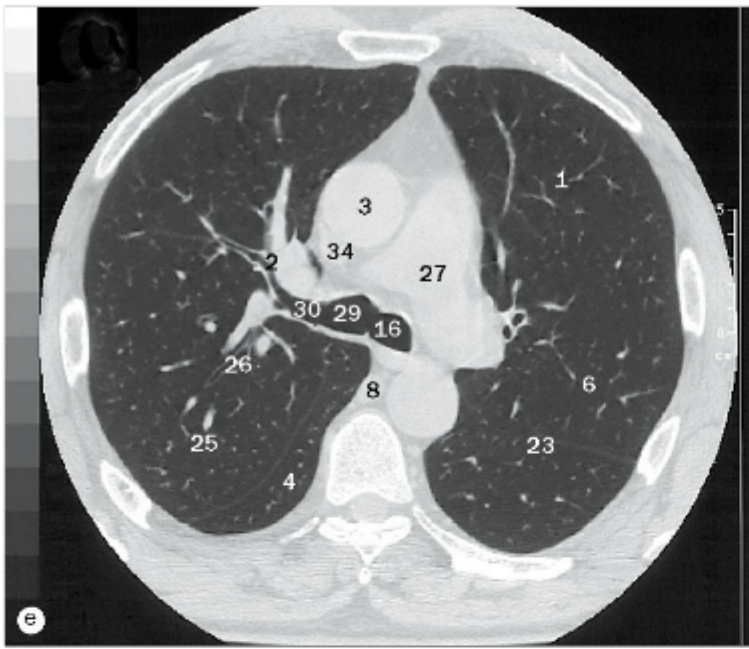


(a)-(h) Pulmões, imagens axiais de TC de alta resolução.

- 1 Segmento anterior do lobo superior
- 2 Brônquio segmentar anterior
- 3 Aorta
- 4 Segmento apical do lobo inferior
- 5 Segmento apical do lobo superior direito
- 6 Segmento apicoposterior do lobo superior esquerdo
- 7 Arco da veia ázigo

- 8 Veia ázigo
- 9 Tronco braquiocefálico
- 10 Brônquio intermédio (continuação do brônquio principal direito)
- 11 Fissura horizontal
- 12 Segmento lateral do lobo médio
- 13 Veia braquiocefálica esquerda
- 14 Artéria carótida comum esquerda

- 15 Brônquio lobar inferior esquerdo
- 16 Brônquio principal esquerdo
- 17 Artéria subclávia esquerda
- 18 Brônquio lobar superior esquerdo
- 19 Veia pulmonar direita superior
- 20 Brônquio lingular superior

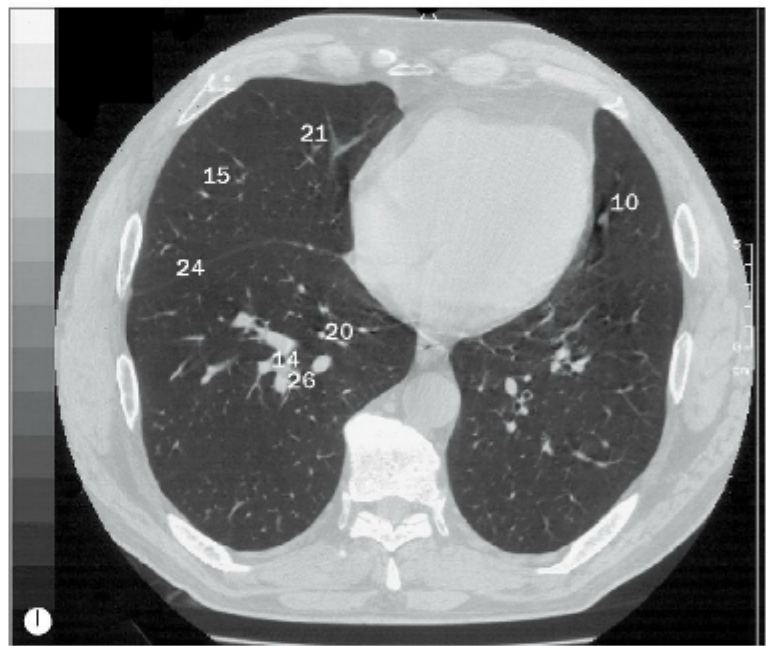
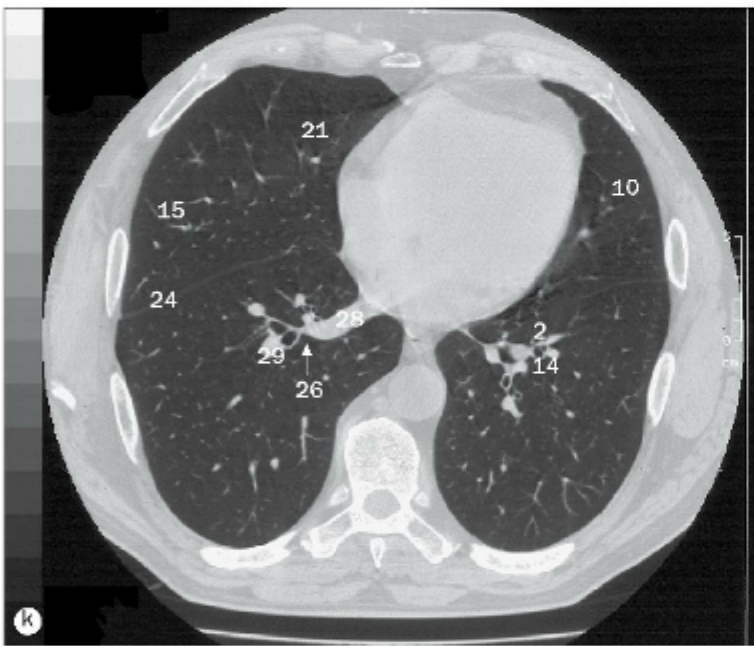
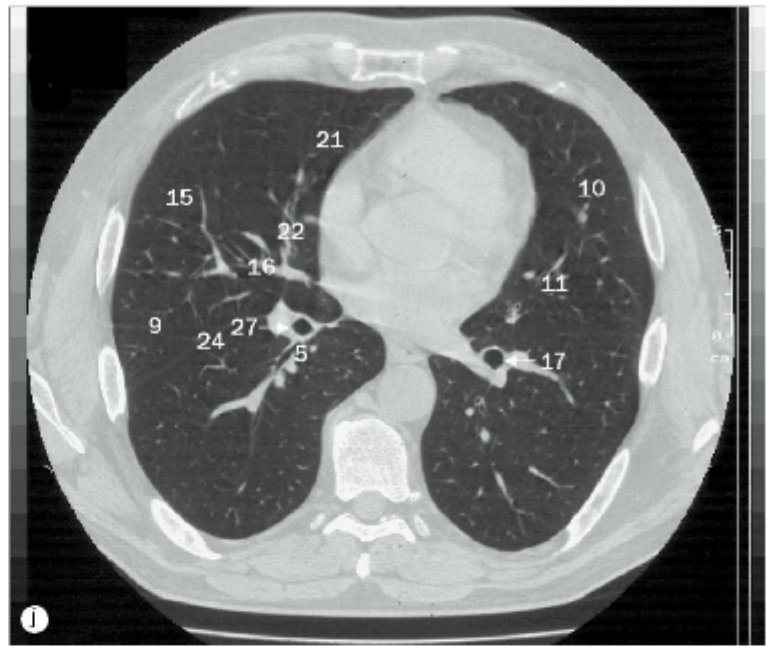


(a)-(h) Pulmões, imagens axiais de TC de alta resolução.

21 Manúbrio do esterno
 22 Segmento medial do lobo médio
 23 Fissura oblíqua
 24 Esôfago
 25 Segmento posterior do lobo superior

26 Brônquio segmentar posterior
 27 Artéria pulmonar
 28 Veia braquiocéfálica direita
 29 Brônquio principal direito
 30 Brônquio lobar superior direito

31 Esterno
 32 Segmento lingular superior
 33 Recesso pericárdico superior
 34 Veia cava superior
 35 Traqueia

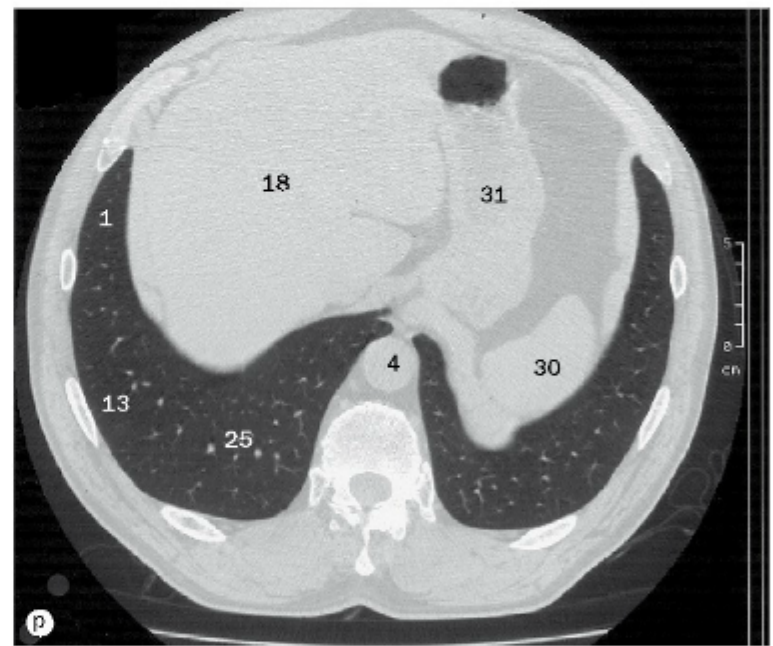
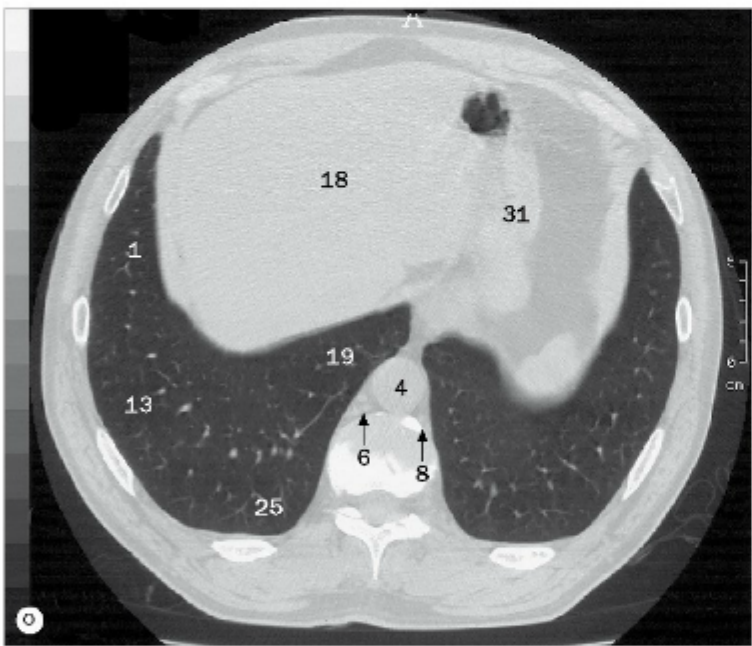


(l)-(p) Pulmões, imagens axiais de TC de alta resolução.

1 Segmento basilar anterior do lobo inferior
 2 Brônquio segmentar basilar anterior
 3 Segmento anterior do lobo superior
 4 Aorta
 5 Brônquio segmentar superior do lobo inferior

6 Veia ázigo
 7 Coração
 8 Veia hemiáximo
 9 Fissura horizontal
 10 Segmento lingular inferior
 11 Brônquio lingular inferior

12 Veia cava inferior
 13 Segmento basilar lateral do lobo inferior
 14 Brônquio segmentar basilar lateral
 15 Segmento lateral do lobo médio
 16 Brônquio segmentar lateral do lobo médio
 17 Brônquio lobar inferior esquerdo



(l)-(p) Pulmões, imagens axiais de TC de alta resolução.

18 Fígado

19 Segmento basilar medial do lobo inferior

20 Brônquio segmentar basilar medial

21 Segmento medial do lobo médio

22 Brônquio segmentar medial do lobo médio

23 Brônquio lobar médio

24 Fissura oblíqua

25 Segmento basilar posterior do lobo inferior

26 Brônquio segmentar basilar posterior

27 Brônquio lobar inferior direito

28 Veia pulmonar direita inferior

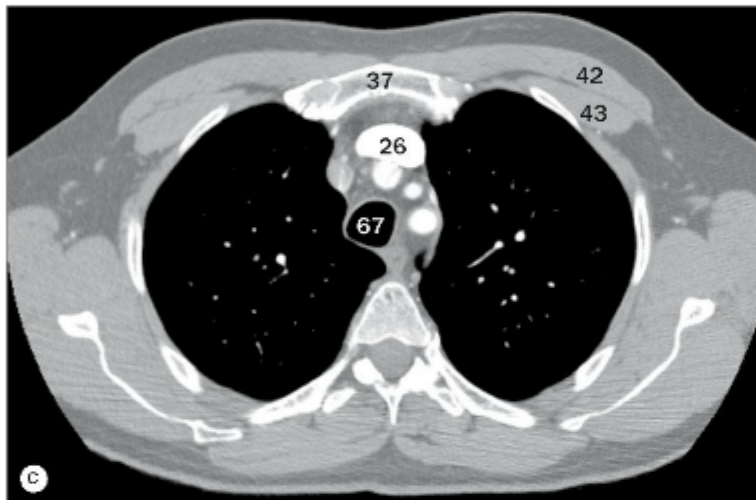
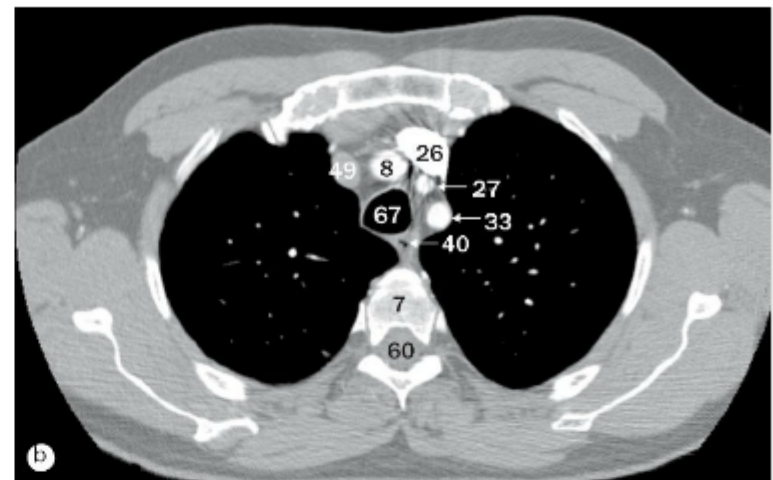
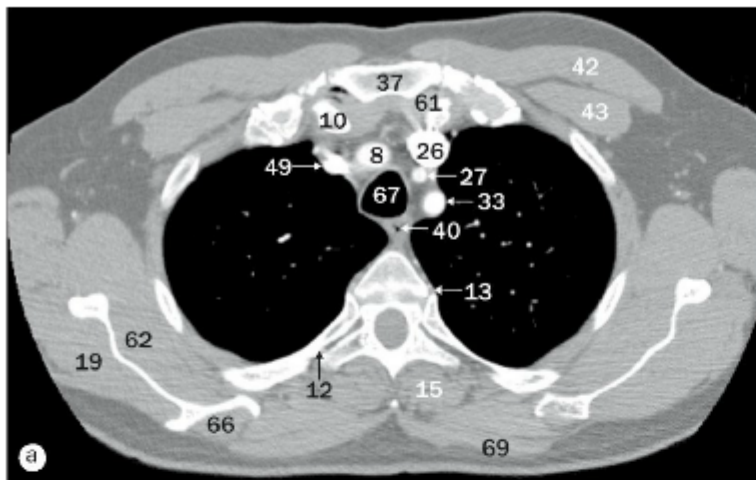
29 Ramo lobar inferior da artéria pulmonar direita

30 Baço

31 Estômago

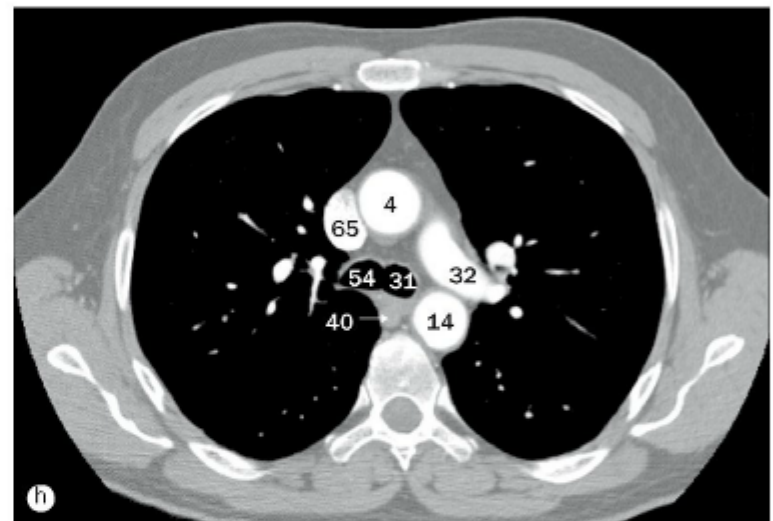
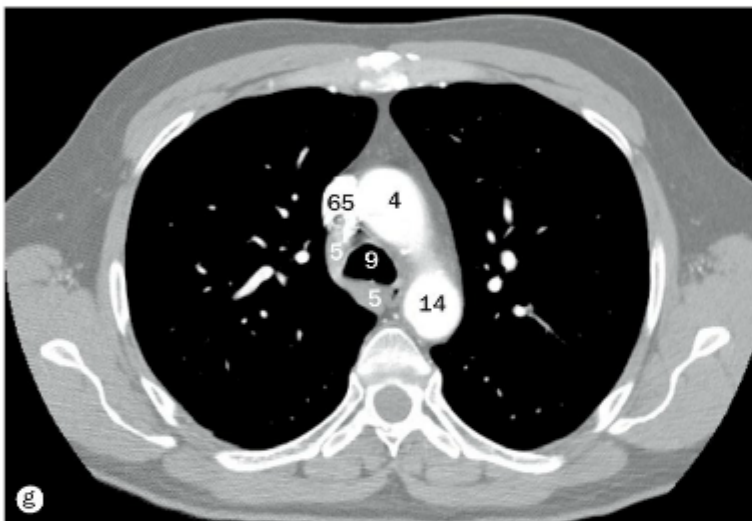
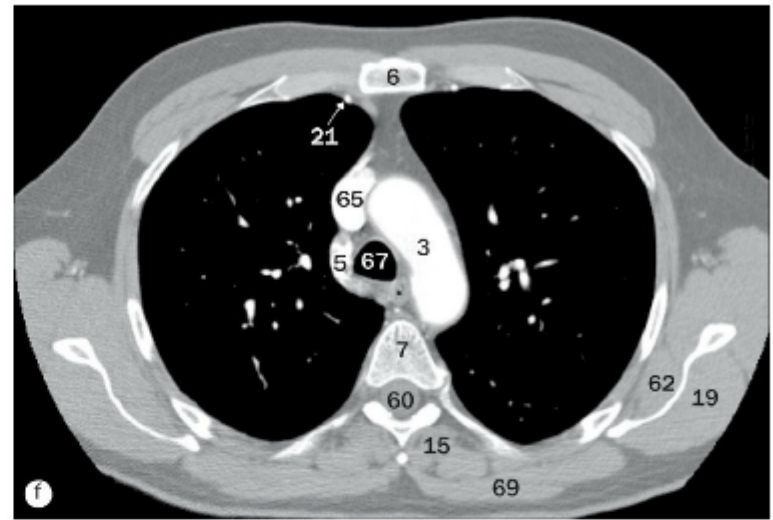
32 Segmento lingular superior

33 Brônquio lingular superior



(a)-(t) Tórax, imagens axiais de TC do mediastino.

- | | | |
|--|------------------------------------|-------------------------------------|
| 1 Ramo interventricular anterior da artéria coronária esquerda | 12 Articulação costotransversária | 24 Aurícula esquerda |
| 2 Valva da aorta | 13 Articulação costovertebral | 25 Átrio esquerdo |
| 3 Arco da aorta | 14 Parte descendente da aorta | 26 Veia braquiocefálica esquerda |
| 4 Parte ascendente da aorta | 15 Músculo eretor da espinha | 27 Artéria carótida comum esquerda |
| 5 Veia ázigo | 16 Cabeça da costela | 28 Cúpula esquerda do diafragma |
| 6 Corpo do esterno | 17 Veia hemiáximo | 29 Brônquio lobar inferior esquerdo |
| 7 Corpo vertebral | 18 Veia cava inferior | 30 Veia pulmonar esquerda inferior |
| 8 Tronco braquiocefálico | 19 Músculo infraespalinal | 31 Brônquio principal esquerdo |
| 9 Carina da traqueia | 20 Septo interatrial | 32 Artéria pulmonar esquerda |
| 10 Clavícula | 21 Artéria e veia torácica interna | 33 Artéria subclávia esquerda |
| 11 Seio coronário | 22 Lâmina do arco vertebral | 34 Brônquio lobar superior esquerdo |
| | 23 Músculo latíssimo do dorso | 35 Veia pulmonar esquerda superior |

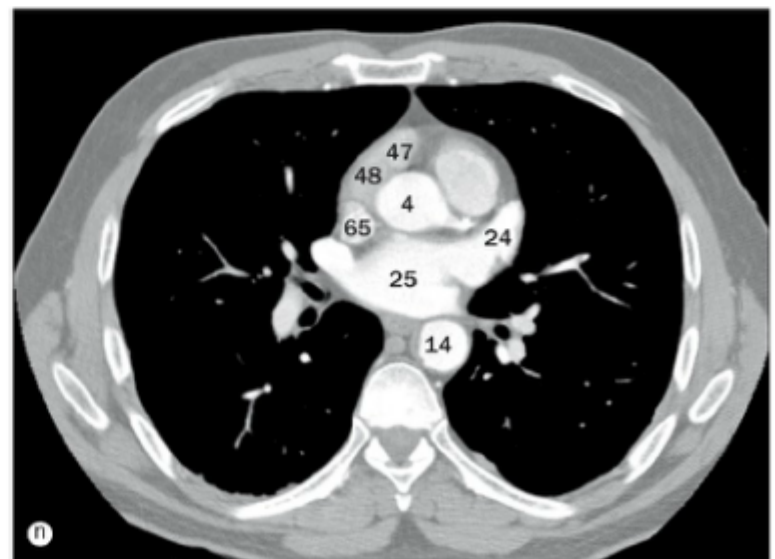
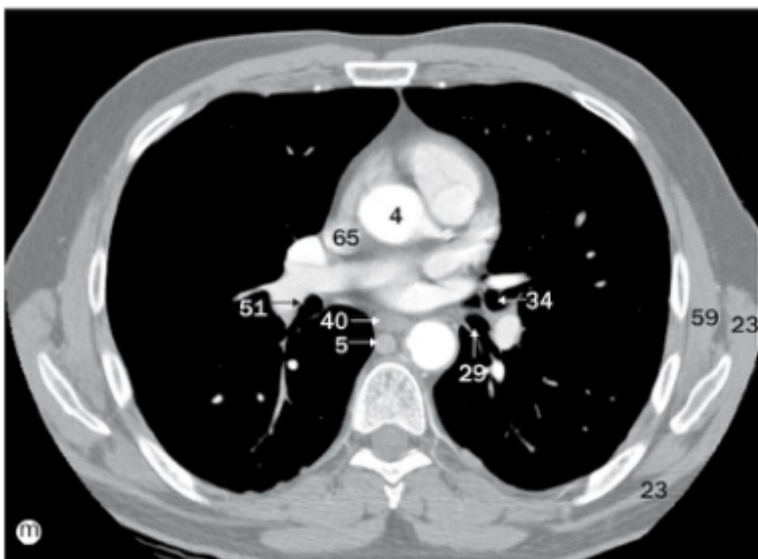
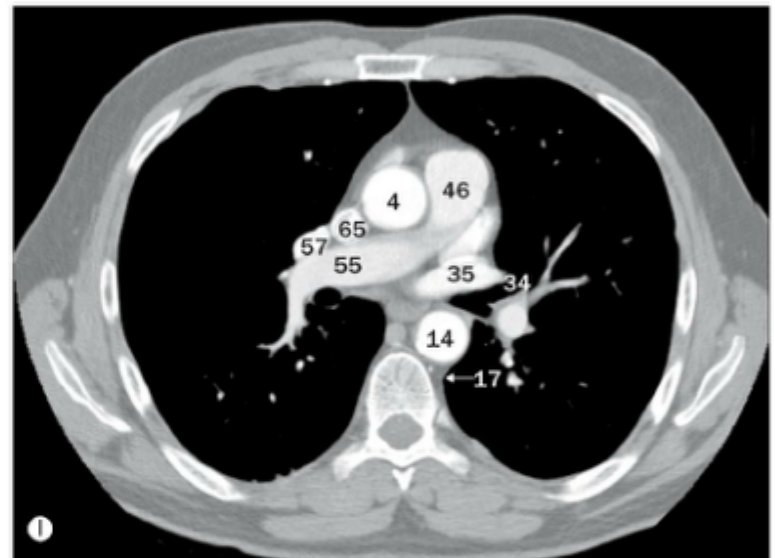
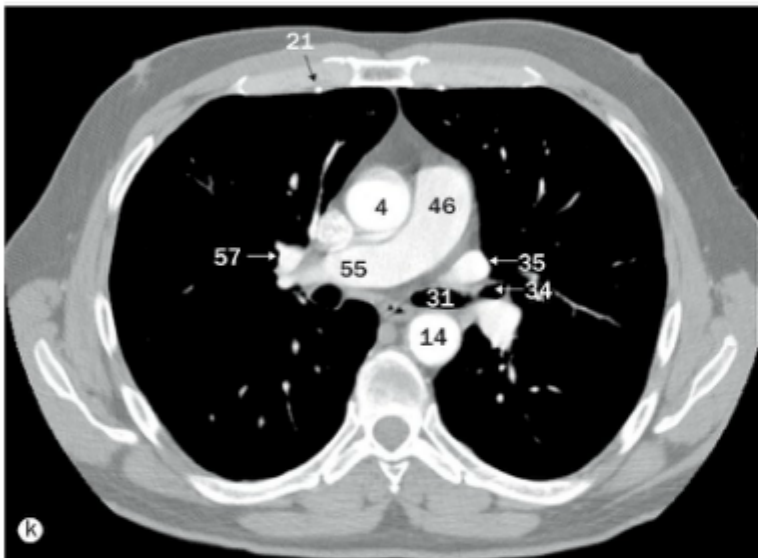
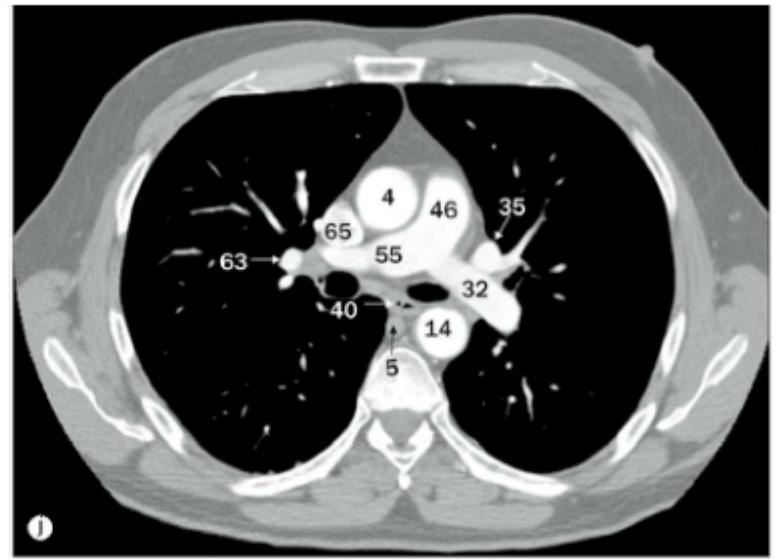
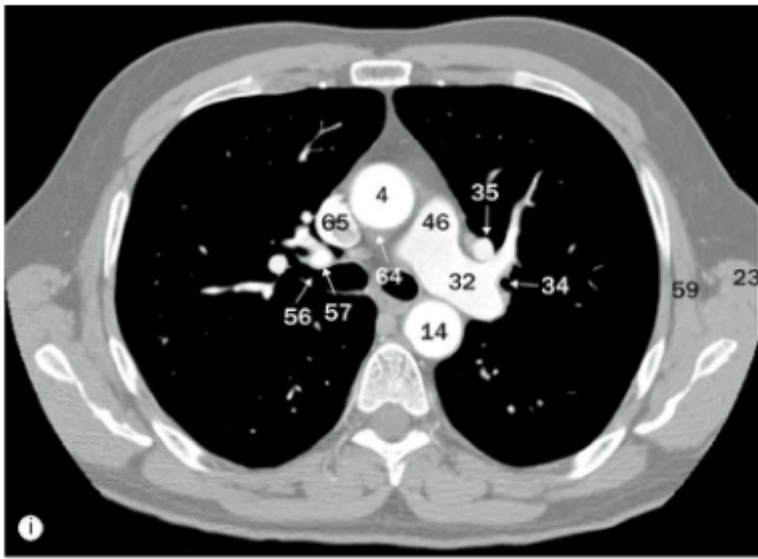


(a)-(t) Tórax, imagens axiais de TC do mediastino.

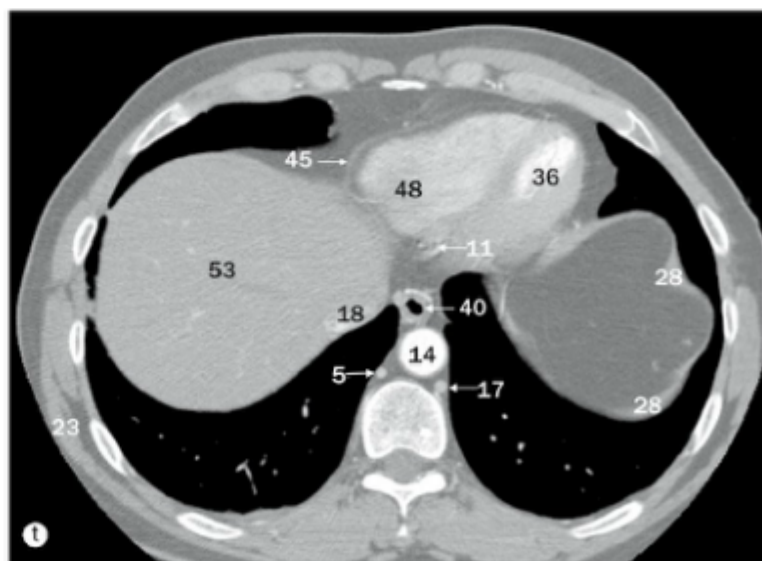
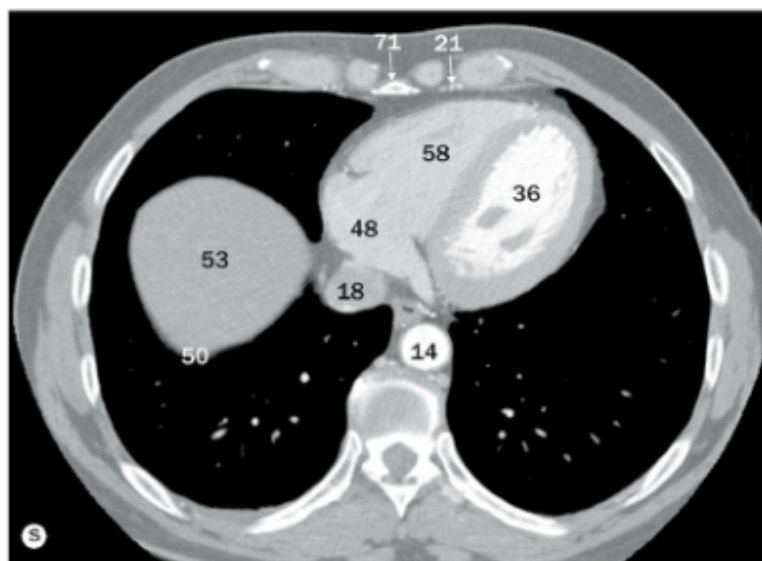
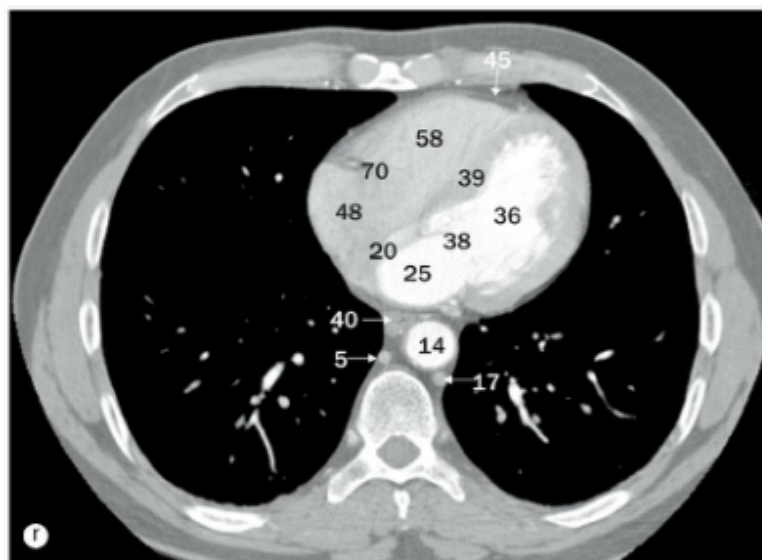
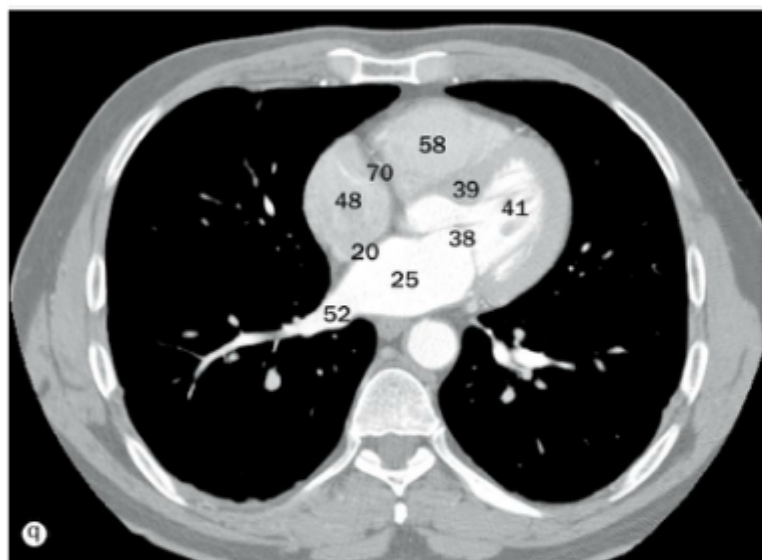
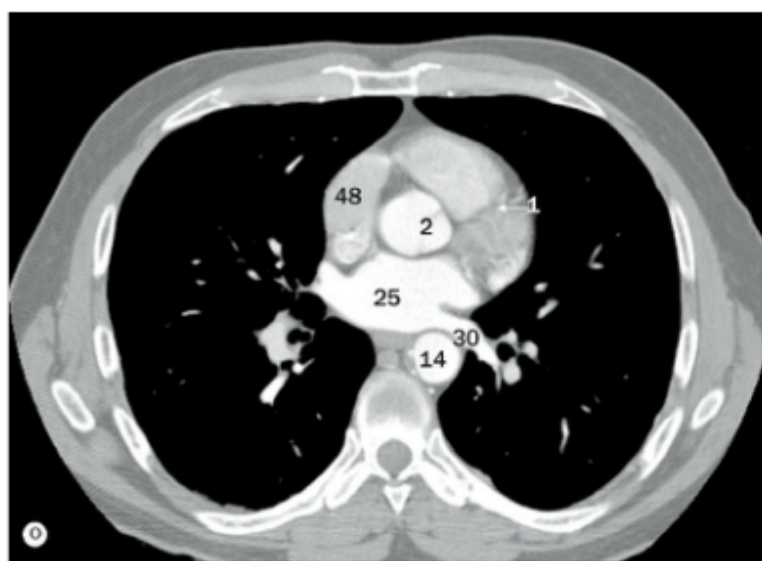
36 Ventrículo esquerdo
 37 Manúbrio do esterno
 38 Valva atrioventricular esquerda (mitral)
 39 Septo interventricular (parte muscular)
 40 Esôfago
 41 Músculos papilares
 42 Músculo peitoral maior
 43 Músculo peitoral menor
 44 Pedículo do arco vertebral
 45 Pericárdio
 46 Tronco pulmonar
 47 Aurícula direita
 48 Átrio direito

49 Veia braquiocéfálica direita
 50 Cúpula direita do diafragma
 51 Brônquio lobar inferior direito
 52 Veia pulmonar direita inferior
 53 Lobo hepático direito
 54 Brônquio principal direito
 55 Artéria pulmonar direita
 56 Brônquio lobar superior direito
 57 Veia pulmonar direita superior
 58 Ventrículo direito
 59 Músculo serrátil anterior
 60 Canal vertebral
 61 Articulação esternoclavicular

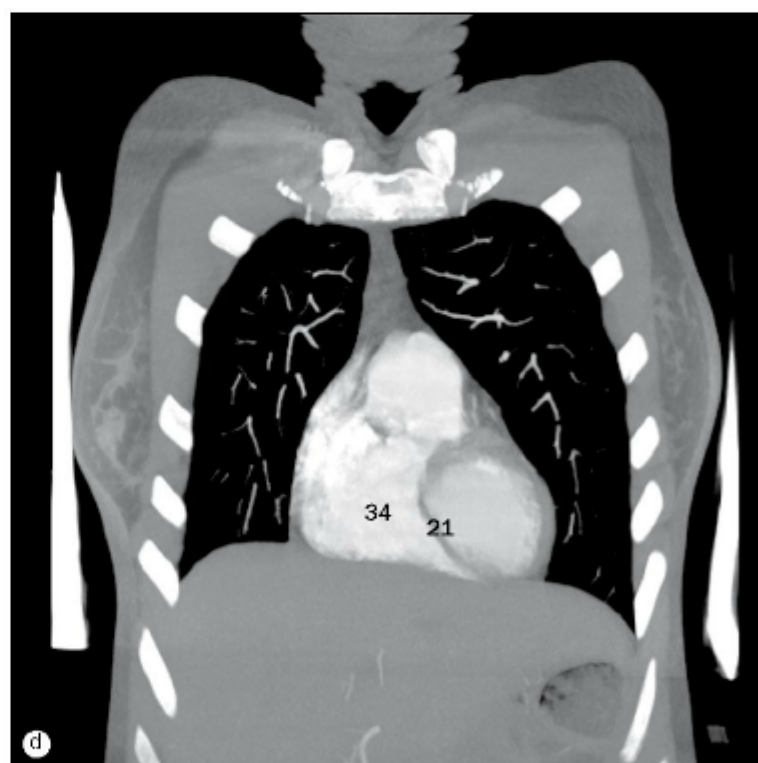
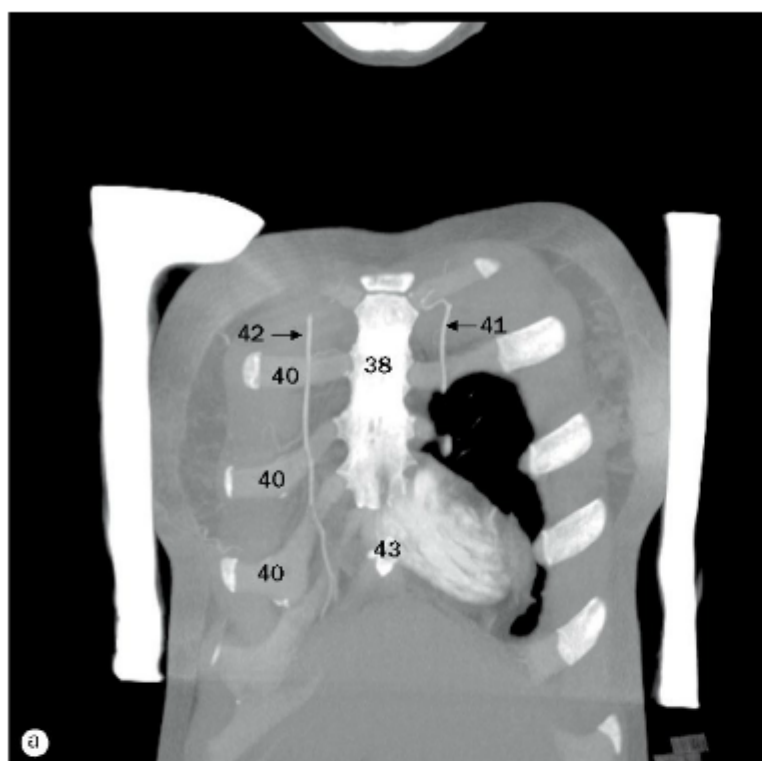
62 Músculo subescapular
 63 Ramo lobar superior da artéria pulmonar direita
 64 Recesso pericárdico superior
 65 Veia cava superior
 66 Músculo supraespinal
 67 Traqueia
 68 Processo transverso
 69 Músculo trapézio
 70 Valva atrioventricular direita (tricúspide)
 71 Processo xifoide



(a)-(t) Tórax, imagens axiais de TC do mediastino. Ver referências nas páginas 96-97.

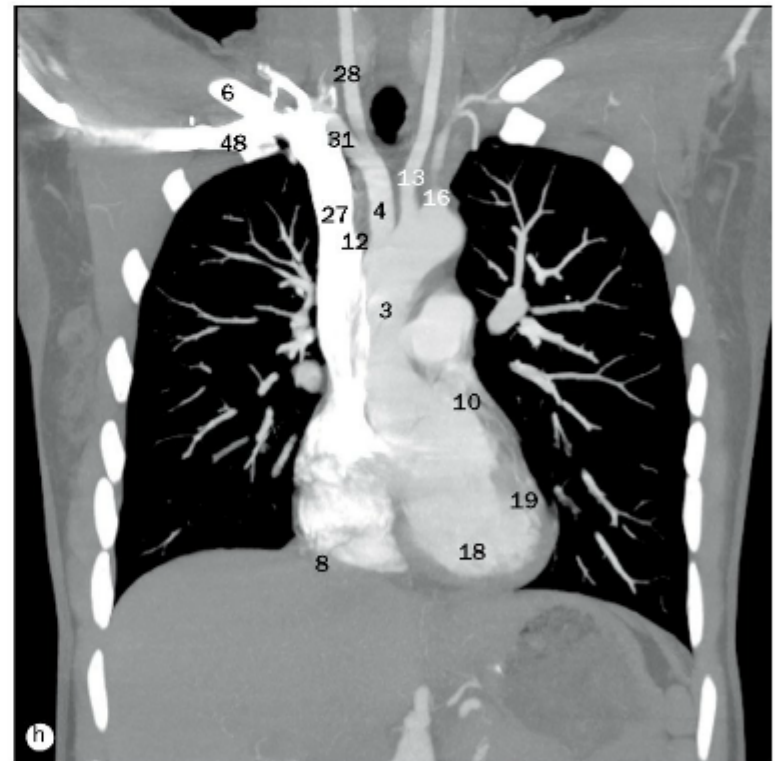
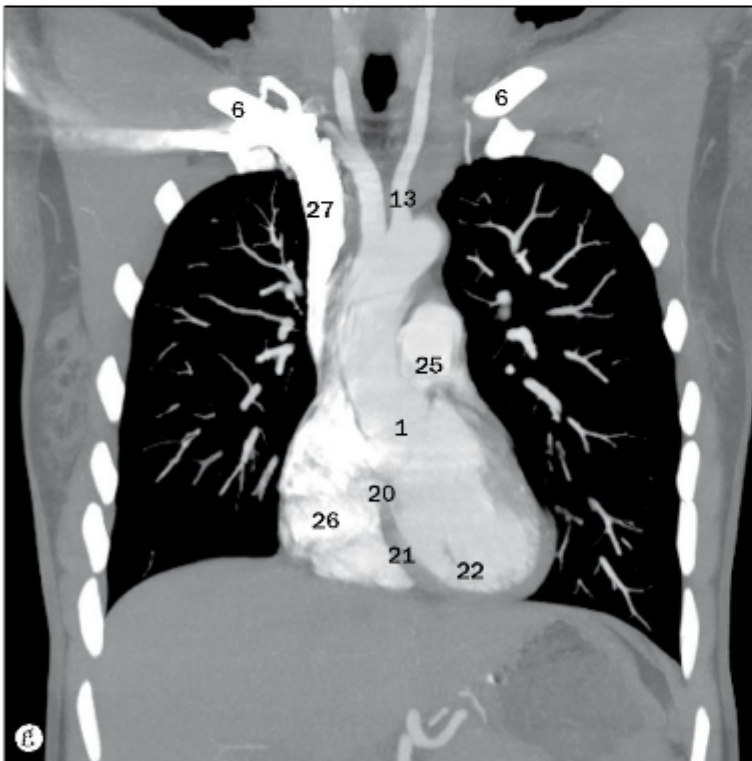
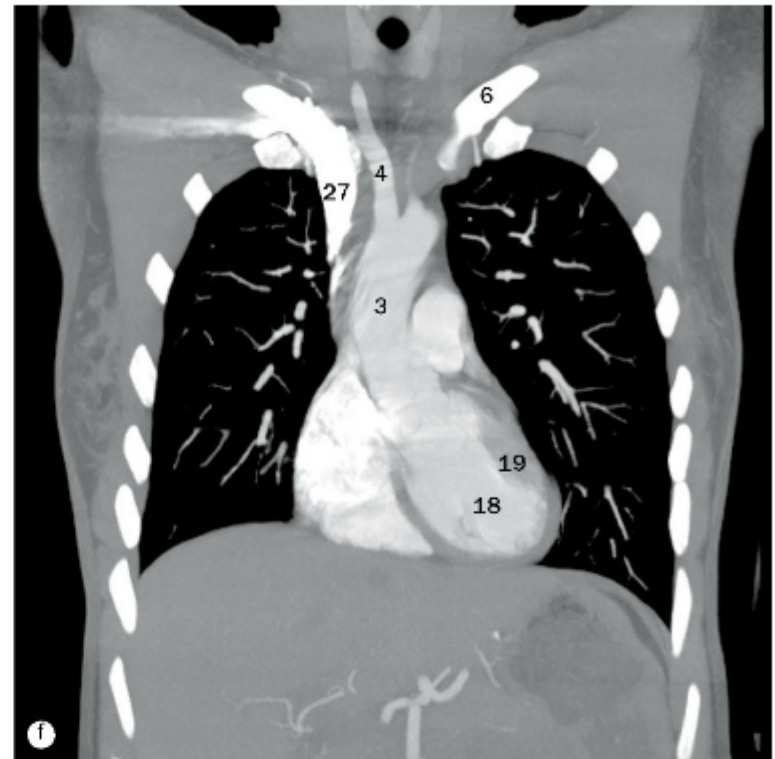
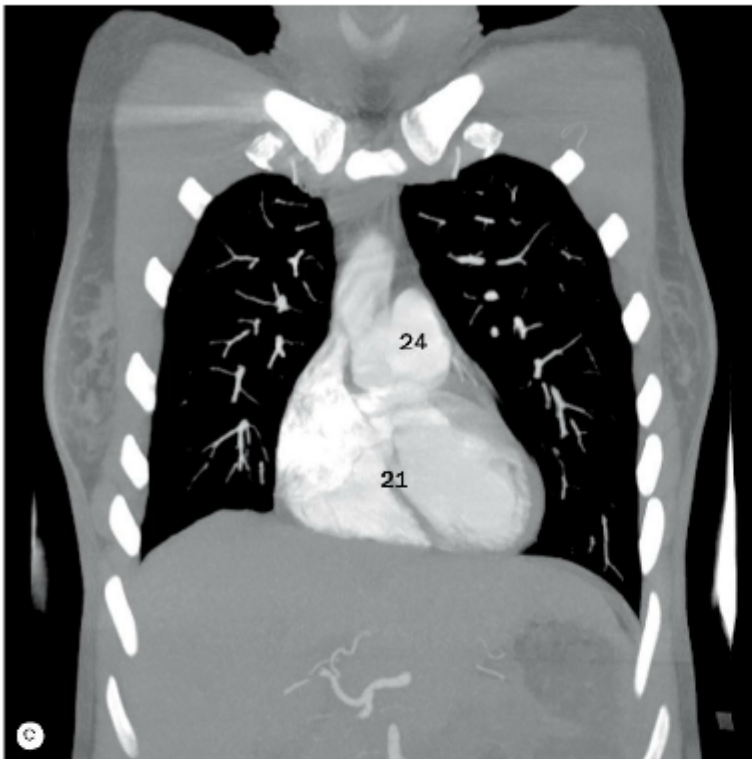


(a)-(f) Tórax, imagens axiais de TC do mediastino. Ver referências nas páginas 96-97.



(a)-(p) Tórax, imagens coronais de TC, da região anterior para a posterior.

- | | | |
|------------------------------|------------------------------------|---|
| 1 Valva da aorta | 9 Septo interatrial | 17 Veia pulmonar esquerda superior |
| 2 Arco da aorta | 10 Aurícula esquerda | 18 Ventrículo esquerdo |
| 3 Parte ascendente da aorta | 11 Átrio esquerdo | 19 Parede do ventrículo esquerdo |
| 4 Tronco braquiocefálico | 12 Veia braquiocefálica esquerda | 20 Septo interventricular – parte membranácea |
| 5 Carina da traqueia | 13 Artéria carótida comum esquerda | 21 Septo interventricular – parte muscular |
| 6 Clavícula | 14 Brônquio principal esquerdo | 22 Músculos papilares |
| 7 Parte descendente da aorta | 15 Artéria pulmonar esquerda | 23 Pericárdio |
| 8 Veia cava inferior | 16 Artéria subclávia esquerda | 24 Tronco pulmonar |

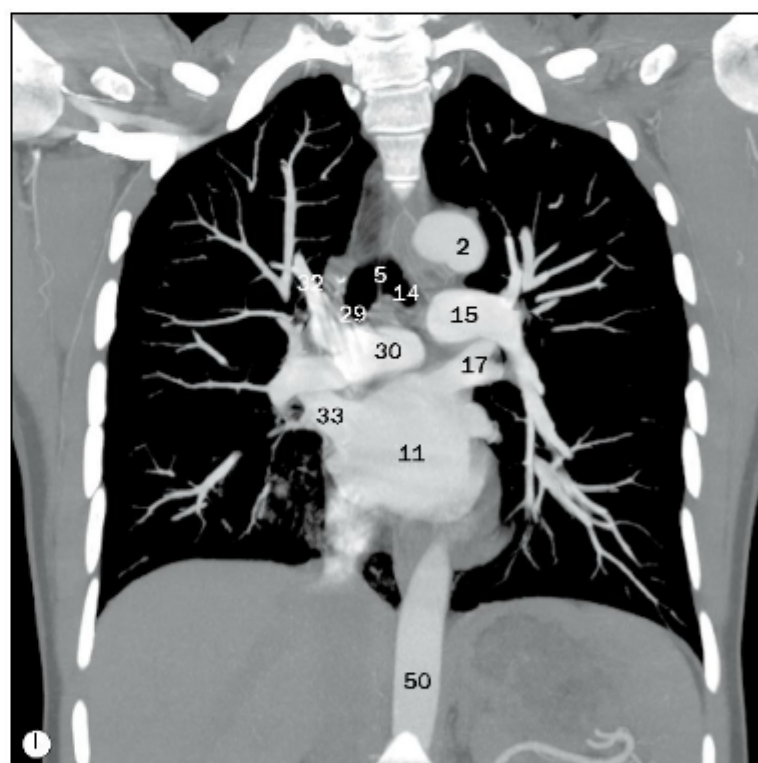
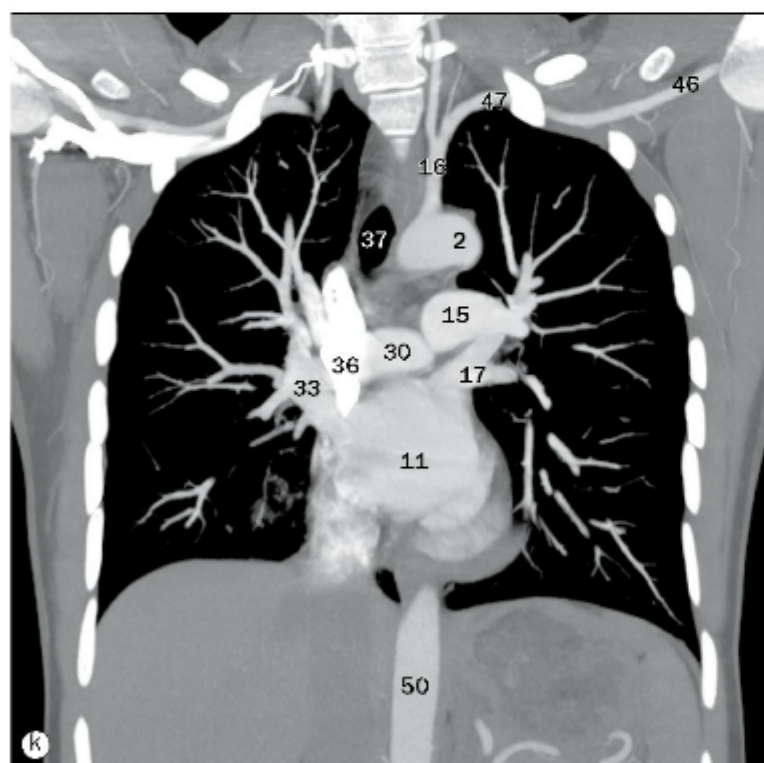
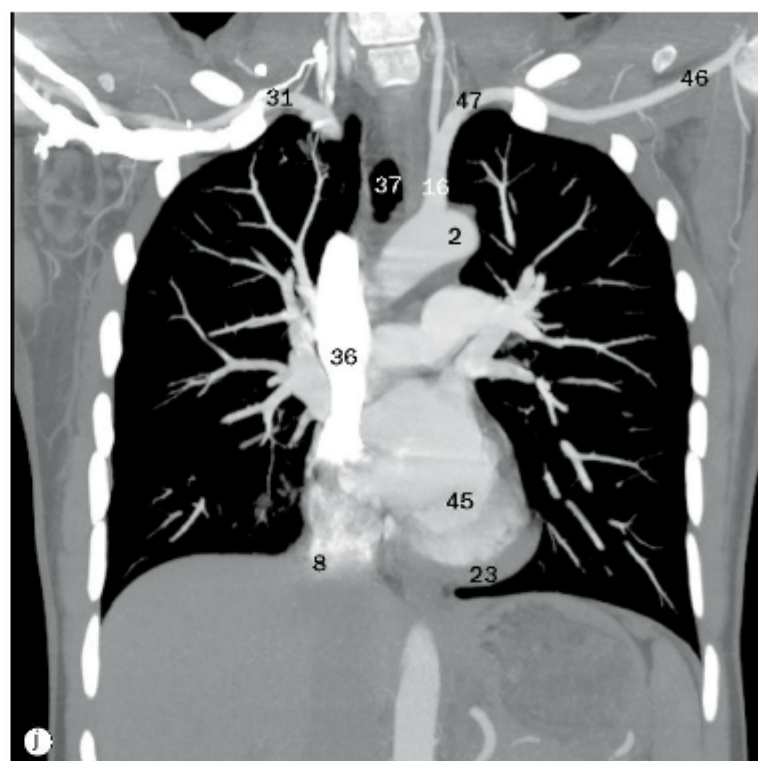
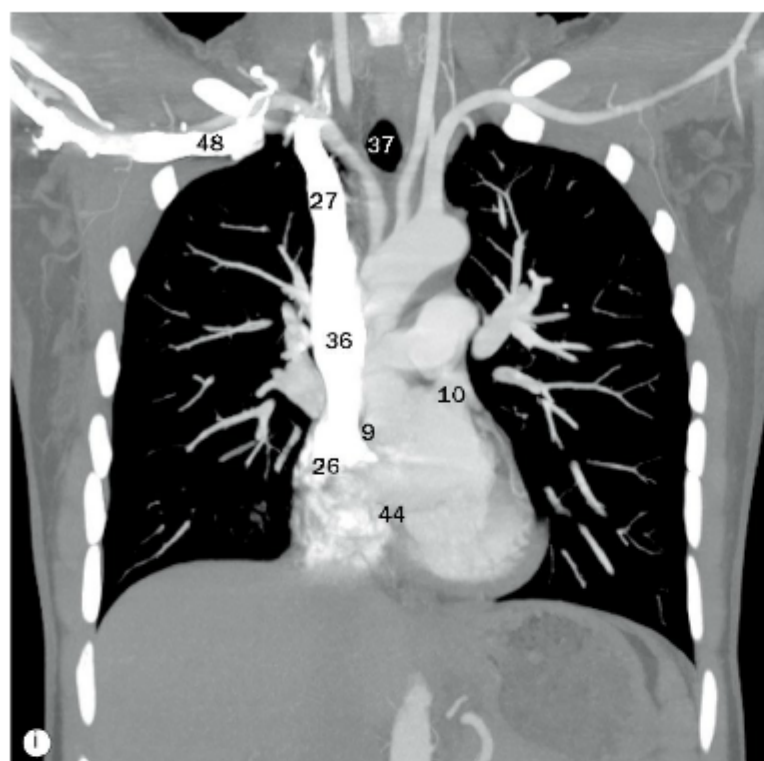


(a)-(p) Tórax, imagens coronais de TC, da região anterior para a posterior.

25 Valva do tronco pulmonar
 26 Átrio direito
 27 Veia braquiocefálica direita
 28 Artéria carótida comum direita
 29 Brônquio principal direito
 30 Artéria pulmonar direita
 31 Artéria subclávia direita
 32 Artéria lobar superior direita
 33 Veia pulmonar direita superior

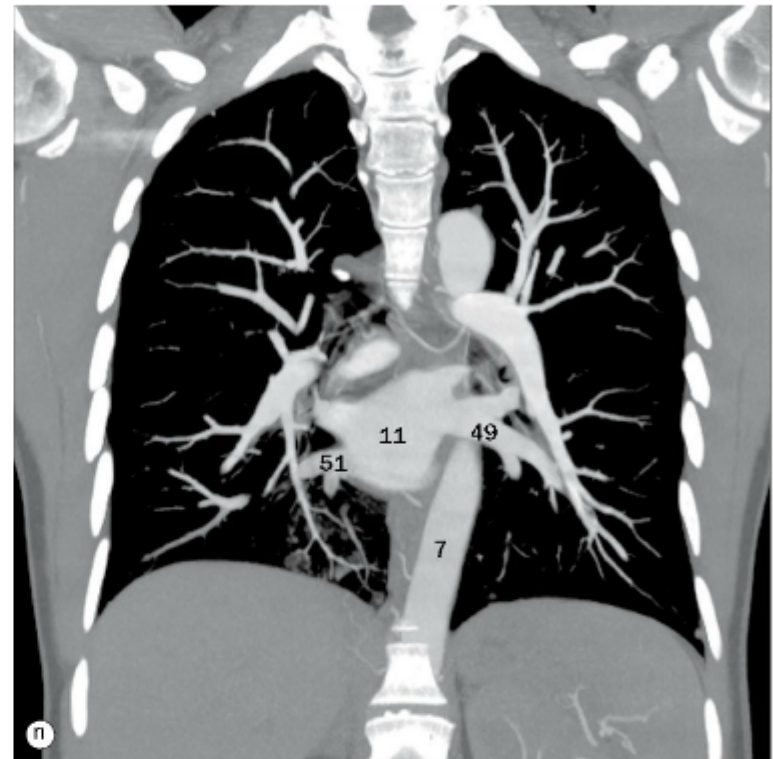
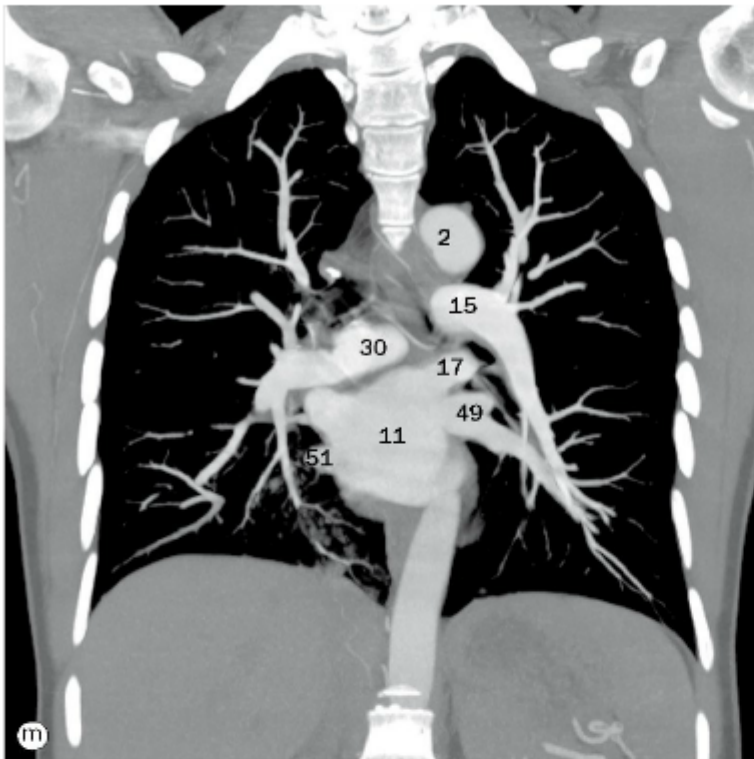
34 Ventrículo direito
 35 Parede do ventrículo direito
 36 Veia cava superior
 37 Traqueia
 38 Esterno
 39 Manúbrio
 40 Cartilagem costal
 41 Artéria torácica interna esquerda
 42 Artéria torácica interna direita

43 Processo xifoide
 44 Valva atrioventricular direita (tricúspide)
 45 Valva atrioventricular esquerda (mitral)
 46 Artéria axilar esquerda
 47 Artéria subclávia esquerda
 48 Veia subclávia direita
 49 Veia pulmonar esquerda inferior
 50 Parte abdominal da aorta
 51 Veia pulmonar direita inferior



(a)-(p) Tórax, imagens coronais de TC, da região anterior para a posterior.

- | | | |
|------------------------------|------------------------------------|---|
| 1 Valva da aorta | 9 Septo interatrial | 17 Veia pulmonar esquerda superior |
| 2 Arco da aorta | 10 Aurícula esquerda | 18 Ventrículo esquerdo |
| 3 Parte ascendente da aorta | 11 Átrio esquerdo | 19 Parede do ventrículo esquerdo |
| 4 Tronco braquiocéfálico | 12 Veia braquiocéfálica esquerda | 20 Septo interventricular – parte membranácea |
| 5 Carina da traqueia | 13 Artéria carótida comum esquerda | 21 Septo interventricular – parte muscular |
| 6 Clavícula | 14 Brônquio principal esquerdo | 22 Músculos papilares |
| 7 Parte descendente da aorta | 15 Artéria pulmonar esquerda | 23 Pericárdio |
| 8 Veia cava inferior | 16 Artéria subclávia esquerda | 24 Tronco pulmonar |

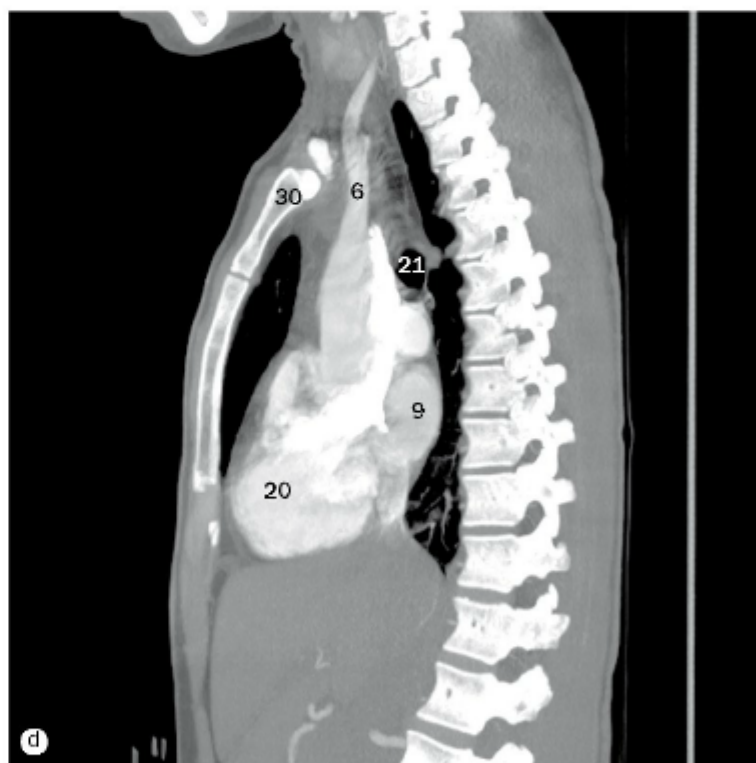
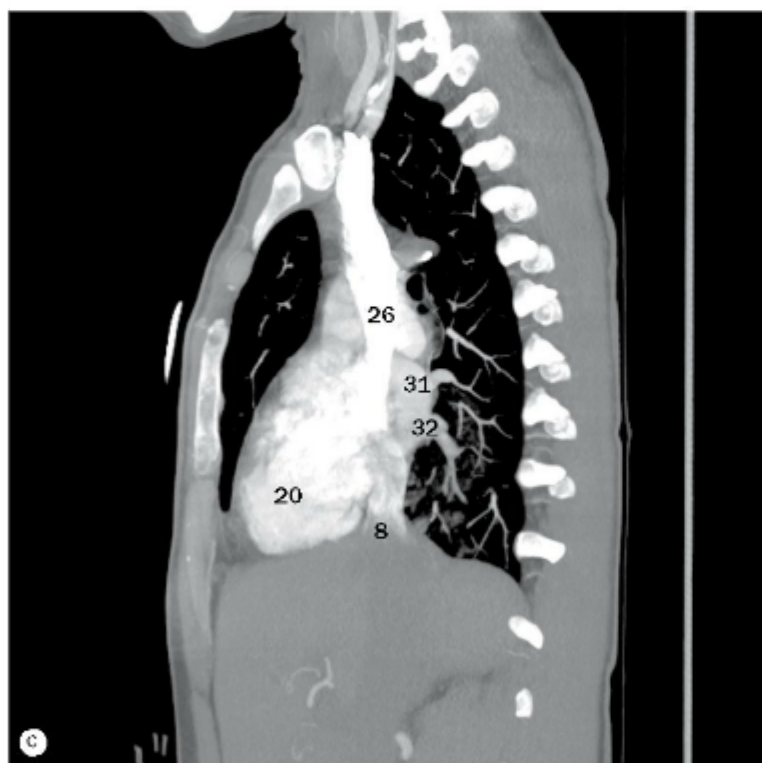
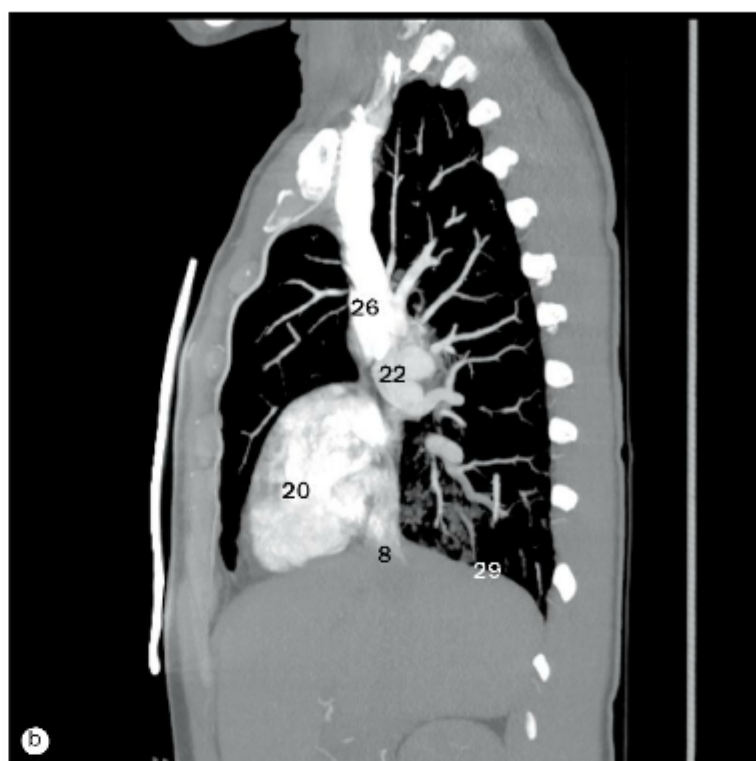
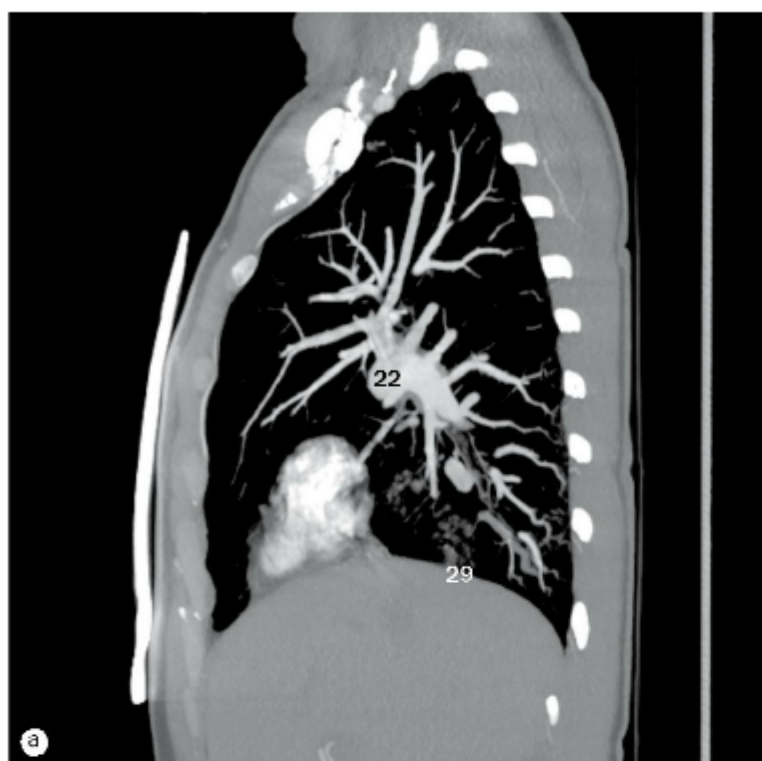


(a)-(p) Tórax, imagens coronais de TC, da região anterior para a posterior.

25 Valva do tronco pulmonar
 26 Átrio direito
 27 Veia braquiocefálica direita
 28 Artéria carótida comum direita
 29 Brônquio principal direito
 30 Artéria pulmonar direita
 31 Artéria subclávia direita
 32 Artéria lobar superior direita
 33 Veia pulmonar direita superior

34 Ventrículo direito
 35 Parede do ventrículo direito
 36 Veia cava superior
 37 Traqueia
 38 Esterno
 39 Manúbrio
 40 Cartilagem costal
 41 Artéria torácica interna esquerda
 42 Artéria torácica interna direita

43 Processo xifoide
 44 Valva atrioventricular direita (trícuspide)
 45 Valva atrioventricular esquerda (mitral)
 46 Artéria axilar esquerda
 47 Artéria subclávia esquerda
 48 Veia subclávia direita
 49 Veia pulmonar esquerda inferior
 50 Parte abdominal da aorta
 51 Veia pulmonar direita inferior

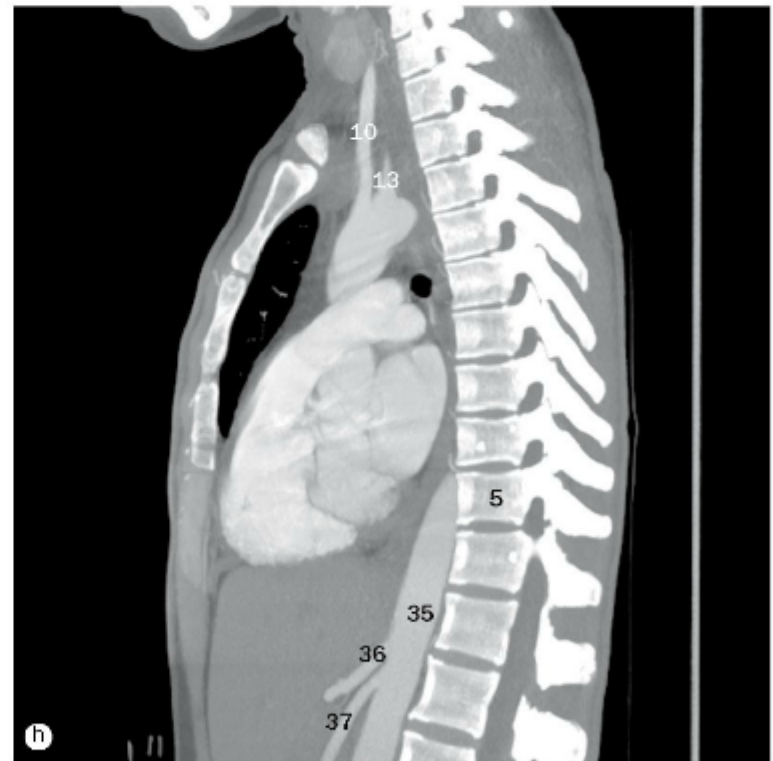
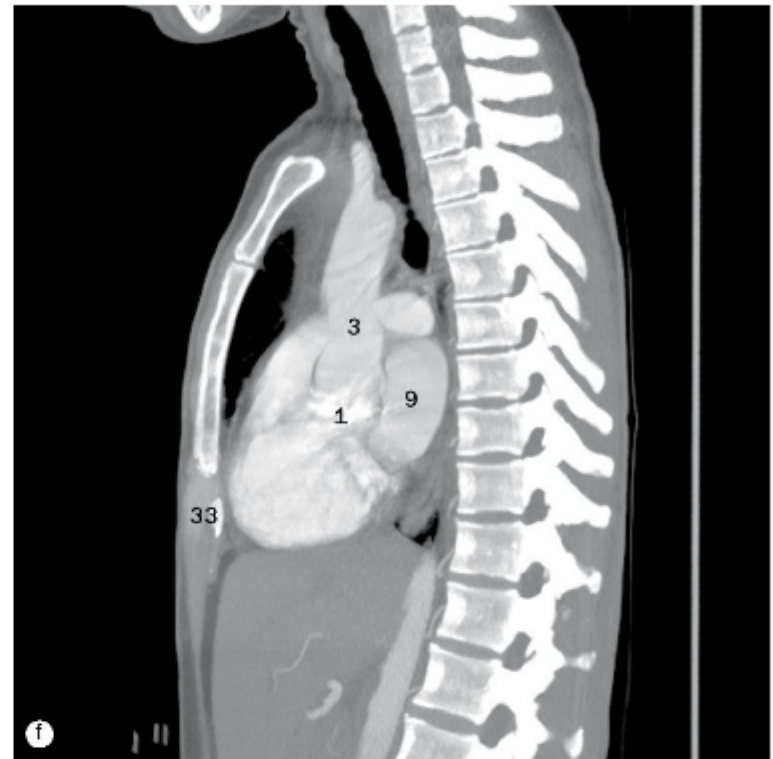


(a)-(p) Tórax, imagens sagitais de TC, da direita para a esquerda.

1 Valva da aorta
2 Arco da aorta
3 Parte ascendente da aorta
4 Corpo do esterno
5 Corpo vertebral
6 Tronco braquiocefálico
7 Parte descendente da aorta

8 Veia cava inferior
9 Átrio esquerdo
10 Artéria carótida comum esquerda
11 Brônquio principal esquerdo
12 Artéria pulmonar esquerda
13 Artéria subclávia esquerda
14 Ventrículo esquerdo

15 Valva atrioventricular esquerda (mitral)
16 Septo interventricular – parte muscular
17 Pericárdio
18 Tronco pulmonar
19 Valva do tronco pulmonar
20 Átrio direito
21 Brônquio principal direito



(a)-(p) Tórax, imagens sagitais de TC, da direita para a esquerda.

22 Artéria pulmonar direita

23 Ventrículo direito

24 Trato de fluxo de saída do ventrículo direito

25 Parede do ventrículo direito

26 Veia cava superior

27 Traqueia

28 Cúpula esquerda do diafragma

29 Cúpula direita do diafragma

30 Manúbrio

31 Veia pulmonar direita superior

32 Veia pulmonar direita inferior

33 Processo xifoide

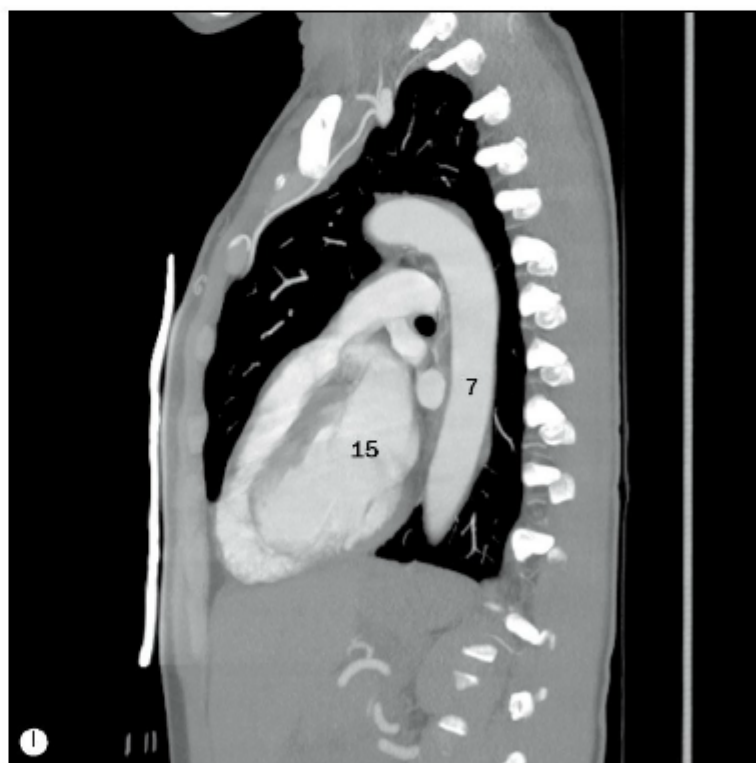
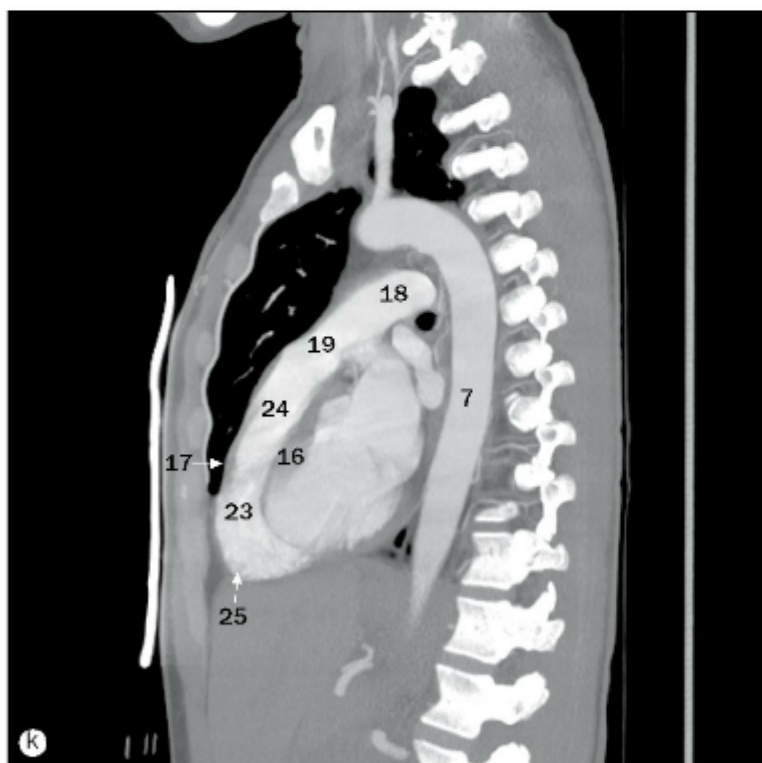
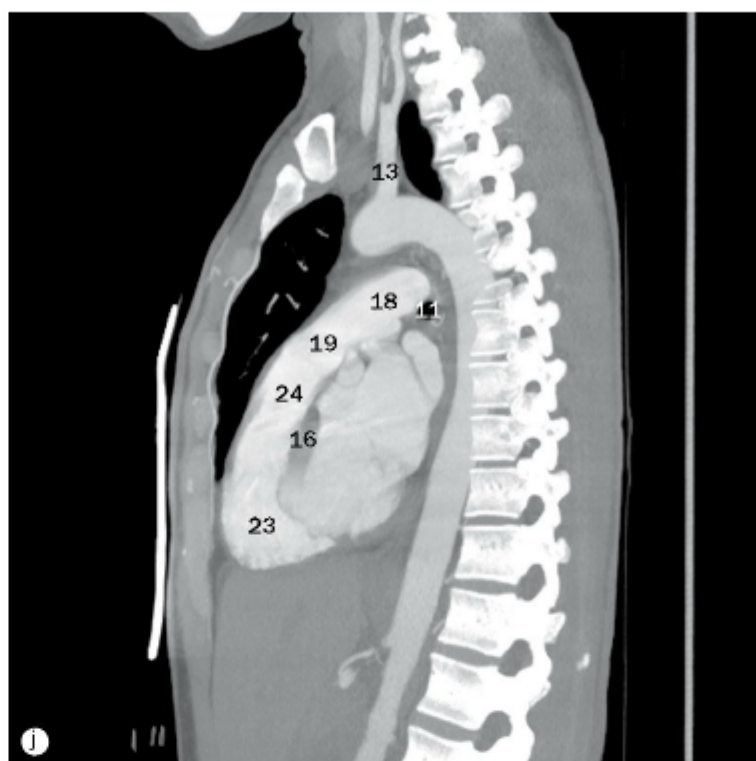
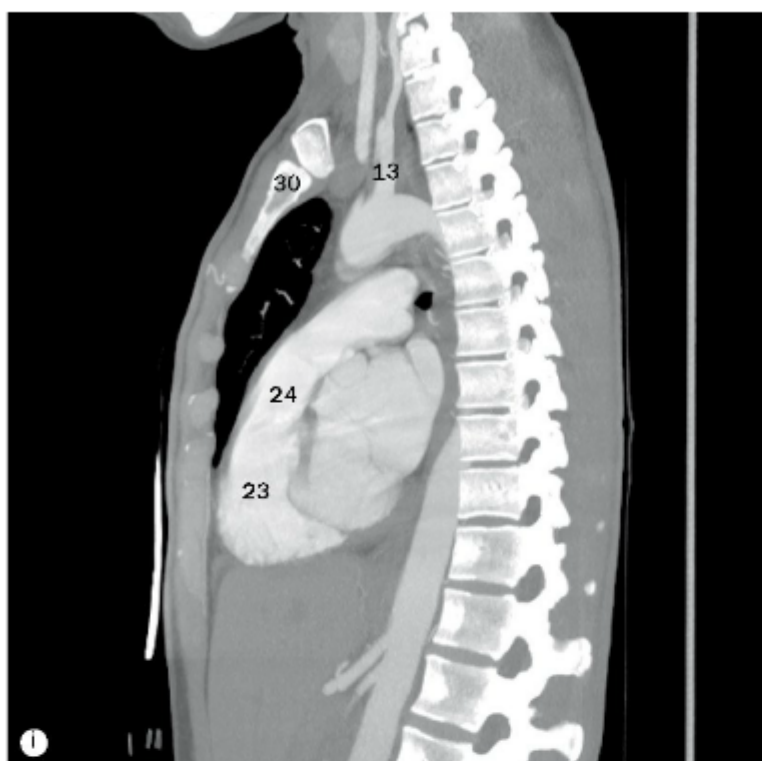
34 Valva atrioventricular direita (tricúspide)

35 Parte abdominal da aorta

36 Tronco celíaco

37 Artéria mesentérica superior

38 Artéria coronária direita

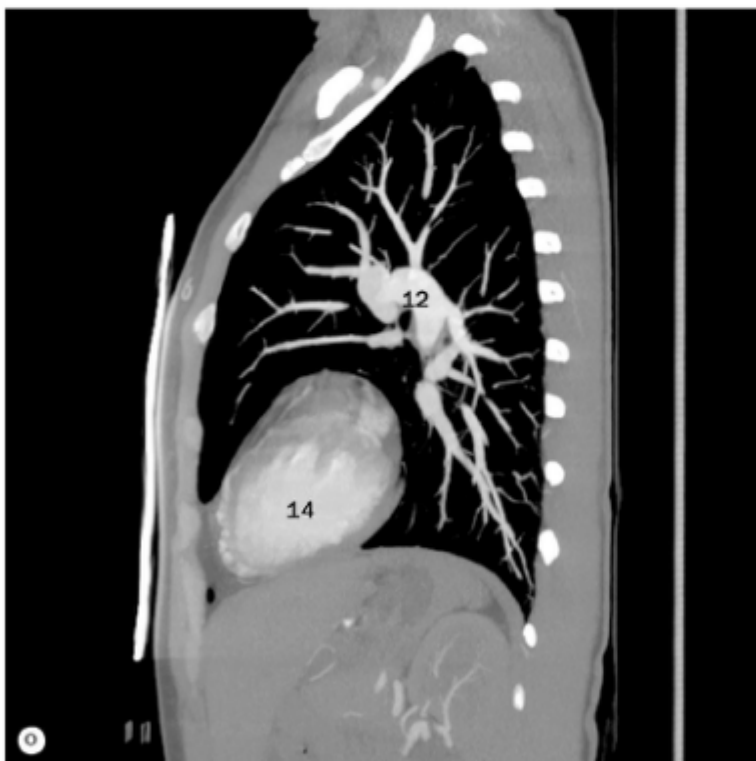
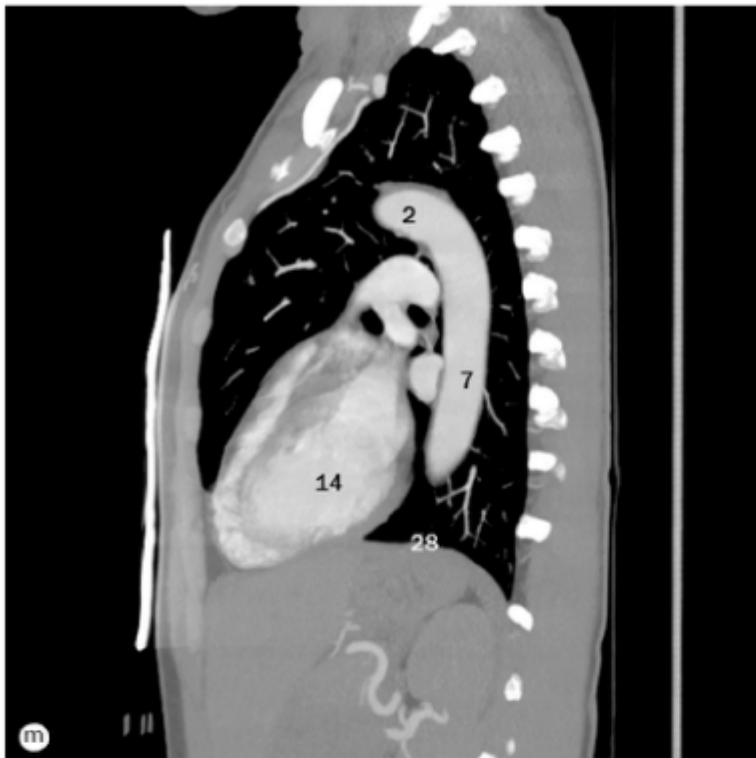


(a)-(p) Tórax, imagens sagitais de TC, da direita para a esquerda.

1 Valva da aorta
2 Arco da aorta
3 Parte ascendente da aorta
4 Corpo do esterno
5 Corpo vertebral
6 Tronco braquiocéfálico
7 Parte descendente da aorta

8 Veia cava inferior
9 Átrio esquerdo
10 Artéria carótida comum esquerda
11 Brônquio principal esquerdo
12 Artéria pulmonar esquerda
13 Artéria subclávia esquerda
14 Ventrículo esquerdo

15 Valva atrioventricular esquerda (mitral)
16 Septo interventricular – parte muscular
17 Pericárdio
18 Tronco pulmonar
19 Valva do tronco pulmonar
20 Átrio direito
21 Brônquio principal direito



(a)-(p) Tórax, imagens sagitais de TC, da direita para a esquerda.

22 Artéria pulmonar direita

23 Ventrículo direito

24 Trato de fluxo de saída do ventrículo direito

25 Parede do ventrículo direito

26 Veia cava superior

27 Traqueia

28 Cúpula esquerda do diafragma

29 Cúpula direita do diafragma

30 Manúbrio

31 Veia pulmonar direita superior

32 Veia pulmonar direita inferior

33 Processo xifoide

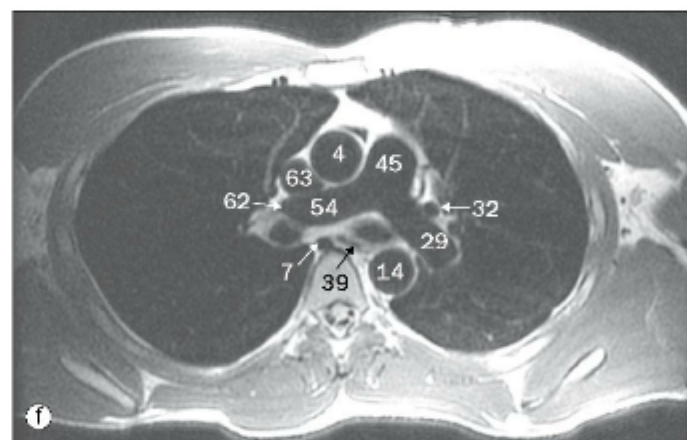
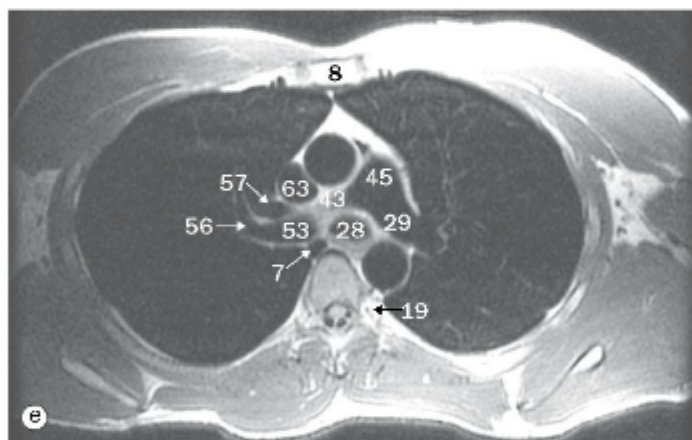
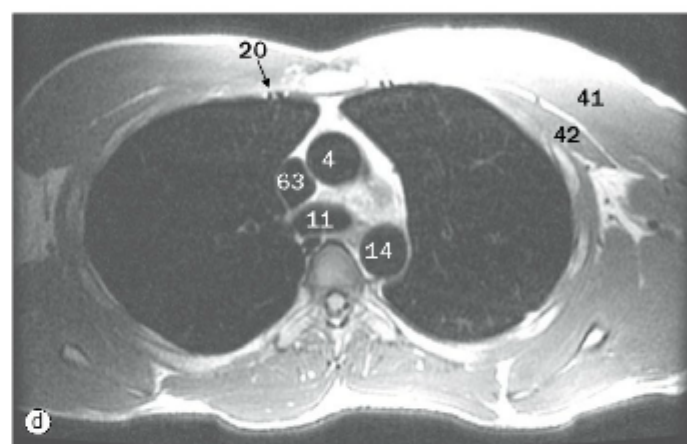
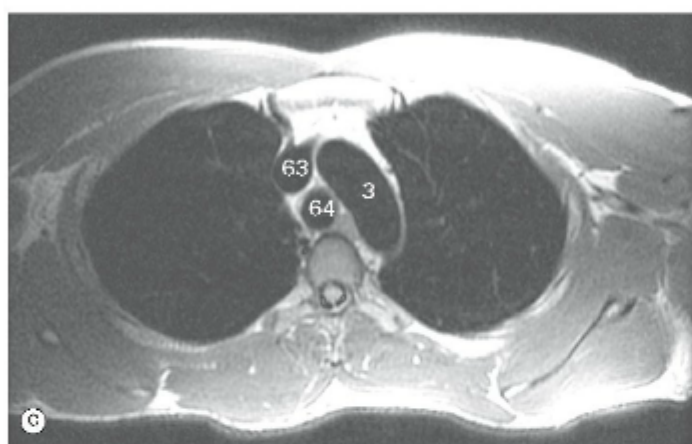
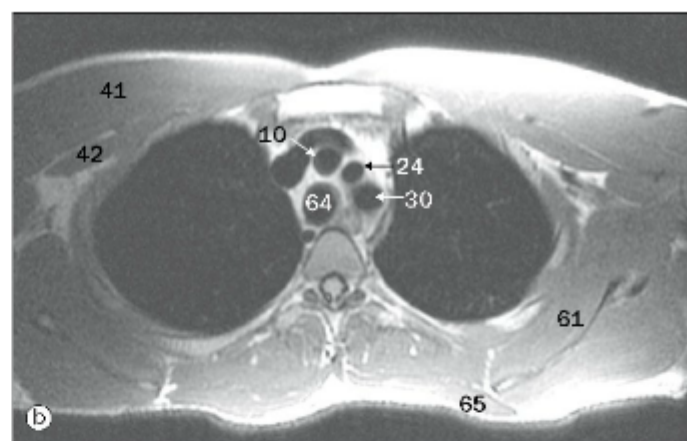
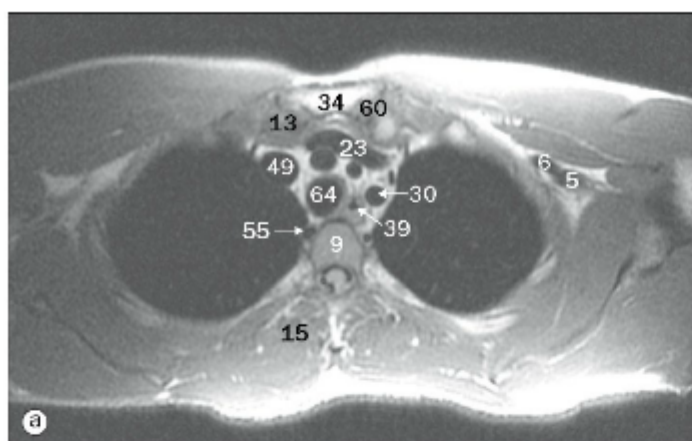
34 Valva atrioventricular direita (tricúspide)

35 Parte abdominal da aorta

36 Tronco celiaco

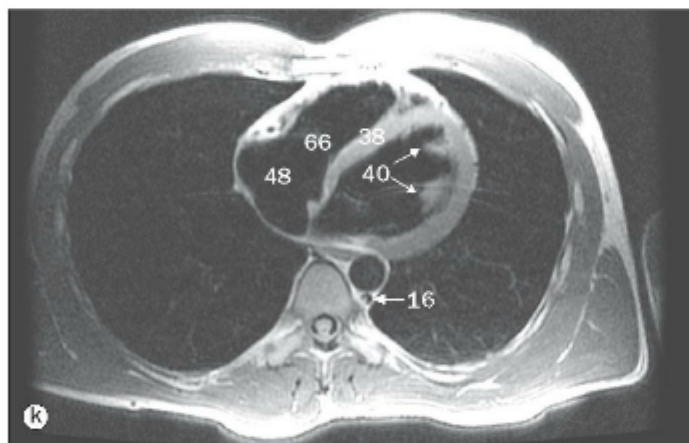
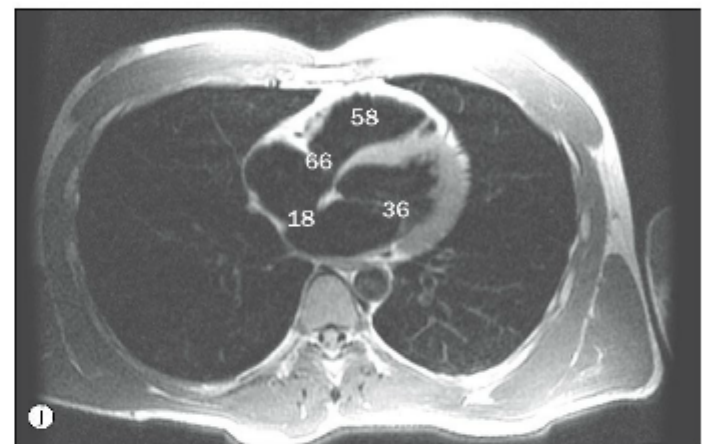
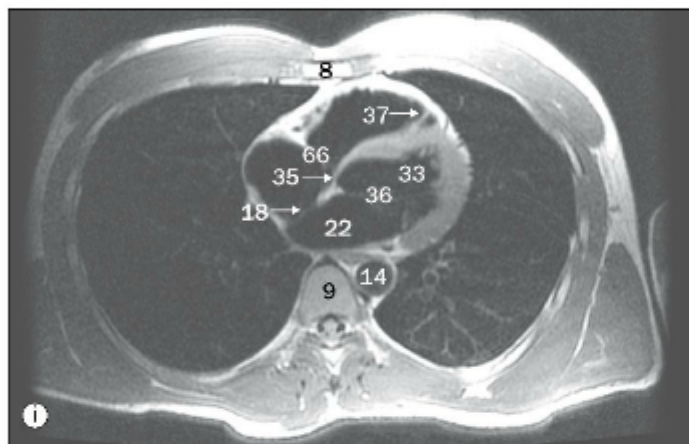
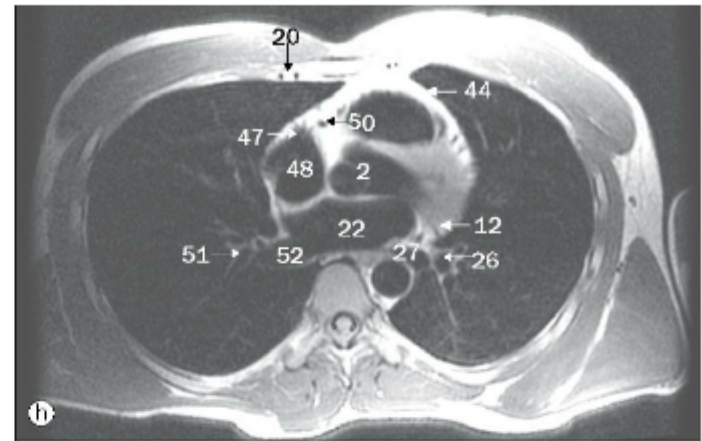
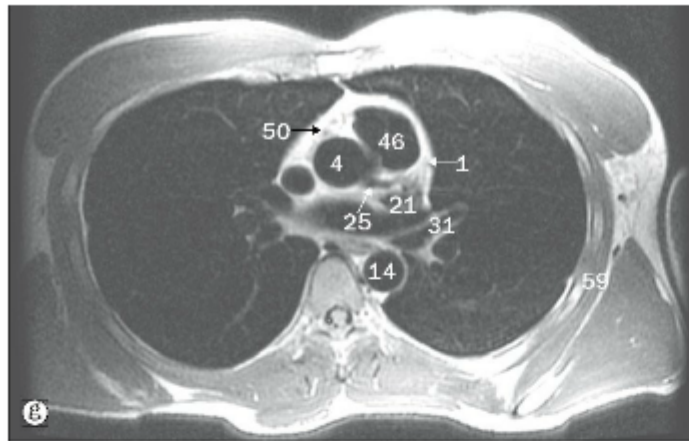
37 Artéria mesentérica superior

38 Artéria coronária direita



(a)-(f) Tórax, imagens axiais de RM.

- | | | |
|--|---|-------------------------------------|
| 1 Ramo interventricular anterior da artéria coronária esquerda | 12 Ramo circunflexo da artéria coronária esquerda | 23 Veia braquiocefálica esquerda |
| 2 Valva da aorta | 13 Clavícula | 24 Artéria carótida comum esquerda |
| 3 Arco da aorta | 14 Parte descendente da aorta | 25 Artéria coronária esquerda |
| 4 Parte ascendente da aorta | 15 Músculo eretor da espinha | 26 Brônquio lobar inferior esquerdo |
| 5 Artéria axilar | 16 Veia hemiáximo | 27 Veia pulmonar esquerda inferior |
| 6 Veia axilar | 17 Veia cava inferior | 28 Brônquio principal esquerdo |
| 7 Veia ázigo | 18 Septo interatrial | 29 Artéria pulmonar esquerda |
| 8 Corpo do esterno | 19 Artéria intercostal | 30 Artéria subclávia esquerda |
| 9 Corpo vertebral | 20 Artéria e veia torácicas internas | 31 Brônquio lobar superior esquerdo |
| 10 Tronco braquiocefálico | 21 Aurícula esquerda | 32 Veia pulmonar esquerda superior |
| 11 Carina da traqueia | 22 Átrio esquerdo | 33 Ventrículo esquerdo |
| | | 34 Manúbrio do esterno |



(a)-(l) Tórax, imagens axiais de RM.

35 Septo interventricular – parte membranácea
 36 Valva atrioventricular esquerda (mitral)
 37 Trabécula septomarginal
 38 Septo interventricular – parte muscular
 39 Esôfago
 40 Músculos papilares
 41 Músculo peitoral maior
 42 Músculo peitoral menor
 43 Recesso pericárdico
 44 Pericárdio
 45 Tronco pulmonar

46 Valva do tronco pulmonar
 47 Aurícula direita
 48 Átrio direito
 49 Veia braquiocefálica direita
 50 Artéria coronária direita
 51 Brônquio lobar inferior esquerdo
 52 Veia pulmonar direita inferior
 53 Brônquio principal direito
 54 Artéria pulmonar direita
 55 Veia intercostal superior direita
 56 Brônquio lobar superior direito

57 Veia pulmonar direita superior
 58 Ventriculo direito
 59 Músculo serrátil anterior
 60 Articulação esternoclavicular
 61 Músculo subescapular
 62 Ramo lobar superior da artéria pulmonar direita
 63 Veia cava superior
 64 Traqueia
 65 Músculo trapézio
 66 Valva atrioventricular direita (trícuspide)



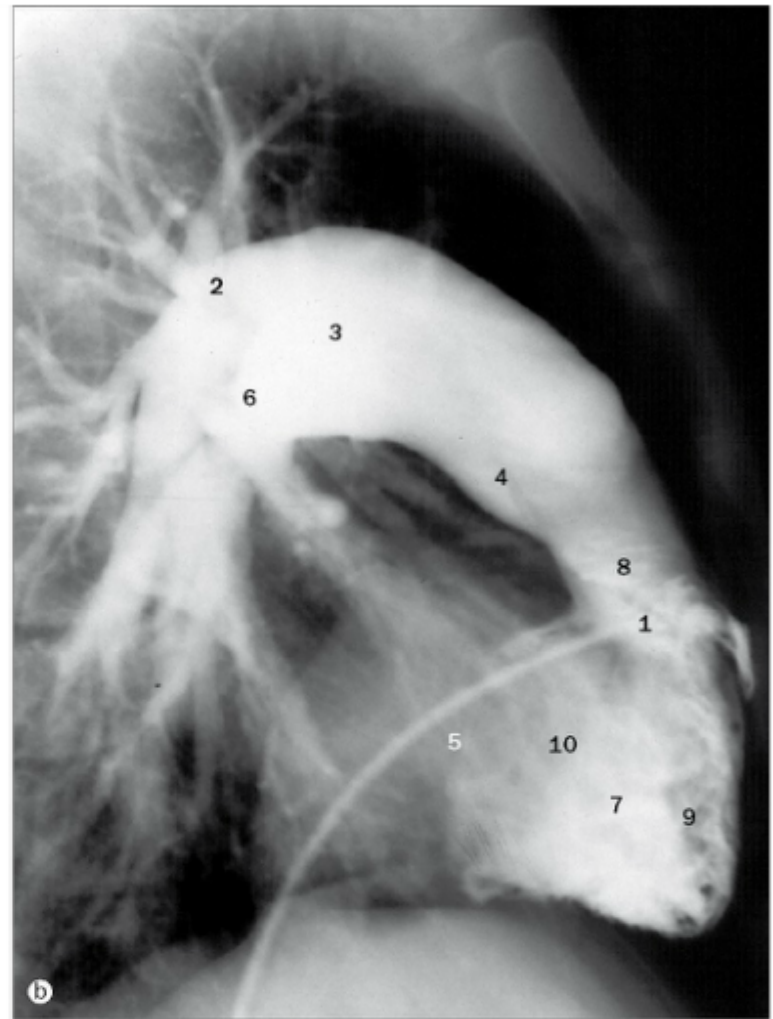
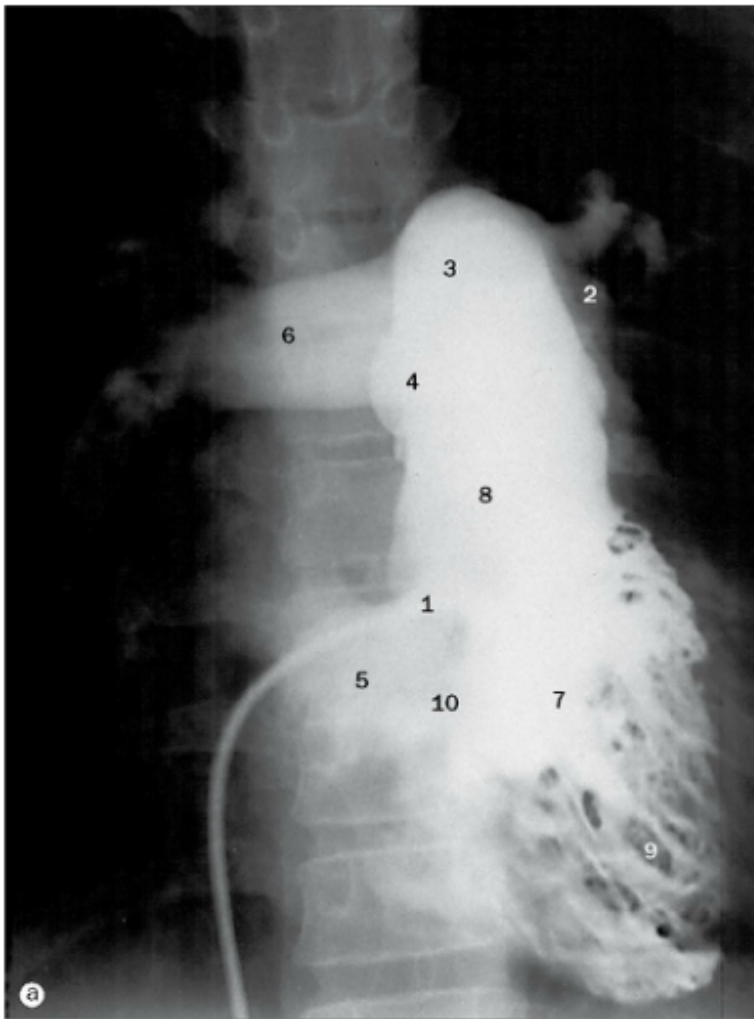
Arteriografia pulmonar, fase arterial.

- | | | |
|---|--|--|
| 1 Artéria segmentar anterior (lobo superior) | 6 Artéria lobar inferior | 13 Artéria segmentar posterior (lobo superior) |
| 2 Artéria segmentar basilar anterior | 7 Artéria segmentar lateral (lobo médio) | 14 Artéria segmentar basilar posterior |
| 3 Artéria segmentar apical (lobo superior) | 8 Artéria segmentar basilar lateral | 15 Artéria pulmonar direita |
| 4 Cateter no tronco pulmonar via veia femoral, veia cava inferior, átrio direito e ventrículo direito | 9 Artéria pulmonar esquerda | 16 Artéria lingular superior |
| 5 Artéria lingular inferior | 10 Artéria segmentar medial (lobo médio) | 17 Artéria lobar superior |
| | 11 Artéria segmentar basilar medial | |
| | 12 Artéria lobar média | |



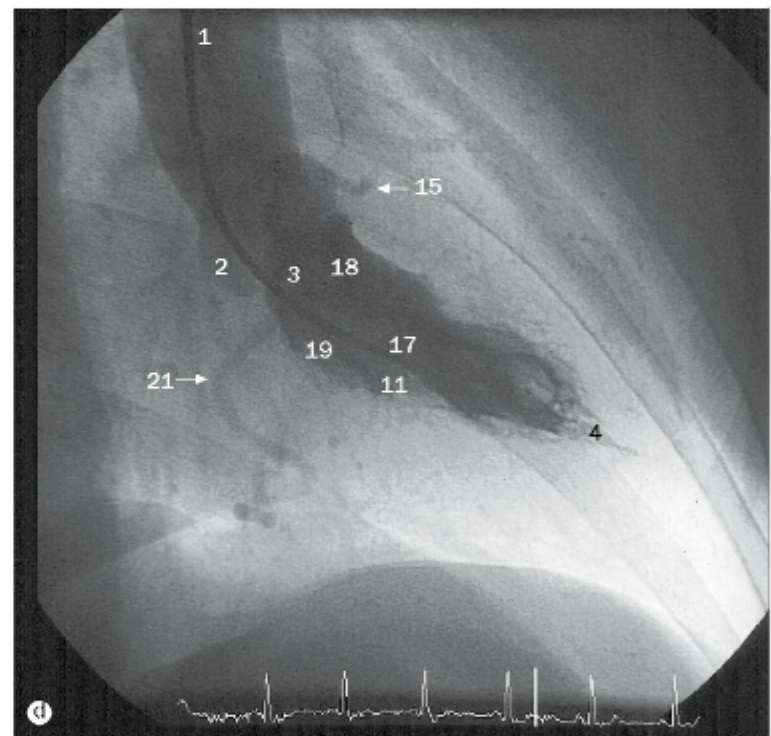
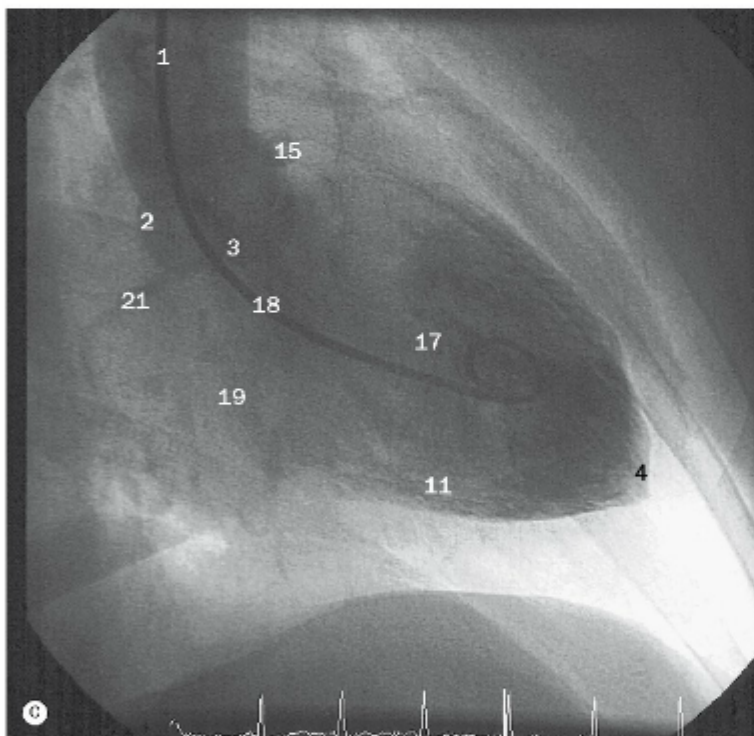
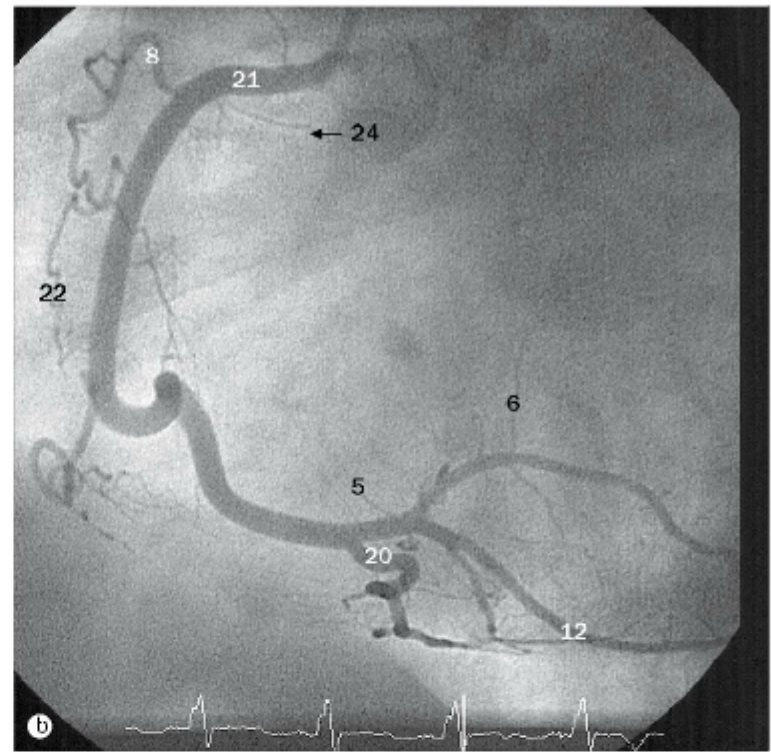
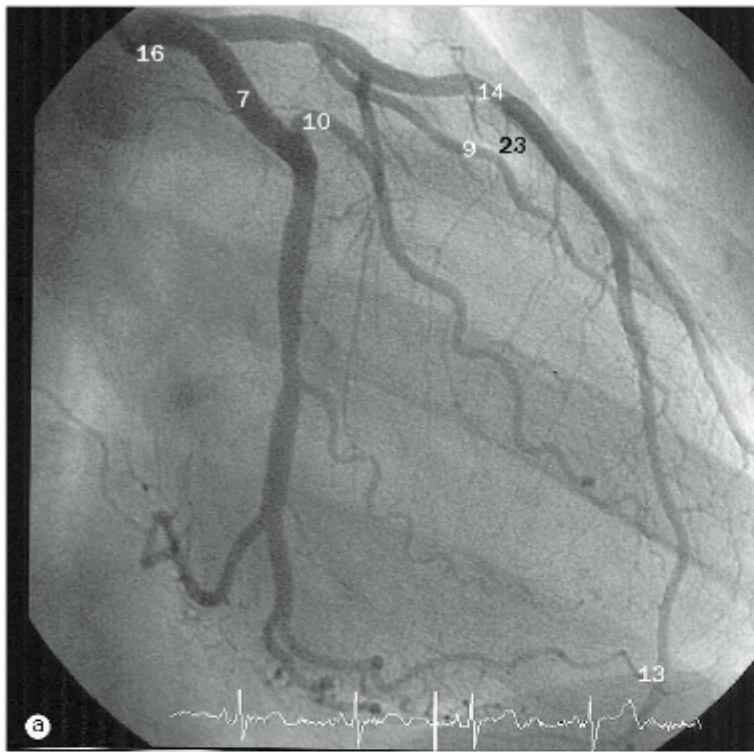
Arteriografia pulmonar, fase venosa.

- | | |
|-----------------------------------|--|
| 1 Aorta | 6 Veia pulmonar esquerda superior |
| 2 Arco da aorta | 7 Valva atrioventricular esquerda (mitral) |
| 3 Aurícula esquerda | 8 Veia pulmonar direita inferior |
| 4 Átrio esquerdo | 9 Veia pulmonar direita superior |
| 5 Veia pulmonar esquerda inferior | |



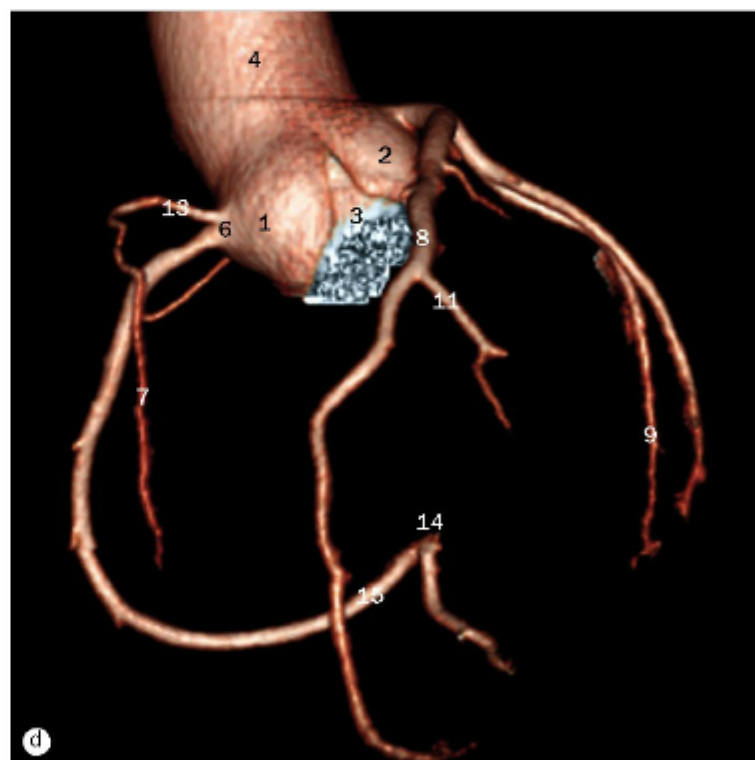
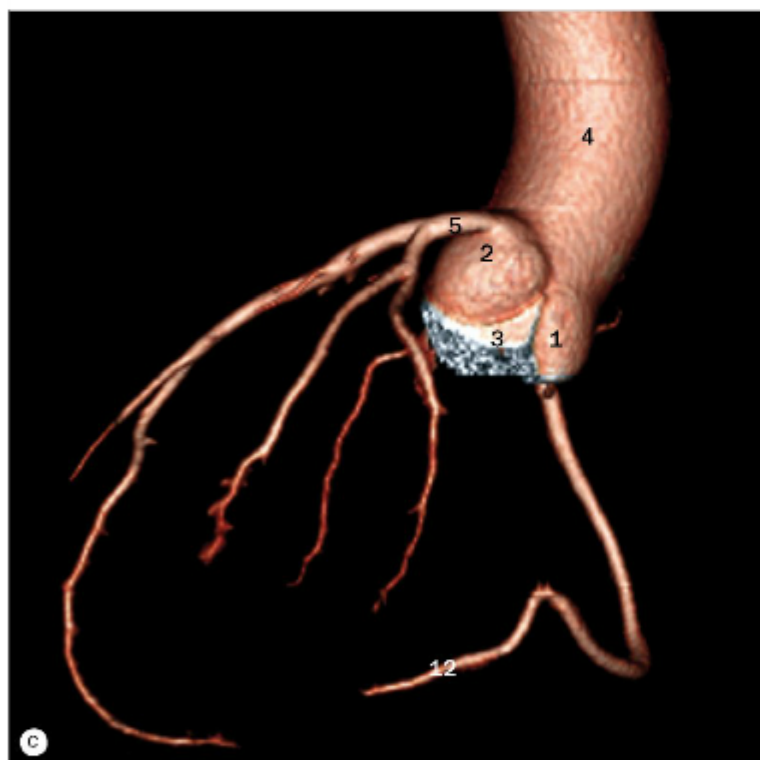
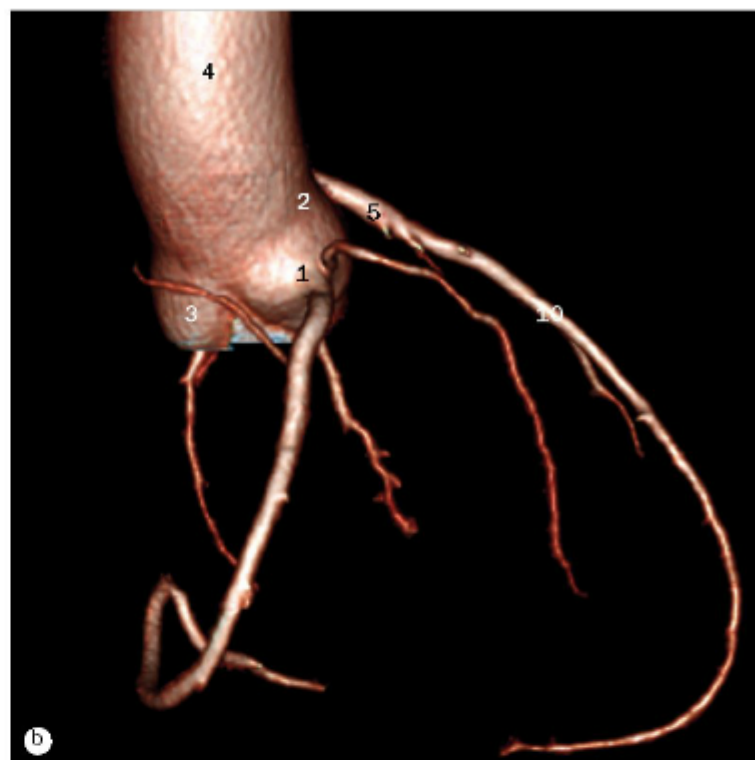
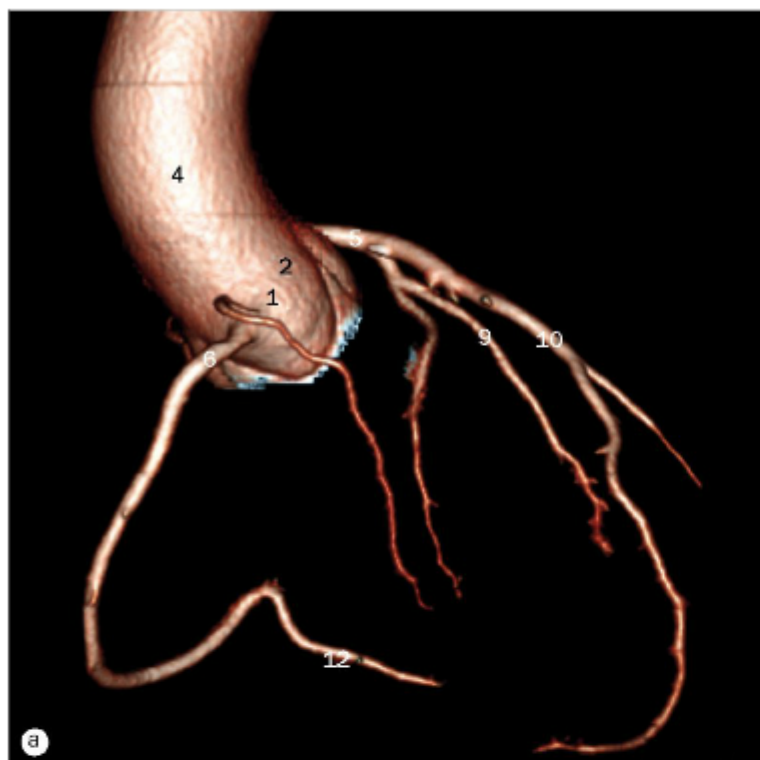
Angiografia do ventrículo direito, (a) projeção anteroposterior, (b) projeção lateral.

- 1 Cateter no ventrículo direito via veia cava inferior e átrio direito
- 2 Artéria pulmonar esquerda
- 3 Tronco pulmonar
- 4 Valva do tronco pulmonar
- 5 Átrio direito
- 6 Artéria pulmonar direita
- 7 Ventrículo direito
- 8 Trato de saída do ventrículo direito
- 9 Trabéculas do ventrículo direito
- 10 Valva atrioventricular direita (tricúspide)



(a) Arteriografia coronária esquerda, (b) arteriografia coronária direita, (c) angiografia ventricular esquerda, fase diastólica, (d) angiografia ventricular esquerda, fase sistólica.

- | | | |
|--------------------------------|--|---|
| 1 Aorta | 10 Primeiro ramo marginal do ramo circumflexo | 17 Ventrículo esquerdo |
| 2 Seio da aorta | 11 Parede inferior do ventrículo esquerdo | 18 Trato de saída do ventrículo esquerdo |
| 3 Valva da aorta | 12 Ramo ventricular lateral para o ventrículo esquerdo | 19 Valva atrioventricular esquerda (mitral) |
| 4 Ápice do ventrículo esquerdo | 13 Ramo interventricular anterior contornando o ápice do coração | 20 Ramo interventricular posterior |
| 5 Ramo do nó atrioventricular | 14 Ramo interventricular anterior | 21 Artéria coronária direita |
| 6 Ramo para o átrio esquerdo | 15 Artéria coronária esquerda | 22 Ramos marginais direitos |
| 7 Ramo circumflexo | 16 Artéria coronária esquerda | 23 Ramos septais |
| 8 Ramo do cone arterial | | 24 Ramo do nó sinoatrial |
| 9 Ramos diagonais | | |

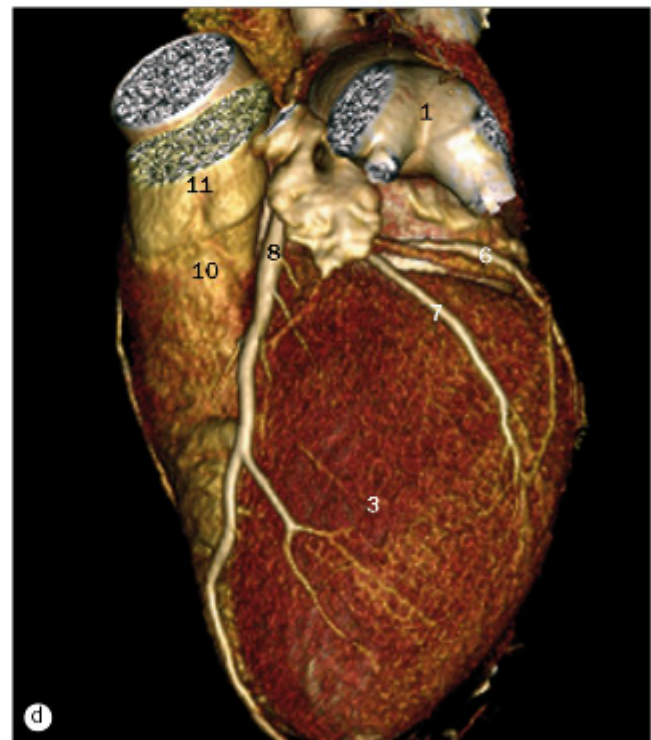
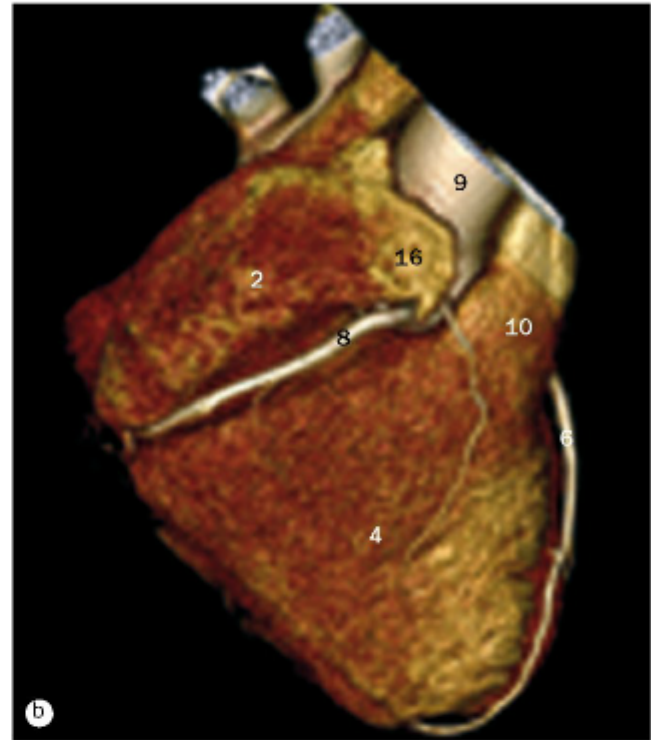


(a)-(d) Angiotomografias tridimensionais das coronárias.

1 Válvula semilunar direita da valva da aorta
 2 Válvula semilunar esquerda da valva da aorta
 3 Válvula semilunar posterior da valva da aorta
 4 Parte ascendente da aorta
 5 Artéria coronária esquerda
 6 Artéria coronária direita

7 Ramo marginal direito da artéria coronária direita
 8 Ramo circunflexo
 9 Ramo lateral (diagonal) do ramo interventricular anterior
 10 Ramo interventricular anterior da artéria coronária esquerda

11 Ramo marginal esquerdo
 12 Ramo marginal esquerdo
 13 Ramo do cone arterial
 14 Ramo do nó atrioventricular
 15 Ramo interventricular posterior da artéria coronária direita

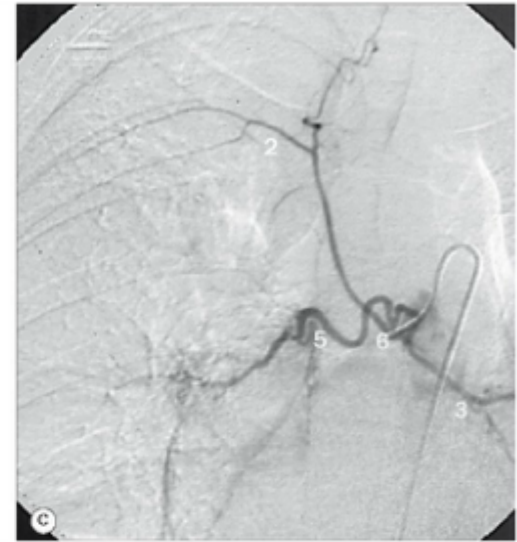
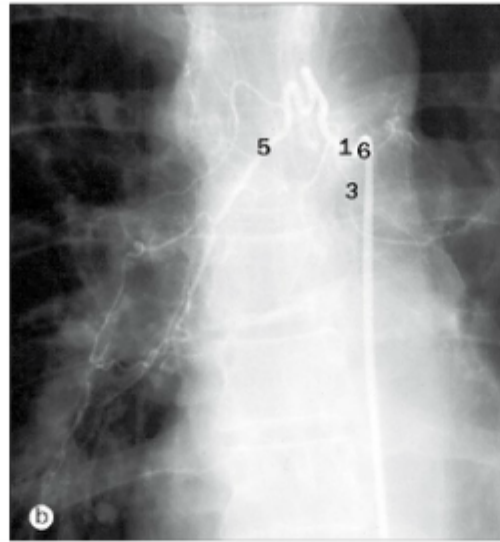
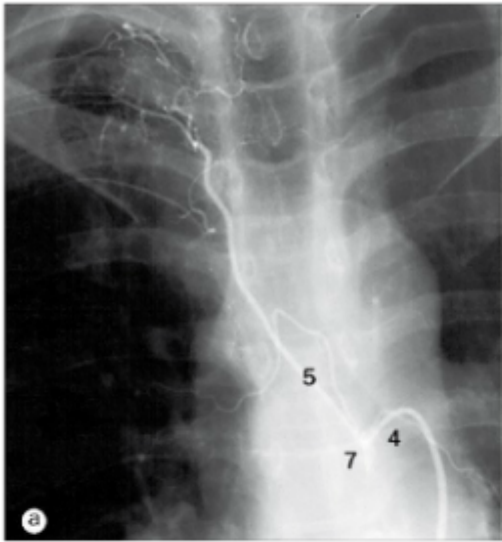


(a)-(d) Reconstruções de TC tridimensional do coração.

1 Átrio esquerdo
2 Átrio direito
3 Ventrículo esquerdo
4 Ventrículo direito
5 Artéria coronária esquerda

6 Ramo interventricular anterior da artéria coronária esquerda
7 Ramo circunflexo
8 Artéria coronária direita
9 Aorta
10 Trato de saída do tronco pulmonar

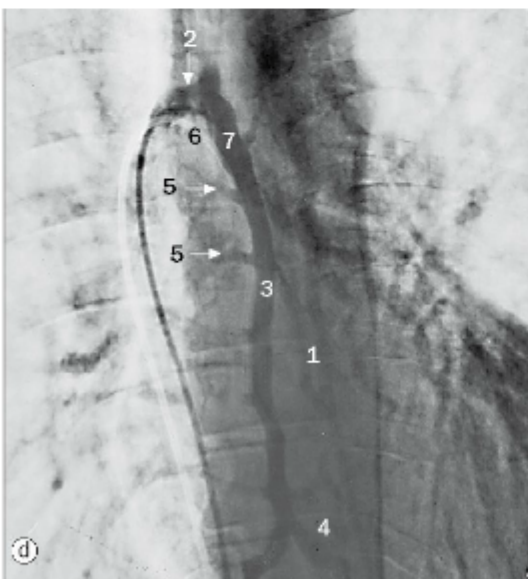
11 Artéria pulmonar
12 Aurícula esquerda
13 Veias pulmonares direitas
14 Veias pulmonares esquerdas
15 Veia cava superior
16 Aurícula direita



(a)-(c) Arteriografias das artérias bronquiais à direita.

Observa-se uma grande variabilidade na anatomia das artérias bronquiais, mas a maioria se origina da parte descendente da aorta na região torácica, acima do nível do tronco do brônquio principal esquerdo entre a borda superior da quinta vértebra torácica e a borda inferior da sexta vértebra torácica. O número de ramos bronquiais em cada lado pode variar entre um e quatro. Geralmente, observa-se um vaso para o pulmão direito e dois para o esquerdo. Ramos bronquiais acessórios podem se originar da artéria braquiocefálica e das artérias subclávias, ou de outros ramos como as artérias torácica interna, pericardicofrênica e esofágica. Em muitos casos, o ramo bronquial direito se origina de um tronco intercostobronquial, mas neste exemplo o tronco é muito curto e se divide quase imediatamente em um ramo bronquial direito, que se direciona para o hilo, e a primeira artéria intercostal posterior direita. Observa-se o enchimento por refluxo do ramo bronquial esquerdo. Um segundo ramo bronquial maior do que foi cateterizado (b) possui um tronco comum que se origina da frente da aorta, dando origem a um ramo bronquial direito e um esquerdo.

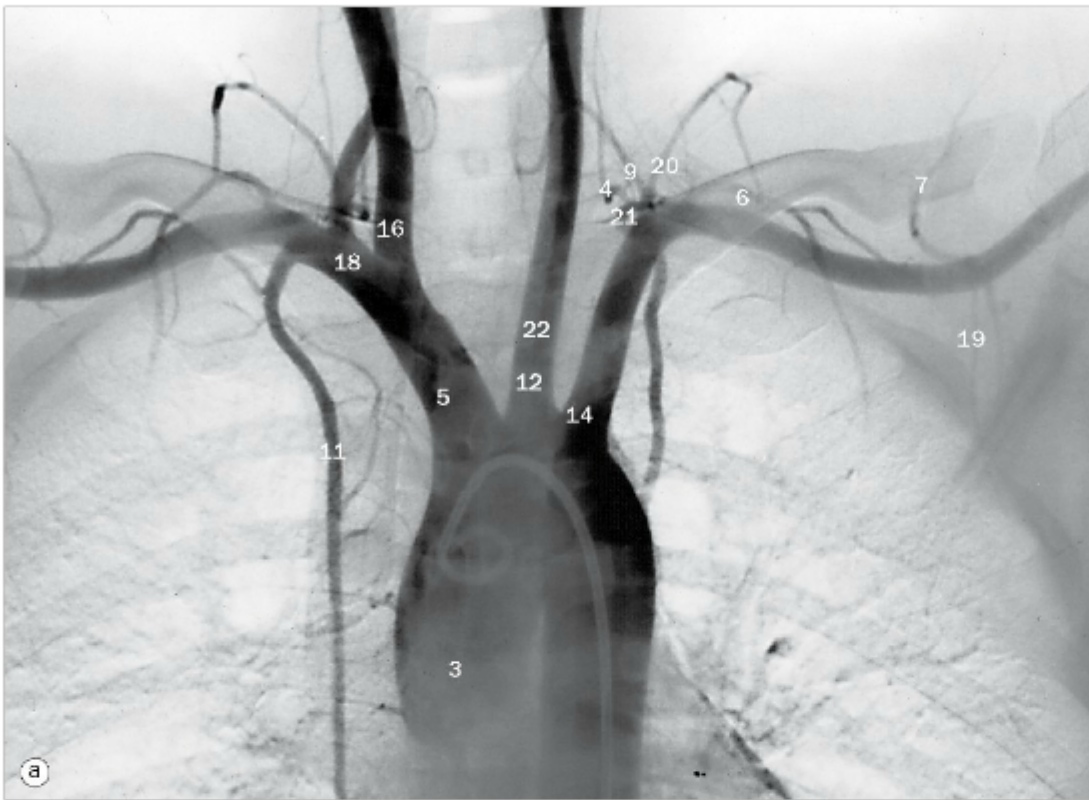
- 1 Tronco bronquial comum
- 2 Artéria intercostal posterior
- 3 Ramos bronquiais esquerdos
- 4 Enchimento por refluxo do ramo bronquial esquerdo
- 5 Ramo bronquial direito
- 6 Ponta do cateter no tronco bronquial comum
- 7 Ponta do cateter no tronco intercostobronquial



(d) Venografia da ázigo.

No tórax, as veias vertebrais drenam para as veias intercostais posteriores, enquanto na região lombar as veias lombares drenam para as veias lombares ascendentes. A veia lombar ascendente direita se torna a veia ázigo ao entrar no tórax e a veia lombar ascendente esquerda se torna a veia hemiázigos. No nível da quarta vértebra torácica, a veia ázigo curva-se anteriormente (o arco da ázigo) para entrar na veia cava superior. A veia hemiázigos cruza para se unir à veia ázigo no nível do oitavo ou nono corpo vertebral torácico. A veia hemiázigos acessória é contínua com a veia hemiázigos inferiormente e a veia intercostal superior esquerda superiormente.

- 1 Veia hemiázigos acessória
- 2 Arco da veia ázigo
- 3 Veia ázigo
- 4 Veia hemiázigos
- 5 Veias intercostais posteriores
- 6 Artefato de subtração causado pelo movimento cardíaco e do cateter
- 7 Ponta do cateter introduzido via veia femoral passando pela veia cava inferior e veia ázigo

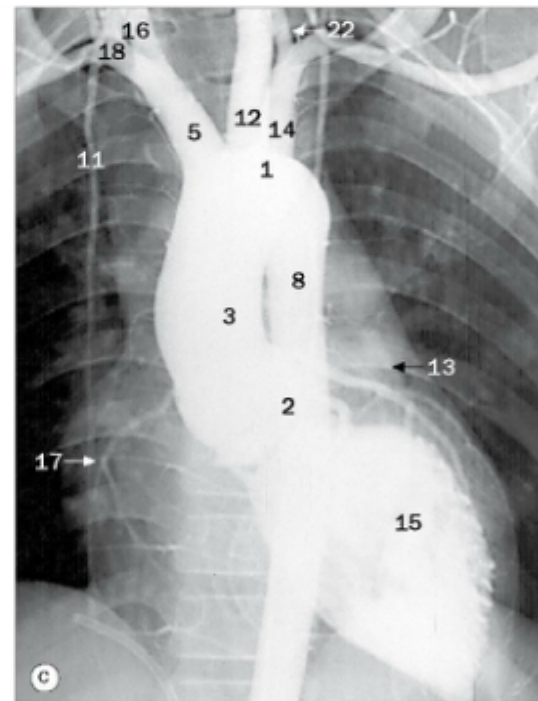


(a) Aortografia do arco da aorta por subtração, imagem anteroposterior. A artéria vertebral (22) possui uma origem separada fora do arco, projetada sobre a artéria carótida comum esquerda nesta imagem. Esta é uma variante normal.

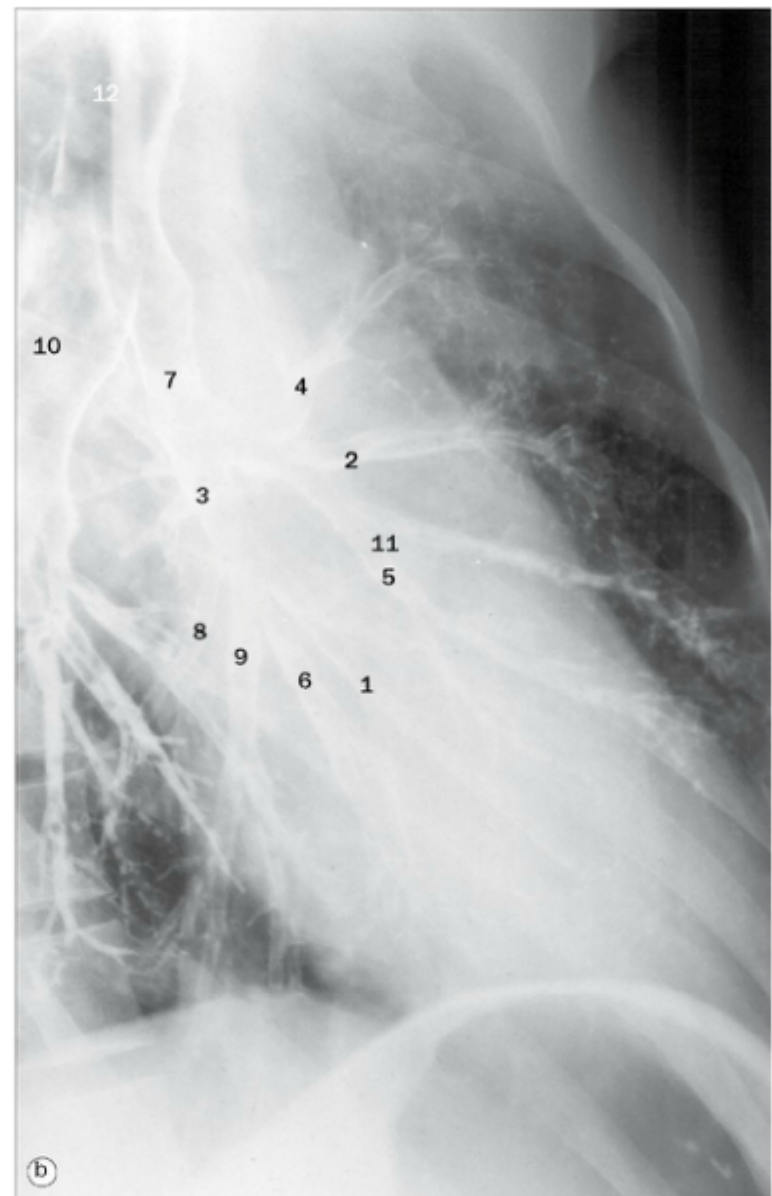
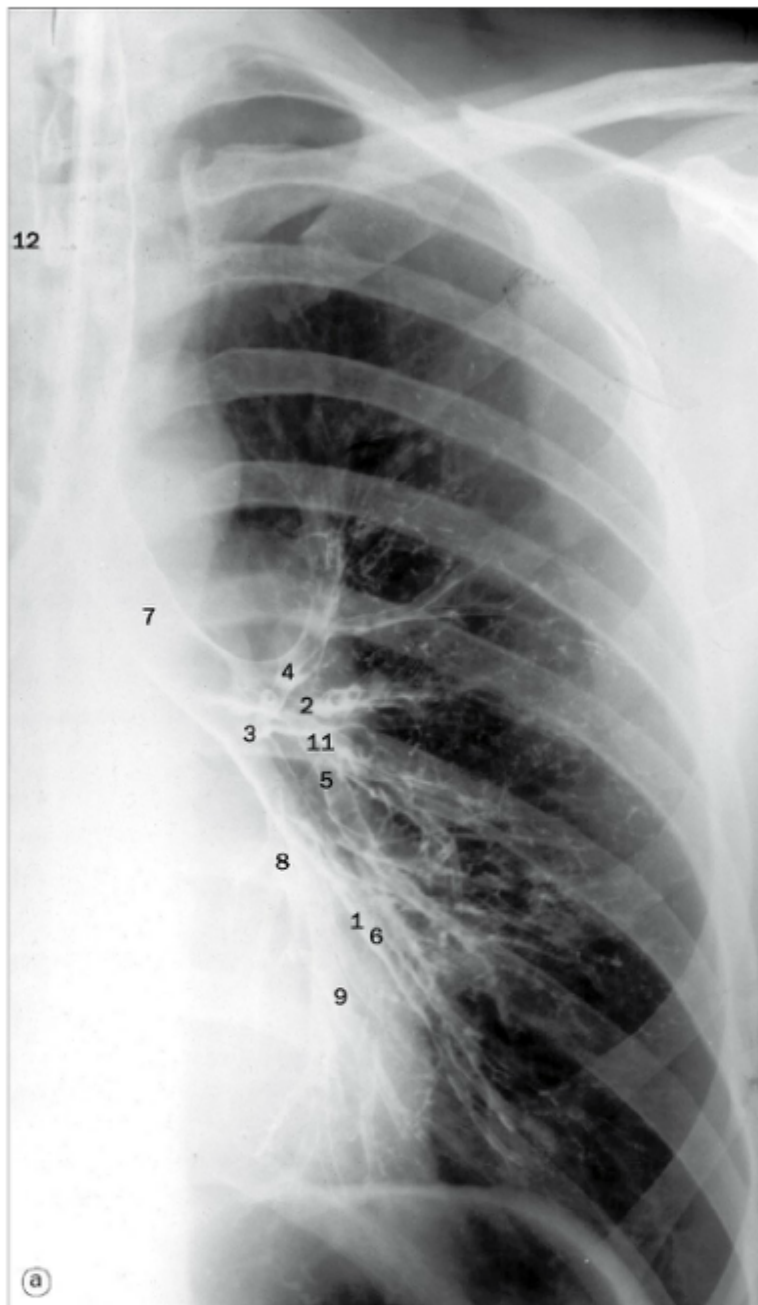
(b) Aortografia do arco da aorta por subtração, imagem oblíqua anterior esquerda.

As origens dos ramos supra-aórticos são mais bem demonstradas pela projeção oblíqua anterior esquerda, de modo que os vasos não ficam superpostos. Existem diversas variações congênicas na forma em que os principais vasos se originam do arco da aorta, mas as mais comuns são demonstradas aqui.

(c) Angiografia ventricular esquerda.

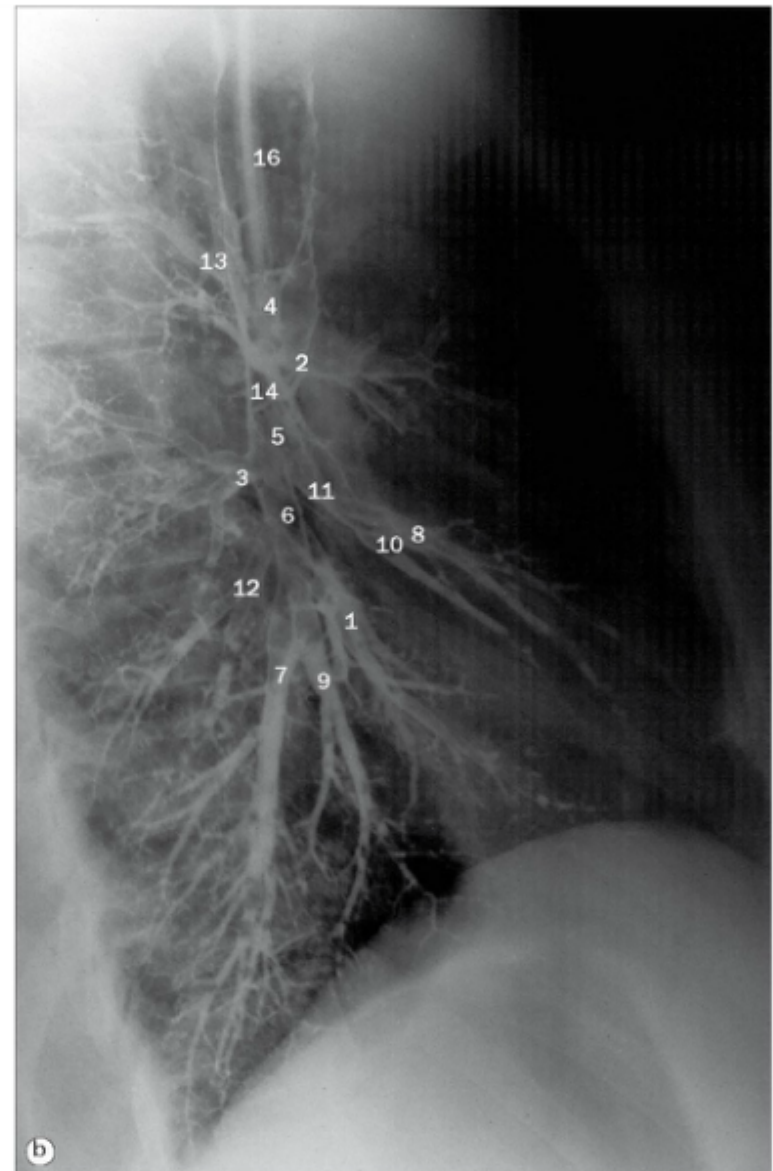
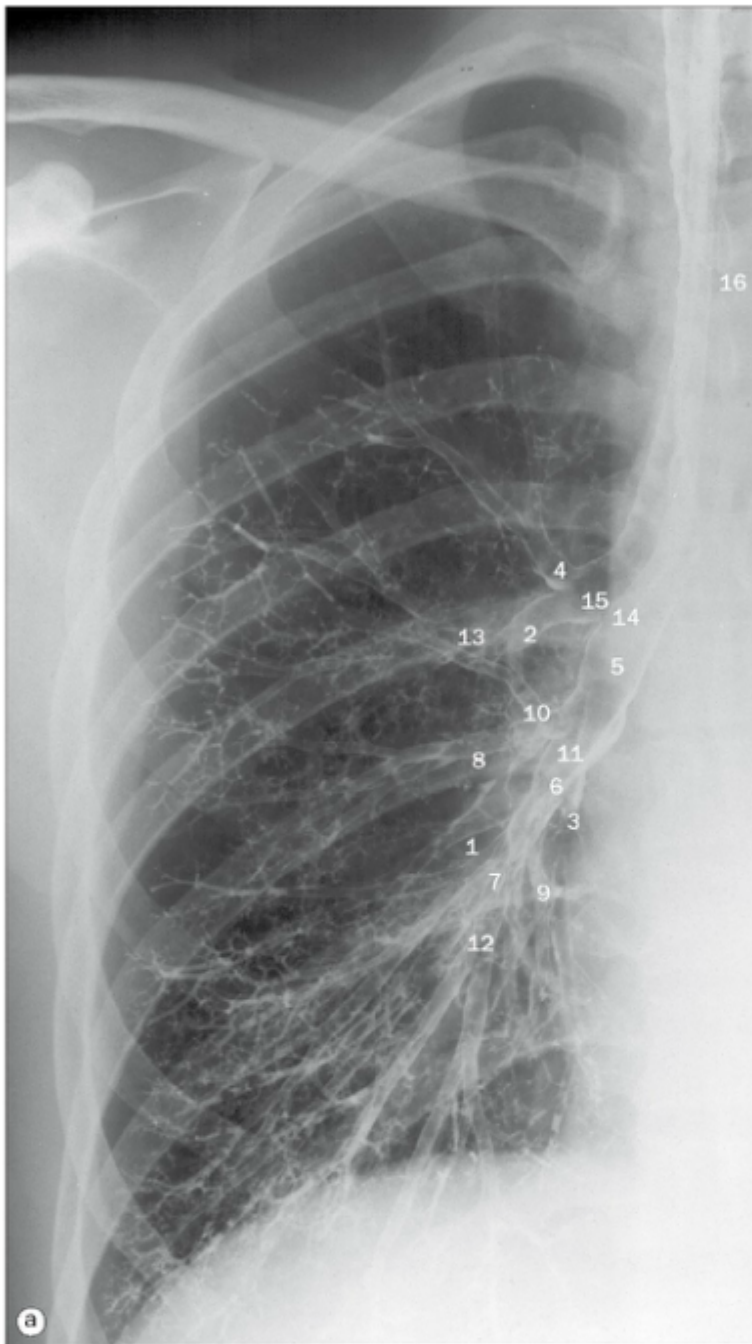


- | | |
|--|------------------------------------|
| 1 Arco da aorta | 12 Artéria carótida comum esquerda |
| 2 Valva da aorta | 13 Artéria coronária esquerda |
| 3 Parte ascendente da aorta | 14 Artéria subclávia esquerda |
| 4 Artéria cervical ascendente | 15 Ventrículo esquerdo |
| 5 Tronco braquiocefálico | 16 Artéria carótida comum direita |
| 6 Tronco costocervical | 17 Artéria coronária direita |
| 7 Ramo deltóideo da artéria toracoacromial | 18 Artéria subclávia direita |
| 8 Parte descendente da aorta | 19 Artéria torácica superior |
| 9 Artéria tireóidea inferior | 20 Artéria supraescapular |
| 10 Artéria intercostal | 21 Tronco tireocervical |
| 11 Artéria torácica interna | 22 Artéria vertebral direita |



Broncografia do pulmão esquerdo, (a) imagem posteroanterior, (b) projeção oblíqua.

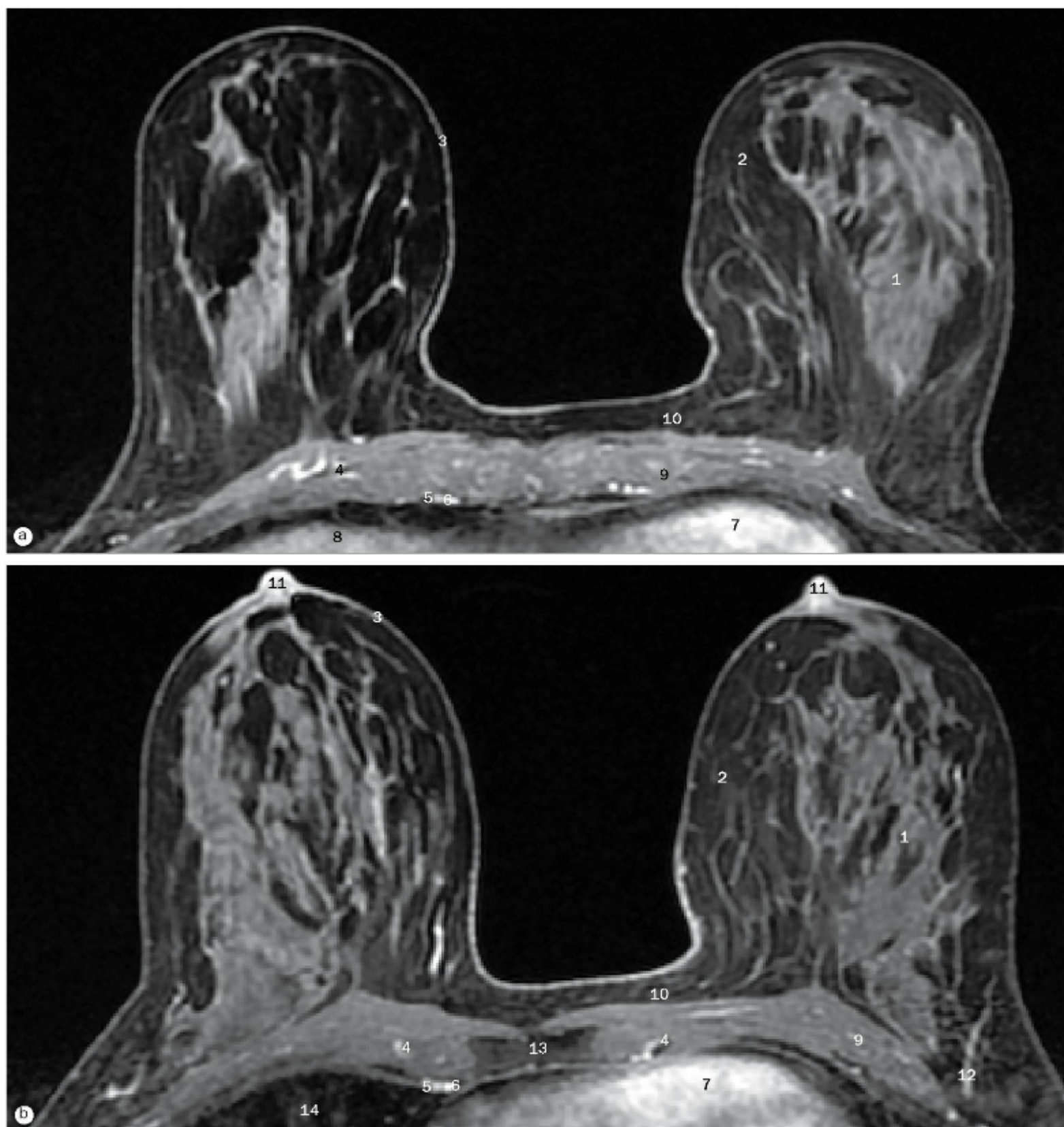
- 1 Brânquio segmentar basilar anterior
- 2 Brânquio segmentar anterior
- 3 Brânquio segmentar apical
- 4 Brânquio segmentar apicoposterior
- 5 Brânquio lingular inferior
- 6 Brânquio segmentar basilar lateral
- 7 Brânquio principal esquerdo
- 8 Brânquio segmentar basilar medial
- 9 Brânquio segmentar basilar posterior
- 10 Brânquio principal direito
- 11 Brânquio lingular superior
- 12 Traqueia



Broncografia do pulmão direito, (a) projeção posteroanterior, (b) projeção lateral.

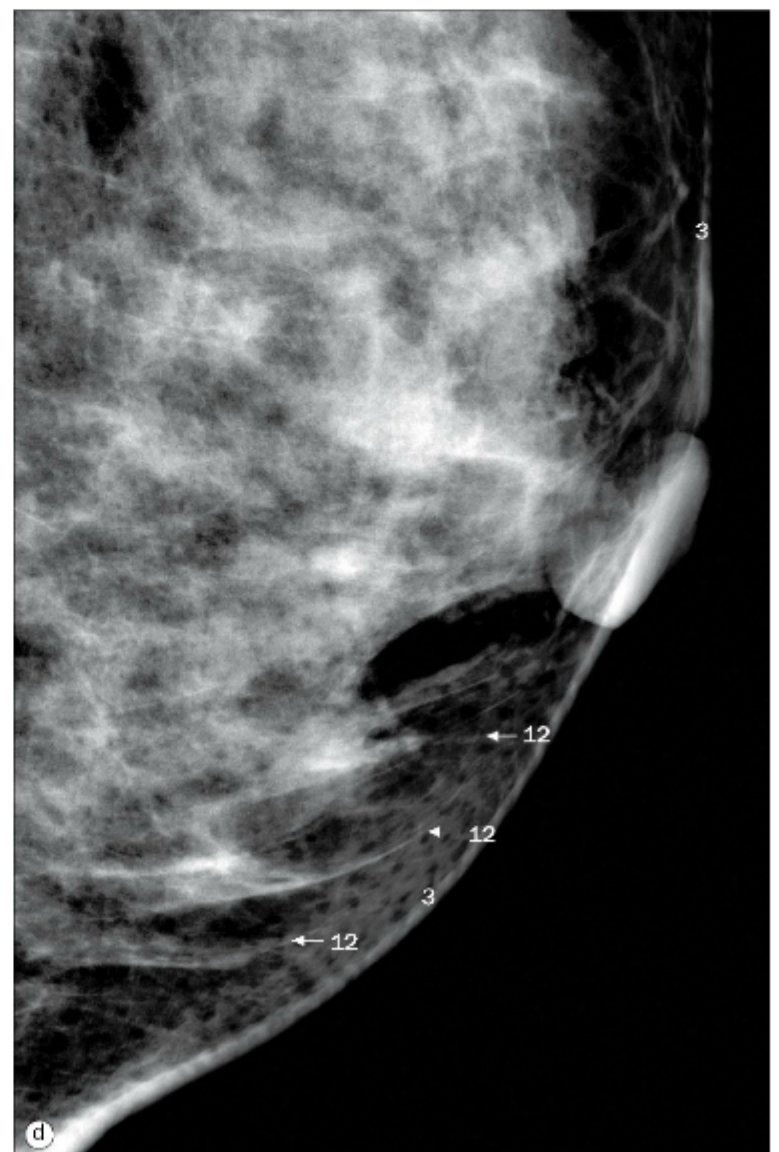
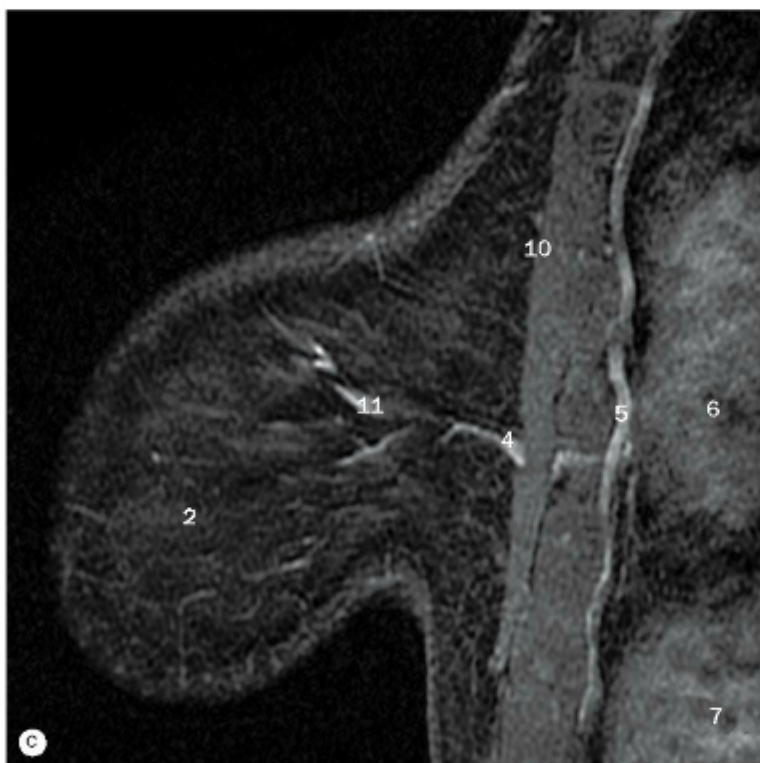
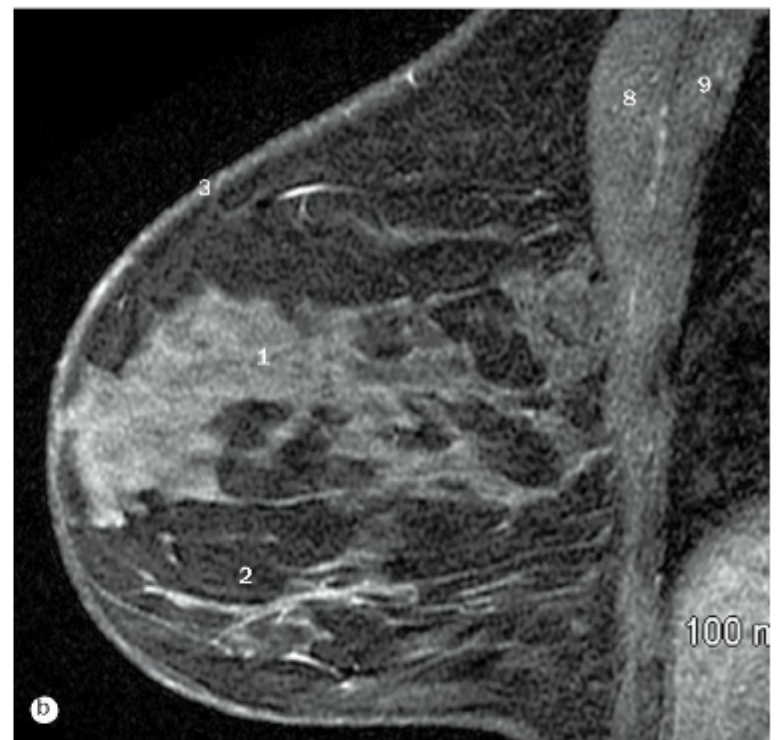
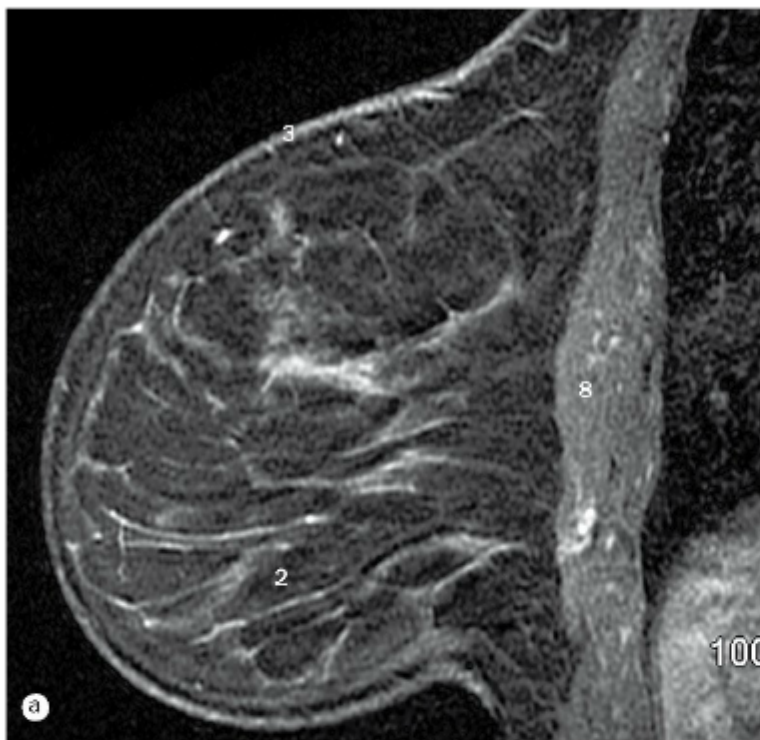
- 1 Brânquio segmentar basilar anterior
- 2 Brânquio segmentar anterior
- 3 Brânquio segmentar superior
- 4 Brânquio segmentar apical
- 5 Brânquio intermédio (continuação do brânquio principal direito)
- 6 Brânquio lobar inferior esquerdo
- 7 Brânquio segmentar basilar lateral
- 8 Brânquio segmentar lateral do lobo médio

- 9 Brânquio segmentar basilar medial
- 10 Brânquio segmentar medial do lobo médio
- 11 Brânquio lobar médio
- 12 Brânquio segmentar basilar posterior
- 13 Brânquio segmentar posterior
- 14 Brânquio principal direito
- 15 Brânquio lobar superior direito
- 16 Traqueia



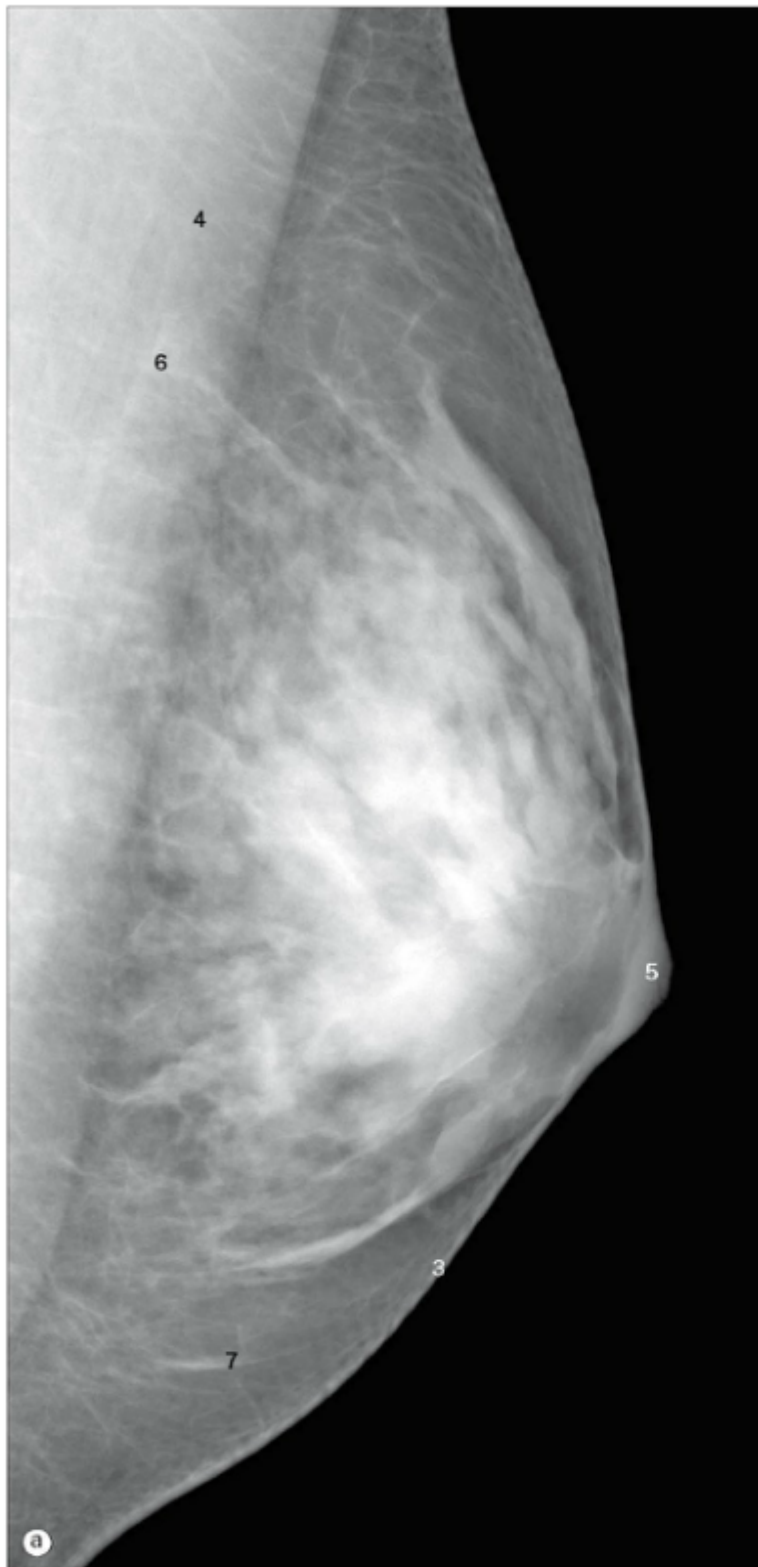
Mamografias, imagens de ressonância magnética.

- | | | |
|--|----------------------------------|---|
| 1 Tecido fibroglandular (da mama direita) | 6 Artéria torácica interna | 12 Ramos mamários da artéria torácica lateral |
| 2 Tecido adiposo da mama | 7 Coração | 13 Esterno |
| 3 Pele | 8 Fígado | 14 Lobo médio do pulmão direito |
| 4 Ramo perfurante anterior da artéria torácica interna | 9 Músculo peitoral maior | |
| 5 Veia torácica interna | 10 Fáscia peitoral anterior | |
| | 11 Papila mamária/aréola da mama | |



Mamas, (a)-(c) imagens de ressonância magnética, (d) imagem radiológica de mamografia.

- | | |
|--|-----------------------------------|
| 1 Tecido fibroglandular (da mama direita) | 7 Fígado |
| 2 Tecido adiposo da mama | 8 Músculo peitoral menor |
| 3 Pele | 9 Músculo peitoral maior |
| 4 Ramo perfurante anterior da artéria torácica interna | 10 Fáscia peitoral anterior |
| 5 Artéria torácica interna | 11 Vasos intramamários |
| 6 Coração | 12 Ligamentos suspensores da mama |

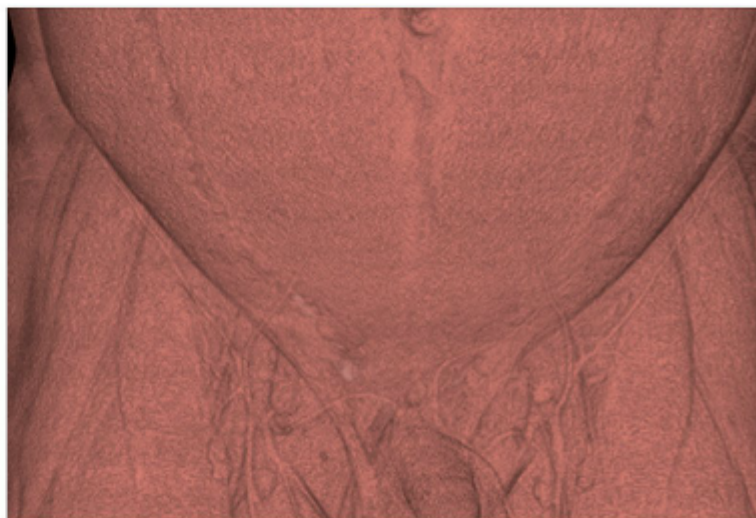
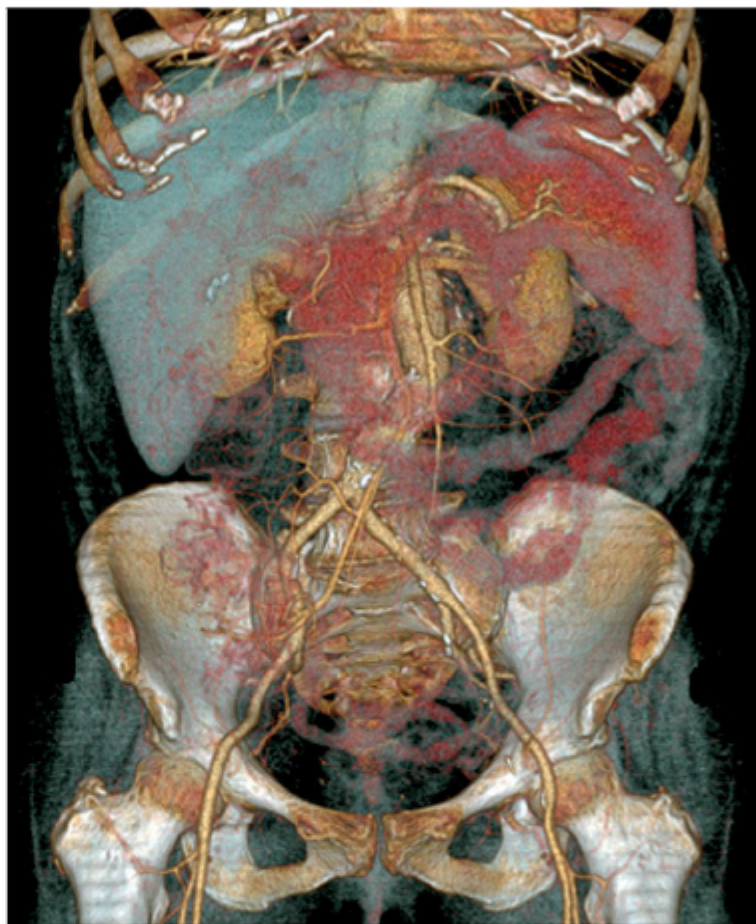
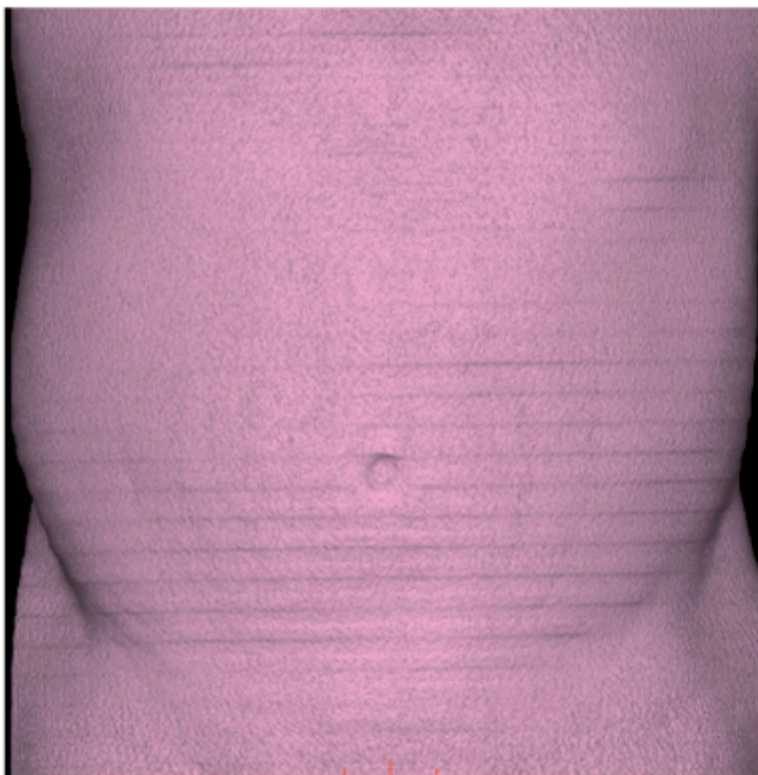


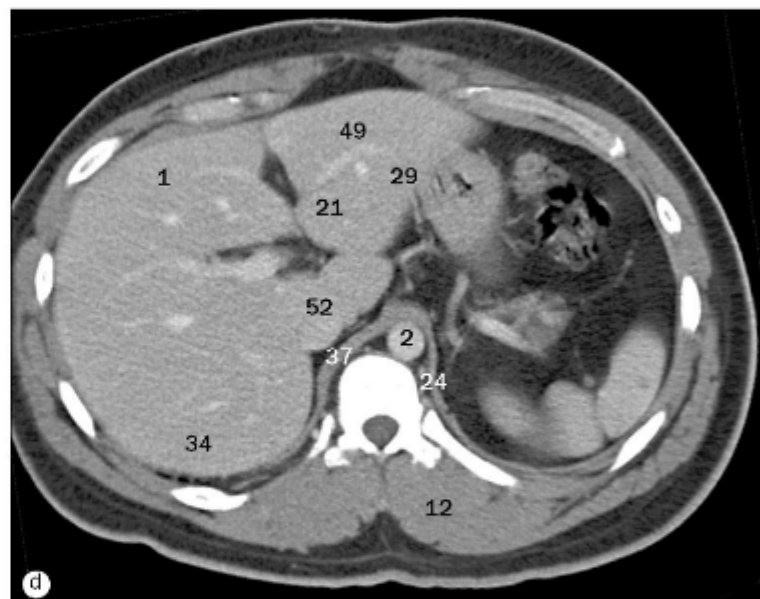
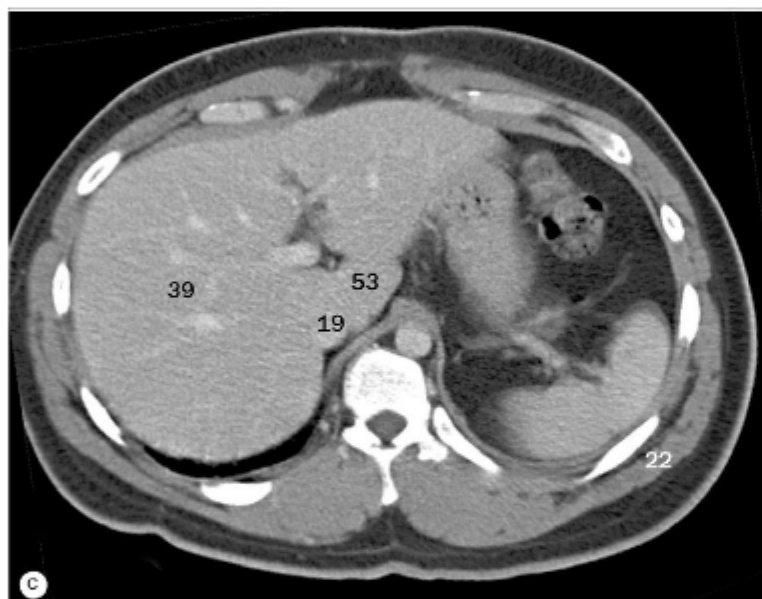
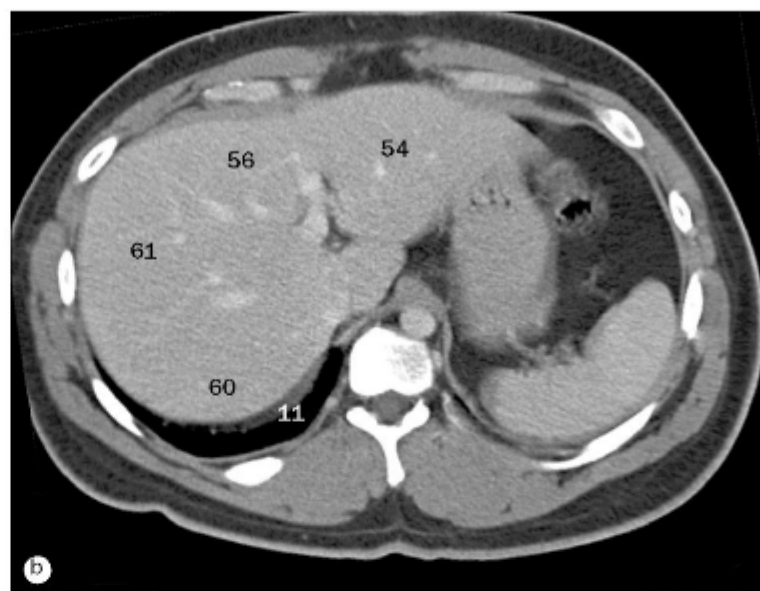
Mamografias.

- | | |
|---|---------------------------------|
| 1 Tecido fibroglandular (da mama direita) | 4 Músculo peitoral maior |
| 2 Tecido adiposo da mama | 5 Papila mamária/aréola da mama |
| 3 Pele | 6 Vaso |
| | 7 Ligamento suspensor da mama |

5

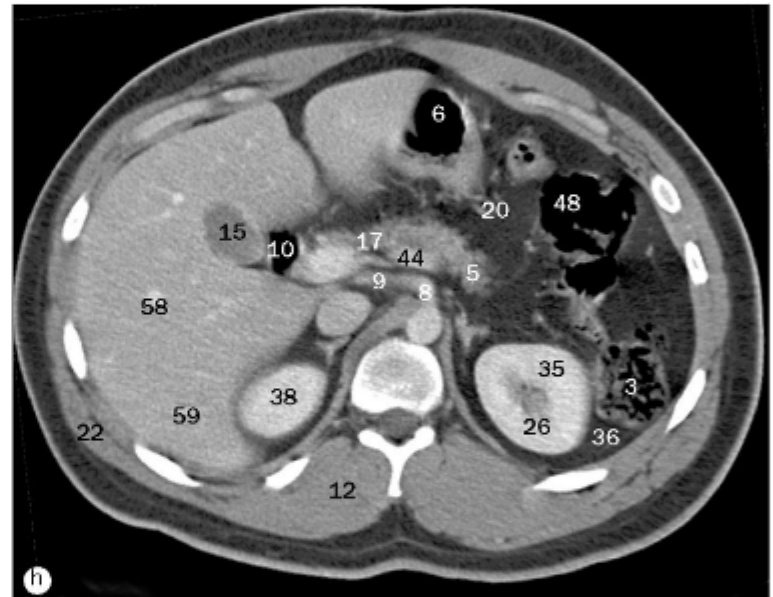
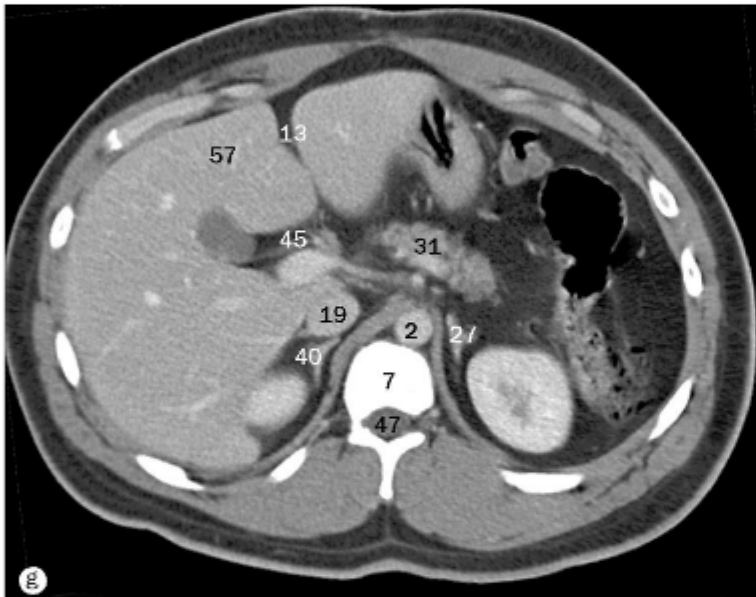
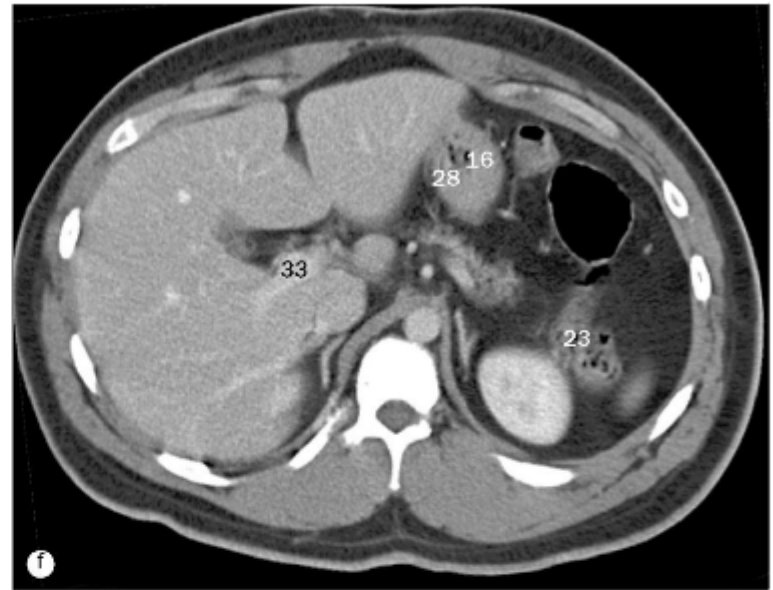
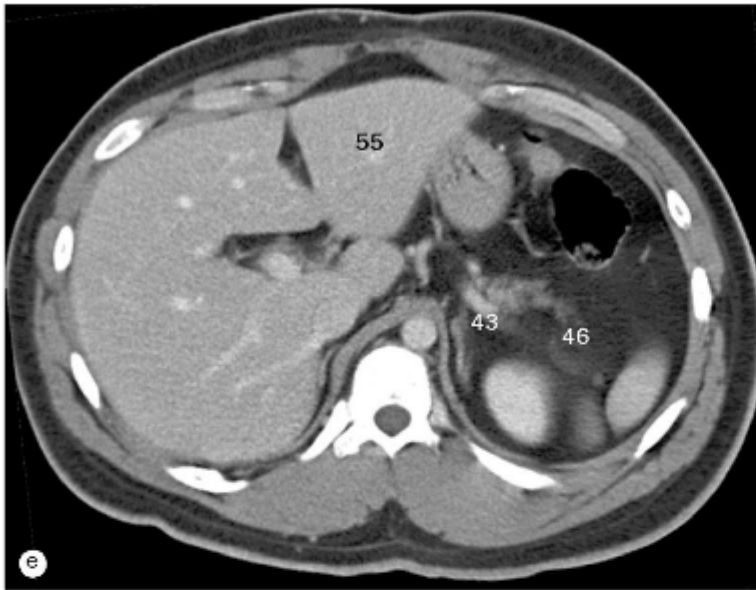
Abdome e pelve – Corte transversal





(a)-(h) Imagens axiais e sequenciais de TC do abdome e da pelve de um homem, da região superior para inferior.
Nota: as páginas 124-135 mostram imagens sequenciais do abdome e da pelve do mesmo paciente masculino.

- | | | |
|--|---|--|
| 1 Segmento anterior do lobo hepático direito | 14 Fundo gástrico | 28 Curvatura menor do estômago |
| 2 Aorta | 15 Vesícula biliar | 29 Segmento medial do lobo hepático esquerdo |
| 3 Colo descendente | 16 Curvatura maior do estômago | 30 Veia hepática intermédica |
| 4 Veia ázigo | 17 Cabeça do pâncreas | 31 Colo do pâncreas |
| 5 Corpo do pâncreas | 18 Veia hemiáximo | 32 Esôfago |
| 6 Corpo gástrico | 19 Veia cava inferior | 33 Veia porta |
| 7 Corpo vertebral | 20 Jejuno | 34 Segmento posterior do lobo hepático direito |
| 8 Tronco celíaco | 21 Segmento lateral do lobo hepático esquerdo | 35 Córtex renal |
| 9 Artéria hepática comum | 22 Músculo latíssimo do dorso | 36 Fâscia renal |
| 10 Parte descendente do duodeno | 23 Flexura esquerda do colo | 37 Pilar direito do diafragma |
| 11 Diafragma | 24 Pilar esquerdo do diafragma | 38 Rim direito |
| 12 Músculo eretor da espinha | 25 Veia hepática esquerda | 39 Lobo hepático direito |
| 13 Fissura do ligamento venoso | 26 Rim esquerdo | |
| | 27 Glândula suprarrenal esquerda | |

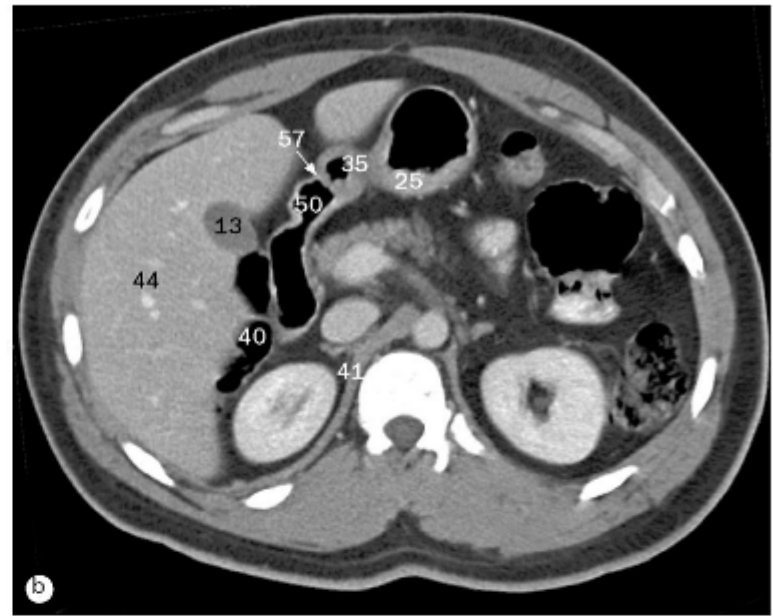
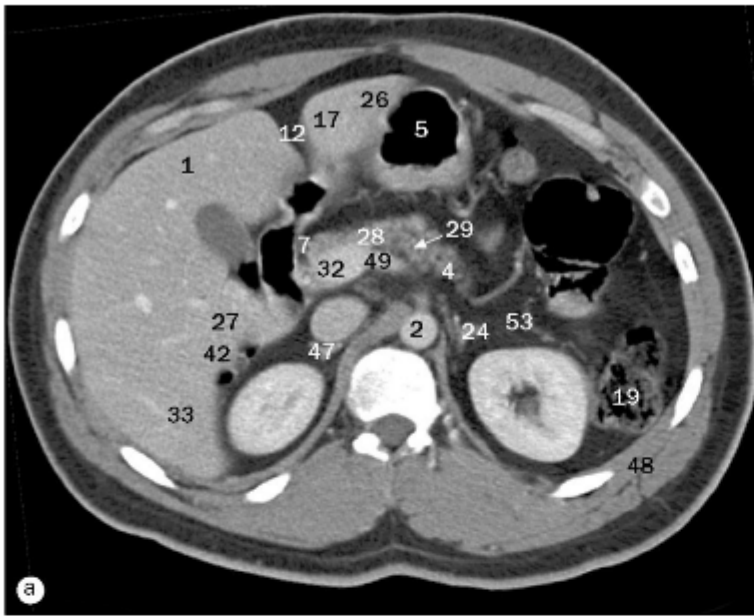


(a)-(h) Imagens axiais e sequenciais de TC do abdome e da pelve de um indivíduo masculino, da região superior para inferior.

40 Glândula suprarrenal direita
 41 Músculo serrátil anterior
 42 Baço
 43 Artéria esplênica
 44 Veia esplênica
 45 Parte superior do duodeno
 46 Cauda do pâncreas
 47 Saco tecal
 48 Colo transverso
 49 Lobo hepático esquerdo

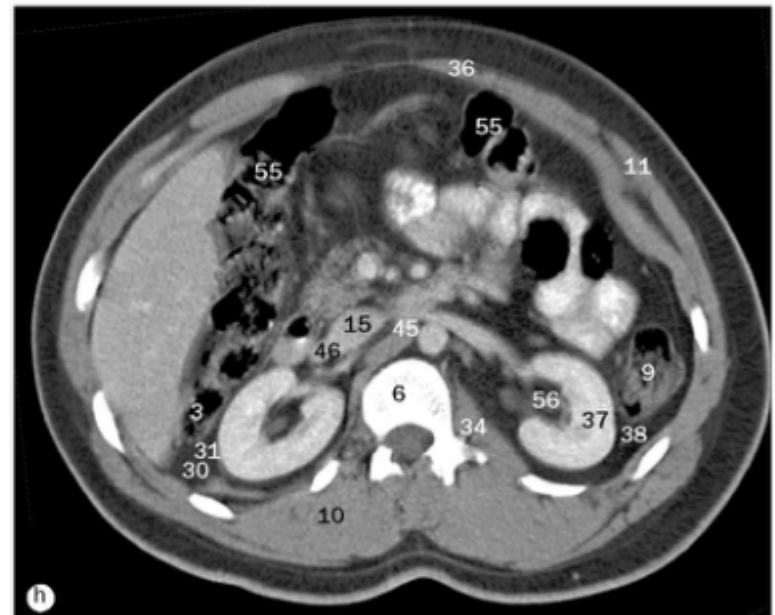
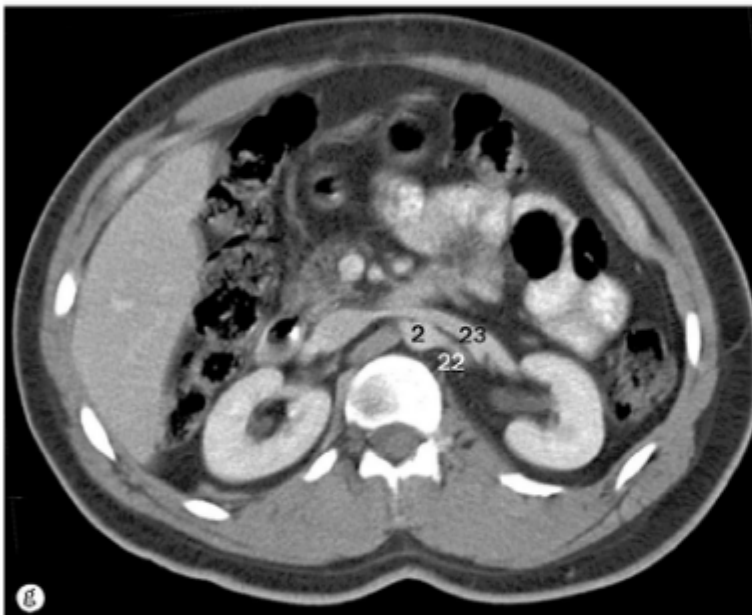
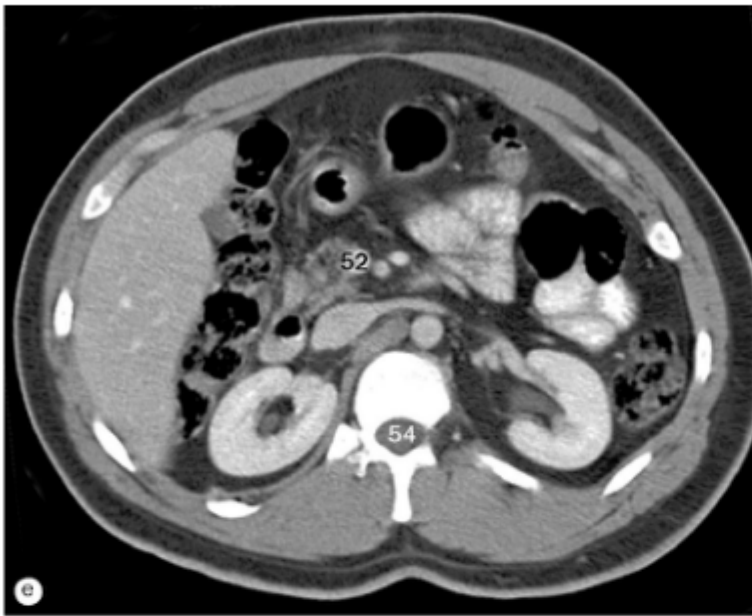
50 Lobo inferior direito do pulmão
 51 Lobo inferior esquerdo do pulmão
 52 Lobo caudado do fígado
 53 Segmento 1 do fígado (posterior)
 54 Segmento 2 do fígado (segmento posterior lateral esquerdo)
 55 Segmento 3 do fígado (segmento anterior lateral esquerdo)
 56 Segmento 4A (subsegmento medial esquerdo superior)

57 Segmento 4B do fígado (subsegmento medial esquerdo inferior)
 58 Segmento 5 do fígado (segmento anterior medial direito)
 59 Segmento 6 do fígado (segmento anterior lateral direito)
 60 Segmento 7 do fígado (segmento posterior lateral direito)
 61 Segmento 8 do fígado (segmento posterior medial direito)



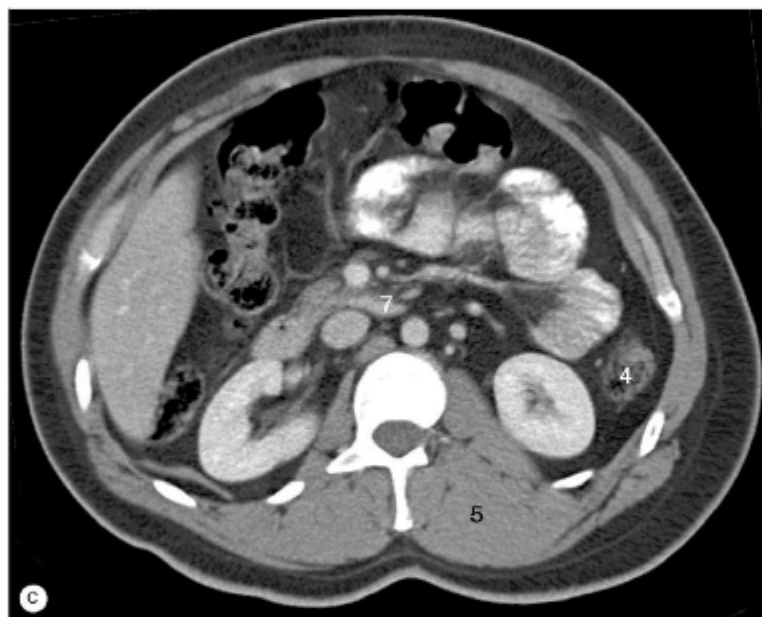
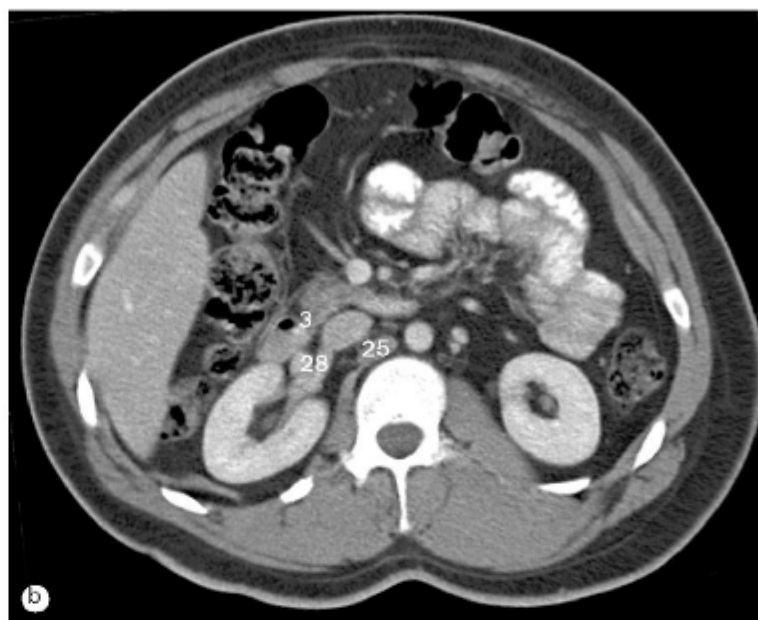
(a)-(h) Imagens axiais e sequenciais de TC do abdome e da pelve de um indivíduo masculino, da região superior para inferior.

- | | | |
|--|---|--|
| 1 Segmento anterior do lobo hepático direito | 11 Músculo oblíquo externo do abdome | 21 Rim esquerdo |
| 2 Aorta | 12 Fissura do ligamento venoso | 22 Artéria renal esquerda |
| 3 Colo ascendente | 13 Vesícula biliar | 23 Veia renal esquerda |
| 4 Corpo do pâncreas | 14 Cabeça do pâncreas | 24 Glândula suprarrenal esquerda |
| 5 Corpo gástrico | 15 Veia cava inferior | 25 Curvatura menor do estômago |
| 6 Corpo vertebral | 16 Jejuno | 26 Segmento medial do lobo hepático esquerdo |
| 7 Ducto colédoco | 17 Segmento lateral do lobo hepático esquerdo | 27 Veia hepática intermédia |
| 8 Parte descendente do duodeno | 18 Músculo latíssimo do dorso | 28 Colo do pâncreas |
| 9 Colo descendente | 19 Flexura esquerda do colo | 29 Ducto pancreático |
| 10 Músculo eretor da espinha | 20 Pilar esquerdo do diafragma | 30 Corpo adiposo pararrenal |



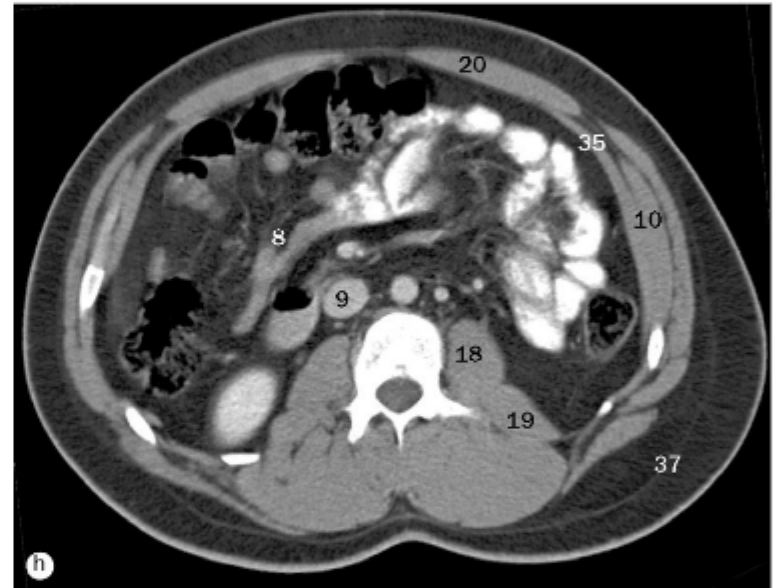
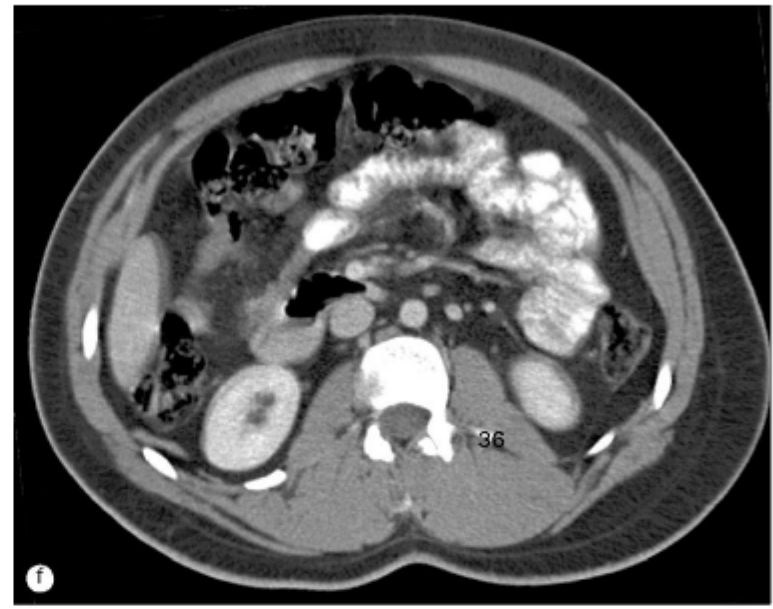
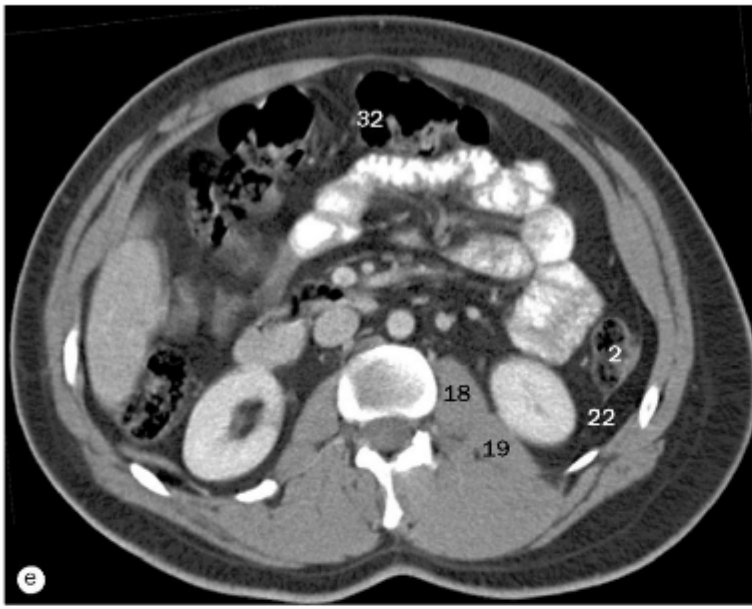
(a)-(h) Imagens axiais e sequenciais de TC do abdome e da pelve de um indivíduo masculino, da região superior para inferior.

- | | | |
|--|---------------------------------|---------------------------------|
| 31 Cápsula adiposa | 40 Flexura direita do colo | 49 Veia esplênica |
| 32 Veia porta | 41 Pilar direito do diafragma | 50 Parte superior do duodeno |
| 33 Segmento posterior do lobo hepático direito | 42 Veia hepática direita | 51 Artéria mesentérica superior |
| 34 Músculo psoas maior | 43 Rim direito | 52 Veia mesentérica superior |
| 35 Parte pilórica do estômago | 44 Lobo hepático direito | 53 Cauda do pâncreas |
| 36 Músculo reto do abdome | 45 Artéria renal direita | 54 Saco tecal |
| 37 Córtex renal | 46 Veia renal direita | 55 Colo transverso |
| 38 Fáscia renal | 47 Glândula suprarrenal direita | 56 Tecido adiposo do seio renal |
| 39 Pelve renal | 48 Músculo serrátil anterior | 57 Píloro |



(a)-(h) Imagens axiais e sequenciais de TC do abdome e da pelve de um indivíduo masculino, da região superior para inferior.

- | | | |
|-------------------------------------|--------------------------------------|------------------------------|
| 1 Aorta | 8 Íleo | 15 Rim esquerdo |
| 2 Colo ascendente | 9 Veia cava inferior | 16 Corpo adiposo pararenal |
| 3 Parte descendente do duodeno | 10 Músculo oblíquo externo do abdome | 17 Cápsula adiposa |
| 4 Colo descendente | 11 Jejunó | 18 Músculo psoas maior |
| 5 Músculo eretor da espinha | 12 Músculo latíssimo do dorso | 19 Músculo quadrado do lombo |
| 6 Músculo oblíquo externo do abdome | 13 Flexura esquerda do colo | 20 Músculo reto do abdome |
| 7 Parte horizontal do duodeno | 14 Pilar esquerdo do diafragma | 21 Córtex renal |

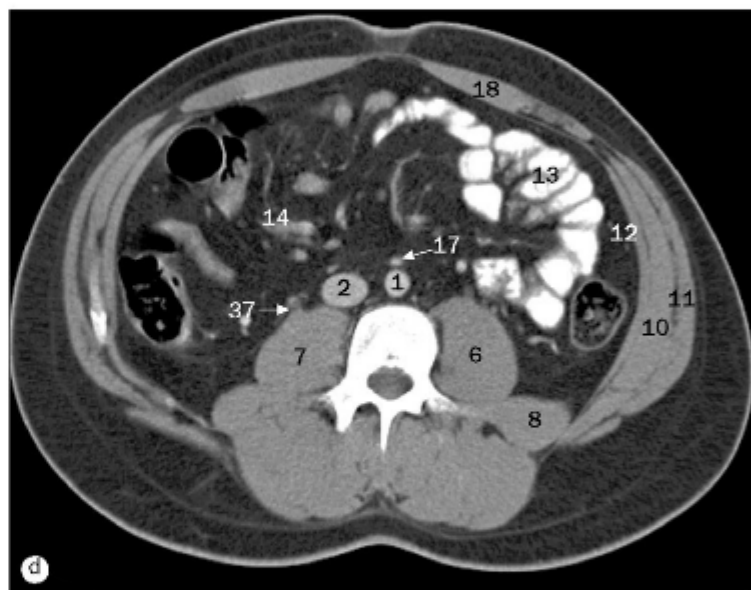
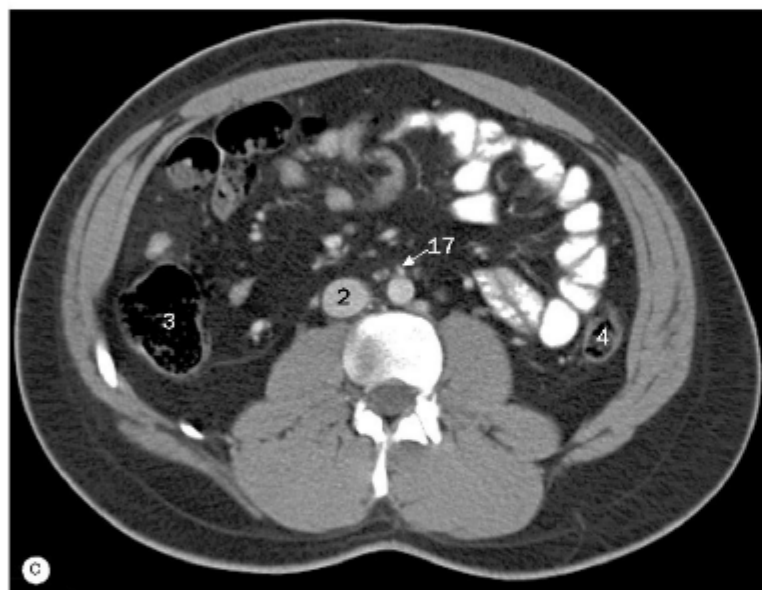
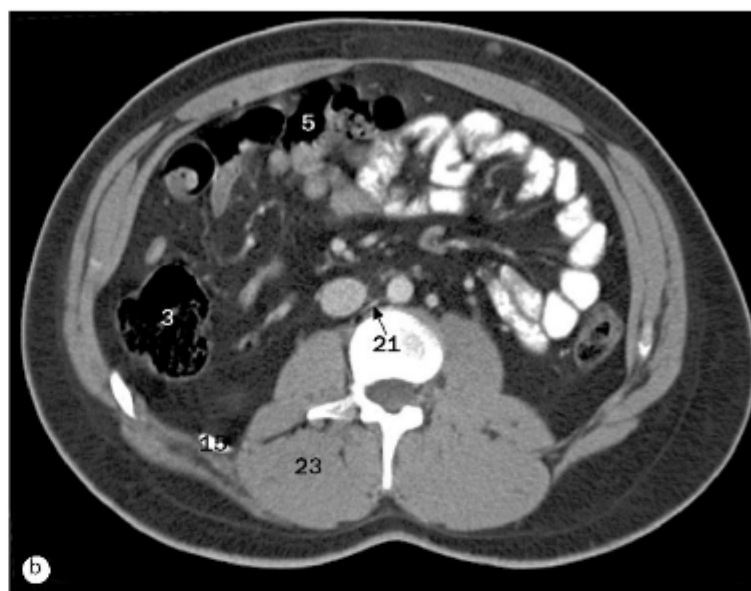
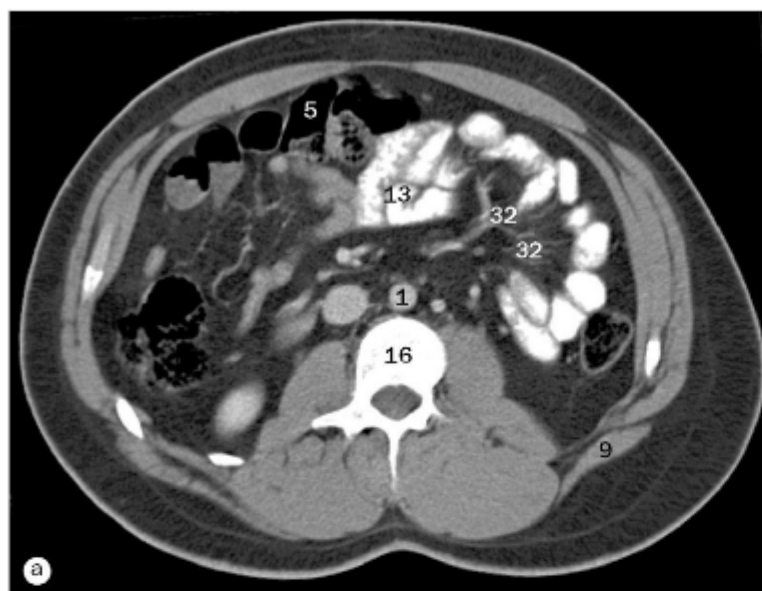


(a)-(h) Imagens axiais e sequenciais de TC do abdome e da pelve de um indivíduo masculino, da região superior para inferior.

22 Fáscia renal
 23 Pelve renal
 24 Flexura direita do colo
 25 Pilar direito do diafragma
 26 Rim direito
 27 Artéria renal direita

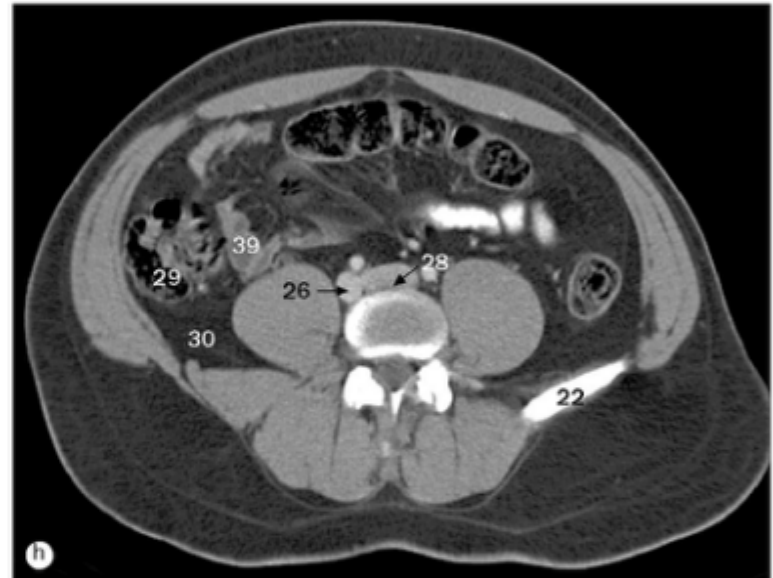
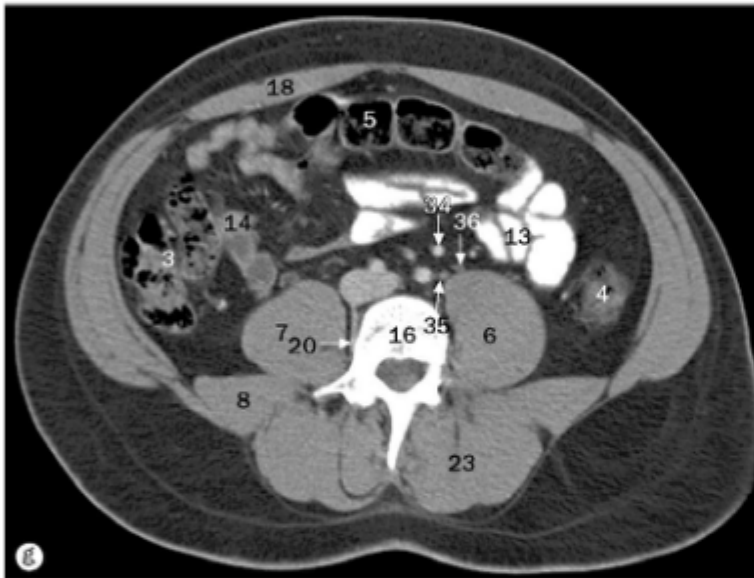
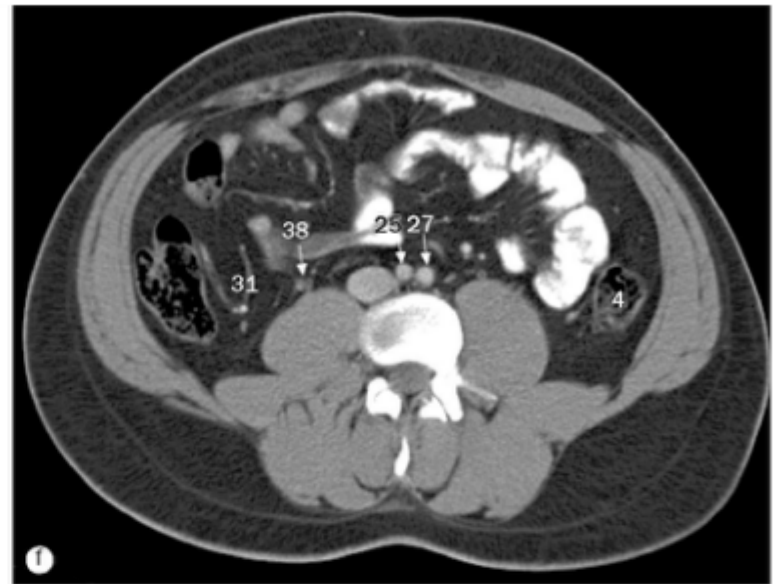
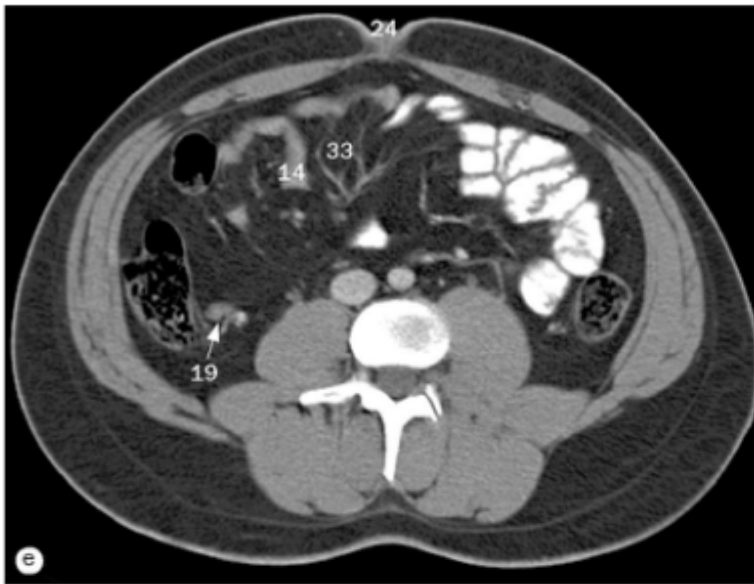
28 Veia renal direita
 29 Artéria mesentérica superior
 30 Veia mesentérica superior
 31 Saco tecal
 32 Colo transverso
 33 Artéria testicular direita

34 Artéria testicular esquerda
 35 Músculo transverso do abdome
 36 Décima segunda costela
 37 Fáscia subcutânea (abdominal)
 38 Parte ascendente do duodeno
 39 Flexura duodenojejunal



(a)-(h) Imagens axiais e sequenciais de TC do abdome e da pelve de um indivíduo masculino, da região superior para inferior.

- | | | |
|--------------------------------|--------------------------------------|---------------------------------|
| 1 Aorta | 8 Músculo quadrado do lombo | 15 Décima segunda costela |
| 2 Veia cava inferior | 9 Músculo latíssimo do dorso | 16 Corpo vertebral |
| 3 Colo ascendente | 10 Músculo oblíquo interno do abdome | 17 Artéria mesentérica inferior |
| 4 Colo descendente | 11 Músculo oblíquo externo do abdome | 18 Músculo reto do abdome |
| 5 Colo transverso | 12 Músculo transverso do abdome | 19 Artéria apendicular |
| 6 Músculo psoas maior esquerdo | 13 Jejunum | 20 Veia lombar |
| 7 Músculo psoas maior direito | 14 Íleo | 21 Artéria lombar |



(a)-(h) Imagens axiais e sequenciais de TC do abdome e da pelve de um indivíduo masculino, da região superior para inferior.

22 Íleo

23 Músculo eretor da espinha

24 Umbigo

25 Artéria ilíaca comum direita

26 Veia ilíaca comum direita

27 Artéria ilíaca comum esquerda

28 Veia ilíaca comum esquerda

29 Ceco

30 Apêndice vermiforme

31 Artéria ileocólica

32 Artérias jejunais, ramos da artéria mesentérica superior

33 Artérias ileais, ramos da artéria mesentérica superior

34 Artéria testicular esquerda

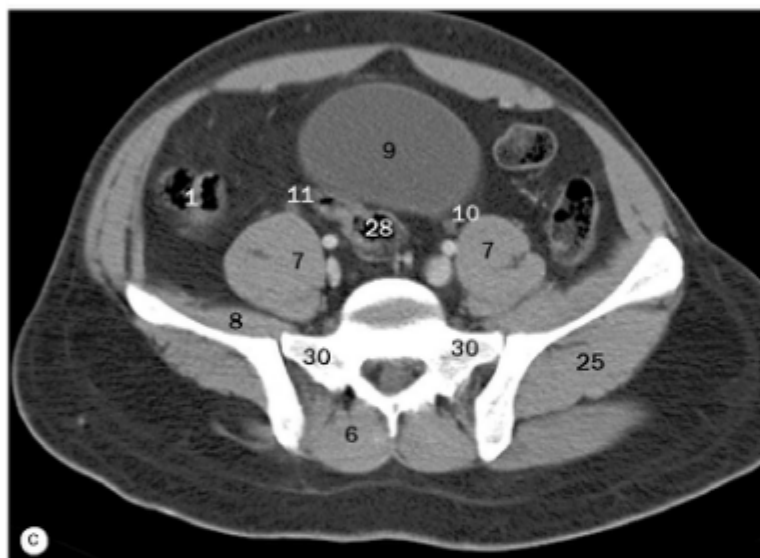
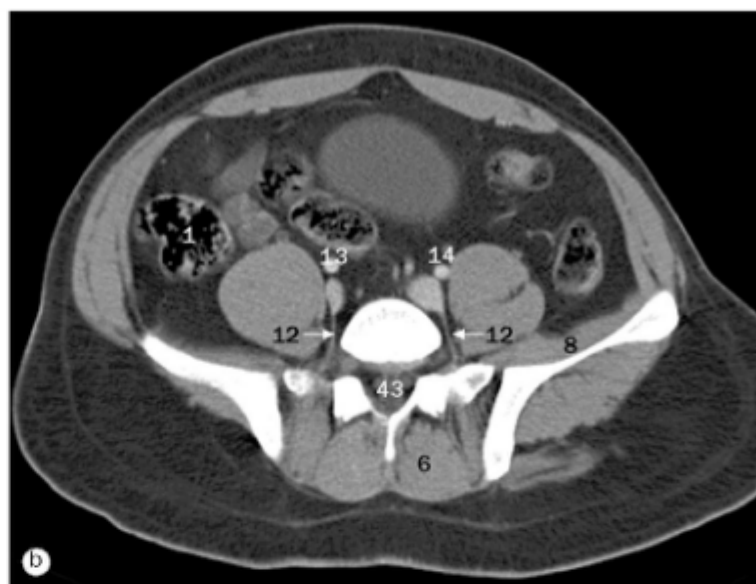
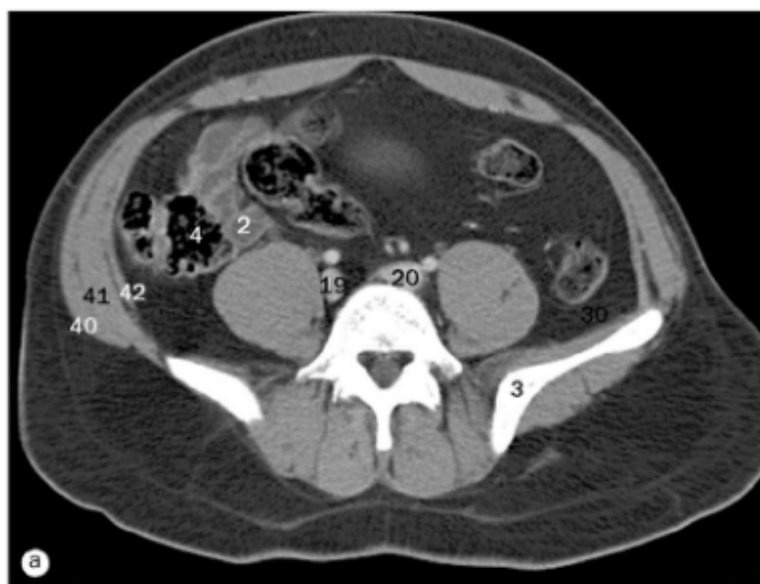
35 Veia testicular esquerda

36 Ureter esquerdo

37 Ureter direito

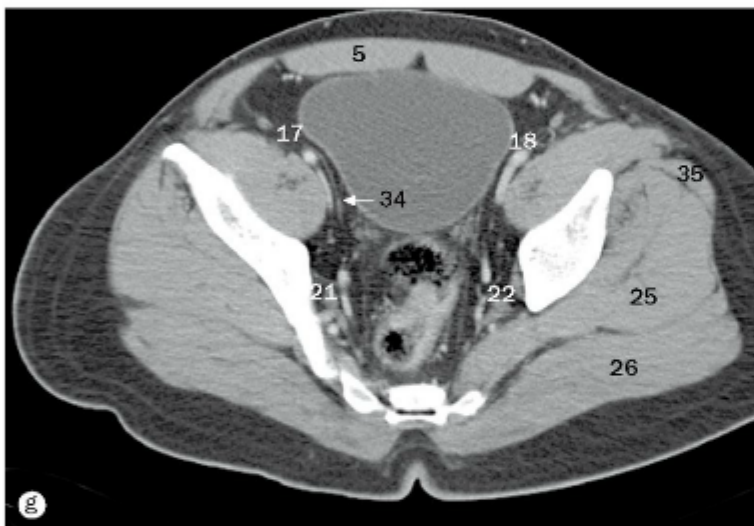
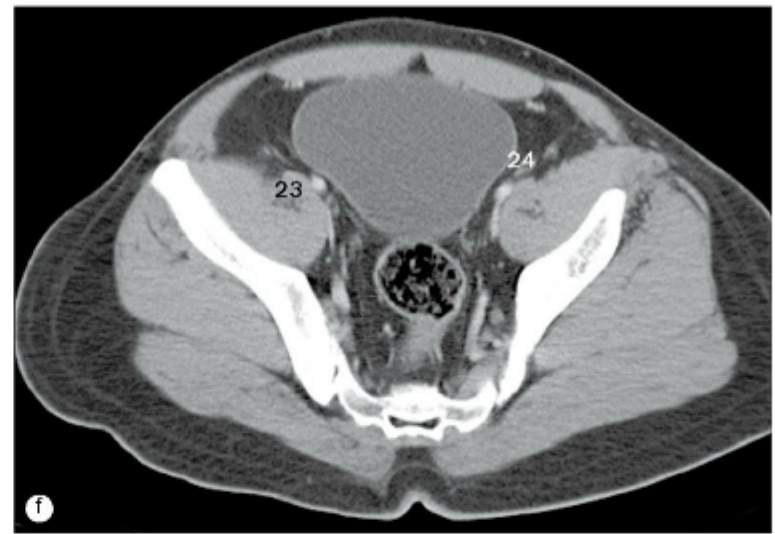
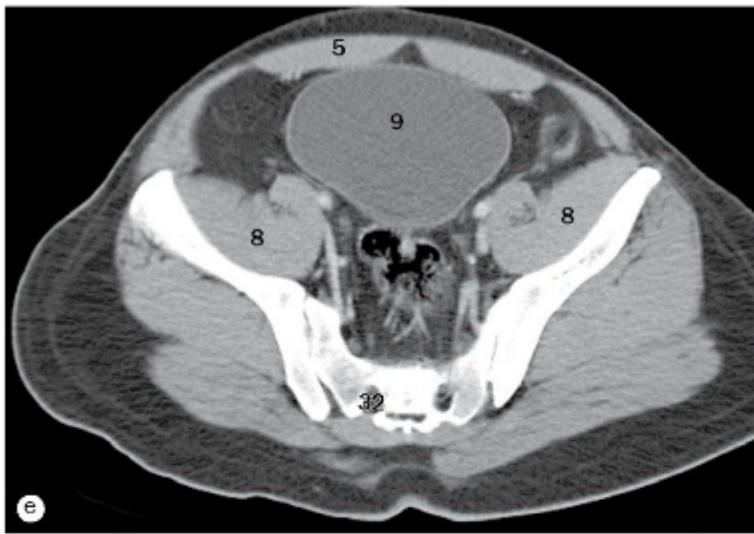
38 Vasos testiculares direitos

39 Íleo – parte terminal



(a)-(h) Imagens axiais e sequenciais de TC do abdome e da pelve de um indivíduo masculino, da região superior para inferior.

- | | | |
|--------------------------------|------------------------------------|------------------------------------|
| 1 Ceco | 9 Bexiga urinária | 17 Artéria ilíaca externa direita |
| 2 Íleo – parte terminal | 10 Ureter esquerdo | 18 Artéria ilíaca externa esquerda |
| 3 Osso do quadril | 11 Ureter direito | 19 Veia ilíaca comum direita |
| 4 Colo ascendente | 12 Veias lombares | 20 Veia ilíaca comum esquerda |
| 5 Músculo reto do abdome | 13 Artéria ilíaca comum direita | 21 Veia ilíaca interna direita |
| 6 Músculos eretores da espinha | 14 Artéria ilíaca comum esquerda | 22 Veia ilíaca interna esquerda |
| 7 Músculo psoas maior | 15 Artéria ilíaca interna direita | 23 Veia ilíaca externa direita |
| 8 Músculo ilíaco | 16 Artéria ilíaca interna esquerda | 24 Veia ilíaca externa esquerda |

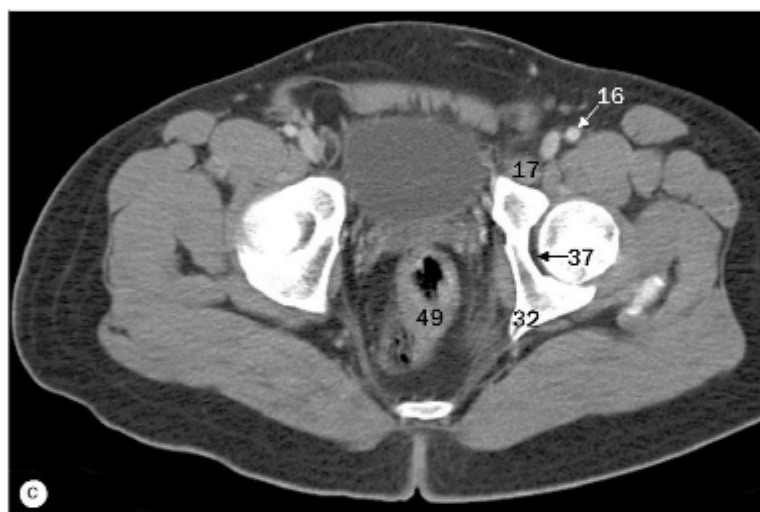
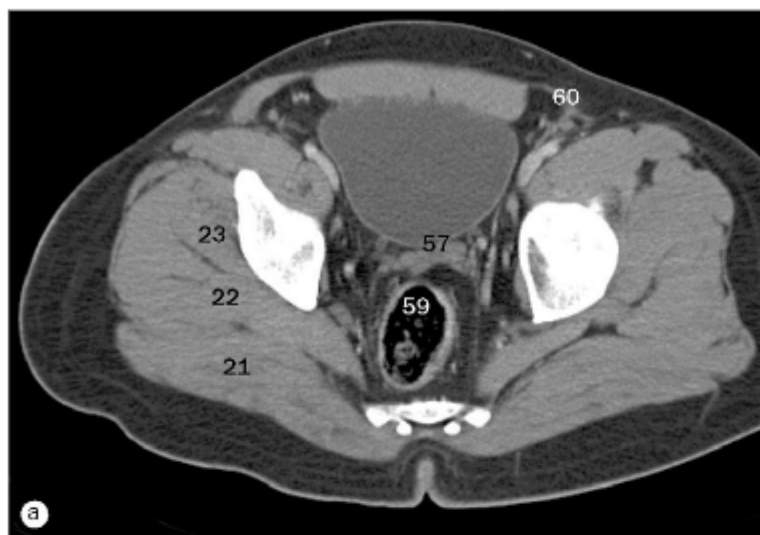


(a)-(h) Imagens axiais e sequenciais de TC do abdome e da pelve de um indivíduo masculino, da região superior para inferior.

25 Músculo glúteo médio
26 Músculo glúteo máximo
27 Músculo glúteo mínimo
28 Colo sigmoide
29 Sacro
30 Asa do sacro
31 Articulação sacroilíaca

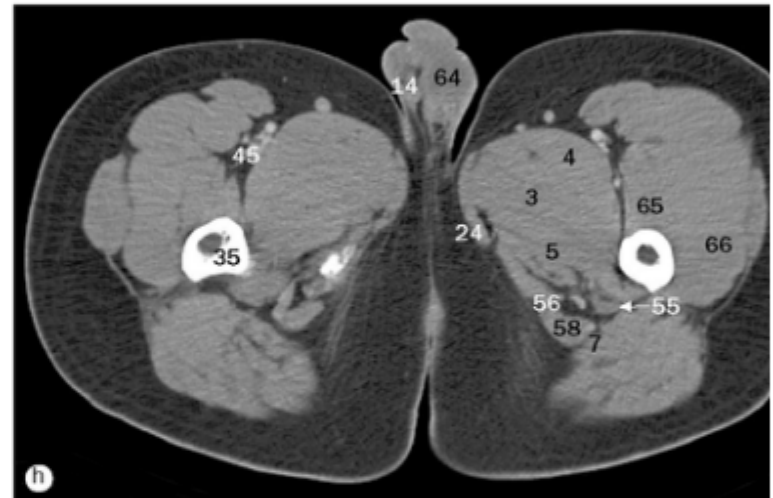
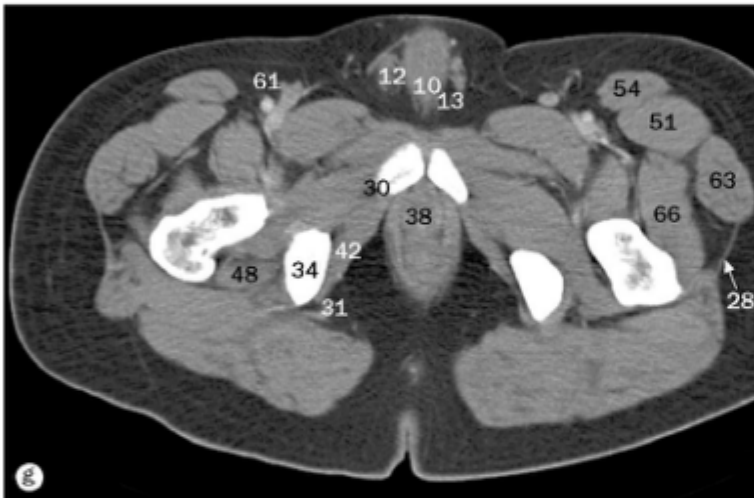
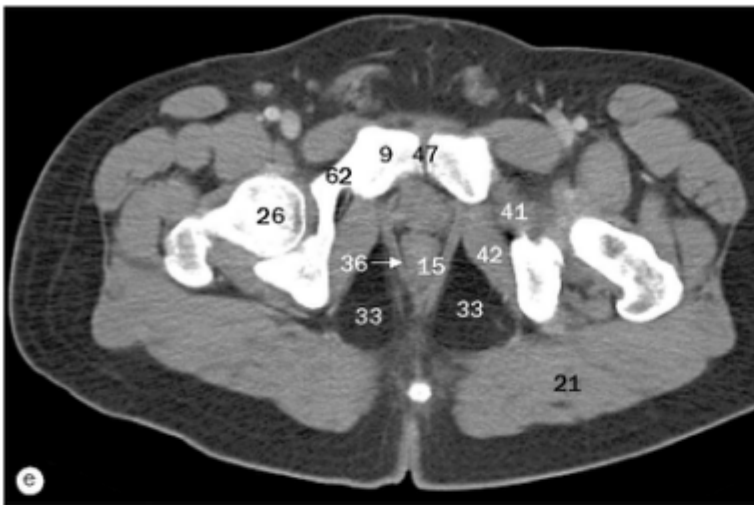
32 Forame sacral
33 Reto
34 Ducto deferente
35 Músculo tensor da fáscia lata
36 Glândula seminal
37 Músculo piriforme
38 Artéria e veia glútea superior

39 Linha alba
40 Músculo oblíquo externo do abdome
41 Músculo oblíquo interno do abdome
42 Músculo transverso do abdome
43 Saco tecal
44 Músculo sartório
45 Artéria epigástrica superficial



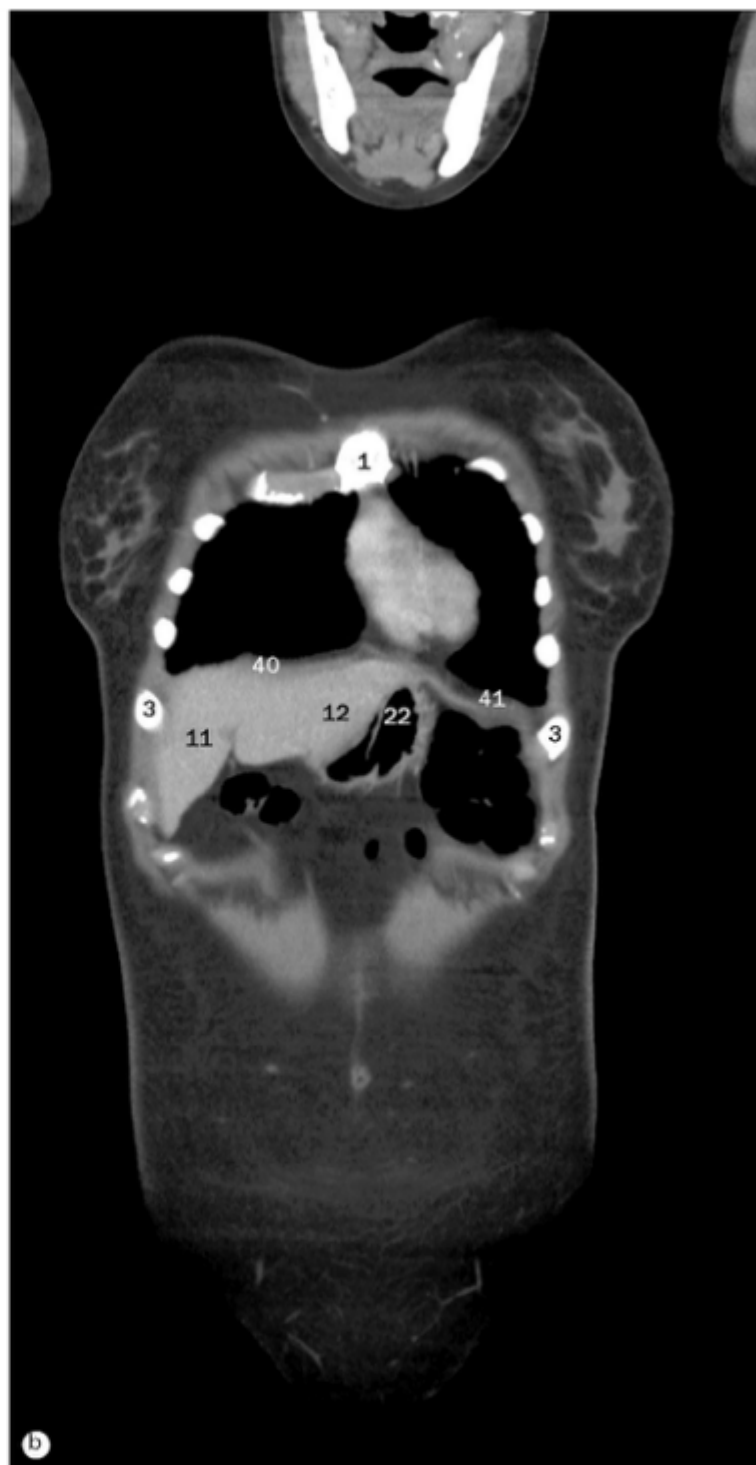
(a)-(h) Imagens axiais e sequenciais de TC do abdome e da pelve de um indivíduo masculino, da região superior para inferior.

- | | | |
|--------------------------|--------------------------------------|-----------------------------------|
| 1 Teto do acetábulo | 12 Corpo cavernoso | 23 Músculo glúteo mínimo |
| 2 Acetábulo | 13 Ramo do pênis (corpo cavernoso) | 24 Músculo grácil |
| 3 Músculo adutor curto | 14 Epidídimo | 25 Trocanter maior do fêmur |
| 4 Músculo adutor longo | 15 Músculo esfíncter externo do ânus | 26 Cabeça do fêmur |
| 5 Músculo adutor magno | 16 Artéria ilíaca externa | 27 Músculo iliopsoas |
| 6 Canal anal | 17 Veia ilíaca externa | 28 Trato iliotibial |
| 7 Músculo bíceps femoral | 18 Artéria femoral | 29 Artéria e veia glútea inferior |
| 8 Bexiga urinária | 19 Veia femoral | 30 Ramo inferior do púbis |
| 9 Corpo do púbis | 20 Músculo gêmeo | 31 Artéria e veia pudenda interna |
| 10 Bulbo do pênis | 21 Músculo glúteo máximo | 32 Espinha isquiática |
| 11 Cóccix | 22 Músculo glúteo médio | 33 Fossa isquioanal |



(a)-(h) Imagens axiais e sequenciais de TC do abdome e da pelve de um indivíduo masculino, da região superior para inferior.

- | | | |
|---------------------------------|-----------------------------|----------------------------------|
| 34 Ísquio | 45 Artéria femoral profunda | 56 Músculo semimembrâneo |
| 35 Trocanter menor do fêmur | 46 Próstata | 57 Glândula seminal |
| 36 Músculo levantador do ânus | 47 Sínfise púbica | 58 Músculo semitendíneo |
| 37 Ligamento da cabeça do fêmur | 48 Músculo quadrado femoral | 59 Colo sigmoide |
| 38 Parte membranácea da uretra | 49 Reto | 60 Funículo espermático |
| 39 Colo do fêmur | 50 Músculo reto do abdome | 61 Artéria femoral |
| 40 Artéria e veia obturatórias | 51 Músculo reto femoral | 62 Ramo superior do púbis |
| 41 Músculo obturador externo | 52 Ligamento sacrospinal | 63 Músculo tensor da fáscia lata |
| 42 Músculo obturador interno | 53 Sacro | 64 Testículo |
| 43 Músculo pectíneo | 54 Músculo sartório | 65 Músculo vasto intermédio |
| 44 Músculo piriforme | 55 Nervo isquiático | 66 Músculo vasto lateral |



(a)-(d) Imagens coronais e sequenciais de TC do tórax, do abdome e da pelve de uma mulher, da região anterior para posterior. Nota: as páginas 136-145 mostram imagens sequenciais da mesma paciente do sexo feminino.

- | | | |
|---------------------|--------------------------------|--------------------------------------|
| 1 Manúbrío | 8 Ventriculo direito | 15 Músculo reto do abdome |
| 2 Corpo do esterno | 9 Ventriculo esquerdo | 16 Músculo oblíquo interno do abdome |
| 3 Costela | 10 Tronco pulmonar | 17 Músculo oblíquo externo do abdome |
| 4 Cartilagem costal | 11 Lobo hepático direito | 18 Músculo transverso do abdome |
| 5 Processo xifoide | 12 Lobo hepático esquerdo | 19 Colo transverso |
| 6 Mama | 13 Vesícula biliar | 20 Flexura esquerda do colo |
| 7 Clavícula | 14 Fissura do ligamento venoso | 21 Flexura direita do colo |

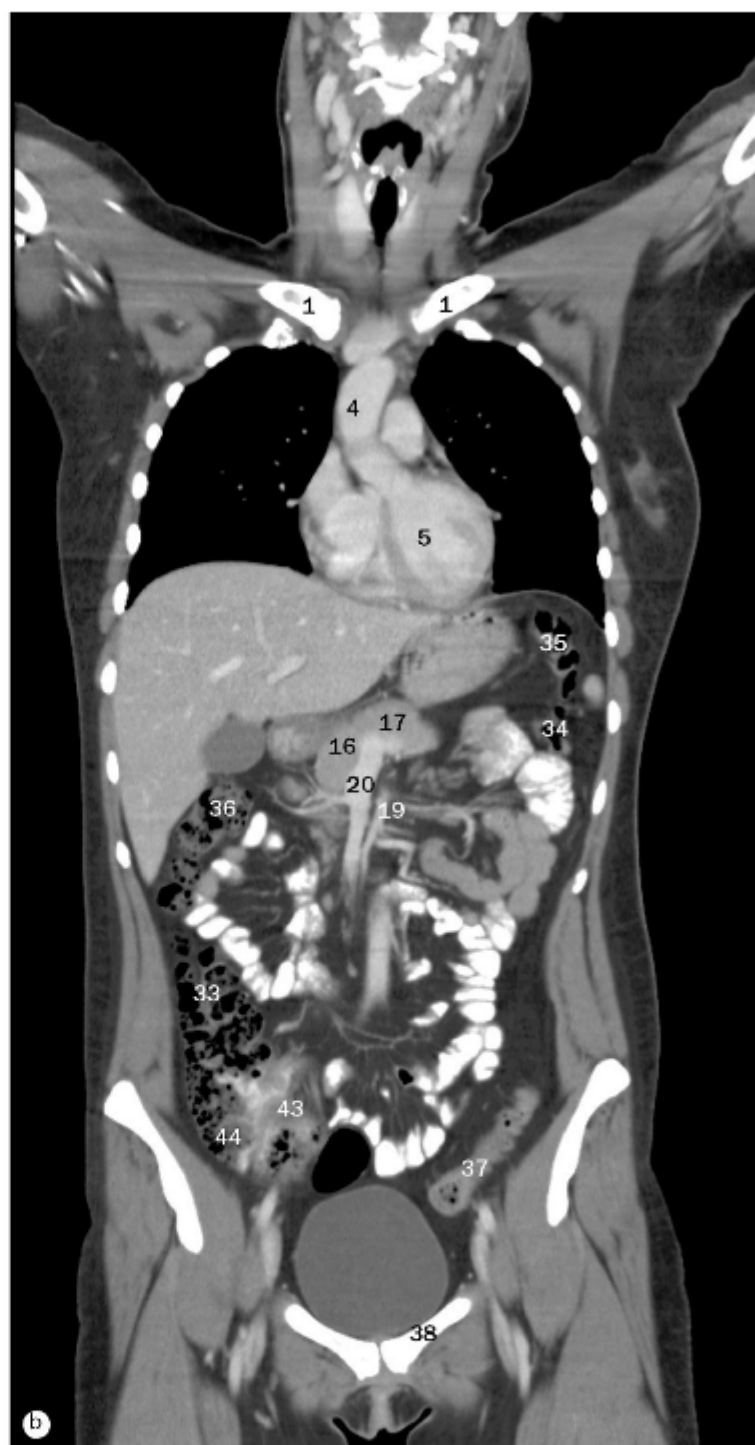


(a)-(d) Imagens coronais e sequenciais de TC do tórax, do abdome e da pelve de uma mulher, da região anterior para posterior.

22 Fundo gástrico
23 Corpo gástrico
24 Antro pilórico
25 Jejuno
26 Ceco
27 Íleo
28 Colo ascendente

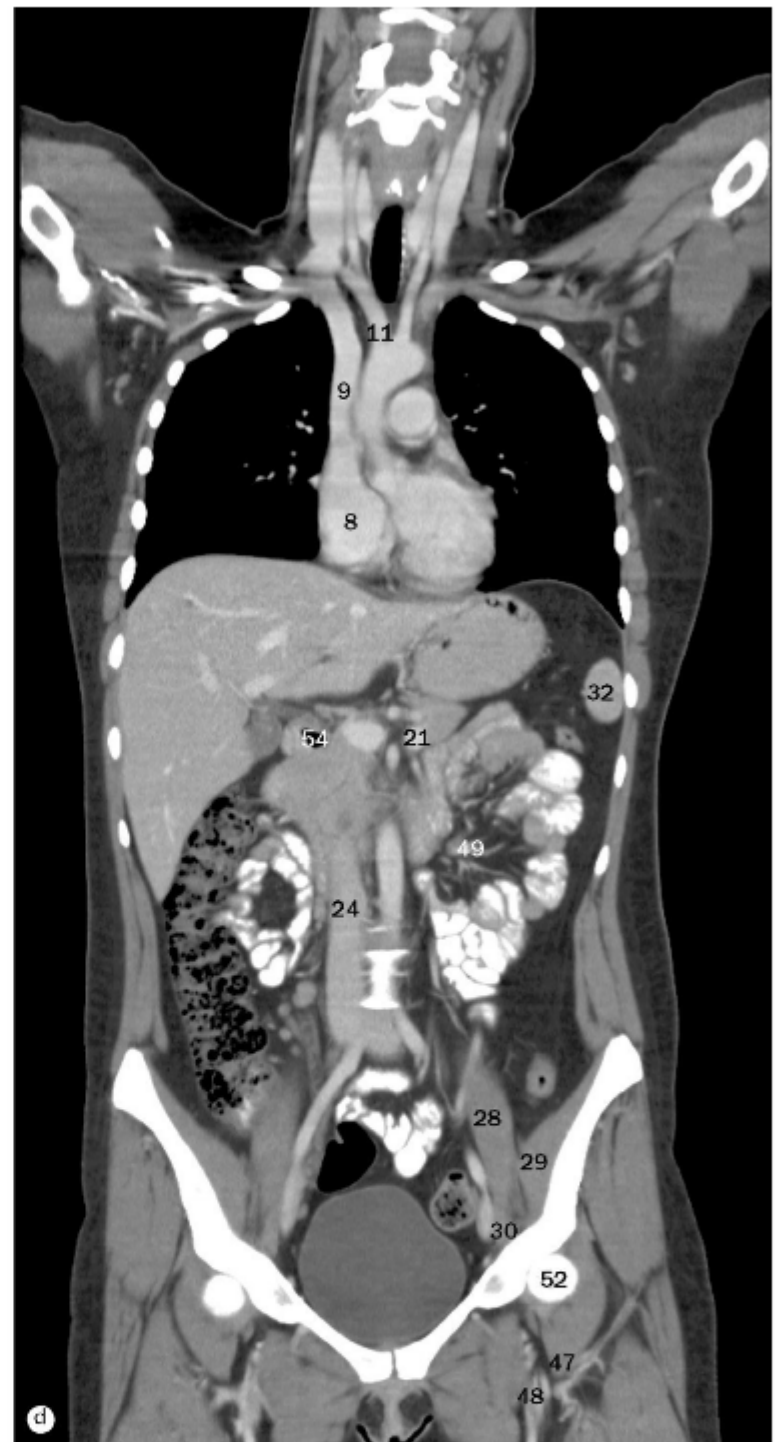
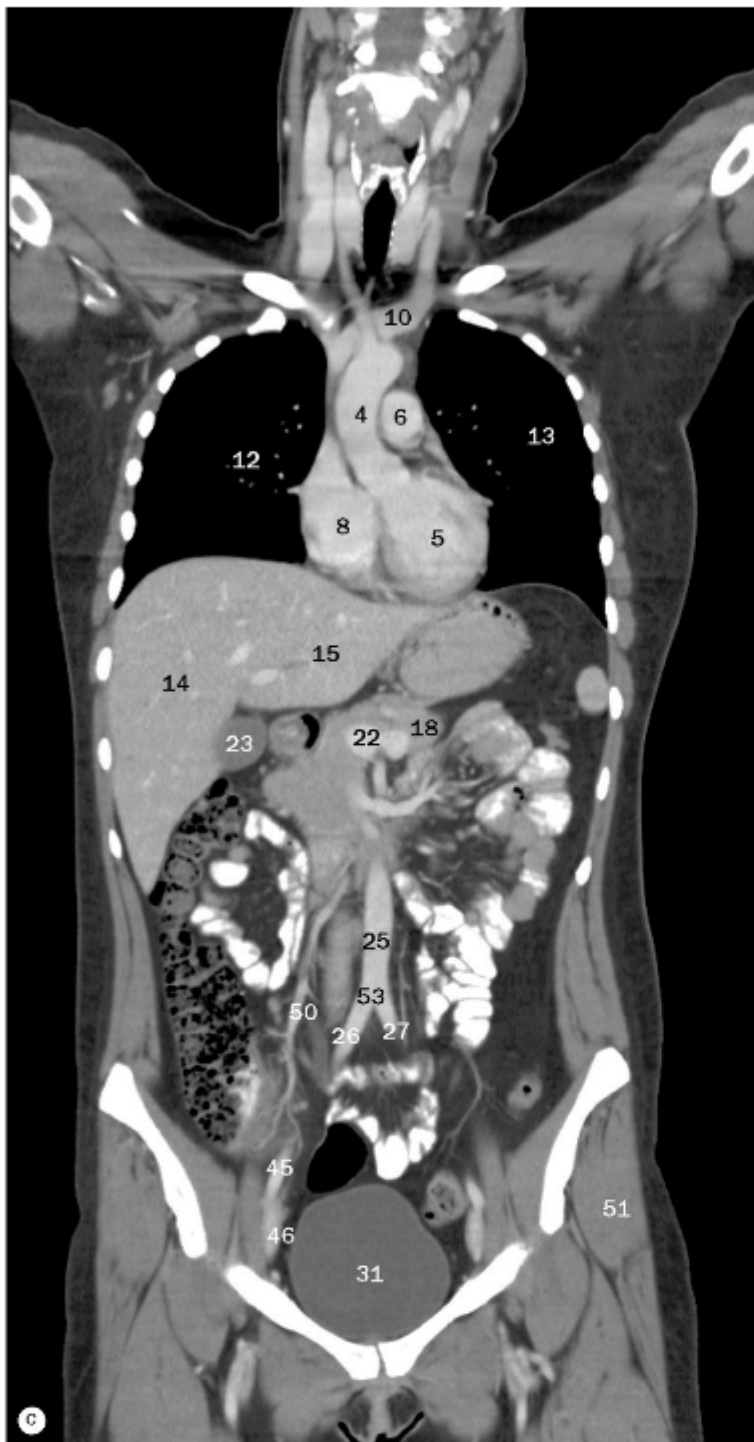
29 Colo descendente
30 Bexiga urinária
31 Sínfise púbica
32 Crista ilíaca
33 Músculo iliopsoas
34 Músculo sartório
35 Mesentério do intestino delgado

36 Mesocolo transverso
37 Músculo pectíneo
38 Músculo levantador do ânus
39 Lábio maior do pudendo
40 Hemidiafragma direito
41 Hemidiafragma esquerdo



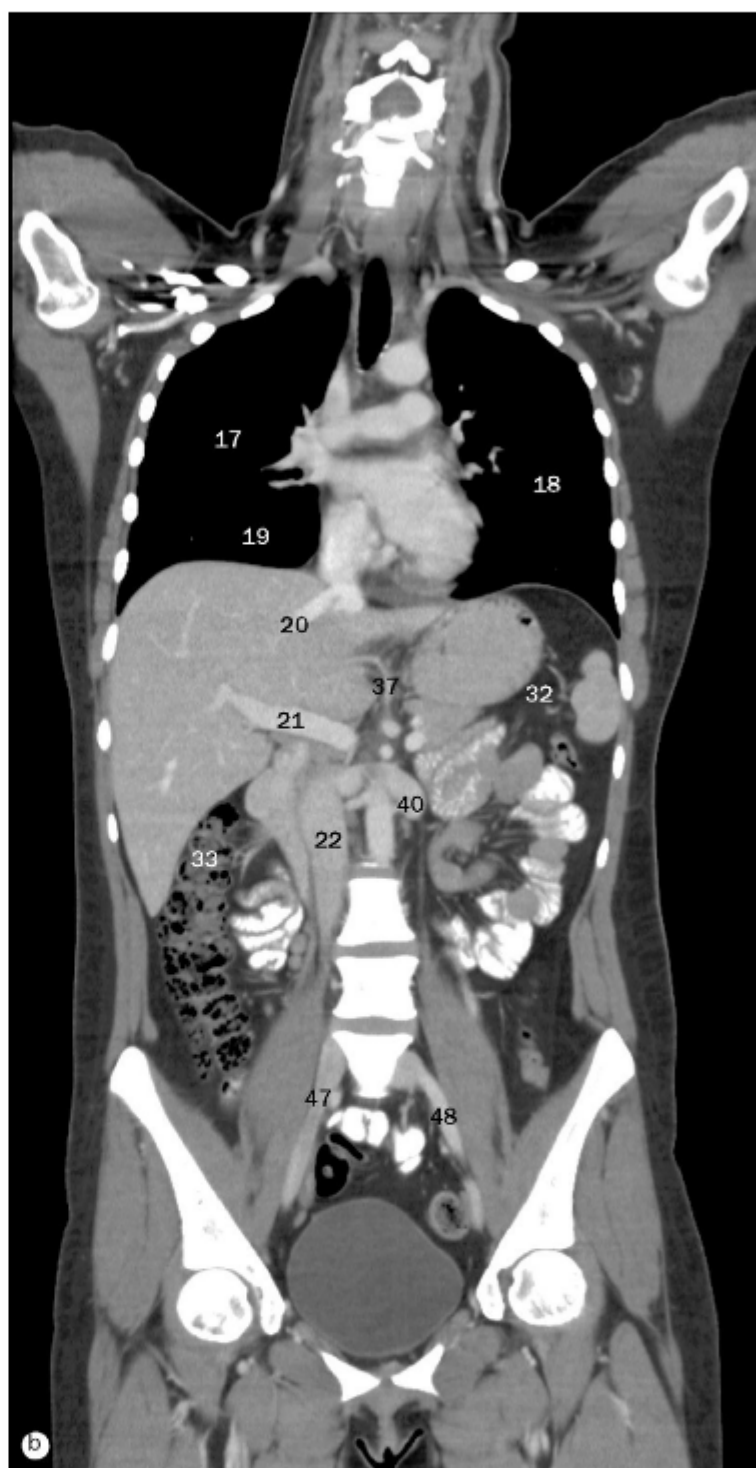
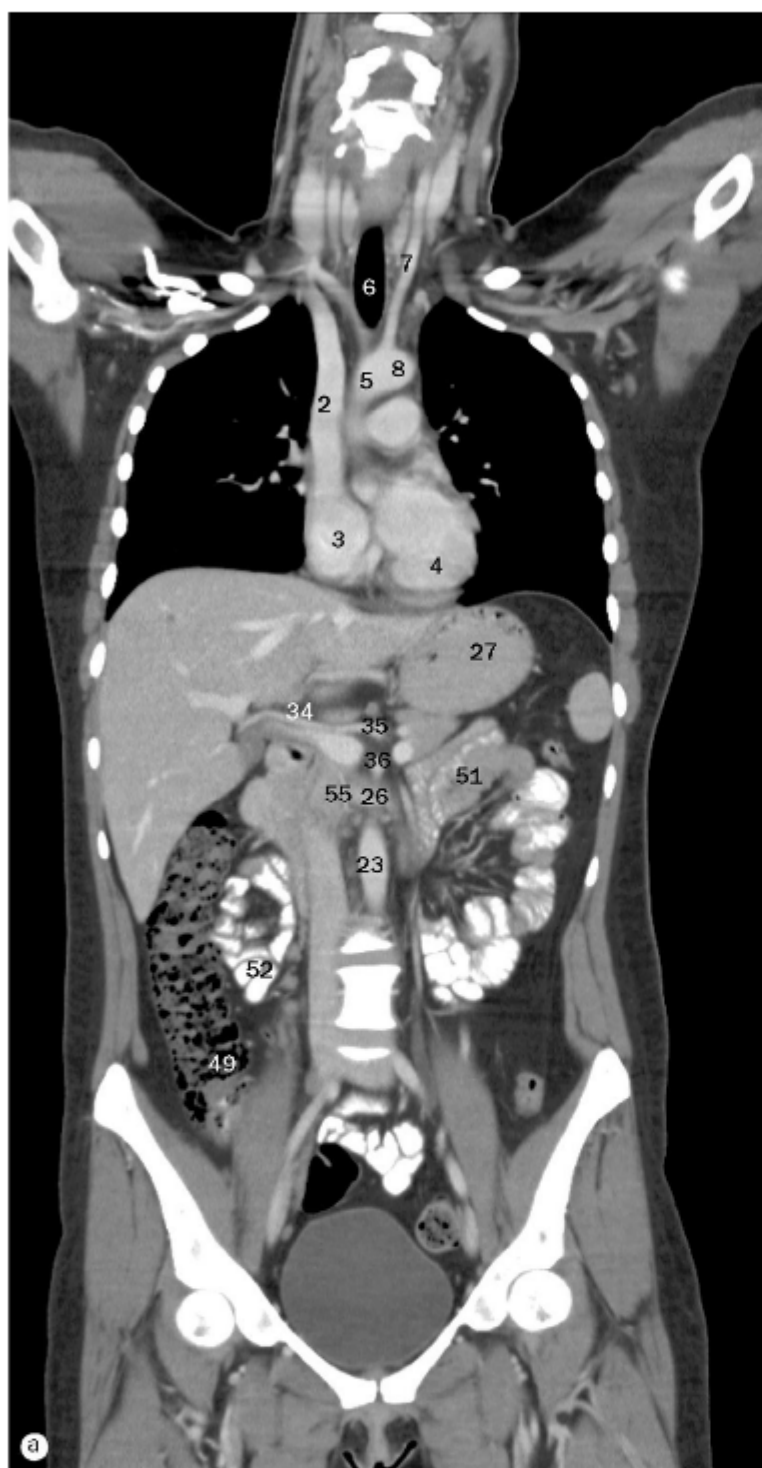
(a)-(d) Imagens coronais e sequenciais de TC do tórax, do abdome e da pelve de uma mulher, da região anterior para posterior.

- | | | |
|----------------------------------|---------------------------------------|----------------------------------|
| 1 Clavícula | 11 Tronco braquiocefálico | 21 Veia esplênica |
| 2 Músculo peitoral maior | 12 Pulmão direito | 22 Veia porta |
| 3 Músculo peitoral menor | 13 Pulmão esquerdo | 23 Vesícula biliar |
| 4 Parte ascendente da aorta | 14 Lobo hepático direito | 24 Veia cava inferior |
| 5 Ventrículo esquerdo | 15 Lobo hepático esquerdo | 25 Aorta |
| 6 Arteria pulmonar | 16 Cabeça do pâncreas | 26 Arteria ilíaca comum direita |
| 7 Ventrículo direito | 17 Colo do pâncreas | 27 Arteria ilíaca comum esquerda |
| 8 Átrio direito | 18 Corpo do pâncreas | 28 Músculo psoas |
| 9 Veia cava superior | 19 Arteria mesentérica superior (AMS) | 29 Músculo ilíaco |
| 10 Veia braquiocefálica esquerda | 20 Veia mesentérica superior (VMS) | 30 Músculo iliopsoas |



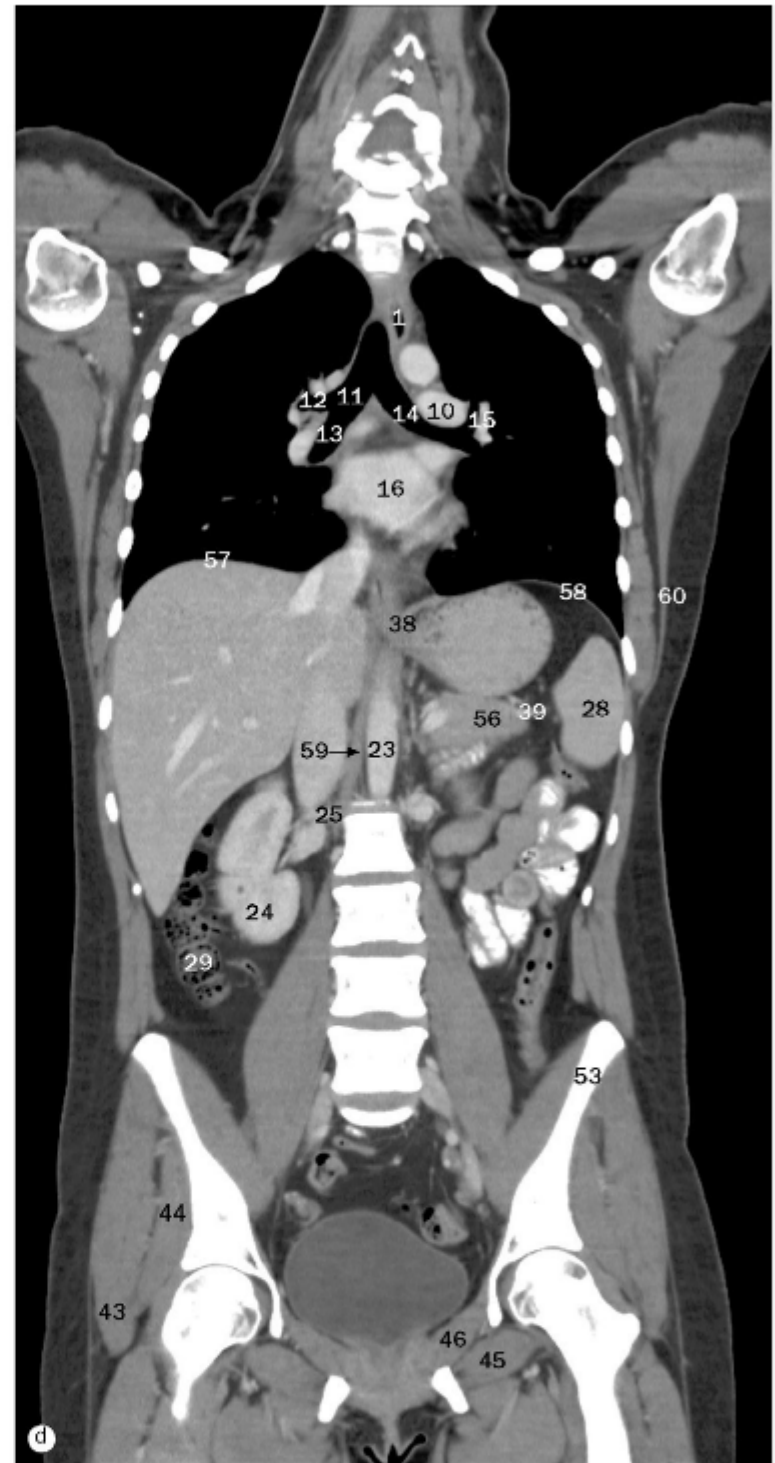
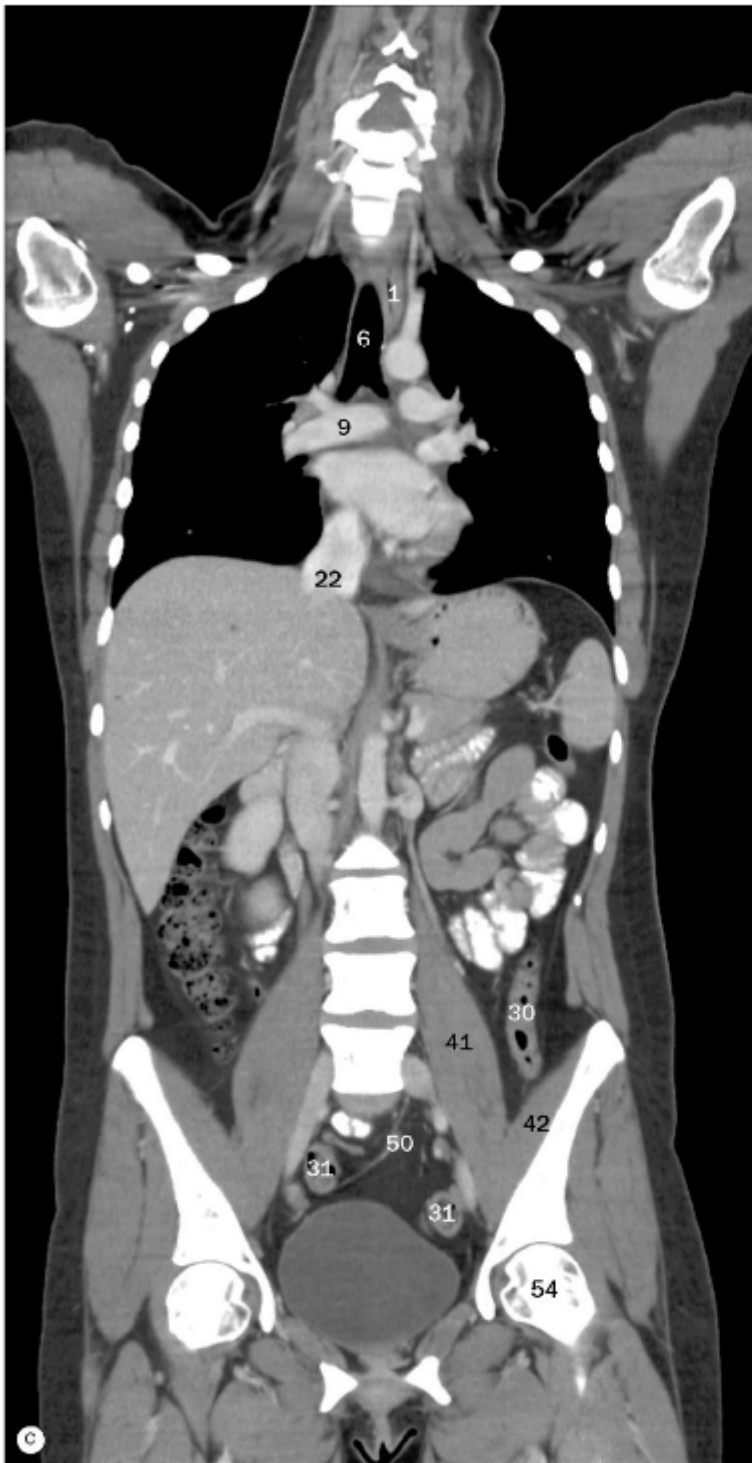
(a)-(d) Imagens coronais e sequenciais de TC do tórax, do abdome e da pelve de uma mulher, da região anterior para posterior.

- | | | |
|-----------------------------|------------------------------------|---|
| 31 Bexiga urinária | 40 Íleo | 49 Ramos jejunais da artéria mesentérica superior |
| 32 Baço | 41 Jejuno | 50 Ramos ileais da artéria mesentérica superior |
| 33 Colo ascendente | 42 Mesentério do intestino delgado | 51 Músculo glúteo médio |
| 34 Colo descendente | 43 Íleo – parte terminal | 52 Cabeça do fêmur |
| 35 Flexura esquerda do colo | 44 Ceco | 53 Bifurcação da aorta |
| 36 Flexura direita do colo | 45 Artéria ilíaca externa | 54 Parte superior do duodeno |
| 37 Colo sigmoide | 46 Veia ilíaca externa | 55 Músculo serrátil anterior |
| 38 Ramo superior do púbis | 47 Artéria femoral | |
| 39 Ílio | 48 Veia femoral | |



(a)-(d) Imagens coronais e sequenciais de TC do tórax, do abdome e da pelve de uma mulher, da região anterior para posterior.

- | | | |
|-----------------------------------|-------------------------------------|-----------------------------|
| 1 Esôfago | 12 Brônquio lobar superior direito | 23 Aorta |
| 2 Veia cava superior | 13 Brônquio intermediário | 24 Rim direito |
| 3 Átrio direito | 14 Brônquio principal esquerdo | 25 Artéria renal direita |
| 4 Ventrículo direito | 15 Brônquio lobar superior esquerdo | 26 Veia renal esquerda |
| 5 Parte ascendente da aorta | 16 Átrio esquerdo | 27 Fundo gástrico |
| 6 Traqueia | 17 Pulmão direito | 28 Baço |
| 7 Artéria carótida comum esquerda | 18 Pulmão esquerdo | 29 Colo ascendente |
| 8 Arco da aorta | 19 Lobo inferior direito | 30 Colo descendente |
| 9 Artéria pulmonar direita | 20 Veia hepática | 31 Colo sigmoide |
| 10 Artéria pulmonar esquerda | 21 Veia porta | 32 Flexura esquerda do colo |
| 11 Brônquio principal direito | 22 Veia cava inferior | 33 Flexura direita do colo |

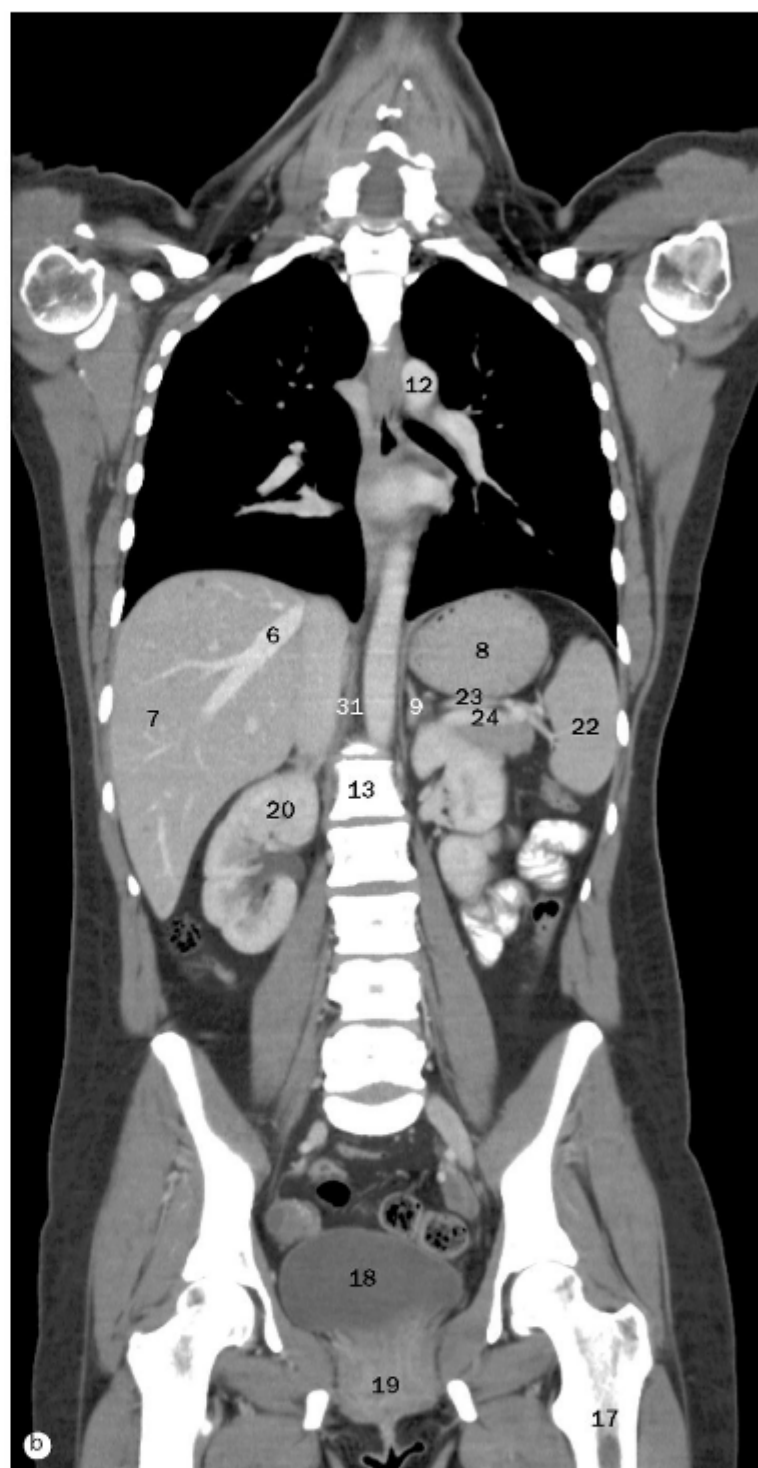
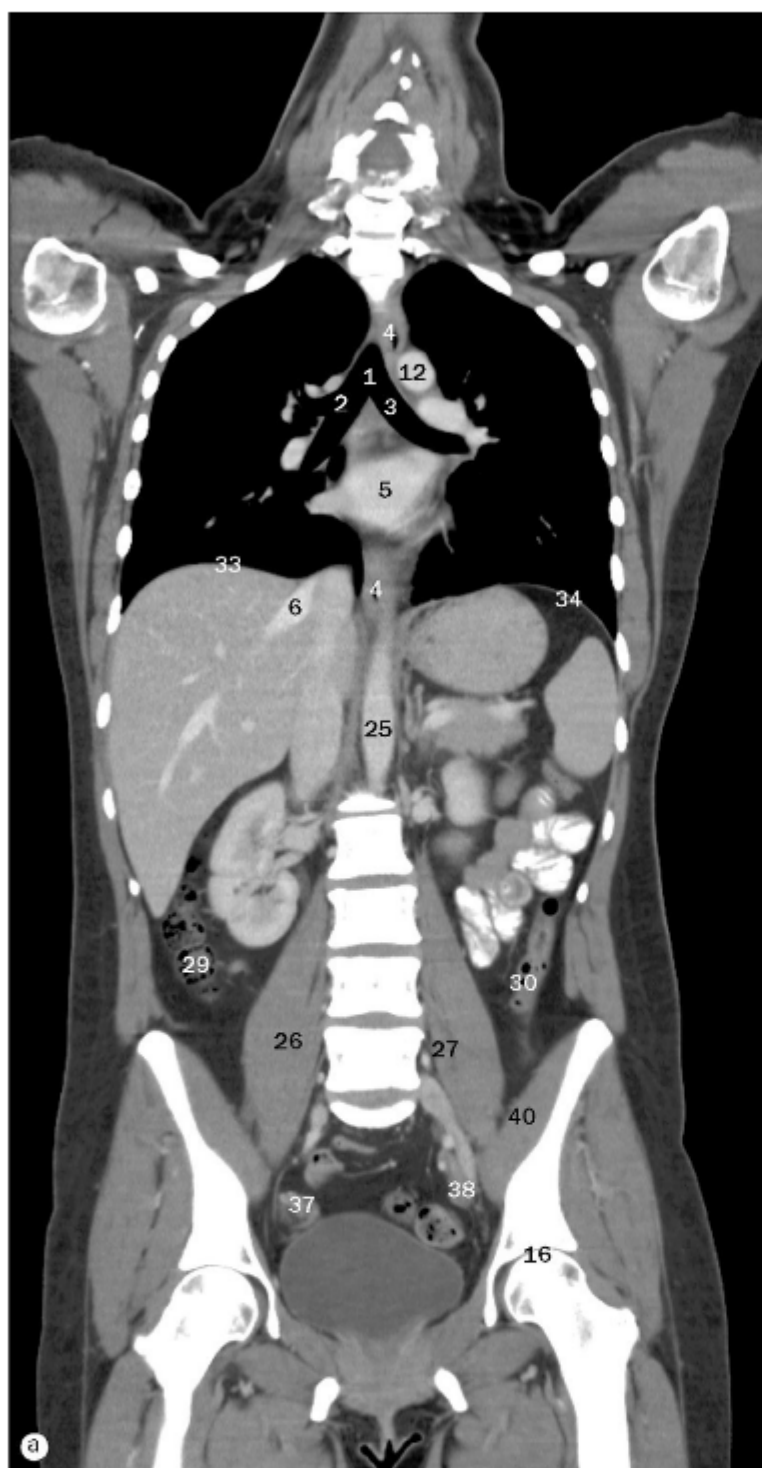


(a)-(d) Imagens coronais e sequenciais de TC do tórax, do abdome e da pelve de uma mulher, da região anterior para posterior.

34 Artéria hepática comum
 35 Tronco celíaco
 36 Artéria mesentérica superior
 37 Artéria gástrica esquerda
 38 Junção esofagogástrica
 39 Artéria esplênica
 40 Artéria renal esquerda
 41 Músculo psoas maior
 42 Músculo ilíaco
 43 Músculo glúteo máximo

44 Músculo glúteo médio
 45 Músculo obturador externo
 46 Músculo obturador interno
 47 Veia ilíaca comum direita
 48 Veia ilíaca comum esquerda
 49 Ceco
 50 Artérias sigmóideas (a partir da artéria mesentérica inferior)
 51 Jejuno
 52 Íleo

53 Osso do quadril
 54 Cabeça do fêmur
 55 Corpo do pâncreas
 56 Cauda do pâncreas
 57 Hemidiafragma direito
 58 Hemidiafragma esquerdo
 59 Pilar direito do diafragma
 60 Músculo latíssimo do dorso

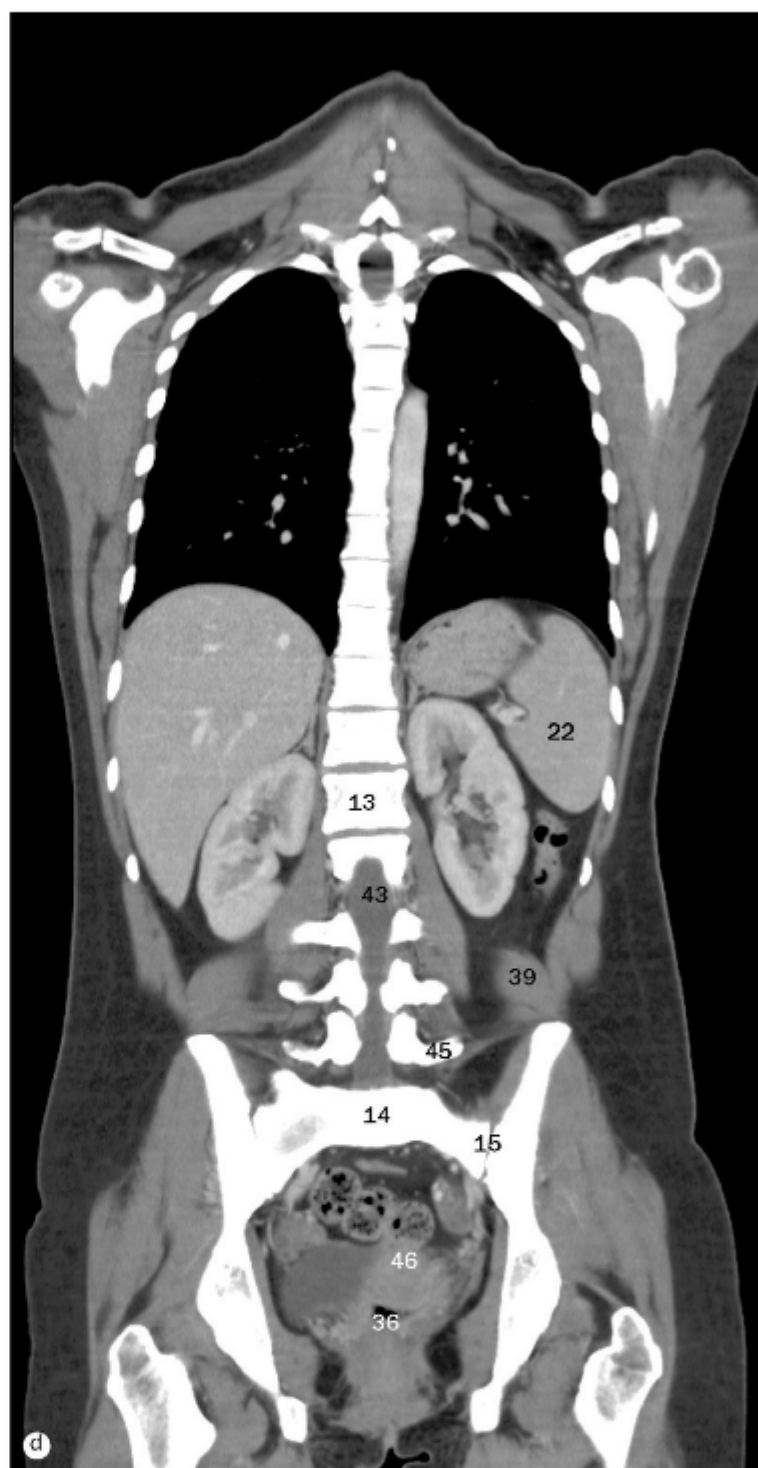
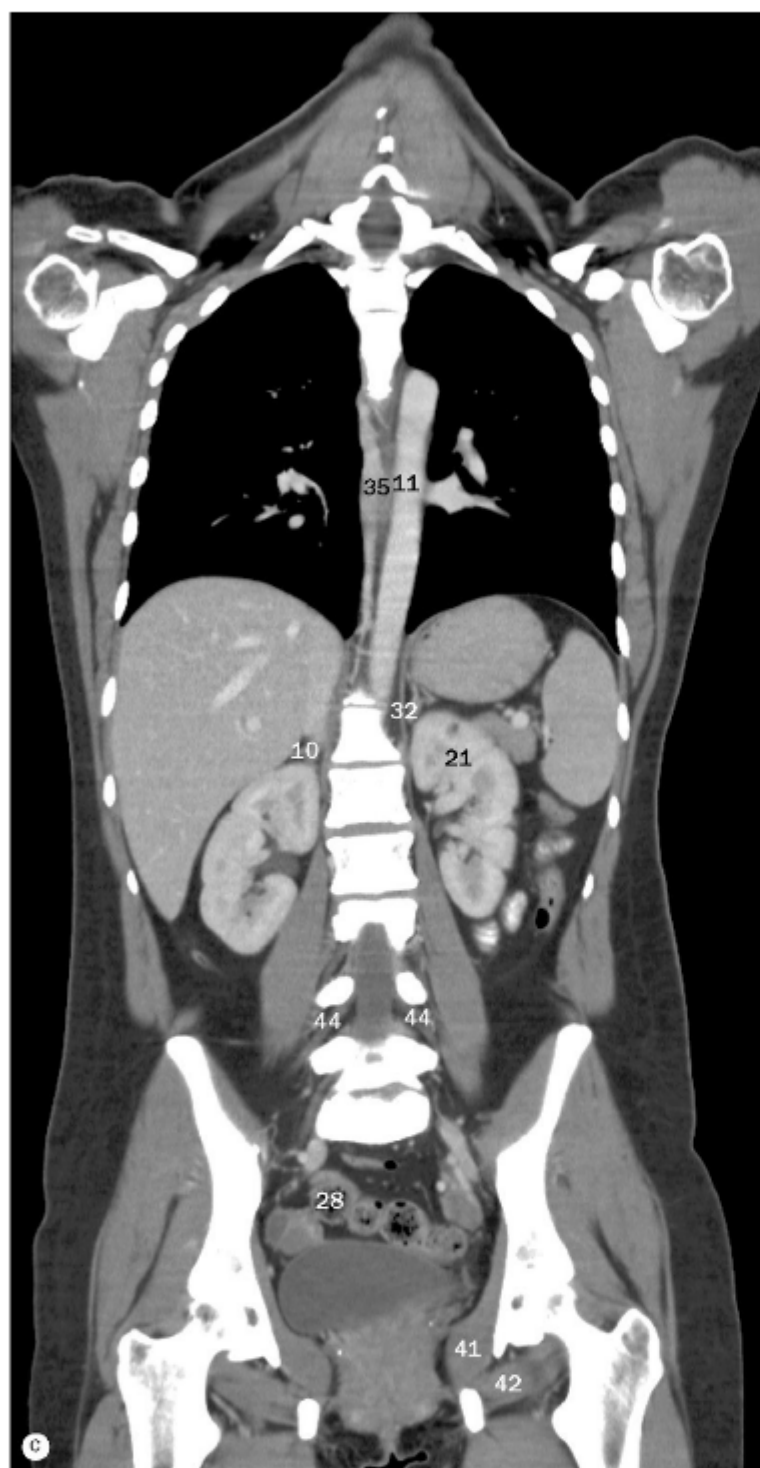


(a)-(d) Imagens coronais e sequenciais de TC do tórax, do abdome e da pelve de uma mulher, da região anterior para posterior.

1 Carina da traqueia
 2 Brônquio principal direito
 3 Brônquio principal esquerdo
 4 Esôfago
 5 Átrio esquerdo
 6 Veia hepática
 7 Lobo hepático direito
 8 Fundo gástrico

9 Glândula suprarrenal esquerda
 10 Glândula suprarrenal direita
 11 Parte descendente da aorta – parte torácica
 12 Arco da aorta
 13 Corpo vertebral de L1
 14 Sacro
 15 Articulação sacroilíaca
 16 Acetábulo

17 Fêmur
 18 Bexiga urinária
 19 Vagina
 20 Rim direito
 21 Rim esquerdo
 22 Baço
 23 Artéria esplênica
 24 Veia esplênica

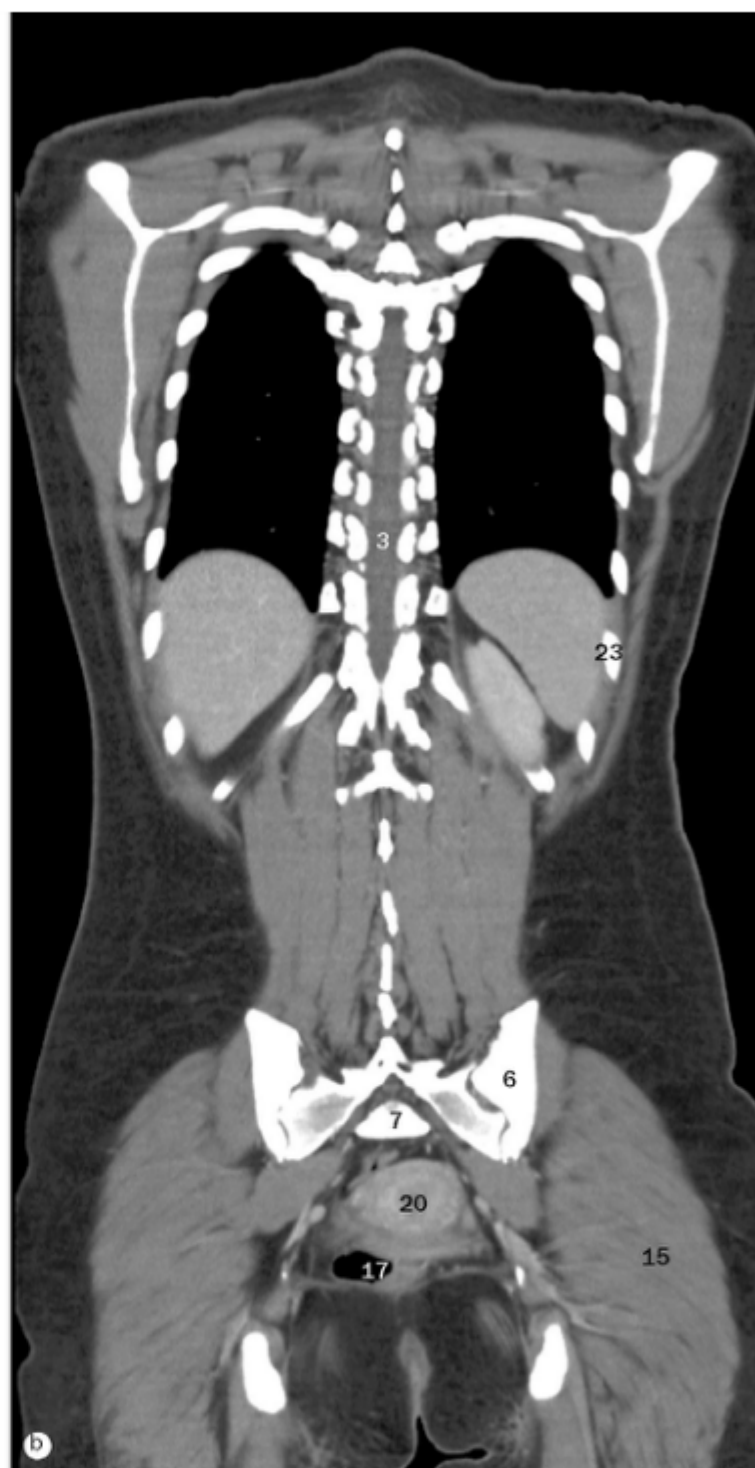
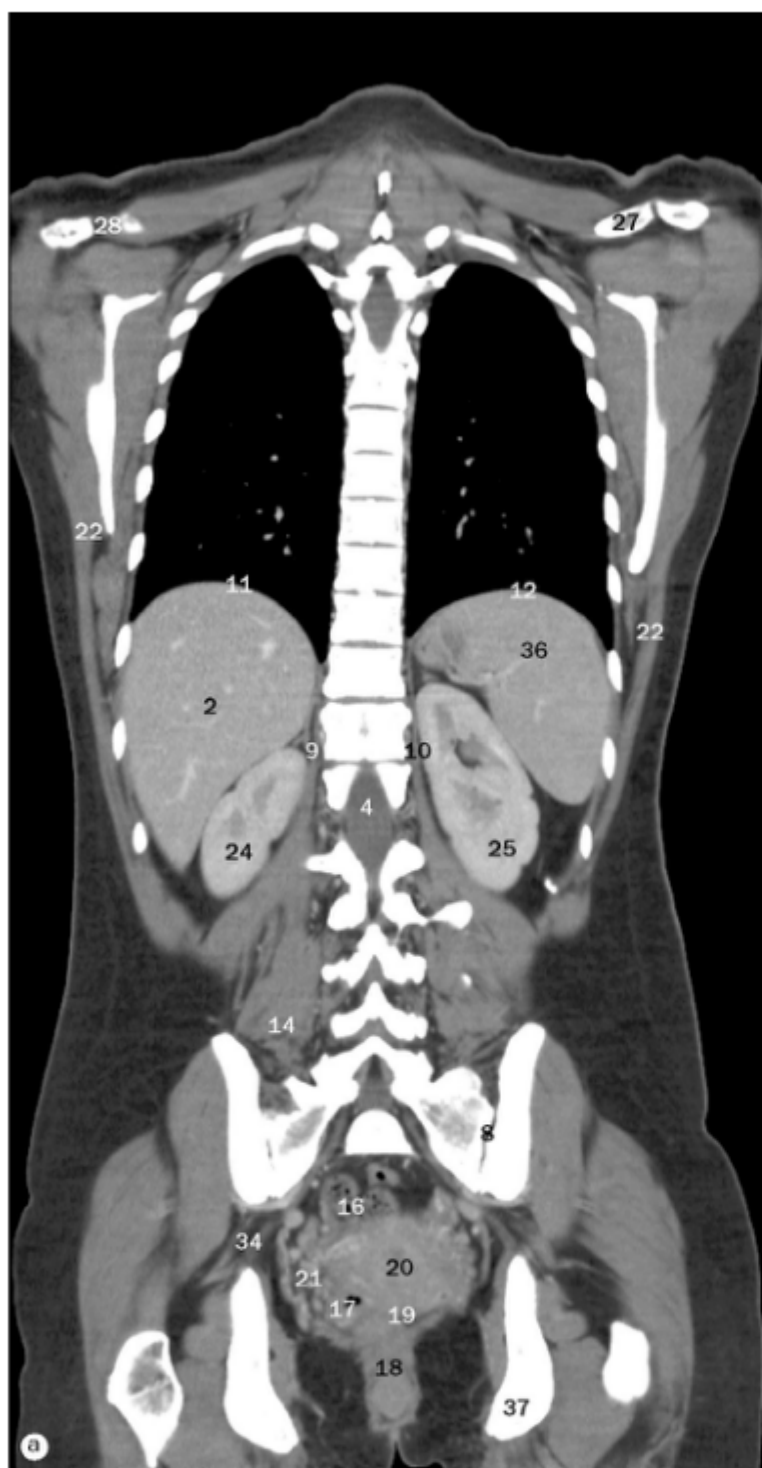


(a)-(d) Imagens coronais e sequenciais de TC do tórax, do abdome e da pelve de uma mulher, da região anterior para posterior.

25 Parte descendente da aorta – parte abdominal
 26 Músculo psoas maior
 27 Músculo psoas menor
 28 Colo sigmoide
 29 Colo ascendente
 30 Colo descendente
 31 Pilar direito do diafragma

32 Pilar esquerdo do diafragma
 33 Hemidiafragma direito
 34 Hemidiafragma esquerdo
 35 Veia ázigo
 36 Reto
 37 Vasos ilíacos internos direitos
 38 Vasos ilíacos internos esquerdos
 39 Músculo quadrado do lombo

40 Músculo ilíaco
 41 Músculo obturador interno
 42 Músculo obturador externo
 43 Canal vertebral
 44 Raízes nervosas lombares
 45 Processo transverso de L5
 46 Útero

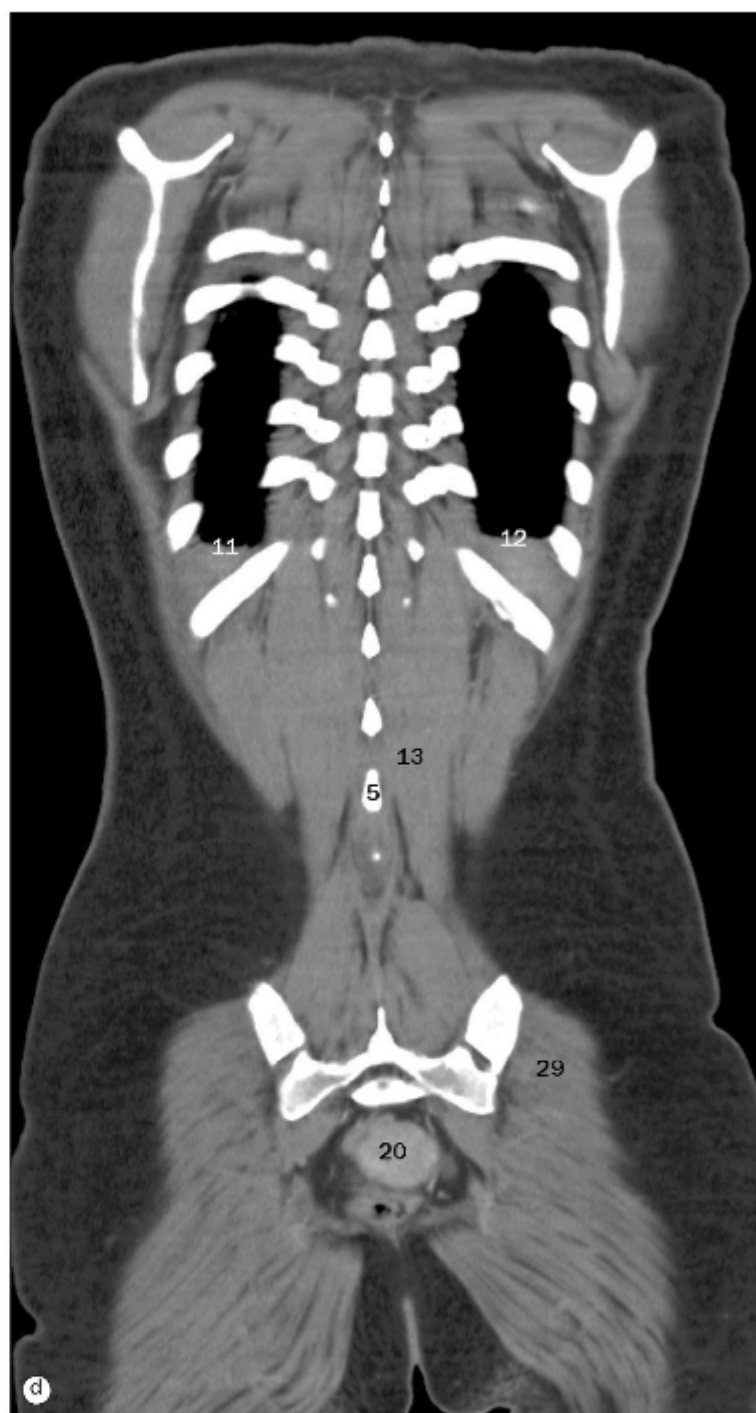
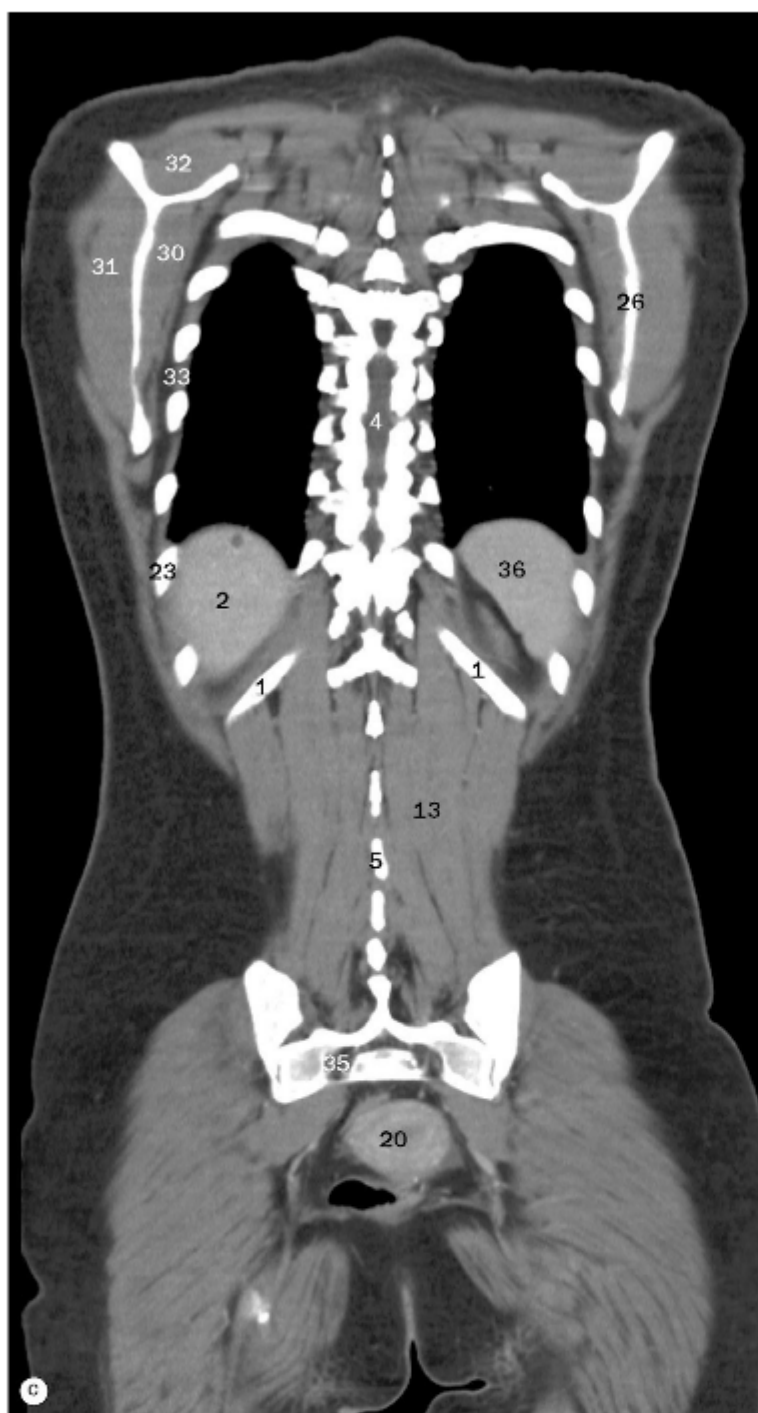


(a)-(d) Imagens coronais e sequenciais de TC do tórax, do abdome e da pelve de uma mulher, da região anterior para posterior.

1 Décima segunda costela
 2 Fígado
 3 Medula espinal
 4 Canal vertebral
 5 Processo espinhoso
 6 Osso do quadril
 7 Sacro

8 Articulação sacroilíaca
 9 Pilar direito do diafragma
 10 Pilar esquerdo do diafragma
 11 Hemidiafragma direito
 12 Hemidiafragma esquerdo
 13 Músculos eretores da espinha
 14 Músculo quadrado do lombo

15 Músculo glúteo máximo
 16 Colo sigmoide
 17 Reto
 18 Vagina
 19 Colo do útero
 20 Útero
 21 Veias uterinas

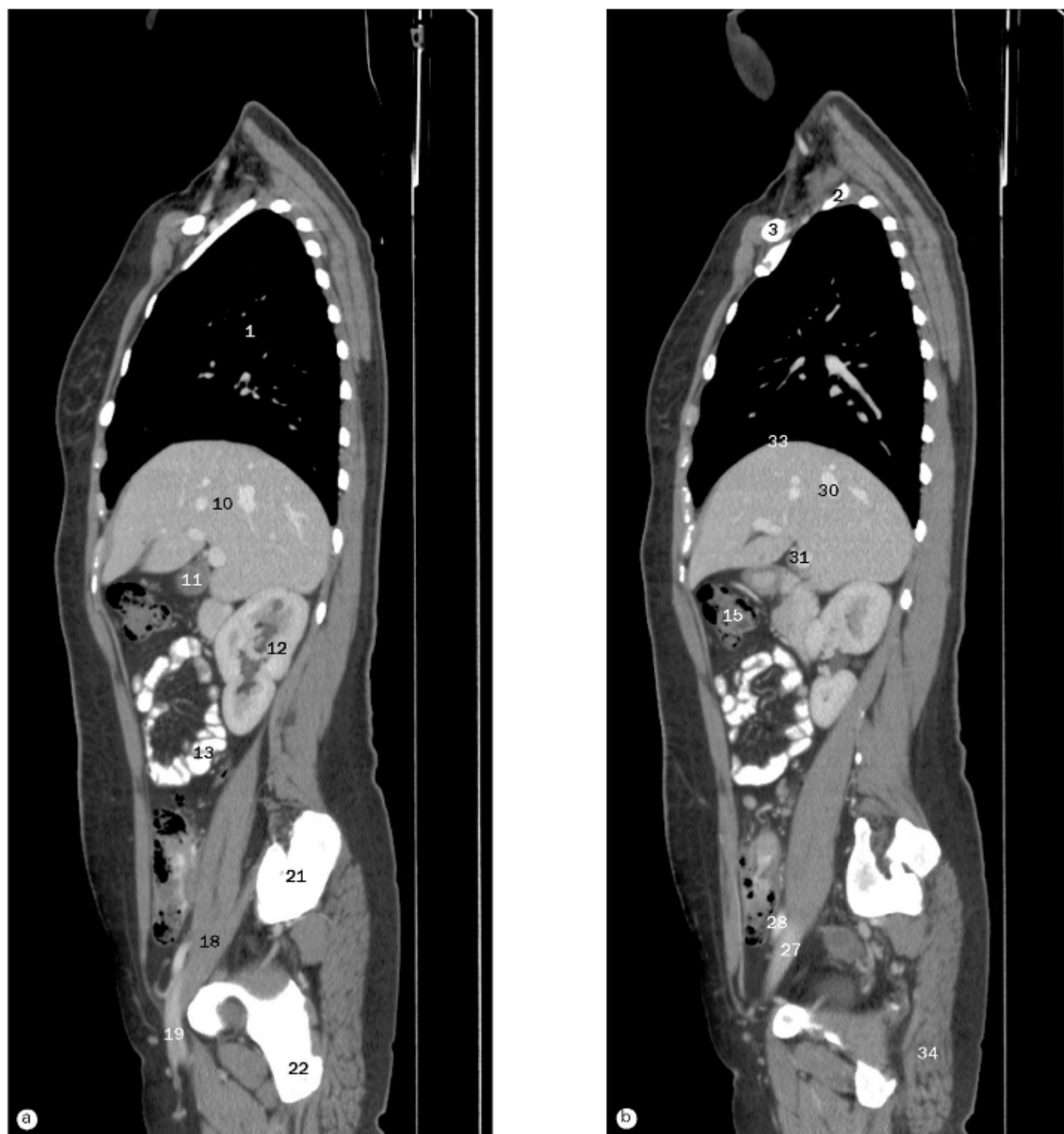


(a)-(d) Imagens coronais e sequenciais de TC do tórax, do abdome e da pelve de uma mulher, da região anterior para posterior.

22 Músculo latíssimo do dorso
 23 Décima costela
 24 Rim direito
 25 Rim esquerdo
 26 Escápula
 27 Clavícula

28 Articulação acromioclavicular
 29 Músculo glúteo médio
 30 Músculo subescapular
 31 Músculo infraespalinal
 32 Músculo supraespalinal
 33 Músculo intercostal

34 Nervo isquiático
 35 Forame sacral
 36 Baço
 37 Ísquio



(a)-(d) Imagens sagitais e sequenciais de TC do tórax, do abdome e da pelve de uma mulher, da região direita para a esquerda. Nota: as páginas 146-149 mostram imagens sequenciais da mesma paciente do sexo feminino.

1 Pulmão direito
2 Pulmão esquerdo
3 Clavícula direita
4 Manúbrio
5 Veia jugular interna direita
6 Aorta

7 Veia cava inferior
8 Veia cava superior
9 Átrio direito
10 Lobo hepático direito
11 Vesícula biliar
12 Rim direito

13 Jejuno
14 Íleo
15 Flexura direita do colo
16 Pâncreas
17 Músculo psoas maior
18 Músculo iliopsoas



(a)-(d) Imagens sagitais e sequenciais de TC do tórax, do abdome e da pelve de uma mulher, da região direita para a esquerda.

19 Vasos femorais comuns
20 Sacro
21 Osso do quadril
22 Ísquio
23 Bexiga urinária
24 Reto

25 Colo sigmoide
26 Arteria íliaca comum direita
27 Veia íliaca externa direita
28 Arteria íliaca externa direita
29 Veia íliaca comum direita
30 Veia hepática

31 Veia porta
32 Púbis
33 Hemidiafragma direito
34 Músculo glúteo máximo

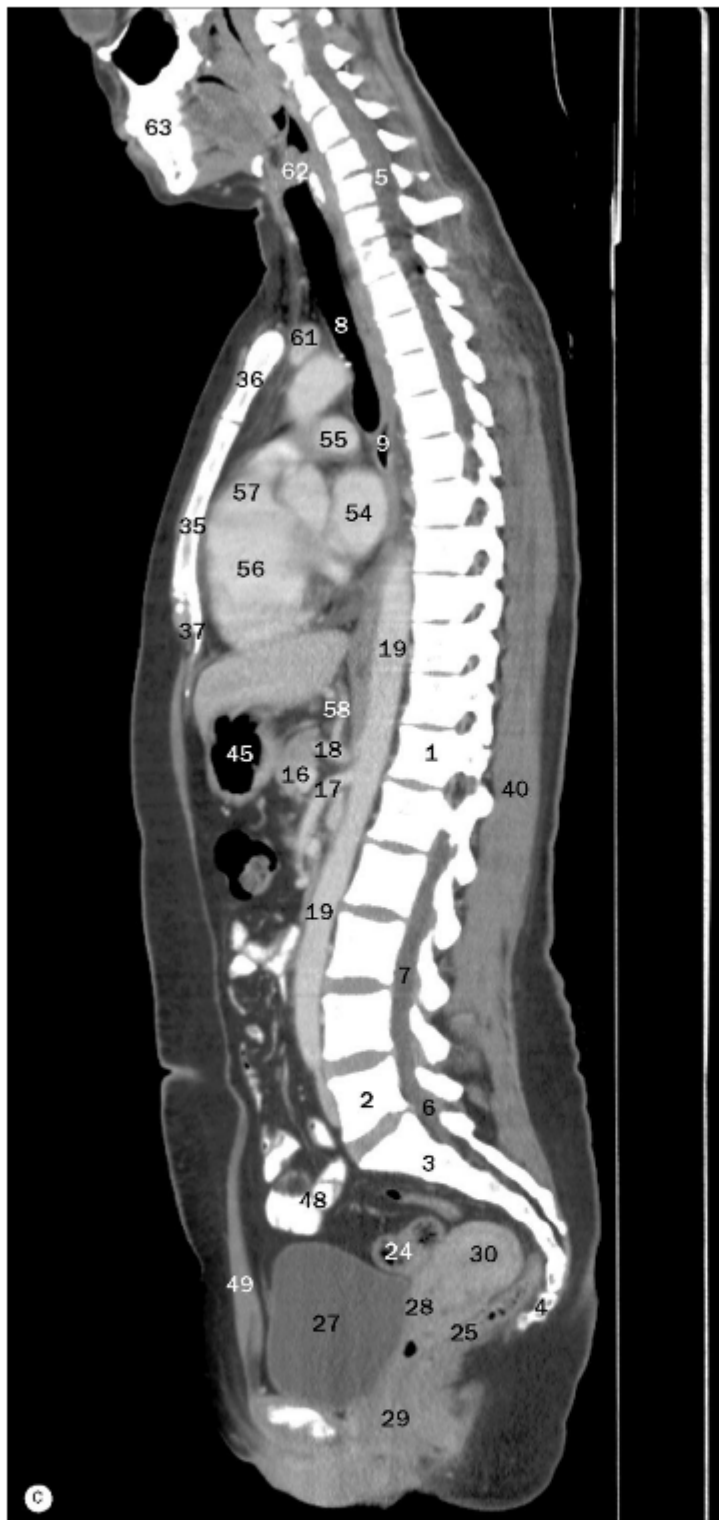


(a)-(d) Imagens sagitais e sequenciais de TC do tórax, do abdome e da pelve de uma mulher, da região direita para a esquerda.

1 Corpo da vértebra T12
 2 Corpo da vértebra L5
 3 Sacro
 4 Cóccix
 5 Medula espinal
 6 Canal vertebral
 7 Filamento terminal
 8 Traqueia
 9 Esôfago
 10 Pulmão direito

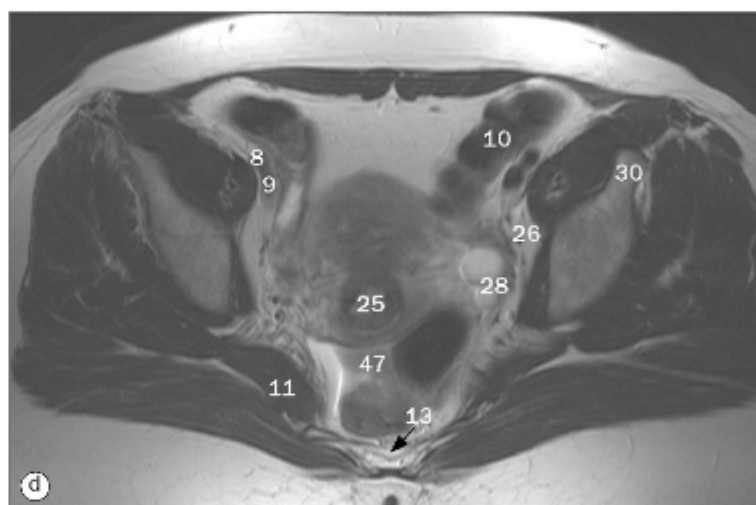
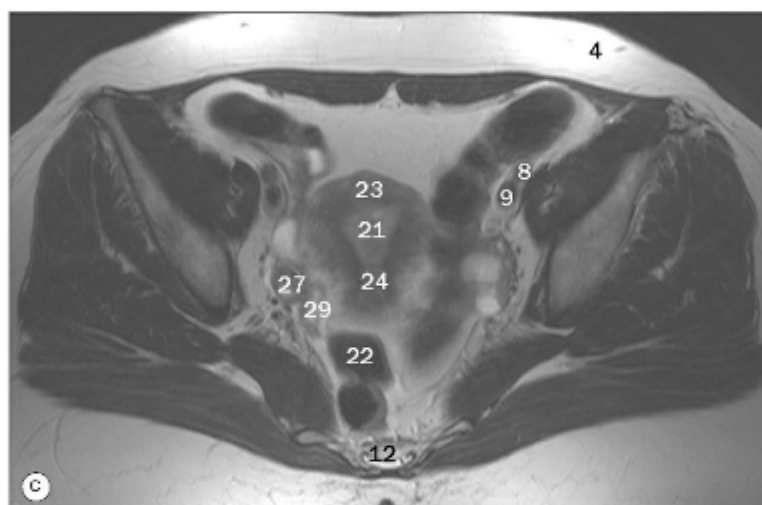
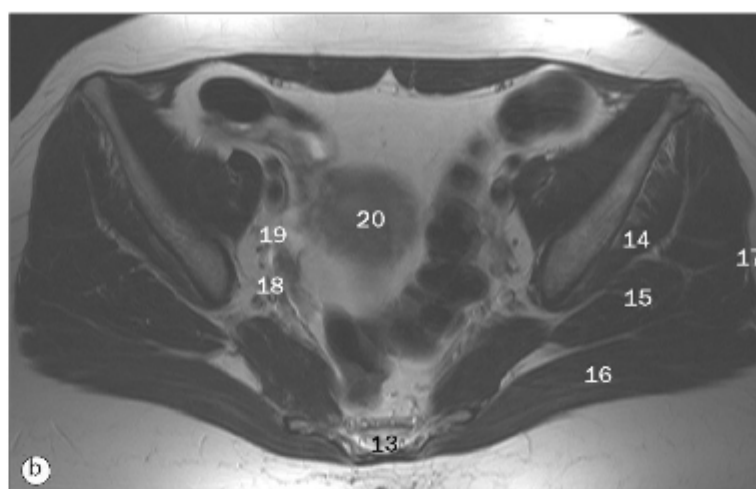
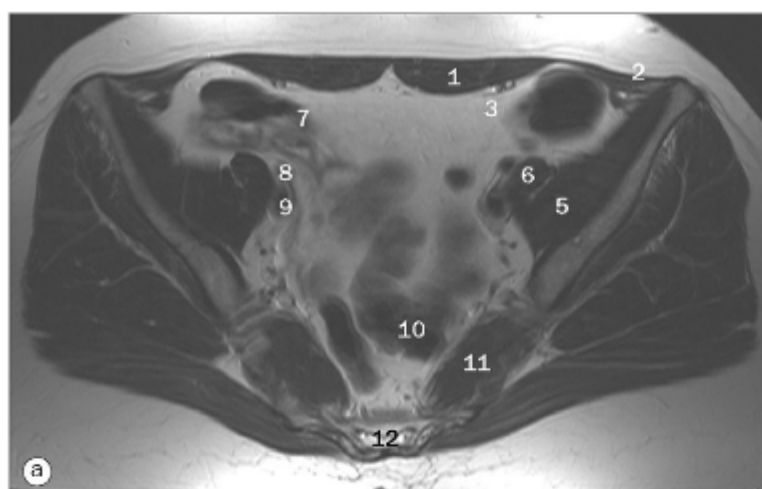
11 Átrio direito
 12 Veia cava superior
 13 Veia cava inferior
 14 Veia hepática
 15 Veia esplênica
 16 Veia mesentérica superior
 17 Artéria mesentérica superior
 18 Tronco celíaco
 19 Aorta
 20 Pilar direito do diafragma

21 Estômago
 22 Colo descendente
 23 Colo transverso
 24 Colo sigmoide
 25 Reto
 26 Púbis
 27 Bexiga urinária
 28 Colo do útero
 29 Vagina
 30 Útero



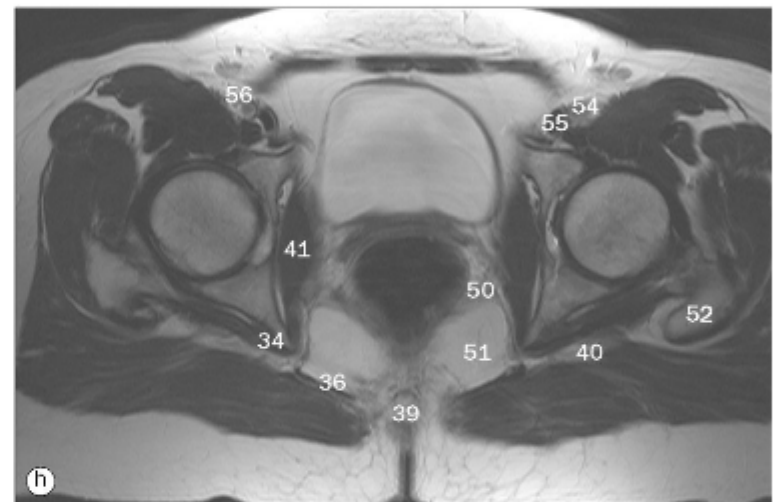
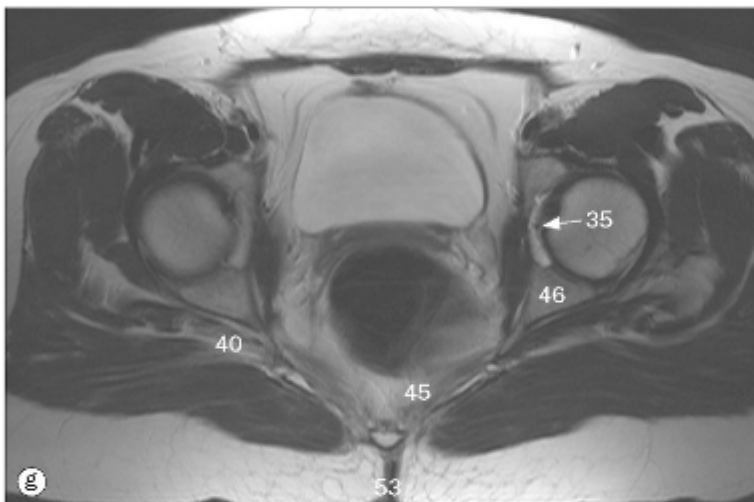
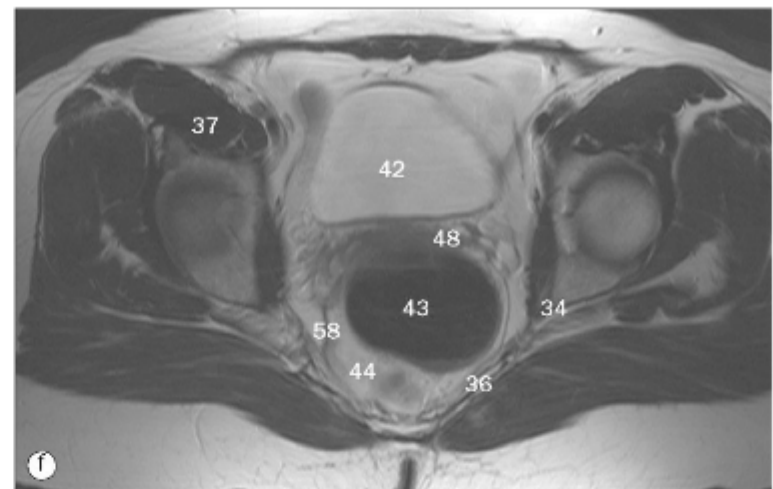
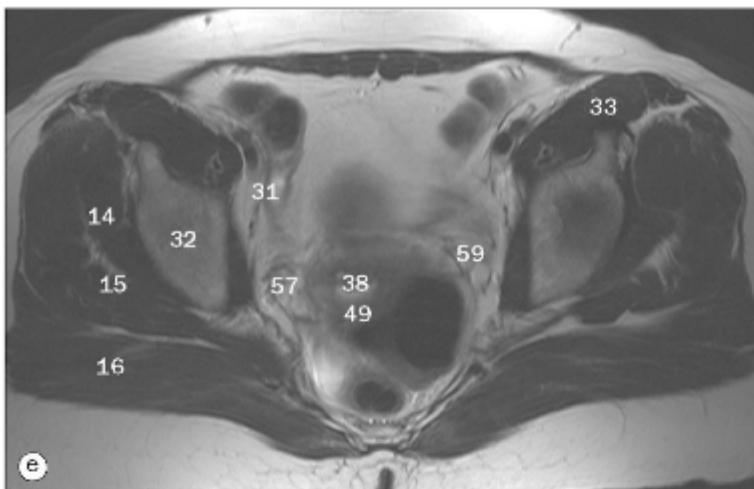
(a)-(d) Imagens sagitais e sequenciais de TC do tórax, do abdome e da pelve de uma mulher, da região direita para a esquerda.

- | | | |
|------------------------------------|---------------------------|----------------------------------|
| 31 Músculo glúteo máximo | 42 Hemidiafragma esquerdo | 53 Vasos femorais esquerdos |
| 32 Osso do quadril | 43 Fígado | 54 Átrio esquerdo |
| 33 Cabeça do fêmur | 44 Fundo gástrico | 55 Artéria pulmonar direita |
| 34 Ísquio | 45 Corpo gástrico | 56 Ventrículo direito |
| 35 Esterno | 46 Baço | 57 Saída do tronco pulmonar |
| 36 Manúbrio | 47 Jejuno | 58 Artéria hepática comum |
| 37 Processo xifoide | 48 Íleo | 59 Artéria esplênica |
| 38 Pulmão esquerdo | 49 Músculo reto do abdome | 60 Parte ascendente da aorta |
| 39 Clavícula esquerda | 50 Corpo do pâncreas | 61 Veia braquiocefálica esquerda |
| 40 Músculos eretores da espinha | 51 Cauda do pâncreas | 62 Laringe |
| 41 Músculo peitoral maior esquerdo | 52 Músculo íliaco | 63 Mandíbula |



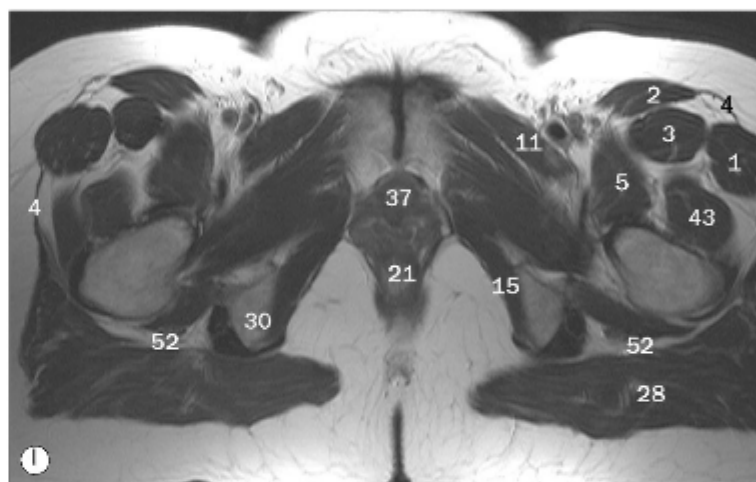
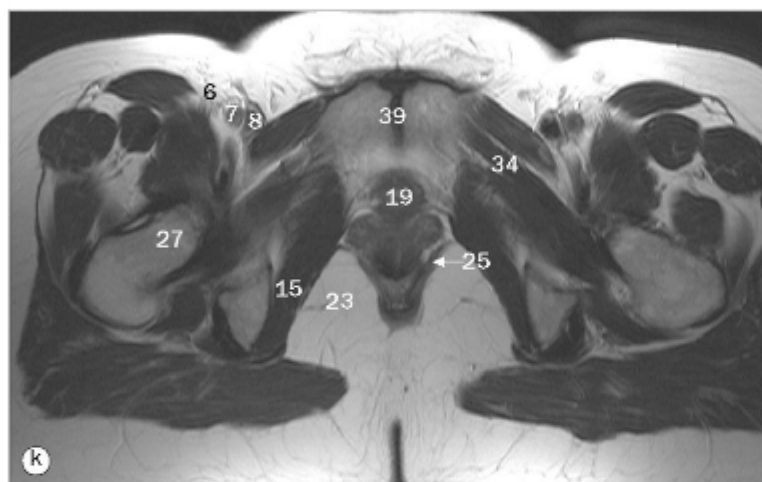
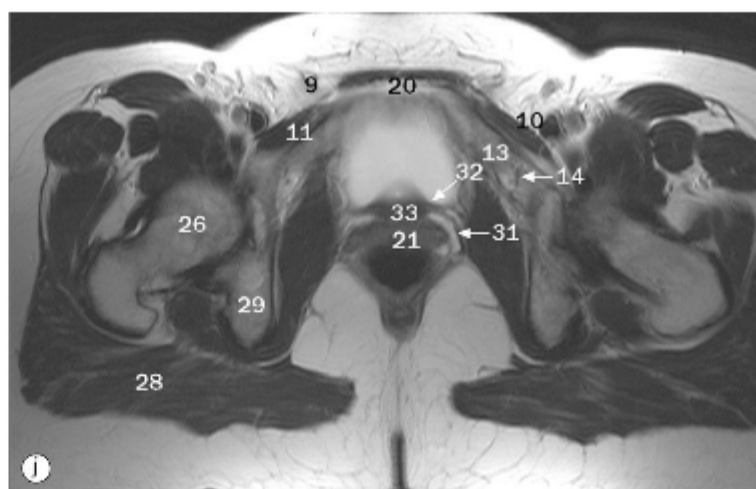
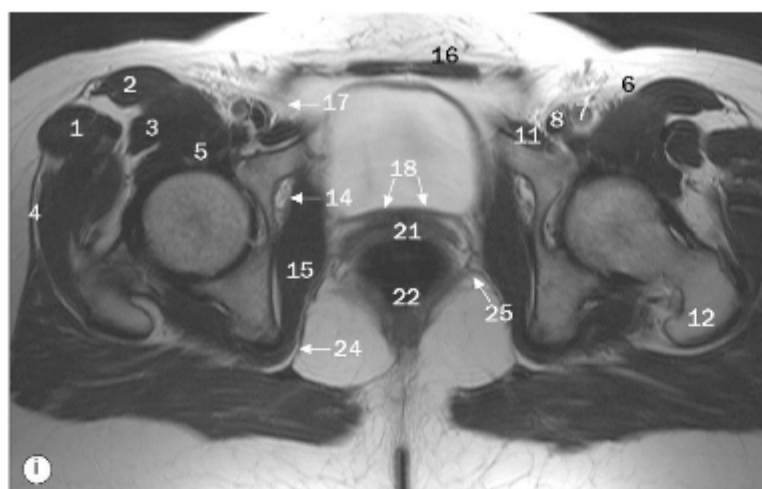
(a)-(p) Imagens axiais e sequenciais de RM da pelve feminina, ponderadas em T2, da região superior para inferior.

- | | | |
|---|-----------------------------|---------------------------------------|
| 1 Músculo reto do abdome | 11 Músculo piriforme | 22 Junção retossigmóidea |
| 2 Aponeurose do músculo oblíquo externo do abdome | 12 Sacro | 23 Miométrio do útero |
| 3 Vasos epigástricos inferiores | 13 Canal sacral | 24 Óstio histológico interno do útero |
| 4 Vasos epigástricos superficiais | 14 Músculo glúteo mínimo | 25 Óstio do útero |
| 5 Músculo ilíaco | 15 Músculo glúteo médio | 26 Vasos obturadores |
| 6 Músculo psoas maior | 16 Músculo glúteo máximo | 27 Ovário direito |
| 7 Íleo | 17 Fâscia lata | 28 Ovário esquerdo |
| 8 Artéria ilíaca externa | 18 Vasos glúteos superiores | 29 Tuba uterina direita |
| 9 Veia ilíaca externa | 19 Vasos ováricos | 30 Espinha ilíaca anteroinferior |
| 10 Colo sigmoide | 20 Fundo do útero | |
| | 21 Cavidade do útero | |



(a)-(p) Imagens axiais e sequenciais de RM da pelve feminina, ponderadas em T2, da região superior para inferior.

- | | | |
|---------------------------------|--|---------------------------------|
| 31 Ligamento redondo do útero | 41 Músculo obturador interno | 51 Fossa isquioanal |
| 32 Teto do acetábulo | 42 Bexiga urinária | 52 Trocanter maior do fêmur |
| 33 Músculo reto femoral | 43 Reto | 53 Fenda interglútea |
| 34 Espinha isquiática | 44 Mesorreto | 54 Artéria femoral |
| 35 Ligamento da cabeça do fêmur | 45 Fâscia inferior do diafragma da pelve | 55 Veia femoral |
| 36 Ligamento sacrospinal | 46 Ísquio | 56 Ramos do nervo femoral |
| 37 Músculo iliopsoas | 47 Escavação retouterina | 57 Ligamento transverso do colo |
| 38 Parede do colo do útero | 48 Fórnice posterior da vagina | 58 Ligamento retouterino |
| 39 Cóccix | 49 Óstio do útero | 59 Ligamento largo |
| 40 Nervo isquiático | 50 Músculo levantador do ânus (puborretal) | |

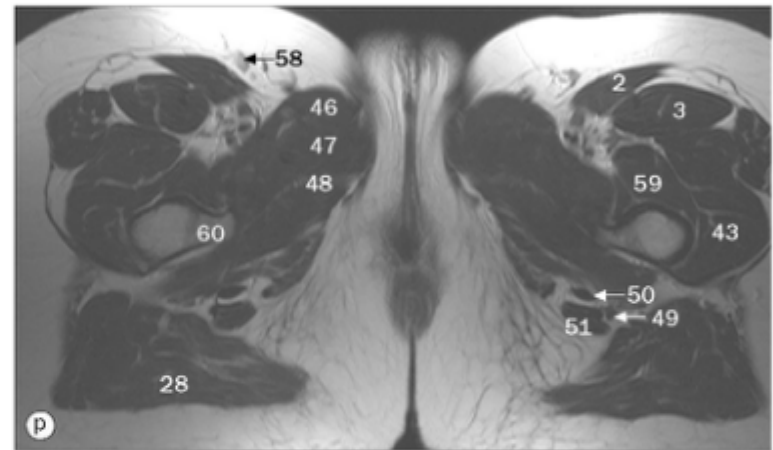
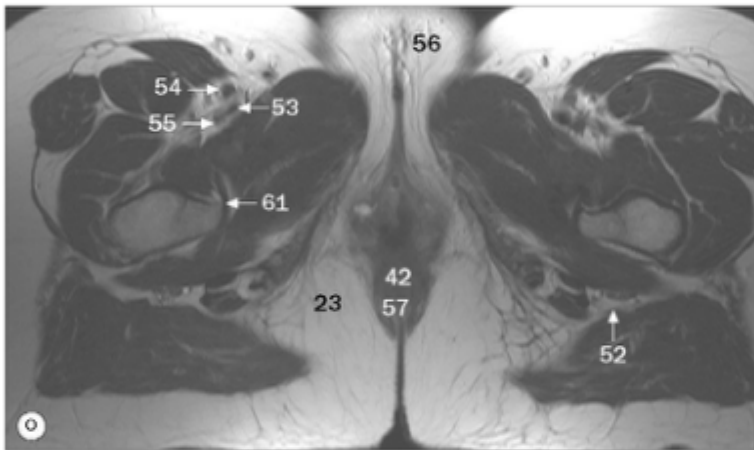
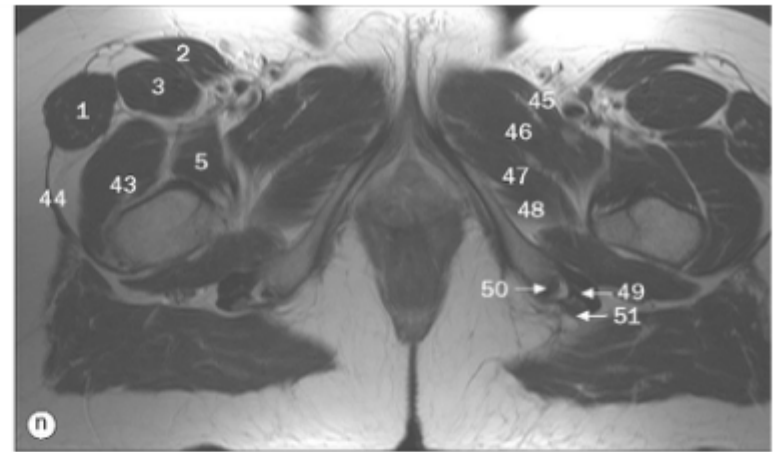
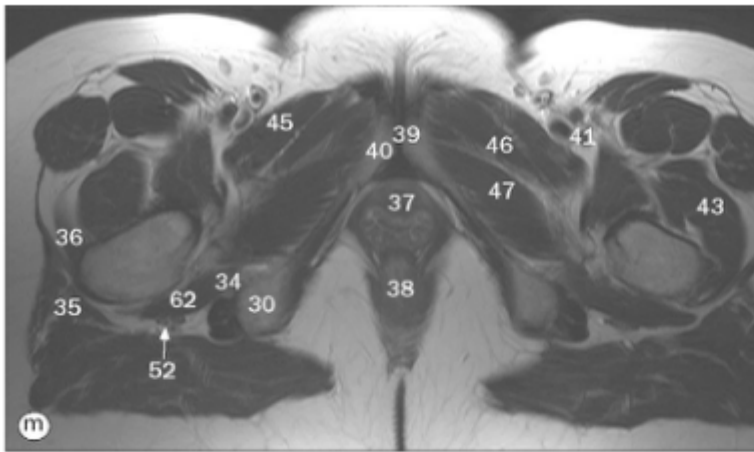


(a)-(p) Imagens axiais e sequenciais de RM da pelve feminina, ponderadas em T2, da região superior para inferior.

1 Músculo tensor da fáscia lata
 2 Músculo sartório
 3 Músculo reto femoral
 4 Fáscia lata
 5 Músculo iliopsoas
 6 Ramos do nervo femoral
 7 Arteria femoral comum
 8 Veia femoral comum
 9 Ligamento redondo do útero
 10 Canal femoral

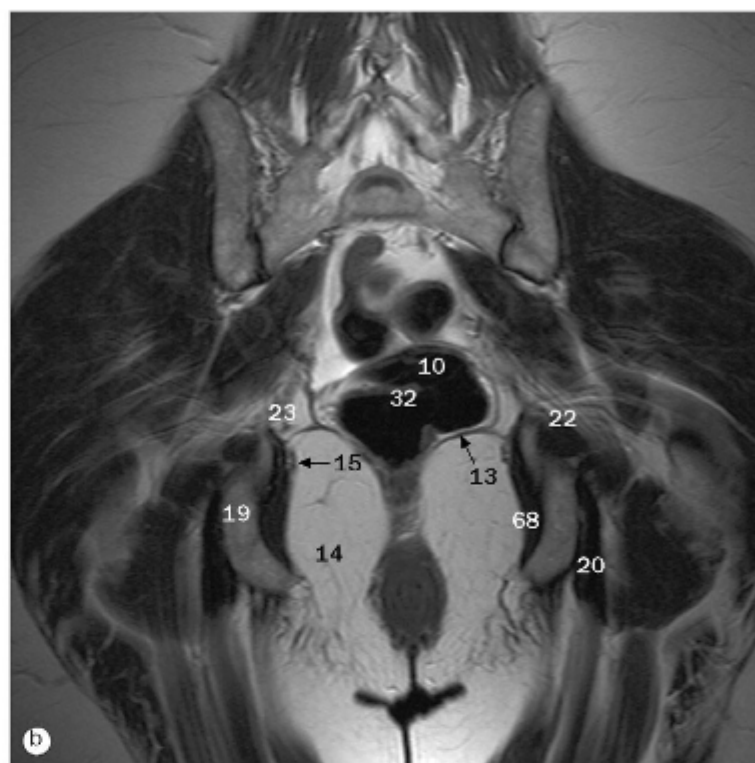
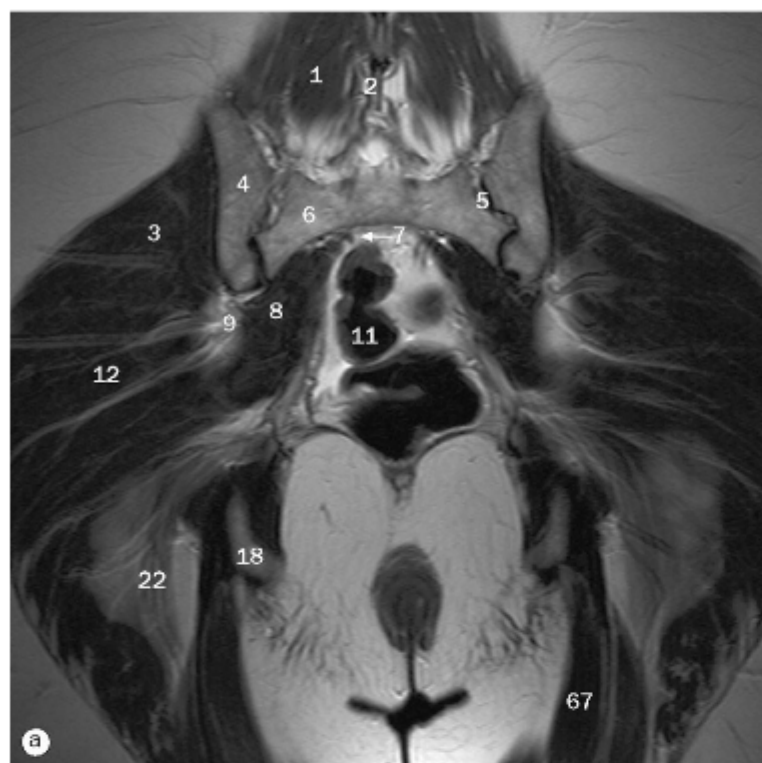
11 Pectíneo
 12 Trocanter maior do fêmur
 13 Ramo superior do púbis
 14 Vasos obturadores
 15 Músculo obturador interno
 16 Músculo reto do abdome
 17 Ligamento inguinal
 18 Fundo da bexiga
 19 Colo da bexiga
 20 Espaço retropúbico

21 Vagina
 22 Reto
 23 Fossa isquioanal
 24 Canal do pudendo
 25 Músculo puborretal
 26 Cabeça do fêmur
 27 Colo do fêmur
 28 Músculo glúteo máximo
 29 Ísquio
 30 Túber isquiático



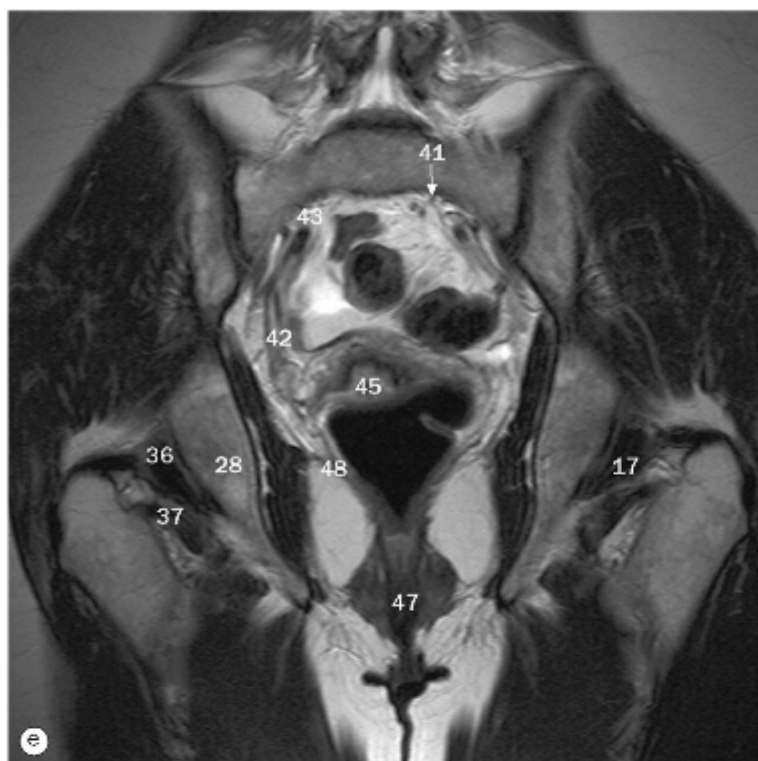
(a)-(p) Imagens axiais e sequenciais de RM da pelve feminina, ponderadas em T2, da região superior para inferior.

- | | | |
|--|-----------------------------|----------------------------------|
| 31 Ureter | 41 Artéria femoral profunda | 52 Nervo isquiático |
| 32 Junção vesicoureteral | 42 Corpo do períneo | 53 Veia femoral superficial |
| 33 Trígono da bexiga | 43 Músculo vasto lateral | 54 Artéria femoral superficial |
| 34 Músculo obturador externo | 44 Trato iliotibial | 55 Vasos femorais profundos |
| 35 Músculo glúteo médio | 45 Músculo pectíneo | 56 Lábio maior do pudendo |
| 36 Músculo glúteo mínimo (inserção tendínea) | 46 Músculo adutor longo | 57 Canal anal |
| 37 Uretra | 47 Músculo adutor curto | 58 Veia safena magna |
| 38 Junção anorretal | 48 Músculo adutor magno | 59 Músculo vasto intermédio |
| 39 Sínfise púbica | 49 Músculo semimembrânico | 60 Trocanter menor do fêmur |
| 40 Corpo do púbis | 50 Músculo semitendíneo | 61 Inserção do músculo iliopsoas |
| | 51 Músculo bíceps femoral | 62 Músculo quadrado femoral |



(a)-(p) Imagens coronais de RM da pelve feminina, ponderadas em T2, da região posterior para anterior.

- | | | |
|-------------------------------------|--|---|
| 1 Músculo erector da espinha | 13 Músculo levantador do ânus | 24 Nervo sacral (S1) |
| 2 Processo espinhoso da vértebra L5 | 14 Fossa isquioanal | 25 Saco tecal |
| 3 Músculo glúteo máximo | 15 Canal do pudendo | 26 Vasos retais superiores |
| 4 Osso do quadril | 16 Músculo esfíncter externo do ânus | 27 Trocanter maior do fêmur |
| 5 Articulação sacroilíaca | 17 Músculo obturador externo | 28 Acetábulo |
| 6 Asa do sacro | 18 Túber isquiático | 29 Diafragma urogenital |
| 7 Tronco lombossacral | 19 Ísquio | 30 Feixe neurovascular no canal obturatório |
| 8 Músculo piriforme | 20 Origem comum dos tendões dos músculos posteriores da coxa | 31 Ampola do reto |
| 9 Vasos glúteos superiores | 21 Canal anal | 32 Prega transversa do reto |
| 10 Reto | 22 Nervo isquiático | 33 Vasos retais médios |
| 11 Junção retossigmóidea | 23 Vasos glúteos inferiores | 34 Músculo piriforme (inserção) |
| 12 Músculo glúteo médio | | 35 Parte intertrocantérica do fêmur |



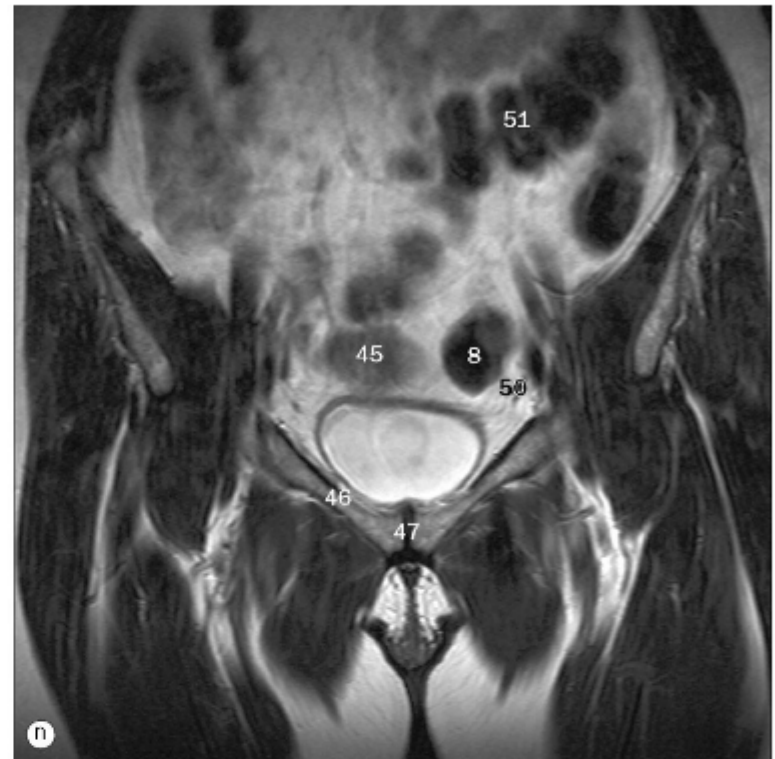
(a)-(p) Imagens coronais de RM da pelve feminina, ponderadas em T2, da região posterior para anterior.

- | | | |
|---------------------------------------|--|------------------------------|
| 36 Músculo obturador externo | 49 Ligamento largo do útero | 62 Músculo adutor longo |
| 37 Músculo gêmeo | 50 Ovário direito | 63 Trocanter menor do fêmur |
| 38 Feixe neurovascular retal inferior | 51 Ovário esquerdo | 64 Ramo inferior do púbis |
| 39 Ligamento iliolumbar | 52 Cisto fisiológico do ovário (corpo lúteo) | 65 Plexo lombar |
| 40 Ureter | 53 Tuba uterina | 66 Crista ilíaca |
| 41 Tronco simpático | 54 Escavação retouterina | 67 Músculo bíceps femoral |
| 42 Ramos vasculares ilíacos internos | 55 Músculo psoas maior | 68 Músculo obturador interno |
| 43 Bifurcação do vaso ilíaco comum | 56 Colo descendente | 69 Músculo quadrado femoral |
| 44 Vasos gonadais | 57 Músculo ilíaco | 70 Músculo grácil |
| 45 Colo do útero | 58 Disco intervertebral de L5/S1 | 71 Músculo glúteo mínimo |
| 46 Cavidade do útero | 59 Lábio menor do pudendo | 72 Colo sigmoide |
| 47 Corpo do períneo | 60 Músculo adutor curto | |
| 48 Músculo puborretal | 61 Vagina (parede posterior) | |



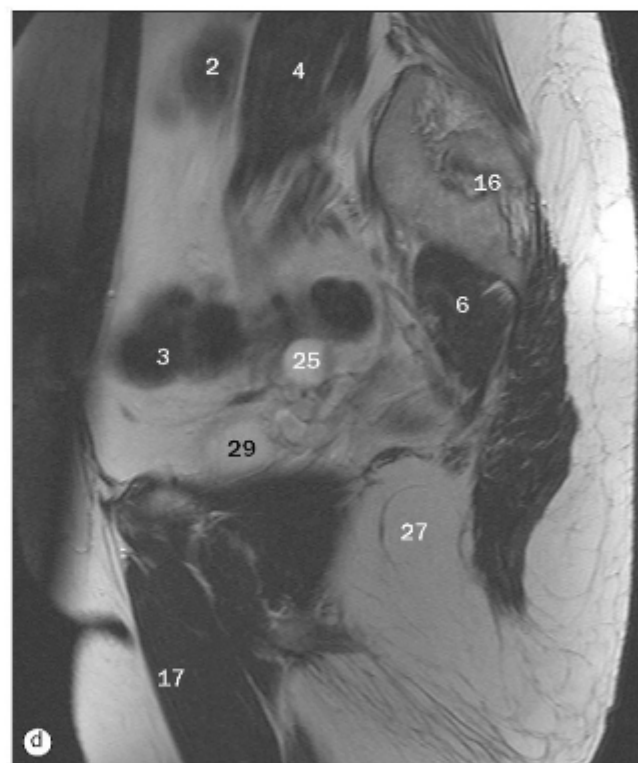
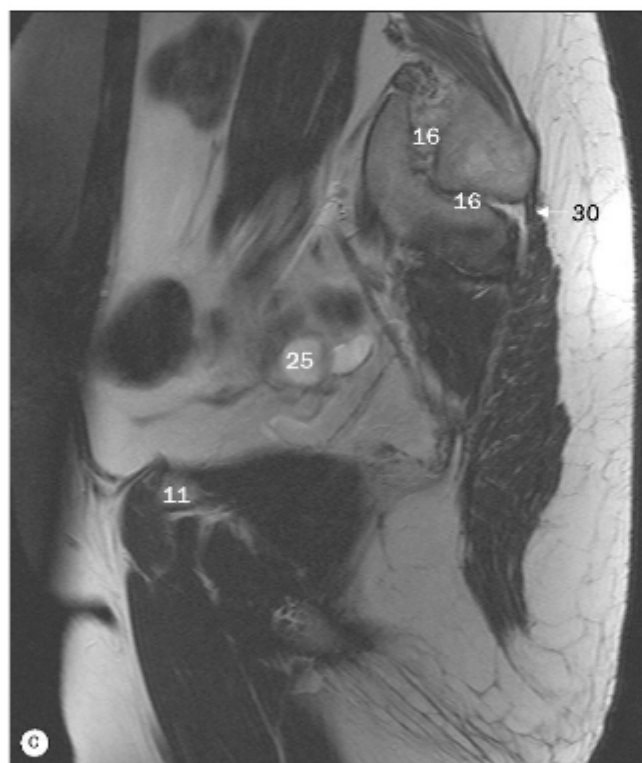
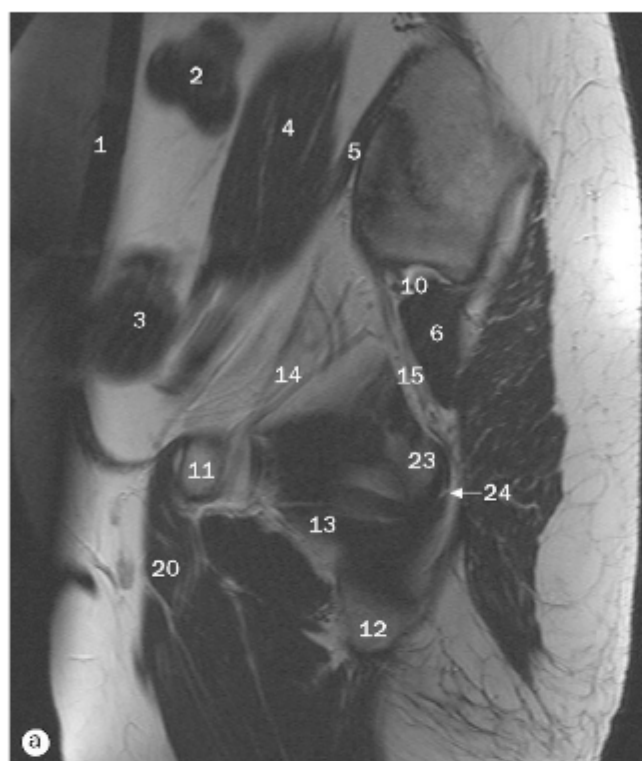
(a)-(p) Imagens coronais de RM da pelve feminina, ponderadas em T2, da região posterior para anterior.

- | | | |
|-----------------------------------|---|---|
| 1 Músculo psoas maior | 12 Ligamento largo do útero | 22 Músculo obturador externo |
| 2 Músculo ilíaco | 13 Tubas uterinas | 23 Músculo levantador do ânus |
| 3 Ramos da artéria ilíaca interna | 14 Vagina | 24 Músculo pubovaginal |
| 4 Colo descendente | 15 Fôrnice posterior da vagina | 25 Músculo transverso do períneo (diafragma urogenital) |
| 5 Crista ilíaca | 16 Ureter | 26 Espaço profundo do períneo |
| 6 Músculo glúteo médio | 17 Óstio do ureter | 27 Espaço superficial do períneo |
| 7 Músculo glúteo mínimo | 18 Trígono da bexiga | 28 Uretra |
| 8 Colo sigmoide | 19 Feixe neurovascular no canal obturatório | 29 Esfíncter interno da uretra |
| 9 Miométrio | 20 Teto do acetábulo | 30 Ramo inferior do púbis |
| 10 Disco intervertebral em L4/5 | 21 Músculo obturador interno | |



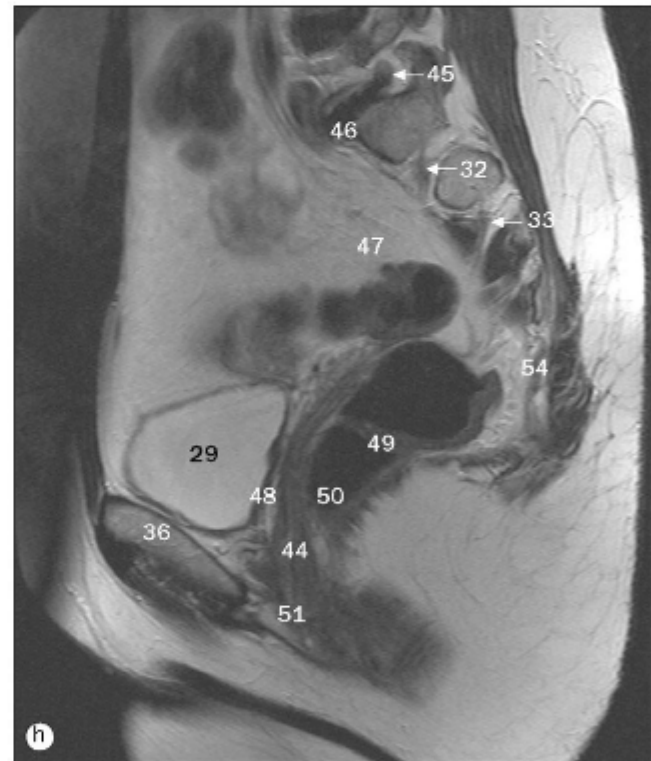
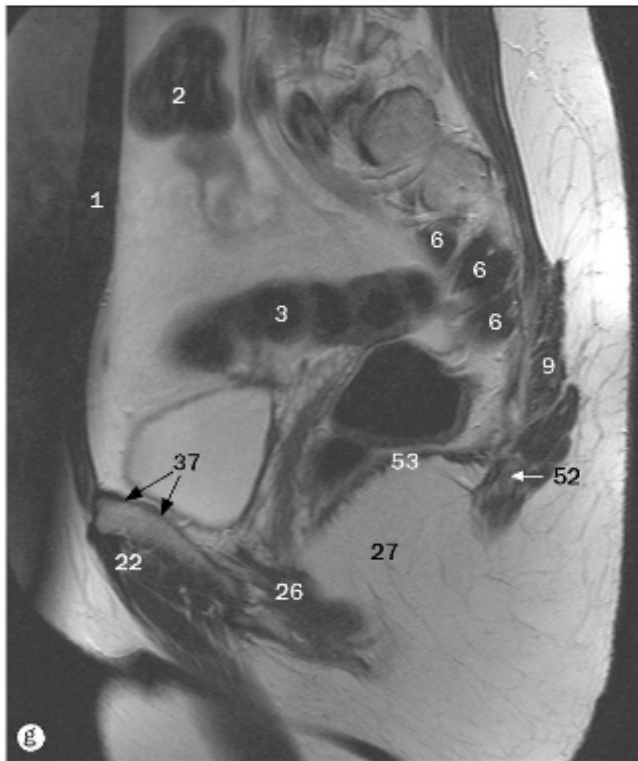
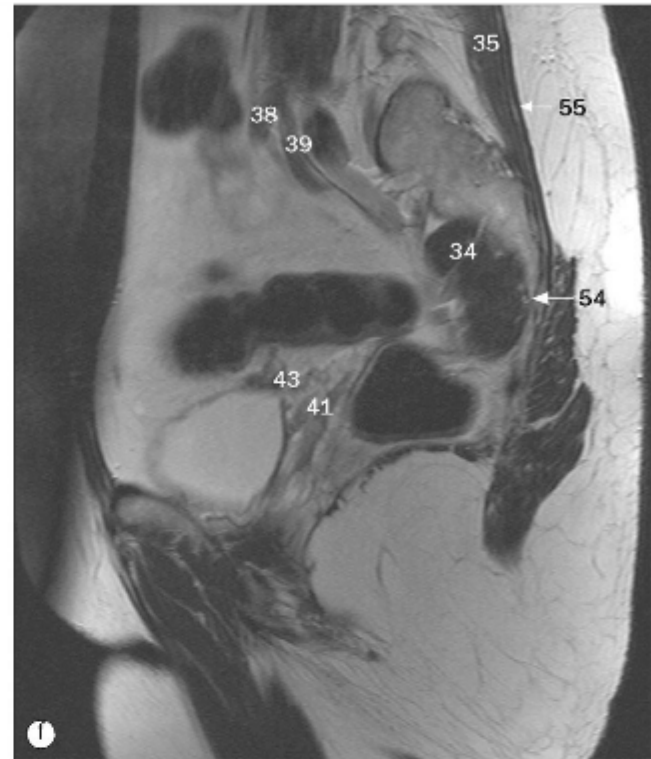
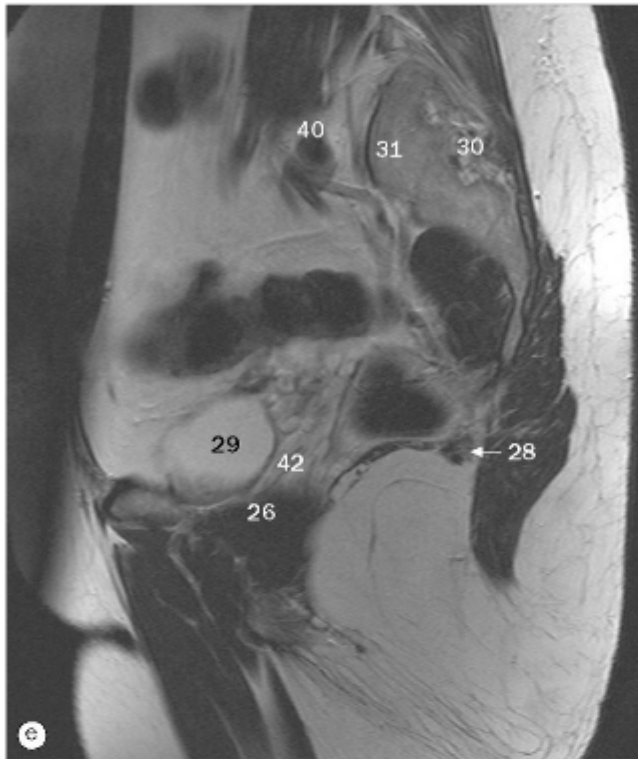
(a)-(p) Imagens coronais de RM da pelve feminina, ponderadas em T2, da região posterior para anterior.

- | | | |
|--------------------------------------|------------------------------|------------------------------------|
| 31 Músculo adutor longo | 42 Miométrio | 53 Ceco |
| 32 Lábio menor do pudendo | 43 Endométrio | 54 Músculo reto femoral |
| 33 Esfíncter interno da uretra | 44 Cavidade do útero | 55 Músculo iliopsoas |
| 34 Músculo vasto medial | 45 Fundo do útero | 56 Canal femoral |
| 35 Músculo vasto lateral | 46 Ramo superior do púbis | 57 Músculo adutor curto |
| 36 Aorta | 47 Sínfise púbica | 58 Músculo sartório |
| 37 Artéria ilíaca comum | 48 Artéria femoral | 59 Lábio maior do pudendo |
| 38 Artéria ilíaca externa | 49 Veia femoral | 60 Bexiga urinária |
| 39 Músculo oblíquo externo do abdome | 50 Vasos vesicais superiores | 61 Músculo grácil |
| 40 Músculo oblíquo interno do abdome | 51 Colo transverso | 62 Vasos circunflexos femorais |
| 41 Músculo transverso do abdome | 52 Intestino delgado | 63 Espaço retropúbico (de Retzius) |



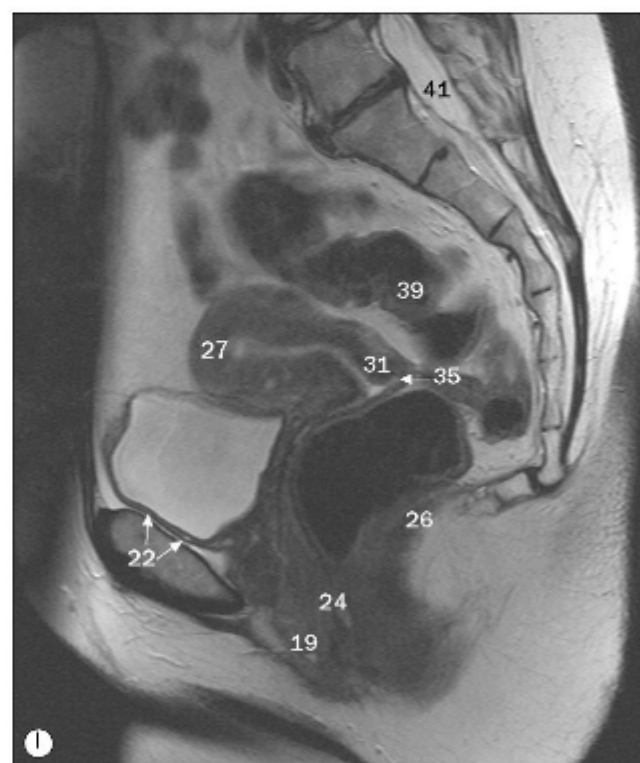
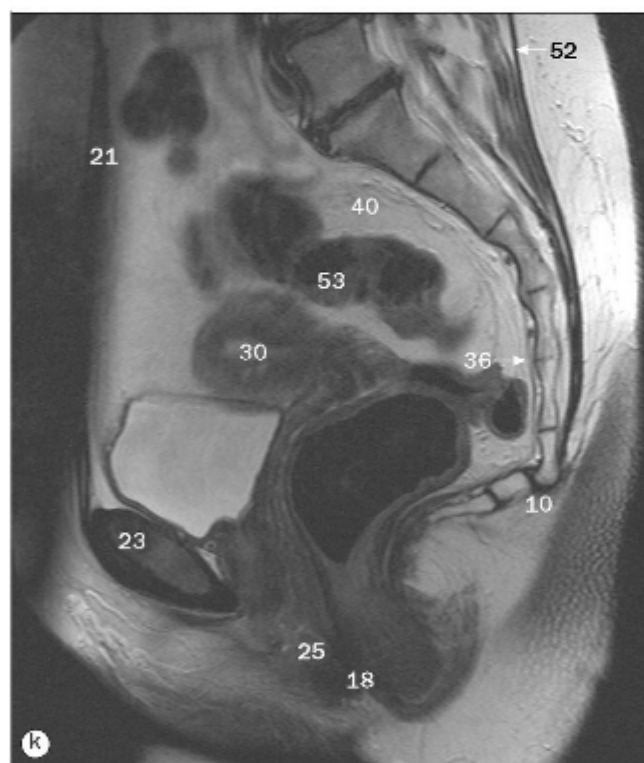
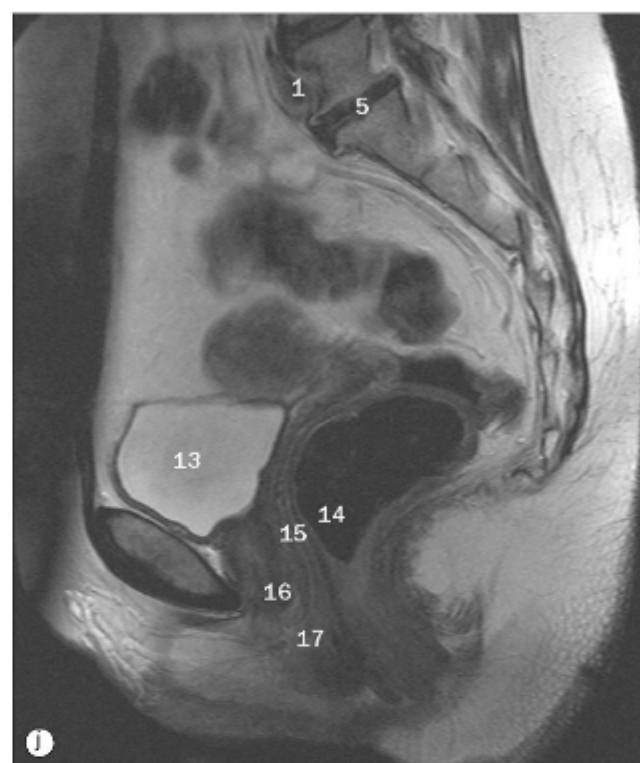
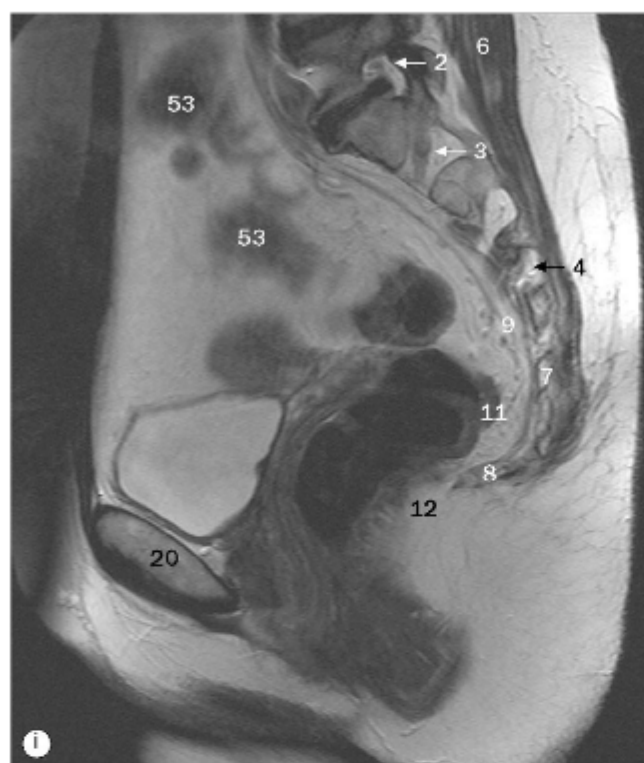
(a)-(p) Imagens sagitais e sequenciais de RM da pelve feminina, ponderadas em T2, da direita para a esquerda através da linha mediana.

- | | | |
|-----------------------------|---|--|
| 1 Músculo reto do abdome | 11 Ramo superior do púbis | 20 Músculo iliopsoas |
| 2 Colo transversal | 12 Ramo inferior do púbis | 21 Músculo obturador interno |
| 3 Colo sigmoide | 13 Músculo obturador externo | 22 Músculo pectíneo |
| 4 Músculo psoas maior | 14 Feixe neurovascular no canal obturatório | 23 Túber isquiático |
| 5 Músculo ilíaco | 15 Nervo isquiático | 24 Origem dos tendões dos músculos posteriores da coxa |
| 6 Músculo piriforme | 16 Articulação sacroilíaca | 25 Ovário direito (cisto do corpo lúteo) |
| 7 Asa do sacro | 17 Músculo adutor longo | 26 Músculo levantador do ânus |
| 8 Osso do quadril | 18 Músculo adutor curto | 27 Fossa isquioanal |
| 9 Músculo glúteo máximo | 19 Músculo adutor magno | |
| 10 Vasos glúteos superiores | | |



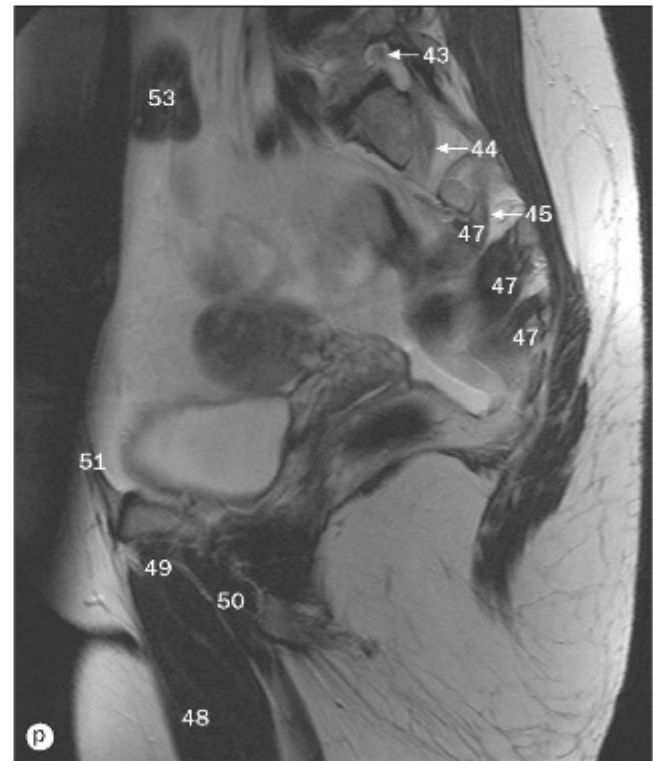
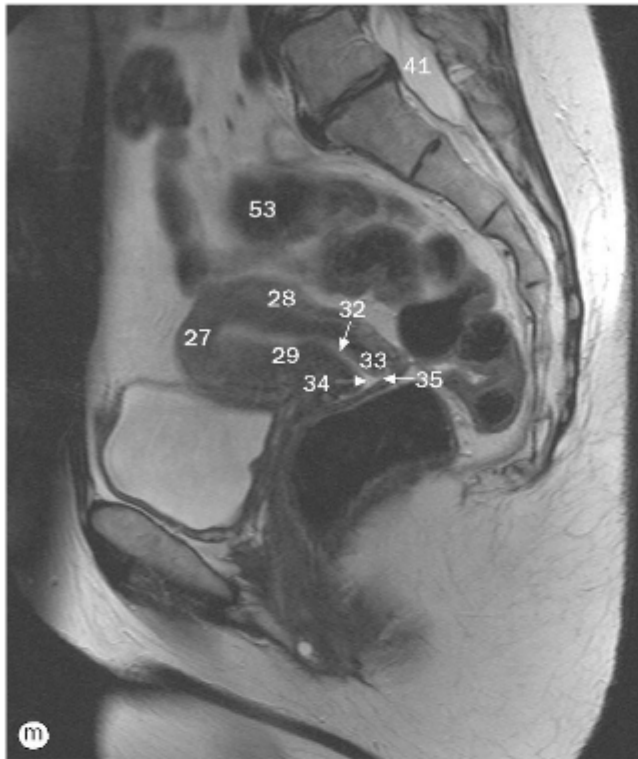
(a)-(p) Imagens sagitais e sequenciais de RM da pelve feminina, ponderadas em T2, da direita para a esquerda através da linha mediana.

- | | | |
|---|----------------------------------|---|
| 28 Canal do pudendo | 38 Artéria ilíaca externa | 48 Trígono da bexiga |
| 29 Bexiga urinária | 39 Artéria ilíaca interna | 49 Prega transversa do reto |
| 30 Ligamentos sacroilíacos posteriores | 40 Veia ilíaca interna | 50 Ampola do reto |
| 31 Corpo do sacro | 41 Ligamento largo do útero | 51 Músculo transverso do períneo (diafragma urogenital) |
| 32 Primeira raiz sacral | 42 Ligamento transverso do colo | 52 Cóccix |
| 33 Segunda raiz sacral | 43 Tuba uterina | 53 Músculo coccígeo |
| 34 Junção retossigmoídea | 44 Vagina | 54 Fásia inferior do diafragma da pelve |
| 35 Músculo eretor da espinha | 45 Quinta raiz lombar | 55 Fásia toracolombar |
| 36 Corpo do púbis | 46 Disco intervertebral em L5/S1 | |
| 37 Espaço retropúbico (cavidade de Retzius) | 47 Mesossigmoide | |



(a)-(p) Imagens sagitais e sequenciais de RM da pelve feminina, ponderadas em T2, da direita para a esquerda através da linha mediana.

- | | | |
|-----------------------------------|-------------------------------|---|
| 1 Veia ilíaca comum esquerda | 10 Junção sacrococcígea | 19 Músculo esfíncter externo do ânus |
| 2 Raiz L5 (forame intervertebral) | 11 Músculo levantador do ânus | 20 Corpo do púbis |
| 3 Raiz S1 | 12 Músculo puborretal | 21 Músculo reto do abdome |
| 4 Raiz S2 | 13 Bexiga urinária | 22 Espaço retropúbico (cavidade de Retzius) |
| 5 Disco intervertebral em L5/S1 | 14 Ampola do reto | 23 Sínfise púbica |
| 6 Músculo eretor da espinha | 15 Vagina | 24 Canal anal |
| 7 Quinto segmento sacral | 16 Uretra | 25 Corpo do períneo |
| 8 Cóccix | 17 Óstio da vagina | 26 Corpo anococcígea |
| 9 Plexo sacral | 18 Ânus | |

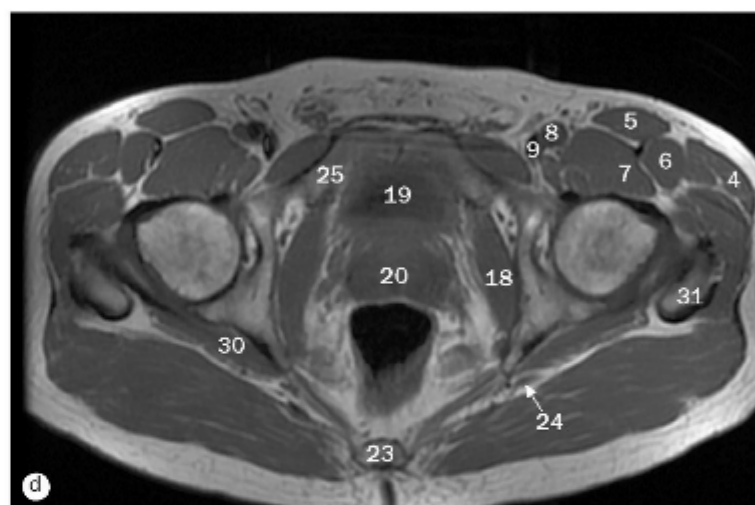
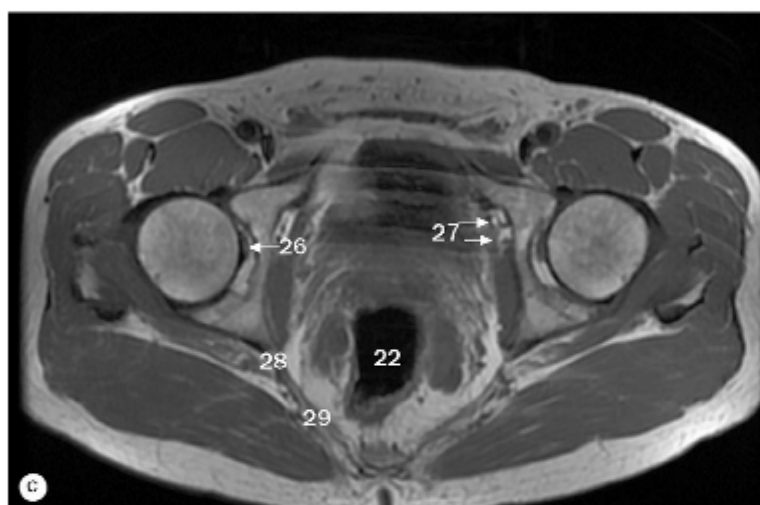
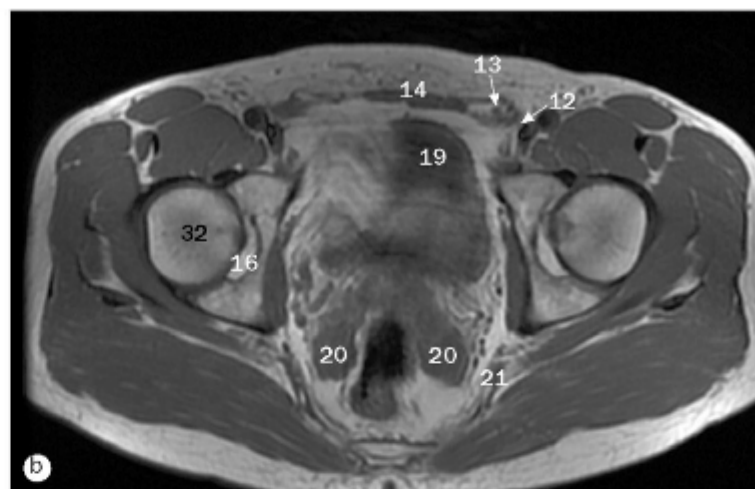
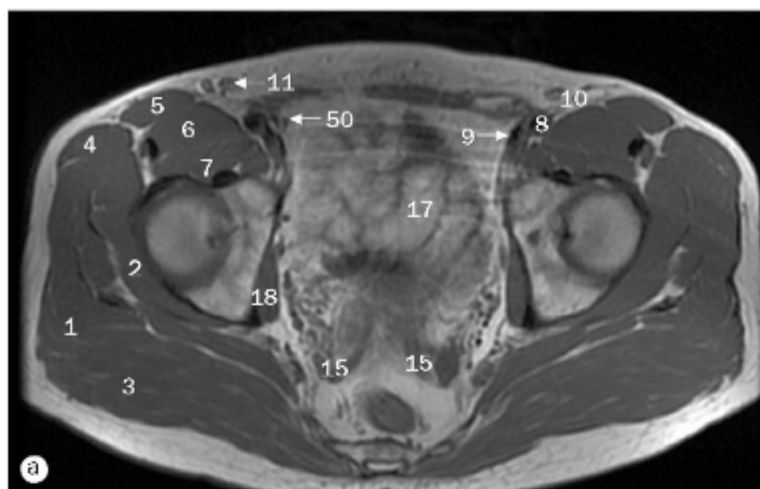


(a)-(p) Imagens sagitais e sequenciais de RM da pelve feminina, ponderadas em T2, da direita para a esquerda através da linha mediana.

27 Fundo do útero
 28 Miométrio
 29 Endométrio
 30 Cavidade do útero
 31 Colo do útero
 32 Óstio anatômico interno do útero
 33 Parede do colo do útero
 34 Óstio do útero
 35 Fórnice posterior da vagina

36 Fâscia inferior do diafragma da pelve
 37 Escavação retouterina
 38 Escavação vesicouterina
 39 Junção retossigmóidea
 40 Mesossigmoide
 41 Saco tecal
 42 Filamento terminal
 43 Raiz L5 esquerda
 44 Raiz S1 esquerda

45 Raiz S2 esquerda
 46 Fossa isquioanal
 47 Músculo piriforme (faixas de origem)
 48 Músculo adutor longo
 49 Músculo adutor curto
 50 Músculo adutor magno
 51 Bainha do músculo reto do abdome
 52 Fâscia toracolombar
 53 Colo sigmoide
 54 Tecido adiposo extraperitoneal

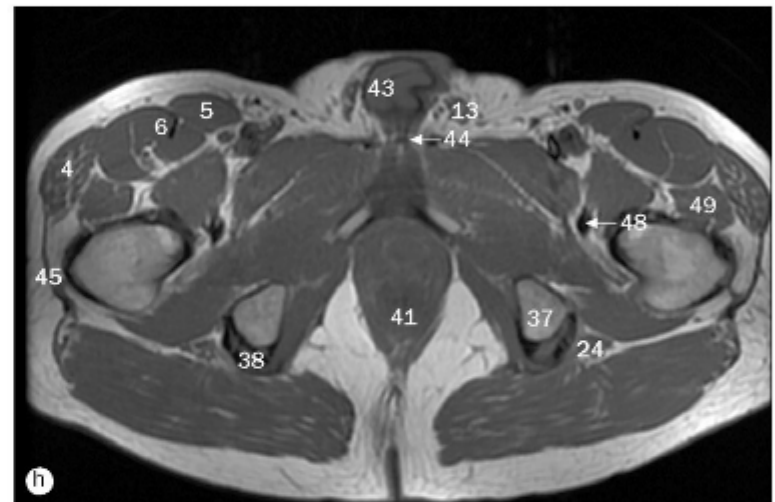
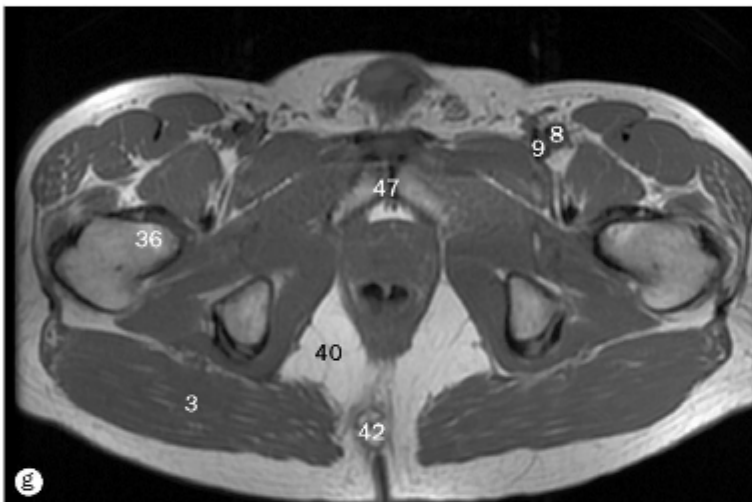
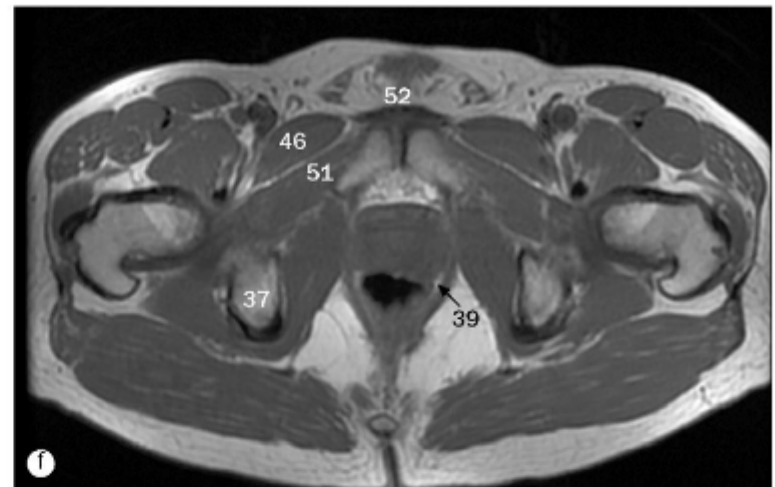
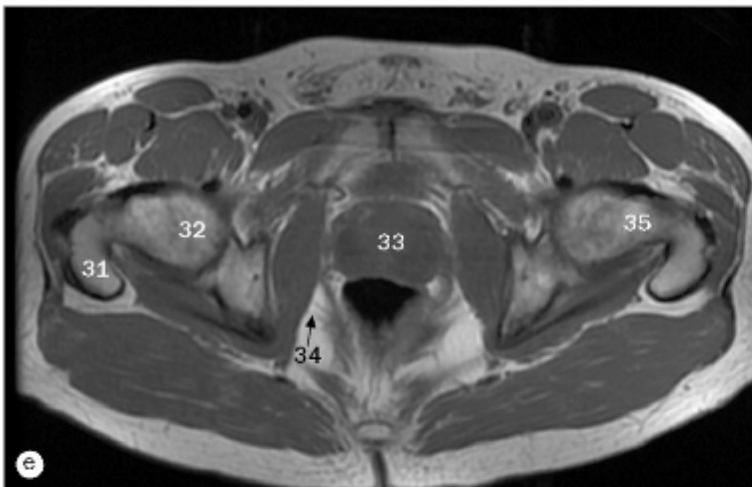


(a)-(l) Imagens axiais e sequenciais de RM da pelve masculina, ponderadas em T1, da região superior para inferior.

1 Músculo glúteo médio
2 Músculo glúteo mínimo
3 Músculo glúteo máximo
4 Músculo tensor da fáscia lata
5 Músculo sartório
6 Músculo reto femoral
7 Músculo iliopsoas
8 Artéria femoral comum

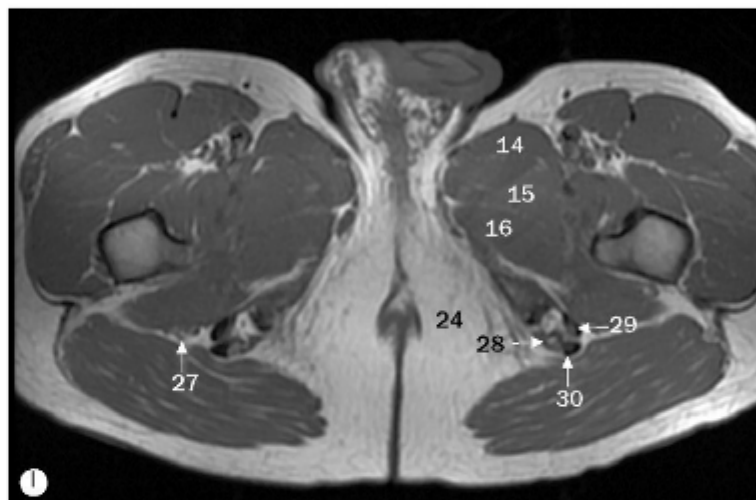
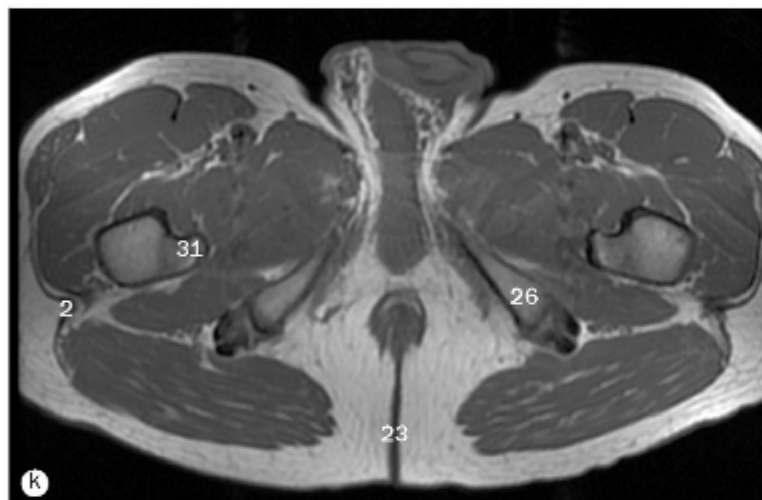
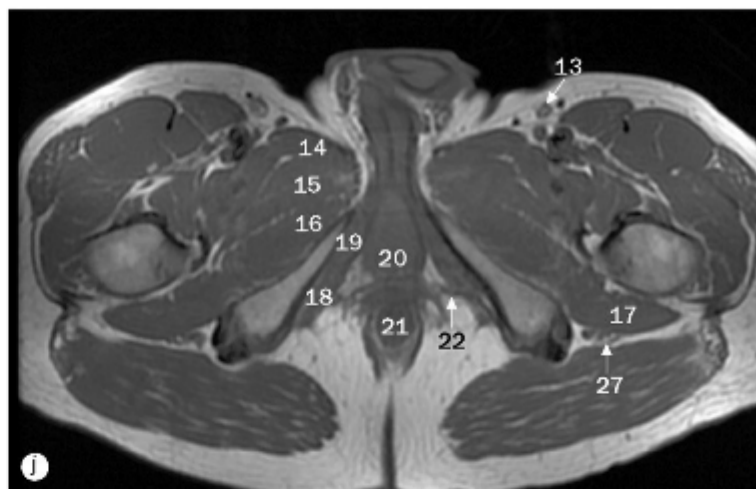
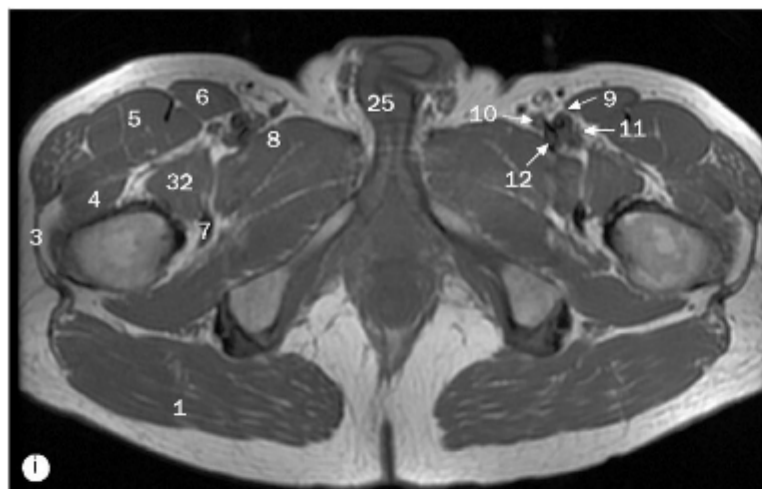
9 Veia femoral comum
10 Ramos do nervo femoral
11 Veia safena magna
12 Canal femoral
13 Funículo espermático
14 Músculo reto do abdome
15 Ducto deferente
16 Acetábulo

17 Intestino delgado
18 Músculo obturador interno
19 Bexiga urinária
20 Glândula seminal
21 Vasos glúteos inferiores
22 Reto
23 Sacro
24 Nervo isquiático



(a)-(l) Imagens axiais e sequenciais de RM da pelve masculina, ponderadas em T1, da região superior para inferior.

- | | | |
|--|--|----------------------------------|
| 25 Ramo superior do púbis | 35 Colo do fêmur | 44 Vasos dorsais do pênis |
| 26 Ligamento redondo | 36 Trocanter menor do fêmur | 45 Fáscia lata |
| 27 Vasos obturadores e nervo obturatório | 37 Túber isquiático | 46 Músculo pectíneo |
| 28 Espinha isquiática | 38 Tendões posteriores da coxa (origem tendínea comum) | 47 Sínfise púbica |
| 29 Ligamento sacrospinal | 39 Músculo levantador do ânus (puborretal) | 48 Tendão do músculo iliopsoas |
| 30 Músculo obturador externo | 40 Fossa isquioanal | 49 Músculo vasto lateral |
| 31 Trocanter maior do fêmur | 41 Junção anorretal | 50 Vasos epigástricos inferiores |
| 32 Cabeça do fêmur | 42 Cóccix | 51 Músculo adutor longo |
| 33 Próstata | 43 Corpo cavernoso | 52 Ligamento púbico inferior |
| 34 Vasos retais inferiores e nervo anal inferior | | |



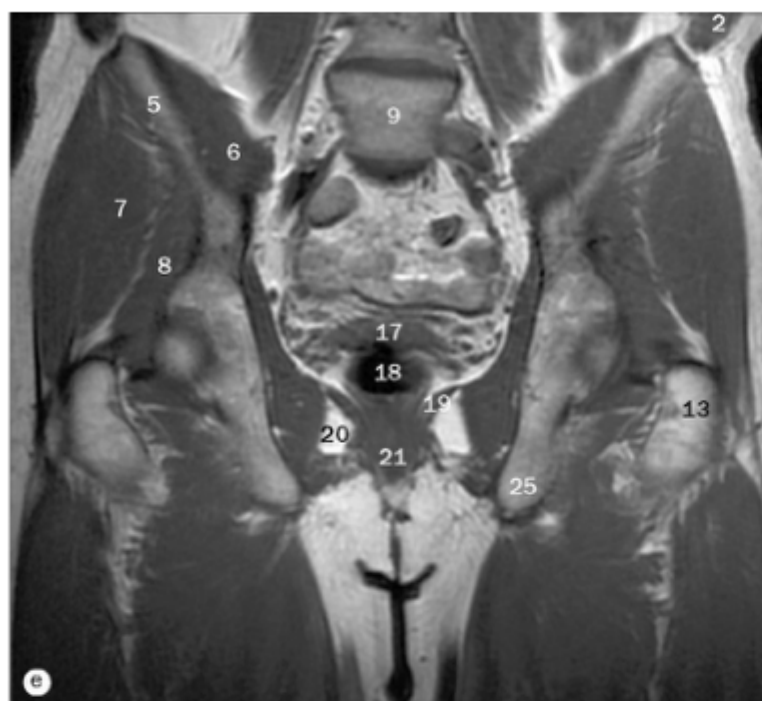
(a)-(l) Imagens axiais e sequenciais de RM da pelve masculina, ponderadas em T1, da região superior para inferior.

- | | | |
|-------------------------------|---------------------------------------|--|
| 1 Músculo glúteo máximo | 13 Veia safena magna | 24 Fossa isquioanal |
| 2 Fáscia lata | 14 Músculo adutor longo | 25 Corpo cavernoso |
| 3 Trato iliotibial | 15 Músculo adutor curto | 26 Túber isquiático |
| 4 Músculo vasto lateral | 16 Músculo adutor magno | 27 Nervo isquiático |
| 5 Músculo reto femoral | 17 Músculo quadrado femoral | 28 Origem tendínea do músculo semitendíneo |
| 6 Músculo sartório | 18 Músculo isquiocavernoso | 29 Origem tendínea do músculo semimembrânico |
| 7 Tendão do músculo iliopsoas | 19 Ramo do pênis | 30 Origem tendínea do músculo bíceps femoral |
| 8 Músculo pectíneo | 20 Bulbo do pênis | 31 Trocanter menor do fêmur |
| 9 Arteria femoral | 21 Ânus | 32 Músculo iliopsoas |
| 10 Veia femoral | 22 Feixe neurovascular retal inferior | |
| 11 Arteria femoral profunda | 23 Fenda interglútea | |
| 12 Veia femoral profunda | | |



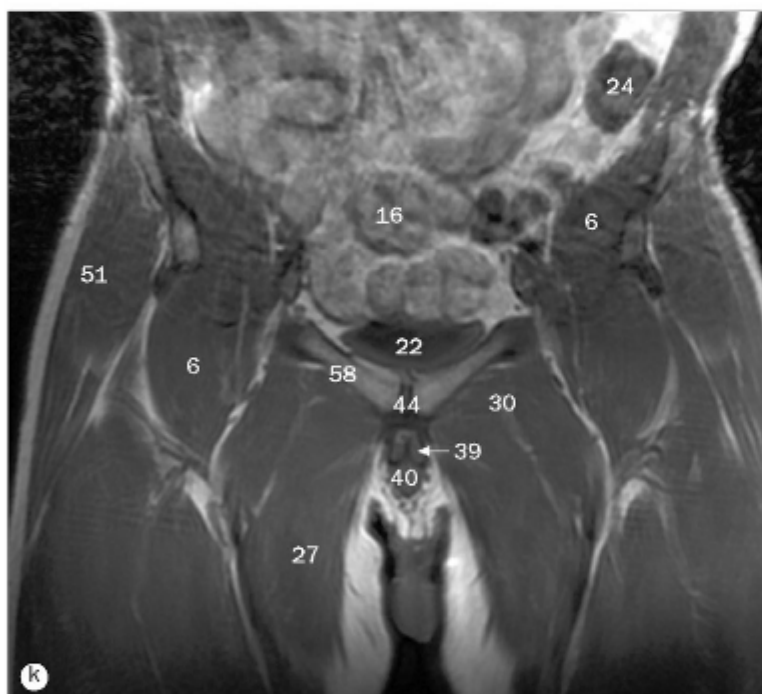
(a)-(p) Imagens coronais e sequenciais de RM da pelve masculina, ponderadas em T1, da região posterior para anterior.

- | | | |
|---|--------------------------------------|--|
| 1 Osso do quadril | 12 Ureter | 24 Tronco lombossacral |
| 2 Asa do sacro | 13 Vasos gonadais | 25 Origem comum dos tendões dos músculos posteriores da coxa |
| 3 Articulação dos processos articulares (L5/S1) | 14 Nervo isquiático | 26 Túber isquiático |
| 4 Saco tecal | 15 Vasos glúteos superiores | 27 Canal anal |
| 5 Articulação sacroilíaca | 16 Glândula seminal | 28 Corpo vertebral L5 |
| 6 Junção retossigmóidea | 17 Ampola do reto | 29 Músculo ilíaco |
| 7 Músculo piriforme | 18 Músculo levantador do ânus | 30 Músculo quadrado femoral |
| 8 Músculo glúteo médio | 19 Músculo obturador interno | 31 Músculos gêmeos (superior e inferior) |
| 9 Músculo glúteo mínimo | 20 Fossa isquioanal | 32 Músculo obturador externo |
| 10 Músculo glúteo máximo | 21 Músculo esfíncter externo do ânus | 33 Fáscia lata |
| 11 Intestino delgado | 22 Feixe neurovascular retal interno | |
| | 23 Quinta raiz lombar | |



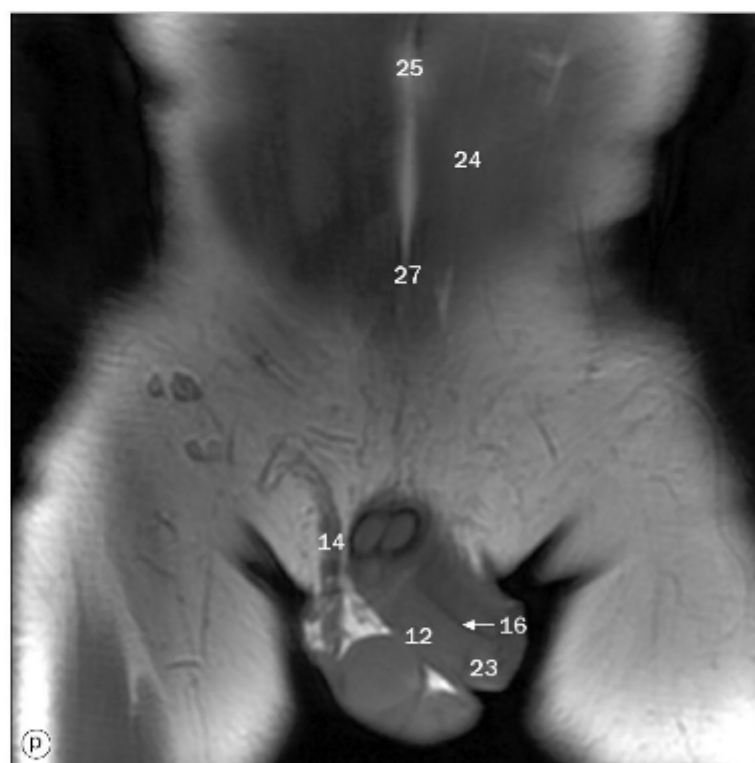
(a)-(p) Imagens coronais e sequenciais de RM da pelve masculina, ponderadas em T1, da região posterior para anterior.

- | | | |
|-------------------------------------|-----------------------------------|-------------------------------|
| 1 Músculo psoas maior | 9 Corpo da quinta vértebra lombar | 17 Glândula seminal |
| 2 Músculo oblíquo externo do abdome | 10 Vasos ilíacos comuns | 18 Reto |
| 3 Músculo oblíquo interno do abdome | 11 Colo descendente | 19 Músculo levantador do ânus |
| 4 Músculo transverso do abdome | 12 Acetábulo | 20 Fossa isquioanal |
| 5 Osso do quadril | 13 Trocanter maior do fêmur | 21 Canal anal |
| 6 Músculo ilíaco | 14 Fâscia lata | 22 Bexiga urinária |
| 7 Músculo glúteo médio | 15 Músculo obturador interno | 23 Próstata |
| 8 Músculo glúteo mínimo | 16 Intestino delgado | 24 Colo sigmoide |



(a)-(p) Imagens coronais e sequenciais de RM da pelve masculina, ponderadas em T1, da região posterior para anterior.

- | | | |
|----------------------------------|-----------------------------------|---|
| 25 Ísquio | 37 Bulbo do pênis | 49 Veia íliaca externa |
| 26 Músculo transverso do períneo | 38 Ceco | 50 Vasos femorais |
| 27 Músculo adutor longo | 39 Corpo cavernoso | 51 Músculo glúteo máximo |
| 28 Músculo adutor curto | 40 Corpo esponjoso | 52 Músculo grácil |
| 29 Músculo adutor magno | 41 Parte esponjosa da uretra | 53 Músculo obturador externo |
| 30 Músculo pectíneo | 42 Corpo do púbis | 54 Ramo inferior do púbis |
| 31 Cabeça do fêmur | 43 Espinha íliaca anterossuperior | 55 Feixe neurovascular no canal obturatório |
| 32 Colo do fêmur | 44 Sínfise púbica | 56 Trocater menor do fêmur |
| 33 Fóvea da cabeça do fêmur | 45 Testículo | 57 Disco intervertebral em L4/5 |
| 34 Músculo vasto lateral | 46 Vasos femorais profundos | 58 Ramo superior do púbis |
| 35 Ramo do pênis | 47 Ligamento suspensor do pênis | 59 Vasos femorais |
| 36 Isquiocavernoso | 48 Arteria íliaca externa | 60 Músculo tensor da fáscia lata |

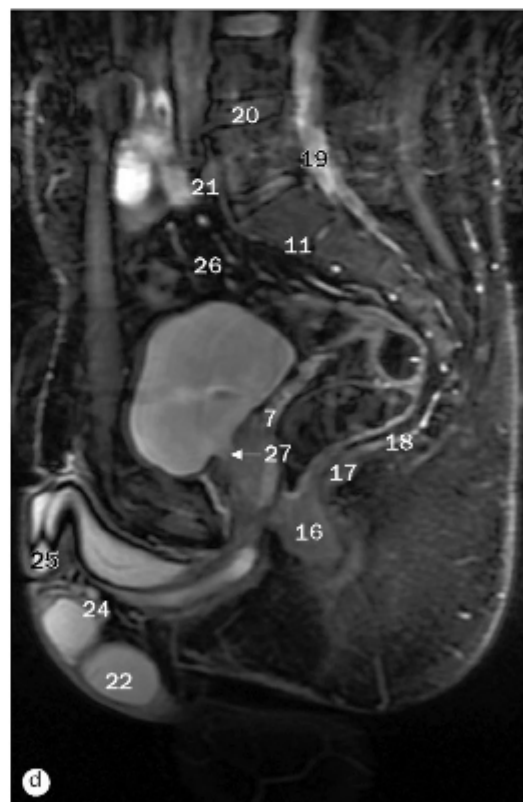
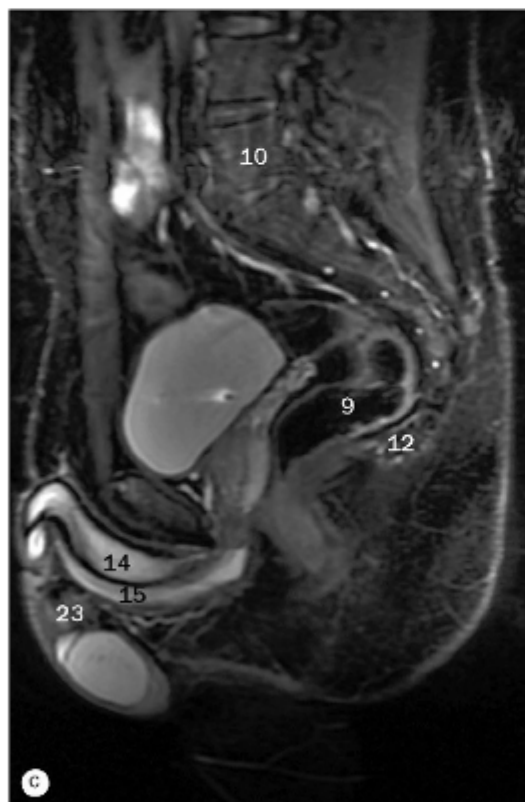
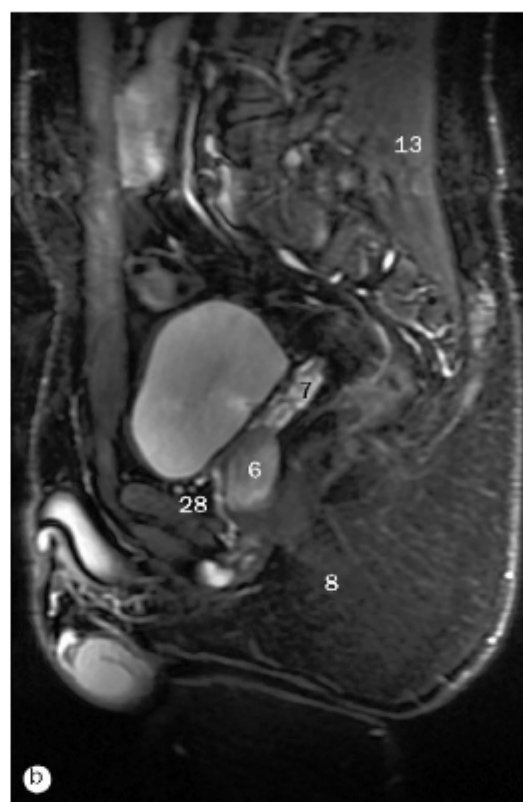
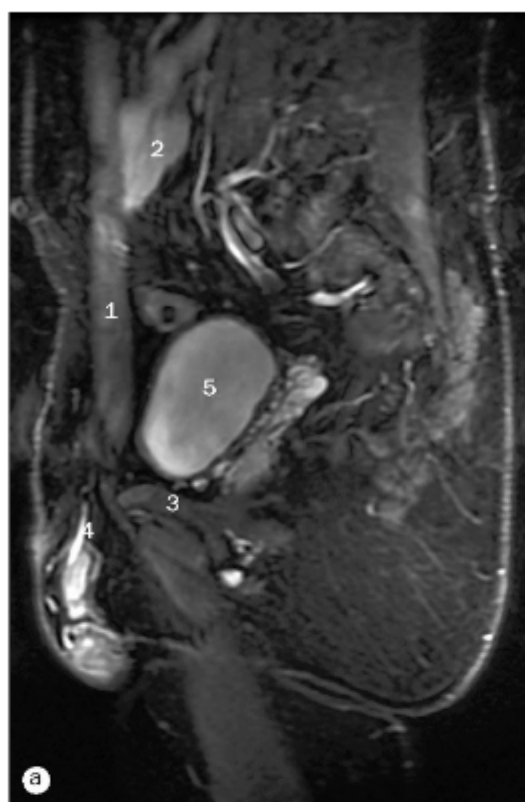


(a)-(p) Imagens coronais e sequenciais de RM da pelve masculina, ponderadas em T1, da região posterior para anterior.

1 Intestino delgado
2 Colo sigmoide
3 Veia femoral
4 Artéria femoral
5 Canal femoral
6 Músculo reto femoral
7 Músculo pectíneo
8 Corpo do púbis
9 Sínfise púbica

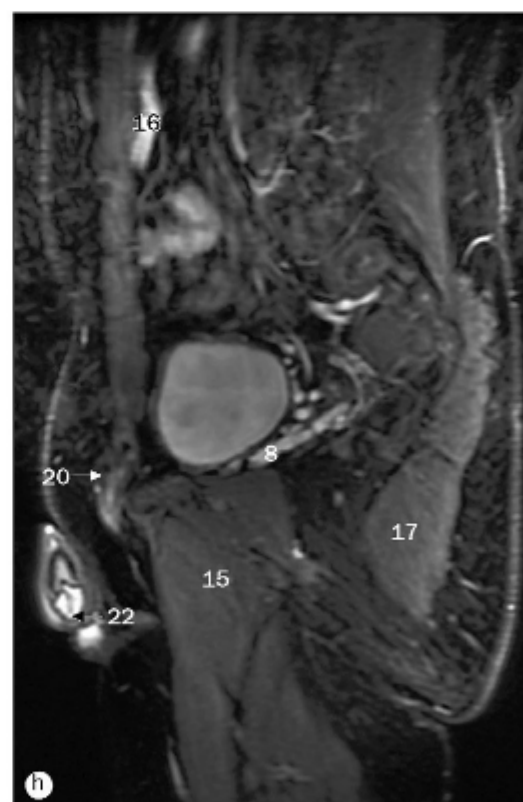
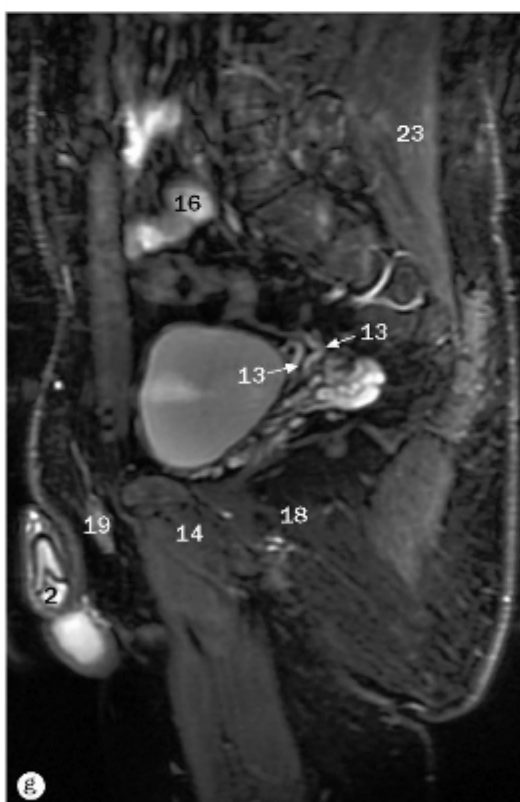
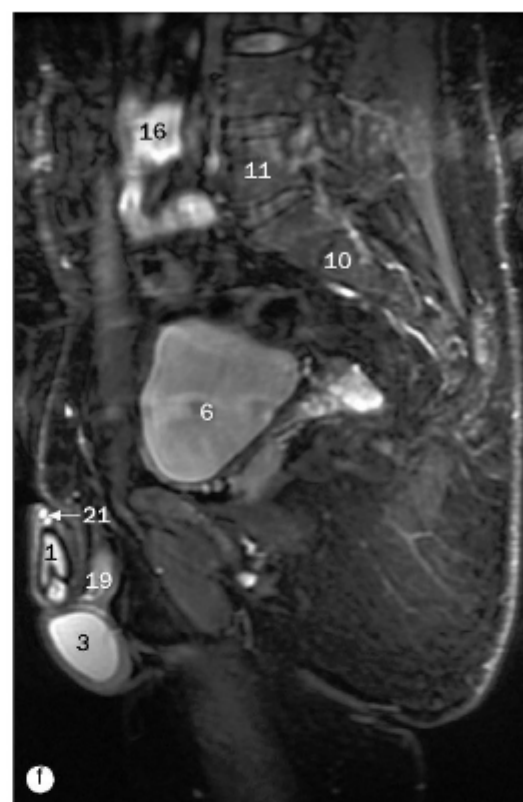
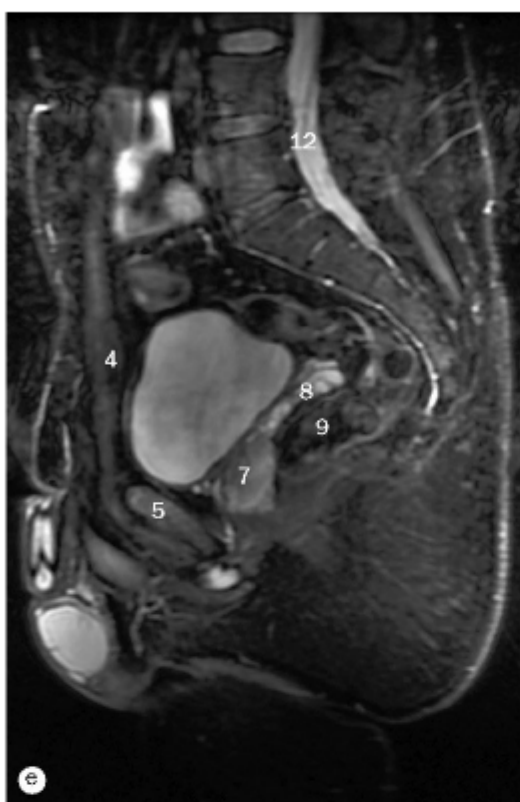
10 Ligamento suspensor do pênis
11 Corpo cavernoso do pênis
12 Corpo esponjoso do pênis
13 Testículo
14 Funículo espermático
15 Cabeça do epidídimo
16 Parte esponjosa da uretra
17 Plexo pampiniforme
18 Músculo oblíquo externo do abdome

19 Ligamento inguinal
20 Vasos epigástricos inferiores
21 Canal inguinal
22 Linfonodos inguinais superficiais
23 Glândula do pênis
24 Músculo reto do abdome
25 Umbigo
26 Veia safena magna
27 Linha alba



(a)-(h) Imagens sagitais e sequenciais de RM da pelve masculina, ponderadas em T2, da direita para a esquerda, através da linha mediana (imagens T2 com saturação de gordura).

- | | | | |
|--------------------------|------------------------------|--------------------------------|---|
| 1 Músculo reto do abdome | 8 Fossa isquioanal | 15 Corpo esponjoso | 22 Testículo |
| 2 Intestino delgado | 9 Reto | 16 Canal anal | 23 Cabeça do epidídimo |
| 3 Corpo do púbis | 10 Quinta vértebra lombar | 17 Músculo puborretal | 24 Corpo do epidídimo |
| 4 Funiculo espermático | 11 Sacro | 18 Corpo anococcígeo | 25 Glândula do pênis |
| 5 Bexiga urinária | 12 Cóccix | 19 Saco tecal | 26 Colo sigmoide |
| 6 Próstata | 13 Músculo eretor da espinha | 20 Disco intervertebral (L4/5) | 27 Parte prostática da uretra |
| 7 Glândula seminal | 14 Corpo cavernoso | 21 Veia ilíaca comum | 28 Espaço retropúbico (cavidade de Retzius) |



(a)-(h) Imagens sagitais e sequenciais de RM da pelve masculina, ponderadas em T2, da direita para a esquerda, através da linha mediana (imagens T2 com saturação de gordura).

1 Corpo cavernoso
2 Glândea do pênis
3 Testículo
4 Músculo reto do abdome
5 Corpo do púbis
6 Bexiga urinária

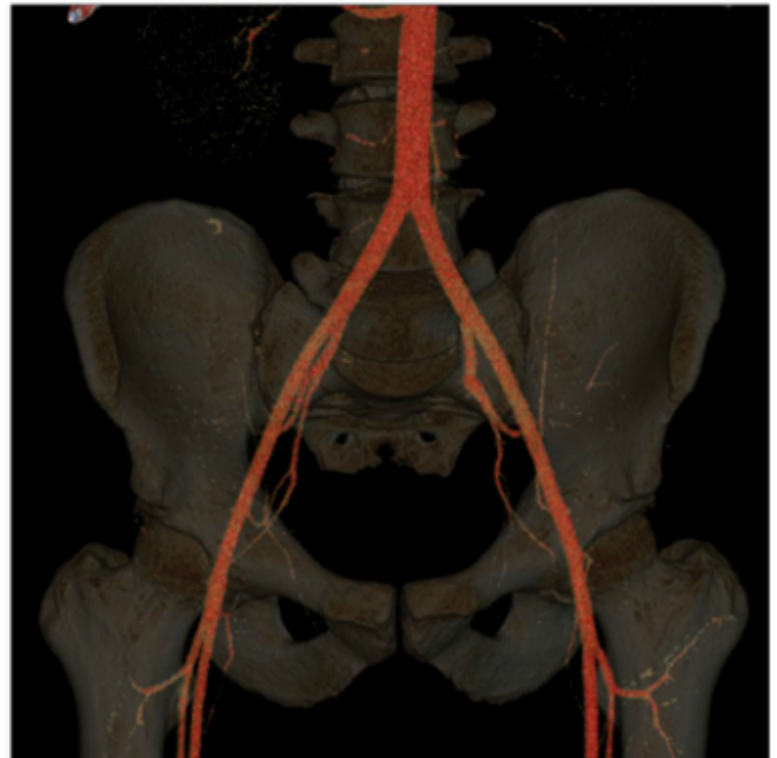
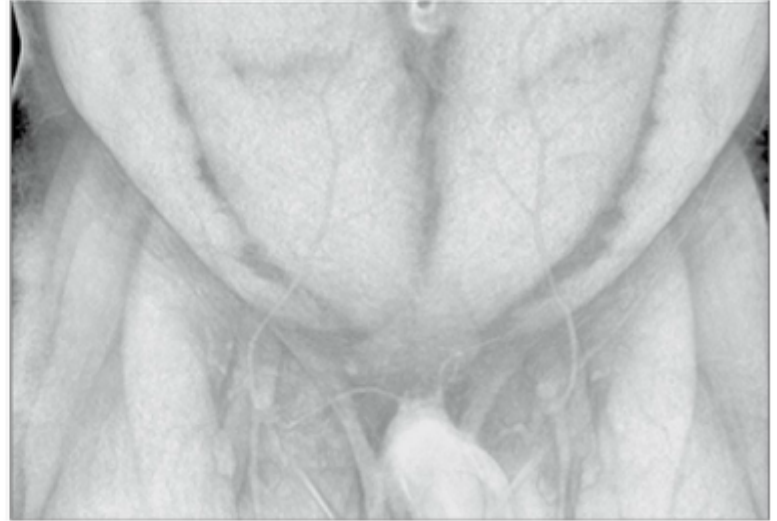
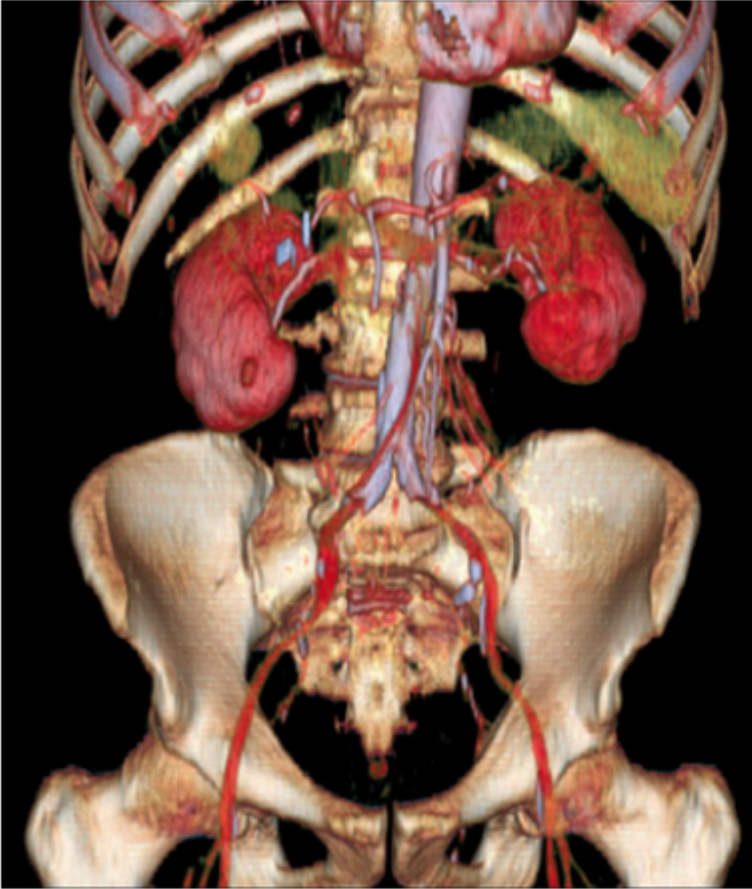
7 Próstata
8 Glândula seminal
9 Reto
10 Sacro
11 Quinta vértebra lombar
12 Saco tecal

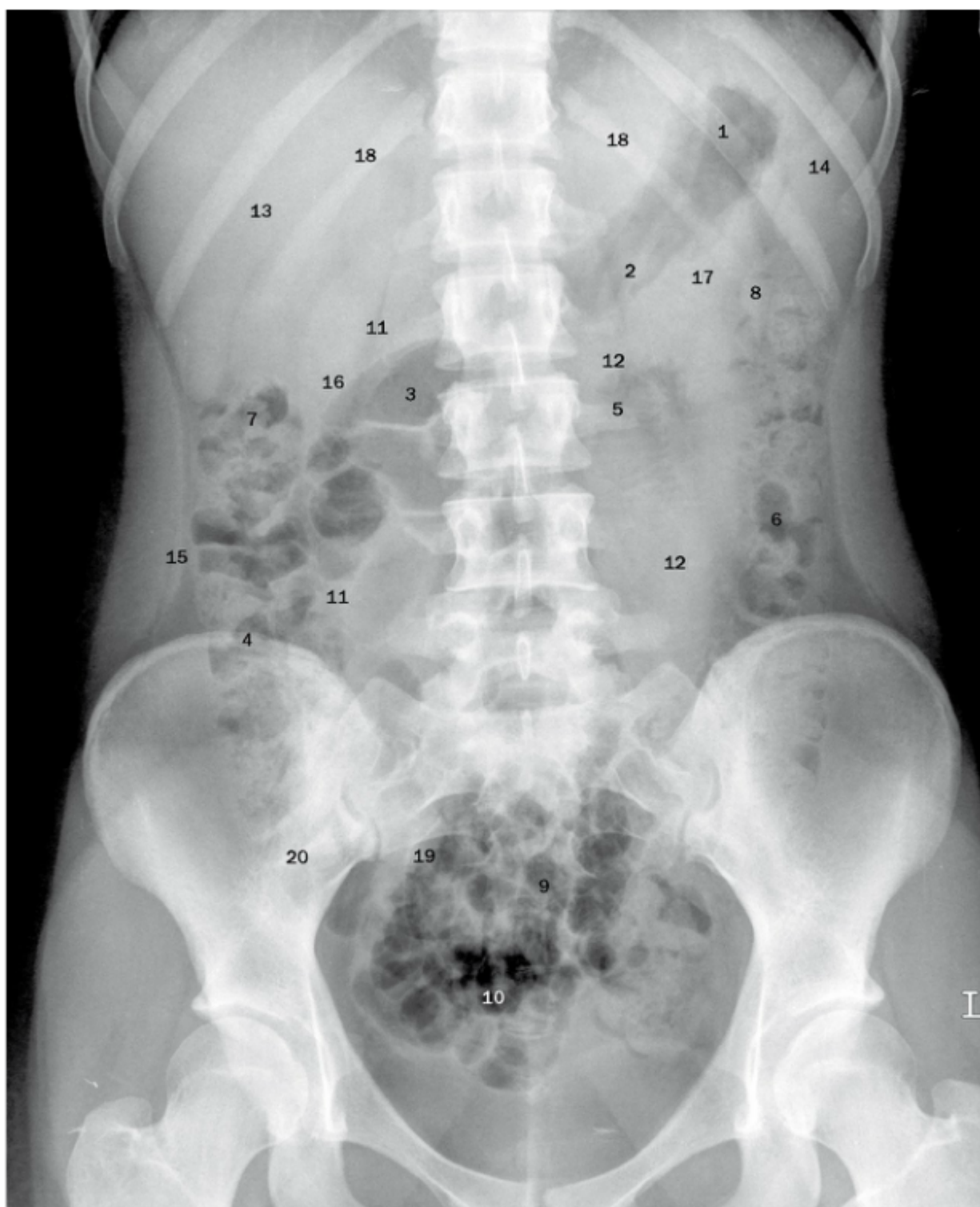
13 Ducto deferente
14 Músculo pectíneo
15 Músculo adutor curto
16 Intestino delgado
17 Músculo glúteo máximo
18 Fossa isquioanal

19 Funículo espermático
20 Canal inguinal
21 Vasos dorsais do pênis
22 Óstio externo da uretra
23 Músculo eretor da espinha

6

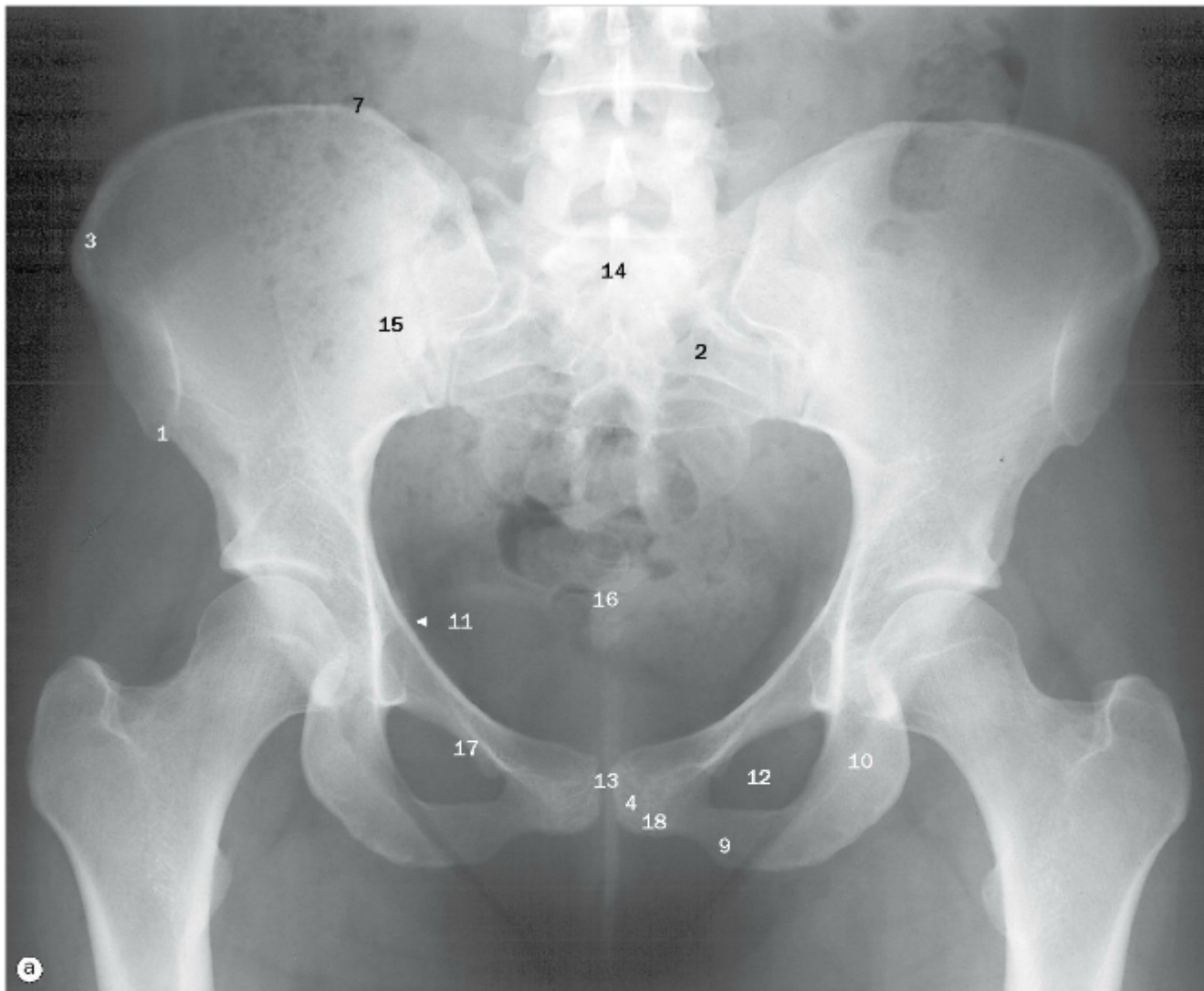
Abdome e pelve – Outros planos





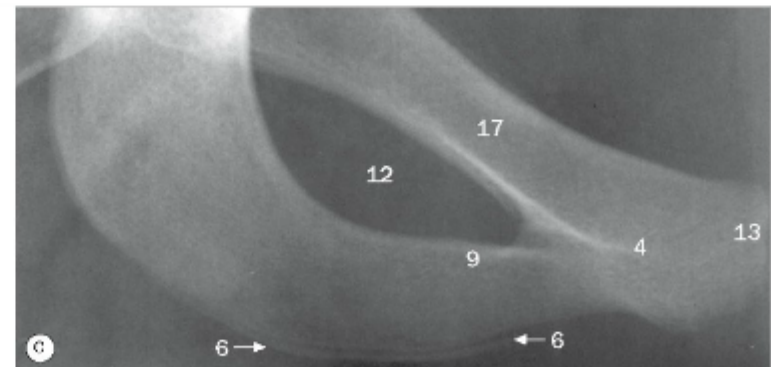
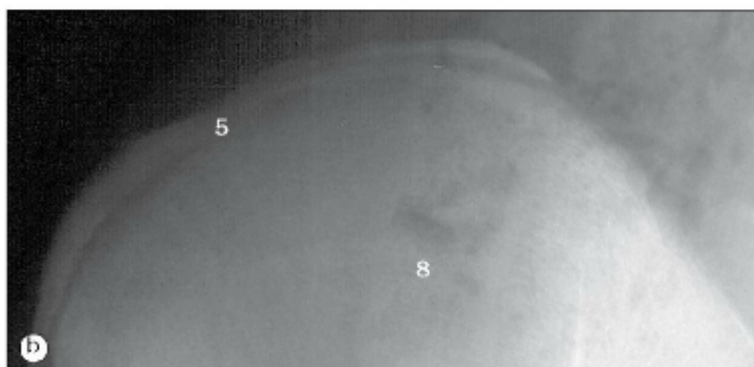
Radiografia abdominal em decúbito dorsal.

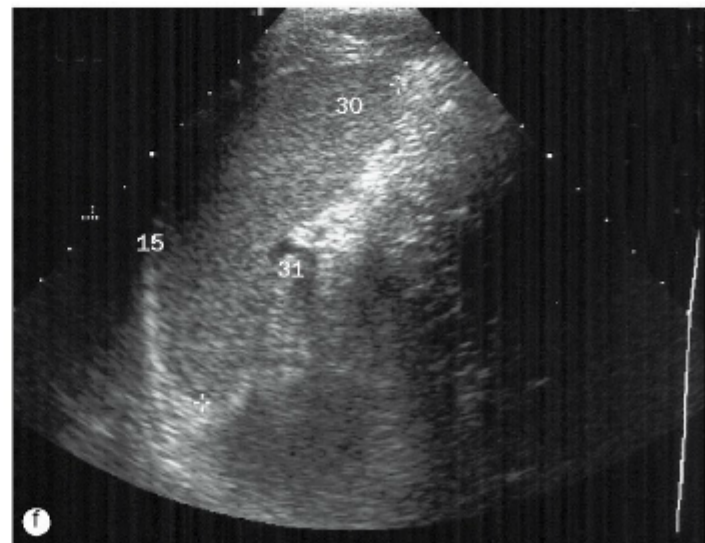
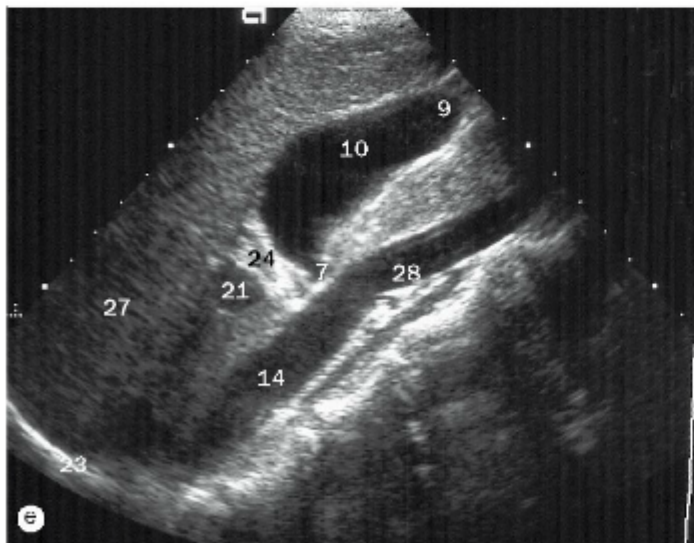
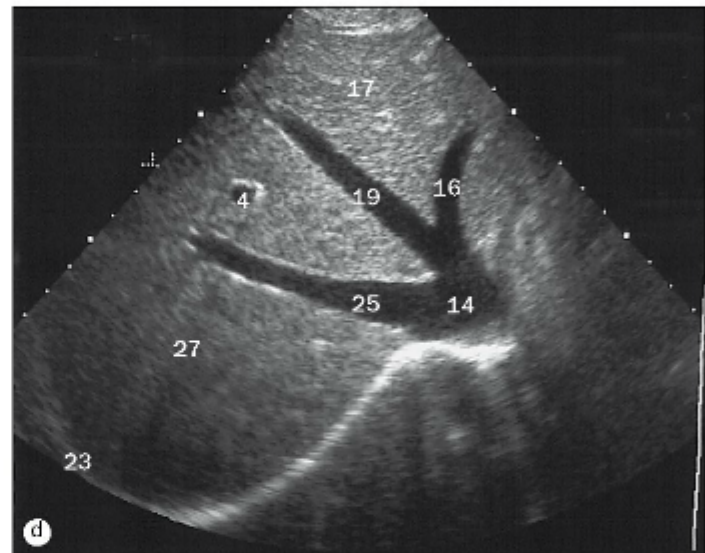
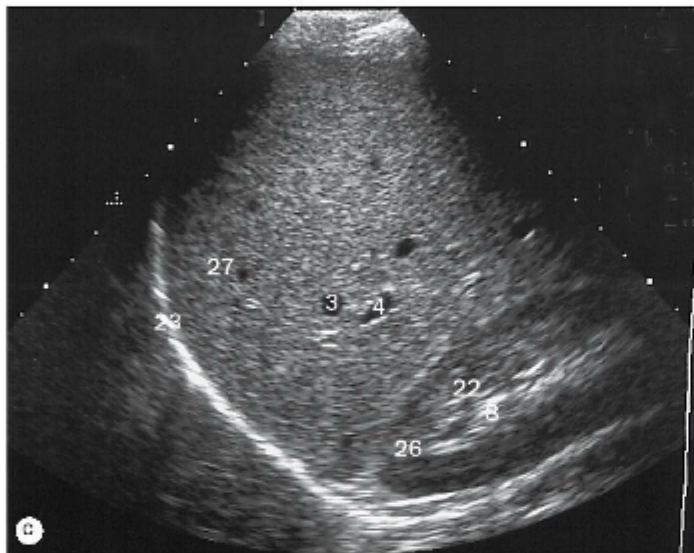
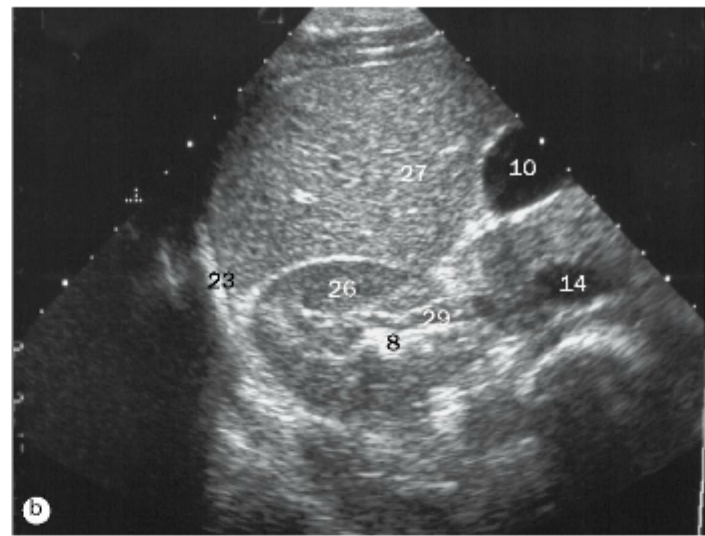
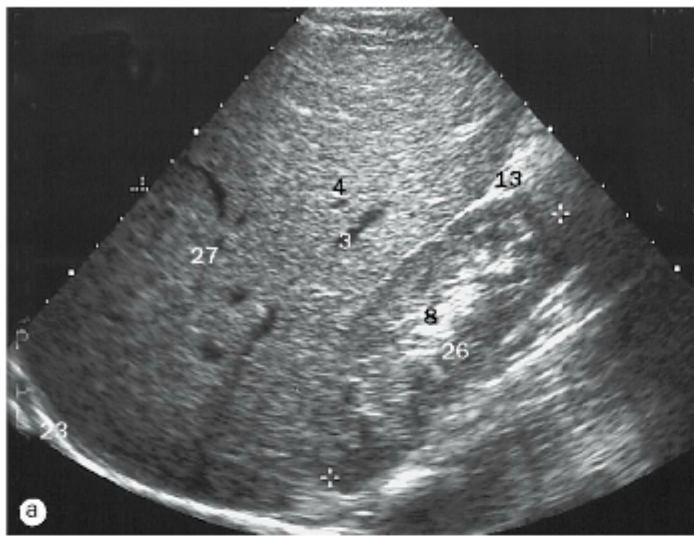
- | | | |
|---|---|--------------------------------|
| 1 Gases no fundo gástrico | 7 Flexura direita do colo | 14 Baço |
| 2 Gases no corpo gástrico | 8 Flexura esquerda do colo | 15 Linha de gordura peritoneal |
| 3 Gases na parte superior do duodeno (bulbo duodenal) | 9 Colo sigmoide | 16 Rim direito |
| 4 Colo ascendente | 10 Reto | 17 Rim esquerdo |
| 5 Colo transverso | 11 Margem direita do músculo psoas maior | 18 Décima segunda costela |
| 6 Colo descendente | 12 Margem esquerda do músculo psoas maior | 19 Gases no íleo |
| | 13 Fígado | 20 Gases no ceco |



(a) Pelve e articulações do quadril de uma mulher adulta, projeção anteroposterior. (b) e (c) Pelve de um indivíduo masculino de 17 anos, projeções anteroposteriores.

- | | | |
|---|--------------------------|----------------------------|
| 1 Espinha ilíaca anteroinferior | 7 Crista ilíaca | 13 Sínfise púbica |
| 2 Forame sacral anterior | 8 Ilio | 14 Crista sacral mediana |
| 3 Espinha ilíaca anterossuperior | 9 Ramo inferior do púbis | 15 Articulação sacroilíaca |
| 4 Corpo do púbis | 10 Ramo do ísquio | 16 Segmento do cóccix |
| 5 Centro de ossificação da crista ilíaca | 11 Espinha isquiática | 17 Ramo superior do púbis |
| 6 Centro de ossificação do túber isquiático | 12 Forame obturado | 18 Tubérculo púbico |



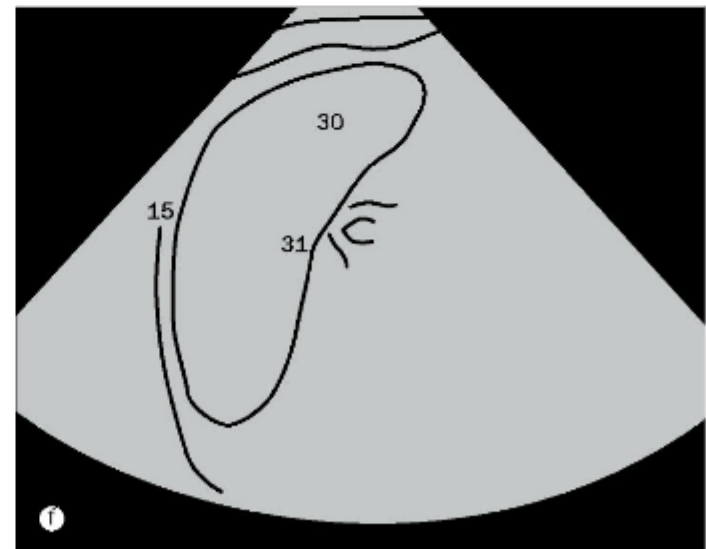
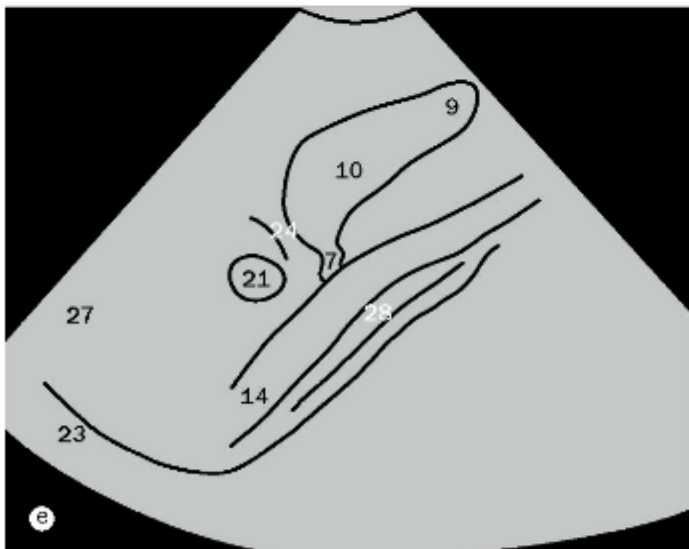
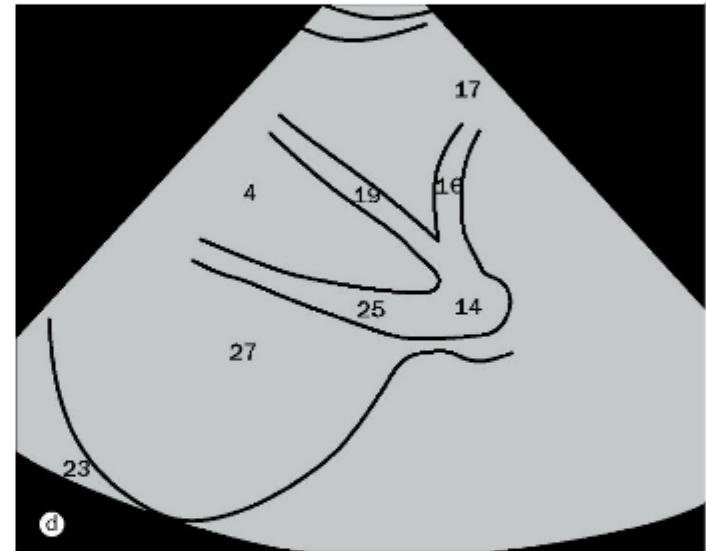
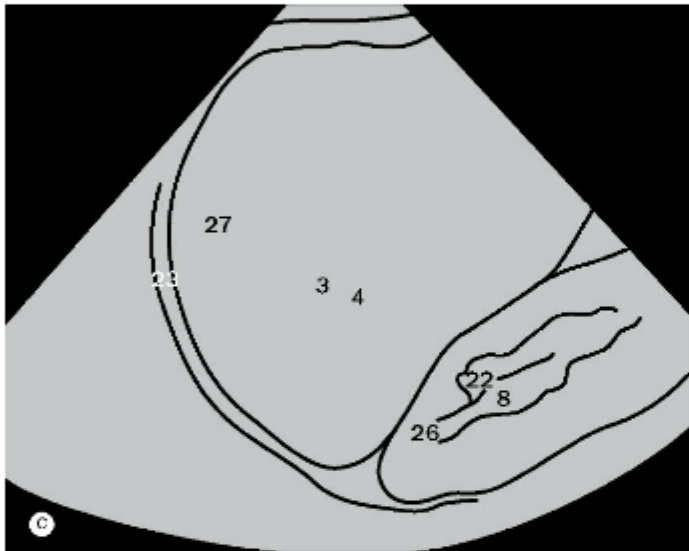
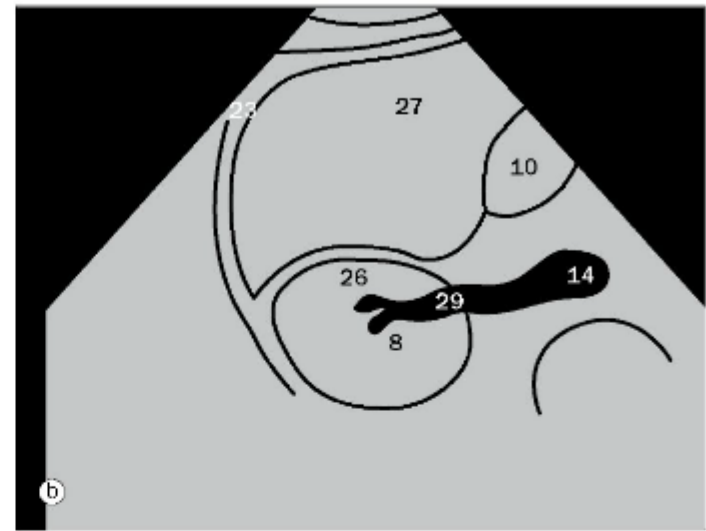
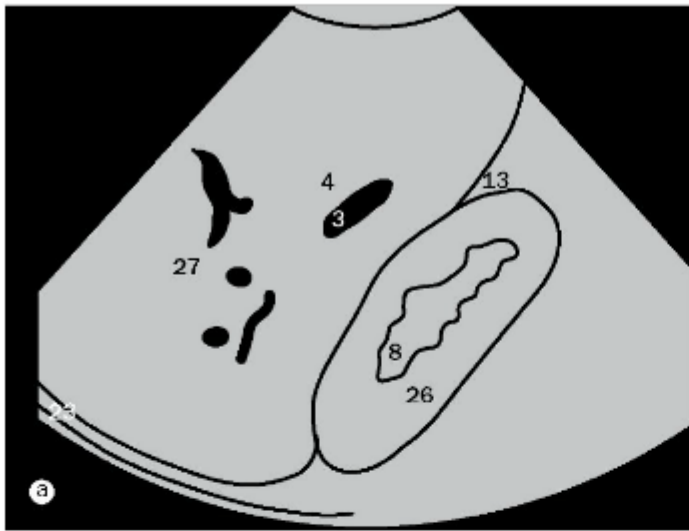


(a)-(f) Ultrassonografia do abdome, vistas sagital e parassagital.

1 Parte abdominal da aorta
2 Corpo do pâncreas
3 Ramo da veia hepática
4 Ramo da veia porta
5 Tronco celiaco

6 Ducto colédoco
7 Ducto cístico
8 Tecido adiposo no seio renal
9 Fundo da vesícula biliar
10 Vesícula biliar

11 Cabeça do pâncreas
12 Artéria hepática
13 Recesso hepatorenal
14 Veia cava inferior
15 Cúpula esquerda do diafragma

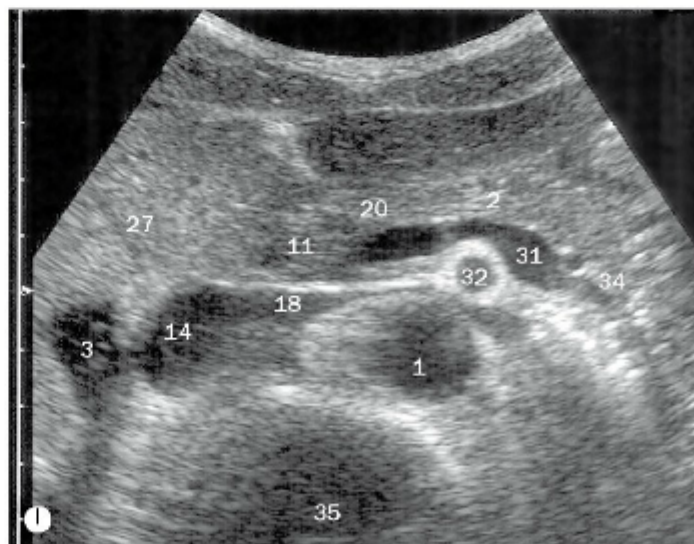
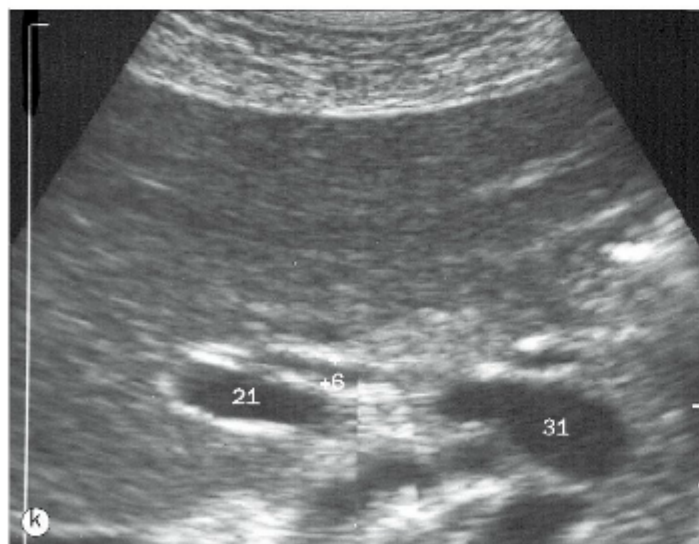
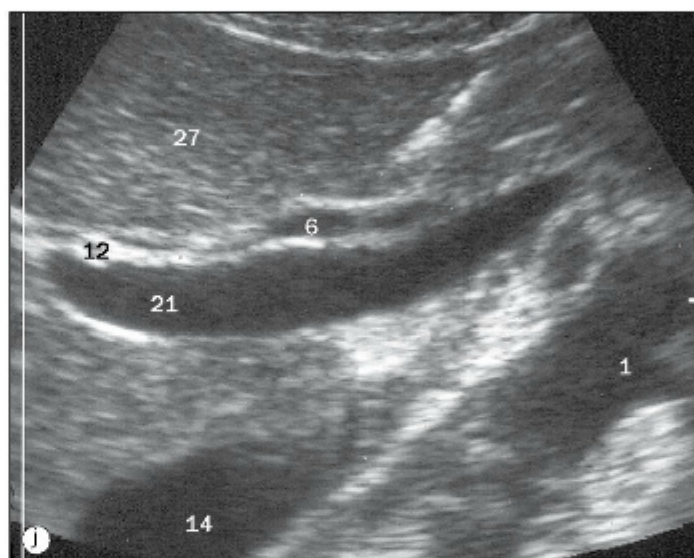
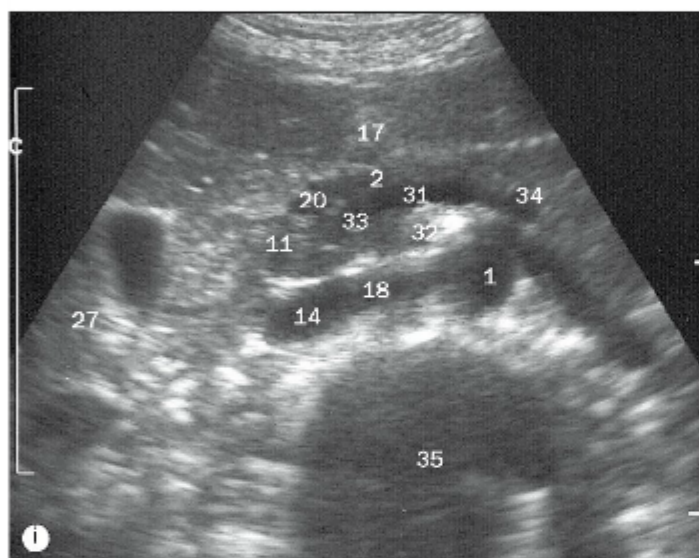
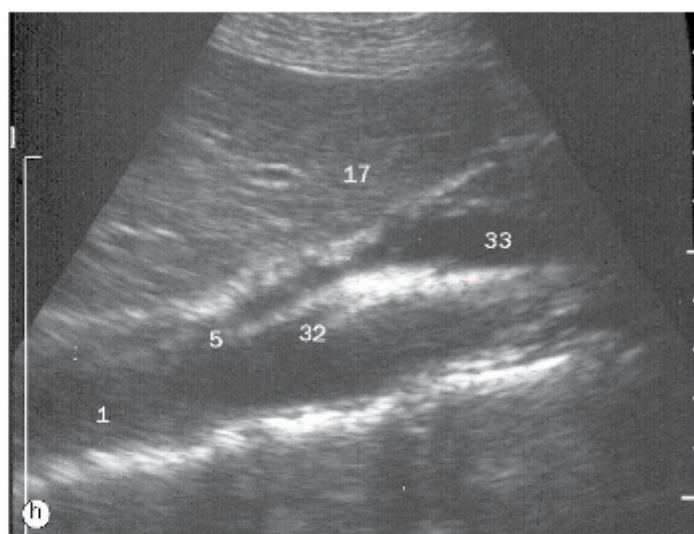
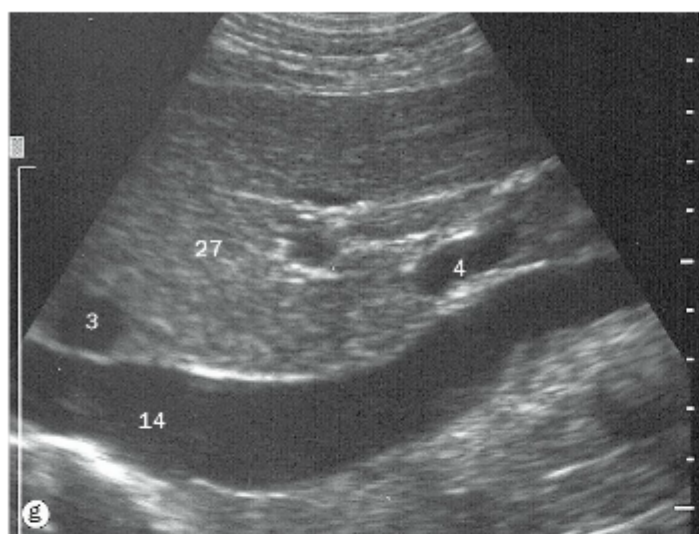


(a)-(f) Diagramas lineares das imagens ultrassonográficas opostas.

16 Veia hepática esquerda
17 Lobo esquerdo do fígado
18 Veia renal esquerda
19 Veia hepática intermédia
20 Colo do pâncreas
21 Veia porta
22 Papila renal

23 Cúpula direita do diafragma
24 Artéria hepática direita
25 Veia hepática direita
26 Rim direito
27 Lobo hepático direito
28 Artéria renal direita
29 Veia renal direita

30 Baço
31 Veia esplênica
32 Artéria mesentérica superior
33 Veia mesentérica superior
34 Cauda do pâncreas
35 Corpo vertebral

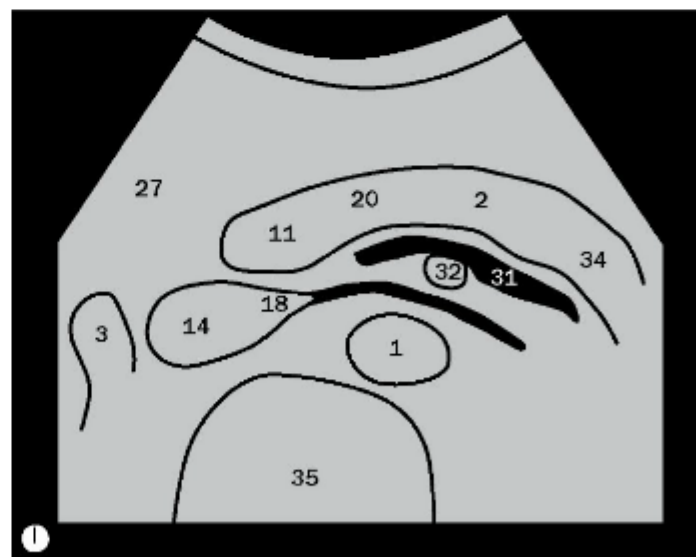
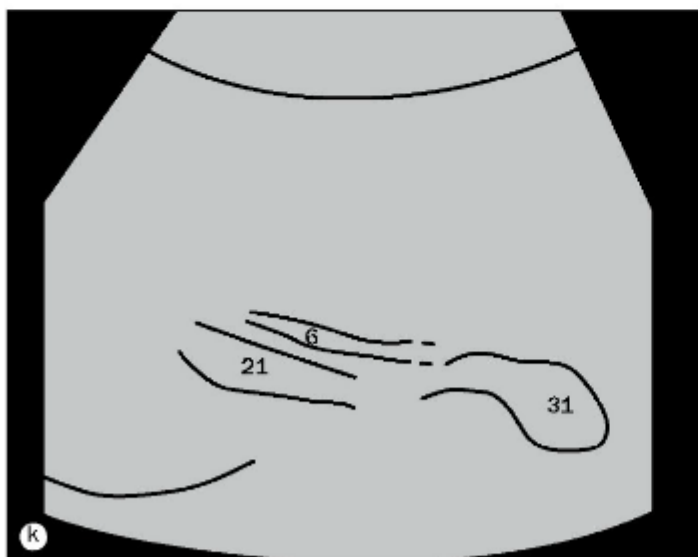
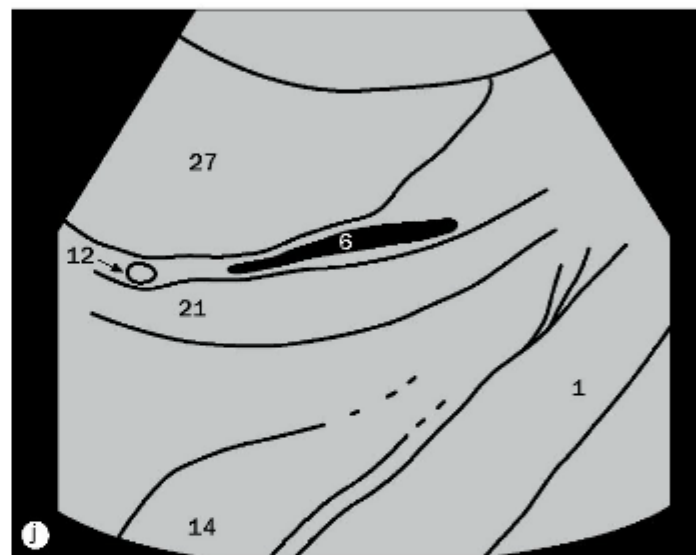
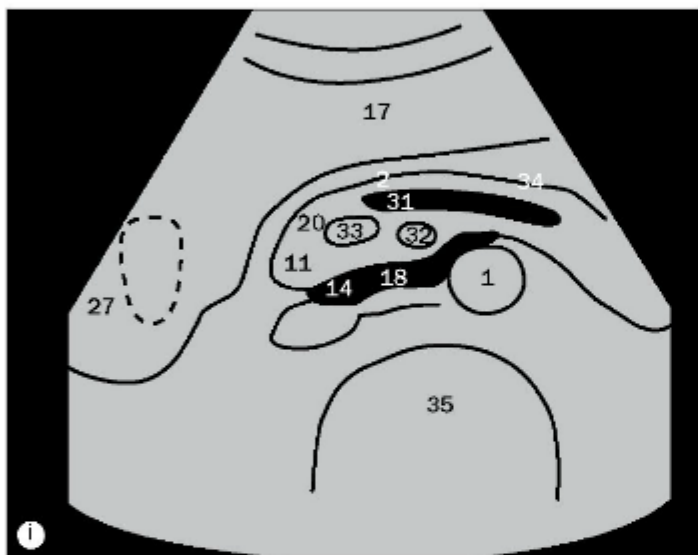
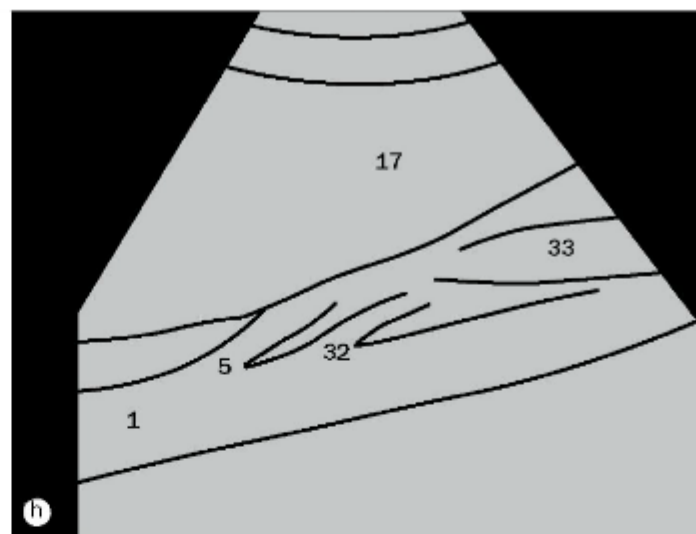
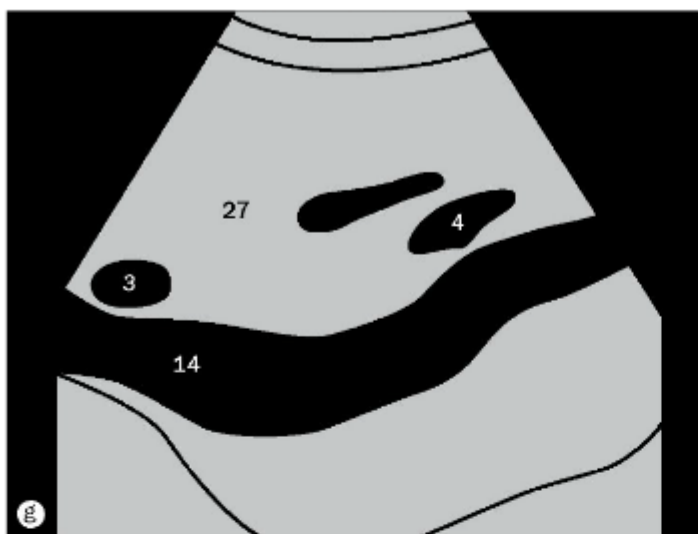


Ultrasonografia do abdome, (g)-(h) vistas sagital, (i)-(l) transversa e oblíqua transversa.

1 Parte abdominal da aorta
2 Corpo do pâncreas
3 Ramo da veia hepática
4 Ramo da veia porta
5 Tronco celiaco

6 Ducto colédoco
7 Ducto cístico
8 Tecido adiposo no seio renal
9 Fundo da vesícula biliar
10 Vesícula biliar

11 Cabeça do pâncreas
12 Artéria hepática
13 Recesso hepatorenal
14 Veia cava inferior
15 Cúpula esquerda do diafragma

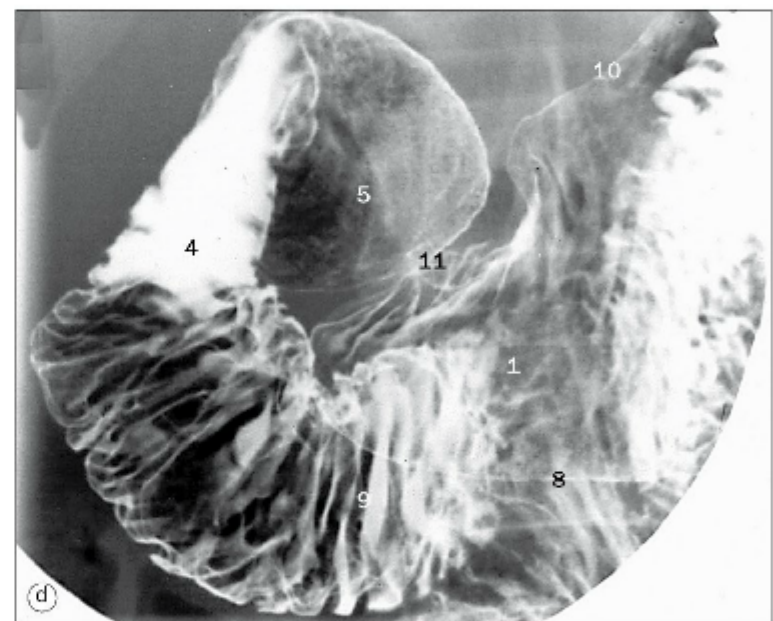
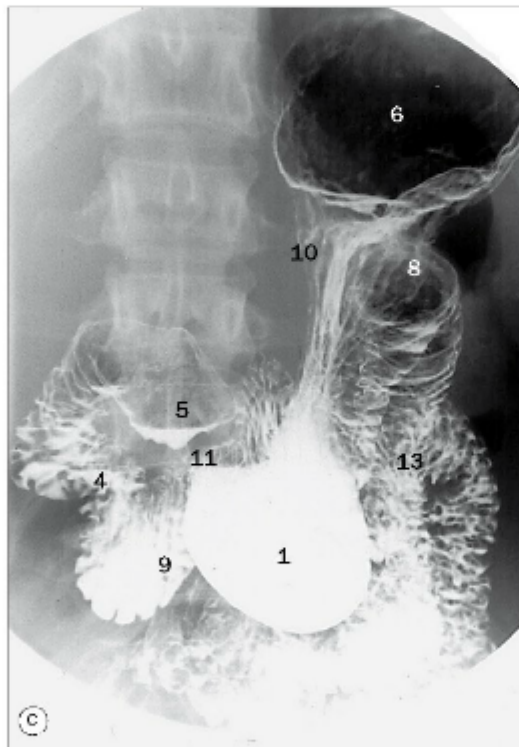
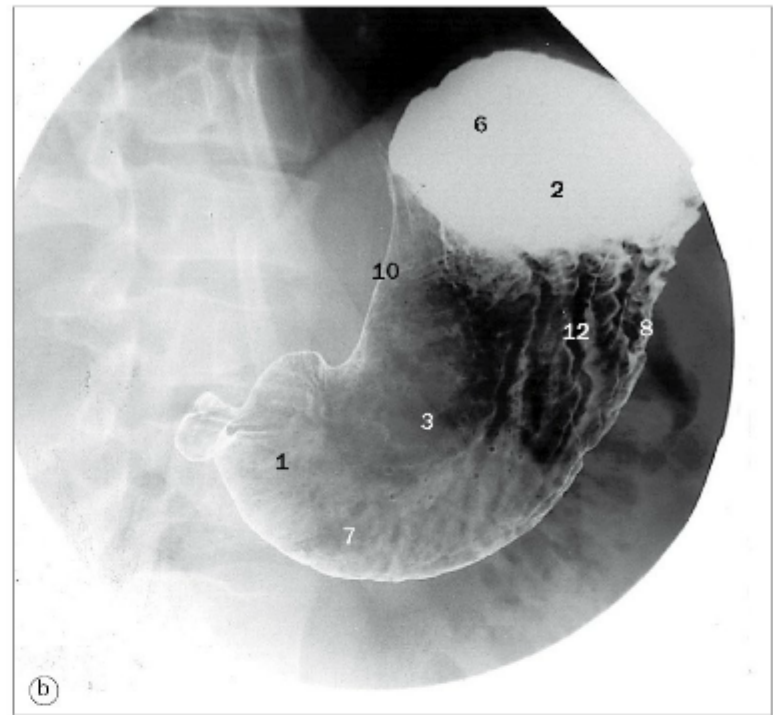
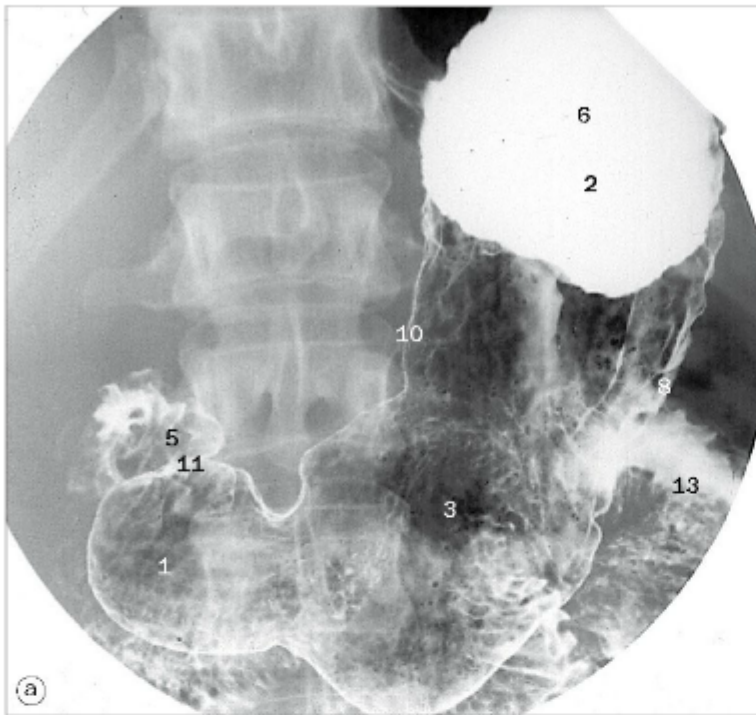


(g)-(l) Diagramas lineares das imagens ultrassonográficas opostas.

16 Veia hepática esquerda
 17 Lobo esquerdo do fígado
 18 Veia renal esquerda
 19 Veia hepática intermédia
 20 Colo do pâncreas
 21 Veia porta
 22 Papila renal

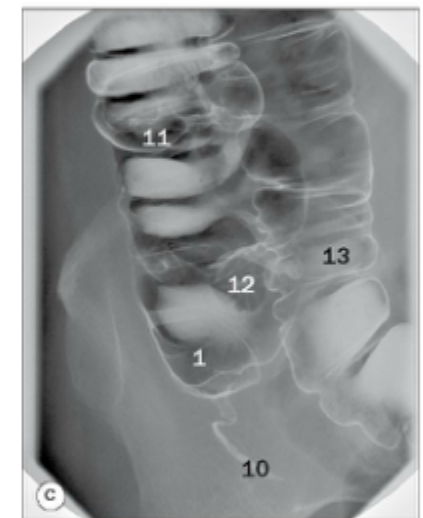
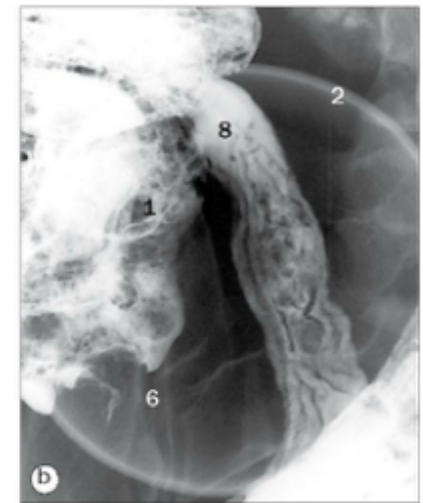
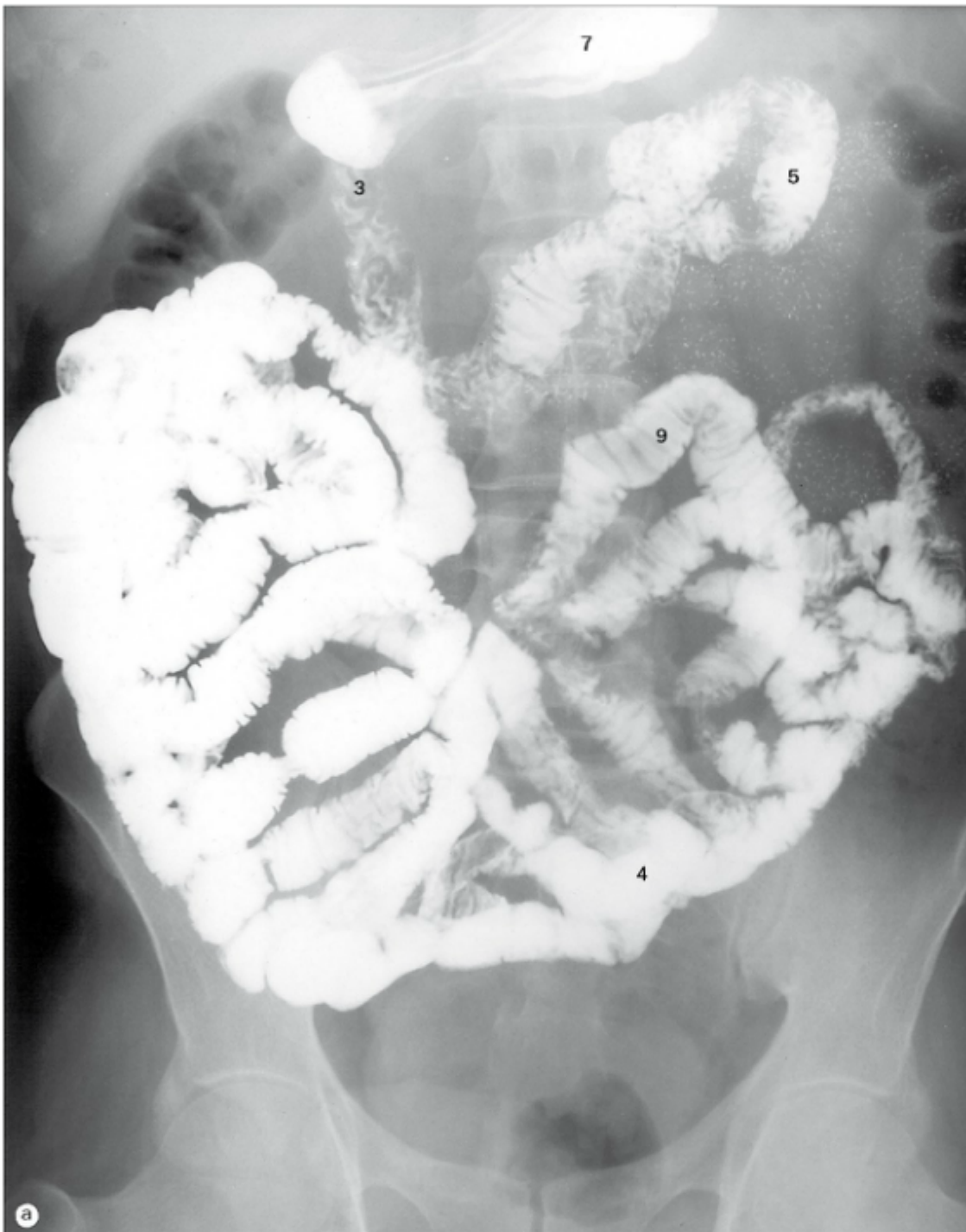
23 Cúpula direita do diafragma
 24 Artéria hepática direita
 25 Veia hepática direita
 26 Rim direito
 28 Artéria renal direita
 29 Veia renal direita

30 Baço
 31 Veia esplênica
 32 Artéria mesentérica superior
 33 Veia mesentérica superior
 34 Cauda do pâncreas
 35 Corpo vertebral



Abdome. Exames baritados com duplo contraste do estômago e do duodeno, (a) e (b) com o paciente em decúbito dorsal (para mostrar a mucosa do estômago), (c) com o paciente ereto, (d) com o paciente em posição oblíqua (para mostrar o duodeno).

- | | |
|--|--------------------------------|
| 1 Antro pilórico | 7 Bolhas de gás |
| 2 Acúmulo de bário no fundo do estômago | 8 Curvatura maior do estômago |
| 3 Corpo gástrico | 9 Parte horizontal do duodeno |
| 4 Parte descendente do duodeno | 10 Curvatura menor do estômago |
| 5 Bulbo duodenal (parte superior do duodeno) | 11 Canal pilórico |
| 6 Fundo gástrico | 12 Pregas gástricas |
| | 13 Intestino delgado |



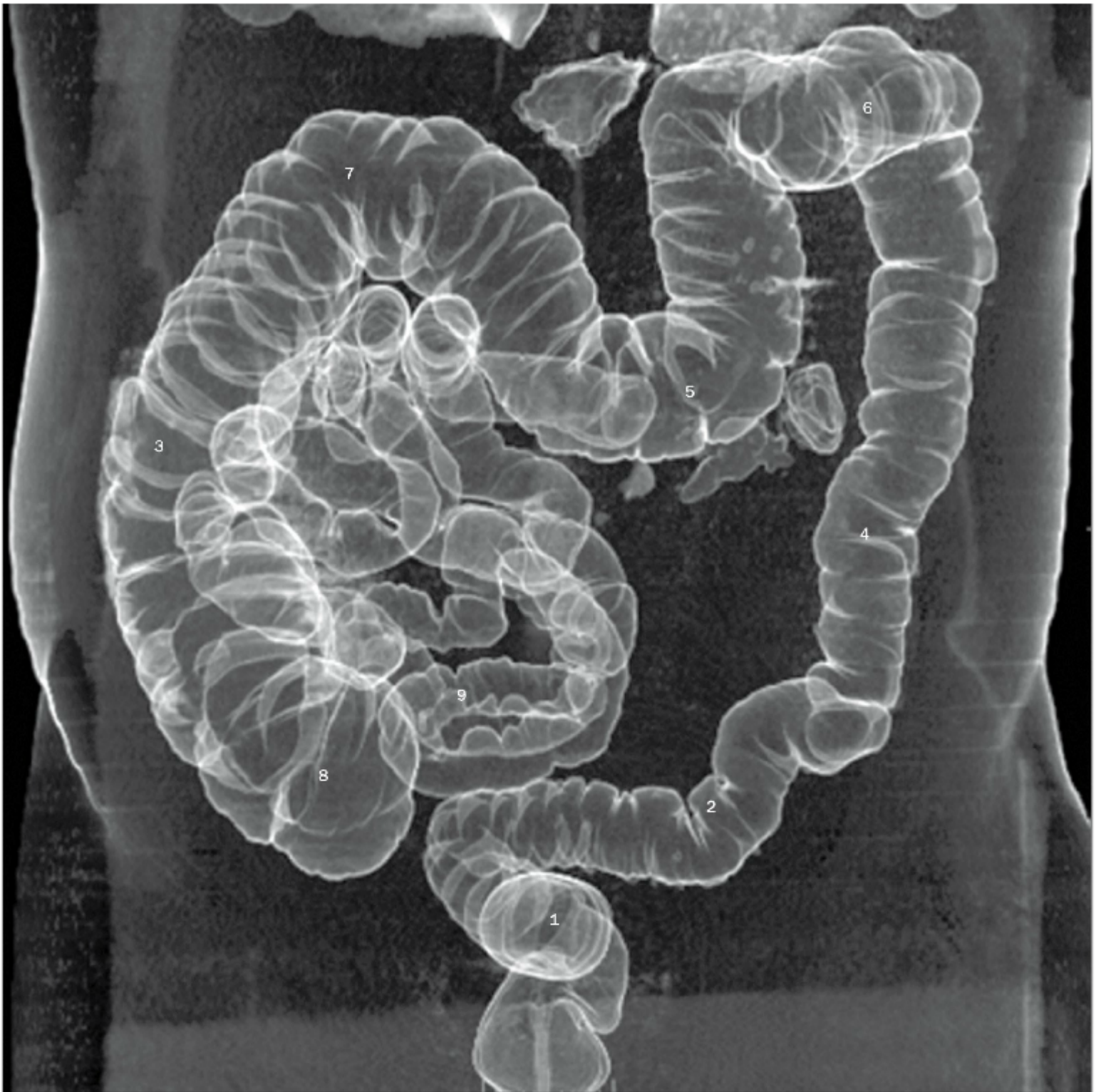
Abdome, seqüências baritadas, (a) com o paciente em decúbito dorsal, (b) vista localizada da parte terminal do íleo e (c) papila ileal. Radiografias anteroposteriores.

- | | |
|-----------------------------------|-------------------------------|
| 1 Ceco | 8 Região terminal do íleo |
| 2 Dispositivo de compressão | 9 Pregas circulares do jejuno |
| 3 Parte descendente do duodeno | 10 Apêndice vermiforme |
| 4 Região proximal do íleo | 11 Colo ascendente |
| 5 Região proximal do jejuno | 12 Papila ileal |
| 6 Articulação sacroilíaca direita | 13 Colo transverso |
| 7 Estômago | |



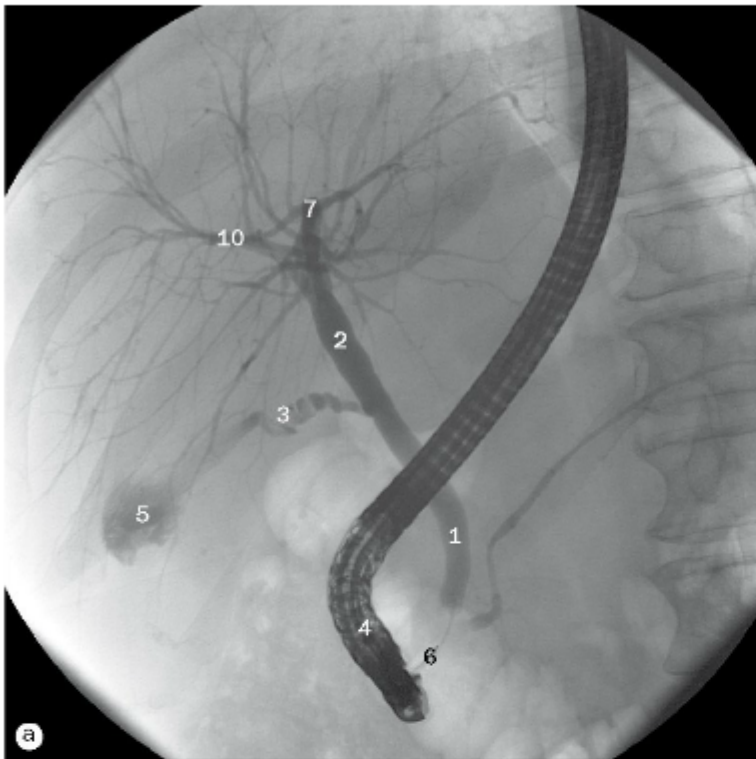
Abdome, enema baritado com duplo contraste do intestino grosso (colo).

- | | |
|----------------------------|---------------------------|
| 1 Colo ascendente | 6 Flexura direita do colo |
| 2 Ceco | 7 Saculações do colo |
| 3 Colo descendente | 8 Colo sigmoide |
| 4 Flexura esquerda do colo | 9 Parte terminal do íleo |
| 5 Reto | 10 Colo transverso |



Colonografia por TC

- | | |
|--------------------|----------------------------|
| 1 Reto | 6 Flexura esquerda do colo |
| 2 Colo sigmoide | 7 Flexura direita do colo |
| 3 Colo ascendente | 8 Ceco |
| 4 Colo descendente | 9 Parte terminal do íleo |
| 5 Colo transverso | |



(a) Colangiopancreatografia endoscópica retrógrada (CPER).

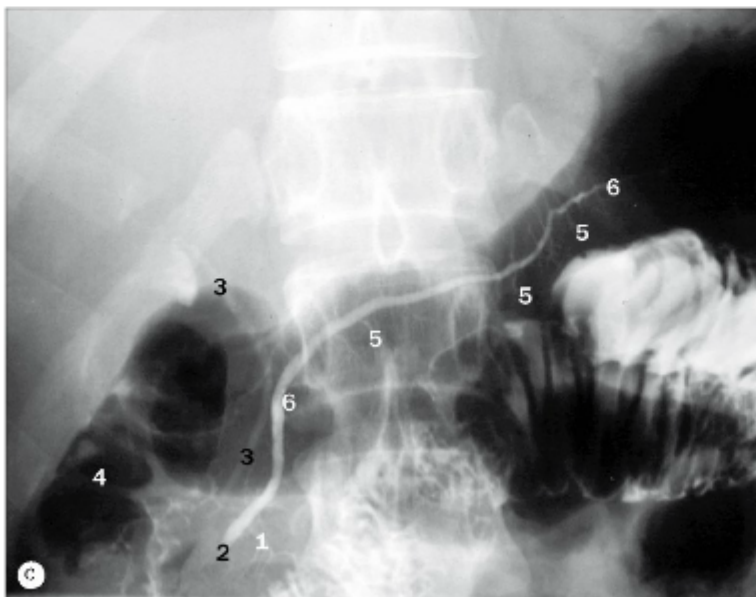


(b) Colangiopancreatografia magnética (CPRM).

- 1 Ducto colédoco
- 2 Ducto hepático comum
- 3 Duto cístico
- 4 Endoscópio no duodeno

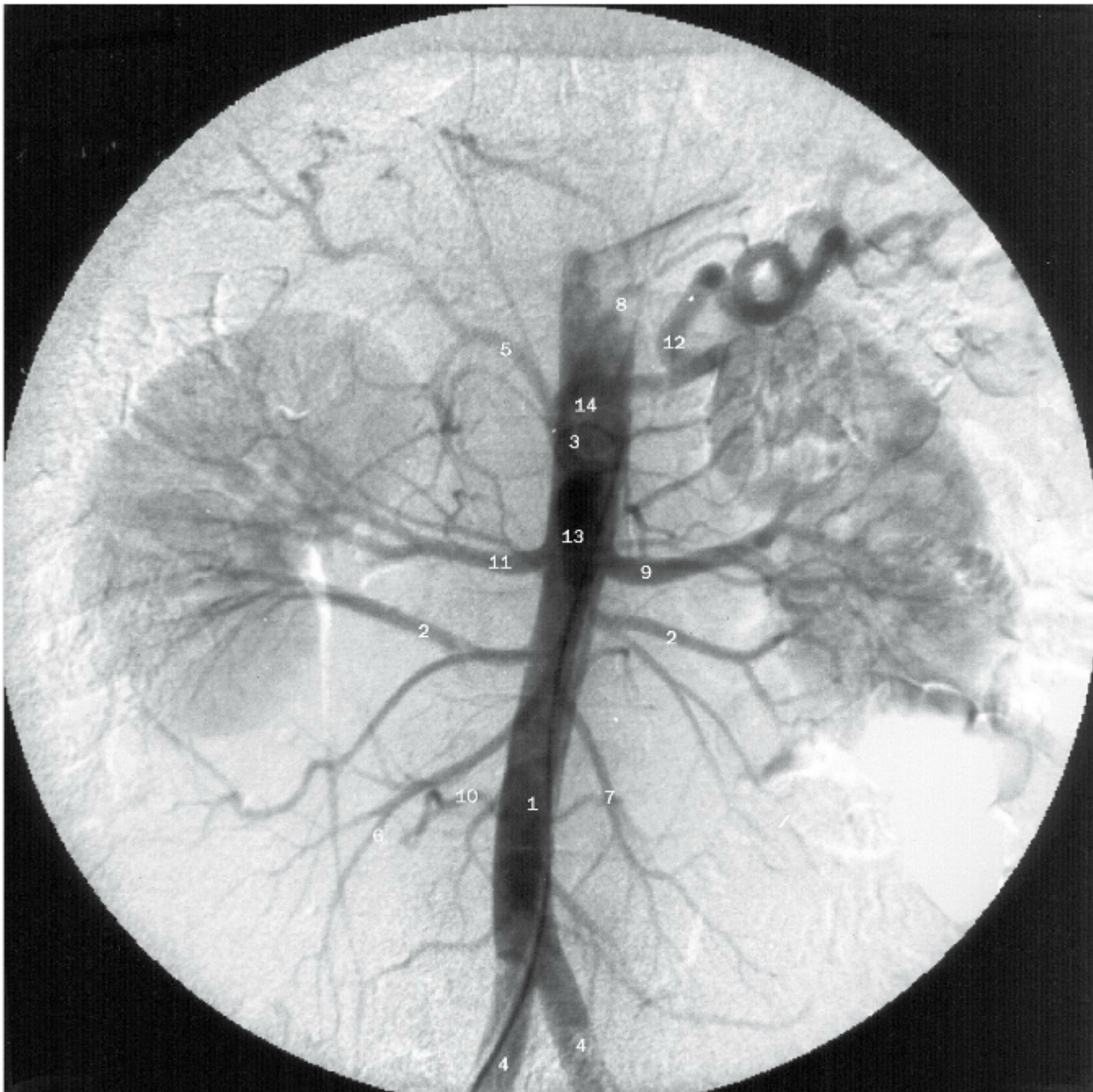
- 5 Vesícula biliar
- 6 Ampola hepatopancreática
- 7 Ducto hepático comum
- 8 Colo da vesícula biliar

- 9 Ducto pancreático
- 10 Ducto hepático direito



(c) CPER.

- 1 Ducto pancreático acessório
- 2 Parte ampular do ducto pancreático
- 3 Ducto colédoco
- 4 Meio de contraste e gases na parte descendente do duodeno
- 5 Ductos intralobulares
- 6 Ducto pancreático

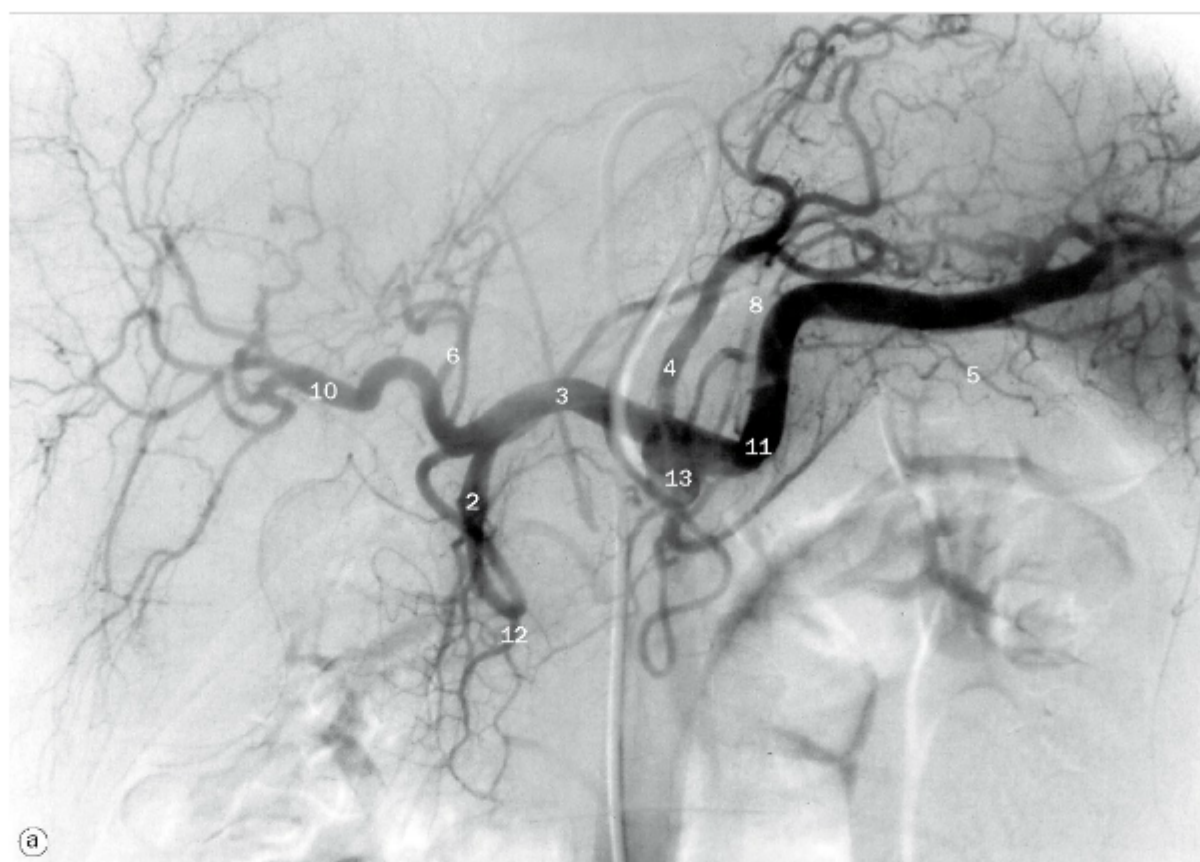


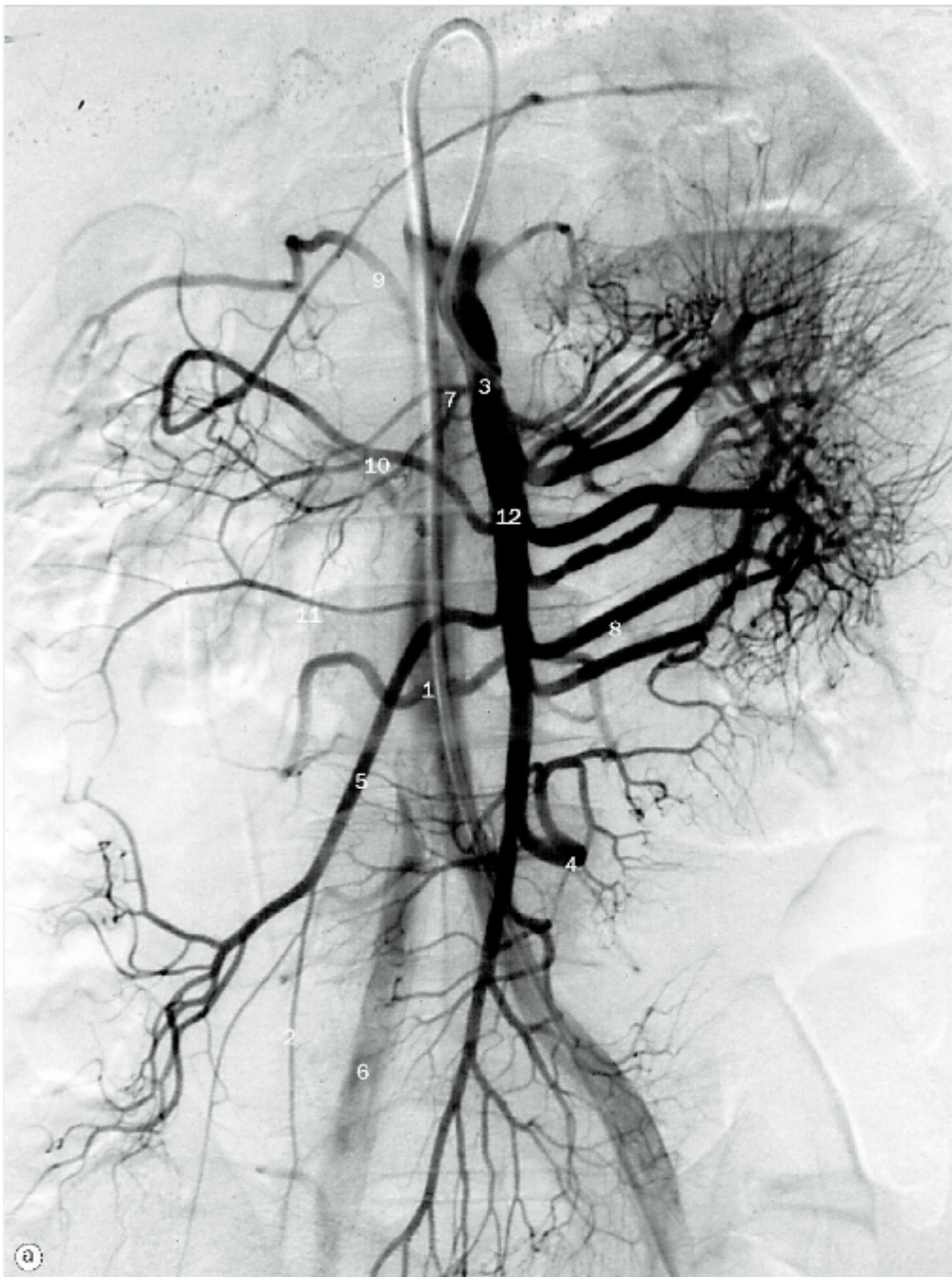
Aortografia abdominal.

- 1 Parte abdominal da aorta
- 2 Artérias renais acessórias
- 3 Tronco celíaco
- 4 Artérias ilíacas comuns
- 5 Artéria hepática
- 6 Artéria ileocólica
- 7 Ramos jejunais da artéria mesentérica superior
- 8 Artéria gástrica esquerda
- 9 Artéria renal esquerda
- 10 Artérias lombares
- 11 Artéria renal direita
- 12 Artéria esplênica
- 13 Artéria mesentérica superior
- 14 Extremidade do cateter em rabo-de-porco (*pigtail*) na parte abdominal da aorta

(a) e (b) Arteriografias por subtração digital do tronco celíaco.

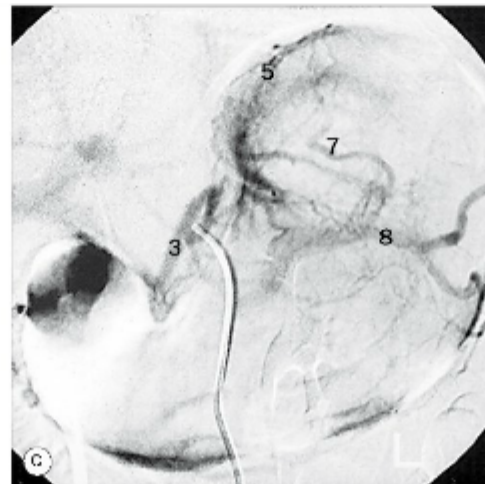
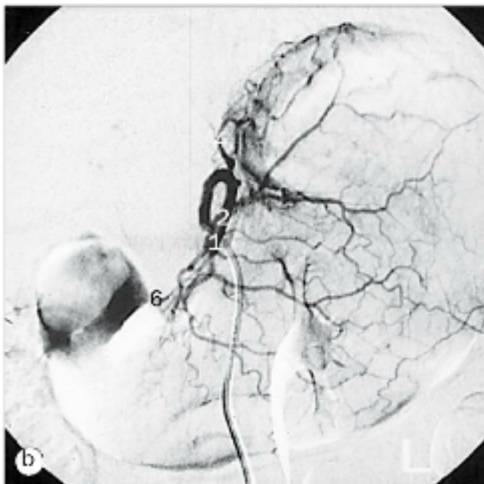
- 1 Artéria pancreática dorsal
- 2 Artéria gastroduodenal
- 3 Artéria hepática comum
- 4 Artéria gástrica esquerda
- 5 Artéria gastromental esquerda
- 6 Artéria hepática esquerda
- 7 Artéria pancreática magna
- 8 Artéria frênica superior
- 9 Artéria gastromental direita
- 10 Ramo direito da artéria hepática
- 11 Artéria esplênica
- 12 Artéria pancreaticoduodenal superior
- 13 Extremidade do cateter no tronco celíaco
- 14 Artéria pancreática inferior





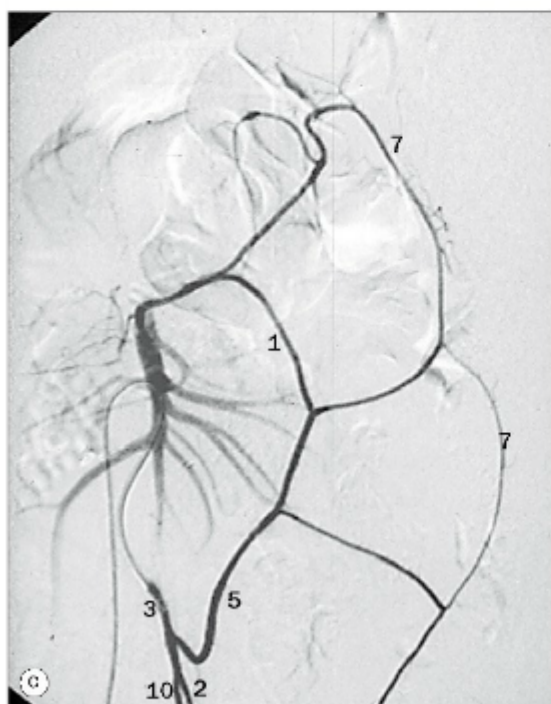
(a) Arteriografia por subtração digital da mesentérica superior.

- 1 Aorta
- 2 Artéria apendicular
- 3 Cateter com a extremidade seletivamente na artéria mesentérica superior
- 4 Ramos ileais da artéria mesentérica superior
- 5 Artéria ileocólica
- 6 Artéria íliaca comum
- 7 Artéria pancreaticoduodenal inferior
- 8 Ramos jejunais da artéria mesentérica superior
- 9 Artérias lombares originando-se da parte abdominal da aorta
- 10 Artéria cólica média
- 11 Artéria cólica direita
- 12 Artéria mesentérica superior



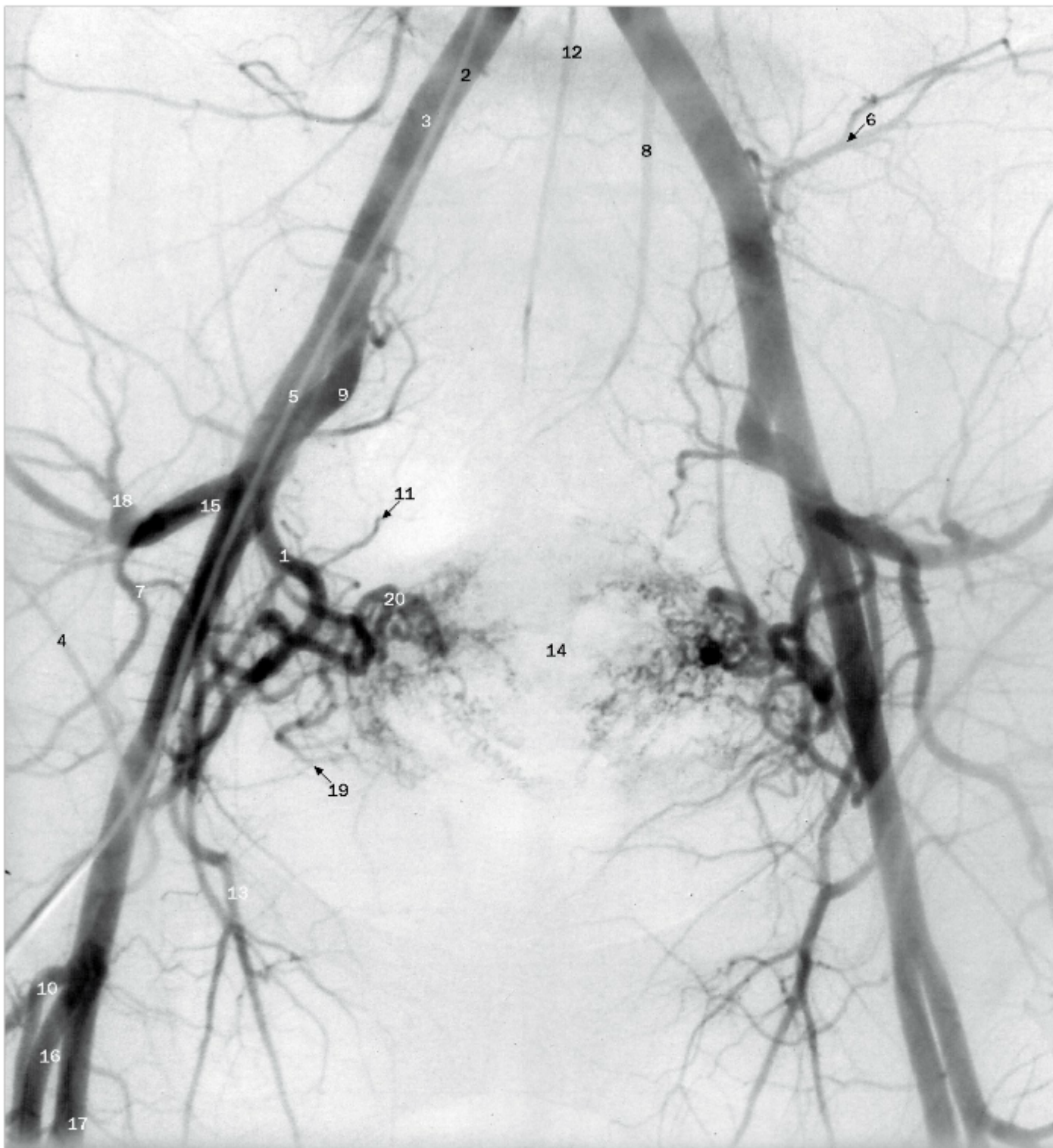
(b) Artérias gástricas, (c) veias gástricas.

- 1 Cateter na origem da artéria gástrica esquerda
- 2 Artéria gástrica esquerda
- 3 Veia gástrica esquerda
- 4 Ramo esofágico da artéria gástrica esquerda
- 5 Ramos esofágicos da veia gástrica esquerda
- 6 Artéria gástrica direita
- 7 Veias gástricas curtas
- 8 Veia esplênica



(a)-(c) Arteriografias mesentéricas inferiores.

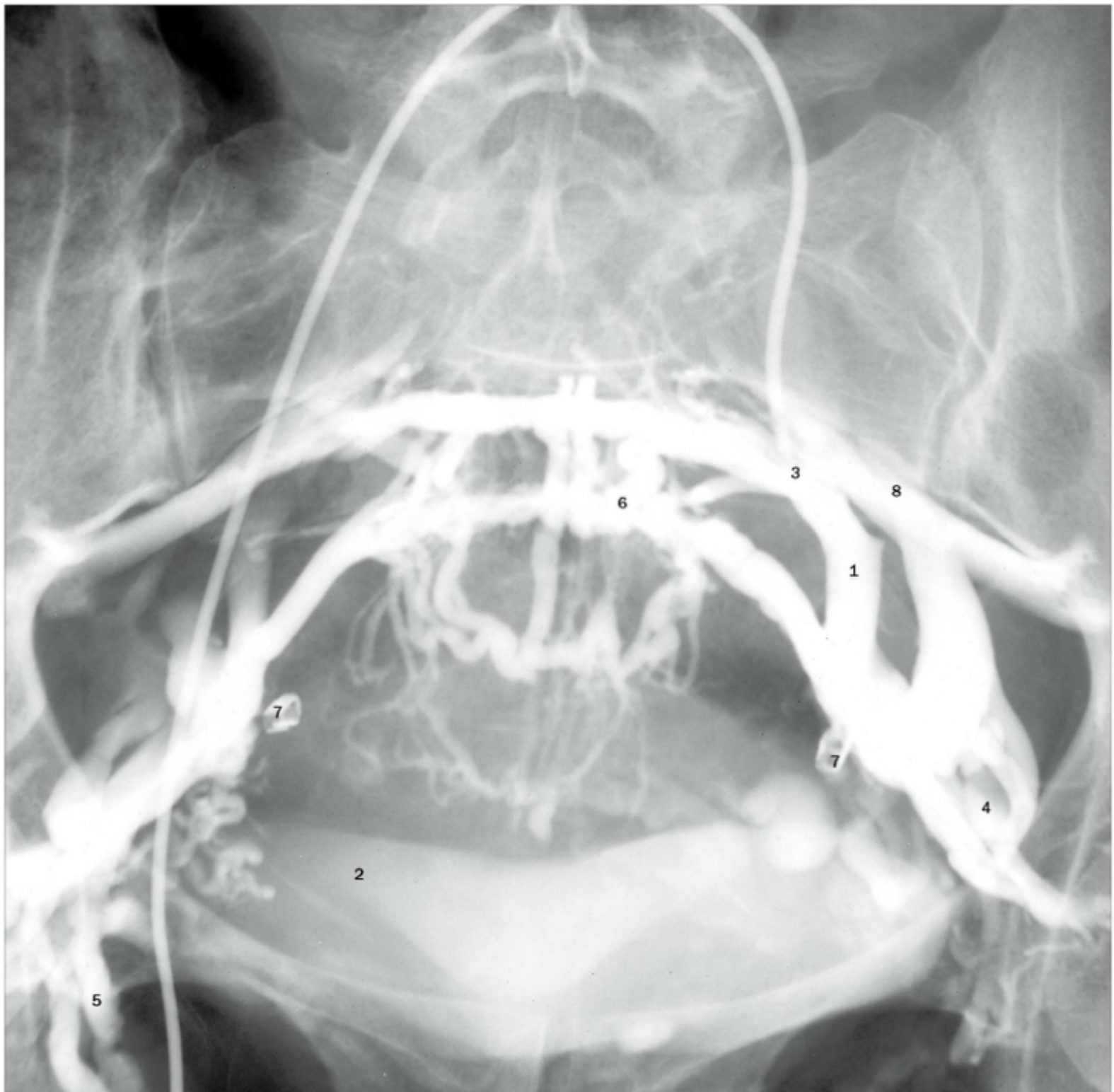
- 1 Ramo ascendente da artéria cólica esquerda
- 2 Ramo descendente da artéria cólica esquerda
- 3 Artéria mesentérica inferior
- 4 Veia mesentérica inferior
- 5 Artéria cólica esquerda
- 6 Veia cólica esquerda
- 7 Arco justacólico
- 8 Artérias sigmóideas
- 9 Veia sigmóidea
- 10 Artéria retal superior
- 11 Veia retal superior
- 12 Extremidade do cateter na artéria mesentérica inferior



Arteriografia pélvica por subtração digital.

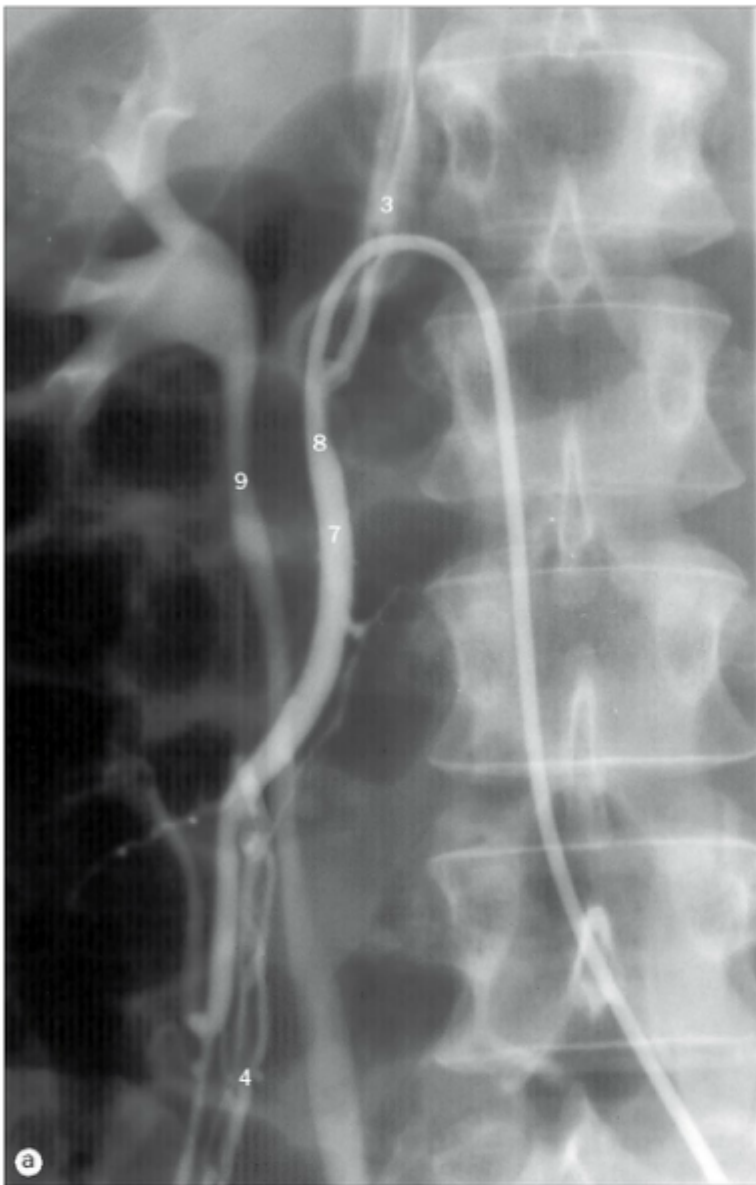
Essa radiografia anteroposterior da pelve demonstra tanto a artéria ilíaca interna como a externa e seus ramos. Muitos dos vasos estão superpostos: projeções oblíquas podem ser obtidas para que eles sejam vistos mais claramente. O meio de contraste injetado nas artérias é excretado pelos rins, e a bexiga cheia pode obscurecer os ramos. O cateterismo seletivo das artérias ilíaca interna e externa usando um cateter pré-moldado proporciona detalhes melhores, sem superposição dos vasos.

- | | |
|---|---|
| 1 Tronco anterior da artéria ilíaca interna | 10 Artéria circunflexa femoral lateral |
| 2 Cateter introduzido na parte abdominal distal da aorta através da artéria femoral direita | 11 Artéria sacral lateral |
| 3 Artéria ilíaca comum | 12 Artéria sacral mediana |
| 4 Artéria circunflexa ilíaca profunda | 13 Artéria obturatória |
| 5 Artéria ilíaca externa | 14 Posição do útero |
| 6 Artéria iliolumbar | 15 Tronco posterior da artéria ilíaca interna |
| 7 Artéria glútea inferior | 16 Artéria femoral profunda |
| 8 Artéria mesentérica inferior | 17 Artéria femoral |
| 9 Artéria ilíaca interna | 18 Artéria glútea superior |
| | 19 Artéria vesical superior |
| | 20 Artéria uterina |



Venografia pélvica feminina.

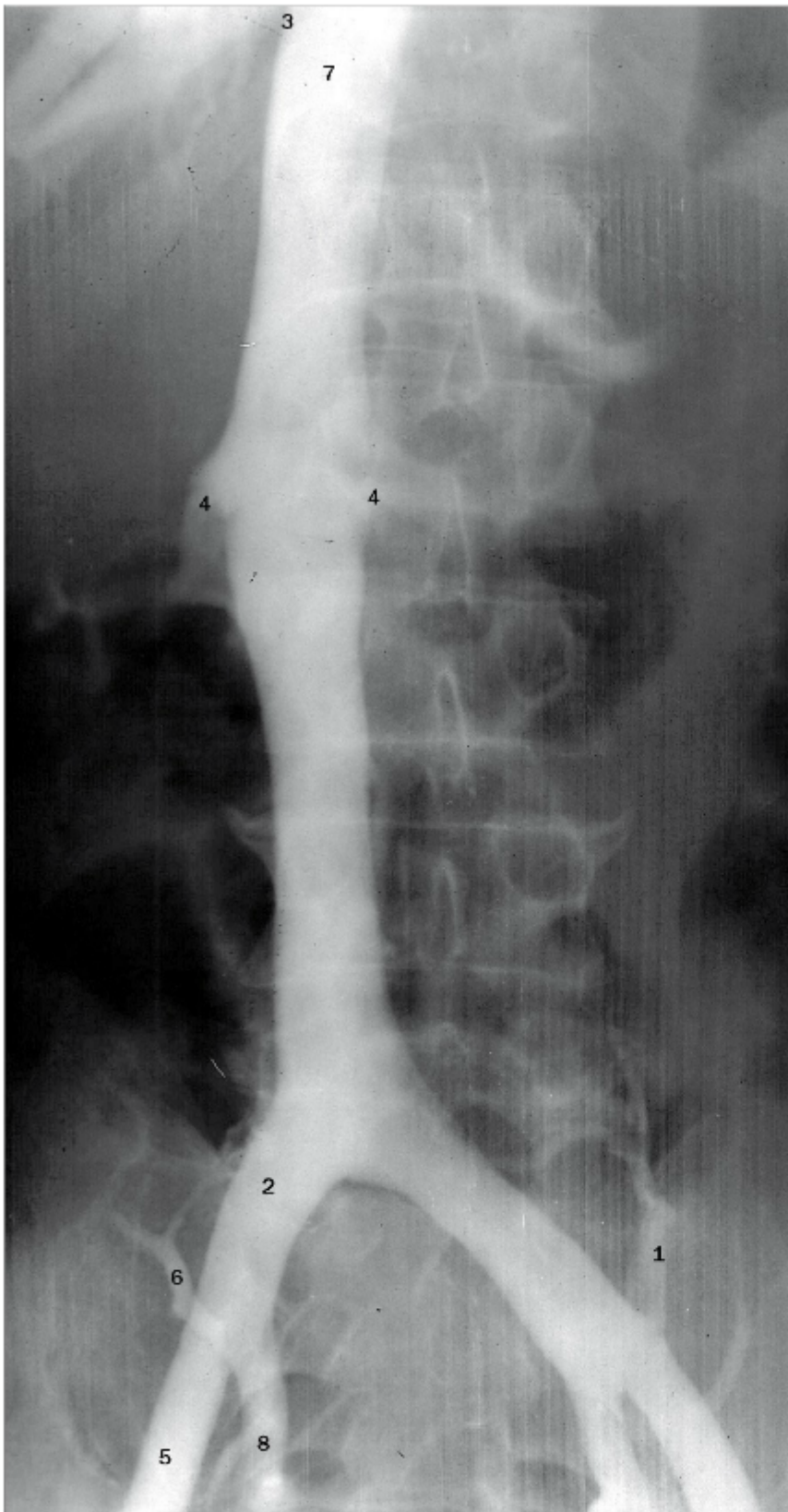
- 1 Divisão anterior da veia íliaca interna
- 2 Bexiga urinária contendo meio de contraste
- 3 Cateter introduzido através da veia femoral direita, com a extremidade na veia íliaca interna esquerda
- 4 Veias glúteas inferiores
- 5 Veias obturatórias
- 6 Plexo venoso sacral
- 7 Grampos de esterilização
- 8 Veias glúteas superiores



(a) e (b) Venografias testiculares direitas.

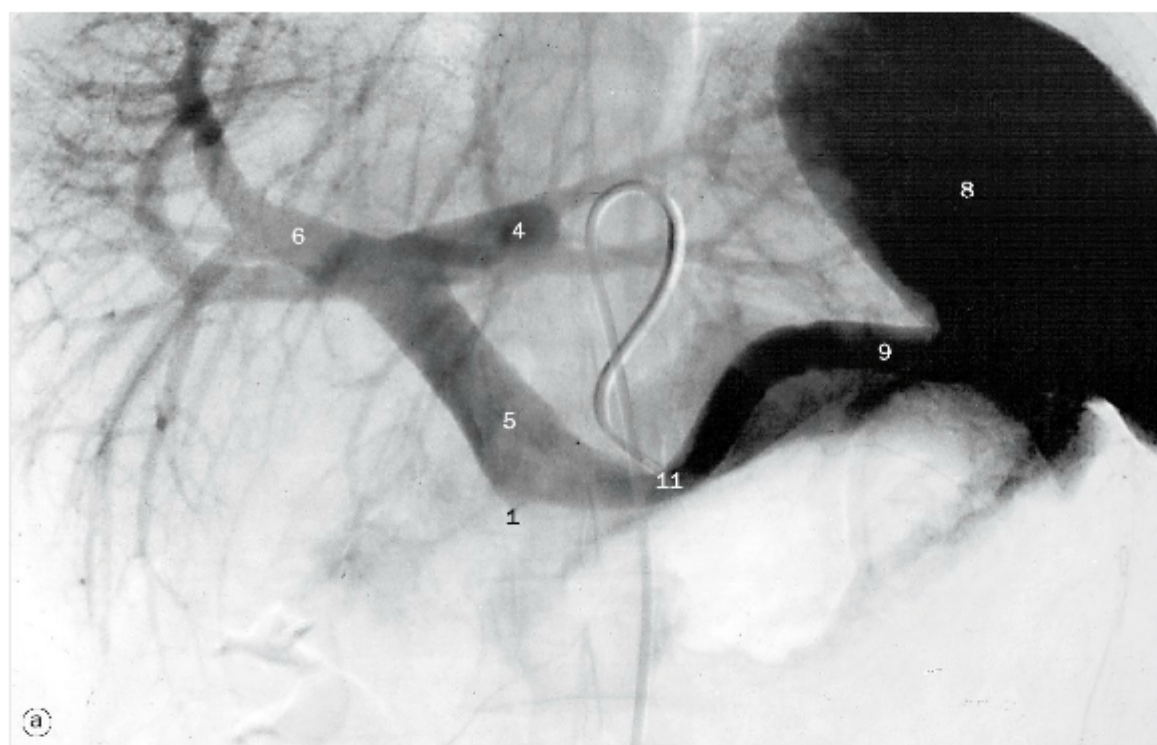
As veias gonadais drenam para uma ou duas veias principais através de um plexo venoso. À esquerda, a veia principal drena para a veia renal esquerda. Esta pode, ocasionalmente, comunicar-se com a veia mesentérica inferior e drenar para o sistema venoso portal. À direita, a veia principal drena, em geral, diretamente para a veia cava inferior (como no caso ilustrado), mas ela pode drenar também para a veia renal direita.

- 1 Bexiga urinária
- 2 Veias ilíacas comuns
- 3 Veia cava inferior
- 4 Plexo pampiniforme
- 5 Plexo pampiniforme (testículo ectópico no canal inguinal)
- 6 Veias capsulares renais
- 7 Veia testicular direita
- 8 Extremidade do cateter na veia testicular direita, introduzido pela veia femoral esquerda
- 9 Ureter



Venografia da veia cava inferior.

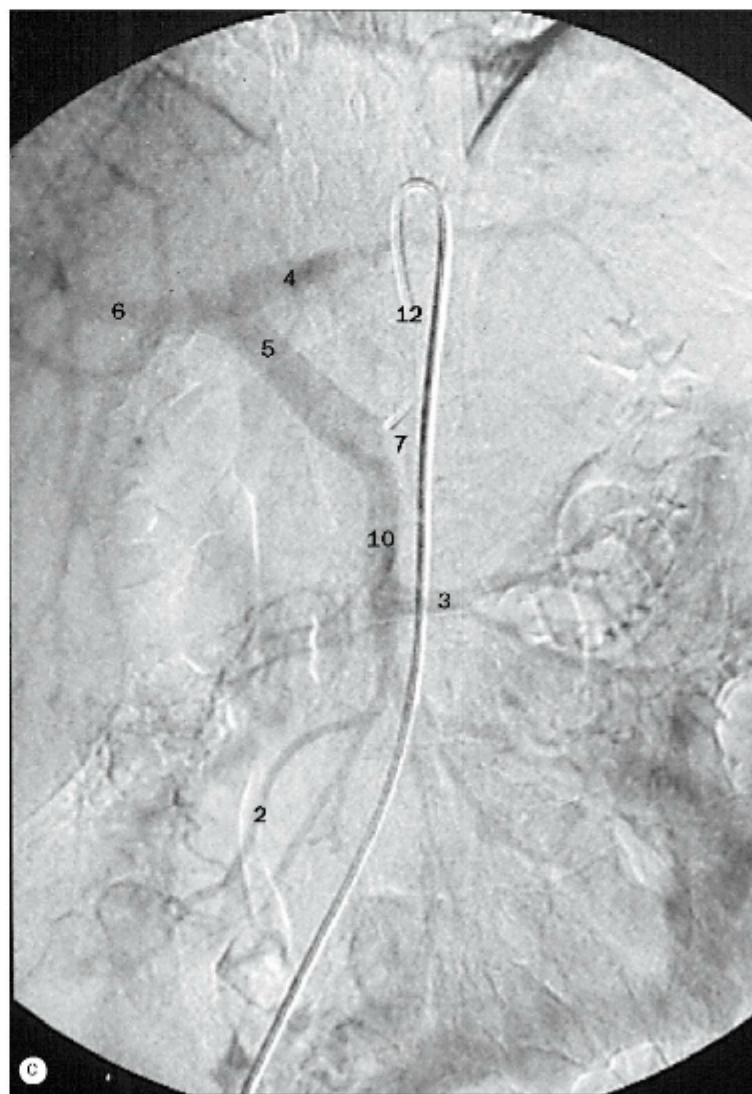
- 1 Veia lombar ascendente
- 2 Veia ilíaca comum
- 3 Entrada das veias hepáticas
- 4 Entrada das veias renais
- 5 Veia ilíaca externa
- 6 Veia iliolumbar
- 7 Veia cava inferior
- 8 Veia ilíaca interna



(a) Esplenoportografia indireta.

(b) e (c) Fase venosa de uma arteriografia mesentérica superior.

- 1 Entrada da veia mesentérica superior
- 2 Veia ileocólica
- 3 Veia jejunal
- 4 Ramo esquerdo da veia porta
- 5 Veia porta
- 6 Ramo direito da veia porta
- 7 Local de entrada da veia esplênica
- 8 Baço
- 9 Veia esplênica
- 10 Veia mesentérica superior
- 11 Extremidade do cateter na artéria esplênica
- 12 Extremidade do cateter na artéria mesentérica superior





(a) Arteriografia hepática por subtração digital.

- 1 Ramo anterior da artéria pancreaticoduodenal superior
- 2 Artéria pancreática dorsal
- 3 Artérias omentais
- 4 Artéria gastroduodenal
- 5 Ramo esquerdo da artéria hepática própria
- 6 Ramo posterior da artéria pancreaticoduodenal superior
- 7 Ramo direito da artéria hepática própria
- 8 Artéria gastromental direita
- 9 Artéria pancreaticoduodenal superior
- 10 Extremidade do cateter na artéria hepática comum
- 11 Artéria pancreática inferior



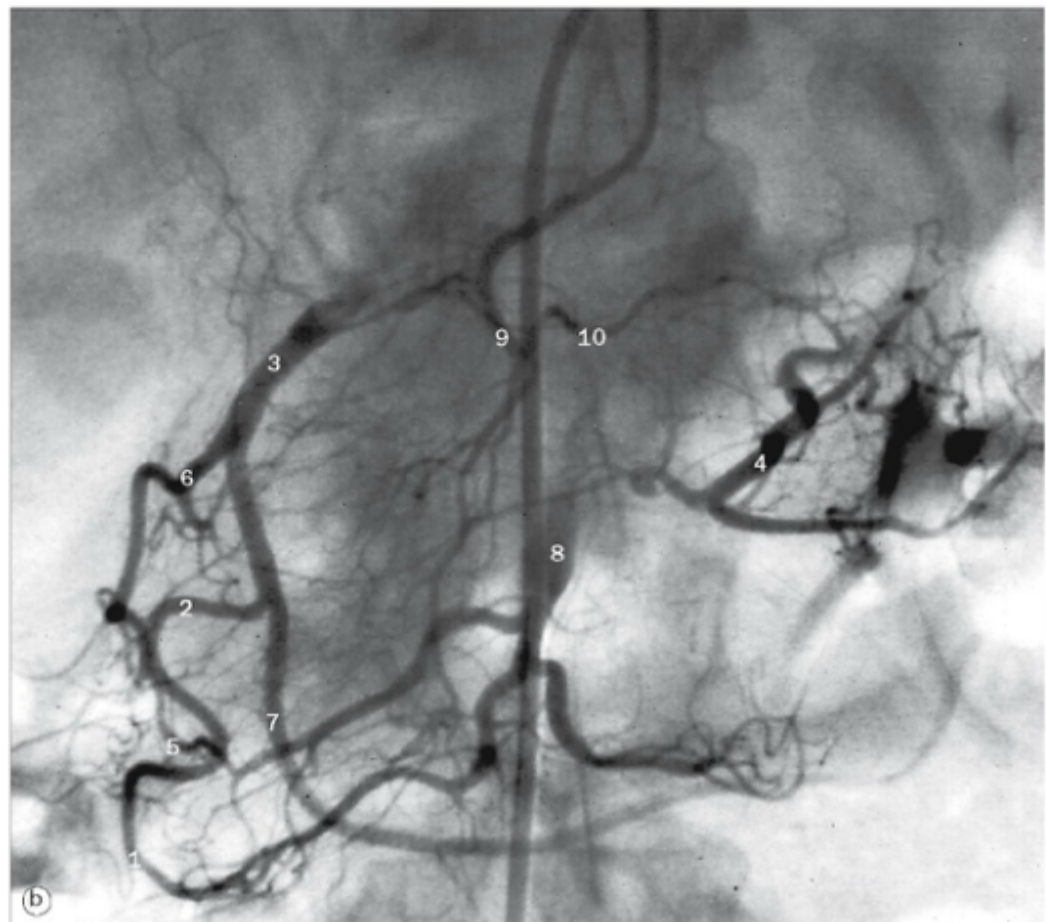
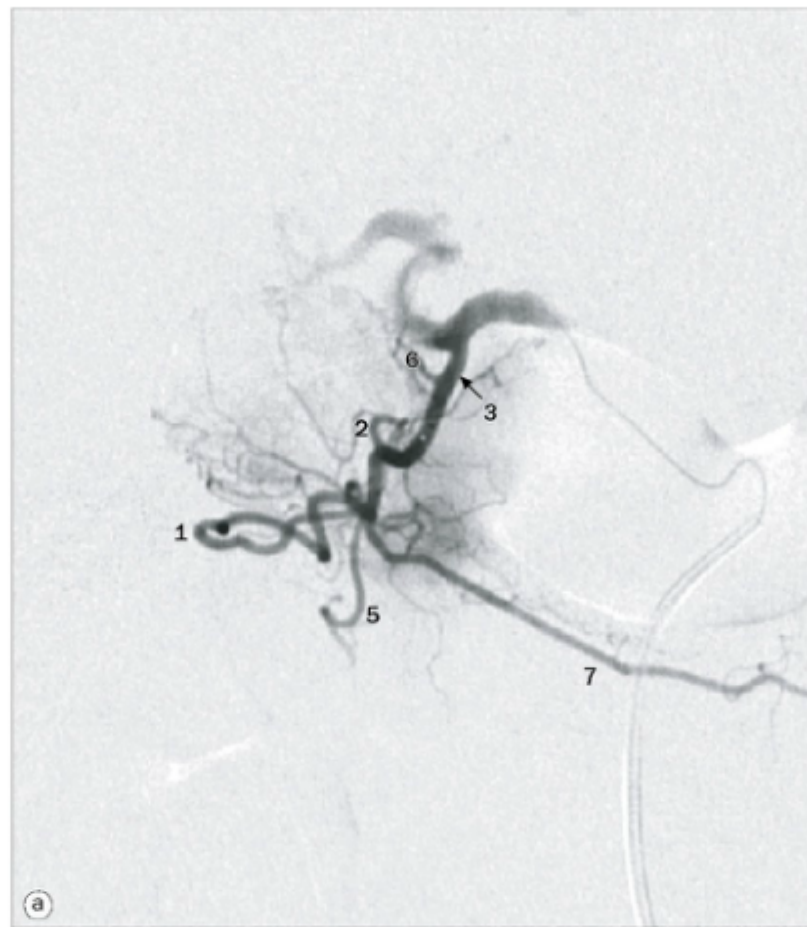
(b) Venografia hepática por subtração digital.

- 1 Veia cava inferior
- 2 Veia hepática intermédia
- 3 Parênquima hepático
- 4 Veia hepática direita
- 5 Extremidade do cateter na veia hepática

(a) Arteriografia seletiva gastroduodenal.

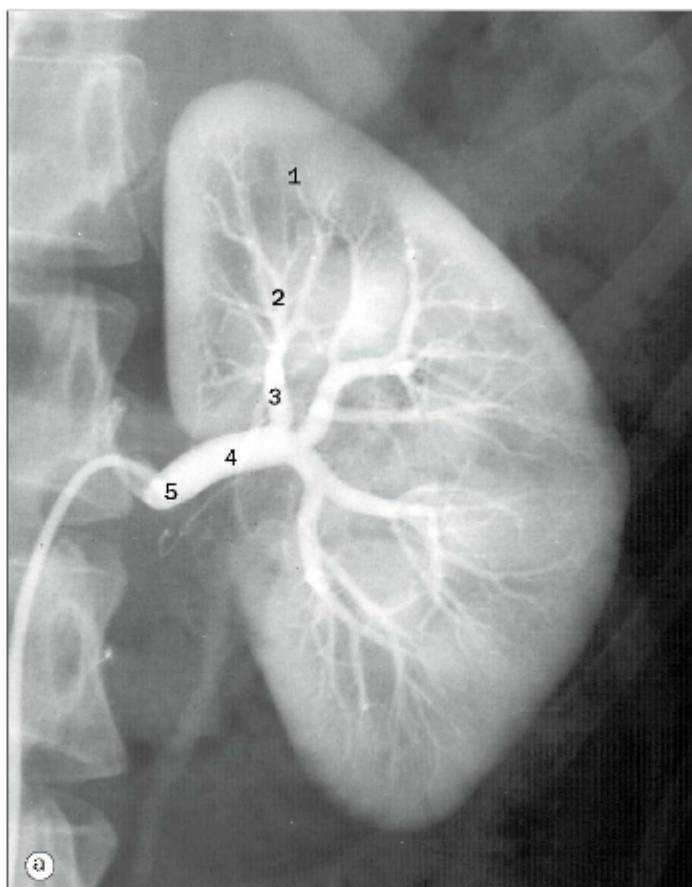
(b) Arteriografia pancreática por subtração digital.

- 1 Ramo anterior da artéria pancreaticoduodenal inferior
- 2 Ramo anterior da artéria pancreaticoduodenal superior
- 3 Artéria gastroduodenal
- 4 Artéria gastromental esquerda
- 5 Ramo posterior da artéria pancreaticoduodenal inferior
- 6 Ramo posterior da artéria pancreaticoduodenal superior
- 7 Artéria gastromental direita
- 8 Artéria mesentérica superior
- 9 Extremidade do cateter na artéria pancreática dorsal
- 10 Artéria pancreática inferior



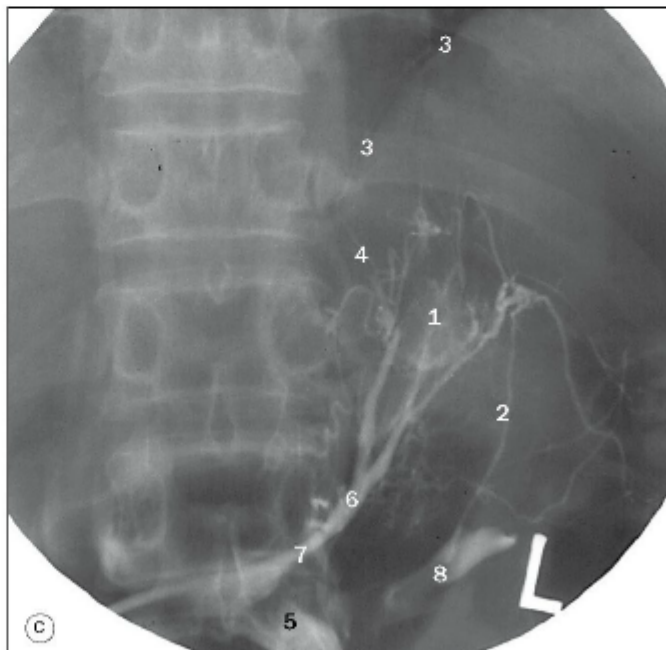
(a) Arteriografia renal.

- 1 Artérias arqueadas
- 2 Artérias interlobares
- 3 Artérias lobares
- 4 Artéria renal
- 5 Extremidade do cateter na artéria renal



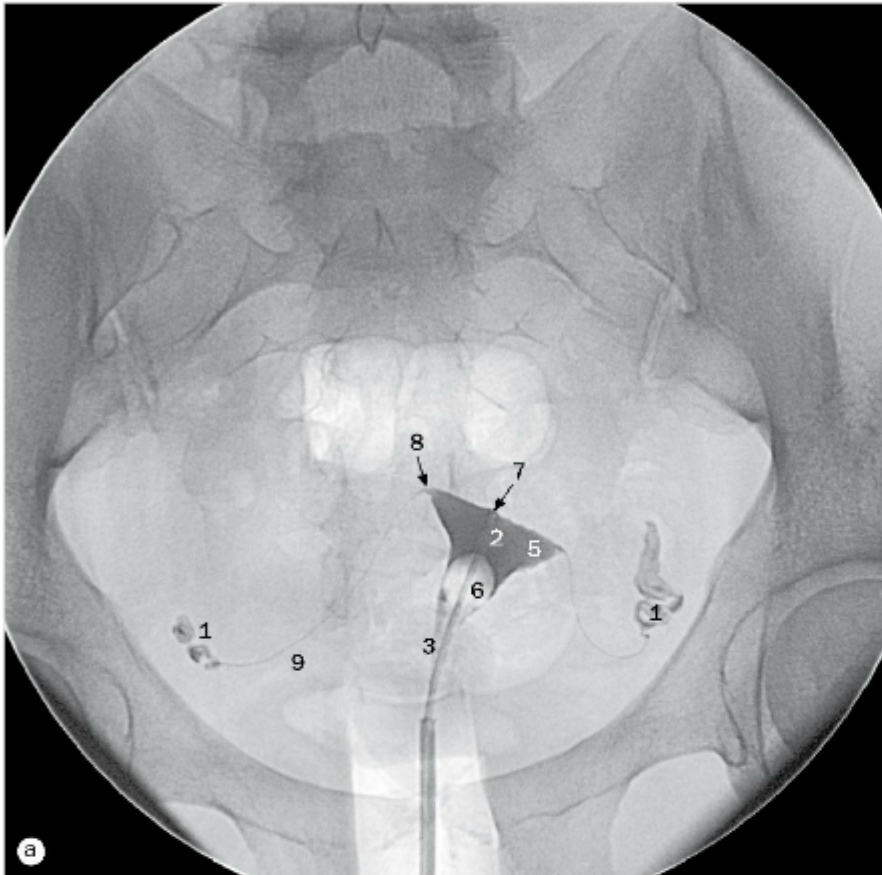
(b) Arteriografia da glândula suprarrenal esquerda.

- 1 Cateter na origem da artéria frênica inferior
- 2 Músculo diafragma
- 3 Artéria frênica inferior
- 4 Glândula suprarrenal esquerda
- 5 Artérias suprarrenais superiores
- 6 Extremidade da sonda nasogástrica

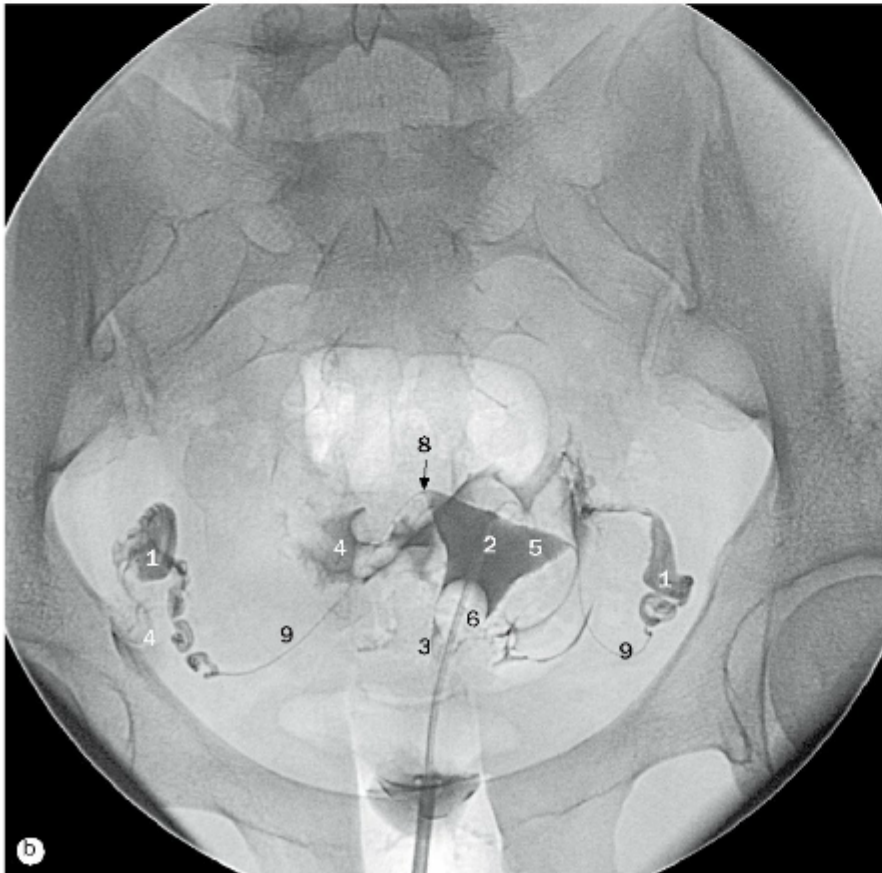


(c) Venografia da glândula suprarrenal esquerda.

- 1 Adenoma na glândula suprarrenal
- 2 Veias capsulares
- 3 Músculo diafragma
- 4 Veia frênica inferior
- 5 Veia renal esquerda
- 6 Veia suprarrenal esquerda
- 7 Extremidade do cateter na veia suprarrenal esquerda
- 8 Cálice do polo superior

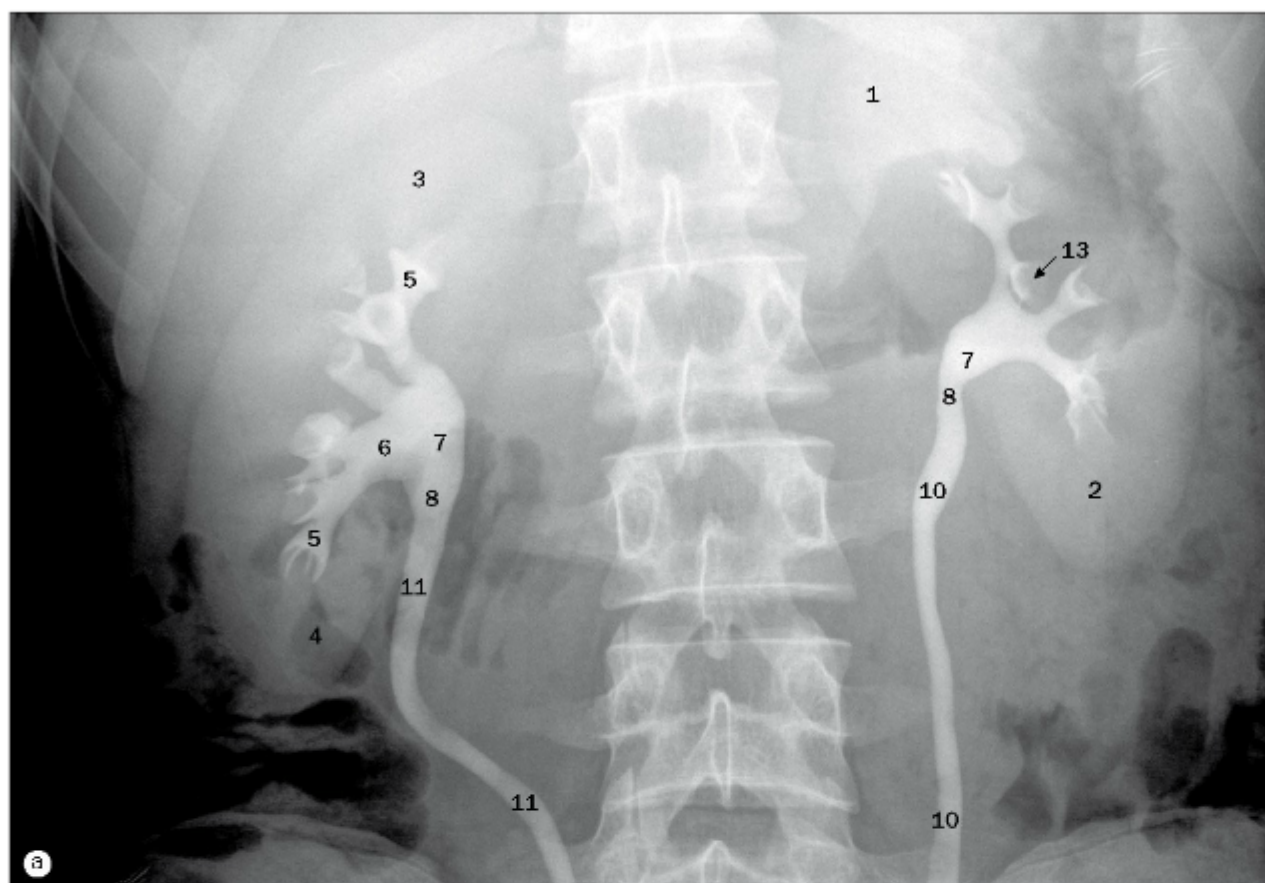


(a) Fase inicial do enchimento uterino.

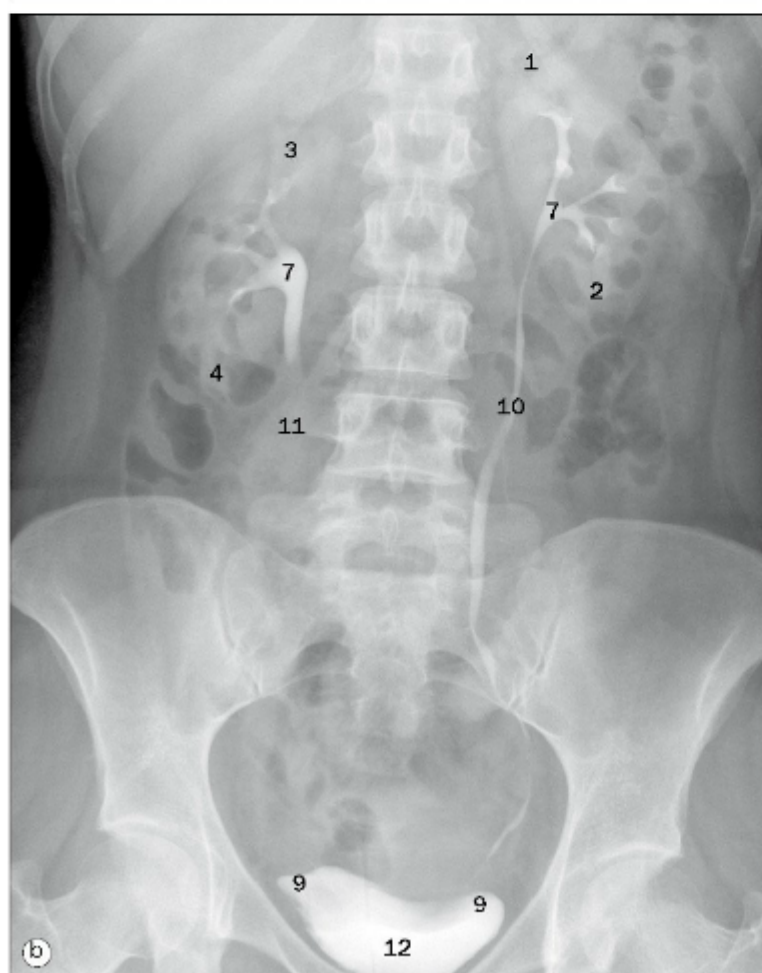


(b) Fase tardia com extravasamento peritoneal

- 1 Ampola da tuba uterina
- 2 Corpo do útero
- 3 Colo do útero
- 4 Vazamento de contraste para a cavidade peritoneal
- 5 Corno do útero
- 6 Cateter balão de Foley no útero
- 7 Fundo do útero
- 8 Istmo da tuba uterina
- 9 Tuba uterina



a

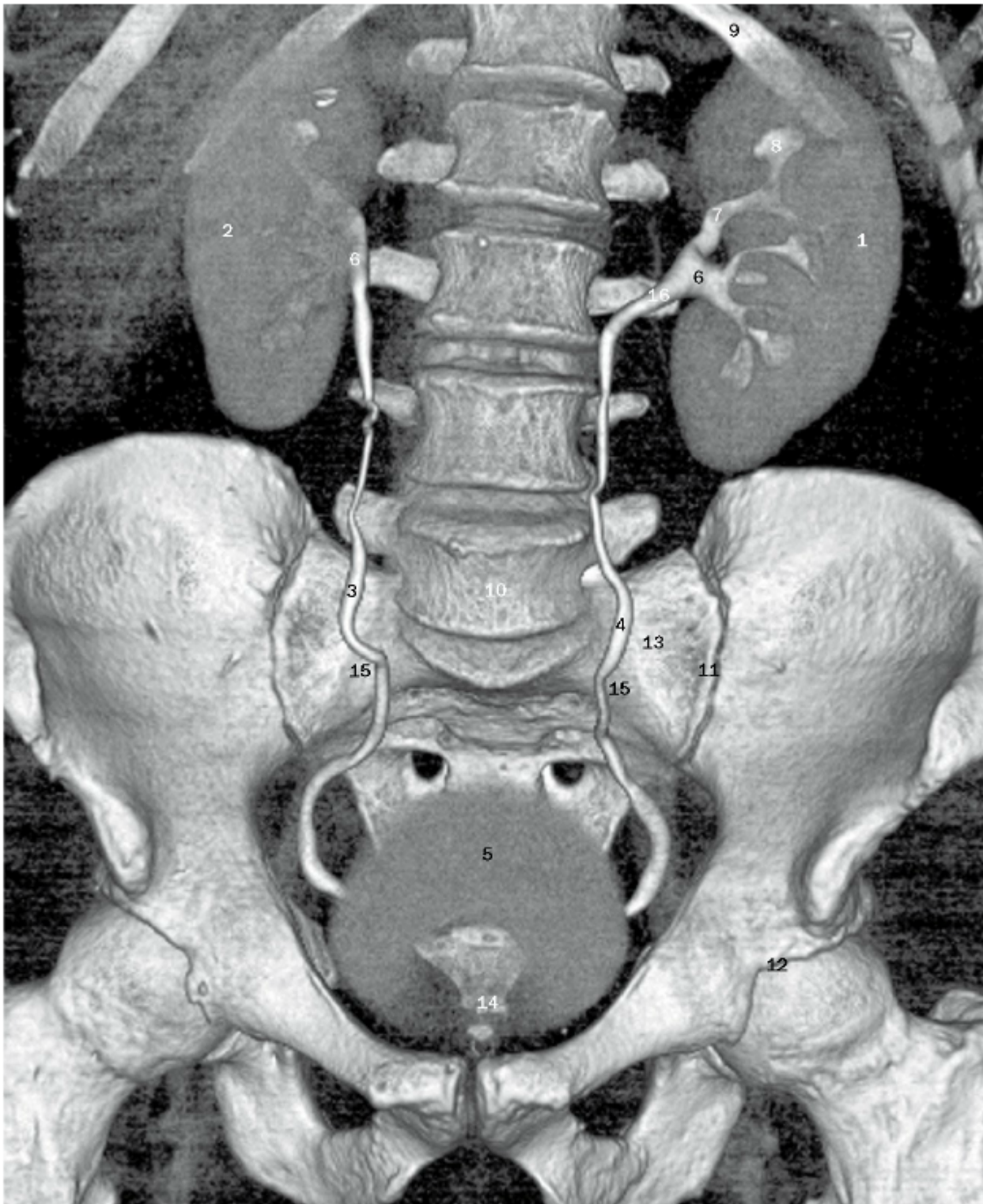


b

(a) Radiografia localizada após 10 minutos de uma urografia excretora. Há compressão abdominal.

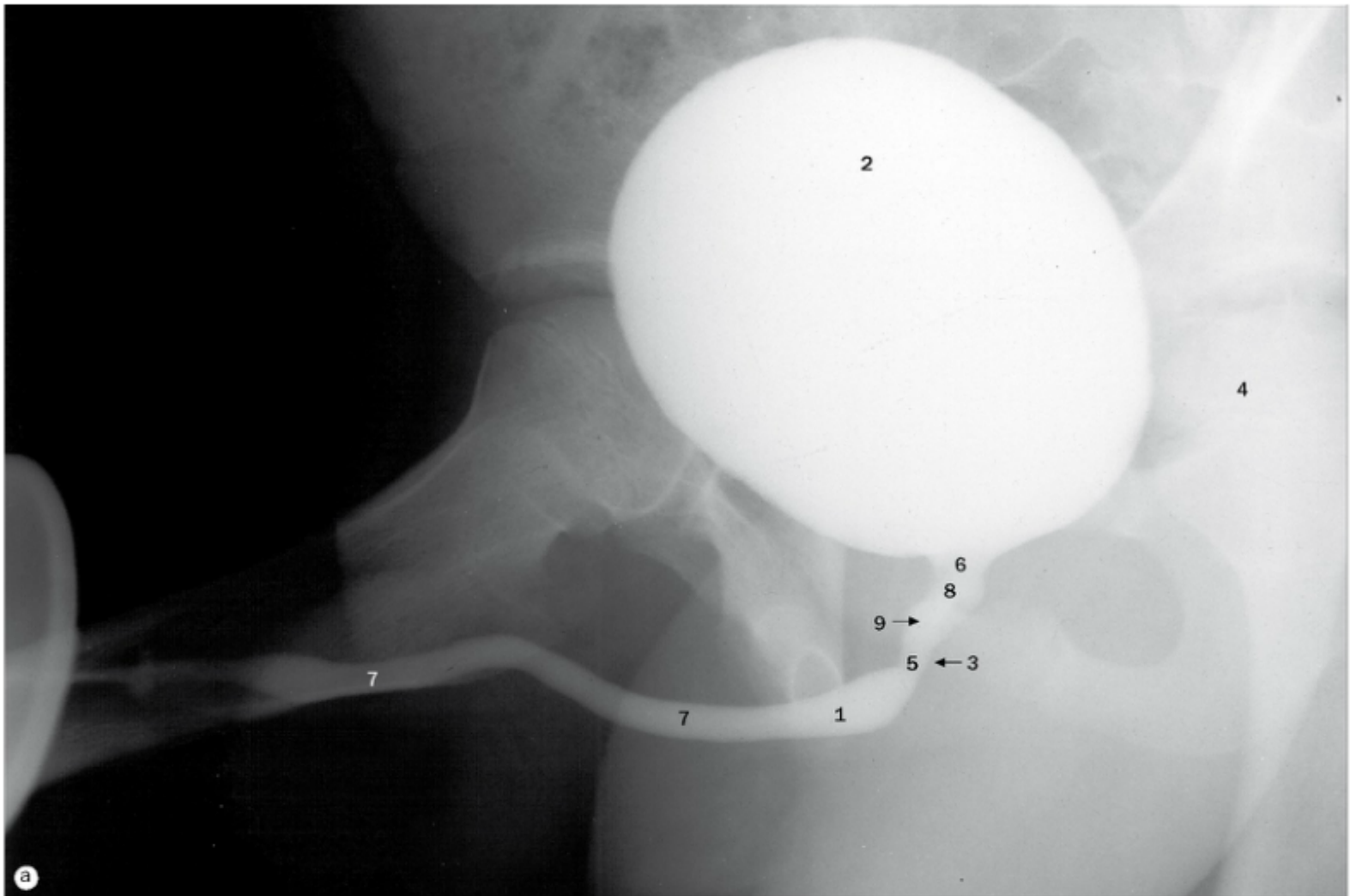
(b) Radiografia após 15 minutos de uma urografia excretora após a liberação da compressão.

- 1 Polo superior do rim esquerdo
- 2 Polo inferior do rim esquerdo
- 3 Polo superior do rim direito
- 4 Polo inferior do rim direito
- 5 Cálice renal menor
- 6 Cálice renal maior
- 7 Pelve renal
- 8 Junção pelviureteral
- 9 Junção vesicoureteral
- 10 Ureter esquerdo
- 11 Ureter direito
- 12 Bexiga urinária
- 13 Papila renal



Uro-TC em 3D após 10 minutos da injeção intravenosa.

- | | |
|--------------------------|---|
| 1 Rim esquerdo | 10 Corpo vertebral de L5 |
| 2 Rim direito | 11 Articulação sacroilíaca |
| 3 Ureter direito | 12 Articulação do quadril |
| 4 Ureter esquerdo | 13 Asa do sacro |
| 5 Bexiga urinária | 14 Cóccix |
| 7 Cálice renal maior | 15 Ponto de entrecruzamento ureteral dos vasos ilíacos comuns |
| 8 Cálice renal menor | 16 Junção pelviureteral |
| 9 Décima segunda costela | |

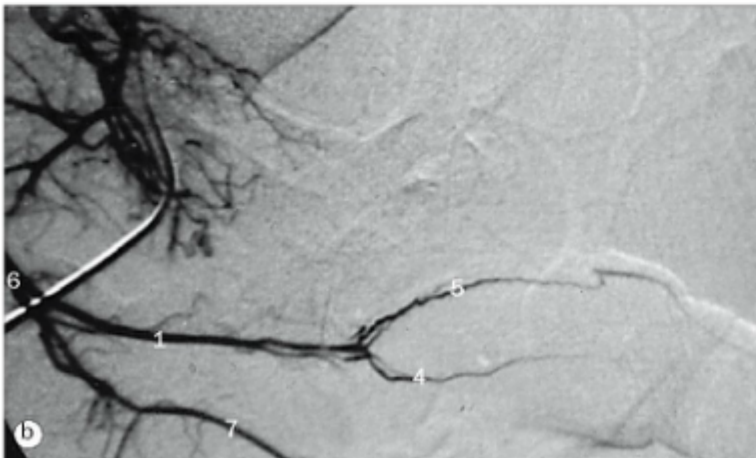


(a) Uretrografia masculina, imagem oblíqua.

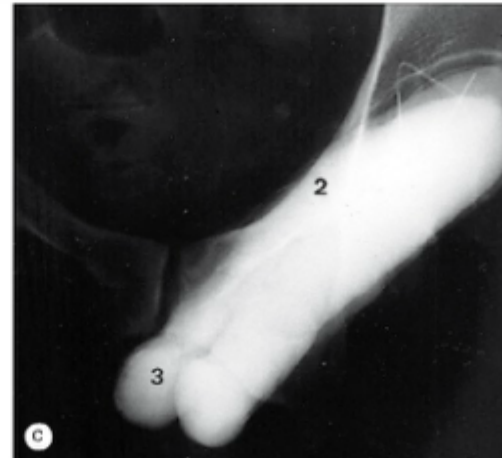
(b) Arteriografia do pênis.

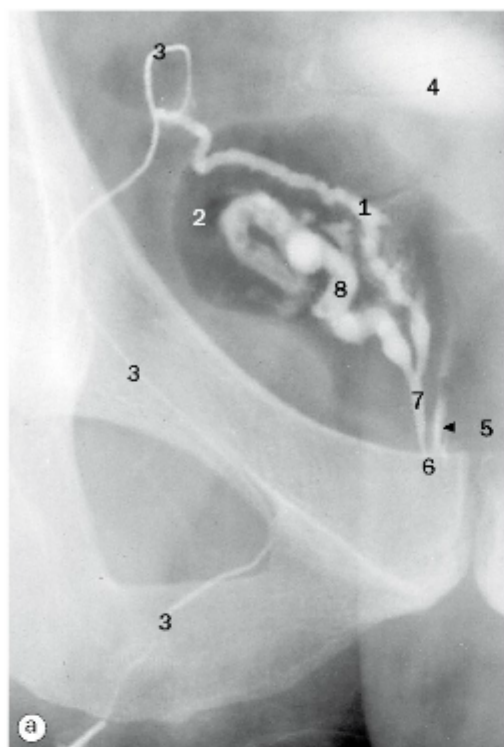
(c) Cavernosografia.

- | | |
|---|---|
| 1 Parte esponjosa da uretra na região do bulbo do pênis | 5 Parte membranácea da uretra |
| 2 Meio de contraste na bexiga urinária | 6 Colo da bexiga urinária |
| 3 Músculo esfíncter externo da uretra | 7 Parte esponjosa da uretra na região do corpo do pênis |
| 4 Cabeça do fêmur | 8 Parte prostática da uretra |
| | 9 Colículo seminal |



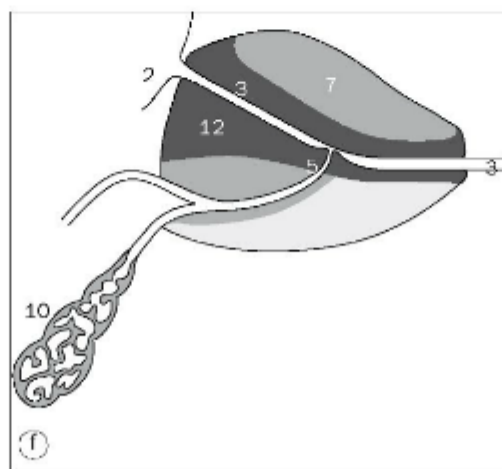
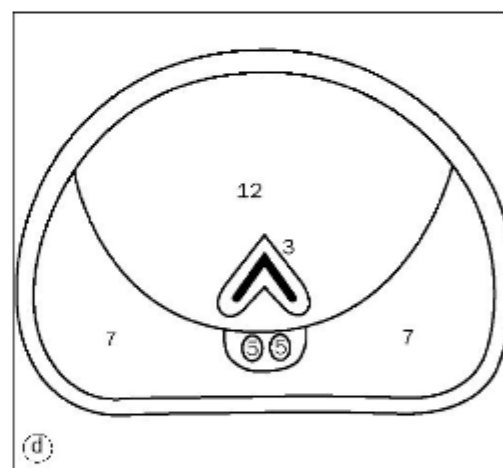
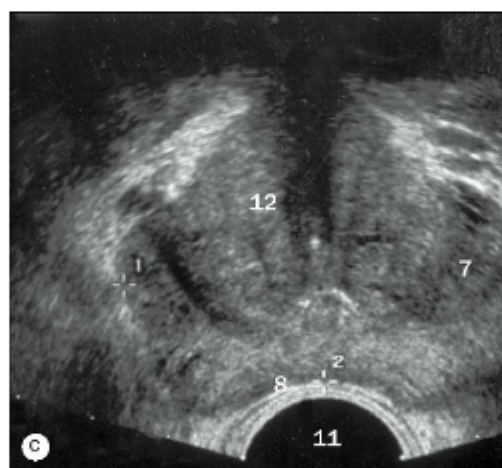
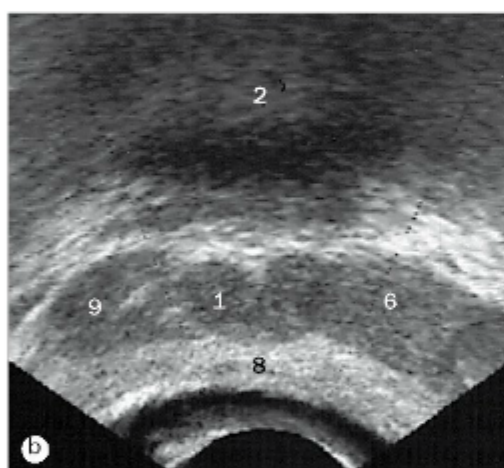
- | | |
|-----------------------------------|-----------------------------|
| 1 Artéria do pênis | 4 Artéria profunda do pênis |
| 2 Corpo cavernoso | 5 Artéria dorsal do pênis |
| 3 Ramo do pênis (corpo cavernoso) | 6 Artéria pudenda interna |
| | 7 Artéria perineal |





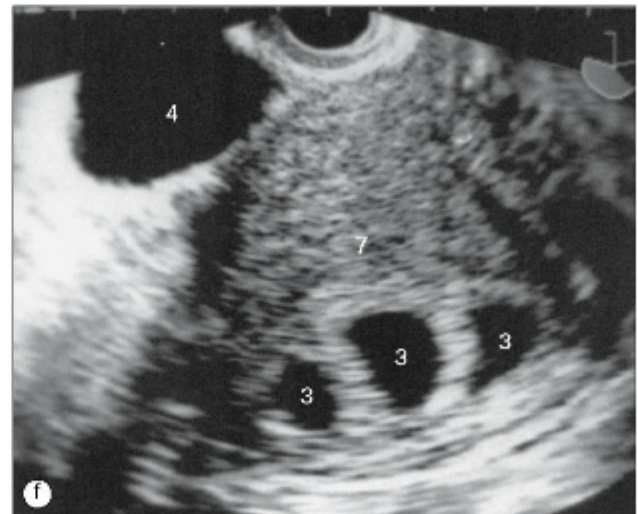
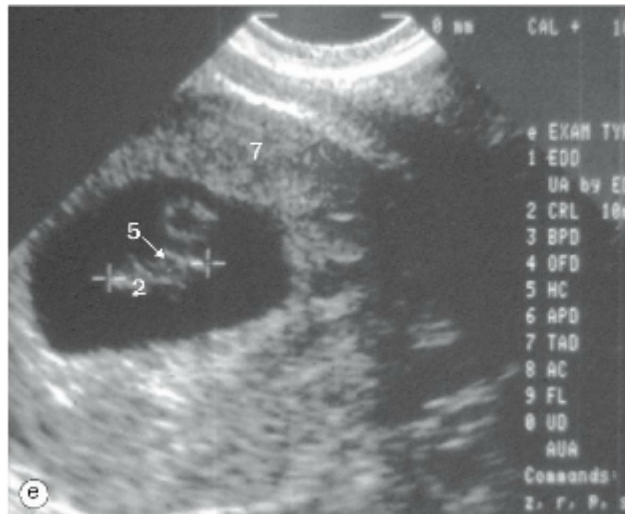
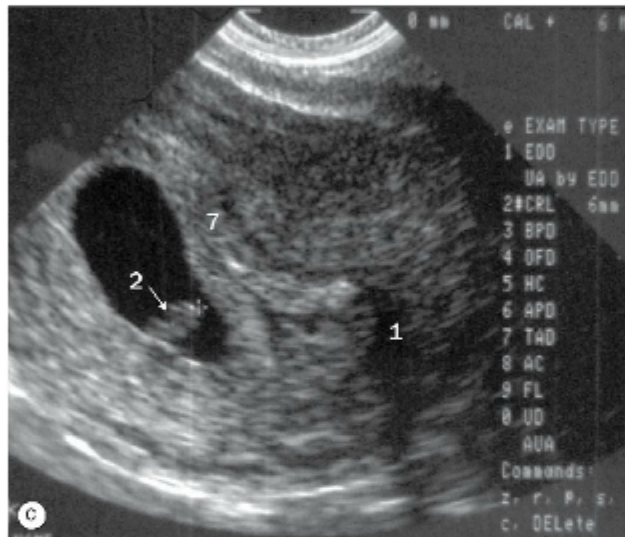
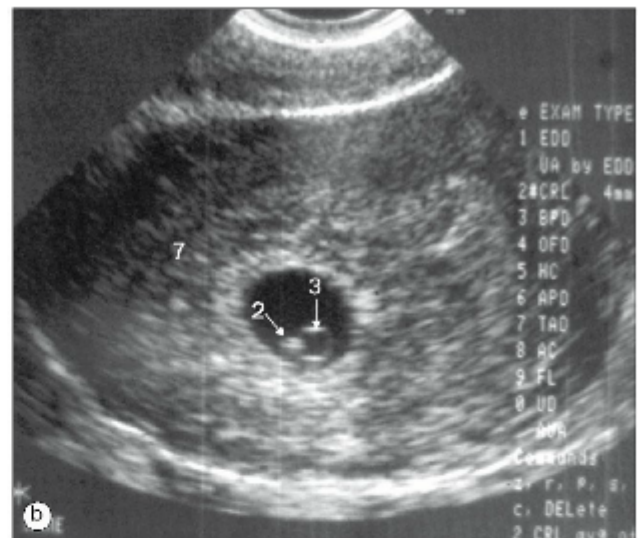
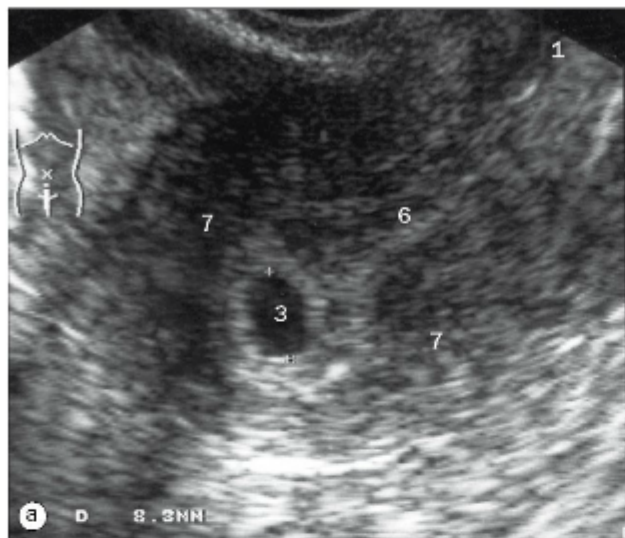
(a) Vesiculografia seminal

- 1 Ampola do ducto deferente
- 2 Gases no colo
- 3 Ducto deferente
- 4 Bexiga cheia
- 5 Ducto ejaculatório esquerdo
- 6 Posição do colículo seminal
- 7 Ducto ejaculatório direito
- 8 Glândula seminal



- 1 Ampola do ducto deferente
- 2 Bexiga urinária
- 3 Trajeto da uretra
- 4 Parte distal da uretra
- 5 Ducto ejaculatório
- 6 Glândula seminal esquerda
- 7 Zona periférica da próstata
- 8 Parede do reto
- 9 Glândula seminal direita
- 10 Glândula seminal
- 11 Transdutor
- 12 Zona de transição da próstata

Ultrassonografia transretal da próstata, (b) corte axial através da base da bexiga, (c) corte axial através do meio da próstata, (d) desenho de um corte axial da próstata, (e) corte sagital na linha mediana, (f) desenho do corte sagital na linha mediana.



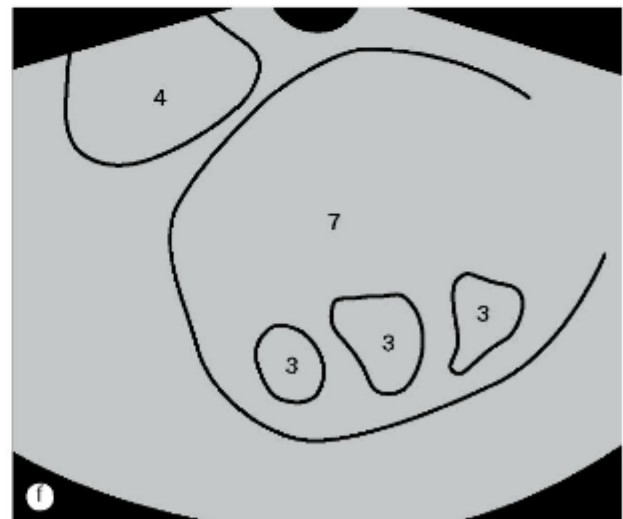
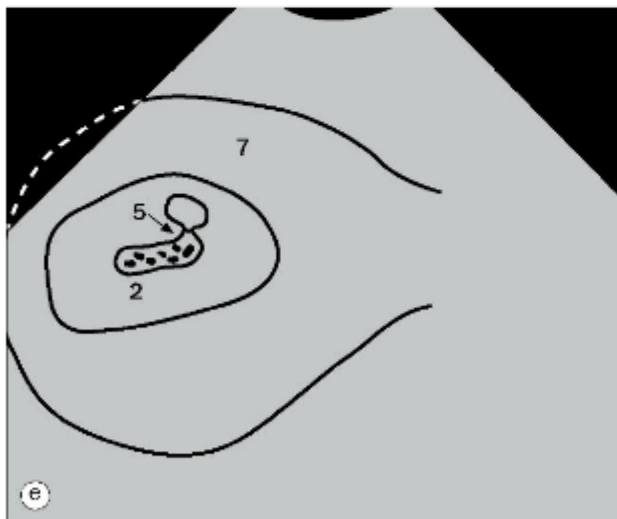
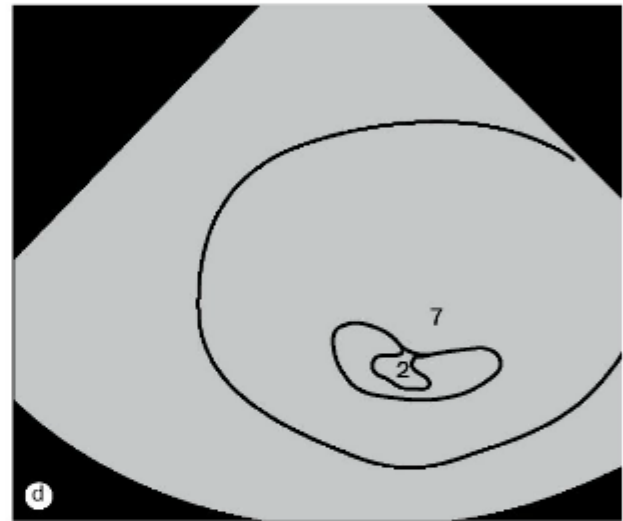
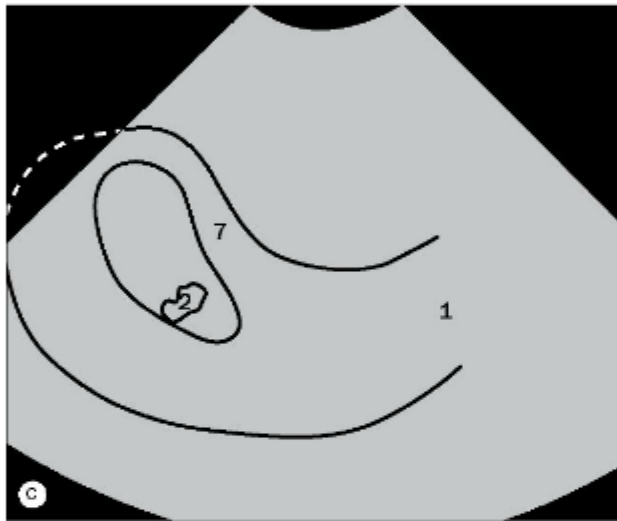
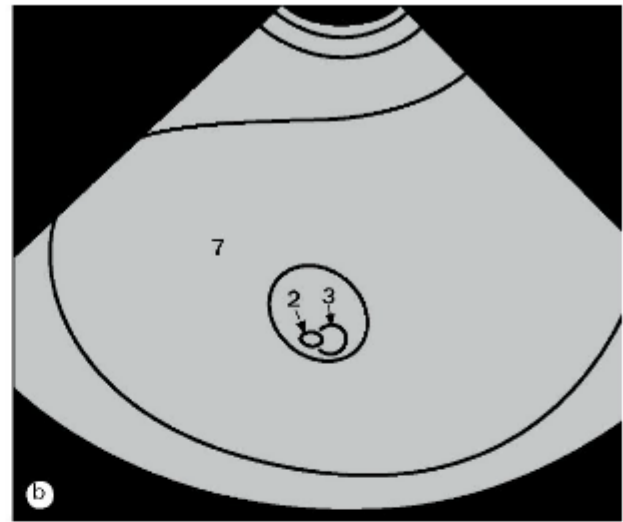
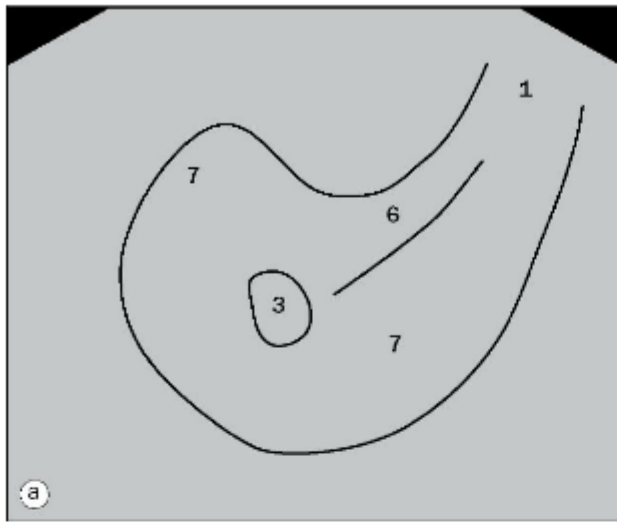
(a) Saco gestacional de 8 mm = idade gestacional de 5 semanas + 3 dias, (b) CCN (comprimento cabeça-nádega) = 4 mm = idade gestacional de 6 semanas, (c) CCN = 6 mm = idade gestacional de 6 semanas + 3 dias, (d) CCN = 8 mm = idade gestacional de 6 semanas + 5 dias, (e) CCN = 10 mm = idade gestacional de 7 semanas + 2 dias, (f) trigêmeos - três sacos gestacionais separados.

1 Colo do útero
2 Feto

3 Saco gestacional
4 Bexiga materna

5 Posição do coração fetal
6 Cavidade do útero

7 Útero



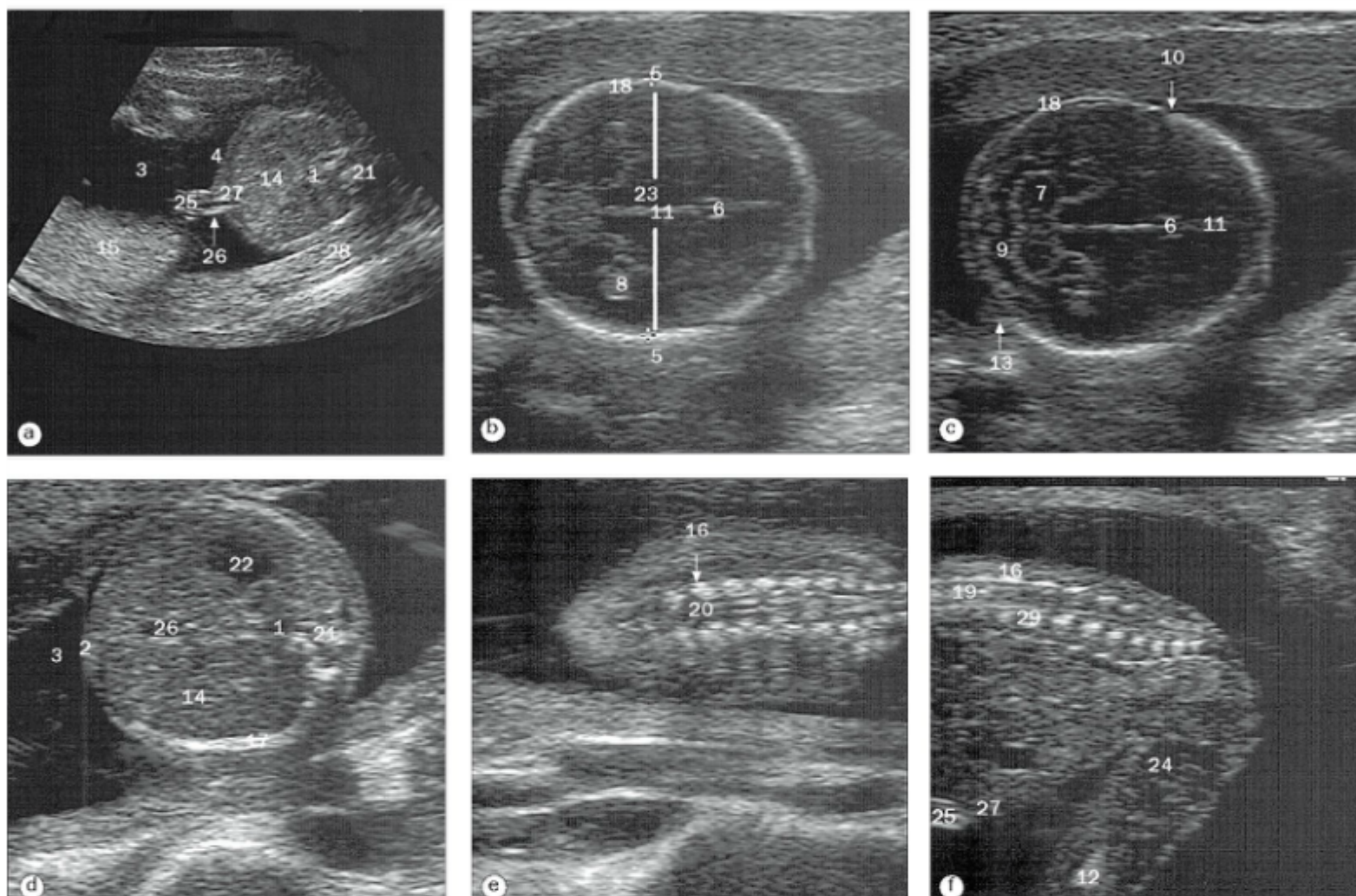
(a)-(f) Diagramas lineares das imagens ultrassonográficas opostas.

1 Colo do útero
2 Feto

3 Saco gestacional
4 Bexiga materna

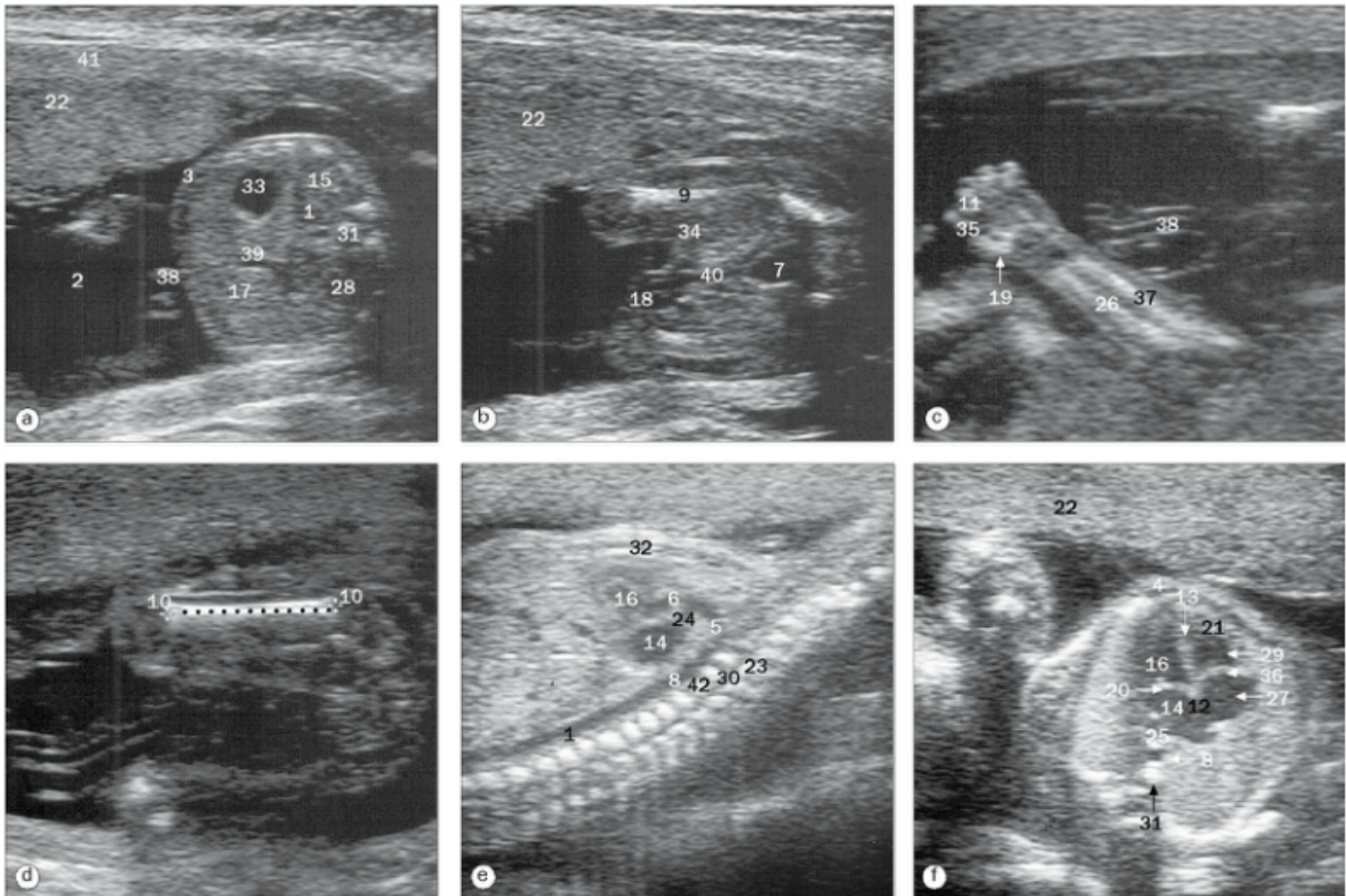
5 Posição do coração fetal
6 Cavidade do útero

7 Útero



Ultrassonografia fetal, segundo trimestre, (a) inserção do cordão, (b) e (c) crânio, (d) abdome, (e) e (f) coluna vertebral.

- | | |
|--------------------------------------|--|
| 1 Parte abdominal da aorta | 16 Elementos posteriores das vértebras |
| 2 Medida da circunferência abdominal | 17 Costelas |
| 3 Líquido amniótico | 18 Crânio |
| 4 Parte anterior da parede abdominal | 19 Canal vertebral |
| 5 Medida do diâmetro biparietal | 20 Medula espinal |
| 6 Cavidade do septo pelúcido | 21 Coluna vertebral |
| 7 Cerebelo | 22 Estômago |
| 8 Plexo corioide | 23 Tálamo |
| 9 Cisterna magna | 24 Coxa |
| 10 Sutura coronal | 25 Cordão umbilical |
| 11 Foixe do cérebro | 26 Veia umbilical |
| 12 Fêmur | 27 Umbigo |
| 13 Sutura lambdóidea | 28 Parede do útero |
| 14 Fígado | 29 Corpo vertebral |
| 15 Placenta | |



Ultrassonografia fetal, segundo trimestre, (a) abdome, (b) pelve, (c) antebraço, (d) fêmur, (e) coração e aorta, (f) visão das quatro câmaras do coração.

- | | |
|---|--------------------------------------|
| 1 Parte abdominal da aorta | 22 Placenta |
| 2 Líquido amniótico | 23 Elementos posteriores da vértebra |
| 3 Parte anterior da parede abdominal | 24 Artéria pulmonar |
| 4 Parte anterior da parede torácica | 25 Veia pulmonar |
| 5 Arco da aorta | 26 Rádio |
| 6 Parte ascendente da aorta | 27 Átrio direito |
| 7 Bexiga urinária | 28 Rim direito |
| 8 Parte descendente da aorta | 29 Ventrículo direito |
| 9 Fêmur | 30 Canal vertebral |
| 10 Fêmur para a medida do comprimento femoral | 31 Coluna vertebral |
| 11 Dedo | 32 Esterno |
| 12 Septo interatrial | 33 Estômago |
| 13 Septo interventricular | 34 Coxa |
| 14 Átrio esquerdo | 35 Polegar |
| 15 Rim esquerdo | 36 Valva tricúspide |
| 16 Ventrículo esquerdo | 37 Ulna |
| 17 Fígado | 38 Cordão umbilical |
| 18 Genitais externos masculinos | 39 Veia umbilical |
| 19 Diáfise do metacarpal | 40 Uretra |
| 20 Valva mitral | 41 Parede do útero |
| 21 Trabécula septomarginal | 42 Corpo vertebral |



(a) Fase de impregnação inicial, pelve.

(b) Fase de impregnação tardia, pelve.

- 1 Cadeias lombares ascendentes
- 2 Vasos linfáticos aferentes inguinais
- 3 Linfonodos ilíacos comuns
- 4 Vasos linfáticos eferentes inguinais
- 5 Linfonodos ilíacos externos
- 6 Linfonodos inguinais superficiais
- 7 Entrecruzamento lombar
- 8 Linfonodos inguinais profundos



(b)

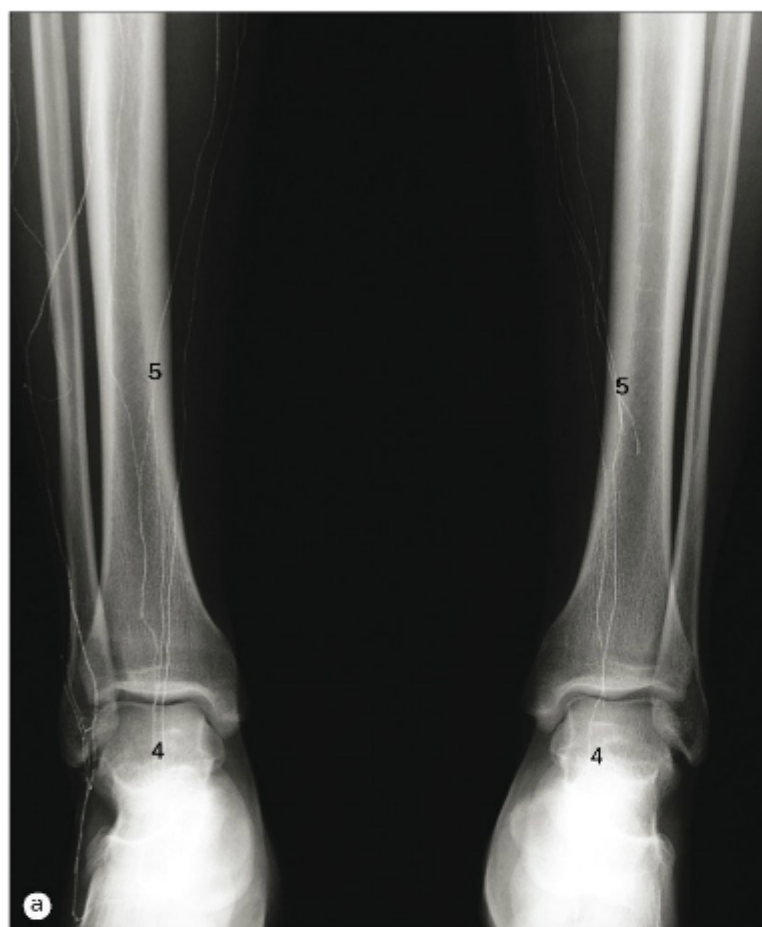


(a) Fase de impregnação inicial, abdome.



(b) Fase de impregnação tardia, abdome.

- | | |
|----------------------------------|---------------------------------------|
| 1 Cadeias lombares ascendentes | 6 Linfonodos inguinais (superficiais) |
| 2 Linfáticos inguinais aferentes | 7 Entrecruzamento lombar |
| 3 Linfonodos ilíacos comuns | 8 Linfonodos inguinais profundos |
| 4 Linfáticos inguinais eferentes | 9 Ducto torácico |
| 5 Linfonodos ilíacos externos | |



(a) Linfáticos da região crural após a canulação de vasos linfáticos nos pés.

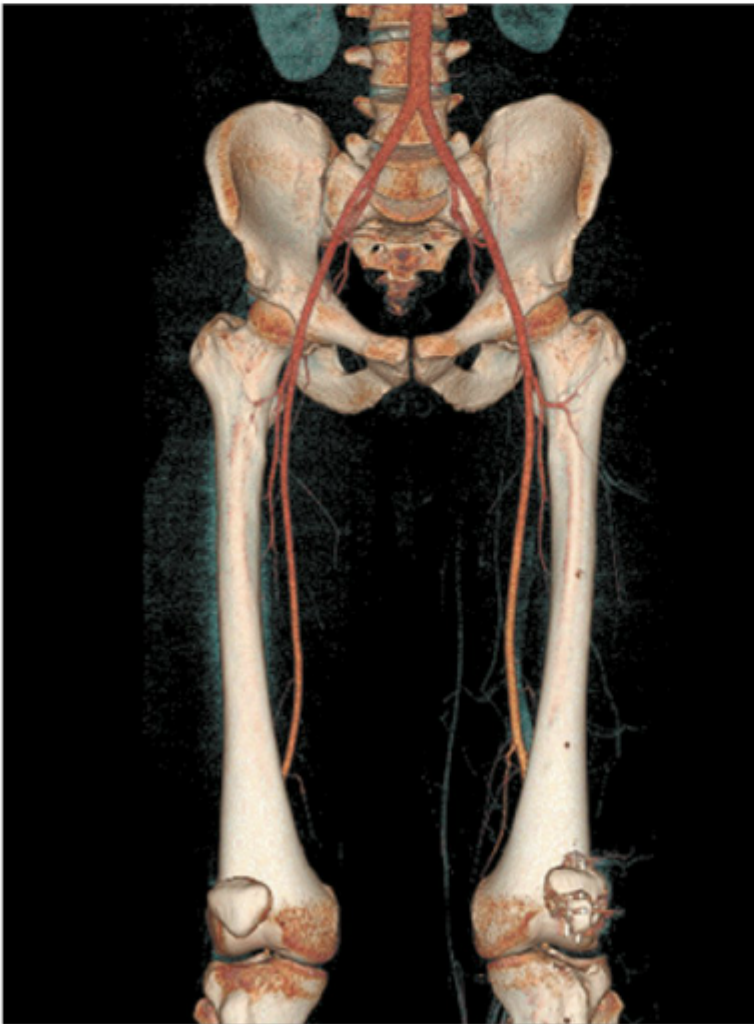
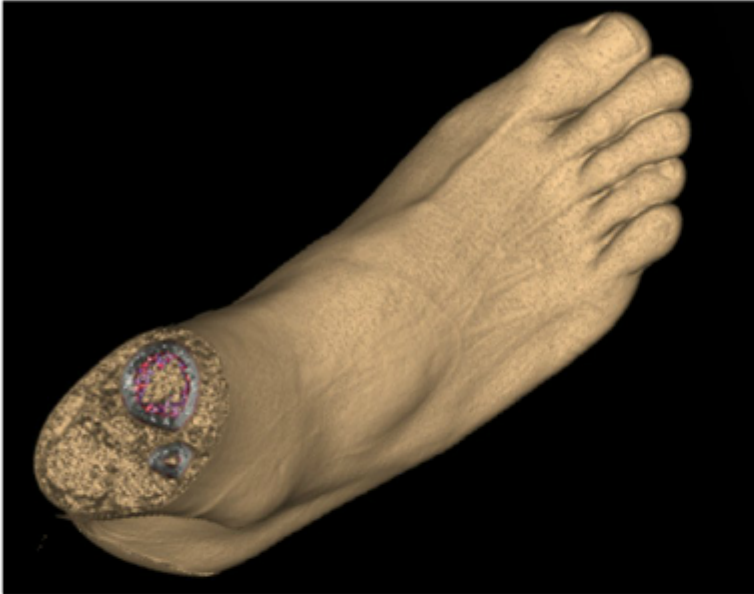
(b) Fase de impregnação inicial em uma radiografia lateral do abdome.

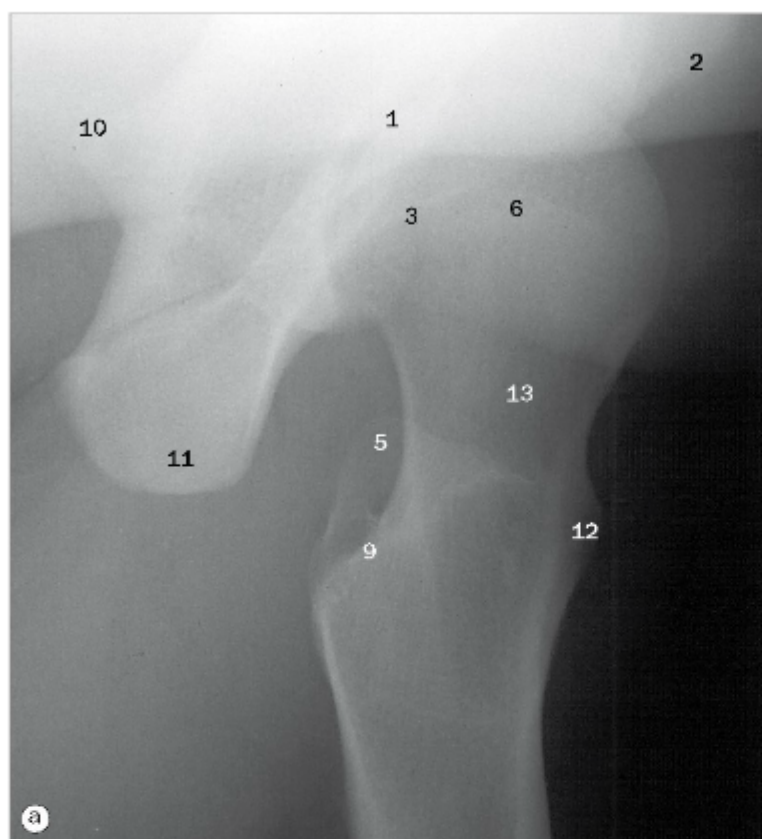
(c) Ducto torácico.

- 1 Cadeias lombares ascendentes de linfonodos
- 2 Cisterna do quilo
- 3 Ducto torácico
- 4 Canais linfáticos periféricos do pé
- 5 Canais linfáticos periféricos da parte inferior da perna
- 6 Ampola terminal

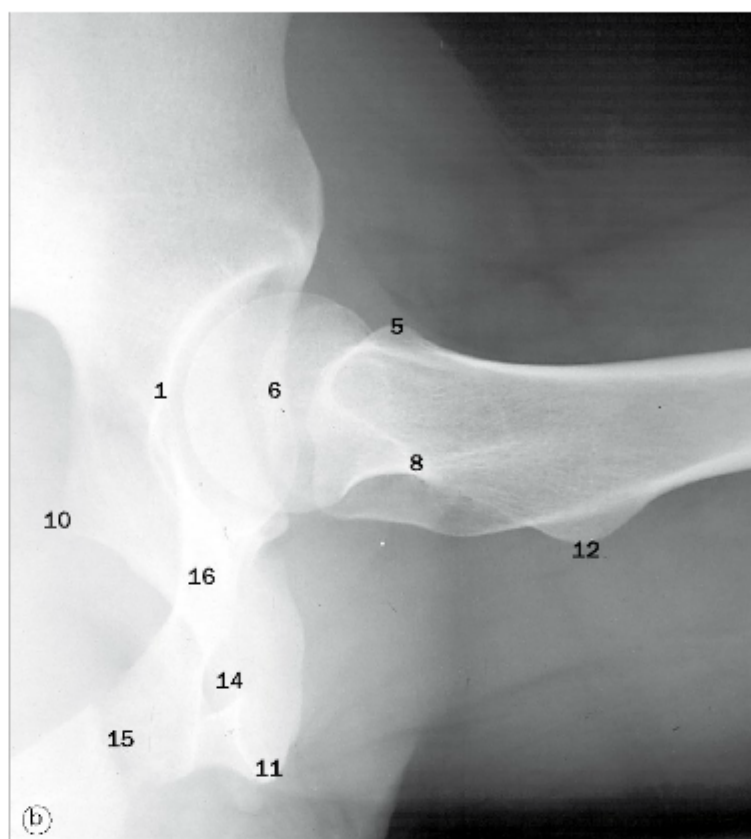
7

Membro inferior





(a) Quadril (para o colo do fêmur), projeção lateral.

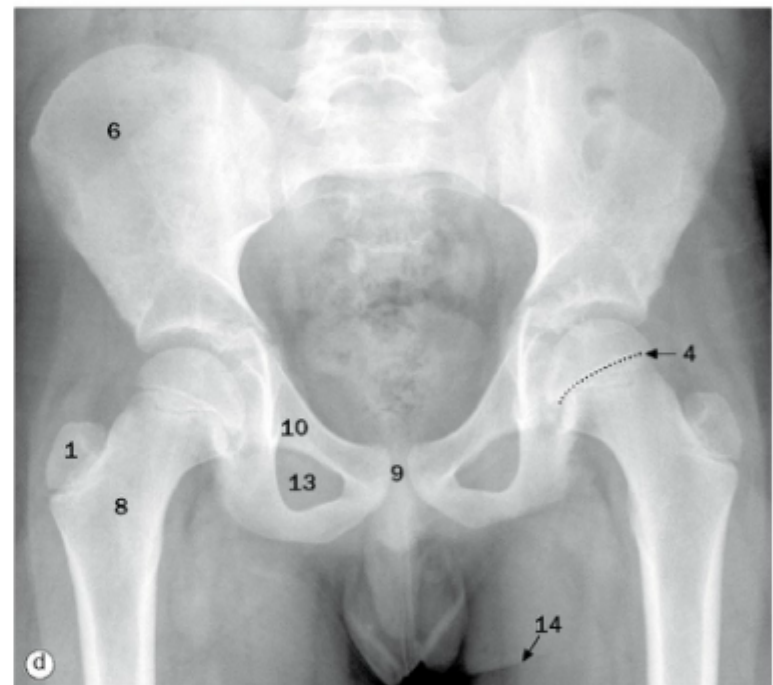
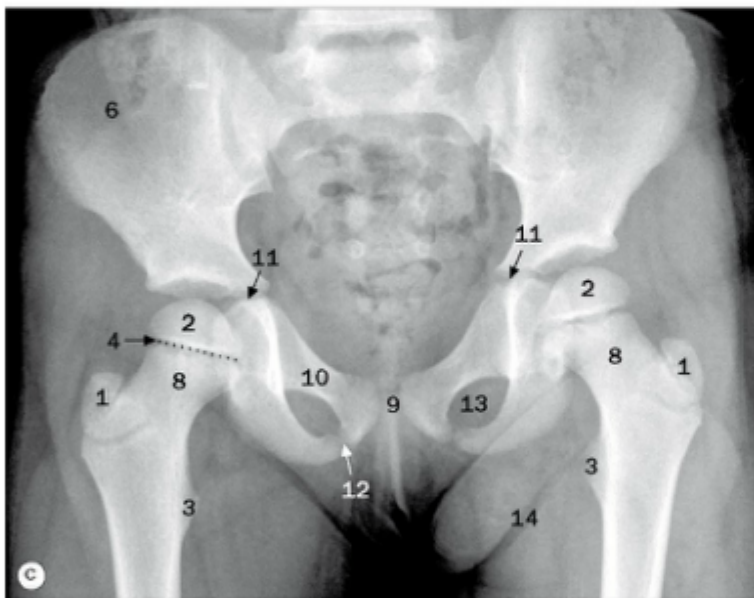
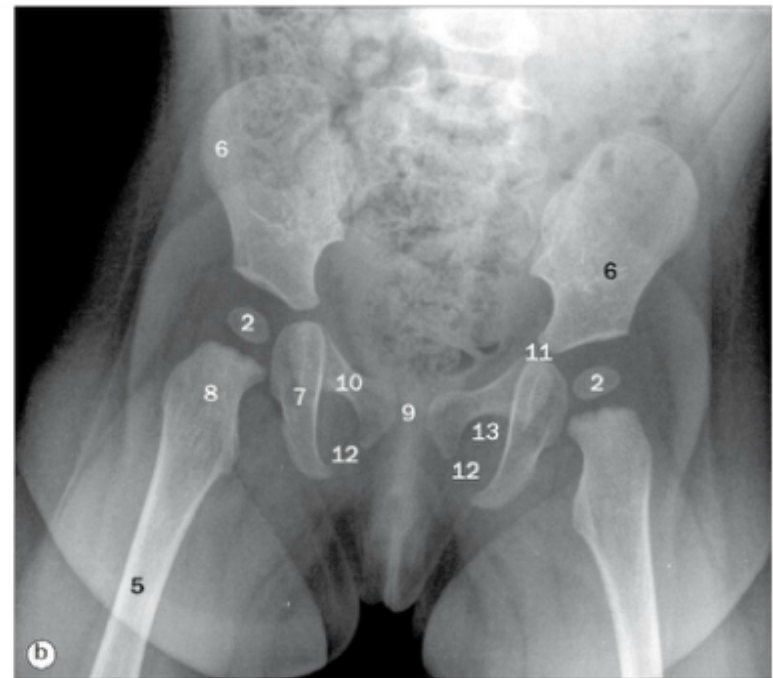
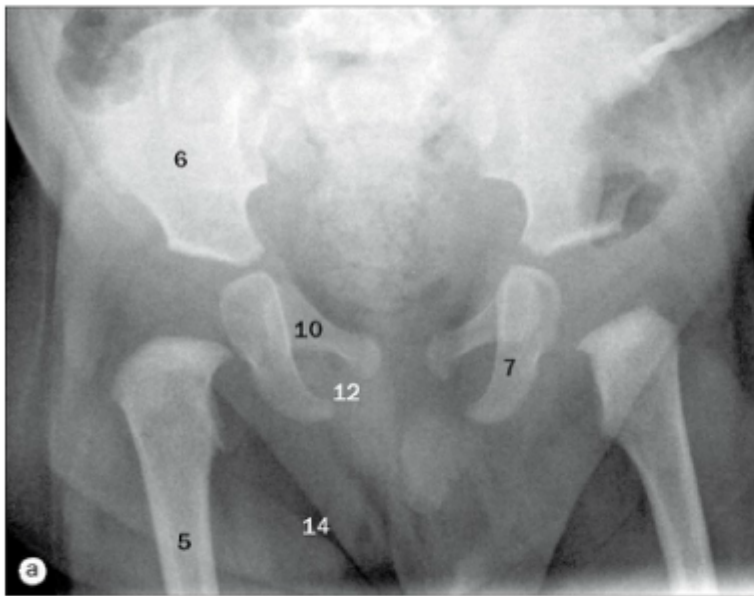


(b) Quadril, projeção lateral.



(c) Quadril, projeção anteroposterior.

- 1 Acetábulo
- 2 Espinha íliaca anteroinferior
- 3 Linha epifisial
- 4 Fôvea da cabeça do fêmur
- 5 Trocanter maior do fêmur
- 6 Cabeça do fêmur
- 7 Ramo inferior do púbis
- 8 Crista intertrocantérica
- 9 Linha intertrocantérica
- 10 Espinha isquiática
- 11 Túber isquiático
- 12 Trocanter menor do fêmur
- 13 Colo do fêmur
- 14 Forame obturado
- 15 Sínfise púbica
- 16 Ramo superior do púbis

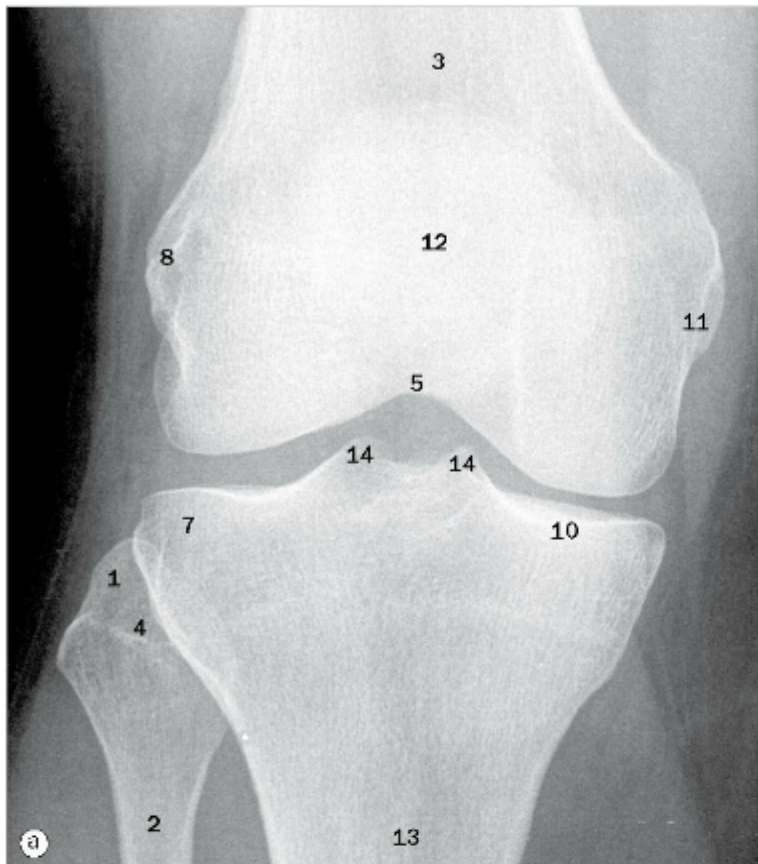


Pelve de uma menina de 4 meses de vida (a), de uma menina de 9 meses de vida (b), de uma menina de 6 anos de idade (c) e de uma menina de 11 anos de idade (d).

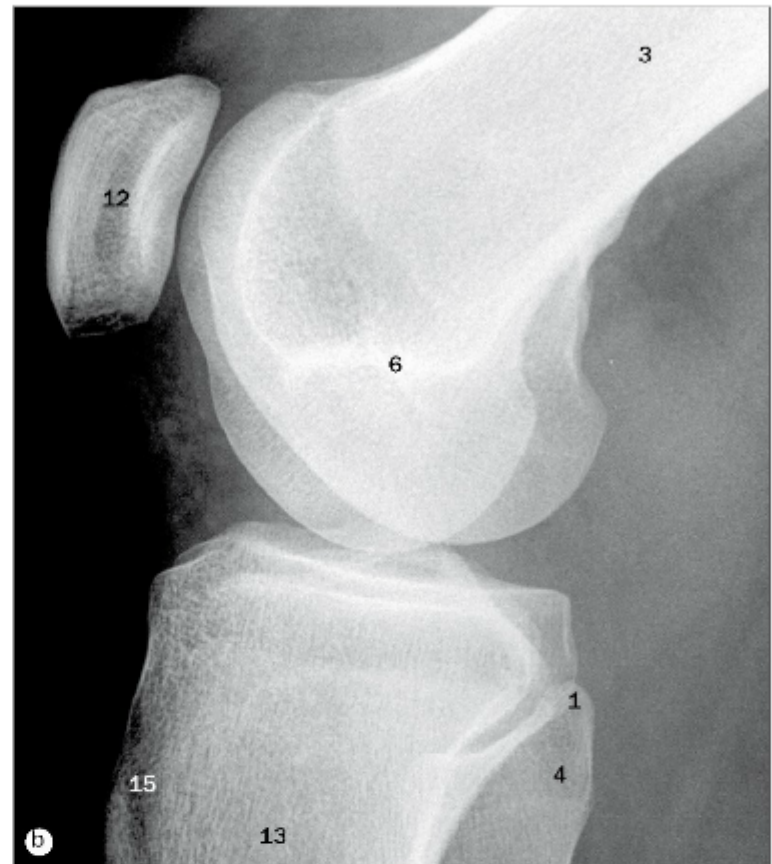
- 1 Centro de ossificação do trocanter maior
- 2 Centro de ossificação da cabeça do fêmur
- 3 Centro de ossificação do trocanter menor
- 4 Linha epifisial
- 5 Fêmur
- 6 Osso do quadril (ílio)
- 7 Osso do quadril (ísqiuo)
- 8 Colo do fêmur
- 9 Sínfise púbica
- 10 Osso do quadril (púbis)
- 11 Cartilagem trirradiada
- 12 Junção não ossificada entre o ísqiuo e o púbis
- 13 Forame obturado
- 14 Pregas de tecido adiposo

OSSO DO QUADRIL	Aparece	Funde-se
Ílio	2-3 mvl	7-9 anos
Ísqiuo	4 mvl	7-9 anos
Púbis	4 mvl	7-9 anos
Acetábulo	11-14 anos	15-25 anos
Espinha ilíaca ant. sup.	Puberdade	15-25 anos
Crista ilíaca/espinhas ilíacas	Puberdade	15-25 anos
Túber isquiático	Puberdade +	15-25 anos

Fêmur (c)	Aparece	Funde-se
Diáfise	7 svl	
Cabeça	4-6 meses	14-18 anos
Trocanter maior	2-4 anos	14-18 anos
Trocanter menor	10-12 anos	14-18 anos
Epífise distal	9 mvl	17-19 anos

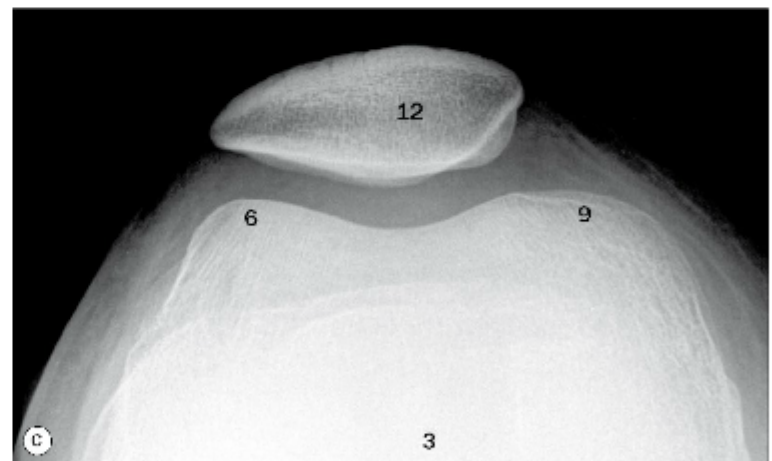


(a) Projeção anteroposterior.



(b) Projeção lateral.

- 1 Ápice da cabeça da fíbula
- 2 Colo da fíbula
- 3 Fêmur
- 4 Cabeça da fíbula
- 5 Fossa intercondilar
- 6 Côndilo lateral do fêmur
- 7 Côndilo lateral da tíbia
- 8 Epicôndilo lateral do fêmur
- 9 Côndilo medial do fêmur
- 10 Côndilo medial da tíbia
- 11 Epicôndilo medial do fêmur
- 12 Patela
- 13 Tíbia
- 14 Tubérculos da eminência intercondilar
- 15 Tuberosidade da tíbia



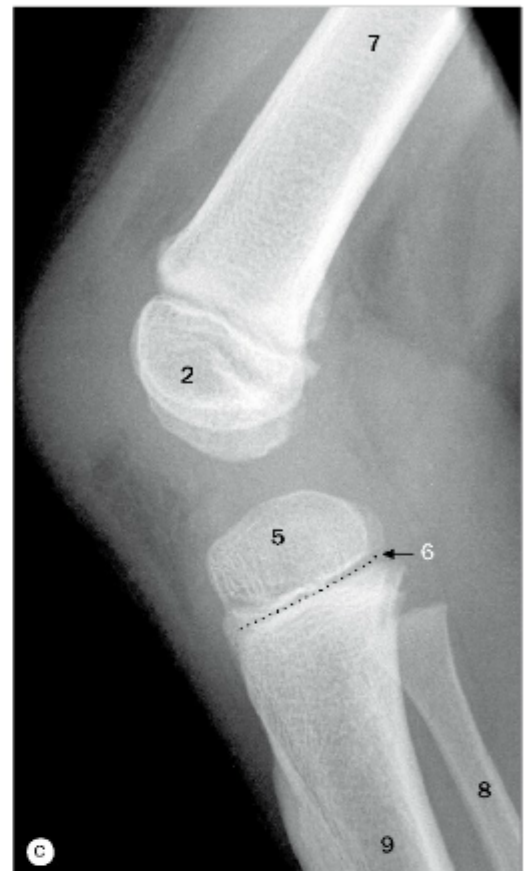
(c) Projeção inferossuperior (axial).



(a) Menina de 2 anos de idade.



(b) e (c) Menina de 5 anos de idade.



- 1 Extensão anteroinferior do centro de ossificação proximal da tibia para a tuberosidade da tibia
- 2 Centro de ossificação da epífise distal do fêmur
- 3 Centro de ossificação da cabeça da fíbula
- 4 Patela
- 5 Centro de ossificação da epífise proximal da tibia
- 6 Linha epifisial
- 7 Fêmur
- 8 Fíbula
- 9 Tibia

PATELA (c)	Aparece	Funde-se
1-3 centros	3-5 anos	Puberdade
TÍBIA (c)		
Diáfise	7 svl	
Epífise proximal/ platô	9 mvl	16-18 anos
Tuberosidade	10-12 anos	12-14 anos
Epífise distal	4 meses-1 ano	15-17 anos
FÍBULA (c)		
Diáfise	8 svl	
Epífise proximal/ cabeça	2-4 anos	17-19 anos
Epífise distal	6 meses-1 ano	15-17 anos



(d) e (e) Menina de 12 anos de idade.





(a) Articulação do tornozelo, projeção anteroposterior.



(b) Articulação do tornozelo, projeção lateral.

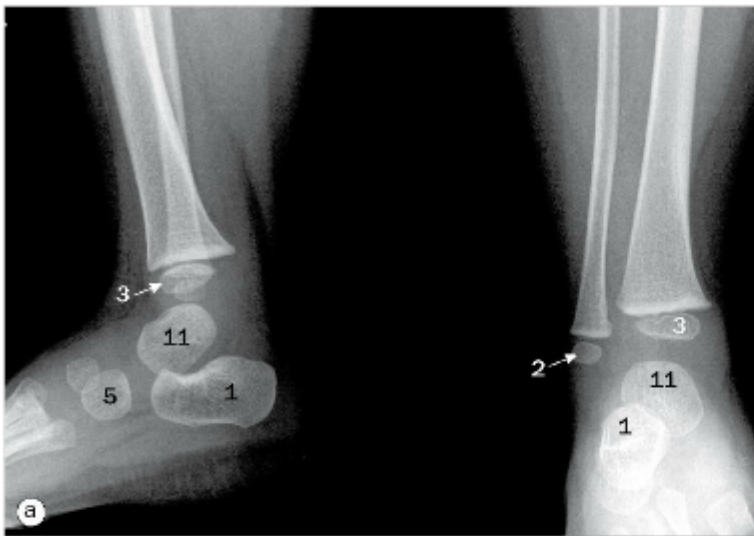


(c) Calcâneo, projeção lateral.



(d) Calcâneo, projeção axial (craniocaudal).

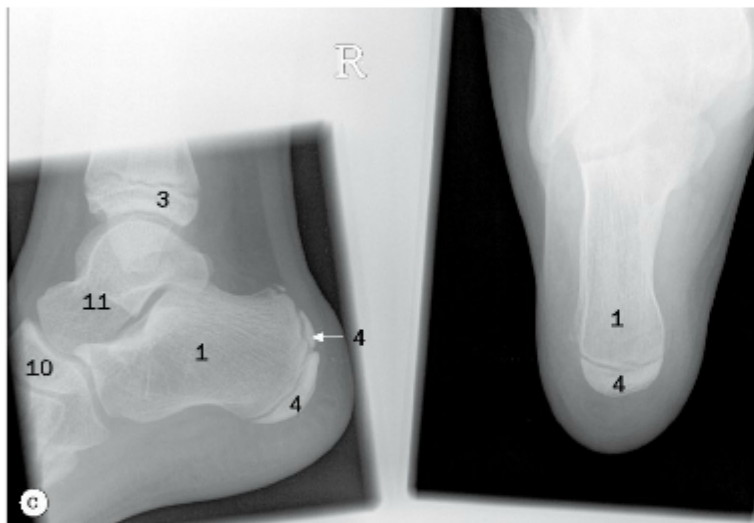
- 1 Calcâneo
- 2 Cuboide
- 3 Fíbula
- 4 Cabeça do tálus
- 5 Cuneiforme lateral
- 6 Maléolo lateral
- 7 Processo lateral da tuberosidade do calcâneo
- 8 Tubérculo lateral do tálus
- 9 Colo do tálus
- 10 Maléolo medial
- 11 Processo medial da tuberosidade do calcâneo
- 12 Tubérculo medial do tálus
- 13 Navicular
- 14 Região da articulação tibiofibular distal
- 15 Sustentáculo do tálus
- 16 Tálus
- 17 Tibia
- 18 Tuberosidade da base do quinto metatarsal



(a) Tornozelo de uma menina de 3 anos de idade.



(b) Tornozelo de uma menina de 5 anos de idade.



(c) Tornozelo de uma menina de 13 anos de idade.



(d) Calcâneo de uma menina de 10 anos de idade.

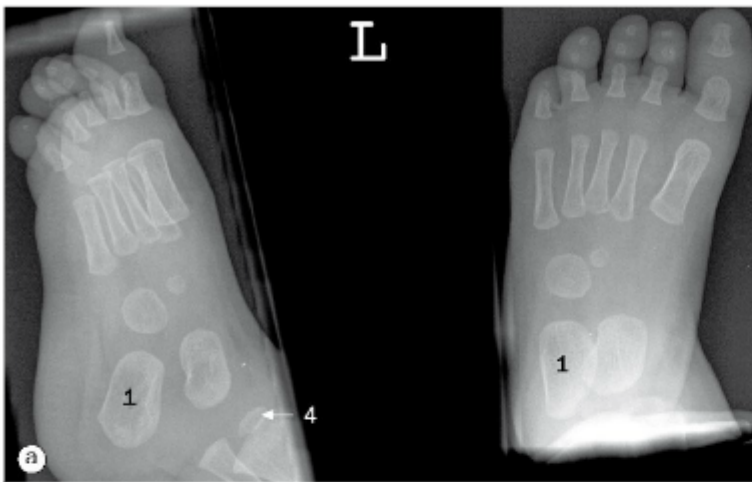
- 1 Calcâneo
- 2 Centro de ossificação da epífise distal da fibula
- 3 Centro de ossificação da epífise distal da tibia
- 4 Centro de ossificação da face posterior do calcâneo
- 5 Cuboide
- 6 Linha epifisial
- 7 Fíbula
- 8 Cuneiforme intermédio
- 9 Cuneiforme lateral
- 10 Navicular
- 11 Tálus
- 12 Tibia

OSSOS DO TARSO (c)	Aparece	Funde-se
Calcâneo	3 mvl	14-16 anos
Tálus	6 mvl	
Navicular	3 anos	
Cuneiforme lateral	6 meses-1 ano	
Cuneiforme intermédio	2-3 anos	
Cuneiforme medial	1-2 anos	
Cuboide	9 mvl	



Pé, (a) projeção dorsoplantar, (b) projeção dorsoplantar oblíqua, (c) e (d) osso navicular.

- 1 Calcâneo
- 2 Cuboide
- 3 Falange distal do segundo dedo
- 4 Primeiro metatarsal
- 5 Cuneiforme intermédio
- 6 Cuneiforme lateral
- 7 Cuneiforme medial
- 8 Falange média do segundo dedo
- 9 Navicular
- 10 Falange proximal do segundo dedo
- 11 Ossos sesamoides do músculo flexor curto do hálux
- 12 Tálus
- 13 Tuberosidade da base do quinto metatarsal
- 14 Osso navicular



(a) Pé de uma menina de 11 meses de idade.



(b) Pé de uma menina de 3 anos de idade.



(c) Pé de uma menina de 6 anos de idade.



(d) Pé de uma menina de 12 anos de idade.

- 1 Calcâneo
- 2 Centro de ossificação da epífise distal da fíbula
- 3 Centro de ossificação para a falange média do segundo dedo
- 4 Centro de ossificação da epífise distal da tíbia
- 5 Centro de ossificação do primeiro metatarsal
- 6 Centro de ossificação da falange média do segundo dedo
- 7 Centro de ossificação da face posterior do calcâneo
- 8 Centro de ossificação da falange proximal do segundo dedo
- 9 Centro de ossificação para os metatarsais do segundo ao quinto
- 10 Centro de ossificação da tuberosidade da base do quinto metatarsal
- 11 Cuboide
- 12 Cuneiforme intermédio
- 13 Cuneiforme lateral
- 14 Cuneiforme medial
- 15 Navicular
- 16 Tálus

METATARSAIS (c)	Aparece	Funde-se
Corpos	9 siu	
Cabeças (2-5) ou base (1)	3-4 anos	17-20 anos
Tuberosidade do 5°	10-12 anos	13-15 anos
FALANGES (c)		
Corpo	9-12 siu	
Bases (variável)	1-6 anos	14-18 anos

OSSOS DO TARSO (c)	Aparece	Funde-se
Calcâneo	3 mvi	14-16 anos
Tálus	6 mvi	
Navicular	3 anos	
Cuneiforme lateral	6 meses-1 ano	
Cuneiforme intermédio	2-3 anos	
Cuneiforme medial	1-2 anos	
Cuboide	9 mvi	

**(a) Arteriografia femoral.**

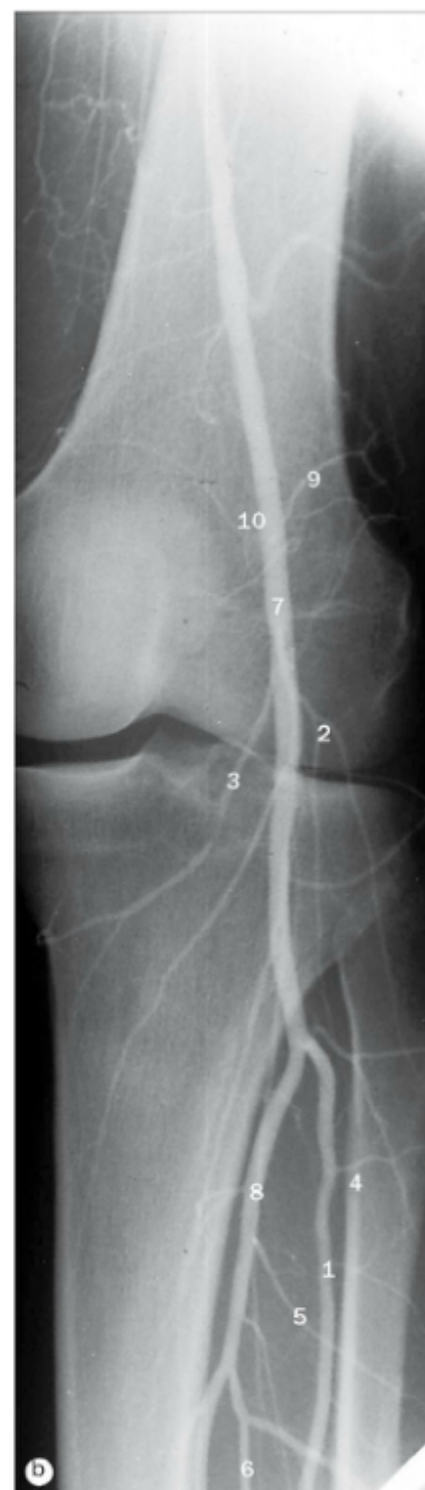
As artérias femoral, poplítea e tibial são examinadas através da cateterização da região distal da parte abdominal da aorta e injeção de meio de contraste. O meio de contraste é acompanhado durante sua passagem pelos membros inferiores. Caso apenas uma perna seja examinada, uma injeção na artéria femoral ipsilateral é suficiente. A artéria ilíaca externa continua como a artéria femoral, que se origina profundamente ao ligamento inguinal, emitindo em seguida a artéria femoral profunda. Uma incidência oblíqua geralmente é útil para a avaliação da bifurcação femoral e identificação de ateromas nas origens destes vasos.

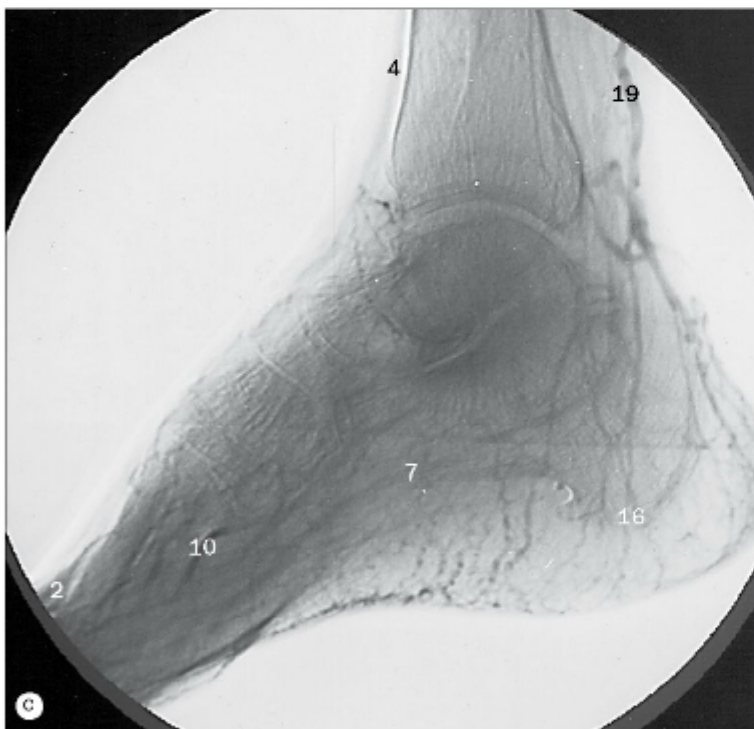
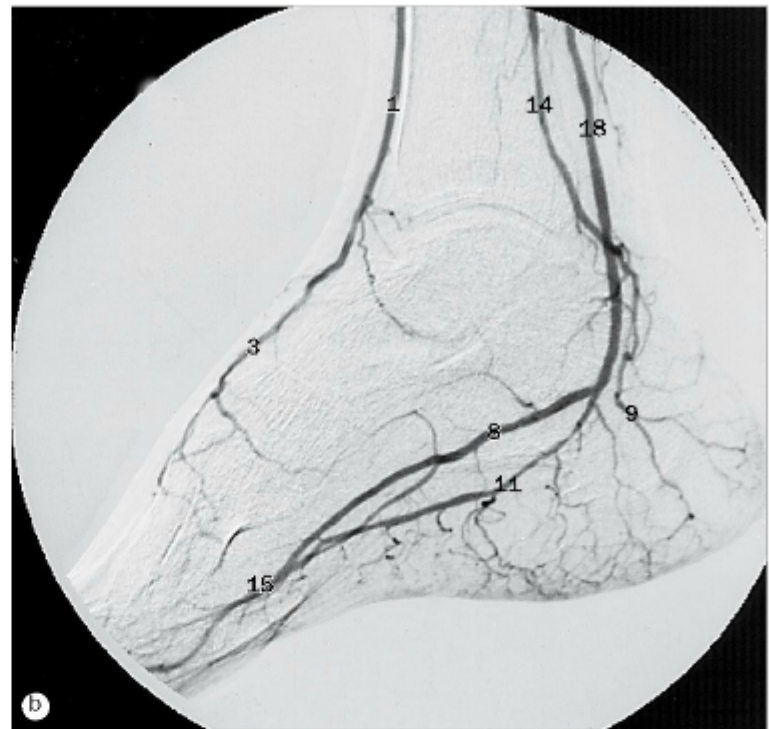
- 1 Cateter introduzido na região distal da parte abdominal da aorta via artéria femoral esquerda
- 2 Artéria femoral
- 3 Artéria circunflexa femoral lateral
- 4 Artéria circunflexa femoral medial
- 5 Artéria perforante
- 6 Artéria femoral profunda
- 7 Artéria femoral

(b) Arteriografia poplítea.

A artéria femoral torna-se artéria poplítea em sua passagem através do canal dos adutores. A artéria poplítea termina na borda inferior do músculo poplíteo, dividindo-se em artérias tibiais anterior e posterior.

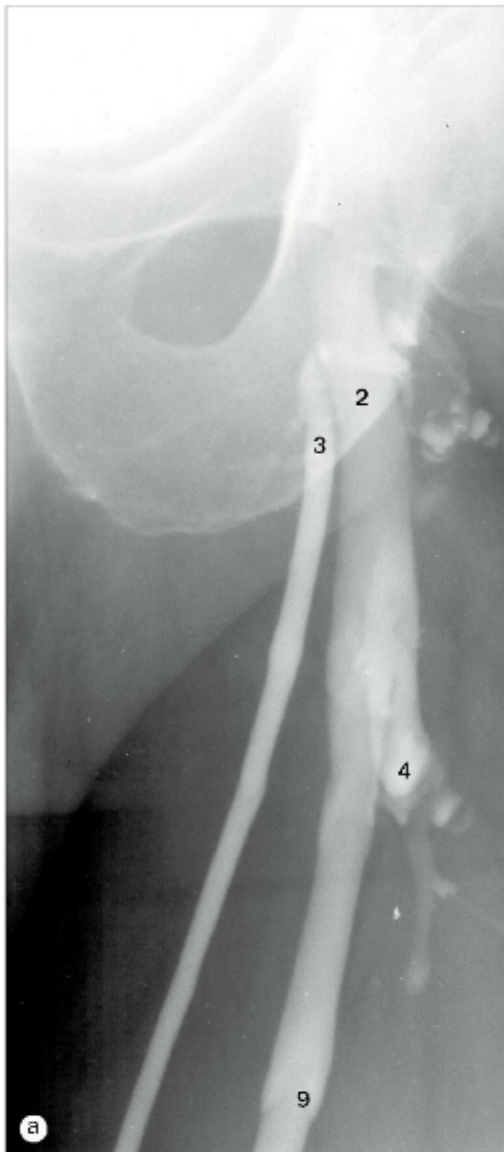
- 1 Artéria tibial anterior
- 2 Artéria inferior lateral do joelho
- 3 Artéria inferior medial do joelho
- 4 Ramos musculares da artéria tibial anterior
- 5 Ramos musculares da artéria tibial posterior
- 6 Artéria fibular
- 7 Artéria poplítea
- 8 Artéria tibial posterior
- 9 Artéria superior lateral do joelho
- 10 Artéria superior medial do joelho





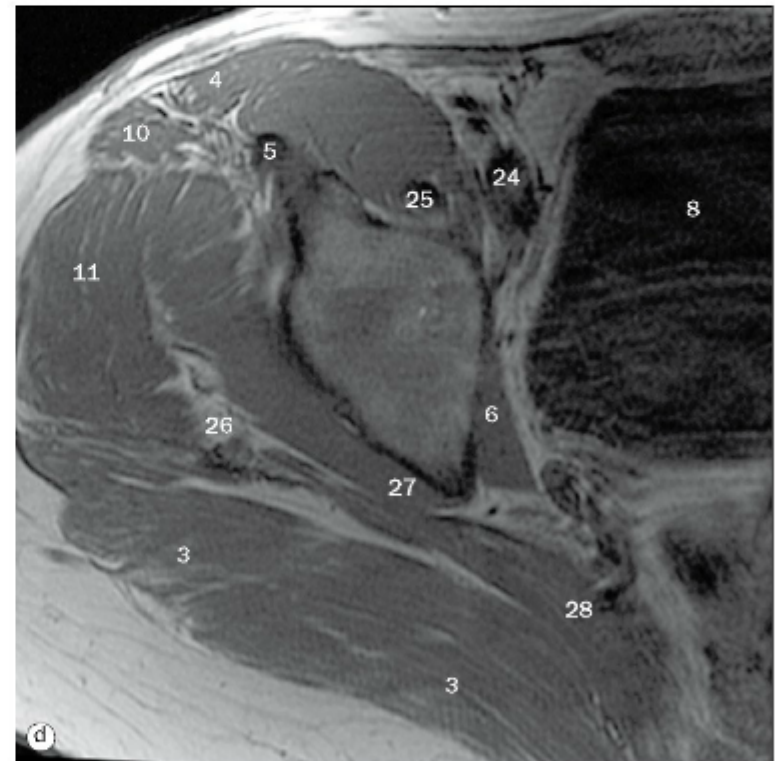
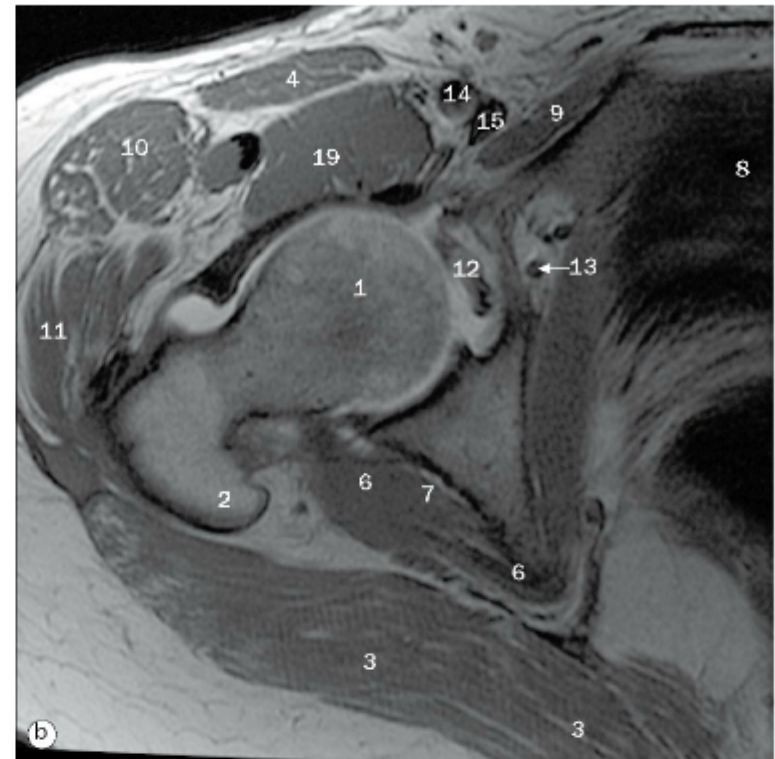
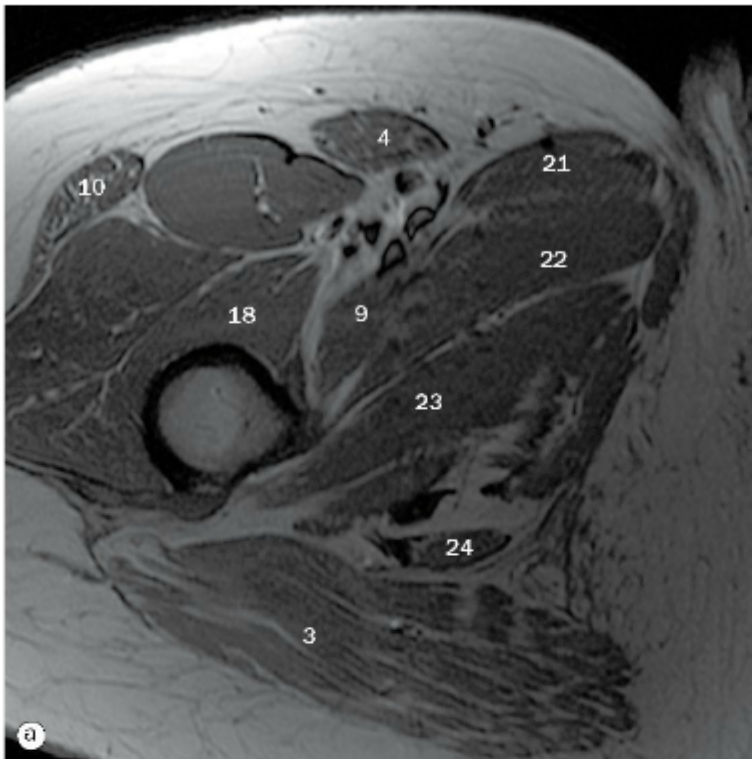
(a) Arteriografia poplíteica, (b) arteriografia do pé, imagem lateral, (c) venografia do pé, (d) Angiorressonância das artérias da região crural.

- | | | |
|--------------------------------------|---|--------------------------------------|
| 1 Artéria tibial anterior | 9 Artéria medial do calcâneo | 15 Arco plantar profundo |
| 2 Arco venoso dorsal do pé | 10 Veia marginal medial | 16 Plexo venoso cutâneo plantar |
| 3 Artéria dorsal do pé | 11 Artéria plantar medial | 17 Artéria poplíteica |
| 4 Veia safena magna | 12 Ramos musculares da artéria tibial anterior | 18 Artéria tibial posterior |
| 5 Artéria inferior lateral do joelho | 13 Ramos musculares da artéria tibial posterior | 19 Veia safena parva |
| 6 Artéria inferior medial do joelho | 14 Artéria fibular | 20 Artéria superior medial do joelho |
| 7 Veia marginal lateral | | |
| 8 Artéria plantar lateral | | |



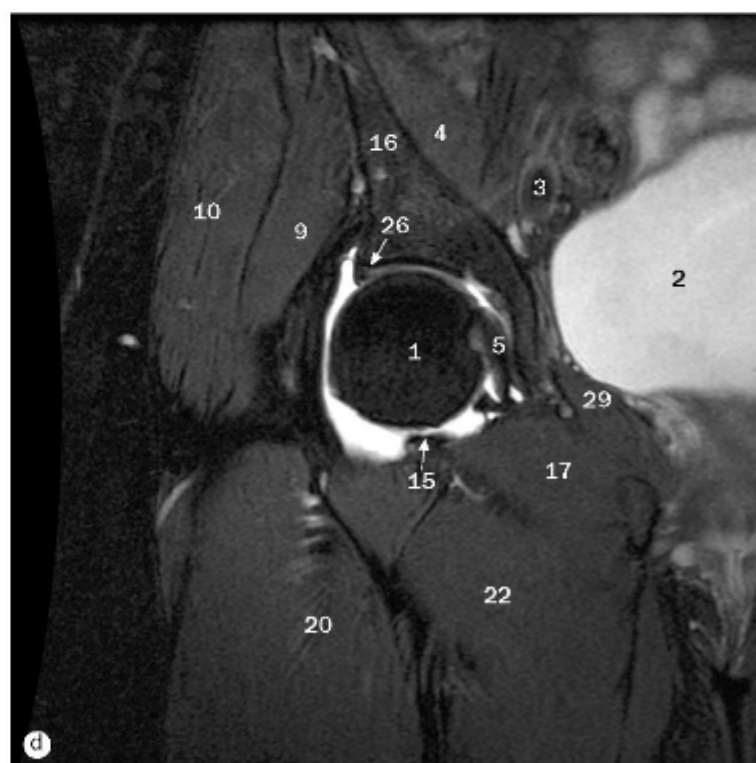
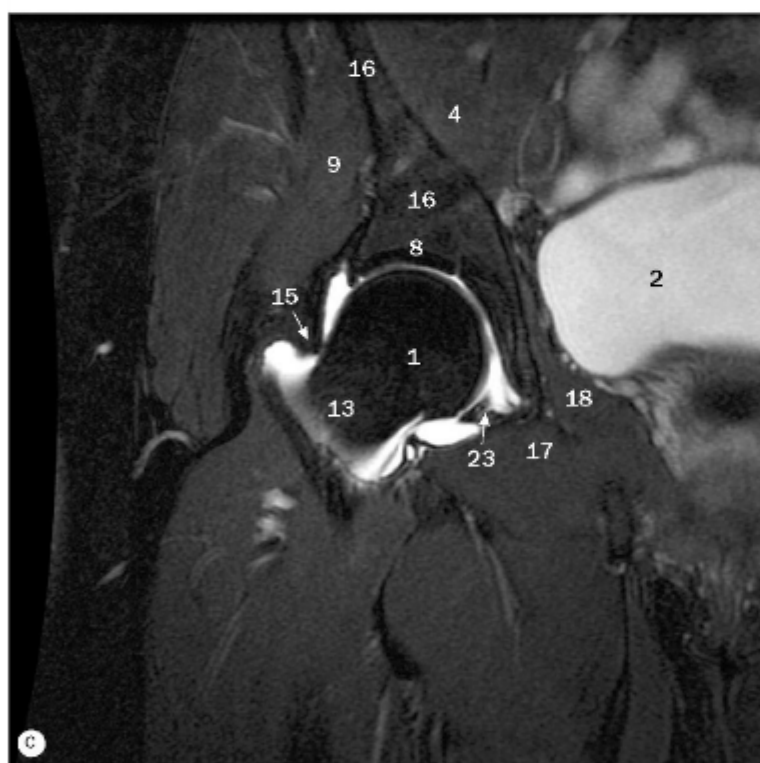
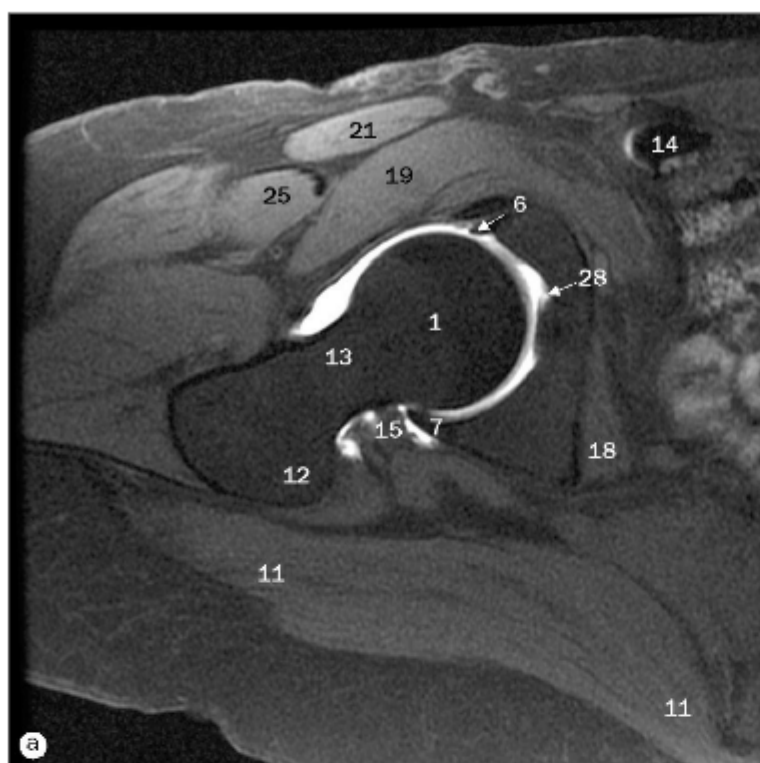
(a)-(c) Venografias do membro inferior.

- 1 Veia tibial anterior
- 2 Veia femoral
- 3 Veia safena magna
- 4 Veia circunflexa lateral femoral
- 5 Tributária muscular da veia femoral
- 6 Veia perforante
- 7 Veia poplítea
- 8 Veias tibiais posteriores
- 9 Válvulas venosas
- 10 Plexo venoso da região crural



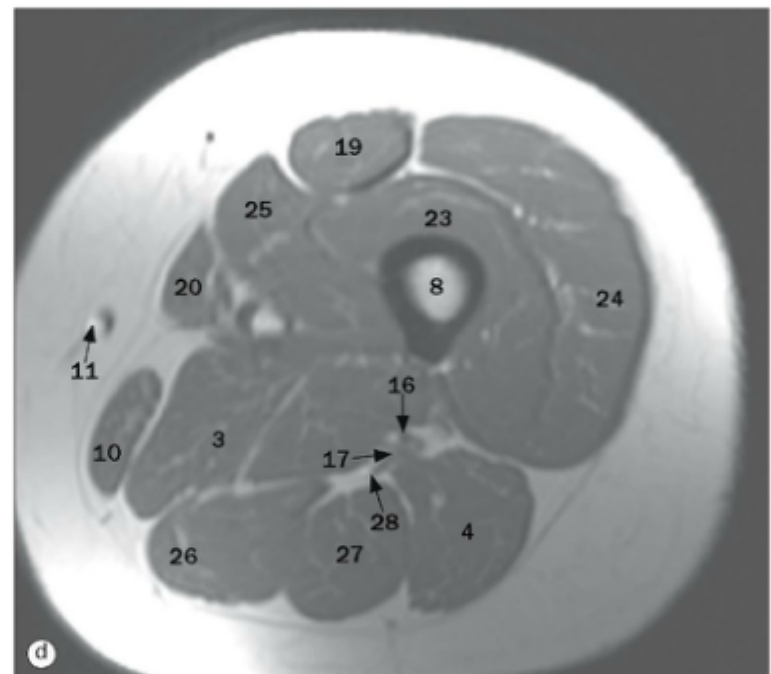
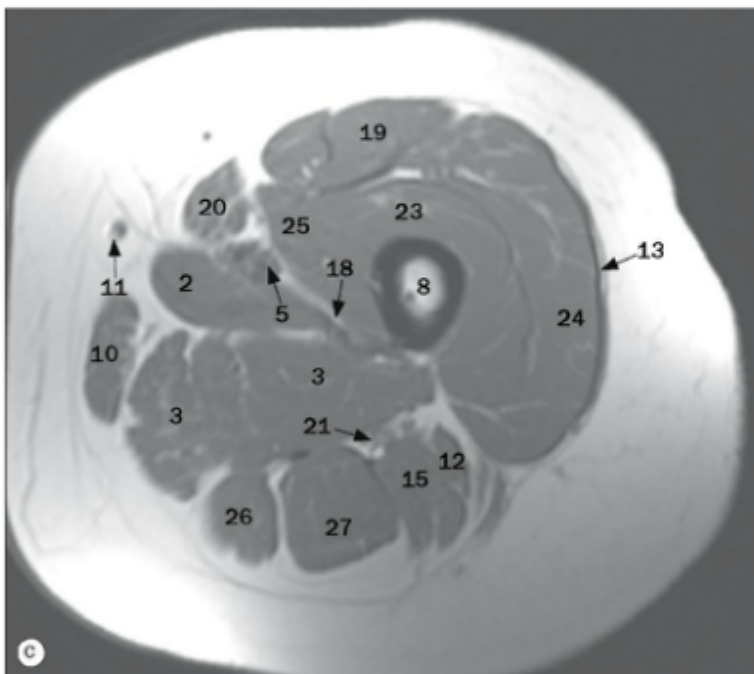
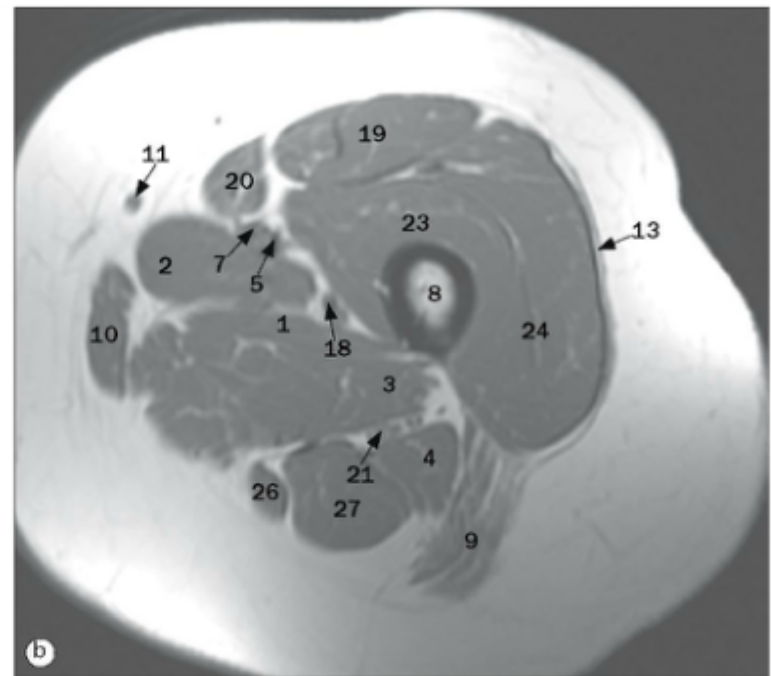
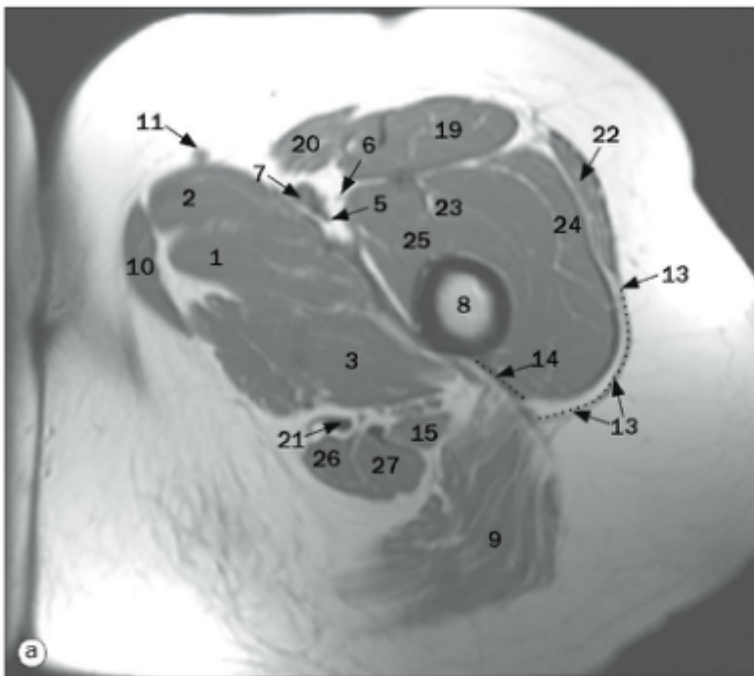
(a)-(d) Quadril, imagens axiais de ressonância magnética, da região superior para a inferior.

- | | | | |
|----------------------------------|----------------------------------|--|-----------------------------|
| 1 Cabeça do fêmur | 9 Músculo pectíneo | 16 Tendão do músculo obturador interno | 22 Músculo adutor curto |
| 2 Trocanter maior | 10 Músculo tensor da fáscia lata | 17 Lábio articular (região posterior) | 23 Músculo adutor magno |
| 3 Músculo glúteo máximo | 11 Músculo vasto lateral | 18 Músculo vasto intermédio | 24 Músculo semitendíneo |
| 4 Músculo sartório | 12 Ligamento da cabeça do fêmur | 19 Músculo iliopsoas | 25 Arteria femoral profunda |
| 5 Tendão do músculo reto femoral | 13 Nervo obturatório | 20 Lábio articular (região anterior) | 26 Arteria ilíaca externa |
| 6 Músculo obturador interno | 14 Arteria femoral | 21 Músculo adutor longo | 27 Músculo glúteo mínimo |
| 7 Músculo gêmeo superior | 15 Veia femoral | | 28 Músculo glúteo médio |
| 8 Bexiga urinária | | | |



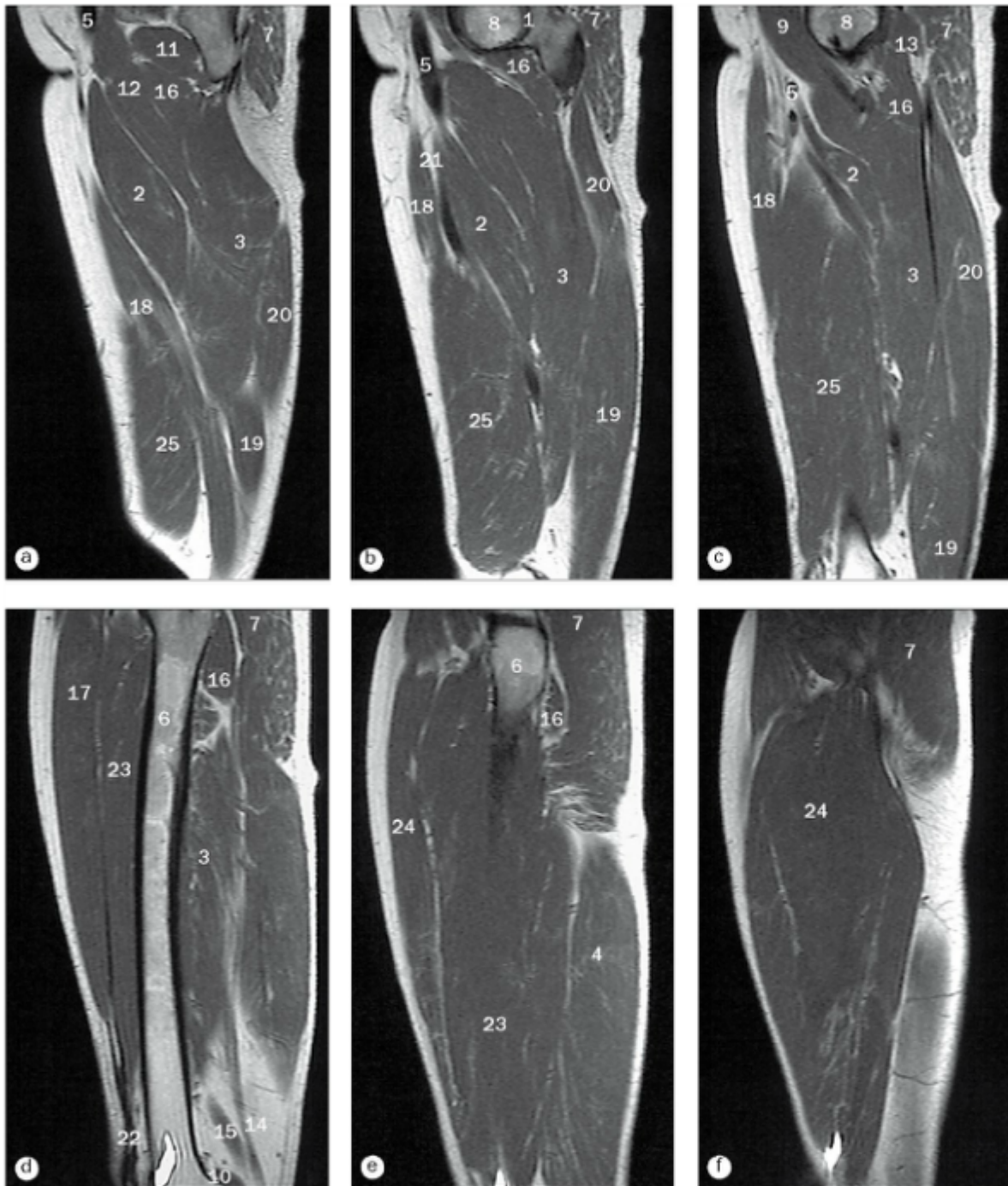
Quadril, imagens de artroressonância magnética, (a) axial, (b) sagital, (c) e (d) coronal.

- | | | |
|--------------------------------------|--|--------------------------------------|
| 1 Cabeça do fêmur | 11 Músculo glúteo máximo | 21 Músculo sartório |
| 2 Bexiga urinária | 12 Trocater maior | 22 Músculo adutor longo |
| 3 Artéria ilíaca externa | 13 Colo do fêmur | 23 Ligamento transverso do acetábulo |
| 4 Músculo ilíaco | 14 Artéria femoral | 24 Músculo quadrado femoral |
| 5 Ligamento da cabeça do fêmur | 15 Zona orbicular (cápsula fibrosa circular) | 25 Músculo reto femoral |
| 6 Lábio articular (região anterior) | 16 Osso do quadril | 26 Lábio articular (região superior) |
| 7 Lábio articular (região posterior) | 17 Músculo obturador externo | 27 Músculo gêmeo |
| 8 Teto do acetábulo | 18 Músculo obturador interno | 28 Incisura do acetábulo |
| 9 Músculo glúteo mínimo | 19 Músculo iliopsoas | 29 Músculo pectíneo |
| 10 Músculo glúteo médio | 20 Músculo vasto intermédio | |



(a)-(d) Imagens axiais de ressonância magnética da coxa.

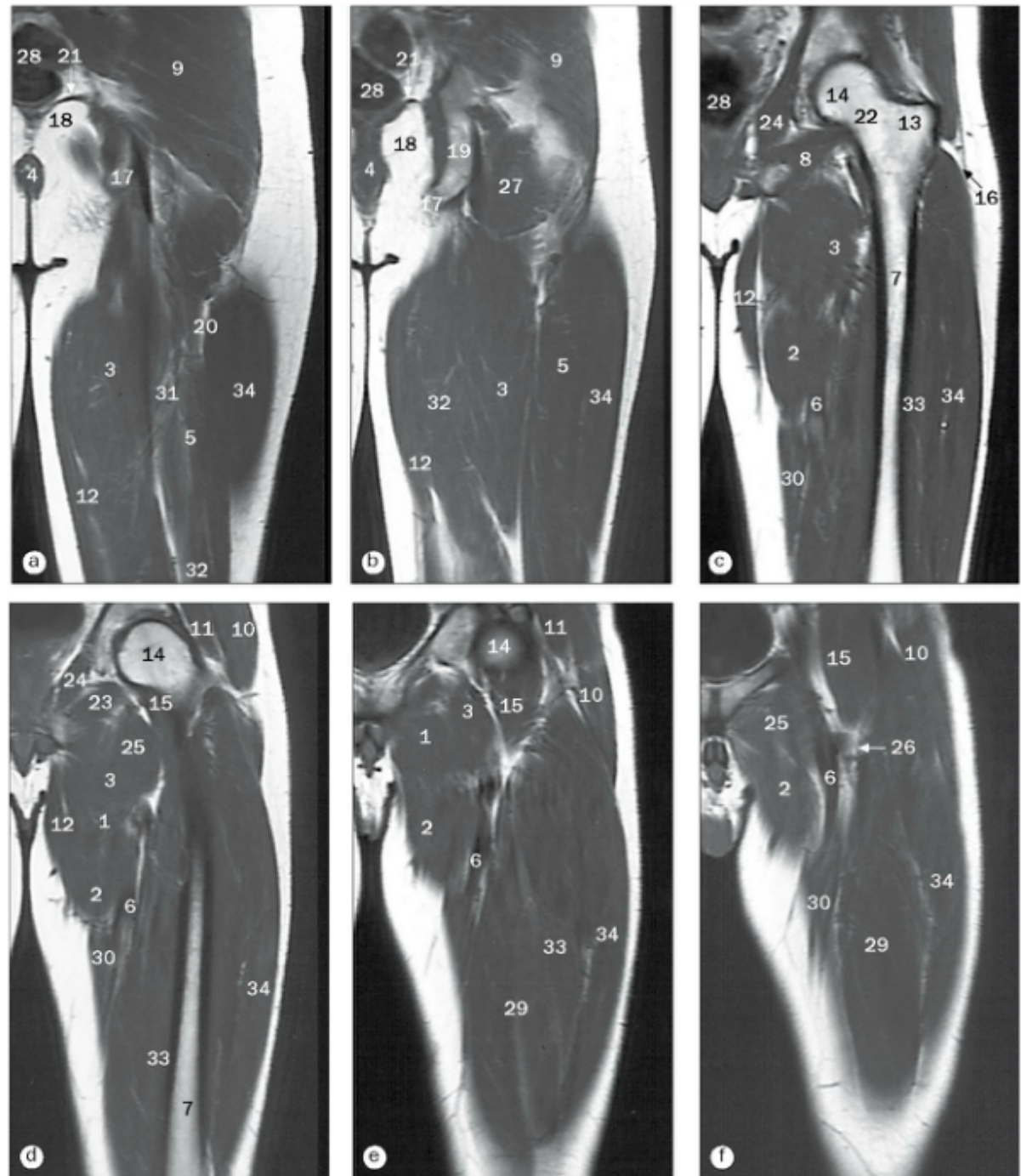
- | | | |
|--------------------------|---|----------------------------------|
| 1 Músculo adutor curto | 11 Veia safena magna | 19 Músculo reto femoral |
| 2 Músculo adutor longo | 12 Cabeça curta do músculo bíceps femoral | 20 Músculo sartório |
| 3 Músculo adutor magno | 13 Trato iliotibial | 21 Nervo isquiático |
| 4 Músculo bíceps femoral | 14 Septo intermuscular lateral da coxa | 22 Músculo tensor da fáscia lata |
| 5 Artéria femoral | 15 Cabeça longa do músculo bíceps femoral | 23 Músculo vasto intermédio |
| 6 Nervo femoral | 16 Artéria poplítea | 24 Músculo vasto lateral |
| 7 Veia femoral | 17 Veia poplítea | 25 Músculo vasto medial |
| 8 Fêmur | 18 Artéria femoral profunda | 26 Músculo semimembrâneo |
| 9 Músculo glúteo máximo | | 27 Músculo semitendíneo |
| 10 Músculo grácil | | 28 Nervo tibial |



(a)-(f) Coxa, imagens sagittais de ressonância magnética.

- | | | |
|--------------------------|---|---|
| 1 Acetábulo | 10 Cabeça lateral do músculo gastrocnêmio | 19 Músculo semimembranáceo |
| 2 Músculo adutor longo | 11 Músculo obturador externo | 20 Músculo semitendíneo |
| 3 Músculo adutor magno | 12 Músculo pectíneo | 21 Canal dos adutores |
| 4 Músculo bíceps femoral | 13 Músculo piriforme | 22 Tendão do músculo quadríceps femoral |
| 5 Artéria femoral | 14 Artéria poplítea | 23 Músculo vasto intermédio |
| 6 Fêmur | 15 Veia poplítea | 24 Músculo vasto lateral |
| 7 Músculo glúteo máximo | 16 Músculo quadrado femoral | 25 Músculo vasto medial |
| 8 Cabeça do fêmur | 17 Músculo reto femoral | |
| 9 Músculo iliopsoas | 18 Músculo sartório | |

(a)-(f) Coxa, imagens coronais de ressonância magnética.



- | | | |
|--------------------------|--|--------------------------------|
| 1 Músculo adutor curto | 13 Trocanter maior do fêmur | 25 Músculo pectíneo |
| 2 Músculo adutor longo | 14 Cabeça do fêmur | 26 Artéria femoral profunda |
| 3 Músculo adutor magno | 15 Músculo iliopsoas | 27 Músculo quadrado femoral |
| 4 Canal anal | 16 Trato iliotibial | 28 Reto |
| 5 Músculo bíceps femoral | 17 Túber isquiático | 29 Músculo reto femoral |
| 6 Artéria femoral | 18 Fossa isquioanal | 30 Músculo sartório |
| 7 Fêmur | 19 Ísquio | 31 Músculo semimembrânico |
| 8 Músculo gêmeo | 20 Septo intermuscular lateral da coxa | 32 Músculo semitendíneo |
| 9 Músculo glúteo máximo | 21 Músculo levantador do ânus | 33 Músculo vasto intermediário |
| 10 Músculo glúteo médio | 22 Colo do fêmur | 34 Músculo vasto lateral |
| 11 Músculo glúteo mínimo | 23 Músculo obturador externo | |
| 12 Músculo grácil | 24 Músculo obturador interno | |

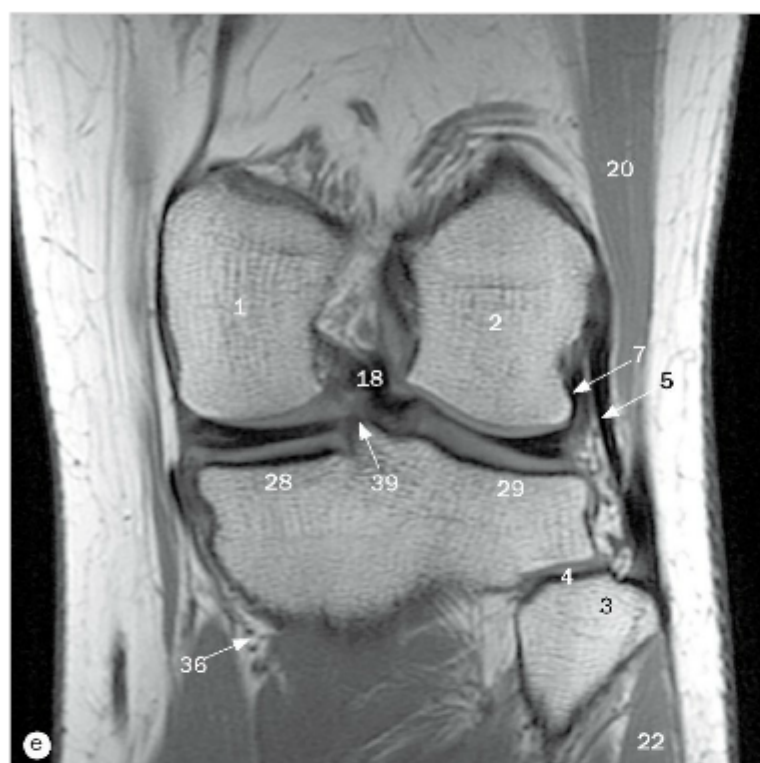


(a)-(h) Joelho, imagens coronais de ressonância magnética, da região posterior para a anterior.

1 Côndilo medial do fêmur
2 Côndilo lateral do fêmur
3 Cabeça da fíbula
4 Articulação tibiofibular proximal
5 Ligamento colateral fibular
6 Trato iliotibial
7 Tendão do músculo poplíteo
8 Músculo poplíteo

9 Veia safena magna
10 Músculo sartório
11 Tendão do músculo grácil
12 Artéria poplíteia
13 Tendão do músculo semimembrânico
14 Cabeça medial do músculo gastrocnêmio
15 Músculo semimembrânico
16 Como posterior do menisco medial

17 Como posterior do menisco lateral
18 Ligamento cruzado posterior
19 Cabeça lateral do músculo gastrocnêmio
20 Músculo bíceps femoral
21 Músculo sóleo
22 Músculo fibular longo
23 Músculo extensor longo dos dedos
24 Ligamento cruzado anterior



(a)-(h) Joelho, imagens coronais de ressonância magnética, da região posterior para a anterior.

25 Corpo do menisco medial
26 Corpo do menisco lateral
27 Tubérculo intercondilar
28 Côndilo medial da tíbia
29 Côndilo lateral da tíbia
30 Músculo vasto medial

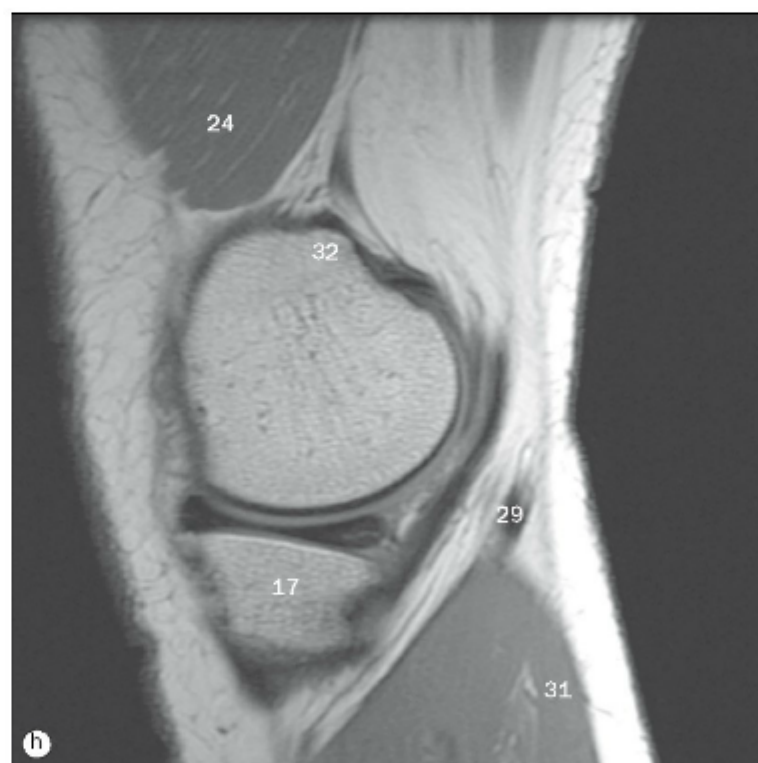
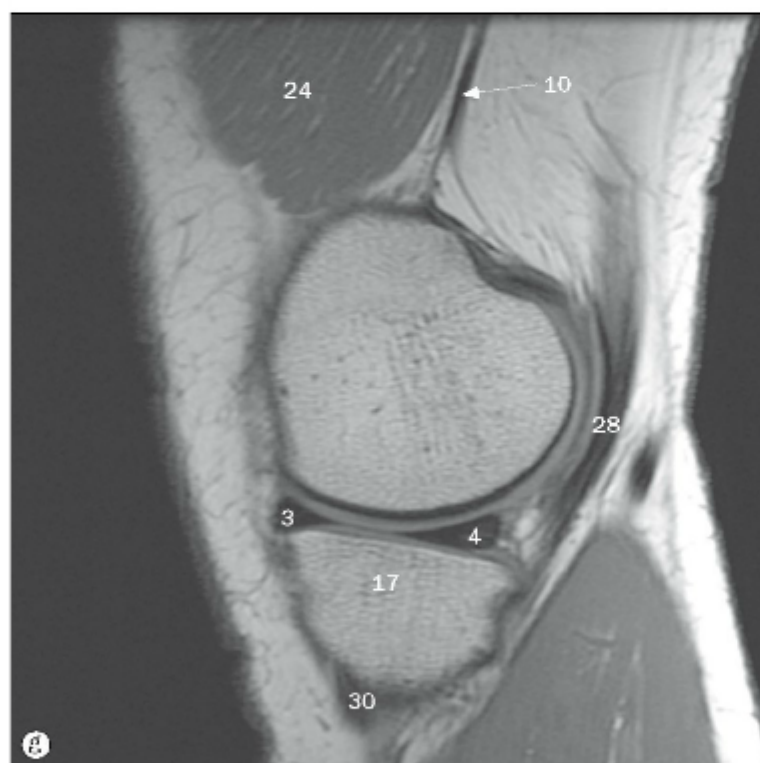
31 Artéria superior lateral do joelho
32 Artéria superior medial do joelho
33 Ligamento colateral tibial, porção profunda
34 Ligamento colateral tibial, porção superficial
35 Pata anserina (fixações musculares)
36 Artéria inferior medial do joelho

37 Músculo vasto lateral
38 Músculo tibial posterior
39 Raiz do cornó posterior, menisco medial
40 Músculo tibial anterior
41 Nervo tibial



(a)-(h) Joelho, imagens sagitais de ressonância magnética, da região lateral para a medial.

- | | | |
|--------------------------------------|---|---|
| 1 Ligamento cruzado anterior | 9 Artéria e veias superiores laterais do joelho | 17 Côndilo medial da tibia |
| 2 Ligamento cruzado posterior | 10 Septo intermuscular medial da coxa | 18 Cabeça da fibula |
| 3 Corno anterior do menisco medial | 11 Artéria superior medial do joelho | 19 Articulação tibiofibular proximal |
| 4 Corno posterior do menisco medial | 12 Tendão do músculo quadríceps femoral | 20 Tendão do músculo poplíteo |
| 5 Corno anterior do menisco lateral | 13 Ligamento da patela | 21 Ventre do músculo poplíteo |
| 6 Corno posterior do menisco lateral | 14 Patela | 22 Cabeça lateral do músculo gastrocnêmio |
| 7 Côndilo medial do fêmur | 15 Linha epifisial | 23 Músculo sóleo |
| 8 Côndilo lateral do fêmur | 16 Côndilo lateral da tibia | 24 Músculo vasto medial |



(a)-(h) Joelho, imagens sagitais de ressonância magnética, da região lateral para a medial.

25 Músculo tibial anterior

26 Corpo adiposo infrapatelar

27 Músculo semimembrâneo

28 Tendão do músculo semimembrâneo

29 Tendão do músculo semitendíneo

30 Tendão do músculo sartório

31 Cabeça medial do músculo gastrocnêmio

32 Tubérculo do adutor do fêmur

33 Artéria poplítea

34 Cabeça medial do músculo gastrocnêmio

35 Retináculo medial da patela

36 Retináculo lateral da patela

37 Região posterior da cápsula articular

38 Ligamento transverso do joelho

39 Ligamento meniscofemoral posterior

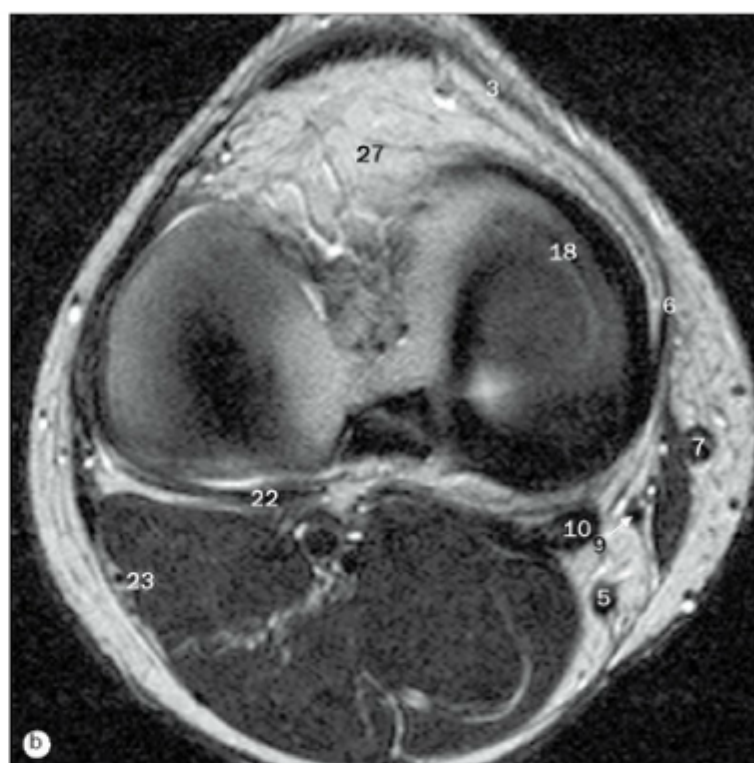
40 Tubérculo intercondilar

41 Músculo bíceps femoral

42 Músculo plantar

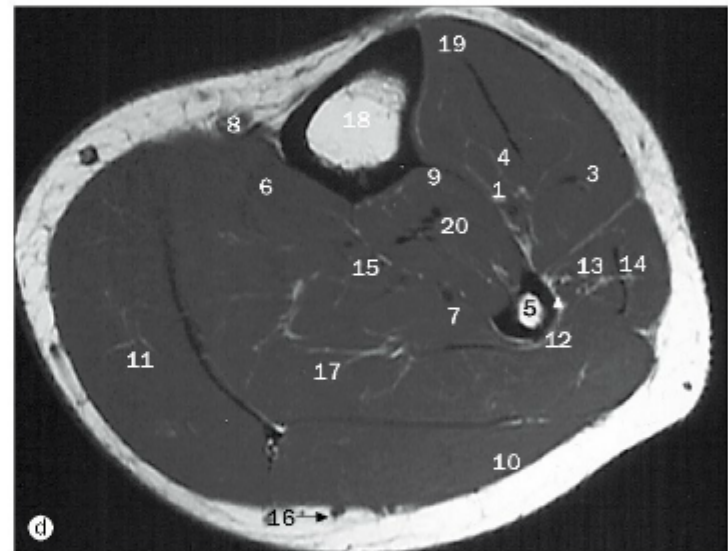
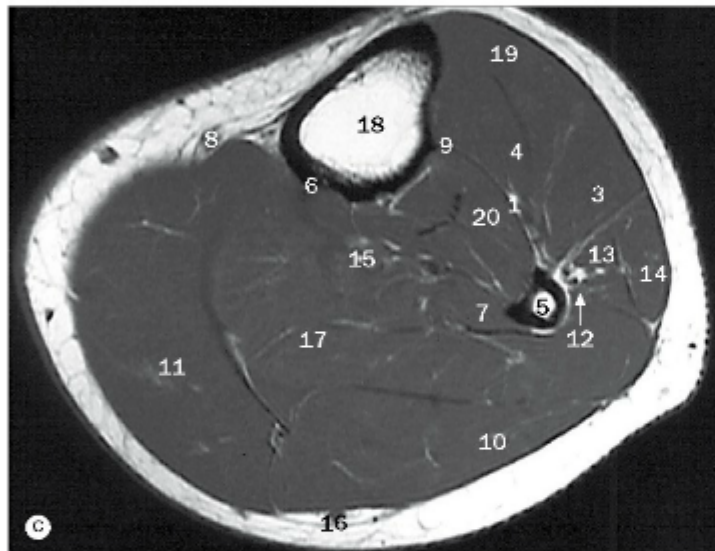
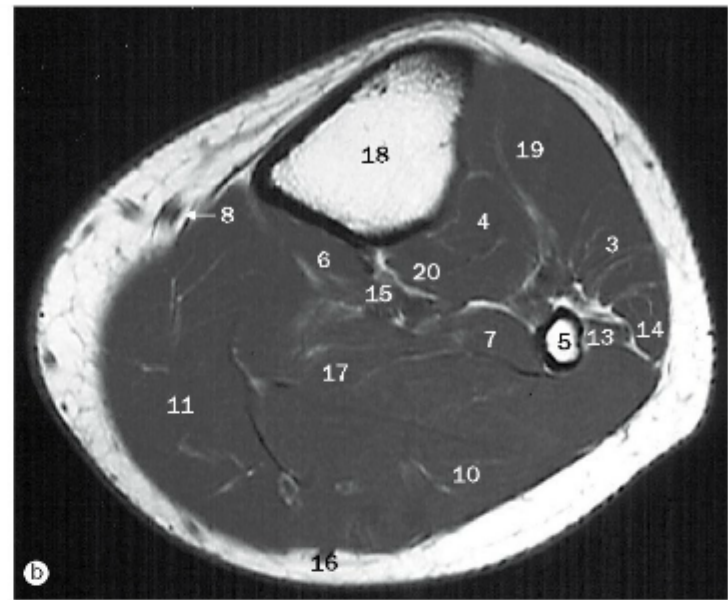
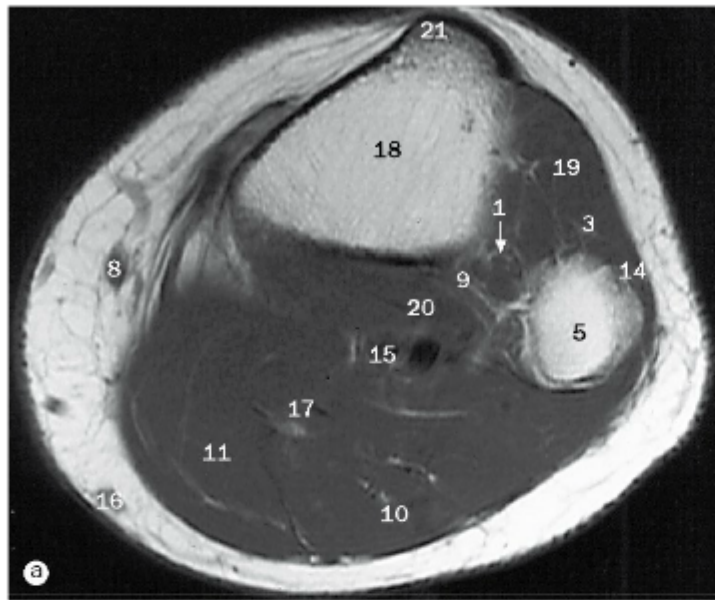
43 Tuberosidade da tíbia

44 Nervo fibular comum



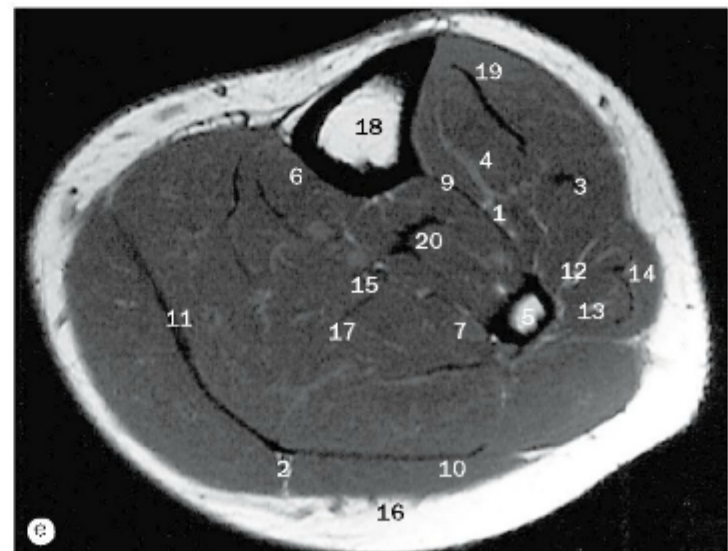
(a)-(d) Joelho, imagens axiais de ressonância magnética, da região inferior para a superior.

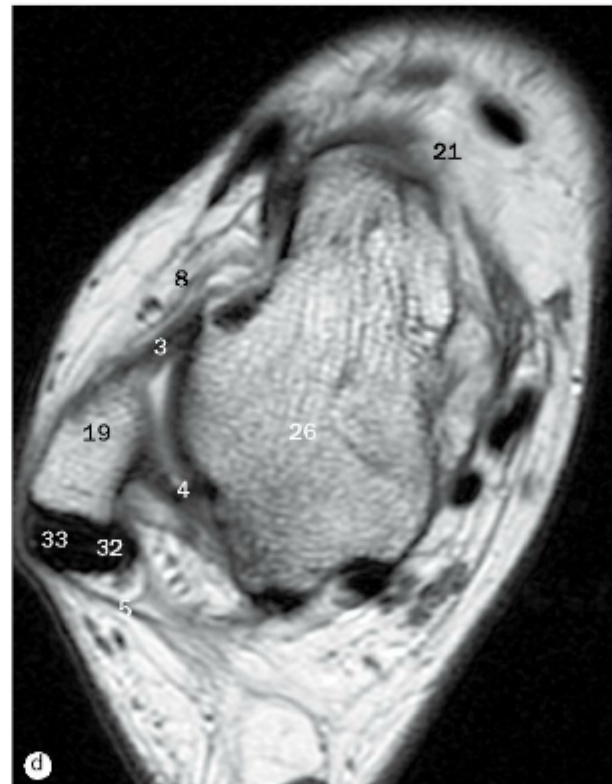
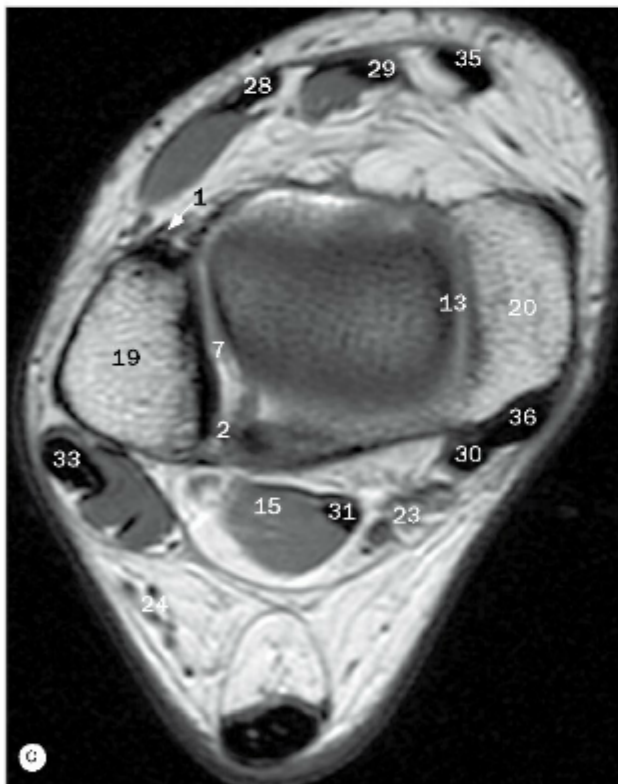
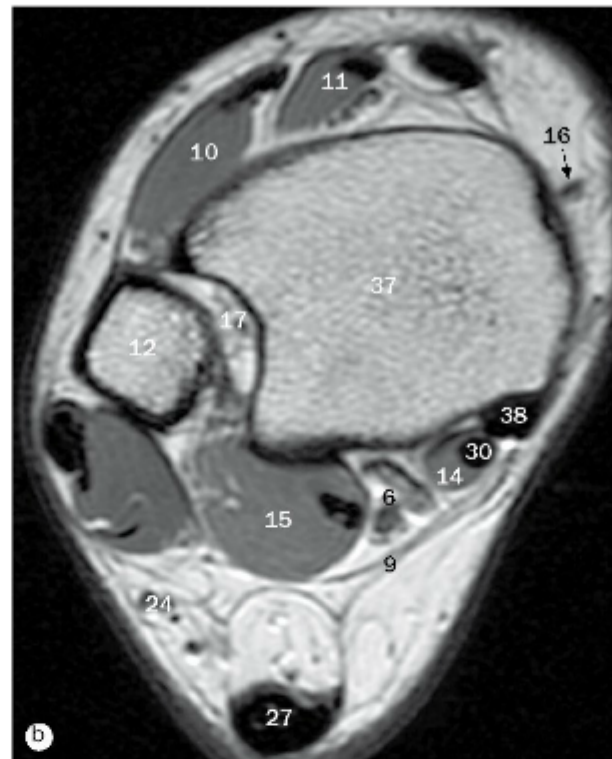
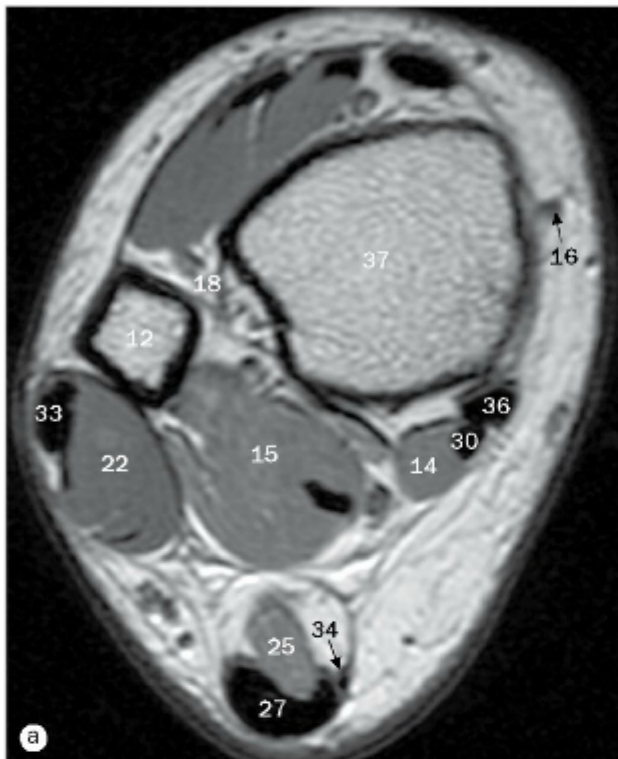
- | | | |
|------------------------------------|---|-------------------------------------|
| 1 Ligamento da patela | 12 Tendão do músculo bíceps femoral | 23 Nervo fibular comum |
| 2 Retináculo lateral da patela | 13 Ligamento cruzado posterior | 24 Patela |
| 3 Retináculo medial da patela | 14 Ligamento cruzado anterior | 25 Eminência condilar lateral |
| 4 Trato iliotibial | 15 Cabeça medial do músculo gastrocnêmio | 26 Veia safena parva |
| 5 Tendão do músculo semitendíneo | 16 Músculo bíceps femoral | 27 Corpo adiposo infrapatelar |
| 6 Ligamento colateral tibial | 17 Cabeça lateral do músculo gastrocnêmio | 28 Fásia profunda (fásia lata) |
| 7 Veia safena magna | 18 Menisco medial | 29 Face articular superior da tibia |
| 8 Músculo sartório | 19 Artéria poplítea | 30 Côndilo medial do fêmur |
| 9 Tendão do músculo grácil | 20 Veia poplítea | 31 Côndilo lateral do fêmur |
| 10 Tendão do músculo semimembrâneo | 21 Músculo poplíteo | |
| 11 Ligamento colateral fibular | 22 Tendão do músculo poplíteo | |



(a)-(e) Região crural, imagens axiais de ressonância magnética.

- | | |
|--------------------------------------|---|
| 1 Artéria tibial anterior | 10 Cabeça lateral do músculo gastrocnêmio |
| 2 Aponeurose do músculo gastrocnêmio | 11 Cabeça medial do músculo gastrocnêmio |
| 3 Músculo extensor longo dos dedos | 12 Artéria fibular |
| 4 Músculo extensor longo do hálux | 13 Músculo fibular curto |
| 5 Fíbula | 14 Músculo fibular longo |
| 6 Músculo flexor longo dos dedos | 15 Artéria tibial posterior |
| 7 Músculo flexor longo do hálux | 16 Veia safena parva |
| 8 Veia safena magna | 17 Músculo sóleo |
| 9 Membrana interóssea | 18 Tíbia |
| | 19 Músculo tibial anterior |
| | 20 Músculo tibial posterior |
| | 21 Tuberosidade da tíbia |





- 1 Ligamento tibiofibular anterior
- 2 Ligamento tibiofibular posterior
- 3 Ligamento talofibular anterior
- 4 Ligamento talofibular posterior
- 5 Retináculo dos músculos fibulares
- 6 Tronco neurovascular
- 7 Articulação talofibular
- 8 Retináculo dos músculos extensores
- 9 Retináculo dos músculos flexores
- 10 Músculo extensor dos dedos
- 11 Músculo extensor longo do hálux
- 12 Fibula
- 13 Articulação talocrural
- 14 Músculo flexor longo dos dedos
- 15 Músculo flexor longo do hálux
- 16 Veia safena magna
- 17 Articulação tibiofibular distal
- 18 Membrana interóssea
- 19 Maléolo lateral
- 20 Maléolo medial
- 21 Navicular
- 22 Músculo fibular curto
- 23 Artéria e veia tibiais posteriores
- 24 Veia safena parva
- 25 Músculo sóleo
- 26 Tálus

(a)-(h) Imagens axiais de ressonância magnética do tornozelo, da região superior para a inferior.

27 Tendão do calcâneo

28 Tendão do músculo extensor longo dos dedos

29 Tendão do músculo extensor longo do hálux

30 Tendão do músculo flexor longo dos dedos

31 Tendão do músculo flexor longo do hálux

32 Tendão do músculo fibular curto

33 Tendão do músculo fibular longo

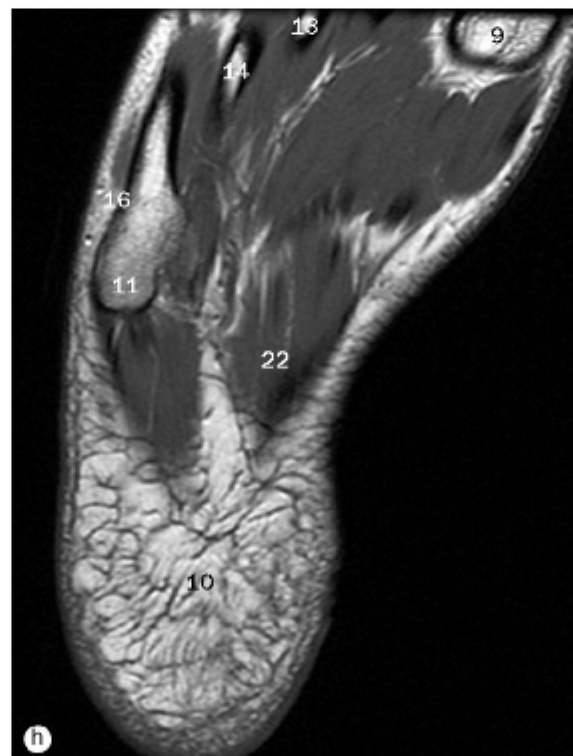
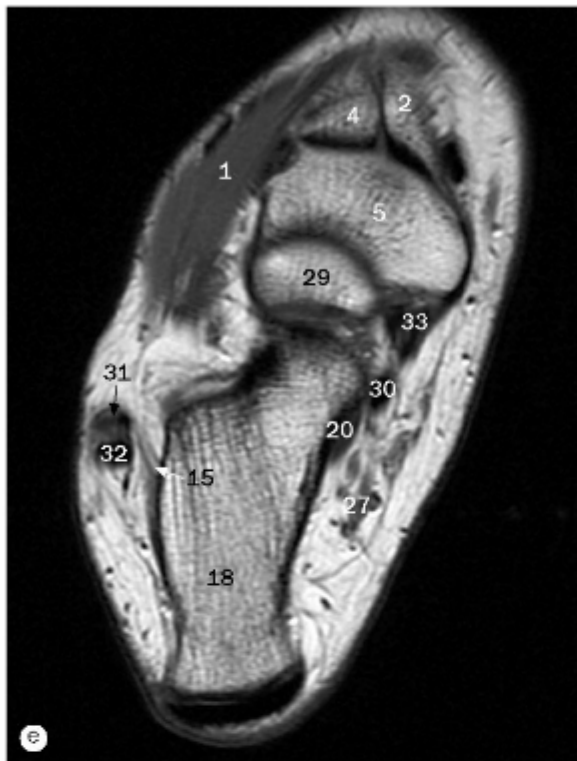
34 Tendão do músculo plantar

35 Tendão do músculo tibial anterior

36 Tendão do músculo tibial posterior

37 Tibia

38 Músculo tibial posterior

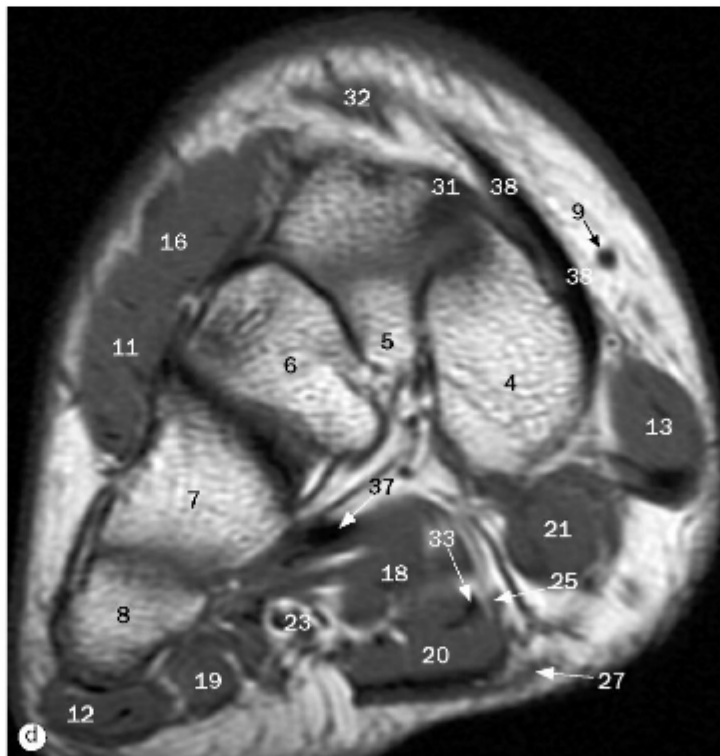


- 1 Músculo extensor curto dos dedos
- 2 Cuneiforme medial
- 3 Cuneiforme lateral
- 4 Cuneiforme intermédio
- 5 Navicular
- 6 Cuboide
- 7 Nervo e vasos plantares mediais
- 8 Nervo e vasos plantares laterais
- 9 Cabeça do primeiro metatarsal
- 10 Corpo adiposo do calcânar
- 11 Tuberosidade do quinto metatarsal
- 12 Segundo metatarsal
- 13 Terceiro metatarsal
- 14 Quarto metatarsal
- 15 Ligamento calcaneofibular
- 16 Músculo abductor do dedo mínimo
- 17 Músculo abductor do hálux
- 18 Calcâneo
- 19 Ligamento deltóideo
- 20 Tendão do músculo flexor longo do hálux
- 21 Músculo quadrado plantar
- 22 Músculo flexor curto dos dedos
- 23 Articulação tibiofibular distal
- 24 Maléolo lateral
- 25 Maléolo medial
- 26 Aponeurose plantar
- 27 Artéria tibial posterior
- 28 Sustentáculo do tálus
- 29 Cabeça do tálus
- 30 Tendão do músculo flexor longo dos dedos
- 31 Tendão do músculo fibular curto
- 32 Tendão do músculo fibular longo
- 33 Tendão do músculo tibial posterior

(a)-(h) Imagens axiais de ressonância magnética do tornozelo, da região superior para a inferior.



- 1 Ligamento deltoídeo, parte superficial
- 2 Ligamento deltoídeo, parte profunda
- 3 Ligamento tibiofibular
- 4 Primeiro metatarsal
- 5 Segundo metatarsal
- 6 Terceiro metatarsal
- 7 Quarto metatarsal
- 8 Quinto metatarsal
- 9 Veia safena magna
- 10 Ligamento calcaneonavicular plantar, "mola"
- 11 Músculo extensor curto dos dedos
- 12 Músculo abductor do dedo mínimo
- 13 Músculo adutor do hálux
- 14 Calcâneo
- 15 Cuboide
- 16 Músculo extensor curto dos dedos
- 17 Fibula
- 18 Músculo quadrado plantar

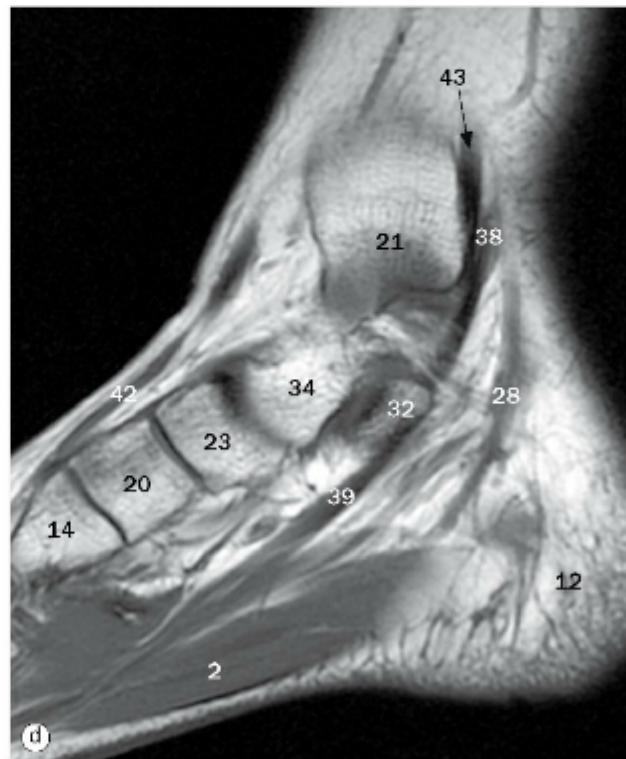
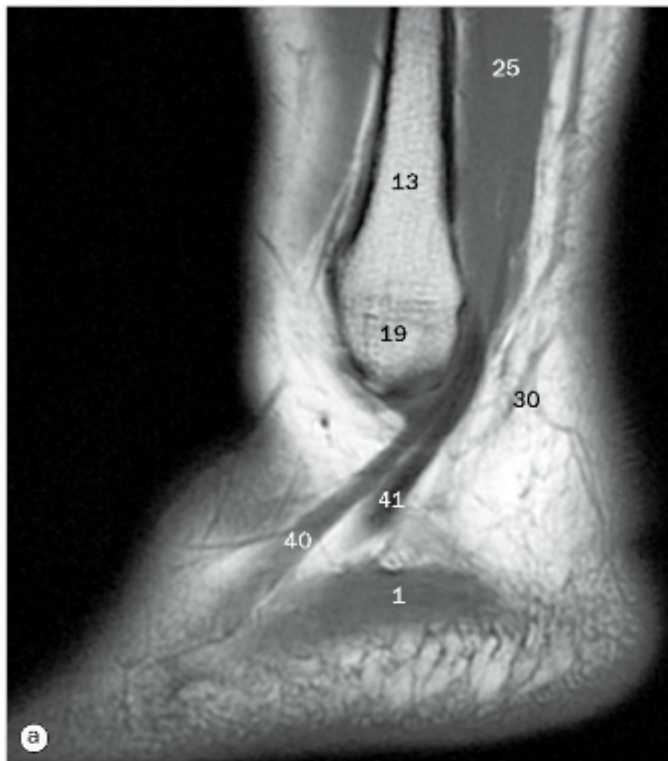


(a)-(d) Imagens coronais de ressonância magnética do pé e tornozelo.

- 19 Músculo flexor do dedo mínimo
- 20 Músculo flexor curto dos dedos
- 21 Músculo flexor curto do hálux
- 22 Maléolo lateral
- 23 Nervo e vasos plantares laterais
- 24 Maléolo medial
- 25 Nervo e artéria plantares mediais
- 26 Navicular
- 27 Aponeurose plantar

- 28 Sustentáculo do tálus
- 29 Tálus
- 30 Articulação talofibular
- 31 Tendão do músculo extensor longo dos dedos
- 32 Tendão do músculo flexor longo do hálux
- 33 Tendão do músculo flexor curto dos dedos
- 34 Tendão do músculo flexor longo dos dedos

- 35 Tendão do músculo flexor longo do hálux
- 36 Tendão do músculo fibular curto
- 37 Tendão do músculo fibular longo
- 38 Tendão do músculo tibial anterior
- 39 Tendão do músculo tibial posterior
- 40 Tibia



- 1 Músculo abductor do dedo mínimo
- 2 Músculo abductor do hálux
- 3 Tubérculo do calcâneo
- 4 Cartilagem articular
- 5 Inserção do tendão do calcâneo
- 6 Articulação calcaneocubóidea
- 7 Calcâneo
- 8 Cuboide
- 9 Articulação cuneonavicular
- 10 Músculo extensor curto dos dedos
- 11 Processo lateral da tuberosidade do calcâneo
- 12 Corpo adiposo do calcanhar
- 13 Fibula
- 14 Primeiro metatarsal
- 15 Músculo flexor curto dos dedos
- 16 Músculo flexor longo dos dedos
- 17 Músculo flexor longo do hálux
- 18 Cabeça do tálus
- 19 Maléolo lateral
- 20 Cuneiforme medial
- 21 Maléolo medial
- 22 Face articular talar média, articulação talocalcânea
- 23 Navicular
- 24 Colo do tálus
- 25 Músculo fibular curto
- 26 Aponeurose plantar
- 27 Articulação talocalcânea – região posterior

(a)-(d) Tornozelo, imagens sagitais de ressonância magnética, da região lateral para a medial.

- 28 Artéria e veia tibiais posteriores
- 29 Base do osso metatarsal
- 30 Veia safena parva
- 31 Músculo sóleo
- 32 Sustentáculo do tálus
- 33 Articulação talonavicular
- 34 Tálus

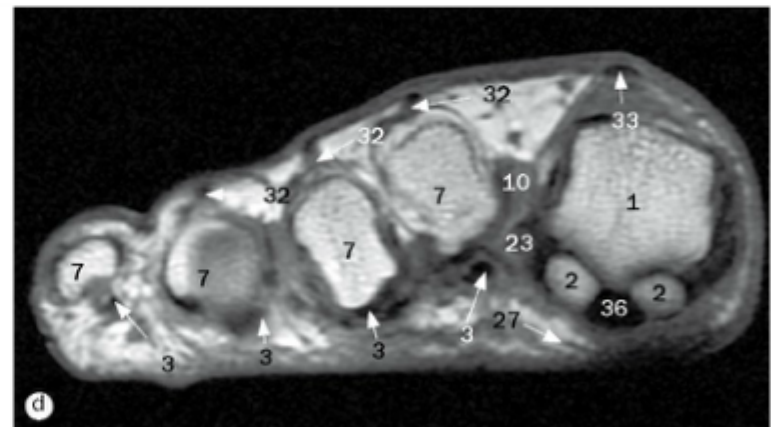
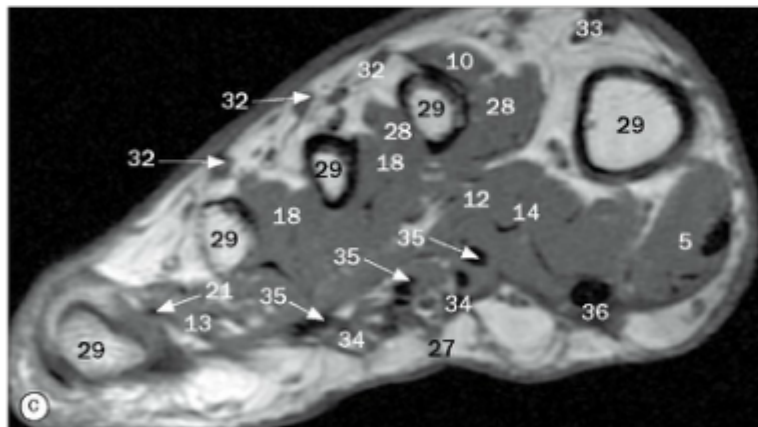
- 35 Seio do tarso
- 36 Tendão do calcâneo
- 37 Tendão do músculo extensor longo dos dedos
- 38 Tendão do músculo flexor longo dos dedos
- 39 Tendão do músculo flexor longo do hálux

- 40 Tendão do músculo fibular curto
- 41 Tendão do músculo fibular longo
- 42 Tendão do músculo tibial anterior
- 43 Tendão do músculo tibial posterior
- 44 Tibia
- 45 Parte tibiotalar da articulação talocrural



- 1 Cabeça do primeiro metatarsal
- 2 Ossos sesamoides no músculo flexor curto do hálux
- 3 Músculo flexor longo dos dedos
- 4 Músculo abductor do dedo mínimo
- 5 Músculo e tendão do músculo adutor do hálux
- 6 Base do osso metatarsal
- 7 Base da falange proximal
- 8 Calcâneo
- 9 Cuboide
- 10 Músculo interósseo dorsal
- 11 Músculo extensor curto dos dedos
- 12 Músculo quadrado plantar
- 13 Músculo flexor do dedo mínimo
- 14 Músculo flexor curto dos dedos
- 15 Músculo flexor curto do hálux
- 16 Cabeça do tálus

(a)-(b) Pé, imagens coronais de ressonância magnética.



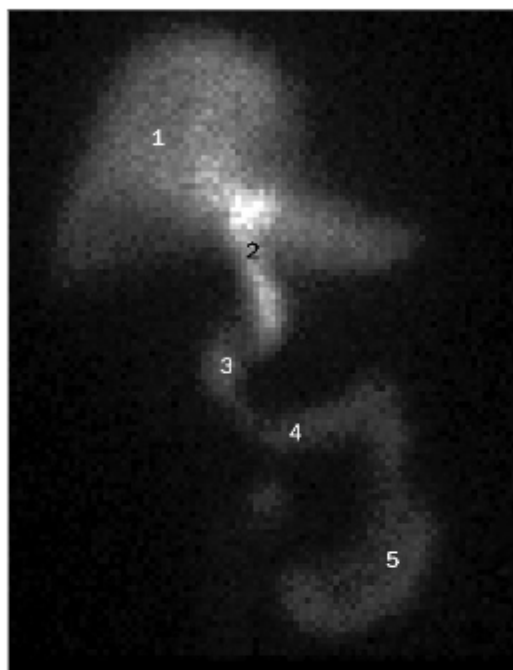
(c)-(d) Pé, imagens axiais de ressonância magnética.

- | | |
|--------------------------------------|--|
| 17 Cuneiforme intermédio | 25 Colo do tálus |
| 18 Músculos interósseos | 26 Músculo oponente do dedo mínimo |
| 19 Cuneiforme lateral | 27 Aponeurose plantar |
| 20 Maléolo lateral | 28 Músculo interósseo plantar |
| 21 Nervo plantar lateral | 29 Corpo dos metatarsais 1, 2, 3, 4, 5 |
| 22 Cuneiforme medial | 30 Tálus |
| 23 Nervo e artéria plantares mediais | 31 Seio do tarso |
| 24 Navicular | |

- | |
|---|
| 32 Tendão do músculo extensor longo dos dedos |
| 33 Tendão do músculo extensor longo do hálux |
| 34 Tendão do músculo flexor curto dos dedos |
| 35 Tendão do músculo flexor longo dos dedos |
| 36 Tendão do músculo flexor longo do hálux |
| 37 Tendão do músculo fibular curto |
| 38 Tendão do músculo fibular longo |

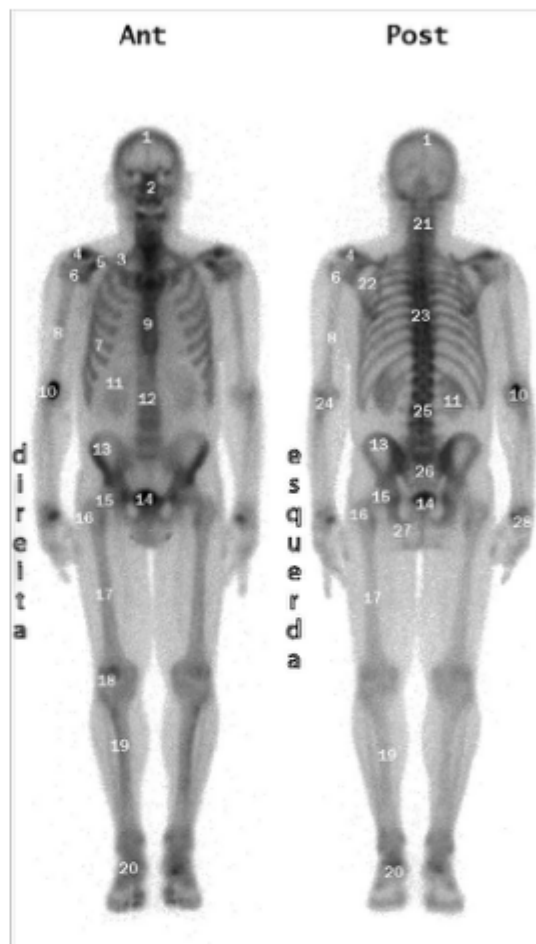
8

Medicina nuclear



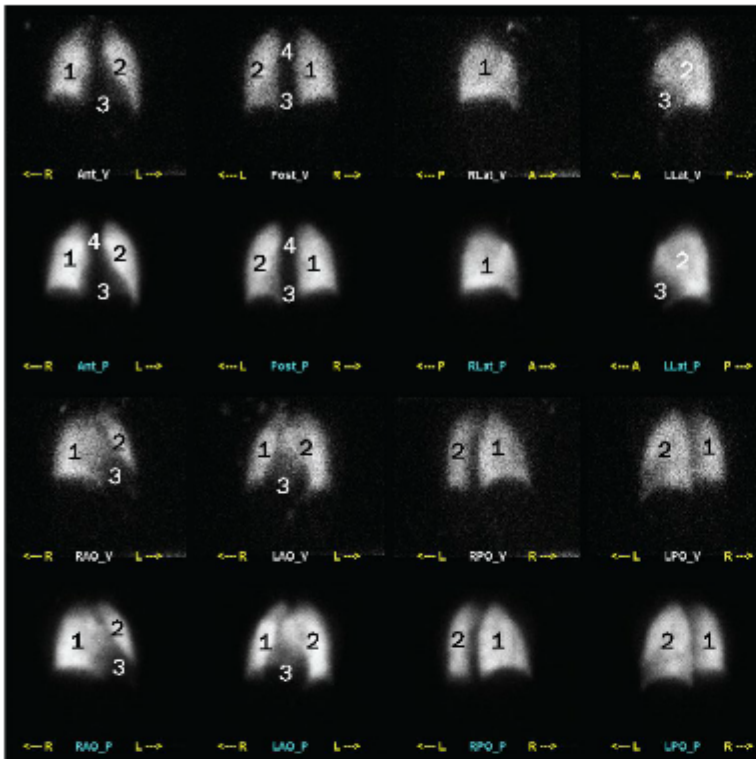
Cintilografia hepatobiliar. As substâncias injetadas para esse exame são rapidamente eliminadas do sangue. Os hepatócitos do fígado extraem a maior parte da dose injetada e a excretam na árvore biliar intra-hepática. A partir daí o marcador flui para os ductos hepáticos e colédoco. A substância muitas vezes enche passivamente a vesícula biliar (não visto neste caso por várias razões, como, por exemplo, cirurgicamente ausente, a vesícula biliar está distendida ou se contraiu ativamente durante a aquisição das imagens, ou o paciente teve um jejum prolongado antes da aquisição das imagens). A substância passará então para o duodeno pela papila maior do duodeno e chegará finalmente ao intestino delgado.

- 1 Fígado
- 2 Ducto colédoco
- 3 Parte descendente do duodeno
- 4 Parte horizontal do duodeno
- 5 Jejuno



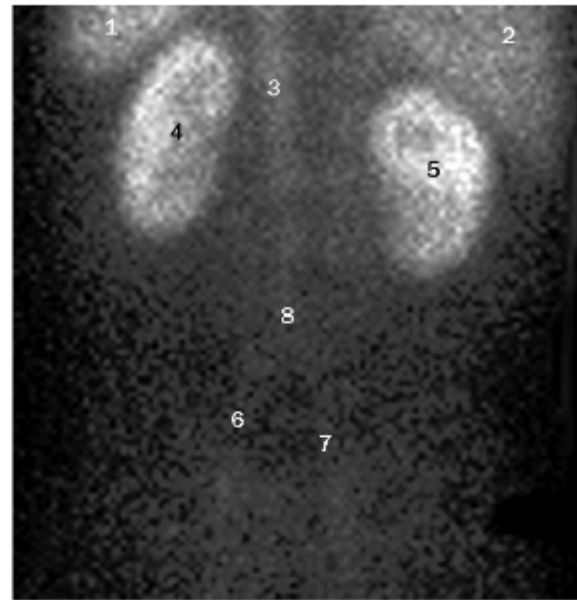
Cintilografia óssea corporal total. As cintilografias ósseas usam substâncias fisiológicas para detectar anormalidades sutis no metabolismo ósseo. Elas são usadas para a definição de anormalidades ósseas, incluindo condições infecciosas, traumáticas, congênitas, metabólicas e malignas. Embora os ossos capturem a substância, parte dela permanece no sangue e é finalmente excretada pelos rins.

- | | |
|---|--|
| 1 Crânio | 15 Cabeça do fêmur |
| 2 Nariz e ossos da face | 16 Trocanter maior do fêmur |
| 3 Primeira costela | 17 Diáfise do fêmur |
| 4 Articulação acromioclavicular | 18 Patela |
| 5 Clavícula | 19 Tíbia |
| 6 Cabeça do úmero | 20 Tornozelo |
| 7 Quinta costela | 21 Região cervical da coluna vertebral |
| 8 Diáfise do úmero | 22 Escápula |
| 9 Esterno | 23 Região torácica da coluna vertebral |
| 10 Extravasamento para as partes moles no local da injeção na fossa cubital | 24 Cotovelo |
| 11 Rim direito | 25 Corpo da terceira vértebra lombar |
| 12 Corpos de vértebras lombares | 26 Sacro |
| 13 Osso do quadril | 27 Túber isquiático |
| 14 Bexiga urinária | 28 Punho |



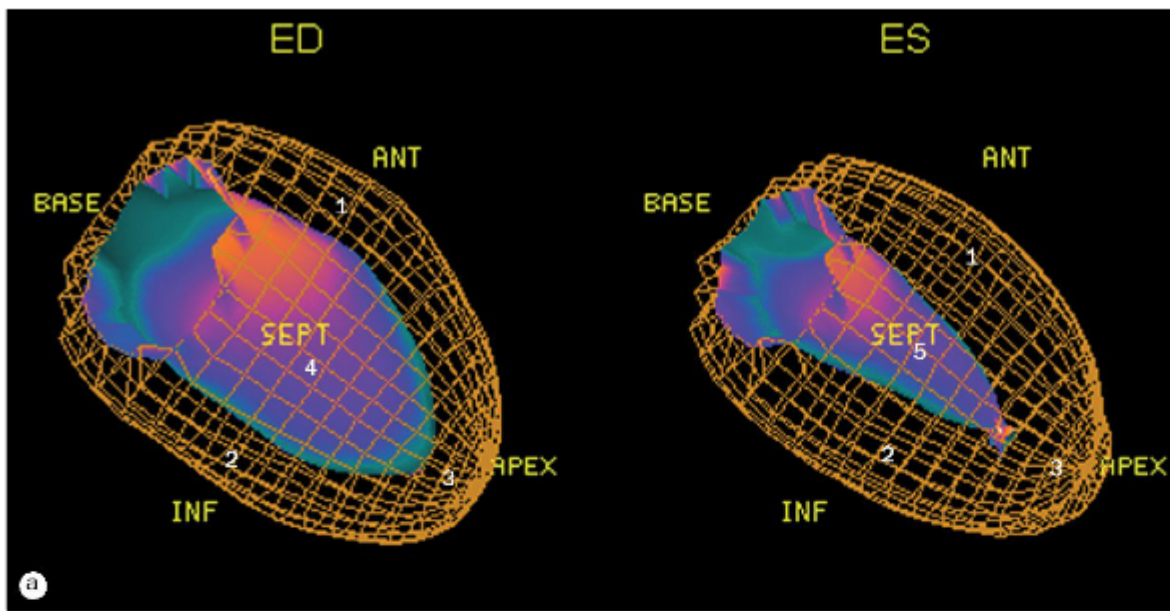
Cintilografia pulmonar. O exame dos pulmões envolve tanto a ventilação como a perfusão. Essas duas distribuições são correspondentes no estado normal. A solicitação do exame de ventilação e perfusão depende das substâncias que são usadas. Tanto a cintilografia de ventilação como a de perfusão avaliam os pulmões em oito projeções (anterior, posterior, lateral direita, lateral esquerda, oblíqua anterior direita [OAD], oblíqua anterior esquerda [OAE], oblíqua posterior direita [OPD] e oblíqua posterior esquerda [OPE]). A primeira e a terceira fileiras são de ventilação, e a segunda e a quarta fileiras são de perfusão correspondente.

- | | |
|-------------------|---------------------|
| 1 Pulmão direito | 3 Silhueta cardíaca |
| 2 Pulmão esquerdo | 4 Mediastino |

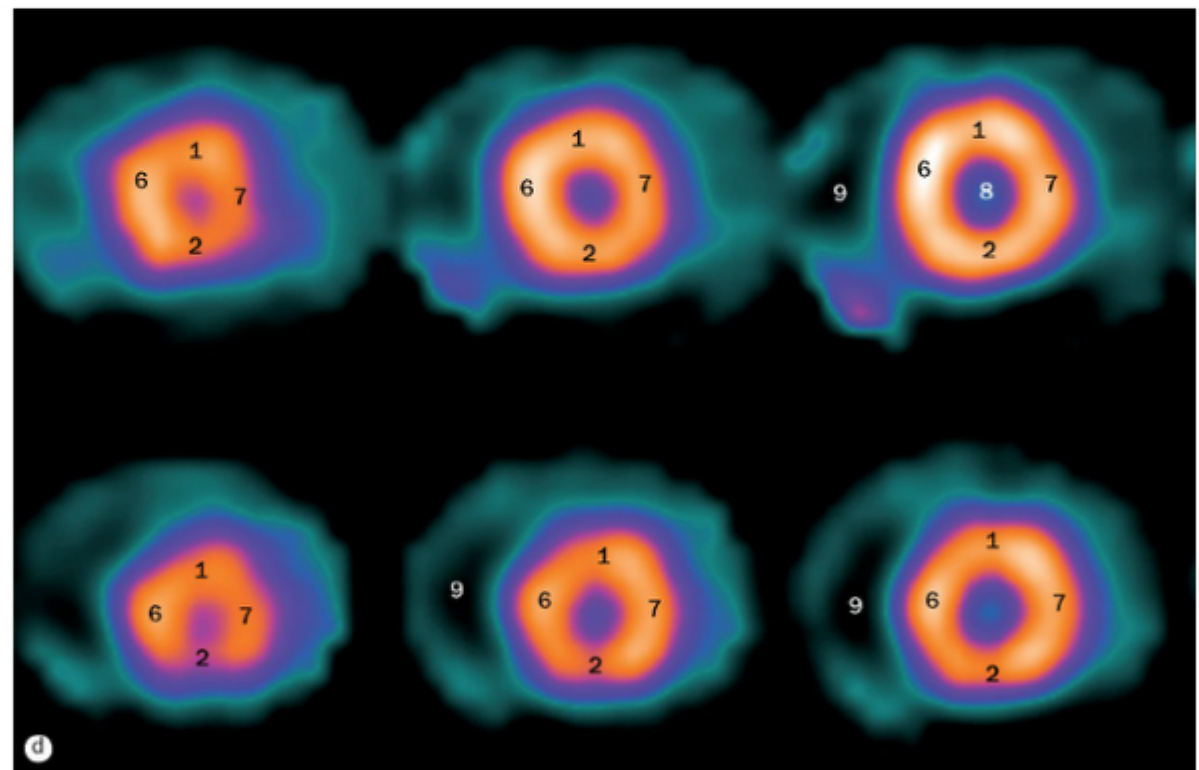
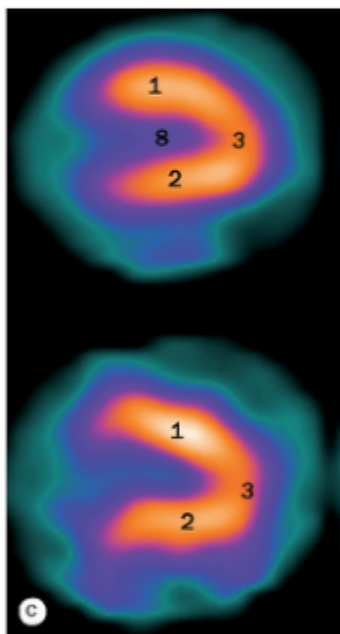
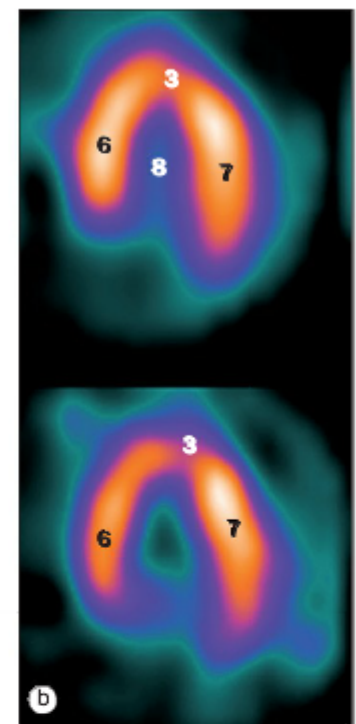


Cintilografia renal. O exame renal é feito com a câmera colocada sobre o dorso do paciente, porque os rins estão mais próximos da superfície da pele, otimizando, assim, a atividade proveniente dos rins. Dependendo da substância radiofarmacêutica usada, pode-se obter a estrutura e/ou função relativa do rim. Em geral, é possível avaliar a perfusão e a excreção da substância. No estágio inicial do exame, parte da substância permanece no sangue, o que permite a visualização das estruturas circunvizinhas.

- | | |
|----------------------------|--|
| 1 Baço | 6 Artéria ilíaca comum esquerda |
| 2 Fígado | 7 Artéria ilíaca comum direita |
| 3 Parte abdominal da aorta | 8 Bifurcação da parte abdominal da aorta |
| 4 Rim esquerdo | |
| 5 Rim direito | |

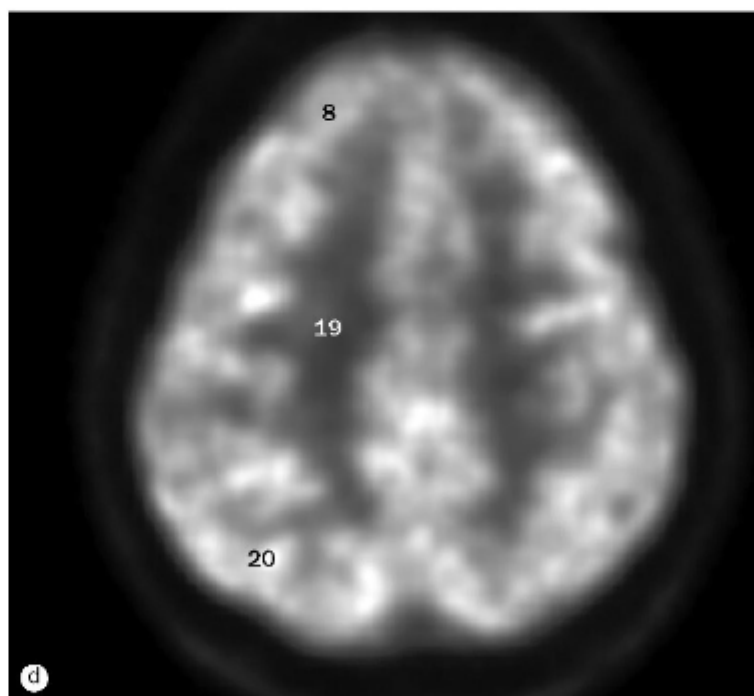
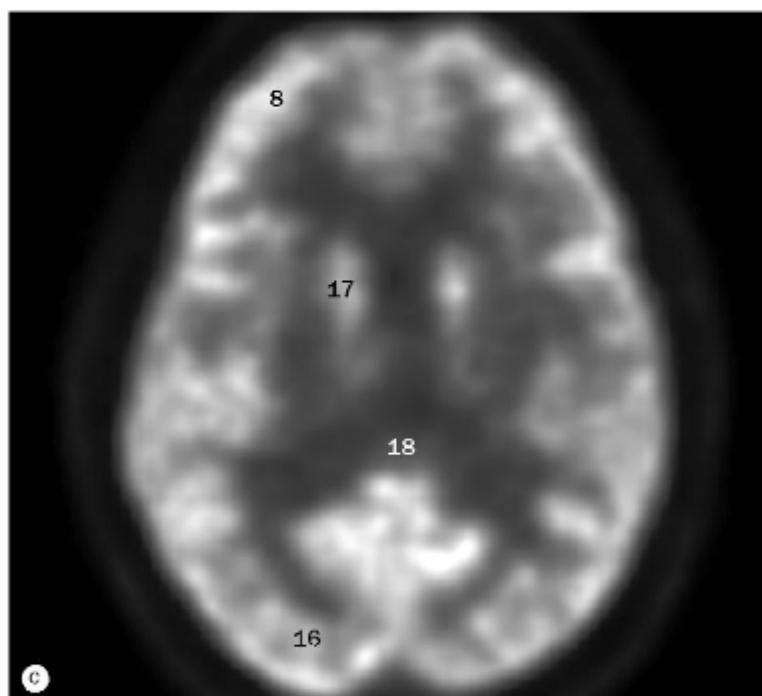
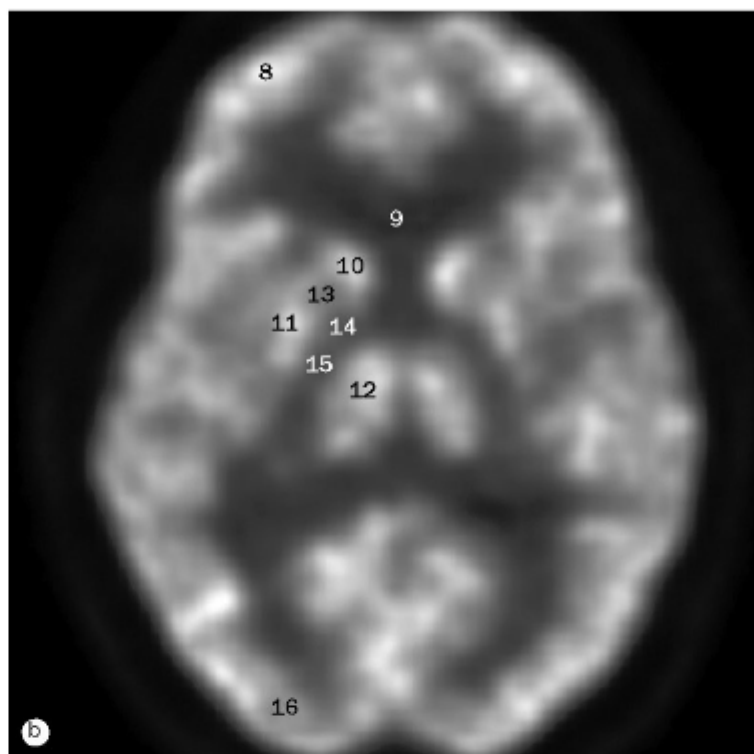
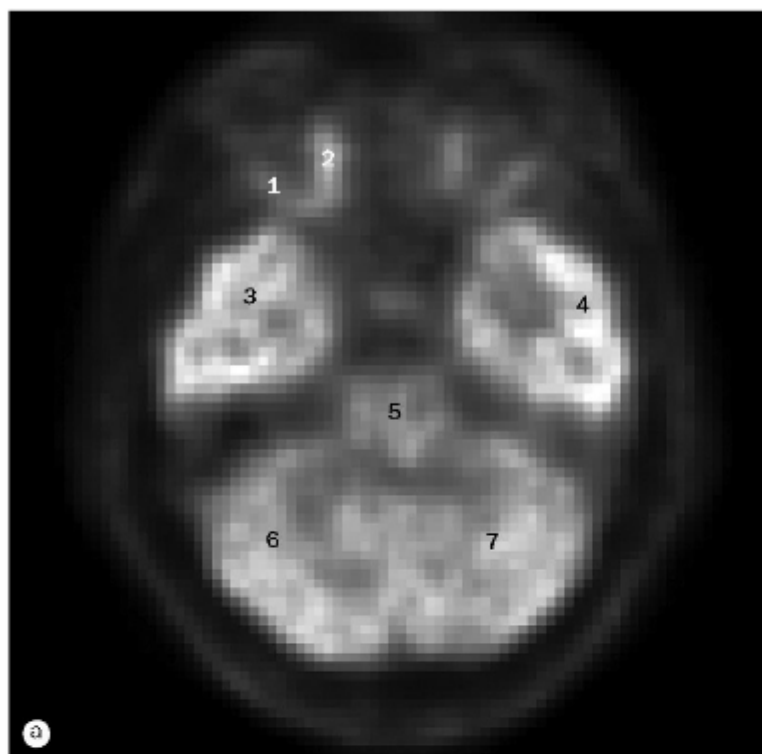


Cintilografias cardíacas, (a) reconstruções 3D do ventrículo esquerdo ao final da diástole (ED) e ao final da sístole (ES). A subtração do volume ventricular no final da sístole daquele encontrado no final da diástole resulta no volume de ejeção durante a sístole.



Cintilografias cardíacas, (b)-(d), as imagens são obtidas durante o estresse (por exercício ou farmacêutico), representadas pela fileira superior de imagens, e durante o repouso, representadas pela fileira inferior das imagens. A comparação dessas imagens pode determinar alterações na circulação cardíaca, da isquemia aguda a um infarto antigo. Depois do exame, o coração é cortado em planos diferentes para se avaliar as paredes específicas e a circulação que as supre. O ventrículo esquerdo aparece em uma forma de “ferradura” no sentido longitudinal do maior eixo (b) e sentido horizontal do maior eixo (c) e como uma “rosquinha” no menor eixo (d). A parede anterior, o ápice e a parte do septo são supridas pelo ramo interventricular anterior. A artéria coronária direita (ACD) supre a parede inferior e parte do septo, e o ramo circunflexo supre a parede lateral.

- | | |
|--|---|
| 1 Parede anterior do ventrículo esquerdo | esquerdo ao final da sístole |
| 2 Parede inferior do ventrículo esquerdo | 6 Septo interventricular |
| 3 Parte apical do ventrículo esquerdo | 7 Parede lateral do ventrículo esquerdo |
| 4 Volume sanguíneo acumulado no ventrículo esquerdo ao final da diástole | 8 Cavidade do ventrículo esquerdo |
| 5 Volume sanguíneo acumulado no ventrículo | 9 Cavidade do ventrículo direito |

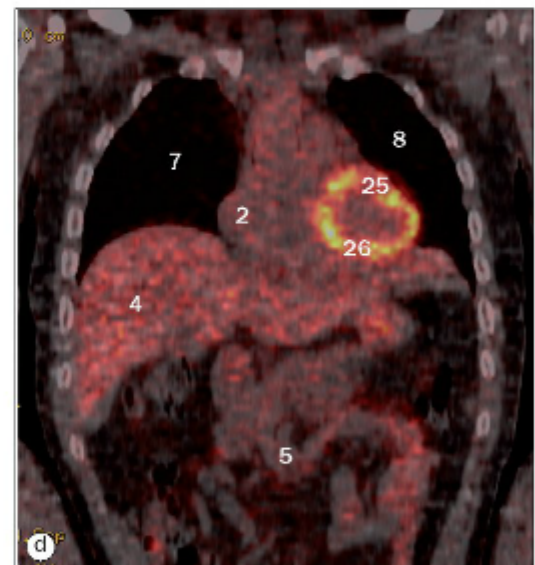
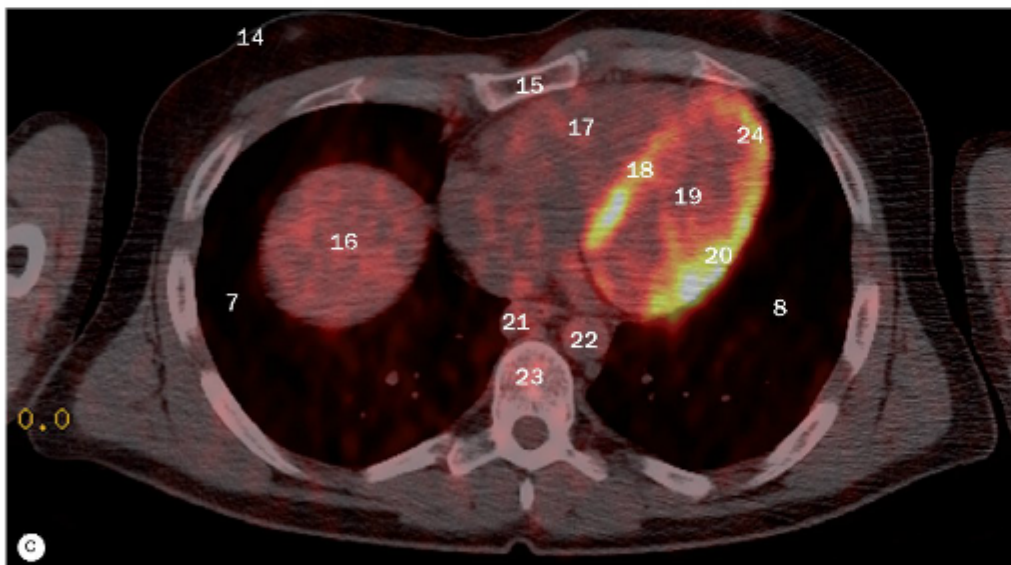
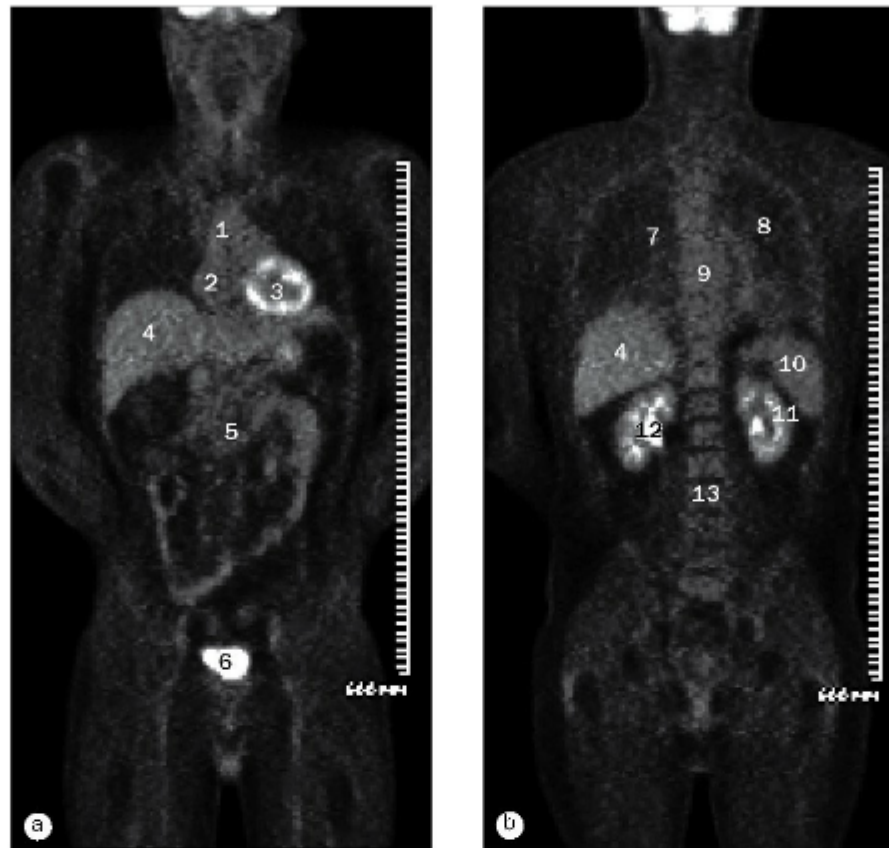


(a)-(d) Exames metabólicos encefálicos por PET. A fluorodesoxiglicose (FDG) é um derivado da glicose. As células não conseguem diferenciar a glicose da FDG. Uma diferença importante é que, uma vez no interior da célula, a FDG não é metabolizada e fica presa aí. Isso permite o exame fácil de estruturas do corpo. O encéfalo tem captação elevada de FDG, com a substância cinzenta tendo uma captação mais elevada em comparação à substância branca. Os núcleos da base têm geralmente uma captação um pouco maior que a do córtex. É normal encontrar áreas de captação aumentada nos campos visuais frontais, no córtex visual e na área de Wernicke.

1 Músculo reto lateral
2 Músculo reto medial
3 Lobo temporal direito
4 Lobo temporal esquerdo
5 Tronco encefálico
6 Hemisfério cerebelar direito
7 Hemisfério cerebelar esquerdo

8 Lobo frontal
9 Corpo caloso, joelho
10 Núcleo caudado, cabeça
11 Putame
12 Tálamo
13 Cápsula interna, ramo anterior
14 Cápsula interna, joelho

15 Cápsula interna, ramo posterior
16 Lobo occipital
17 Núcleo caudado, corpo
18 Corpo caloso, esplênio
19 Coroa radiada
20 Lobo parietal



(a)-(d) Exames TC/PET corporais totais. O exame de PET mostra a função fisiológica do tecido, e a TC fornece informações anatômicas. Fundindo-se essas imagens se obtém a localização anatômica precisa de áreas de interesse. As figuras (a) e (b) são imagens PET coronais do corpo em profundidades diferentes. As figuras (c) e (d) são imagens TC/PET fundidas nas projeções axial (c) e coronal (d).

- | | | |
|---------------------------------------|--------------------------------------|---|
| 1 Mediastino | 10 Baço | 19 Ventriculo esquerdo, cavidade |
| 2 Átrio direito | 11 Córtex renal | 20 Parede lateral do ventriculo esquerdo |
| 3 Ventriculo esquerdo | 12 Rim, pelve renal | 21 Esôfago |
| 4 Fígado | 13 Região lombar da coluna vertebral | 22 Parte torácica da aorta descendente |
| 5 Intestino delgado | 14 Tecido da mama direita | 23 Corpo vertebral torácico |
| 6 Bexiga urinária | 15 Esterno | 24 Ápice do ventriculo esquerdo |
| 7 Pulmão direito | 16 Fígado, abóbada | 25 Parede anterior do ventriculo esquerdo |
| 8 Pulmão esquerdo | 17 Ventriculo direito | 26 Parede inferior do ventriculo esquerdo |
| 9 Região torácica da coluna vertebral | 18 Septo interventricular | |

Índice

Nota: As referências dizem respeito ao texto (principalmente legendas e quadros), e não aos números que codificam as estruturas nas figuras. As modalidades mais comuns de investigação por imagens (radiografias e TC e RM convencionais) não constam deste índice.

- A**
- abertura lateral do 4º ventrículo, 17, 43, 51
- abertura mediana do 4º ventrículo, 42, 51
- acetábulo, 134, 142, 154, 156, 162, 166, 208, 222
- incisura, 220
- lábio
- teto, 60, 134, 156
- anterior, 220
- posterior, 220
- acrômio da escápula, 68, 69, 79
- aderência intertalâmica do tálamo, 50
- ampola
- da tuba uterina, 195
- do ducto deferente, 199
- do reto, 154, 159, 160, 165
- hepatopancreática, 182
- terminal, 205, 206
- anastomoses da polpa (dedo), 78
- anel fibroso, 63
- anel timpânico, 15
- angiografia de subtração (incl. arteriografias e venografias com subtração digital)
- abdome
- arteriografia do tronco celiaco, 184
- arteriografia hepática, 192
- arteriografia pancreática, 193
- arteriograma mesentérico superior, 185
- arco da aorta, 117
- encéfalo, 36-9
- mão, 78
- pelve, 187
- pescoço, 33
- angiografia por ressonância magnética do encéfalo, 40
- pescoço, 33
- angiografias, veja aortografia; arteriografia, angiressonância magnética; venografia; ventrículos (coração)
- ângulo cardiofrênico, esquerdo, 90
- ângulo costofrênico, esquerdo, 90
- ângulo pontocerebelar, 43
- antebraço, 73, 85
- ultrassom fetal, 203
- ânus, 164
- veja também canal anal; esfíncter anal; junção anorretal
- aorta, 62, 92, 94, 111, 113
- arco da aorta, 33, 90, 91, 96, 100, 104, 105, 106, 108, 111, 117, 140, 142
- angiografia por subtração, 117
- fetal, 203
- parte abdominal, 103, 105, 107, 124, 126, 128, 130, 138, 140, 143, 145, 148, 157, 183, 185
- bifurcação, 139, 236
- cateter introduzido via artéria femoral, veja artéria femoral
- extremidade do cateter em rabo-de-porco (*pigtail*) em, 183
- fetal, 202, 203
- visões em outros planos, 174, 176, 183, 202, 203, 236
- parte ascendente, 91, 95, 100, 104, 105, 106, 108, 114, 117, 138, 140, 149
- fetal, 203
- parte descendente, 90, 96, 100, 104, 105, 106, 108, 117, 142
- fetal, 203
- investigação PET/TC, 239
- raiz da, 115
- aortografia
- abdominal, 183
- subtração do arco, 117
- aparelho vestibular, vestibulo do, 50
- apêndice, 131, 179
- aponeurose
- do músculo bíceps braquial, 84
- músculo gastrocnêmio, 229
- músculo oblíquo externo do abdome, 150
- plantar, 231, 232, 233, 234
- aqueduto do mesencéfalo, 21, 45, 47, 51
- arco justacólico, 186
- arco palmar (arterial), profundo, 76, 78, 88
- arco palmar (venoso), superficial, 78, 87
- arco palmar profundo (arco arterial), 76, 78, 88
- arco venoso
- na mão
- dorsal, 86
- palmar superficial, 78
- no pé, dorsal e plantar, 217
- arco venoso plantar, 217
- aréola da mama, 120
- artéria
- circunflexa anterior do úmero, 76
- circunflexa posterior do úmero, 76
- artéria apendicular, 130, 185
- artéria apical (lobo superior), 110
- artéria auricular, posterior, 33
- artéria axilar, 76, 79, 108
- esquerda, 103
- artéria basilar, 16, 21, 22, 33, 38, 43, 46, 47, 49
- bifurcação, 45
- artéria braquial, 76, 82, 83, 84
- profunda (artéria braquial profunda), 76, 84
- ramos musculares, 76
- artéria bronquial, 116
- artéria calcarina, 38
- artéria calosomarginal, 36, 45, 48
- artéria cerebelar
- inferior anterior, 17, 38
- inferior posterior, 38, 64
- origem, 38
- ramo hemisférico, 38
- segmento inferior do verme, 38
- segmento medular, 38
- segmento retrotonsilar, 38
- segmento supratonsilar, 38
- superior, 38, 40, 49
- atrás do tronco encefálico, 38
- ramo do verme, 38
- ramo hemisférico, 38
- ramos talamoperforantes, 38
- artéria cerebral
- anterior, 36, 40, 45, 46, 47, 48
- ramo frontal interno, 36
- posterior, 19, 21, 36, 38, 44, 49
- na cisterna ambiens, 38, 40
- na cisterna interpeduncular, 38
- parte pré-comunicante, 40
- porção quadrigeminal, 38, 40
- ramos coriáceos posteriores, 38
- ramos do esplênio, 38
- ramos talamoperforantes, 38
- médio, 21, 36, 45, 46, 47, 48, 49
- joelho, 36, 39
- ramo de segunda ordem, 45
- ramos angulares, 36
- ramos insulares, 36, 39
- ramos parietais veja artéria parietal
- ramos temporais anteriores, 36
- artéria cerebral posterior
- segmento pré-comunicante, 40
- artéria cervical, ascendente, 33, 117
- artéria circunflexa da escápula, 76
- artéria circunflexa ilíaca profunda, 187
- artéria circunflexa umeral veja artéria circunflexa do úmero
- artéria cólica
- direita, 185
- esquerda, 185, 186
- ramo ascendente, 186
- ramo descendente, 186
- média, 185
- artéria comunicante
- anterior, 36, 40, 45
- posterior, 36, 38, 40
- artéria coriácea, anterior, 36
- artéria digital palmar
- comum, 78, 88
- própria, 88
- artéria do calcâneo, medial, 217
- artéria do labirinto, 43
- artéria do pênis, 198
- dorsal, 198
- profunda, 198
- artéria do sulco central, 36
- artéria dorsal do pé, 217
- artéria epigástrica, superficial e inferior, 133
- artéria espinal, anterior, 38, 64, 65
- artéria esplênica, 141, 142, 149, 191
- ponta de cateter na, 191
- visão em outros planos, 183, 184, 191
- artéria estriada distal medial, 36
- artéria estriada distal medial (recorrente de Heubner), 36
- artéria facial, 33
- ramo labial, 33
- artéria femoral, 134, 139, 219, 220, 221, 222, 223
- circunflexa femoral lateral, 187, 216
- circunflexa femoral medial, 216
- comum, 151, 152, 157, 161, 162, 168, 216
- direita, cateter introduzido na região distal da parte abdominal da aorta, 187
- esquerda, cateter introduzido na região distal da parte abdominal da aorta, 216
- parte intertrocanterica, 154
- profunda, 135, 153, 164, 167, 187, 216, 219, 221, 223
- superficial, 135, 153, 164, 187, 216
- artéria femoral profunda, 135, 153, 164, 167, 187, 216, 219, 221, 223
- artéria frênica, 184
- inferior, 194
- ponta de cateter na origem da, 194
- artéria gástrica, 185
- direita, 185
- esquerda, 140, 183, 184
- ponta de cateter na origem da, 185
- ramo esofágico da, 185
- artéria gastroduodenal, 184, 192, 193
- artéria gastromental
- direita, 184, 191
- esquerda, 184, 191
- artéria glútea
- inferior, 134, 187
- superior, 133, 187
- artéria hepática, 174, 183, 184
- comum, 124, 141, 149
- direita, 175, 177, 184
- esquerda, 184
- visões em outros planos, 174, 175, 176, 183, 184
- artéria ileocólica, 131, 183, 185
- artéria ilíaca, 185
- circunflexa ilíaca profunda, 187
- comum, 157, 187
- cintilografia, 236
- direita, 131, 132, 138, 147, 236
- esquerda, 131, 132, 138, 236
- externa, 134, 139, 150, 157, 159, 167, 187, 219, 220
- direita, 132, 147
- esquerda, 132
- interna, 159, 187
- direita, 1, 132
- esquerda, 132
- ramos, 156
- tronco anterior da, 187
- tronco posterior da, 187
- artéria iliolumbar, 187
- artéria infraorbital, 33
- artéria intercostal, 108, 116, 117
- esquerda, décima primeira, cateterização seletiva, 66
- artéria interóssea
- anterior, 76, 85
- comum, 76
- posterior, 76
- artéria interventricular, anterior
- esquerda, 113
- artéria lingual, 33
- artéria mamária interna veja artéria torácica, interna
- artéria maxilar, 33, 36
- artéria meníngea média, 33
- artéria mesentérica
- inferior, 130
- arteriografia, 186
- ponta de cateter na, 186
- ramos sigmóides da, 141, 186
- visões em outros planos, 186, 187
- superior, 105, 107, 127, 129, 138, 140, 148, 191
- arteriografia, 191
- ponta de cateter na, 185, 191
- projeções não transversais, 175, 177, 183, 185, 191, 192, 193
- ramos ileais, 131, 139, 185
- ramos jejunais, 131, 139, 183, 185
- artéria metacarpal palmar, 78
- artéria occipital, 33, 36
- medial, ramo calcarino (artéria calcarina), 38
- artéria oftálmica, 23, 36
- ramo etmoidal, 36
- artéria operculofrontal, 36
- artéria orbitofrontal, 36
- artéria pancreática
- dorsal, 184
- extremidade de cateter na, 192, 193
- magna, 184
- transversa, 184, 192, 193

- artéria pancreática inferior, 184, 192, 193
- artéria pancreatoduodenal inferior, 185
- ramo anterior, 192, 193
- ramo posterior, 192, 193
- superior, 184
- ramo anterior, 192, 193
- ramo posterior, 192, 193
- artéria paracentral, 36
- artéria parietal (ramos parietais da artéria cerebral média)
- inferior interna, 36
- posterior, 36
- artéria parietoccipital, 38
- artéria perfurante, 216
- artéria pericalosa, 36
- ao redor do corpo caloso, 36
- ramo orbitofrontal, 36
- artéria perineal, 198
- artéria plantar
- lateral, 217
- medial, 217, 232, 234
- artéria polar frontal, 36, 45
- artéria poplítea, 217, 221, 222, 224, 227, 228
- artéria principal do polegar, 78
- artéria profunda do pênis, 198
- artéria pudenda, interna, 198
- artéria pulmonar, 93, 110, 112, 115, 138
- arteriografia, 110
- cateter em artéria principal, 110
- direita, 90, 91, 97, 102, 105, 107, 109, 110, 112, 140
- lobo inferior, 95
- lobo superior, 97, 102, 109
- esquerda, 90, 91, 96, 100, 101, 104, 105, 106, 108, 112, 140, 149
- fetal, 203
- lobo inferior, 110
- lobo médio, 110
- lobo superior, 110
- direito, 97, 102, 109
- artéria radial, 76, 78, 84, 85, 86
- artéria radicular anterior (de Adamkiewicz), 66
- artéria recorrente radial, 76
- artéria recorrente ulnar, 76
- artéria renal, 194
- accessória, 183
- direita, 127, 129, 140
- visões em outros planos, 175, 177, 183
- esquerda, 126, 141
- visões em outros planos, 183
- ponta de cateter na, 194
- principal, 194
- artéria retal, superior, 186
- artéria sacral
- lateral, 187
- média, 187
- artéria subclávia, 33
- direita, 33, 102, 117
- esquerda, 92, 96, 100, 101, 103, 104, 105, 106, 108, 117
- artéria subescapular, 76
- artéria submentual, 33
- artéria supraescapular, 33, 117
- artéria temporal
- anterior, 36
- inferior, 38
- posterior, 36, 38
- superficial, 33
- artéria testicular, esquerda, 129, 131
- artéria tibial
- anterior, 216, 217, 229
- ramos musculares, 216, 217
- posterior, 216, 217, 229, 230, 231, 233
- ramos musculares, 216, 217
- artéria tireóidea, 33
- inferior, 33, 117
- superior, 33
- artéria torácica
- interna, 96, 108, 117, 120, 121
- direita, 33, 103
- esquerda, 33, 103
- ramo perfurante anterior, 120, 121
- lateral, 76
- ramos intramamários da, 120
- superior, 76, 117
- artéria toracoacromial, 76
- ramo deltóideo, 117
- artéria ulnar, 76, 78, 85, 86, 87
- ramo carpal palmar, 78
- ramo palmar profundo, 78
- artéria uterina, 187
- artéria vertebral, 28, 33, 38, 39, 40, 42, 46, 47, 50, 117, 124
- no forame transverso do atlas, 38
- ramo meníngeo, 38
- refluxo de meio de contraste em, 33
- sulco (no atlas), 61
- artérias arqueadas, 194
- artérias carótidas, 36, 37
- comum, 28, 29, 33, 62
- direita, 33, 102, 117
- esquerda, 33, 92, 96, 100, 101, 104, 106, 108, 117, 140
- externa, 25, 33
- ponta de cateter em, 33
- interna, 9, 14, 16, 21, 22, 23, 25, 32, 33, 40, 42, 43, 48
- bifurcação, 45
- parte cervical, 36
- parte cerebral, 36, 44
- parte petrosa, 33, 36
- parte caverosa, 9, 36, 44, 46
- artérias carótidas internas, 36, 44
- artérias centrais anterolaterais, 36
- artérias coronárias, 113
- angiografia, 113, 114
- direita, 105, 107, 109, 113, 114, 115, 117
- ramo interventricular posterior, 114
- esquerda, 113, 114, 115
- artéria circunflexa veja ramo circunflexo
- ramo interventricular anterior, 96, 108, 113, 114, 115
- tronco principal, 113
- artérias do joelho
- inferior lateral, 216, 217
- inferior medial, 216, 217, 225
- superior lateral, 216, 225, 226
- superior medial, 216, 217, 225, 226
- artérias interlobares, 194
- artérias lobares, 194
- artérias lombares, 130, 183, 185
- artérias septais, 113
- interventricular posterior, 113
- artérias sigmóideas, 141, 186
- artérias suprarenais, superior, 194
- artérias veja vasos sanguíneos e artérias específicas
- arteriografia bronquial, 116
- arteriografia gastroduodenal, seletivo, 193
- arteriografias
- artéria e veia gástricas, 185
- artérias mesentéricas
- inferior, 186
- superior, 191
- coronária, 113, 114
- do pênis, 198
- espinal, 66
- gastroduodenal, seletiva, 193
- membro inferior, 216, 217, 218
- membro superior, 76
- subtração veja angiografia por subtração
- tórax
- artérias pulmonares, 110-11
- ramos bronquiais, 116
- arteriografias com subtração digital veja angiografia por subtração
- articulação acromioclavicular, 79, 145
- cintilografia, 235
- articulação atlantoaxial, 57, 58
- articulação calcaneocubóidea, 233
- articulação costotransversária, 96
- articulação costovertebral, 96
- articulação do quadril, 197
- articulação dos processos articulares, 62
- C2/C3, 61
- C3/C4, 56
- L4/L5, 59
- L5/S1, 165
- articulação esternoclavicular, 96, 109
- articulação facetária veja articulação dos processos articulares
- articulação sacroilíaca, 59, 60
- feminina, 142, 144, 154, 158, 173
- masculina, 133, 165
- visões em outros planos, 173, 179, 197
- articulação talocalcânea
- face articular média, 233
- posterior, 233
- articulação talofibular, 230
- articulação talonavicular, 233
- articulação tibiofibular
- distal, 212, 230, 231
- proximal, 224, 226
- articulações veja articulações específicas e entradas no termo articular
- articulações temporomandibulares, 7, 32
- fossa mandibular, 14
- tubérculo articular, 3
- articulações uncovertebrais
- C2/C3, 61
- C3/C4, 61
- artrografia por ressonância magnética ombro, 79-81
- quadril, 220
- artrografia, RM veja artrografia por ressonância magnética
- atlas (C1), 56
- arco, 4
- anterior, 3, 8, 13, 14, 22, 32, 46, 47, 50, 56, 57, 61, 64
- posterior, 13, 25, 46, 47, 56, 61
- corpo, 56
- forame transverso veja forame transversário
- ligamento transverso, 61
- massa lateral, 2, 13, 15, 50, 56, 57, 61, 64
- processo espinhoso, 56
- processo transverso, 12, 13, 15, 57, 61
- processos articulares veja processo articular
- tubérculos, 13, 64
- átrio
- direito, 77, 90, 102, 104, 105, 109, 112, 115, 138, 140, 146, 148
- aurícula, 87, 109
- Exame de PET/TC, 239
- fetal, 203
- margem, 90
- esquerdo, 91, 96, 100, 104, 105, 106, 108, 111, 115, 140, 142, 149
- aurícula, 90, 96, 100, 108, 111, 115
- fetal, 203
- margem, 91
- suprimento coronário, 113
- septo veja septo interatrial
- aurícula
- veja átrio
- orelha externa, 3, 7, 42
- áxis (C2), 8, 14
- base, 13
- corpo, 25, 50, 56, 57, 61
- dente do áxis, 2, 4, 6, 8, 13, 14, 22, 25, 46, 47, 50, 56, 57, 61, 64
- forame transverso, 13
- lâmina, 61
- lateral, 56
- pedículo, 61
- processo articular, superior, 57
- processo espinhoso, 56, 57, 61
- processo transverso, 57
- B**
- baço, 95, 139, 140, 142, 149
- visões em outros planos, 172, 175, 177, 191
- cintilografia, 236
- exame de PET/TC, 239
- bainha do músculo reto do abdome, 161
- banda moderadora veja trabécula septomarginal
- básio, 13
- bexiga urinária, 132, 134, 137, 139, 142, 147, 148, 151, 152, 153, 157, 158, 159, 160, 162, 166, 169, 170, 189, 219, 220
- base e colo, 152, 198
- cheia, 199
- cintilografia, 235
- esfíncter interno, 156
- exame de PET/TC, 239
- fetal, 200, 201, 203
- meio de contraste em, 188, 198
- trígono, 153, 156, 159
- visões em outros planos, 188, 189, 196, 197, 199, 219
- bigorna, 9, 15
- bloqueio de mordida, 34
- broncografia
- pulmão direito, 119
- pulmão esquerdo, 118
- brônquio
- carina da traqueia bifurcando-se para, 90, 96, 100, 108, 142
- intermédio, 92, 118, 140
- lingular, 92
- inferior, 94, 118
- superior, 95, 118
- lobo inferior do segmento apical, 94
- lobo inferior, 119
- direito, 95, 97, 109
- esquerdo, 92, 94, 96, 108
- segmento apical, 94
- lobo médio, 95
- lobo superior
- direito, 93, 97, 109, 119, 140
- esquerdo, 92, 96, 108, 140
- principal
- direito, 58, 90, 91, 93, 97, 102, 104, 105, 106, 109, 118, 119, 140, 142
- esquerdo, 58, 90, 92, 96, 100, 101, 104, 105, 106, 108, 118, 140, 142
- segmentar anterior, 92, 118, 119
- segmentar apical, 118, 119
- segmentar apicoposterior, 118
- segmentar basilar anterior, 94, 118, 119
- segmentar basilar lateral, 94, 118
- segmentar basilar medial, 95, 118, 119
- segmentar basilar posterior, 95, 118, 119
- segmentar lateral, do lobo médio, 94, 119

- segmentar medial, do lobo médio, 95, 119
segmentar posterior, 93, 119
brônquio segmentar lingular, 92 inferior, 94
bulbo, 16, 42, 46, 47, 51
bulbo da veia jugular, 33, 37, 39, 41
bulbo do olho, 9, 10, 12, 18, 20, 22, 23, 45
câmara anterior, 21, 23
câmara vítrea, e humor, 21, 23 lente, 23, 44
- C**
C1 veja atlas
C1/C2 forame intervertebral, 61
C2 veja âxis
C2/C3
articulação dos processos articulares, 61
articulação uncovertebral, 61
C3
corpo, 25
processo espinhoso, 56
unco do corpo, 63
C3/C4
articulação dos processos articulares, 56
articulação uncovertebral, 56
disco intervertebral, 56
C4
corpo, 25
lâmina, 56
parte interarticular, 56
pedículo, 56
processo espinhoso, 56
processo transverso, 56
veja processos articulares unco do corpo, 56
C5
corpo, 57
lâmina, 57
processo espinhoso, 57
processo transverso, 56, 57
veja processos articulares unco do corpo, 57
C6
corpo, 58
lâmina, 56
pedículo, 56
C7
corpo, 62
parte interarticular, 56
processo transverso, 56, 64
C7/T1, forame intervertebral, 56
C8, raízes do nervo, 64
forame intervertebral, 56
cadeia lombar de linfonodos ascendente, 204, 205, 206
cruzamento, 204, 205
cadeia simpática, pelve, 155
calcâneo, 125, 212, 214, 231, 232, 233, 234
aspecto posterior, centro para, 213, 215
menina, 213
processo lateral e medial, 212
sustentáculo do tálus, 212, 231, 232, 233
tubérculo anterior, 233
cálice
maior, 196, 197
menor, 196, 197
polo superior, 194
calvária do crânio, 45
lâmina interna, 45
lâmina externa, 45
câmara anterior do bulbo do olho, 20, 23
câmara do olho veja bulbo do olho
câmara postrema do bulbo do olho e humor vítreo, 21, 23, 44
- canais ópticos, 11, 13
canais semicirculares, 9, 15, 17 superior, 4
canal anal, 134, 153, 154, 160, 165, 166, 169, 223
canal auditivo veja meato acústico
canal do pudendo 152, 154, 159
canal dos adutores, 222
canal femoral, 152, 157, 168
canal incisivo, 8
canal inguinal, 168, 170
canal pterigóideo (canal vidiano), 10, 11
canal sacral
central, 150
parte superior e inferior, 60
canal semicircular
horizontal, 50
posterior, 43, 50
superior, 44, 50
canal vertebral, 97, 143, 144, 148 fetal, 202, 203 sacral, 60
canalículos lacrimais, 23
capitato, 73, 74, 75, 86
capítulo do úmero, 70, 71, 72, 82, 83
cápsula
articular veja cápsula articular de substância branca veja cápsula externa; cápsula interna
cápsula articular
articulação do joelho, posterior, 227
articulação do ombro anterior, 79 posterior, 80
cápsula externa, 45, 48
cápsula interna
exame de PET, 238
membro posterior, 45
ramo anterior, 45, 48
cápsula interna, exame de PET, 238
carina (bifurcação da traqueia para o brônquio esquerdo/direito), 90, 96, 100, 108, 142
carpo, 75
cartilagem aritenóidea, 28
cartilagem articular, tomazelo, 233
cartilagem costal anterior, 103 feminina, 136
cartilagem cricóidea, 29, 32
cartilagem tireóidea, 29, 61 lâmina, 27
cartilagem triradiada, 209
cauda equina, 62, 63, 65
cavidade do septo pelúcido, 52, 53, 202 fetal, 202
cavidade glenoidal, 68, 69, 79 veja lábio
cavidade nasal, 8
meato superior, 10
meato inferior, 8, 10
meato médio, 8, 10
cavidade oral, 29
cavidade peritoneal, extravasamento de meios de contraste na, 195
cavidade pulpar do dente, 34
cavidade timpânica (cavidade da orelha média), 9
parte inferior (hipotímpano), 14
parte superior (epitímpano), 14
teto (tegme timpânico), 6
cavidade trigeminal, 17, 18
gânglio trigeminal na, 49
ceco, 131, 132, 137, 139, 141, 157, 167, 172
visões em outros planos, 172, 179, 180, 181
células etmoidais, 2, 6, 3, 8, 21, 23, 43 anterior, 9, 10 média, 9
- células mastóideas, 8, 15, 43, 51
centro semioval (*centrum semiovale*), 45
centro semioval, 45
cerebelo, 46, 47, 52, 53 fetal, 202
hemisférios, 16, 46, 51
exame de PET, 238
folhas, 42, 46, 47, 51
lobo floculonodular, 43
nódulo, 51
núcleo denteado, 51
tentório do cerebelo, 46
tonsila, 42, 47, 51
verme inferior, 43 superior, 44
cérebro do recém-nascido, 52-3
cérebro neonatal, 52-3
cintilografia hepatobiliar, 235
cisterna
ambiente veja cisterna ambiens
cerebelobulbar posterior veja cisterna magna
colicular, 45
interpeduncular veja cisterna interpeduncular
oculomotora, 18
pontina, 46, 47, 49
suprasselar veja cisterna suprasselar
cisterna ambiens, 18, 44
artéria cerebral posterior em, 38, 40
nervo abducente em, 50
cisterna cerebelobulbar posterior veja cisterna magna
cisterna colicular, 45
cisterna do quilo, 205, 206
cisterna interpeduncular, 18, 50
artéria cerebral posterior em, 38
cisterna magna (cisterna cerebelobulbar posterior), 43, 46, 47, 51, 64 fetal, 202
cisterna oculomotora, 18
cisterna pontina, 46, 47, 49
cisterna suprasselar, 45, 48
quiasma óptico na, 46, 47
cisto de corpo lúteo, 155, 156, 158
claustro, 45
clavícula, 27, 56, 58, 69, 79, 90, 96, 100, 108, 136, 138, 145, 149
cintilografia, 235
clivo, 3, 9, 13, 17, 22, 43, 53, 64 inferior veja parte basilar do occipital
côccix, 60, 159, 197
feminino, 148, 151, 160
segmento, 173
masculino, 134, 163, 169
cóclea, 9, 15, 43, 50
colangiopancreatografia endoscópica retrógrada, 182
RM, 182
colículo inferior, 44, 46, 51
seminal, 198, 199
superior, 45, 46, 47, 51
colo, 181
arco justacólico, 186
ascendente, 124, 126, 128, 130, 132, 137, 139, 140, 143, 148
projeções não transversais, 172, 179, 180, 181
descendente, 62, 126, 130, 137, 139, 140, 143, 148, 155, 166
projeções não transversais, 172, 180, 181
flexuras veja flexura direita do colo; flexura esquerda do colo
saculações, 180
sigmoide veja colo sigmoide
transverso veja colo transverso
colo veja colo do útero
- ligamento redondo, 151, 152
ligamento transverso do colo, 151, 159
colo do útero, 144, 148, 155, 160, 195 em ultrassom fetal, 200, 201
óstio, 161
externo, 150, 161
interno, 150, 161
parede, 151, 161
colo sigmoide, 133, 135, 139, 140, 143, 144, 147, 148, 150, 155, 156, 158, 161, 166, 168, 169
visões em outros planos, 172, 180, 181
colo transverso, 127, 129, 130, 136, 157, 158
visões em outros planos, 179, 180, 181
colonografia, TC, 181
coluna/vértebras lombares, 59, 66
corpo veja corpo vertebral
exame de PET/TC, 239
veja também L1; L2 etc.
coluna vertebral, 55-63
cintilografia, 235
exame de PET/TC, 239
fetal, 202, 203
região cervical, 61
coluna vertebral (espinha) veja coluna vertebral
coluna vertebral (região cervical), 61
cintilografia, 235
veja também C1; C2 etc.
coluna vertebral/vértebras torácicas, 58
cintilografia, 235
veja corpo vertebral
veja discos intervertebrais
exame de PET/TC, 239
veja também T1; T4 etc.
comissura anterior, 21, 45, 47 posterior, 45
comprimento cabeça-nádega, 200
concha nasal inferior, 2, 8, 10, 30, 42 média, 8, 10, 13, 30 superior, 9, 10
concha veja conchas nasais
conchas nasais veja turbinados
côndilos da mandíbula, 3, 4, 12, 32
cabeça, 7, 8, 14, 34
colo, 7, 8, 34
lateral do fêmur, 210, 224, 225, 226, 228
eminência, 228
lateral e medial da tibia, 210
medial do fêmur, 210, 224, 225, 226, 228
occipital, 8, 13, 42, 61
cone arterial (cone pulmonar; trato de saída do fluxo ventricular direito), 105, 107, 112, 115, 136, 149
cone medular, 62, 63, 65
confluência dos seios, 37, 39, 41, 44
coração, 94, 112-15, 120, 121, 237
reconstruções em 3D, 115, 237
silhueta em cintilografia pulmonar, 236
ultrassom fetal, 200, 201, 203
cordão umbilical, 202, 203
corioide, 23
córnea, 23
corno frontal do ventrículo lateral, 45, 48
corno occipital do ventrículo lateral, 45
corno temporal do ventrículo lateral, 44, 49
coroa do dente, 34
coroa radiada, 45, 46, 49
exame de PET, 238
corpo adiposo

- corpo adiposo (cont.)
 tornozelo, 233
 cotovelo, anterior, 80
 infrapatelar, 227, 228
 corpo adiposo da órbita, 22
 corpo adiposo pararenal, 126, 128
 corpo anococcígeo, 169
 corpo caloso, 52
 artéria pericalosa em extensão ao redor, 36
 corpo, 46, 47, 48, 53
 esplênio, 45, 46, 47, 51, 53
 exame de PET, 238
 joelho, 45, 46, 47, 48, 53
 exame de PET, 238
 corpo cavernoso, 134, 163, 164, 167, 168, 169, 170, 198
 cavernosografia, 198
 ramo do pênis, 134, 164, 167
 corpo cavernoso do pênis veja corpo cavernoso
 corpo ciliar, 21
 corpo do períneo, 153, 155, 160
 corpo esponjoso, 167, 168, 169
 corpo mamilar (do hipotálamo), 19, 45, 50
 corpo vertebral, 58, 96, 104, 108, 124, 126, 130, 175, 177
 C3, 25
 C4, 25
 C5, 57
 C6, 58
 C7, 62
 discos epifisiais anulares para veja discos epifisiais anulares
 fetal, 202, 203
 lombar
 cintilografia, 235
 L1, 59, 142
 L2, 65
 L3, 63, 235
 L5, 148, 165, 166, 197
 sacral, 159
 torácico, 239
 exame de PET/TC, 239
 T11, 58
 T12, 148
 T6, 58
 corpos geniculados, medial e lateral, 21
 córtex calcarino, 21, 44
 córtex olfatório, 48
 córtex orbital do lobo frontal, 46, 47
 córtex visual, primário (córtex calcarino), 21
 costelas, 58, 136, 144, 145, 146
 cabeça, 16
 décima segunda, 59, 65, 129, 130, 144, 172, 197
 décima, 145
 fetais, 202
 primeira, 56, 57, 58, 64, 90, 146
 cintilografia, 235
 quinta, cintilografia, 235
 cotovelo, 71-2, 82-5
 coxa, 221-3
 artéria femoral profunda, 135, 153, 164, 167, 187, 216, 219, 221, 223
 fásia profunda da (*fascia lata*), 150, 152, 163, 164, 165, 166, 228
 fetal, 202, 203
 crânio (crânio), 2-5
 calvária veja calvária
 cintilografia, 235
 fetal, ultrassom, 202
 crista etmoidal, 2, 10, 21, 45
 crista intertrocântica do fêmur, 208
 crista supraepicondilar, medial, 83, 84
 cuboide, 212, 213, 214, 215, 230, 232, 234
 cuneiforme
 intermediário, 213, 214, 215, 230, 234
 lateral, 212, 213, 214, 215, 230, 234
 medial, 214, 215, 230, 233, 234
- D**
 dedos dos pés, falanges, 214, 215, 216
 dente canino, 34
 dente do eixo, 2, 4, 6, 8, 13, 14, 22, 25, 46, 47, 50, 56, 57, 61, 64
 dentes, 34
 dentes decíduos, 34
 dentição, 34
 diafragma, abdominotorácico, 124, 194
 direita (hemidiafragma), 97, 137, 141, 143, 144, 147
 abóbada, 90, 91, 105, 107, 175, 177
 pilar, 129, 141, 143, 144, 148
 esquerdo (hemidiafragma), 96, 137, 141, 143, 144, 149
 abóbada, 90, 91, 105, 107, 174, 176
 pilar, 126, 128, 143, 144
 diafragma urogenital (períneo transverso)
 feminino, 154, 156, 159
 masculino, 167
 diástole
 angiografia do ventrículo esquerdo em, 113
 final do veja diástole
 diástole final
 reconstruções em 3D do ventrículo esquerdo em, 237
 volume de acúmulo de sangue dentro do ventrículo esquerdo em, 237
 díploe, 3, 45
 discos
 articular, da articulação temporomandibular, 7
 intervertebral veja discos intervertebrais
 discos articulares das articulações temporomandibulares, 7
 veja também discos intervertebrais
 discos epifisiais anulares do corpo vertebral (região torácica), 58
 veja discos epifisiais anulares
 discos intervertebrais
 C3/C4, 56
 lombares
 indentação na margem tecal anterior, 65
 L4/L5, 59, 167, 169
 lombossacrais (L5/S1), 155, 159, 160
 sacrais, espaço do, 60
 torácicos, 58
 núcleo pulposo de T5/T6, 62
 dorso da sela turca, 3, 4, 13, 14, 21, 22
 ducto cístico, 174, 176, 182
 ducto colédoco, 126, 174, 176, 182, 235
 ducto deferente, 133, 170, 199
 ampola, 199
 ducto ejaculatório, esquerdo, 199
 ducto hepático
 comum, 182
 direito, 182
 esquerdo, 182
 ducto lacrimonasal 9, 10, 11, 13, 23, 43
 veja também saco lacrimal
 ducto pancreático, 126, 174, 182
 acessório, 182
 parte ampular, 182
 ducto pancreático acessório (ducto de Santorini), 182
 ducto parotídeo, 42
 ducto submandibular, 35
- ducto torácico, 205, 206
 ductos intralobulares, 182
 duodeno
 exames baritados com duplo contraste, 178
 flexura duodenojejunal, 129
 parte ascendente, 129
 parte descendente, 124, 126, 128
 visões em outros planos, 178, 179, 182, 235
 parte horizontal, 128, 178
 cintilografia, 235
 parte superior, 127, 139, 178
- E**
 eminência arqueada do osso temporal, 4, 12, 50
 eminência articular do osso temporal, 7
 eminência intercondilar, tubérculos, 210
 encéfalo, 16-17, 36-53
 fetal, 202
 exame metabólico de PET, 238
 vasos, 36-41
 neonatal, novo, 52-3
 endométrio, 161
 epicôndilos
 femoral, lateral e medial, 210
 umeral, 70, 71, 72, 73, 82, 83, 84
 epidídimo, 134
 cabeça, 168, 169
 corpo, 169
 epiglote, 24, 26, 29, 32, 56, 61
 epitímpano, 14
 escafoide, 73, 74, 75, 86
 escápula, 68, 80, 91, 145
 acrômio, 68, 69, 79
 cintilografia, 235
 coluna, 68, 80, 90
 processo coracoide, 68, 69, 79
 escavação retouterina, 151, 155, 161
 esclera, 23
 esfíncter
 externo do ânus externo, 134, 154, 160
 esôfago, 27, 93, 96, 109, 140, 142, 148
 entrada, 29
 exame de PET/TC, 239
 espaço do períneo
 profundo, 156
 superficial, 156
 espaço extradural, 62, 63
 espaço laríngeo, 29
 espaço parafaríngeo, 8
 espaço profundo do períneo, 156
 espaço retropúbico (cavo de Retzius), 152, 159, 160, 161, 169
 espaço subaracnóideo
 extensão lateral ao redor das raízes do nervo espinal, 65
 líquido cerebrospinal e, 62
 meio de contraste
 região cervical, 64
 região lombar, 65
 nervos espinais no, 65
 espinha veja coluna vertebral
 espinha nasal anterior, 13, 34
 esplênio do corpo caloso veja corpo caloso
 esterno, 91, 93, 102, 120, 136, 149
 cintilografia, 235
 corpo do, 96, 104, 105, 106, 108, 136
 exame de PET/TC, 239
 fetal, 203
 manúbrio do veja manúbrio xifostemo veja processo xifoide
 estômago, 95, 148
 antro, 137, 178
 corpo, 124, 126, 137, 172, 178
 curvatura maior do, 124, 178
 curvatura menor do, 126, 178
 exames baritados com duplo contraste, 178
 fetal, 202, 203
 fundo, 90, 91, 124, 137, 140, 142, 149, 172, 178
 acúmulo de bário, 178
 parte pilórica, 127, 178
 pregas, 178
 visões em outros planos, 172, 178, 179
 estudos com bário
 estômago/duodeno, 178
 acúmulo de bário no estômago, 178
 intestino delgado, 179
- F**
 face articular veja processos articulares
 face temporal da asa maior do esfenóide, 2
 falanges
 dedos das mãos, 74, 75, 87, 88
 dedos dos pés, 214, 215, 234
 faringe, 24-32
 veja também parte nasal, parte oral, parte laríngea
 fásia
 peitoral, anterior, 120, 121
 renal, 127, 129
 subcutânea (abdome), 129
 toracolombar, 62, 159, 161
 fásia inferior do diafragma da pelve (de Waldeyer), 151, 159, 161
 fásia lata, 150, 152, 163, 164, 165, 166, 228
 fásia profunda da coxa (fásia lata), 150, 152, 163, 164, 165, 166, 228
 fásia subcutânea (abdominal), 129
 fásia toracolombar, 62, 159, 161
 feixe neurovascular
 no canal obturatório, 154, 156, 158, 167
 pudendo interno, 152, 154, 159
 retal inferior, 155, 164, 165
 fêmur, 142, 208, 209, 210, 211, 221, 222
 cabeça, 134, 139, 141, 149, 152, 162, 163, 165, 167, 198, 208, 209, 219, 222, 223
 centro para, 209
 cintilografia, 235
 fóvea (fóvea da cabeça), 165, 167, 208
 ligamento (ligamento da cabeça do fêmur), 135, 163
 colo, 135, 152, 163, 165, 167, 208, 209, 220, 223
 côndilos veja côndilos
 diáfise, cintilografia, 235
 epicôndilos, lateral e medial, 210
 fetal, 202, 203
 medição do comprimento, 203
 fossa intercondilar, 209
 intertrocântico, 208
 linha epifisial, 208, 209, 211
 trocarter maior, 134, 145, 151, 152, 158, 163, 166, 208, 219, 220, 223
 centro de ossificação do, 209
 cintilografia, 235
 trocarter menor, 135, 153, 155, 163, 164, 167, 208
 centro de ossificação do, 209
 tubérculos intercondilares, 210
 fenda internuclear, 63
 fenda natal, 58, 151, 164
 fibula, 211, 212, 213, 229, 230, 232, 233

- ápice da cabeça, 210
 cabeça, 210, 224, 226
 centro de ossificação do, 211
 colo, 210
 distal, centro de ossificação do, 213, 215
 maléolo lateral, 212
 fígado, 95, 120, 121, 144, 149, 182, 235
 abóbada, 239
 fetal, 202, 203
 veja lobos
 segmentos 1-8 do, 125
 visão em outros planos, 172
 cintilografia, 235, 236
 exame de PET/TC, 239
 filamento terminal, 148, 161
 fissura horizontal, 84, 91, 92, 94
 veia cerebral magna, 39
 fissura longitudinal do cérebro, 45
 fissura oblíqua, 93, 95
 direita, 91
 esquerda, 91
 fissura orbital
 inferior, 9, 11, 13
 superior, 2, 6, 9, 11, 13
 fissura orbital, inferior, 10
 flexura direita do colo, 127, 129, 136, 139, 140, 146
 visões em outros planos, 172, 180, 181
 flexura esquerda do colo, 124, 126, 128, 136, 139, 140
 fluido amniótico, 202, 203
 fluorodesoxiglicose no exame de PET do encéfalo, 238
 foice do cérebro, 45, 48, 52
 fetal, 202
 forame
 abertura lateral do 4º ventrículo, 17, 43, 51
 abertura mediana do 4º ventrículo, 42, 51
 alveolar, inferior (do ramo mandibular), 61
 esfenopalatino, 11
 estilomastóideo *veja* forame estilomastóideo
 incisivo, 13
 infraorbital, 6
 interventricular, 46, 47, 50, 57
 intervertebral *veja* forame intervertebral
 isquiático, 145
 jugular, 15, 16, 43
 obturado, 173, 208, 209
 palatino, maior, 12
 sacral, anterior, 60, 133, 173
 transverso *veja* forame transversário
 forame alveolar, inferior, do ramo mandibular, 61
 forame esfenopalatino, 11
 forame espinhoso, 9
 forame estilomastóideo, 15
 nervo facial, 17
 forame incisivo, 13
 forame infraorbital, 6
 forame interventricular, 46, 47, 50, 57
 forame intervertebral
 C7/T1, 56
 cervical, 61
 lombar, 59, 63
 ponta de cateter em, 66
 forame isquiático, 145
 forame jugular, 15, 16, 43
 forame lacerado, 9, 14
 forame magno, 4, 42, 46, 47, 51, 62, 64
 forame neural *veja* forame intervertebral
 forame obturado, 173, 208, 209
 forame palatino, maior, 12
 forame redondo, 2, 9, 11
 forame sacral anterior, 60, 133, 173
 forame sacral pélvico, 60, 133, 173
 forame transversário, 64
 de C1 (atlas), 61
 artéria vertebral de saída, 38
 de C2 (eixo), 13
 fórceps occipital e frontal, 45
 fôrnice
 da vagina, posterior, 151, 156, 161
 do cérebro, 209
 fossa cubital, 235
 fossa do crânio
 anterior, assoalho, 6
 posterior, 16-17
 fossa hipofisial *veja* sela turca
 fossa intercondilar, 209
 fossa intratemporal, 49
 fossa isquiaoanal, 223
 feminina, 151, 152, 154, 158, 161
 masculina, 134, 163, 164, 165, 166, 169, 170
 fossa mandibular da articulação temporomandibular (ATM), 14
 fossa pterigoide, 8
 fossa pterigopalatina, 9, 10, 11, 12, 22
 fôvea da cabeça do fêmur, 165, 167, 208
 fundo
 gástrico *veja* estômago
 útero, 150, 157, 161, 195
 vesícula biliar, 174, 176
 funículo espermático, 135, 162, 168, 169, 170
- G**
 gânglio trigeminal na cavidade de Meckel, 49
 genitais, externos, feto masculino, 203
 giro (cerebral)
 do cíngulo, 45, 46, 47, 48
 giro reto, 21
 insular, 45, 48
 pós-central, 45
 pré-central, 45
 giro da ínsula, 45, 48
 giro do cíngulo, 45, 46, 47, 48
 giro pós-central, 45
 giro pré-central, 45
 giro reto, 21
 glândula do pênis, 168, 169, 170
 glândula hipófise, 18, 44, 46, 47, 48
 glândula lacrimal, 20, 44
 glândula parótida, 24, 31, 35, 49
 lobo profundo, 42
 lobo superficial, 42
 glândula pineal, 45, 51
 glândula seminal, 133, 135, 162, 165, 166, 169, 170, 199
 glândula submandibular, 24, 26, 31, 35
 glândula suprarenal, 194
 angiografias, 194
 direita, 127, 142
 esquerda, 126, 194
 glândula tireoide, 27, 29, 32
 istmo da, 29
 lobo, 29
 direito, 33
 glândulas salivares, 35
 veja também glândulas específicas
 globo do olho *veja* bulbo do olho
 globo pálido, 45, 49
 glote, 28
 gordura extraperitoneal (cavo de Retzius/espaco retroúbico), 152, 159, 160, 161, 169
 granulação aracnóidea, 45
- H**
 hamato, 73, 74, 75, 86
 hãmulo, 74, 86
 hãmulo pterigoide, 61
 hemidiafragma *veja* diafragma
 hemisfério, cerebelar *veja* cerebelo
- hipocampo, 44, 49
 hipotálamo
 corpo mamilar, 19, 45, 50
 hipotímpano, 14
 histrossalpingografia, 195
 humor aquoso, 23
- I**
 ileo, 128, 130, 131, 137, 138, 141, 149, 150
 região proximal, 179
 região terminal, 131, 132, 139, 179, 181
 ílio (osso do quadril)
 cintilografia, 235
 crista ilíaca, 59, 60, 165, 173, 209, 220
 centro de ossificação do, 173
 feminina, 137
 espinha ilíaca
 anteroinferior, 150, 173, 208
 anterossuperior, 167, 173
 feminino, 139, 141, 144, 147, 149, 150, 154, 158
 crista, 137, 155, 156
 menina, 206
 masculino, 131, 132, 166, 167
 incisivos, 34
 incisura troclear da ulna, 70
 incisura ulnar do rádio, 74
 incisura vertebral, inferior
 lombar, 59
 torácica, 58
 infundíbulo
 ventrículo direito, 91
 ínio, 3, 43
 inserção deltoidea do músculo levantador da escápula, 29, 54
 intestino delgado, 157, 162, 165, 166, 168, 169, 170
 exame de PET/TC, 239
 mesentério, 137, 138
 veja também regiões específicas
 intestino grosso *veja regiões específicas*
 isquio, 223
 espinha isquiática, 208
 feminina, 208
 masculina, 134, 163
 feminino, 145, 147, 149, 152, 153, 154, 158, 173, 209
 ramo, 173
 masculino, 134, 135, 163, 164, 165, 167, 173
 túber 153, 154, 158, 163, 164, 165, 173, 208, 223
 cintilografia, 235
 isquiocavoso, 164, 167
- J**
 jejuno, 124, 126, 128, 130, 138, 139, 141, 146, 149
 cintilografia, 235
 flexura duodenojejunal, 129
 válvulas coniventes (pregas circulares), 179
 joelho
 artéria cerebral média, 36, 39
 cápsula interna, exame de PET, 238
 veja corpo caloso
 junção anorretal, 153, 163
 junção esofagogastrica, 141
 junção pelviureteral, 196, 197
 junção retossigmóidea, 150, 154, 159, 161, 165
 junção sacrococcígea, 160
 junção vesicoureteral, 153, 196
- L**
 L1, corpo, 59, 142
 L2
 corpo, 65
 lâmina, 59
 processo articular inferior, 59
 L3
 corpo, 63, 235
 processo articular superior, 59
 processo espinhoso, 59, 65
 processo transverso, 59
 L3/L4, agulha de punção lombar no espaço entre, 65
 L4, nervo espinal, 65
 L4/L5 disco articular/intervertebral, 59, 167, 169
 L5, 169, 170
 corpo, 148, 165, 166, 197
 nervo espinal, 65
 processo espinhoso, 154
 processo transverso, 143
 raiz do nervo, 159, 160, 161, 165
 L5/S1
 articulação dos processos articulares, 165
 disco intervertebral, 155, 159, 160
 lábio articular
 da cavidade glenoidal, 28, 79, 80
 do acetábulo, 219, 220
 lábio maior, 137, 163, 157
 lábio menor, 155, 157
 lamela intertubercular do processo transverso de C4, 56
 lâmina (do arco vertebral), 62, 96
 C2, 61
 C4, 56
 C5, 57
 C6, 56
 L2, 59
 lâmina cribiforme (do osso etmoide), 10, 11, 13
 lâmina do processo pterigoide lateral, 8, 11, 42
 medial, 8, 11, 43, 61
 lâmina orbital, 9, 10
 lâmina orbital do osso etmoide (lâmina papirácea), 9, 10
 lâmina orbital do osso frontal, 45
 lâmina perpendicular, osso etmoide, 11
 laringe, 26-9, 149
 lente, 23, 44
 ligamento amarelo, 61, 62, 63
 endantação posterior na dura-máter a partir de, 64
 ligamento calcaneofibular, 231
 ligamento calcaneonavicular plantar, 232
 ligamento cervical, transverso, 151, 159
 ligamento coracoclavicular, 79
 ligamento coracoumeral, 79
 ligamento deltoideo, 231
 porção profunda, 232
 porção superficial, 232
 ligamento glenoumeral inferior, 79
 médio, 80
 superior, 80
 ligamento iliolumbar, 155
 ligamento inguinal
 feminino, 152
 masculino, 168
 ligamento interespinal, 63
 ligamento largo do útero, 151, 155, 156, 159, 161
 ligamento longitudinal anterior, 63
 posterior, 63
 ligamento meniscofemorral, 227
 ligamento meniscofemorral posterior, 227
 ligamento nucal, 25, 62
 ligamento petroclinoideo, 44
 ligamento púbico inferior, 163
 ligamento redondo
 do fêmur (ligamento da cabeça do fêmur), 135, 163, 219, 220
 do útero, 151, 152

- ligamento retouterino, 151
 ligamento sacroilíaco posterior, 159
 ligamento sacrospinal, 135, 151, 163
 ligamento supraespinal, 62
 ligamento suspensor da mama, 121, 122
 do pênis, 167, 168
 ligamento talofibular anterior, 230
 posterior, 230
 ligamento tibiofibular, 232 anterior, 230
 posterior, 230
 ligamento transverso atlas, 61
 joelho, 227
 ligamento transverso do acetábulo, 220
 ligamento transverso do colo, 151, 159
 ligamento transverso do púbis, 163
 ligamento venoso, fissura do, 124, 126, 136
 ligamentos calcaneofibular, 231
 calcaneonavicular plantar, 232
 colateral veja ligamentos colaterais coracoclaviculares, 79
 coracoumeral, 79
 cruzado veja ligamentos cruzados deltóideo veja ligamento deltóideo glenoumeral veja ligamento glenoumeral
 iliolumbar, 155
 inguinal veja ligamento inguinal
 interespinal, 63
 largo (do útero), 151, 155, 156, 159, 161
 longitudinal veja ligamento longitudinal
 longitudinal meniscofemorais, 227
 nuca, 25, 62
 petroclivóideo, 44
 redondo veja ligamento redondo retouterino, 151
 sacroilíaco, dorsal/posterior, 159
 sacrospinal, 135, 151, 163
 supraespinal, 62
 suspensor veja ligamento suspensor talofibular veja ligamento talofibular tibiofibular veja ligamento tibiofibular transverso do acetábulo, 220
 transverso do colo, 151, 159
 transverso do púbis, 163
 transverso veja ligamento transverso
 ligamentos colaterais (do joelho) fibular, 224, 228
 tibial, 228
 porção profunda, 225
 porção superficial, 225
 ligamentos cruzados anterior, 224, 226, 228
 posterior, 224, 225, 228
 ligamentos sacroilíacos posteriores, 159
 linfáticos, 204-6
 linfonodos ilíacos, 204, 205
 inguinais, 168, 204, 205
 cadeia lombar veja cadeia lombar linfonodos ilíacos, comum e externo, 204, 205
 linfonodos inguinais profundos, 204, 205
 linfonodos inguinais superficiais, 168, 204, 205
 língua, 29, 54, 98
 base, 29
 músculo longitudinal, 31
 músculo transverso, 31
 septo da língua, 230
 língua da mandíbula, 61
 linha alba, 168
 linha de gordura properitoneal, 172
 linha epifisial
 cotovelo, 72
 fêmur, 208, 209, 211, 226
 mão, 75
 ombro, 69
 tomazelo, 213
 linha intertrocantérica, 208
 líquido cerebrospinal, coluna vertebral, 62, 63
 lobo caudado do fígado, 125
 lobo floculonodular do cerebelo, 43
 lobo frontal, 45, 48, 53
 exame de PET, 238
 parte orbital do, 46, 47
 lobo occipital, 45, 53
 córtex calcarino, 21, 44
 exame de PET, 238
 lobo parietal, 45, 49, 52, 53
 exame de PET, 238
 lobo temporal, 7, 9, 43, 46, 47, 48, 52, 53
 esquerdo, exame de PET, 238
 unco, 44, 51
 lobos cérebro veja lobo frontal; lobo occipital; lobo parietal; lobo temporal
 fígado direito, 97, 124, 126, 127, 136, 138, 142, 146, 175, 177
 esquerdo, 124, 126, 136, 138, 175, 177
 pulmão inferior, direito, 340
 médio, 120
 segmento anterior do lobo superior, 92, 94
 segmento apical do lobo inferior, 92
 segmento apical do lobo superior direito, 92
 segmento apicoposterior do lobo superior esquerdo, 92
 segmento basilar anterior do lobo inferior, 94
 segmento basilar lateral do lobo inferior, 94
 segmento basilar medial do lobo inferior, 95
 segmento basilar posterior do lobo inferior, 95
 segmento lateral do lobo médio, 92, 94
 segmento lingular superior, 93
 segmento medial do lobo médio, 93, 95
 segmento posterior do lobo superior, 93
 veja também brônquio; artéria pulmonar
 tireoide veja glândula tireoide
M
 maléolo lateral, 212, 230, 231, 232, 233, 234
 medial, 230, 231, 232, 233
 mama (feminina), 90, 120-2, 136
 exame de PET/TC, 239
 mandíbula, 4, 6, 30, 35, 46, 47, 54, 57, 149
 ângulo, 34, 56
 cabeça, 43, 49
 canal alveolar no interior da, 34
 côndilo veja processo condilar corpo, 24, 34
 fossa, 7
 língua, 61
 processo coronoide, 6, 8, 11, 12, 34, 42, 49
 ramo, 2, 6, 8, 11, 14, 31, 34, 42, 61
 manguito rotador, 80
 manúbrio, 90, 93, 97, 102, 105, 107, 108, 136, 146, 149
 martelo, 7, 9, 15
 maxila, 11
 assoalho da órbita, 11
 processo palatino, 6
 processo zigomático, 3, 6
 processo / margem / crista / osso alveolar, 8, 11, 30, 34, 46
 espinha nasal anterior, 13, 34
 meato acústico externo, 3, 7, 9, 15, 32, 64
 interno, 2, 4, 9, 13, 15, 18, 43, 50
 mediastino, 96-109
 anterior, 91
 cintilografia, 236
 exame de PET/TC, 239
 TC coronal, 100-3
 RM sagital, 104-7
 RM axial, 108-9
 TC axial, 96-9
 medição do diâmetro biparietal, 202
 medula espinal, 51, 62-6, 144, 148
 cervical, 25, 46, 47, 61, 62, 64
 fetal, 202
 fissura mediana anterior, 65
 substâncias cinzenta e branca, 62
 torácica, 62, 64, 65
 medula espinal (região cervical), 25, 46, 47, 61, 62, 64
 medula espinal região lombar, 621, 63, 65, 66
 medula espinal região torácica, 62, 64, 65
 membrana interóssea antebraço, 85
 perna, 229, 230
 membro inferior, 207-34
 canais linfáticos periféricos da perna, 206
 vasos sanguíneos, 216-18
 membro superior, 67-84
 vasos, 76-8
 membros veja membro inferior; membro superior
 menisco lateral corno anterior, 226
 corno posterior, 224, 225, 226
 corpo, 225
 medial, 228
 corno anterior, 226
 corno posterior, 224, 226
 corpo, 225
 mesencéfalo, 16-17, 18, 21, 45, 50
 núcleo rubro do, 19
 teto do, 51
 mesentério, intestino delgado, 137, 138
 mesocolo sigmoide (mesossigmoide), 159, 161
 transverso, 137
 mesorreto, 151
 mesossigmoide, 159, 161
 mielografia, cervical, 64
 miométrio, 150, 156, 157, 161
 molares, 34
 músculo abdutor curto do polegar, 86, 87, 88
 músculo abdutor do dedo mínimo mão, 86, 87, 88
 pé, 231, 232, 233, 234
 músculo abdutor do hálux, 231, 233
 músculo abdutor longo do polegar, 82, 85
 tendão, 86
 músculo adutor curto, 134, 153, 155, 157, 158, 161, 164, 165, 167, 219, 221, 222, 223
 músculo adutor do hálux, 232, 234
 tendão, 234
 músculo adutor do polegar, 87, 88
 músculo adutor longo, 134, 153, 155, 157, 158, 161, 164, 165, 167, 219, 220, 221, 222, 223
 músculo adutor magno, 153, 158, 161, 163, 164, 165, 167, 219, 220, 221, 223
 músculo anóneo, 84, 85
 músculo bíceps braquial, 82, 83, 84
 tendão, 79, 82, 83, 84
 cabeça longa, 79
 músculo bíceps femoral, 134, 153, 155, 164, 223, 224, 228
 cabeça curta, 221
 cabeça longa, 221
 tendão, 228
 músculo braquial, 82, 83, 84
 tendão, 84
 músculo braquiorradial, 82, 83, 84, 85
 músculo coccígeo, 159
 músculo constritor da faringe, superior, 25
 músculo coracobraquial, 79
 músculo deltoide, 79
 tendão, 79
 músculo digástrico ventre anterior, 24, 30
 ventre posterior, 24
 músculo eretor da espinha, 62, 96, 108, 124, 126, 128, 131, 132, 140, 144, 154, 159, 160, 169, 170
 músculo esfíncter da uretra externo, 156, 198
 interno, 157
 músculo espinal da cabeça, 25
 músculo espinal do pescoço, 27
 músculo esplênio da cabeça, 24, 27
 músculo esternocleidomastóideo, 23, 27, 29, 32, 42, 50
 músculo esterno-hióideo, 27
 músculo extensor curto do polegar, tendão, 86, 87
 músculo extensor curto dos dedos, 231, 232, 233, 234
 músculo extensor do dedo mínimo, tendão, 86, 87
 músculo extensor dos dedos punho, mão, 85
 tendão, 86, 87
 tomazelo, 230
 tendão, 230, 233
 músculo extensor longo do hálux, 229, 230
 tendão, 230, 232, 234
 músculo extensor longo do polegar, 84
 tendão, 86, 87, 88
 músculo extensor longo dos dedos, 224, 229
 tendão, 232, 234
 músculo extensor radial curto do carpo, 83, 84, 85
 músculo extensor radial longo do carpo, 83, 84, 85
 tendão, 86
 músculo extensor ulnar do carpo, 85
 tendão, 86
 músculo flexor curto do hálux, 232, 234
 sesamoide em, 214, 234
 músculo flexor curto do polegar, 87, 88
 músculo flexor curto dos dedos, 231, 232, 233, 234
 tendão, 232, 234
 músculo flexor do dedo mínimo mão, 87, 88
 pé, 232, 234
 músculo flexor longo do hálux, 229, 230, 233
 tendão, 230, 231, 232, 233, 234
 músculo flexor longo do polegar, tendão, 86, 87, 88
 músculo flexor longo dos dedos, 230, 233, 234
 tendão, 230, 231, 232, 233, 234
 músculo flexor profundo dos dedos, 82, 83, 84, 85
 tendão, 86, 87, 88

- músculo flexor radial do carpo, 83, 84, 85
tendão, 86
- músculo flexor superficial dos dedos, 82, 83, 84, 85, 86
tendão, 86, 87, 88
- músculo flexor ulnar do carpo, 82, 83, 84, 85
tendão, 86
- músculo gastrocnêmio
aponeurose, 229
cabeça lateral, 222, 224, 226, 229
cabeça medial, 224, 227, 228, 229
tendão, 227
- músculo gêmeo, 134, 155, 165, 219, 220, 223
- músculo genioglosso, 24, 30
- músculo gênio-hióideo, 26, 30
- músculo glúteo máximo, 133, 134, 141, 144, 147, 148, 150, 152, 154, 158, 161, 162, 164, 165, 167, 170, 219, 220, 221
- músculo glúteo médio, 133, 134, 139, 141, 145, 150, 153, 154, 156, 161, 162, 165, 166, 219, 220
- músculo glúteo mínimo, 133, 134, 150, 156, 161, 162, 165, 166, 219, 220
inserção tendínea, 153
- músculo gracil, 134, 155, 157, 167, 221, 223, 228
tendão, 224
- músculo hipoglosso, 30
- músculo iliaco, 132, 138, 140, 143, 150, 155, 156, 158, 165, 166, 220
- músculo iliopsoas, 134, 137, 138, 146, 151, 153, 157, 158, 161, 162, 164, 219, 220, 222, 223
tendão, 163, 164
- músculo infraespinhal, 79, 96, 145
tendão, 79
- músculo intercostal, 145
- músculo latíssimo do dorso, 96, 124, 126, 130, 141, 145
- músculo levantador da escápula, 26
- músculo levantador da pálpebra superior, 20, 22
- músculo levantador do ângulo da boca, 94
- músculo levantador do ânus, 60, 223
feminino, 151, 154, 156, 158, 160
masculino, 134, 163, 165, 166
- músculo levantador do lábio superior e da asa do nariz, 42
- músculo levantador do véu palatino, 32
- músculo longitudinal da língua, 31
- músculo longo da cabeça, 25, 26, 42
- músculo longo do pescoço, 25, 26, 27
- músculo longuíssimo da cabeça, 25
- músculo lumbrical, 87, 88
- músculo masseter, 8, 11, 12, 24, 31, 42, 48
- músculo milo-hióideo, 24, 31
- músculo multífido, 25
- músculo oblíquo (abdome)
externo, 126, 128, 130, 133, 136, 150, 157, 166, 168
aponeurose do, 150
interno, 128, 130, 133, 136, 157, 166
- músculo oblíquo (órbita)
inferior, 22
superior, 20
- músculo oblíquo inferior da cabeça, 25
- músculo obturador externo, 135, 137, 141, 143, 153, 155, 156, 158, 159, 163, 165, 167, 220, 222, 223
- músculo obturador interno, 135, 141, 143, 151, 152, 154, 155, 156, 158, 165, 166, 219, 220, 223
tendão, 219
- músculo oponente do dedo mínimo pé, 234
- mão, 87, 88
- músculo oponente do polegar, 87, 88
- músculo orbicular da boca, 25, 29, 54
- músculo orbicular do olho, 22
- músculo palatofaríngeo, 31
- músculo palmar longo, 84, 85
tendão, 86
- músculo pectíneo, 135, 137, 152, 153, 158, 164, 165, 167, 168, 170, 219, 220, 222, 223
- músculo peitoral maior, 96, 109, 120, 121, 138, 149
fáscia, 120, 121
- músculo peitoral menor, 80, 96, 109, 121, 138
- músculo piriforme, 133, 135, 150, 154, 158, 165, 222
inserção, 154
origem, 161
- músculo plantar, 227
tendão, 230
- músculo platíma, 24, 26, 30
- músculo poplíteo, 224, 228
tendão, 224, 226, 228
ventre, 226
- músculo pré-vertebral, 29
- músculo pronador redondo, 82, 83, 84, 85
- músculo psoas, 63, 130, 138, 141, 150
margem, 172
psoas maior, 62, 127, 128, 132, 143, 146, 155, 156, 158, 166
psoas menor, 143
- músculo pterigóideo lateral, 8, 11, 12, 31, 42, 49
medial, 8, 11, 24, 31, 42, 49
- músculo puborretal feminino, 151, 152, 155, 160
masculino, 169
- músculo pubovaginal, 156
- músculo quadrado do lombo, 128, 130, 143, 144
- músculo quadrado femoral, 135, 153, 155, 164, 165, 220, 222, 223
- músculo quadrado plantar, 230, 231, 232, 234
- músculo redondo menor, 80
- músculo reto inferior, 20, 22, 43, 46
lateral, 20, 21, 23, 44
exame de PET, 238
medial, 21, 23, 44
exame de PET, 238
superior, 20, 21, 22, 44
- músculo reto do abdome, 127, 128, 130, 132, 133, 135, 136, 149, 150, 152, 158, 160, 168, 169, 170
- músculo reto femoral, 135, 157, 161, 162, 164, 168, 220, 221, 222, 223
tendão, 219
- músculo sartório, 133, 135, 137, 152, 157, 161, 162, 164, 219, 220, 221, 222, 223, 224, 228
tendão, 227
- músculo semiespinal da cabeça, 25, 27
- músculo semiespinal do pescoço, 27
- músculo semimembranáceo, 135, 153, 164, 221, 222, 223, 224, 227, 228
tendão, 227
- músculo semitendíneo, 135, 153, 164, 219, 221, 222, 223
tendão, 227, 228
- músculo serrátil anterior, 97, 109, 127, 139
- músculo sóleo, 224, 226, 230, 233
- músculo subescapular, 80, 97, 109, 145
tendão, 80
- músculo supinador, 82, 84, 85
- músculo supraespinhal, 80, 97, 145
tendão, 80
- músculo temporal, 7, 8, 11, 23, 31, 42, 44, 48
- músculo tensor da fáscia lata, 133, 135, 152, 161, 162, 167, 216, 221
- músculo tensor do tímpano, tendão, 15
- músculo tibial anterior, 225, 227, 229
tendão, 230, 232, 233
- músculo tibial posterior, 225, 229, 230
tendão, 230, 231, 232, 233
- músculo tireo-hióideo, 32
- músculo transverso da língua, 31
- músculo transverso do abdome, 129, 130, 133, 136, 157, 166
- músculo transverso do períneo veja diafragma urogenital
- músculo trapézio, 25, 27, 51, 80, 97, 109
- músculo tríceps braquial
cabeça lateral, 82, 83, 84
cabeça longa, 84
cabeça medial, 82, 83, 84
tendão, 82
- músculo vasto intermédio, 135, 153, 219, 220, 221, 222, 223
- músculo vasto lateral, 135, 153, 157, 163, 164, 167, 219, 221, 222, 223
- músculo vasto medial, 157, 221, 222, 225, 227
- músculo vocal, 28, 32
- músculos veja *músculos específicos*
- músculos escalenos, anterior/médio/posterior, 28
- músculos fibular curto e longo
- músculos infra-hióideos, 28, 29
- músculos interósseos dorsais
mão, 87, 88
pé, 234
- músculos interósseos
mão
dorsal, 87, 88
palmar, 87, 88
pé, 234
dorsal, 234
plantar, 234
- músculos interósseos palmares, 87, 88
- músculos interósseos plantares, 234
- músculos papilares, 96, 101, 109
- músculos posteriores da coxa, origem, 154, 158, 163, 165
- nervos cranianos, 18-19
- núcleo caudado
cabeça, 45, 46, 48, 52, 53
exame de PET, 238
corpo, 45, 50, 52, 53
- núcleo denteado do cerebelo, 51
- núcleo lentiforme, 46, 47
- núcleo pulposo, 63
- T5/T6, 62
- núcleo rubro do mesencéfalo, 19
- nervo oculomotor (NC III), 18, 49
- nervo oftálmico, 49
- nervo olfatório (NC I), 18, 21, 45
- nervo óptico (NC II), 9, 18, 20, 23, 44, 46, 47, 49
- parte infraorbitária, 21
- parte intracanalicular, 19, 21
- parte intracraniana, 19, 21, 22
- parte intraocular, 19, 22
- nervo plantar lateral, 231, 234
medial, 231, 232, 234
- nervo radial, 84, 85
- nervo sacral
S1, 154
raiz, 159
S2, raiz, 159
- nervo tibial, 221, 225
- nervo trigêmeo (NC V), 18, 50
ramo maxilar, 49
ramo oftálmico, 49
- nervo troclear (NC IV), 18-19, 49
- nervo ulnar, 84, 85, 86
- nervo vago (NC X), 16
- nervo vestibular, 17
- nervo vestibulococlear (NC VIII), 16, 43, 50
veja *também* nervo coclear; nervo vestibular
- nervos cranianos, 18-19
- núcleo caudado
cabeça, 45, 46, 48, 52, 53
exame de PET, 238
corpo, 45, 50, 52, 53
- núcleo denteado do cerebelo, 51
- núcleo lentiforme, 46, 47
- núcleo pulposo, 63
- T5/T6, 62
- núcleo rubro do mesencéfalo, 19
- O**
- occipício, 64
veja *também* parte basilar
- olécrano, 70, 71, 72, 82, 83, 84
- olécrano, fossa do, 70, 82, 83, 84
- órbita, 20-3
assoalho, osso maxilar, 11
teto, osso frontal, 11
- orelha, 14-15
externa, 3, 7, 42
trago, 50
interna, 12
média, 12
cavidade da *veja* cavidade timpânica
interna, 9
ossículos (bigorna e martelo), 67
- órgão renal *veja* rim
- origem comum dos músculos extensores, 83, 84
- origem comum dos músculos flexores, 83, 84
- origem tendínea comum dos músculos posteriores da coxa, 154, 158, 163, 165
- no cotovelo
extensores, 83, 84
flexores, 83, 84
- ossículos da orelha média (bigorna e martelo), 67
- osso alveolar/processo alveolar/margem alveolar/crista alveolar da maxila, 8, 11, 30, 34, 46
- osso do quadril, 209
- osso esfenóide
basifenoide *veja* parte basilar
plano esfenoidal, 2
asa maior, 2, 3, 7, 9, 11, 48, 53
superfície temporal do, 2
corpo, 2, 14, 44, 49
asa menor, 2, 6, 11

- osso etmoide
 lâmina perpendicular, 11
 lâmina orbital, 9, 10
 lâmina cribiforme, 10, 11, 13
- osso frontal, 10
- incisura etmoidal, 11
 lâmina orbital, 45
 processo zigomático, 6, 7
 teto da órbita, 11
- osso hioide, 34, 57
 como maior, 25, 29
 corpo, 25, 29
- osso navicular, 212, 213, 214, 215, 230, 231, 232, 233
- osso occipital, 57
 parte basilar
 escama, 4
 protuberância externa, 3
 ínio, 3, 43
 ondilo, 8, 13, 42, 61
- osso occipital, escama occipital, 4
 osso palatino, lâmina horizontal, 6
 osso(s), punho e mão, 74-5
veja também ossos específicos
- osso temporal, 14-15
 processo zigomático, 7
 tubérculo articular, 7, 12
 parte petrosa, 2, 43
 ápice, 9
 eminência arqueada, 4, 12, 50
 processo mastoide, 2, 4, 6, 15, 42, 61
 processo estiloide, 8, 12, 14, 24, 61
- ossos do tarso, 213
- ossos faciais, 6, 8-13
 cintilografia, 235
- ossos metacarpais, 73-88
 fetais, 203
- ossos nasais, 6, 9, 10, 13
 cintilografia, 235
- ossos sesamoides
 punho, 74
 tornozelo, no músculo flexor curto do hálux, 214
- ovário
 cistos fisiológicos (corpo lúteo), 155, 156, 158
 direito, 150, 155, 158
 esquerdo, 150, 156
- P**
- palato
 duro, 8, 10, 23, 30, 42, 48
 mole, 3, 6, 29, 31, 49
- pálpebras, 10, 23
- pâncreas, 146
- cabeça, 124, 126, 138, 174, 176
 cauda, 127, 141, 149, 175, 177
 colo, 126, 138, 177
 corpo, 124, 126, 138, 141, 149, 174, 176
 visões em outros planos, 174, 175, 176, 177
- papila ileal, 179
- papila mamária, 120
- papila, renal, 175, 196
- parede lateral da órbita, 11
- parede lateral do seio cavernoso, 48
- parte abdominal da aorta, *veja aorta*
- parte basilar
 do esfenóide, 50
 do osso occipital, 2, 3, 14, 50, 56
 medula do, 41
- parte cervical da artéria carótida interna, 36
- parte esponjosa da uretra, 198
- parte interarticular
 C4, 56
 C7, 56
 região lombar, 59
- parte intertrocanterica do fêmur, 154
- parte laríngea da faringe, 24, 26-9
- parte marginal do músculo orbicular da boca, 29, 54
- parte nasal da faringe, 8, 10, 11, 24, 29, 32, 42, 46, 47, 48
- parte oral da faringe, 6, 24, 29, 32, 48
- parte periférica do músculo orbicular da boca, 29, 54
- parte pilórica do estômago, 127, 178
- parte tibiotalar da articulação do tornozelo, 233
- pata anserina, 225
- patela, 209, 211, 226, 228
- cintilografia, 235
- pedúnculos cerebelares
 inferior, 46, 51
 médio, 43, 46, 47
 superior, 18, 44, 46, 47, 51
- pedúnculos cerebrais, 19, 21, 45, 46, 47, 50
 médio, 51
- peito *veja tórax*
- pelve (região pélvica), 132-49, 154-61, 169-70, 187-9, 209
 menina, 209
 RM axial
 feminina, 151-3
 masculina, 162-4
 RM coronal
 feminina, 154-8
 masculina, 165-8
 RM sagital
 feminina, 158-61
 masculina, 169-70
 TC axial, masculina, 132-5
 TC coronal, feminina, 136-45
 TC sagital, feminina, 146-9
 ultrassom fetal, 203
 visões em outros planos
 feminina, 173, 188
 linfáticos, 204
 masculina, 173, 189, 198-9
 vasos sanguíneos, 187-9
 visões anteroposteriores, 172
- pelve renal, 127, 129, 196
- pênis
 bulbo, 134, 164, 167
 corpo esponjoso, 167, 168, 169
corpus cavernosum *veja* corpo cavernoso
 glândula, 168, 169, 170
 ligamento suspensor, 167, 168
 pilar do, 134, 164, 167
 pericárdio, 97, 101, 104, 105, 106, 109
 recessos, 109
 superior, 93, 97
- peroneal/perônio. *veja* em Fibular
- pilar
 diafragma *veja* diafragma
 piramidal, 73, 74, 75
 pisiforme, 73, 74, 86
 placenta, 202, 203
 plano esfenoidal, 2
 plexo coriáceo, 49, 52, 53
 fetal, 202
- plexo lombar, 155
- plexo pampiniforme de veias, 186, 189
- plexo sacral (de veias), 160, 188
- plexo venoso
 cutâneo plantar, 217
 região crural, 218
 sacral, 66
- plexo venoso cutâneo plantar, 217
- plexo venoso sacral, 66
- plexo venoso vertebral, longitudinal, 66
- plexos venosos vertebrais longitudinais, 66
- polegar
 artéria da face radial do, 78
 falange distal, 74, 87, 88
 falange proximal, 74, 88
 fetal, 203
- ponte, 16, 21, 22, 43, 46, 47, 50
 tagmento, 46, 47
- ponto de Sylvius, 36
- porção colicular da artéria cerebral posterior, 38, 40
- porção intracraniana
 artérias carótidas internas, 36, 44
 nervo óptico, 19, 21, 22
- porção/parte petrosa
 artéria carótida interna, 9, 14, 33, 36
 osso temporal *veja* osso temporal
- prega ariepiglótica, 27
- prega axilar, anterior, 90
- prega transversa do reto, 154, 159
- prega transversa do reto (de Houston), 154, 159
- prega vestibular, 32
- pregas circulares, jejuno, 179
- pregas gástricas, 178
- pré-molares, 34
- processo clinóide, anterior, 3, 11, 13, 21, 48
- processo coracoide da escápula, 68, 69, 79
- processo coronoide
 mandíbula, 6, 8, 11, 12, 34, 42, 49
 ulna, 70, 82
- processo estiloide
 fíbula, 209
 osso temporal, 8, 12, 14, 24, 61
 rádio, 74
 ulna, 73, 86
- processo frontal do zigomático, 3, 6
- processo mamilar, 59
- processo mastoide, 2, 4, 6, 15, 42, 61
- processo palatino da maxila, 6
- processo temporal do osso zigomático, 6
- processo transverso, 97
 C1/atlas, 12, 13, 15, 57, 61
 C2/áxis, 57
 C4, 56
 C5, 56, 57
 C7, 56, 64
 L3, 59
 L5, 143
 tubérculos das *veja* tubérculos
 vértebras torácicas, 58
 T1, 56
- processo xifoide, 97, 103, 105, 106, 136, 149
- processo zigomático
 osso frontal, 6, 7
 osso temporal, 7
- processo zigomático da maxila, 3, 6
- processos articulares
 inferior
 C1, 57, 61
 C4, 56
 L2, 59
 torácico, 58
 superior
 C1, 57
 C2, 57
 C4, 56
 C5, 56
 L3, 59
 vértebras sacrais, 60
 vértebras torácicas, 58
- processos espinhosos, 56-62, 144
- próstata, 135, 163, 166, 169, 170
- ultrassom do reto, 199
- zona de transição, 199
- zona periférica, 199
- púbis (osso púbico), 160
 corpo, 134, 153, 159, 160, 167, 168, 169
 visões em outros planos, 173
 feminina, 148, 152, 153, 155, 156, 157, 158, 159, 160
 menina, 209
- junção não ossificada entre o ísquio e, 209
- masculina, 134, 135, 163, 167, 168, 169
- ramo
 inferior, 134, 155, 156, 167, 173, 208
 superior, 60, 135, 139, 152, 157, 158, 163, 167, 173, 208
- sínfise *veja* sínfise púbica
- tubérculo, 173
- visões em outros planos, 173, 208, 209
- pulmões, 93-6, 118-19, 236
 cintilografia, 236
 direito, 138, 140, 146, 148, 236, 239
 esquerdo, 138, 140, 149, 236, 239
- exame de PET/TC, 239
- fissuras *veja* fissura horizontal;
 fissura oblíqua
veja lobos
 vasculatura, 110-11
- putame, 45, 48
- varredura PET, 238
- Q**
- quadril, 208, 219-20
- quiasma óptico, 19, 21, 45, 48
 na cisterna suprassellar, 46, 47
- R**
- radiação óptica, 45
- rádio, 70, 71, 72, 73, 74, 75, 77, 82, 83, 84, 85, 86
 cabeça, 70, 71, 72, 82, 83, 84
 colo, 70
 fetal, 203
 incisura ulnar, 74
 processo estiloide, 74
 tubérculo dorsal, 86
 tuberosidade, 70, 83
- rafe da faringe, 50
- raiz anterior do nervo, 64
- raiz posterior (do nervo espinal)
 cervical, 64
 gânglio sensitivo, 62
- raízes
 dentárias, 34
 do nervo espinal *veja* raízes do nervo espinal
- raízes dos nervos espinais, 62, 63, 65
 C8 *veja* C8
 dorsal *veja* raiz posterior
 extensão lateral ao redor do espaço subaracnóideo
 L5, 159, 160, 161, 165
 sacrais *veja* S1; S2; S3
 ventral, 64
- raízes dos nervos, espinal *veja* raízes do nervo espinal
- ramo
 do ísquio, 173
 da mandíbula, 2, 6, 8, 11, 14, 31, 34, 42, 61
 do púbis *veja* púbis
- ramo / segmento do verme
 artéria cerebelar inferior posterior, 38
 artéria cerebelar superior, 38
- ramo carpal palmar da artéria ulnar, 78
- ramo circunflexo da artéria coronária esquerda, 108, 113, 114, 115
- ramo marginal obtuso *veja* ramo marginal esquerdo
- ramo deltoideo da artéria toracoacromial, 117
- ramo do cone arterial, 113
 direita, 114
- ramo do nó atrioventricular, 113, 114
- ramo do nó sinoatrial, 113
- ramo do pênis/corpo cavernoso, 134, 164, 167
- ramo etmoidal da artéria oftálmica, 36

- ramo frontal da artéria cerebral anterior, 36
- ramo interventricular anterior, da artéria coronária esquerda, 96, 108, 113, 114, 115
- posterior, da artéria coronária direita, 113, 114
- ramo labial da artéria facial, 33
- ramo lingular (artéria pulmonar) inferior, 110
- superior, 110
- ramo marginal esquerdo, obtuso, 114
- primeiro, 113
- ramo marginal, direito, 114
- direita, 113
- ramo meníngeo da artéria vertebral, 38
- ramo palmar profundo da artéria ulnar, 78
- ramo ventricular (da artéria coronária) direito, 114
- lateral, para ventrículo esquerdo, 113
- ramos angulares da artéria cerebral média, 36
- ramos coriáceos da artéria cerebral posterior, 38
- ramos diagonais (vasos coronários), 113, 114
- ramos esofágicos
- artéria gástrica esquerda, 185
- veia gástrica esquerda, 185
- ramos esplênicos da artéria cerebral posterior, 38
- ramos hemisféricos
- artéria cerebelar inferior posterior, 38
- artéria cerebelar superior, 38
- ramos ileais da artéria mesentérica superior, 131, 139, 185
- ramos insulares/segmento da artéria cerebral média em, 36, 40
- ramos jejunais da artéria mesentérica superior, 131, 139, 183, 185
- ramos mamários da artéria torácica lateral, 120
- ramos perfurantes da artéria torácica interna, anterior, 120, 121
- ramos perfurantes do tálamo
- artéria cerebral posterior, 38
- artéria cerebelar superior, 38
- ramos temporais da artéria cerebral média, anterior, 36
- recesso alveolar, 8
- recesso axilar, 79
- recesso hepatorenal, 174, 176
- região crural, 229
- arteriografia, 127
- canais linfáticos periféricos da perna, 206
- linfáticos, 206
- plexo venoso, 218
- ressonância magnética
- colangiopancreatografia, 182
- retina, 23
- retináculo
- dos músculos extensores, tornozelo, 230
- dos músculos fibulares, 230
- dos músculos flexores veja retináculo da patela, medial e lateral, 227, 228
- retináculo dos músculos flexores punho, 86
- tornozelo, 230
- reto, 60, 133, 135, 143, 144, 147, 148, 152, 154, 162, 166, 169, 170, 223
- ampola, 154, 159, 160, 165
- feixe neurovascular inferior, 155, 164, 165
- parede, 199
- pregas transversas, 154, 159
- ultrassonografia prostática via, 199
- visões em outros planos, 172, 180, 181
- rim, 63, 126, 127, 128, 129, 140, 142, 145, 146, 172, 175, 177, 196, 197, 203, 235, 236
- veja cálice
- cintilografia, 235
- córtex, 127, 128
- exame de PET/TC, 239
- fáscia, 127, 129
- fetal, 203
- papila, 175, 196
- pelve, 127, 129, 196
- polos inferiores, 194
- polos superiores, 194, 196
- veja também entradas no termo renal
- S**
- S1
- espaço do disco, 60
- nervo sacral, 154
- raiz, 159, 160, 161
- veja também L5/S1
- S1/S2
- forame sacral, 60
- saco tecal, região terminal, em, 65
- S2 raiz do nervo, 159, 160, 161
- forame sacral para, 60
- S3 raiz, 160
- saco gestacional, 200, 201
- saco lacrimal, 10, 23
- saco tecal, 63, 65, 127, 129, 133, 154, 161, 165, 169, 170
- caudal lombar, 63
- indentação do disco intervertebral, 65
- indentação do ligamento amarelo, 64
- sacro, 60, 135, 160, 169, 170
- asa, 60, 133, 154, 158, 165, 197
- cintilografia, 235
- corpo, 159
- crista, 173
- mediana, tubérculo espinhoso em, 60
- feminino, 142, 144, 147, 148, 150, 154, 158, 159, 160, 173
- masculino, 133, 135, 162, 165, 169
- promontório, 59, 60, 63, 65
- visões em outros planos, 59, 60, 63, 65, 173
- saculações do colo, 180
- segmento lingular (pulmões) inferior, 94
- superior, 93, 95
- segmento pré-ganglionar do NC V (trigêmeo), 18
- segmento retrotonsilar da artéria cerebelar inferior posterior, 38
- segmento supratonsilar da artéria cerebelar inferior posterior, 38
- seio
- paranasal veja seios paranasais venoso da dura-máter, confluência do, 37, 39, 41, 44
- veja também seios específicos
- seio/antro maxilar, 2, 6, 8, 10, 11, 12, 22, 30, 34, 43, 46, 47
- seio cavernoso, 23, 37, 48
- artéria carótida interna em, 9, 36, 44, 46
- parede lateral da dura-máter, 48
- seio coronário, 96
- direito, 114
- esquerdo, 113
- seio da aorta, 113
- posterior, 114
- seio do tarso, 232, 233, 234
- seio esfenoidal, 2, 6, 8, 9, 10, 11, 21, 31, 43, 46, 47, 48
- seio esfenoparietal, 37
- seio frontal, 2, 3, 10, 44, 46, 47
- infundíbulo, 44
- seio petroso, superior, 39
- seio reto, 37, 39, 41, 44
- seio sagital inferior, 36, 37, 45, 51
- superior, 17, 36, 37, 41, 44, 48
- seio sigmóideo, 33, 37, 39, 41
- seio transversal, 37, 39, 41
- direito, 37, 39
- esquerdo, 39
- sulco do, 4
- seios paranasais, 6, 8-13
- sulco do seio sigmóideo, 7
- veja também seios específicos
- seios venosos, confluência dos, 37, 39, 41, 44
- veja também seios venosos específicos
- sela turca (fossa hipofisária) 3, 6, 13, 22
- assoalho, 9
- semilunar, 73, 74, 75, 86
- septo interatrial, 96, 100, 108
- fetal, 203
- septo intermuscular, femoral lateral, 221, 223
- medial, 226
- septo interventricular, 97, 101, 104, 105, 106, 108, 109
- cintilografia, 237
- exame de PET/TC, 239
- fetal, 203
- septo interventricular (parte membranácea), 101, 108
- septo lingual veja língua
- septo nasal, 2, 4, 6, 8, 10, 30, 34, 42
- septo pelúcido, 45, 48
- cavidade do seio cavidade do septo pelúcido
- sincondrose esfenoccipital (basiesfenoide - basioccipício), 3, 50
- sínfise púbica, 60, 135, 137, 153, 157, 160, 163, 167, 168
- visão em outros planos, 173, 209
- sistema biliar, 182
- cintilografia, 235
- sístole final
- reconstruções em 3D do ventrículo esquerdo em, 237
- volume de acúmulo de sangue dentro do ventrículo esquerdo em, 237
- substância branca
- encéfalo, 45
- medula espinal, 62
- substância cinzenta, cérebro, 45
- medula espinal, 62
- substância negra, 19
- sulco carótico, 3
- sulco central, 45, 46
- sulco do cíngulo, 46
- sulco intertuberculal do úmero, 68
- sulco lateral, 45, 46, 47, 48, 52
- sulco pré-auricular, 60
- sulcos cerebrais
- central, 45, 46
- lateral, 45, 46, 47, 48, 52
- sulco do cíngulo, 46
- sustentáculo do tálus, 212, 231, 232, 233
- sutura coronal, 3, 4
- fetal, 202
- sutura frontozigomática, 6
- sutura lambdóideia, 2, 3, 4
- fetal, 202
- sutura sagital, 2, 4
- T**
- T1, 58
- processo espinhoso, 56
- processo transversal, 56
- T11, corpo vertebral, 58
- T12, corpo vertebral, 148
- T4, processo espinhoso, 62
- T5/T6, núcleo pulposo, 62
- T6
- pedículo, 58
- processo espinhoso, 58
- tálamo, 45, 50, 52, 53
- aderência intertalâmica do, 50
- exame de PET, 238
- fetal, 202
- talus, 212, 213, 214, 215, 230, 232, 233, 234
- cabeça, 212, 231, 233, 234
- colo, 212, 233, 234
- tubérculo medial, 212
- tecidos moles retrofaringeos, 29
- tecidos moles, pescoço, 29
- tegme timpânico, 7
- tegmento da ponte, 46, 47
- tendão da patela, 226, 228
- tendão calcâneo (tendão de Aquiles), 230, 233
- tendão do músculo quadríceps femoral, 222, 226
- tendões veja origem tendínea comum e tendões específicos
- tentório do cerebelo, 46, 51
- testículo, 135, 167, 168, 169, 170
- ectópico, no canal inguinal, 189
- venografia, 189
- teto do mesencéfalo, 51
- tíbia, 210, 211, 212, 213, 215, 230, 232, 233
- cintilografia, 235
- coluna vertebral, 227
- côndilos, lateral e medial, 210
- face articular superior, 228
- lateral e medial, 226
- tuberosidade da, 210, 211, 227, 229
- tonsila(s)
- do cerebelo, 47
- faringea, 13, 31
- palatina, 24, 32
- tórax, 89-122
- fetal, parede anterior, 203
- TC coronal, 100-3, 136-45
- TC sagital (sequencial), feminina, 146-9
- vasos, 116-17
- tomozelo, 212-14, 213, 230-3
- cintilografia, 236
- toro tubário, 8
- trabécula septomarginal, 190
- fetal, 203
- trabéculas do ventrículo direito, 112
- trago, 50
- trapézio, 73, 74, 75, 88
- trapezoide, 73, 74, 75, 88
- traqueia, 28, 29, 32, 57, 58, 62, 90, 91, 93, 97, 102, 105, 107, 109, 118, 119, 140, 148
- carina, 90, 96, 100, 108, 142
- trato iliotalibial, 134, 153, 164, 221, 223, 224, 228
- trato olfatório e bulbo, 19
- trato óptico, 21, 45, 49
- trato pulmonar de fluxo de saída (do ventrículo direito: cone arterial), 105, 107, 112, 115, 136, 149
- trocanteres do fêmur veja fêmur
- tróclea do úmero, 70, 72, 82, 83
- tronco braquiocéfálico, 33, 92, 96, 100, 104, 105, 106, 108, 117, 138
- tronco bronquial, comum, 116
- tronco celíaco, 105, 107, 124, 140, 148, 184
- arteriografias por subtração, 184
- ponta de cateter em, 184
- visões em outros planos, 174, 176, 183, 184
- tronco costocervical, 33, 117

- tronco encefálico, 52, 53
 artérias cerebelares superiores, 38
 exame de PET, 238
- tronco intercostobronquial, ponta de cateter no, 116
- tronco lombossacral, 154, 165
- tronco pulmonar, 90, 91, 97, 101, 104, 106, 109, 136
- tronco tireocervical, 117
 ponta de cateter no, 33
- tubas auditivas, 9, 32
- tubas uterinas, 155, 156, 159, 195
 ampola, 195
 direita, 150
 istmo, 195
- tubérculo
 articular, para articulação temporomandibular, 3
 da eminência intercondilar, 210
 do adutor, 227
 do calcâneo, anterior, 233
 do processo transversos
 C1, 13, 64
 C2, 61
 C4, 56
 C5, 57
 do rádio, dorsal, 86
 do tálus, medial, 212
 espinhoso, da crista sacral mediana, 60
 mental (da mandíbula), 34
 púbico, 173
 tubérculo articular para articulação temporomandibular, 3
- tubérculo da sela, 3
- tubérculo do adutor do fêmur, 227
- tubérculo dorsal do rádio, 86
- tubérculo espinhoso da crista sacral mediana, 60
- tubérculo mental, 34
- tuberosidades
 tubérculo
 maior, 68, 69, 79
 menor, 68
 base do quinto metatarsal, 212, 214, 231
 radial, 70, 83
 da tibia, 210, 211, 227, 229
- tubo endotraqueal, 33
- tubo nasogástrico, extremidade do, 194
- túnel ulnar, 86
- U**
- ulna, 71, 72, 73, 75, 77, 83, 84, 85, 86
 cabeça, 74
 distal, 74, 75
 estilóide, 73, 86
 fetal, 203
 incisura troclear, 70
 olécrano, 70, 71, 72, 82, 83, 84
 processo coronoide, 70, 82
 ultrassom fetal, 200-3
- umbigo, 131, 168, 202
- úmero, 70, 72, 73, 74, 82, 83, 84
 cabeça, 68, 69, 79
 cintilografia, 235
 capitulo, 70, 71, 72, 82, 83
 colo anatômico, 68
 colo cirúrgico, 68
 diáfise, cintilografia, 235
 veia epicôndilos
 fossa do olécrano, 70, 82, 83, 84
 sulco intertubercular, 68
 tróclea, 70, 72, 82, 83
 veia tuberosidades
- unco do corpo
 C3, 61
 C4, 56
 C5, 57
 lobo temporal, 44, 51
- ureter, 153, 155, 165, 189
- direito e esquerdo, 123, 131, 132, 196, 197
 óstio, 156
- uretra
 feminina, 153, 156, 160
 masculina, 135, 167, 198, 199
 curso da, 199
 meato externo, 170
 uretra parte esponjosa, 167, 168, 198
 uretra parte membranácea, 135, 198
 uretra parte prostática, 169, 198
 uretra região distal, 199
- urografia
 excretora, 196
 TC em 3D, 197
- útero, 143, 144, 148, 187, 195, 196
 cavidade do, 150, 155, 157, 161, 200, 201
 corno do, 195
 corpo, 156
 em ultrassom fetal, 200, 201, 202
 endométrio, 161
 fundo, 150, 157, 161, 195
 ligamento largo, 151, 155, 156, 159, 161
 miométrio, 150, 156, 157, 161
 úvula, 24, 31
- V**
- vagina, 142, 144, 148, 152, 156, 159, 160
 fôrnice posterior, 151, 156, 161
 parede posterior, 155
- valécula (epiglótica), 24, 26, 29, 32, 61
- valva atrioventricular direita (tricúspide), 90, 91, 97, 103, 105, 107, 109
 fetal, 203
- valva atrioventricular esquerda (mitral), 90, 91, 97, 103, 104, 105, 106, 109, 111, 113
 fetal, 203
- valva da aorta, 90, 91, 96, 100, 104, 105, 106, 108, 113, 117
- valva do tronco pulmonar, 90, 91, 101, 104, 105, 106, 109, 112
- válvula semilunar posterior da valva da aorta, 114
- válvulas venosas, 218
- vasculatura veja vasos sanguíneos; linfáticos
- vaso deferente veja ducto deferente
- vasos veja vasos sanguíneos
- vasos alveolares
 artéria alveolar superior posterior, 33
 inferior, 49
- vasos circunflexos femorais, 157
 artéria circunflexa femoral lateral, 187, 216
 artéria circunflexa femoral medial, 218
 veia circunflexa femoral lateral, 218
- vasos coriáceos (não especificados), 45
- vasos do encéfalo, 41
- vasos do pênis (não especificados)
 arteriografia, 198
 dorsal, 163, 170
- vasos dorsais do pênis, 163, 170
- vasos epigástricos
 inferior, 163, 168
 superficial, 150
- vasos faríngeos, artéria ascendente, 33
- vasos femorais
 circunflexos veja vasos circunflexos femorais
 comuns, 147, 167, 168
 esquerdo, 149
 profundos, 153
- vasos femorais profundos, 153
- vasos femorais profundos veja artéria femoral; veia femoral; vasos femorais
- vasos glúteos
 inferior, 154, 162
 superior, 150, 154, 158, 165
- vasos gonadais
 femininos, 155
 masculinos, 165
- vasos ilíacos
 comum
 bifurcação, 155
 ponto de cruzamento com os ureteres, 197
 interna
 esquerdo e direito, 143, 150
 ramos, 155
- vasos linfáticos ilíacos, eferentes, 204
- vasos linfáticos inguinais, 204, 205
- vasos meníngeos, médios, sulcos para, 3
- vasos obturadores, 135, 150, 152, 163, 187, 188
- vasos occipitais (não especificados), 42
- vasos ovários, 150
- vasos plantares (não especificados), medial e lateral, 231
- vasos radulares, 63
 artéria radicular anterior, 66
- vasos retais
 inferior, 163
 média, 154
 superior, 154
- vasos vesicais, superiores, 157
 artéria, 187
- veia anastomótica
 anastomótica inferior do cérebro (veia de Trolard), 37
 cerebral superficial média (veia de Labbé), 37, 41
- veia anterior do núcleo caudado, 37
- veia axilar, 77, 79, 108
- veia ázigo, 94, 96, 108, 116, 124, 143
 arco, 92, 116
 superior, ponta de cateter introduzida na veia femoral, 116
 venografia, 116
- veia basilar, 37, 45, 51
- veia basílica, 76, 78, 83, 84, 85, 86
- veia basivertebral, 62, 63, 65
- veia braquiocéfálica, 77
 direita, 33, 93, 97, 102, 109
 esquerda, 92, 96, 100, 108, 138, 149
 sítio de entrada, 77
- veia cava
 inferior, 62, 90, 91, 94, 96, 100, 104, 105, 106, 108, 124, 126, 128, 130, 138, 140, 146, 148, 189, 190
 visões em outros planos, 62, 90, 91, 174, 176
 superior, 33, 77, 90, 93, 97, 102, 105, 107, 109, 115, 138, 140, 146, 148
 ponta de cateter introduzida via veia femoral, 116
- veia céfálica, 77, 78, 82, 83, 84, 85, 86
- veia cerebral pré-central, 38
- veia cerebral magna, 37, 39, 40, 41, 45, 46, 47, 51
 cisterna da veia cisterna ambiens
- veia cerebral superficial média, 37, 41
- veia colateral
 anterior, 23
 medial, 23
- veia cólica, esquerda, 186
- veia comunicante, superficial (em órbita), 23
- veia coriácea, superior, 39
- veia da tonsila, 39
- veia digital palmar, 78
 comum, 78
- veia do joelho, superior lateral, 226
- veia do verme
 inferior, 38
 superior, 39
- veia esplênica, 127, 138, 142, 148, 185, 191
 projeções não transversais, 175, 177
- veia femoral, 134, 139, 218, 219, 221
 circunflexa femoral lateral, 218
 comum, 151, 152, 157, 161, 162
 ponta de cateter introduzida via na veia cava superior e veia ázigo, 116
 na veia femoral esquerda, 189
 na veia ilíaca interna esquerda, 188
 profunda (veia profunda do fêmur), 164
 superficial, 153, 164
 tributária muscular, 218
- veia femoral profunda, 164
- veia frênica, inferior, 194
- veia hemiáizigo, 94, 96, 108
 acessória, 116
- veia hemisférica
 inferior, 39
 superior, 39
- veia ileocólica, 191
- veia ilíaca
 comum, 169, 189, 190
 cateter em, 66
 direita, 131, 132, 141, 147
 esquerda, 131, 132, 141, 160
 externa, 134, 139, 150, 167, 190
 direita, 132, 147
 esquerda, 132, 188
 ponta de cateter introduzida via veia femoral esquerda, 188
- interna, 159, 190
 direita, 132
 divisão anterior, 188
 esquerda, 132
- veia iliolumbar, 190
- veia intermédica do cotovelo, 77
- veia jejunal, 191
- veia jugular
 anterior, 26
 externa, 24, 26
 interna, 24, 26, 29, 33, 36, 37, 38, 39, 41, 42, 50, 62
 direita, 146
- veia lingual, 33
- veia marginal
 lateral, 217
 medial, 217
- veia mesencefálica
 lateral, 39
 posterior, 39
- veia mesentérica
 inferior, 186
 superior, 127, 138, 148
 visões em outros planos, 175, 177
- veia oftálmica
 inferior, 23
 superior, 20, 23, 44
- veia perfurante, 216
- veia petrosa, 39
- veia pontomesencefálica, anterior, 39
- veia poplítea, 222, 228
- veia porta, 127, 138, 140, 147, 191
 ramo, 174, 176
 direito, 191
 esquerdo, 191
 visões em outros planos, 174, 175, 177
- veia principal do polegar, 78
- veia pulmonar
 direita, 115
 inferior, 95, 97, 103, 105, 107, 109
 superior, 97, 102, 105, 107, 109, 111

- esquerda, 115
 inferior, 96, 103, 108, 111
 superior, 92, 96, 101, 108, 111
 fetal, 203
 veia radial do indicador, 78
 veia renal
 direita, 127, 129
 visões em outros planos, 175
 esquerda, 140
 visões em outros planos, 175, 177, 194
 veia retal, superior, 186
 veia retromandibular, 24, 32, 42, 49
 veia safena
 magna, 153, 162, 164, 168, 217, 218, 221, 224, 228, 229, 230, 232
 parva, 217, 228, 230, 233
 veia sigmóidea, 186
 veia subclávia, 77
 direita, 33
 esquerda, 103
 veia supraorbitária, 23
 veia suprarrenal, esquerda, 194
 ponta de cateter na, 194
 veia tálamo estriada, 37
 veia testicular
 direita, 189
 esquerda, 129, 131
 ponta de cateter introduzida via
 veia femoral esquerda, 189
 veia tibial
 anterior, 218
 posterior, 218, 230, 233
 veia tireóidea
 inferior, 33
 média, ponta de cateter na, 33
 superior, 33
 veia torácica, interna, 120
 veia umbilical, 203
 veias veja vasos sanguíneos, *veias específicas e entradas em venoso*
 veias angulares, 23
 veias capsulares, 194
 direita, 189
 veias cavais veja veia cava
 veias cerebrais
 magna, 37, 39, 41, 45, 46, 47, 51
 superficial, 37, 41
 veias corticais, 45, 46
 superficial, 37
 veias diploicas, 47
 veias frontais, 21
 veias gástricas
 curta, 185
 esquerda, 185
 ramos esofágicos, 185
 veias glúteas
 inferior, 134, 188
 superior, 133, 188
 veias hepáticas, 140, 142, 147, 148, 190
 ramo, 174, 176
 direito, 127, 175, 177
 esquerdo, 175, 177
 intermédia, 126, 175, 177
 veias intercostais, 116
 superior direita, 109
 veias intravertebrais, 66
 veias lombares, 130, 132
 ascendentes, 66, 190
 veias sacrais, laterais, 66
 veias uterinas, 144
 venografia
 ázigo, 116
 hepática, por subtração, 192
 lombar, 66
 membro inferior, 218
 pé, 217
 membro superior, 77
 orbital, 23
 pélvico, feminino, 188
 pescoço, 33
 suprarrenal, 194
 testicular, 189
 ventrículos (coração)
 direito, 90, 91, 102, 107, 112, 115, 136, 138, 149
 cavidade, 97, 102, 105, 107, 109, 237
 cone arterial, 91
 exame de PET/TC, 239
 fetal, 203
 trabéculas, 112
 trato de fluxo de saída (fluxo de saída pulmonar; cone arterial), 105, 107, 112, 115, 136, 149
 esquerdo, 90, 101, 113, 115, 117, 136, 138, 140, 237
 ápice, 113, 237, 239
 cavidade, 97, 101, 104, 105, 106, 108, 113, 237, 239
 fetal, 203
 margem, 90
 suprimento coronário, 113
 trato do fluxo de saída, 113
 exame de PET/TC, 239
 septo veja septo interventricular
 ventrículos (encéfalo)
 abertura mediana do quarto
 ventrículo, 42, 51
 lateral, 46, 47, 52, 53
 como frontal, 45, 48
 como occipital, 45
 como temporal, 44, 49
 corpo, 45, 46, 49
 quarto, 16, 43, 46, 47, 51, 53
 abertura lateral do quarto
 ventrículo, 17, 43
 recesso superior, 21
 terceiro, 45, 46, 47, 52, 53
 trígono colateral do, 45, 51
 verme veja cerebelo
 vesícula biliar, 124, 126, 136, 138, 146
 colo, 182
 fundo, 174, 176
 visões em outros planos, 174, 176, 182
 visão das quatro câmaras do coração do feto, 203
 visões em outros planos, 172, 180, 181
 vômer, 8, 13, 31
Z
 zigomático, 11, 12, 31
 parede lateral da órbita, 11
 processo temporal, 6
 processo frontal, 3, 6
 arco, 3, 4, 5, 6, 8, 9, 11, 14, 31, 43
 zona de transição da próstata, 199
 zona orbicular, 220